

LAMS--1199

C. 3

CIC-14 REPORT COLLECTION  
**REPRODUCTION  
COPY**

# LOS ALAMOS SCIENTIFIC LABORATORY

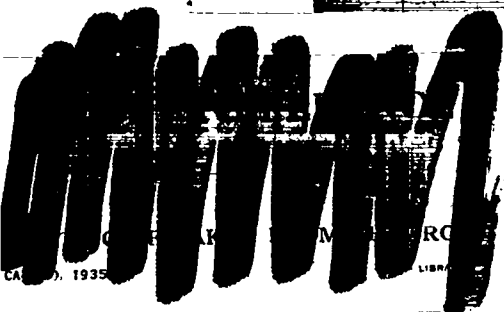
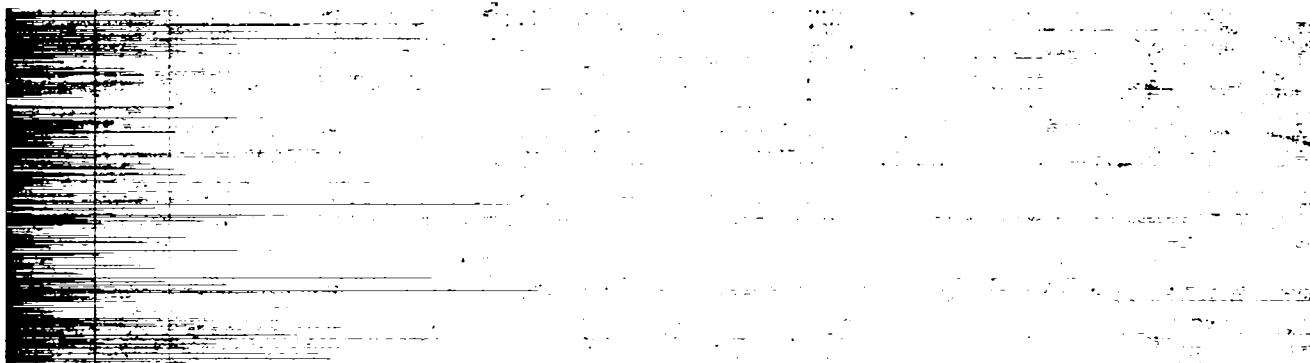
OF THE

UNIVERSITY OF CALIFORNIA

CONTRACT W-7405-ENG. 36 WITH

U. S. ATOMIC ENERGY COMMISSION

LOS ALAMOS NATIONAL LABORATORY  
3 9338 00310 7413



LIBRARY  
UNIVERSITY OF CALIFORNIA  
LIBRARY

LOS ALAMOS SCIENTIFIC LABORATORY  
of the  
UNIVERSITY OF CALIFORNIA

Report written:  
January 2, 1953

LAMS-1199

Report distributed: APR 1 1953

TABLES OF THE COMPTON EFFECT CROSS SECTIONS AND ENERGIES

Work done by:

C. Ann Burton  
Ralph Eikelberger  
William Lane  
Donald Lemman  
Harris Mayer  
Seymour Parter  
Stewart Schlesinger

Report written by:

C. Ann Burton  
Harris Mayer

All Los Alamos reports present the opinions of the author or authors and do not necessarily reflect the views of the Los Alamos Scientific Laboratory. Furthermore, this LAMS report has not been prepared for general distribution. It is accordingly requested that no distribution be made without the permission of the Director's Office of the Laboratory.

PHYSICS

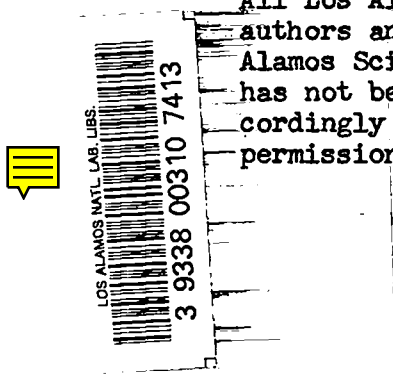


TABLE OF CONTENTS

1.	Introduction - - - - -	iv
2.	Table A: Collision variables and Jacobians - - - - -	xvii
3.	Table B: Sample errors from interpolation - - - - -	xviii
4.	<u>Table I</u> : $\sigma_1(w, \phi)$ vs. $w$ - - - - -	1

The differential cross-section per unit solid angle of the scattered photon at regular intervals of  $w$ , the cosine of the angle of scattering, and  $\gamma^{(*)}$  the energy of the incident photon (equation 8). Related variables and cross-sections.

Intervals in $\gamma$	Intervals in $w$
$\left\{ \begin{array}{ccc} 0.0 & (0.1) & 2.0 \\ 2.0 & (0.5) & 3.0 \end{array} \right\}$	$\left\{ \begin{array}{ccc} -1.00 & (0.1) & 0.30 \\ 0.30 & (0.05) & 0.60 \\ 0.60 & (0.02) & 1.00 \end{array} \right\}$
$\left\{ \begin{array}{ccc} 3.0 & (0.5) & 10.0 \\ 10.0 & (1.0) & 20.0 \\ 20.0 & (2.0) & 50.0 \end{array} \right\}$	$\left\{ \begin{array}{ccc} -1.00 & (0.1) & 0.60 \\ 0.60 & (0.02) & 0.90 \\ 0.90 & (0.01) & 1.00 \end{array} \right\}$

5.	Table II. $\sigma_3(\gamma')$ vs. $\gamma'$ - - - - -	63
----	---	----

The differential cross-section per unit energy of the scattered photon at regular intervals of  $\gamma'$ , the energy of the scattered photon, and of  $\gamma$ , the energy of the incident photon (Equation 11). Related variables and cross-sections.

Intervals in $\gamma$	Intervals in $\gamma'$
0.1 (0.1) 1.0	Assorted Intervals
1.0 (0.1) 2.0	$\left\{ \begin{array}{ccc} \gamma \text{ min} & (0.005) & 0.40 \\ 0.40 & (0.01) & 0.70 \\ 0.70 & (0.05) & \gamma \end{array} \right\}$
2.0 (0.5) 10.0	Assorted Intervals
$\left\{ \begin{array}{ccc} 10.0 & (1.0) & 20.0 \\ 20.0 & (2.0) & 50.0 \end{array} \right\}$	$\left\{ \begin{array}{ccc} \gamma \text{ min} & (0.05) & 2.0 \\ 2.0 & (0.50) & 10.0 \\ 10.0 & (2.00) & \gamma \end{array} \right\}$

(\*) All energies are measured in units of  $mc^2$ , the rest energy of the electron.

6. Table III:  $\sigma_4(w', \phi')$  vs.  $w'$  - - - - - 173

The differential cross-section per unit solid angle of the recoil electron at regular intervals of  $w'$ , the cosine of the recoil angle, and of  $\gamma$  the energy of the incident photon (Equation 13). Related variables and cross-sections.

<u>Intervals in <math>\gamma</math></u>			<u>Intervals in <math>w'</math></u>		
0.0	(0.1)	2.0	{	1.00 (0.01) 0.90	}
			{	0.90 (0.02) 0.80	}
			{	0.80 (0.05) 0.00	}
2.0	(0.5)	10.0	{	1.000 (0.002) 0.990	}
			{	0.99 (0.01) 0.80	}
			{	0.80 (0.05) 0.00	}
10.0	(2.0)	50.0	{	1.000 (0.001) 0.990	}
			{	.990 (0.005) 0.900	}
			{	0.90 (0.05) 0.00	}

7. Table IV:  $\Phi(\gamma'_1 \rightarrow \gamma)$ ,  $E_q(\gamma'_1 \rightarrow \gamma)$ ,  $E_e(\gamma'_1 \rightarrow \gamma)$  vs.  $\gamma'_1$  - - - 230

The integrated cross-section, the energy in scattered photons, and the energy in recoil electrons for processes in which the scattered photon retains an energy between  $\gamma'_1$  and  $\gamma$ . The intervals in  $\gamma'_1$  and  $\gamma$  are the same as in Table II.

8. Table V:  $\sigma_1(w, \phi)$  vs.  $w$  - - - - - 343

Shorter version of Table I

9. Table VI:  $\sigma_3(\gamma')$  vs.  $\gamma'$  - - - - - 350

Shorter version of Table II

10. Table VII:  $\sigma_4(w', \phi)$  vs.  $w'$  - - - - - 364

Shorter version of Table III

11. Table VIII: The total cross-section and energies as a function of  $\gamma$ , the energy of the incident photon - - - 370

<u>Intervals in <math>\gamma</math></u>		
0.0	(0.1)	2.0
2.0	(0.5)	10.0
10.0	(1.0)	30.0
30.0	(2.0)	50.0
50.0	(5.0)	100.0



## INTRODUCTION

This report gives tables for the Compton scattering of a light quantum by an electron at rest. The tables are computed from the Klein-Nishina formula, as recorded, for example, by Heitler<sup>(1)</sup>.

Computations were carried out on the International Business Machine Card Programmed Electronic Calculator at Los Alamos by the computing group of the Theoretical Division. The services of Seymour Parter, Stewart Schlesinger, Ralph Eikelberger, Donald Leman and William Lane in this regard are sincerely appreciated. Finally the great bulk of the task of organizing the computation and preparing the tables for publication has been done by C. Ann Burton.

### A. THE COLLISION VARIABLES

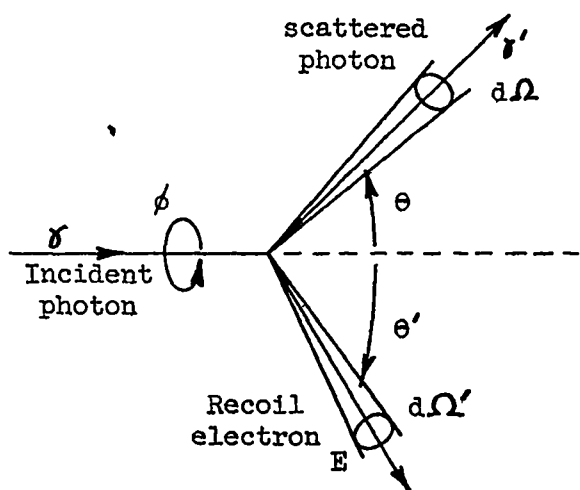
We consider a Compton collision in which a photon with energy  $\gamma$ <sup>(2)</sup> strikes an electron initially at rest. The collision is illustrated

---

(1) W. Heitler, The Quantum Theory of Radiation, Oxford, Second Edition 1944, p. 155. The Klein-Nishina formula does not include the radiative corrections of the new quantum electrodynamics. These corrections are of the order of  $e^2/kc$  compared to the terms computed here and are negative in sign. See M. Brown and R. P. Feynman, "Radiative Corrections to Compton Scattering", *Physical Review* 85, pp. 231-245, January 15, 1952.

(2) Throughout this paper energies will be given in units of  $mc^2$ , the rest energy of the electron.

Fig. 1



in Fig. 1. Conservation of energy and momentum gives

the following results:

- a) The collision occurs in a plane. b) If the photon is scattered through an angle  $\theta$ , its energy will be reduced to

$$\gamma' = \frac{\gamma}{1 + \gamma(1 - \cos\theta)} \quad (1)$$

- c) The electron will consequently acquire an energy

$$E = \gamma - \gamma' \quad (2)$$

and will make an angle  $\theta'$  with the direction of the incident photon such that

$$\cot\theta' = (1 + \gamma) \tan \frac{\theta}{2} \quad (3)$$

- d) The azimuthal angle  $\phi$  of the scattered photon, and  $\phi'$  of the recoil electron, referred to an arbitrary zero, are related by

$$\phi' = \phi - \pi \quad (4)$$

Because of axial symmetry, however, none of the physical aspects of the collision depend upon the azimuths, and these generally need not be considered.

In the tables of this report, the energies  $\gamma$ ,  $\gamma'$ , and  $E$ , and the

cosines of the scattering angles

$$w = \cos \theta, \quad w' = \cos \theta', \quad (5)$$

are used as variables. Given any two of these quantities, the remaining three may be found from equations (1), (2), and (3). For convenience these solutions are summarized in Table A at the end of this introduction. Only limited ranges of these variables, however, correspond to physically admissible collisions. For example, the collision angle for the photon lies between  $\theta=0^\circ$  corresponding to extreme forward scattering and  $\theta=180^\circ$  corresponding to extreme backward scattering. The permissible ranges of the variables for a given energy  $\gamma$  of the incident photon are--

Extreme backward scattering of photon		Extreme forward scattering of photon
--	--	---

$$-1 \leq w \leq 1$$

$$\frac{\gamma}{1+2\gamma} \leq \gamma' \leq \gamma$$

$$1 \geq w' \geq 0$$

$$\frac{2\gamma^2}{1+2\gamma} \geq E \geq 0$$

## B. DIFFERENTIAL CROSS-SECTIONS

The natural unit for measuring Compton cross-sections is the Thomson cross-section for the electron,

$$\phi_0 = \frac{8\pi}{3} \left[ \frac{e^2}{mc^2} \right]^2 = .6654 \times 10^{-24} \text{ cm.}^2 \quad (7)$$

The cross-section for scattering an unpolarized beam of photons through an angle  $\theta(w=\cos\theta)$ , into the solid angle  $d\Omega = dwd\phi$  is

$$\sigma_1(w, \phi) dw d\phi = \phi_0 \frac{3}{16\pi} \left( \frac{\gamma'}{\gamma} \right)^2 \left[ \frac{\gamma'}{\gamma} + \frac{\gamma'}{\gamma} + w^2 - 1 \right] dw d\phi. \quad (8)$$

By transformation of variables and by integrations we can get cross-sections for other physical processes. The Jacobians for these transformations are listed in Table A. Thus by integrating (8) over  $\phi$  we get the cross-section for scattering into the region between two cones of half angle  $\theta$  and  $\theta+d\theta$  as

$$\sigma_2(w) dw = \int_{\phi=0}^{2\pi} \sigma_1(w, \phi) dw d\phi = 2\pi \sigma_1(w, \phi) dw. \quad (9)$$

Changing variable in (9) from  $w$  to  $\gamma'$ , we obtain the cross-section for scattering a photon into the energy range from  $\gamma'$  to  $\gamma'+d\gamma'$ ,

$$\sigma_3(\gamma') d\gamma' = \sigma_2[w(\gamma')] \left| \frac{dw}{d\gamma'} \right| d\gamma' = \sigma_2(w) dw, \quad (10)$$

which, by inserting the Jacobian  $dw/d\gamma' = 1/\gamma'^2$  from Table A, gives

$$\sigma_3(\gamma') d\gamma' = \phi_0 \frac{3}{8} \frac{1}{\gamma'^2} \left[ \frac{\gamma'}{\gamma} + \frac{\gamma'}{\gamma} + w^2 - 1 \right] d\gamma'. \quad (11)$$

If the scattered photon is within the solid angle  $d\Omega = dwd\phi$ , the recoil electron will be in the corresponding solid angle  $d\Omega' = dw'd\phi'$ , where  $\phi' = \phi - \pi$  and  $w'$  is related to  $w$  as shown in Table A. The cross-section for the electron recoiling into  $d\Omega'$  is, therefore,

$$\sigma_4(w', \phi') d\Omega' = \sigma_1[w(w'), \phi(\phi')] \left| \frac{\partial(w, \phi)}{\partial(w', \phi')} \right| d\Omega' = \sigma_1(w, \phi) d\Omega. \quad (12)$$

The Jacobian for the transformation from the variables  $w, \phi$  to  $w', \phi'$  is given in Table A, and so we obtain

$$\sigma_4(w', \phi') dw' d\phi' = \phi_0 \frac{3}{16\pi} \left(\frac{\gamma'}{\gamma}\right)^2 \left[ \frac{\gamma}{\gamma'} + \frac{\gamma'}{\gamma} + w'^2 - 1 \right] \frac{4(1+\delta)^2 w' dw' d\phi'}{\left\{ (1+\delta)^2 - [(1+\delta)^2 - 1] w'^2 \right\}^2}. \quad (13)$$

As in equation (8), integration over the azimuthal angle  $\phi'$  gives a factor  $2\pi$ , and we can introduce as the cross-section for the electron recoiling between two cones of half angles  $\theta'$  and  $\theta' + d\theta'$

$$\sigma_5(w') dw' = \int_0^{2\pi} \sigma_4(w', \phi') dw' d\phi' = 2\pi \sigma_4(w', \phi') dw'. \quad (14)$$

Finally, the cross-section for finding the recoil electron with energy between  $E$  and  $E + dE$  may be obtained from (11) by transforming from the variable  $\gamma'$  to  $E$ . Thus, since  $\partial E / \partial \gamma' = -1$ , we obtain

$$\sigma_6(E) dE = \sigma_3[\gamma'(E)] \left| \frac{d\gamma'}{dE} \right| dE = \sigma_3(\gamma') d\gamma'. \quad (15)$$

The six differential cross-sections introduced are related so that

$$2\pi \sigma_1(w, \phi) dw = \sigma_2(w) dw = \sigma_3(\gamma') d\gamma' = 2\pi \sigma_4(w', \phi') dw' = \sigma_5(w') dw' = \sigma_6(E) dE. \quad (16)$$

In the tables  $\sigma_1$ ,  $\sigma_3$ , and  $\sigma_4$  are listed; the remaining cross-sections may be readily obtained using (15) and (16).

### C. INTEGRATED CROSS-SECTIONS

We term the cross-section for scattering into a finite range the integrated cross-section. For example, the integrated cross-section for scattering a photon so that its final energy lies between  $\gamma_1'$  and

$\gamma_2'$  is  $\Phi_3(\gamma_1' \rightarrow \gamma_2') = \int_{\gamma_1'}^{\gamma_2'} \sigma_3(\gamma') d\gamma'$ . Similar integrated cross-

sections could be defined for the scattered photon being in the angular interval  $w_1$  to  $w_2$ , or the recoil electron being in the angular interval  $w_1'$  to  $w_2'$  or having energy between  $E_1$  and  $E_2$ . Because of (16), however, there is a simple relationship among all these cross-sections, and it is sufficient merely to consider  $\Phi_3$ . It is clear, furthermore, that we need tabulate only the integral  $\Phi_3(\gamma_1' \rightarrow \gamma)$  from a variable lower limit to the fixed upper limit  $\gamma$ , for then the integral between any two limits may be obtained by subtraction. The required integration can be performed analytically, giving

$$\Phi_3(\gamma_1' \rightarrow \gamma) = \int_{\gamma_1'}^{\gamma} \sigma_3(\gamma') d\gamma' = \phi_0 \frac{3}{8\gamma^2} \left\{ \left( \frac{\gamma}{2} + 2 \right) - \frac{\gamma_1'^2}{2\gamma} - \left( \frac{2}{\gamma} + \frac{1}{\gamma^2} \right) \gamma_1' + \frac{1}{\gamma_1'} + \left( \gamma - 2 - \frac{2}{\gamma} \right) \ln \frac{\gamma}{\gamma_1'} \right\}. \quad (17)$$

If the integration extends over the entire permissible range of

scattered energies from  $\gamma_1' = \gamma/(1+2\gamma)$  up to  $\gamma$ , we get the total cross-section

$$\bar{\Phi} = \phi_0 \frac{3}{8\gamma^2} \left\{ \frac{2\gamma^2(1+\gamma)}{(1+2\gamma)^2} + 4 + (\gamma - 2 - \frac{2}{\gamma}) \ln(1+2\gamma) \right\}. \quad (18)$$

Tables of both  $\bar{\Phi}_3(\gamma_1' \rightarrow \gamma)$  and  $\bar{\Phi}$  are included in this report.

#### D. ENERGIES

Consider a beam with unit flux of incident photons of energy  $\gamma$ . The number of quanta per unit time scattered out of this beam into the energy interval  $\gamma_1'$  to  $\gamma_2'$  is just  $\bar{\Phi}_3(\gamma_1' \rightarrow \gamma_2')$ . The energy scattered in the process is

$$E_t(\gamma_1' \rightarrow \gamma_2') = \int_{\gamma_1'}^{\gamma_2'} \gamma \sigma_3(\gamma') d\gamma'. \quad (19)$$

This energy is divided between the scattered photons, which are given the energy

$$E_q(\gamma_1' \rightarrow \gamma_2') = \int_{\gamma_1'}^{\gamma_2'} \gamma' \sigma_3(\gamma') d\gamma', \quad (20)$$

and the recoil electrons, which are given the energy

$$E_e(\gamma_1' \rightarrow \gamma_2') = \int_{\gamma_1'}^{\gamma_2'} E \sigma_3(\gamma') d\gamma'. \quad (21)$$

The average energy per scattered photon is then

$$\bar{E}_q(\gamma'_1 \rightarrow \gamma'_2) = \frac{E_q(\gamma'_1 \rightarrow \gamma'_2)}{\Phi_3(\gamma'_1 \rightarrow \gamma'_2)}, \quad (22)$$

and the average energy per recoil electron is

$$\bar{E}_e(\gamma'_1 \rightarrow \gamma'_2) = \frac{E_e(\gamma'_1 \rightarrow \gamma'_2)}{\Phi_3(\gamma'_1 \rightarrow \gamma'_2)}. \quad (23)$$

The fraction of the scattered energy in the form of photons is

$$F_q(\gamma'_1 \rightarrow \gamma'_2) = \frac{E_q(\gamma'_1 \rightarrow \gamma'_2)}{E_t(\gamma'_1 \rightarrow \gamma'_2)}, \quad (24)$$

and the fraction given to the recoil electrons is

$$F_e(\gamma'_1 \rightarrow \gamma'_2) = \frac{E_e(\gamma'_1 \rightarrow \gamma'_2)}{E_t(\gamma'_1 \rightarrow \gamma'_2)}. \quad (25)$$

Just as in the case of the integrated cross-sections, it is sufficient to tabulate the integrals from a variable lower limit  $\gamma'_1$  to the fixed upper limit  $\gamma$ . The integrals can all be done analytically.

We have 
$$E_t(\gamma'_1 \rightarrow \gamma) = \gamma \Phi_3(\gamma'_1 \rightarrow \gamma), \quad (26)$$

$$E_q(\gamma'_1 \rightarrow \gamma) = \phi_0 \frac{3}{8\gamma^2} \left\{ \left( \frac{4}{3} \gamma^2 - \gamma - \frac{3}{2} \right) - \frac{\gamma_1'^3}{3\gamma} - \left( \frac{2}{\gamma} + \frac{1}{\gamma^2} \right) \frac{\gamma_1'^2}{2} - \left( \gamma - 2 - \frac{2}{\gamma} \right) \gamma_1' + \ln \frac{\gamma}{\gamma_1'} \right\}, \quad (27)$$

$$E_e(\gamma'_1 \rightarrow \gamma) = E_t(\gamma'_1 \rightarrow \gamma) - E_q(\gamma'_1 \rightarrow \gamma). \quad (28)$$



Values of the energies (27) and (28) are included in Table IV with values of the integrated cross-section (17).

Since the case where the scattered energy limits cover the entire permissible range is particularly important, a separate listing of it, Table VIII, is included in this report. The analytic forms for the various energies are obtained by substituting the minimum possible energy of the scattered photon,  $\gamma'_1 = \gamma/(1+2\gamma)$ , as the lower limit, and the maximum possible energy of the scattered photon,  $\gamma'_2 = \gamma$ , as the upper limit, in the preceding formulae. We have

$$E_t = E_t(\gamma/(1+2\gamma) \rightarrow \gamma) = \gamma \bar{\Phi}, \quad (\bar{\Phi} \text{ given by (18)}). \quad (29)$$

$$E_q = E_q(\gamma/(1+2\gamma) \rightarrow \gamma) = \phi_0 \frac{3}{8} \left\{ \frac{\frac{32}{3} \gamma^3 + 4\gamma^2 - 12\gamma - 10 - \frac{\epsilon}{\gamma}}{(1+2\gamma)^3} + \frac{1}{\gamma^2} \ln(1+2\gamma) \right\}. \quad (30)$$

$$E_e = E_e(\gamma/(1+2\gamma) \rightarrow \gamma) = \phi_0 \frac{3}{8} \left\{ \frac{-\frac{20}{3} \gamma^3 + 34\gamma^2 + 62\gamma + 34 + \frac{6}{\gamma}}{(1+2\gamma)^3} + \left(1 - \frac{2}{\gamma} - \frac{3}{\gamma^2}\right) \ln(1+2\gamma) \right\}. \quad (31)$$

Equations analogous to (22) to (25) give the average energies of scattered photon and electron as well as the fractional energy obtained by each.

## E. DESCRIPTION OF THE TABLES

The differential cross-sections, integrated cross-sections, and the energies defined above have been computed using the IBM CPEC. The numerical results of such calculation are obtained in a so-called "floating decimal" notation, which, for reasons of mechanical convenience, has been retained in printing the tables. In this notation, a positive number N of the form

$$N = A \times 10^p; 1 \leq A < 10.$$

is recorded in the tables by giving the digits of A followed by a space and then two digits  $q = 50 + p$  representing the exponent.

Several examples are

Number	"Floating Decimal" Equivalent
1.732	1732 50
.001732	1732 47
47.59	4759 51

Negative numbers are indicated by the letter N or by an asterisk following the exponent. In some exceptional cases, readily discernible in the tables, ordinary decimal notation is used.

The differential cross-sections  $\sigma_1$ ,  $\sigma_3$ , and  $\sigma_4$  are each listed in two sets of tables. The second set, Tables V, VI, and VII, lists respectively  $\sigma_1(w, \phi)$  vs.  $w$ ,  $\sigma_3(\gamma')$  vs.  $\gamma'$ , and  $\sigma_4(w', \phi)$  vs.  $w'$  all with  $\gamma$ , the energy of the incident quantum, as a parameter. The first set of tables, Tables I, II, and III, is an elaboration of the second. In each table,  $\gamma$  is considered as a parameter and one variable is taken at regular intervals; the other corresponding variables and dif-

ferential cross-sections are then calculated. For example, in Table I  $w$  is chosen at regular intervals. Next  $\sigma_1(w, \phi)$  is listed. The values of  $\gamma'$  and  $E$  corresponding to  $w$  are found together with  $\sigma_3(\gamma')$  in columns 3, 4, and 5. Lastly,  $w'$  and the associated  $\sigma_4(w', \phi')$  for these values of  $w$  are recorded in columns 6 and 7. Thus all the parts of the Compton process can be related at a glance.

Table IV lists the integrated cross-section  $\bar{\sigma}_3(\gamma'_1 \rightarrow \gamma)$ , (equation (17)); the energy of the scattered quantum  $E_q(\gamma'_1 \rightarrow \gamma)$ , (equation (27)); and of the recoil electron  $E_e(\gamma'_1 \rightarrow \gamma)$ , (equation (28)); all as a function of the lower limit of the scattered quantum energy  $\gamma'_1, \gamma$  considered as a parameter. In an abbreviated table, Table VIII, the total cross-sections and total averaged energies are given for various  $\gamma$ .

#### F. RECOMMENDED INTERPOLATION PROCEDURE

Tables I and V:  $\sigma_1$  as a function of  $\gamma$  and  $w$ .

Linear interpolation for intermediary values of  $\gamma$  is good to better than 1% for all  $\gamma$ . Linear interpolation for intermediary values of  $w$  is also good to better than 1% for all values of  $w$  provided that  $\gamma < 10$ . For large  $\gamma$ , errors in linear interpolation exceed 1% for values of  $w$  close to 1. In this range, however, we may use linear interpolation in Table III which lists  $\sigma_1$  computed at very small, but unequal intervals in  $w$ .

Tables II and VI:  $\sigma_3$  as a function of  $\gamma$  and  $\gamma'$ .

Linear interpolation for intermediary values of  $\gamma$  gives small errors for  $\gamma > 1.0$ . Errors increase to about 10% in going to  $\gamma = 0.5$ . For smaller values of  $\gamma$  the tables are not complete enough to make interpolation feasible and equation (11) must be used directly. Linear interpolation for intermediary values of  $\gamma'$  is good for all  $\gamma$  and  $\gamma'$ .

Tables III and VII:  $\sigma_4$  as a function of  $\gamma$  and  $w'$ .

Linear interpolation for intermediary values of  $\gamma$  gives small errors throughout. It also is satisfactory for all intermediary values of  $w'$  provided that  $\gamma < 1$ . For  $\gamma > 1$ , interpolation errors become large at places in the tables where the interval in  $w'$  is increased and when  $w'$  is close to 1.0. At the former points, quadratic interpolation is necessary. At the latter values, one can refer to Table I where  $\sigma_4$  is computed for small but unequal intervals of  $w'$  in this range.

Table IV: Integrated cross sections and energies.

Linear interpolation for intermediary values of  $\gamma$  gives errors less than 2% for all three integrals with the general error considerably smaller. Linear interpolation on  $\gamma'$  gives very small errors for all  $\gamma$ , except in the region of  $\gamma' = \gamma$ . The errors are still small, however, for the first two integrals. The large error in the third may be overcome by interpolating for the desired  $\gamma'$  in the first two integrals and applying equation (28).

Table VIII: Total cross-sections and energies.

This is a single entry table. Linear interpolation gives very small errors throughout.

Table B at the end of this introduction summarizes the interpolation errors in the several functions.

G. ASYMPTOTIC FORMULAE FOR LARGE  $\gamma$ .

The tables do not list values of the functions for  $\gamma$ , the energy of the incident quantum, greater than 50. They may be computed by using the following formulae: For the total cross section, cf. equation (18),

$$\mathbb{I}(\gamma) = \phi_0 \frac{3}{8} \left\{ \frac{1}{2\gamma} + \frac{9}{2\gamma^2} - \frac{5}{4\gamma^3} + o\left(\frac{1}{\gamma^4}\right) + \left(\frac{1}{\gamma} - \frac{2}{\gamma^2} - \frac{2}{\gamma^3}\right) \ln 2\gamma \right\}. \quad (32)$$

For the energy of the scattered quanta, cf. equation (30),

$$E_q = \phi_0 \frac{3}{8} \left\{ \frac{4}{3} - \frac{3}{2\gamma} - \frac{1}{4\gamma^2} + o\left(\frac{1}{\gamma^3}\right) + \frac{1}{\gamma^2} \ln 2\gamma \right\}. \quad (33)$$

For the energy of the recoil electron, cf. equation (31),

$$E_e = \phi_0 \frac{3}{8} \left\{ -\frac{5}{6} + \frac{6}{\gamma} - \frac{1}{\gamma^2} + o\left(\frac{1}{\gamma^3}\right) + \left(1 - \frac{2}{\gamma} - \frac{3}{\gamma^2}\right) \ln 2\gamma \right\}. \quad (34)$$

TABLE A: COLLISION VARIABLES AND JACOBIANS

	I	II	III
Independent Variables	$\gamma, w$	$\gamma, \gamma'$	$\gamma, E$
Dependent Variables	$\gamma', E, w'$	$w, E, w'$	$\gamma', w, w'$
Equations	$\gamma' = \frac{\gamma}{1+\gamma(1-w)}$ $E = \gamma - \gamma'$ $w' = \frac{(1+\gamma)^2(1-w)}{\sqrt{(1+\gamma)^2(1-w)+(1+w)}}$	$w = 1 - \frac{1}{\gamma'} + \frac{1}{\gamma}$ $E = \gamma - \gamma'$ $w' = \frac{(1+\gamma)^2(1-w)}{\sqrt{(1+\gamma)^2(1-w)+(1+w)}}$	$w = 1 - \frac{1}{\gamma'} + \frac{1}{\gamma}$ $\gamma' = \gamma - E$ $w' = \frac{(1+\gamma)^2(1-w)}{\sqrt{(1+\gamma)^2(1-w)+(1+w)}}$
Jacobians		$\frac{\partial \gamma'}{\partial w} = \gamma'^2$	$\frac{\partial E}{\partial \gamma'} = -1$
	IV	V	VI
Independent Variables	$\gamma, w'$	$\gamma', w$	$\gamma', E$
Dependent Variables	$w, \gamma', E$	$\gamma, E, w'$	$\gamma, w, w'$
Equations	$\gamma' = \frac{\gamma}{1+\gamma(1-w)}$ $E = \gamma - \gamma'$ $w = \frac{(1+\gamma)^2 - w'^2 [(1+\gamma)^2 + 1]}{(1+\gamma)^2 - w'^2 [(1+\gamma)^2 - 1]}$	$\gamma = \frac{\gamma'}{1 - \gamma'(1-w)}$ $E = \gamma - \gamma'$ $w' = \frac{(1+\gamma)^2(1-w)}{\sqrt{(1+\gamma)^2(1-w)+(1+w)}}$	$\gamma = \gamma' + E$ $w = 1 - \frac{1}{\gamma'} + \frac{1}{\gamma}$ $w' = \frac{(1+\gamma)^2(1-w)}{\sqrt{(1+\gamma)^2(1-w)+(1+w)}}$
Jacobians	$\frac{\partial(w, \phi)}{\partial(w', \phi')} = \frac{-4(1+\gamma)^2 w'}{\{(1+\gamma)^2 - [(1+\gamma)^2 - 1] w'^2\}^2}$		

11-11

TABLE B						
<u>Sample Errors in Interpolation Procedure</u>						
$\gamma$	Range of w	% error in $\sigma_1$	$\delta^1$	% error in $\sigma_3$	Range of w'	% error in $\sigma_4$
.1	-1.00 - .30	.26	.086	1.4	1.00 - .90	.05
	.35 - .60	.06	.092	1.3	.88 - .80	.17
	.62 - 1.00	.008			.75 - .00	.62
1.0	-1.00 - .30	.39	.34	.03	1.00 - .90	.45
	.35 - .60	.12	.41	.08	.88 - .80	.35
	.62 - 1.00	.02	.95	.006	.75 - .00	.22
10.0	-1.00 - .60	.84	.55	.28	1.00 - .95	.17 <sup>2</sup>
	.62 - .90	.29	2.5	1.00		
	.91 - 1.00	.18 <sup>1</sup>	9.5	.03	.75	.33 <sup>3</sup>
50.0	-1.00 - .60	.96	.55	.22	1.00 - .990	.10 <sup>2</sup>
	.62 - .95	.58	2.50	1.05	.985	1.00 <sup>3</sup>
	.95 - 1.00	.27 <sup>1</sup>	12.0	.67	.75	.33 <sup>3</sup>

- 1 From Table III
- 2 From Table I
- 3 Quadratic Interpolation

Compton Cross Sections vs. Angle of Scattered Quantum

00 00 = $\gamma$		$\sigma_1(w, \phi)$		$\gamma'$	$\sigma_3(\gamma')$	E	$w'$	$\sigma_4(w', \phi)$				
w		$\phi_0$						$\phi_0$	$\phi_0$			
10	50N	1193662	49	0000000	00	INF	0000000	00	1000000	50	4774648	49
90	49N	1080264	49	0000000	00	INF	0000000	00	9746794	49	4211645	49
80	49N	9788028	48	0000000	00	INF	0000000	00	9486833	49	3714295	49
70	49N	8892782	48	0000000	00	INF	0000000	00	9219544	49	3279496	49
60	49N	8116902	48	0000000	00	INF	0000000	00	8944271	49	2903991	49
50	49N	7460387	48	0000000	00	INF	0000000	00	8660254	49	2584354	49
40	49N	6923239	48	0000000	00	INF	0000000	00	8366600	49	2316959	49
30	49N	6505458	48	0000000	00	INF	0000000	00	8062257	49	2097947	49
20	49N	6207042	48	0000000	00	INF	0000000	00	7745966	49	1923181	49
10	49N	6027993	48	0000000	00	INF	0000000	00	7416198	49	1788191	49
00	00	5968310	48	0000000	00	INF	0000000	00	7071067	49	1688093	49
10	49	6027993	48	0000000	00	INF	0000000	00	6708203	49	1617480	49
20	49	6207042	48	0000000	00	INF	0000000	00	6324555	49	1570271	49
30	49	6505458	48	0000000	00	INF	0000000	00	5916079	49	1539472	49
35	49	6699428	48	0000000	00	INF	0000000	00	5700877	49	1527704	49
40	49	6923239	48	0000000	00	INF	0000000	00	5477225	49	1516805	49
45	49	7176893	48	0000000	00	INF	0000000	00	5244044	49	1505437	49
50	49	7460387	48	0000000	00	INF	0000000	00	5000000	49	1492077	49
55	49	7773724	48	0000000	00	INF	0000000	00	4743416	49	1474960	49
60	49	8116902	48	0000000	00	INF	0000000	00	4472135	49	1451995	49
62	49	8262528	48	0000000	00	INF	0000000	00	4358898	49	1440621	49
64	49	8412930	48	0000000	00	INF	0000000	00	4242640	49	1427721	49
66	49	8568106	48	0000000	00	INF	0000000	00	4123105	49	1413088	49
68	49	8728057	48	0000000	00	INF	0000000	00	4000000	49	1396489	49
70	49	8892782	48	0000000	00	INF	0000000	00	3872983	49	1377663	49
72	49	9062282	48	0000000	00	INF	0000000	00	3741657	49	1356318	49
74	49	9236557	48	0000000	00	INF	0000000	00	3605551	49	1332115	49
76	49	9415606	48	0000000	00	INF	0000000	00	3464101	49	1304664	49
78	49	9599430	48	0000000	00	INF	0000000	00	3316624	49	1273508	49
80	49	9788028	48	0000000	00	INF	0000000	00	3162277	49	1238098	49
82	49	9981402	48	0000000	00	INF	0000000	00	3000000	49	1197768	49
84	49	1017955	49	0000000	00	INF	0000000	00	2828427	49	1151684	49
86	49	1038247	49	0000000	00	INF	0000000	00	2645751	49	1098777	49
88	49	1059017	49	0000000	00	INF	0000000	00	2449489	49	1037620	49
90	49	1080264	49	0000000	00	INF	0000000	00	2236068	49	9662176	48
92	49	1101988	49	0000000	00	INF	0000000	00	2000000	49	8815910	48
94	49	1124190	49	0000000	00	INF	0000000	00	1732050	49	7788623	48
96	49	1146870	49	0000000	00	INF	0000000	00	1414213	49	6487679	48
98	49	1170027	49	0000000	00	INF	0000000	00	1000000	49	4680110	48
10	50	1193662	49	0000000	00	INF	0000000	00	0000000	00	0000000	00



Compton Cross Sections vs. Angle of Scattered Quantum

$10 \ 49 = \gamma$		$\sigma_s(w, \phi)$	$\gamma'$	$\sigma_s(\gamma')$	E	w'	$\sigma_s(w', \phi)$						
W		$\phi_s$		$\phi_s$			$\phi_s$						
10	50 N	8427475	48	8333333	48	7624999	51	1666667	48	1000000	50	4078897	49
90	49 N	7756300	48	8403361	48	6901260	51	1596639	48	9789361	49	3611471	49
80	49 N	7147302	48	8474576	48	6252966	51	1525424	48	9570244	49	3196712	49
70	49 N	6603992	48	8547008	48	5680128	51	1452991	48	9341946	49	2832550	49
60	49 N	6130066	48	8620689	48	5182758	51	1379310	48	9103664	49	2516759	49
50	49 N	5729420	48	8695652	48	4760869	51	1304348	48	8854475	49	2246933	49
40	49 N	5406165	48	8771929	48	4414473	51	1228070	48	8593300	49	2020462	49
30	49 N	5164632	48	8849557	48	4143584	51	1150442	48	8318875	49	1834499	49
20	49 N	5009389	48	8928571	48	3948214	51	1071429	48	8029696	49	1685913	49
10	49 N	4945258	48	9009009	48	3828378	51	9909910	47	7723946	49	1571238	49
00	00	4977328	48	9090909	48	3784090	51	9090910	47	7399400	49	1486592	49
10	49	5110971	48	9174311	48	3815367	51	8256880	47	7053279	49	1427580	49
20	49	5351860	48	9259259	48	3922222	51	7407410	47	6682024	49	1389139	49
30	49	5705991	48	9345794	48	4104672	51	6542060	47	6280955	49	1365323	49
35	49	5927488	48	9389671	48	4224251	51	6103290	47	6067334	49	1356716	49
40	49	6179698	48	9433962	48	4362735	51	5660380	47	5843683	49	1348947	49
45	49	6463472	48	9478673	48	4520127	51	5213270	47	5608768	49	1340831	49
50	49	6779681	48	9523809	48	4696428	51	4761900	47	5361072	49	1331005	49
55	49	7129222	48	9569378	48	4891641	51	4306220	47	5098691	49	1317881	49
60	49	7513021	48	9615384	48	5105769	51	3846150	47	4819187	49	1299566	49
62	49	7676344	48	9633911	48	5196716	51	3660890	47	4701903	49	1290285	49
64	49	7845363	48	9652509	48	5290691	51	3474900	47	4581124	49	1279637	49
66	49	8020138	48	9671179	48	5387692	51	3288200	47	4456564	49	1267431	49
68	49	8200734	48	9689922	48	5487721	51	3100770	47	4327892	49	1253455	49
70	49	8387216	48	9708737	48	5590776	51	2912620	47	4194726	49	1237469	49
72	49	8579647	48	9727626	48	5696860	51	2723730	47	4056622	49	1219205	49
74	49	8778094	48	9746588	48	5805970	51	2534110	47	3913052	49	1198354	49
76	49	8982623	48	9765625	48	5918109	51	2343750	47	3763388	49	1174556	49
78	49	9193302	48	9784735	48	6033276	51	2152640	47	3606865	49	1147393	49
80	49	9410197	48	9803921	48	6151470	51	1960780	47	3442546	49	1116361	49
82	49	9633378	48	9823182	48	6272693	51	1768170	47	3269250	49	1080847	49
84	49	9862915	48	9842519	48	6396945	51	1574800	47	3085459	49	1040090	49
86	49	1009887	49	9861932	48	6524224	51	1380670	47	2889168	49	9931067	48
88	49	1034133	49	9881422	48	6654533	51	1185770	47	2677622	49	9385914	48
90	49	1059036	49	9900990	48	6787871	51	9901000	46	2446862	49	8747174	48
92	49	1084603	49	9920634	48	6924238	51	7936500	46	2190817	49	7987623	48
94	49	1110842	49	9940357	48	7063634	51	5964200	46	1899282	49	7062712	48
96	49	1137759	49	9960159	48	7206059	51	3984100	46	1552378	49	5887937	48
98	49	1165363	49	9980039	48	7351515	51	1996000	46	1098846	49	4251042	48
10	50	1193662	49	1000000	49	7500000	51	0000000	00	0000000	00	0000000	00

Compton Cross Sections vs. Angle of Scattered Quantum

20 49 = $\gamma$		$\sigma_1(w, \phi)$		$\gamma'$		$\sigma_2(\gamma')$		E		$w'$		$\sigma_1(w', \phi)$	
w		$\phi_0$				$\phi_0$						$\phi_0$	
10	50N	6438119	48	1428571	49	1982142	51	5714286	48	1000000	50	3708356	49
90	49N	6000394	48	1449275	49	1794972	51	5507246	48	9823113	49	3291809	49
80	49N	5599466	48	1470588	49	1626838	51	5294118	48	9635179	49	2920618	49
70	49N	5239285	48	1492537	49	1477751	51	5074627	48	9438377	49	2593236	49
60	49N	4924184	48	1515151	49	1347727	51	4848485	48	9230769	49	2307932	49
50	49N	4658922	48	1538461	49	1236778	51	4615385	48	9011271	49	2062872	49
40	49N	4448729	48	1562500	49	1144921	51	4375000	48	8778622	49	1855989	49
30	49N	4299359	48	1587301	49	1072172	51	4126984	48	8531343	49	1685002	49
20	49N	4217143	48	1612903	49	1018548	51	3870968	48	8267673	49	1547367	49
10	49N	4209062	48	1639344	49	9840675	50	3606557	48	7985494	49	1440216	49
00	00	4282815	48	1666666	49	9687499	50	3333333	48	7682212	49	1360293	49
10	49	4446903	48	1694915	49	9726165	50	3050847	48	7354600	49	1303851	49
20	49	4710729	48	1724137	49	9956896	50	2758621	48	6992542	49	1266507	49
30	49	5084696	48	1754386	49	1037993	51	2456140	48	6608644	49	1243044	49
35	49	5316539	48	1769911	49	1066364	51	2300885	48	6398818	49	1234578	49
40	49	5580337	48	1785714	49	1099553	51	2142857	48	6177584	49	1227070	49
45	49	5877731	48	1801801	49	1137563	51	1981982	48	5943534	49	1219448	49
50	49	6210450	48	1818181	49	1180397	51	1818182	48	5694947	49	1210476	49
55	49	6580318	48	1834862	49	1228060	51	1651376	48	5429672	49	1198708	49
60	49	6989257	48	1851851	49	1280555	51	1481481	48	5144957	49	1182410	49
62	49	7164224	48	1858736	49	1302907	51	1412639	48	5024855	49	1174162	49
64	49	7345900	48	1865671	49	1326033	51	1343284	48	4900794	49	1164697	49
66	49	7534425	48	1872659	49	1349934	51	1273408	48	4772455	49	1153838	49
68	49	7729938	48	1879699	49	1374609	51	1203008	48	4639468	49	1141389	49
70	49	7932584	48	1886792	49	1400058	51	1132075	48	4501406	49	1127132	49
72	49	8142510	48	1893939	49	1426284	51	1060606	48	4357775	49	1110816	49
74	49	8359866	48	1901140	49	1453284	51	9885930	47	4207986	49	1092158	49
76	49	8584806	48	1908396	49	1481061	51	9160310	47	4051342	49	1070825	49
78	49	8817488	48	1915708	49	1509613	51	8429120	47	3886995	49	1046430	49
80	49	9058072	48	1923076	49	1538942	51	7692310	47	3713906	49	1018510	49
82	49	9306723	48	1930501	49	1569047	51	6949810	47	3530769	49	9864980	48
84	49	9563608	48	1937984	49	1599930	51	6201550	47	3335908	49	9496901	48
86	49	9828900	48	1945525	49	1631590	51	5447470	47	3127109	49	9071818	48
88	49	1010277	49	1953125	49	1664027	51	4687500	47	2901339	49	8577683	48
90	49	1038541	49	1960784	49	1697242	51	3921570	47	2654243	49	7997676	48
92	49	1067699	49	1968503	49	1731236	51	3149610	47	2379154	49	7306736	48
94	49	1097771	49	1976284	49	1766008	51	2371540	47	2064877	49	6463891	48
96	49	1128775	49	1984127	49	1801559	51	1587300	47	1689638	49	5391492	48
98	49	1160732	49	1992031	49	1837889	51	7968100	46	1197368	49	3894672	48
10	50	1193662	49	2000000	49	1875000	51	0000000	00	0000000	00	0000000	00

Compton Cross Sections vs. Angle of Scattered Quantum

30 49 = $\gamma$		$\sigma_1(w, \phi)$		$\gamma'$		$\sigma_2(\gamma')$		E		$w'$		$\sigma_3(w', \phi)$	
w		$\phi_0$				$\phi_0$						$\phi_0$	
10	50N	5187300	48	1875000	49	9270833	50	1125000	49	1000000	50	3506615	49
90	49N	4883662	48	1910828	49	8403927	50	1089172	49	9847830	49	3119736	49
80	49N	4603699	48	1948052	49	7622294	50	1051948	49	9686638	49	2773443	49
70	49N	4351052	48	1986755	49	6926048	50	1013245	49	9515525	49	2466496	49
60	49N	4129849	48	2027027	49	6315315	50	9729730	48	9333456	49	2197523	49
50	49N	3944776	48	2068965	49	5790229	50	9310345	48	9139230	49	1965001	49
40	49N	3801158	48	2112676	49	5350939	50	8873239	48	8931446	49	1767231	49
30	49N	3705055	48	2158273	49	4997602	50	8417266	48	8708448	49	1602307	49
20	49N	3663379	48	2205882	49	4730392	50	7941176	48	8468261	49	1468075	49
10	49N	3684027	48	2255639	49	4549498	50	7443609	48	8208500	49	1362082	49
00	00	3776036	48	2307692	49	4455128	50	6923077	48	7926239	49	1281507	49
10	49	3949769	48	2362204	49	4447506	50	6377953	48	7617826	49	1223067	49
20	49	4217143	48	2419354	49	4526881	50	5806452	48	7278602	49	1182881	49
30	49	4591886	48	2479338	49	4693526	50	5206612	48	6902461	49	1156277	49
35	49	4824383	48	2510460	49	4809667	50	4895398	48	6698074	49	1146318	49
40	49	5089856	48	2542372	49	4947739	50	4576271	48	6481124	49	1137479	49
45	49	5390681	48	2575107	49	5107787	50	4248927	48	6250026	49	1128782	49
50	49	5729420	48	2608695	49	5289854	50	3913043	48	6002842	49	1119094	49
55	49	6108839	48	2643171	49	5493988	50	3568282	48	5737155	49	1107084	49
60	49	6531917	48	2678571	49	5720237	50	3214286	48	5449883	49	1091153	49
62	49	6714087	48	2692998	49	5816942	50	3070018	48	5328066	49	1083258	49
64	49	6903973	48	2707581	49	5917196	50	2924188	48	5201849	49	1074279	49
66	49	7101799	48	2722323	49	6021004	50	2776769	48	5070875	49	1064055	49
68	49	7307797	48	2737226	49	6128369	50	2627737	48	4934732	49	1052403	49
70	49	7522207	48	2752293	49	6239296	50	2477064	48	4792949	49	1039120	49
72	49	7745274	48	2767527	49	6353788	50	2324723	48	4644973	49	1023976	49
74	49	7977255	48	2782931	49	6471849	50	2170687	48	4490157	49	1006705	49
76	49	8218412	48	2798507	49	6593482	50	2014925	48	4327727	49	9870009	48
78	49	8469017	48	2814258	49	6718692	50	1857411	48	4156748	49	9645036	48
80	49	8729350	48	2830188	49	6847484	50	1698113	48	3976074	49	9387828	48
82	49	8999702	48	2846299	49	6979860	50	1537002	48	3784268	49	9093145	48
84	49	9280373	48	2862595	49	7115827	50	1374046	48	3579488	49	8754458	48
86	49	9571671	48	2879078	49	7255387	50	1209213	48	3359306	49	8363380	48
88	49	9873917	48	2895752	49	7398545	50	1042471	48	3120399	49	7908755	48
90	49	1018744	49	2912621	49	7545307	50	8737860	47	2858005	49	7375008	48
92	49	1051258	49	2929687	49	7695677	50	7031250	47	2564846	49	6738951	48
94	49	1084970	49	2946954	49	7849659	50	5304520	47	2228717	49	5962691	48
96	49	1119216	49	2964426	49	8007259	50	3557310	47	1825921	49	4974455	48
98	49	1156133	49	2982107	49	8168482	50	1789260	47	1295538	49	3594216	48
10	50	1193662	49	3000000	49	8333333	50	0000000	00	0000000	00	0000000	00

Compton Cross Sections vs. Angle of Scattered Quantum

40 49 = $\gamma$		$\sigma_1(w, \phi)$		$\gamma'$		$\sigma_s(\gamma')$		E		$w'$		$\sigma_1(w', \phi)$	
w		$\phi_0$				$\phi_0$						$\phi_0$	
10	50N	4339100	48	2222222	49	5520833	50	1777777	49	1000000	50	3401855	49
90	49N	4119748	48	2272727	49	5011363	50	1727272	49	9868380	49	3033166	49
80	49N	3916593	48	2325581	49	4550145	50	1674418	49	9728062	49	2701658	49
70	49N	3732812	48	2380952	49	4137276	50	1619047	49	9578104	49	2406308	49
60	49N	3572101	48	2439024	49	3772865	50	1560975	49	9417419	49	2145972	49
50	49N	3438772	48	2500000	49	3457031	50	1500000	49	9244734	49	1919370	49
40	49N	3337862	48	2564102	49	3189903	50	1435897	49	9058554	49	1725058	49
30	49N	3275272	48	2631579	49	2971628	50	1368421	49	8857103	49	1561403	49
20	49N	3257927	48	2702702	49	2802364	50	1297297	49	8638245	49	1426537	49
10	49N	3293981	48	2777777	49	2682291	50	1222222	49	8399389	49	1318315	49
00	00	3393062	48	2857142	49	2611607	50	1142857	49	8137334	49	1234245	49
10	49	3566575	48	2941176	49	2590533	50	1058823	49	7848068	49	1171397	49
20	49	3828075	48	3030303	49	2619318	50	9696970	48	7526446	49	1126280	49
30	49	4193736	48	3125000	49	2698242	50	8750000	48	7165703	49	1094653	49
35	49	4421537	48	3174603	49	2756603	50	8253968	48	6967914	49	1082300	49
40	49	4682932	48	3225806	49	2827620	50	7741936	48	6756639	49	1071234	49
45	49	4980965	48	3278688	49	2911340	50	7213115	48	6530115	49	1060553	49
50	49	5318980	48	3333333	49	3007812	50	6666667	48	6286185	49	1049211	49
55	49	5700660	48	3389830	49	3117088	50	6101695	48	6022163	49	1035973	49
60	49	6130066	48	3448275	49	3239224	50	5517241	48	5734623	49	1019357	49
62	49	6316179	48	3472222	49	3291692	50	5277778	48	5612064	49	1011369	49
64	49	6510947	48	3496503	49	3346232	50	5034965	48	5484692	49	1002416	49
66	49	6714689	48	3521126	49	3402847	50	4788732	48	5352113	49	9923479	48
68	49	6927740	48	3546099	49	3461542	50	4539007	48	5213872	49	9809941	48
70	49	7150444	48	3571428	49	3522321	50	4285714	48	5069447	49	9681656	48
72	49	7383165	48	3597122	49	3585188	50	4028777	48	4918231	49	9536475	48
74	49	7626277	48	3623188	49	3650149	50	3768116	48	4759508	49	9371933	48
76	49	7880175	48	3649635	49	3717208	50	3503650	48	4592427	49	9185178	48
78	49	8145267	48	3676470	49	3786369	50	3235294	48	4415962	49	8972856	48
80	49	8421979	48	3703703	49	3857638	50	2962963	48	4228854	49	8730959	48
82	49	8710758	48	3731343	49	3931021	50	2686567	48	4029530	49	8454614	48
84	49	9012067	48	3759398	49	4006522	50	2406015	48	3815974	49	8137742	48
86	49	9326393	48	3787878	49	4084147	50	2121212	48	3585536	49	7772548	48
88	49	9654240	48	3816793	49	4163902	50	1832061	48	3334593	49	7348655	48
90	49	9996139	48	3846153	49	4245793	50	1538462	48	3057964	49	6851586	48
92	49	1035264	49	3875969	49	4329825	50	1240310	48	2747740	49	6259794	48
94	49	1072432	49	3906250	49	4416005	50	9375000	47	2390689	49	5538075	48
96	49	1111178	49	3937007	49	4504340	50	6299210	47	1961161	49	4619766	48
98	49	1151566	49	3968254	49	4594836	50	3174600	47	1393328	49	3337683	48
10	50	1193662	49	4000000	49	4687500	50	0000000	00	0000000	00	0000000	00

Compton Cross Sections vs. Angle of Scattered Quantum

50 49 = $\gamma$		$\sigma_1(w, \phi)$		$\gamma'$		$\sigma_2(\gamma')$		E		$w'$		$\sigma_3(w', \phi)$	
w		$\phi_0$				$\phi_0$						$\phi_0$	
10	50N	3730194	48	2500000	49	3750000	50	2500000	49	1000000	50	3357174	49
90	49N	3567363	48	2564102	49	3409230	50	2435897	49	9885053	49	2999853	49
80	49N	3416181	48	2631579	49	3099473	50	2368421	49	9761870	49	2677129	49
70	49N	3279371	48	2702702	49	2820810	50	2297297	49	9629500	49	2388139	49
60	49N	3160175	48	2777777	49	2573333	50	2222222	49	9486833	49	2131915	49
50	49N	3062456	48	2857142	49	2357142	50	2142857	49	9332565	49	1907356	49
40	49N	2990836	48	2941176	49	2172353	50	2058823	49	9165151	49	1713216	49
30	49N	2950856	48	3030303	49	2019090	50	1969696	49	8982742	49	1548069	49
20	49N	2949184	48	3125000	49	1897500	50	1875000	49	8783100	49	1410273	49
10	49N	2993871	48	3225806	49	1807742	50	1774193	49	8563488	49	1297923	49
00	00	3094679	48	3333333	49	1750000	50	1666666	49	8320502	49	1208786	49
10	49	3263495	48	3448275	49	1724482	50	1551724	49	8049844	49	1140218	49
20	49	3514864	48	3571428	49	1731428	50	1428571	49	7745966	49	1089041	49
30	49	3866681	48	3703703	49	1771111	50	1296296	49	7401527	49	1051363	49
35	49	4086979	48	3773584	49	1803325	50	1226415	49	7211102	49	1036112	49
40	49	4341083	48	3846153	49	1843846	50	1153846	49	7006490	49	1022307	49
45	49	4632615	48	3921568	49	1892720	50	1078431	49	6785758	49	1009111	49
50	49	4965634	48	4000000	49	1950000	50	1000000	49	6546536	49	9955485	48
55	49	5344688	48	4081632	49	2015739	50	9183673	48	6285872	49	9804674	48
60	49	5774892	48	4166666	49	2090000	50	8333333	48	6000000	49	9624821	48
62	49	5962561	48	4201680	49	2122104	50	7983193	48	5877538	49	9541051	48
64	49	6159728	48	4237288	49	2155586	50	7627118	48	5749889	49	9448670	48
66	49	6366811	48	4273504	49	2190451	50	7264957	48	5616617	49	9346259	48
68	49	6584253	48	4310344	49	2226703	50	6896551	48	5477225	49	9232241	48
70	49	6812516	48	4347826	49	2264347	50	6521739	48	5331139	49	9104842	48
72	49	7052089	48	4385964	49	2303389	50	6140351	48	5177693	49	8962050	48
74	49	7303483	48	4424778	49	2343833	50	5752212	48	5016103	49	8801565	48
76	49	7567236	48	4464285	49	2385685	50	5357143	48	4845437	49	8620718	48
78	49	7843917	48	4504504	49	2428951	50	4954955	48	4664573	49	8416377	48
80	49	8134120	48	4545454	49	2473636	50	4545454	48	4472135	49	8184801	48
82	49	8438476	48	4587156	49	2519746	50	4128440	48	4266409	49	7921438	48
84	49	8757645	48	4629629	49	2567288	50	3703703	48	4045199	49	7620617	48
86	49	9092325	48	4672897	49	2616269	50	3271028	48	3805622	49	7275061	48
88	49	9443253	48	4716981	49	2666694	50	2830188	48	3543746	49	6875095	48
90	49	9811203	48	4761904	49	2718571	50	2380952	48	3253956	49	6407216	48
92	49	1019699	49	4807692	49	2771907	50	1923077	48	2927700	49	5851334	48
94	49	1060149	49	4854369	49	2826710	50	1456310	48	2550690	49	5174621	48
96	49	1102561	49	4901960	49	2882988	50	9803920	47	2095290	49	4314914	48
98	49	1147031	49	4950495	49	2940748	50	4950490	47	1490712	49	3116280	48
10	50	1193662	49	5000000	49	3000000	50	0000000	00	0000000	00	0000000	00

Compton Cross Sections vs. Angle of Scattered Quantum

60 49 = $\gamma$		$\sigma_1(w, \phi)$		$\gamma'$	$\sigma_3(\gamma')$		E	$w'$	$\sigma_4(w', \phi)$				
w	$\phi_0$				$\phi_0$				$\phi_0$				
10	50N	3273378	48	2727272	49	2765151	50	3272727	49	1000000	50	3351939	49
90	49N	3150304	48	2803738	49	2518010	50	3196261	49	9898762	49	3001629	49
80	49N	3035982	48	2884615	49	2292468	50	3115384	49	9789804	49	2683874	49
70	49N	2932741	48	2970297	49	2088593	50	3029703	49	9672184	49	2397937	49
60	49N	2843405	48	3061224	49	1906462	50	2938775	49	9544799	49	2142980	49
50	49N	2771405	48	3157894	49	1746162	50	2842105	49	9406341	49	1918051	49
40	49N	2720923	48	3260869	49	1607789	50	2739130	49	9255250	49	1722058	49
30	49N	2697075	48	3370786	49	1491456	50	2629213	49	9089645	49	1553742	49
20	49N	2706146	48	3488372	49	1397286	50	2511627	49	8907235	49	1411643	49
10	49N	2755891	48	3614457	49	1325426	50	2385542	49	8705194	49	1294053	49
00	00	2855929	48	3750000	49	1276041	50	2250000	49	8479983	49	1198954	49
10	49	3018256	48	3896103	49	1249323	50	2103896	49	8227094	49	1123936	49
20	49	3257927	48	4054054	49	1245495	50	1945945	49	7940666	49	1066081	49
30	49	3593966	48	4225352	49	1264818	50	1774647	49	7612884	49	1021791	49
35	49	3805448	48	4316546	49	1283254	50	1683453	49	7430277	49	1003361	49
40	49	4050597	48	4411764	49	1307598	50	1588235	49	7232985	49	9865265	48
45	49	4333527	48	4511278	49	1337895	50	1488721	49	7018918	49	9705015	48
50	49	4658922	48	4615384	49	1374198	50	1384615	49	6785511	49	9543720	48
55	49	5032125	48	4724409	49	1416564	50	1275590	49	6529554	49	9370563	48
60	49	5459247	48	4838709	49	1465053	50	1161290	49	6246950	49	9172518	48
62	49	5646731	48	4885993	49	1486179	50	1114006	49	6125298	49	9082857	48
64	49	5844445	48	4934210	49	1508300	50	1065789	49	5998125	49	8985485	48
66	49	6052913	48	4983388	49	1531421	50	1016611	49	5864957	49	8879074	48
68	49	6272686	48	5033557	49	1555548	50	9664430	48	5725250	49	8762137	48
70	49	6504350	48	5084745	49	1580685	50	9152542	48	5578379	49	8633012	48
72	49	6748527	48	5136986	49	1606838	50	8630137	48	5423617	49	8489808	48
74	49	7005873	48	5190311	49	1634012	50	8096886	48	5260111	49	8330367	48
76	49	7277088	48	5244755	49	1662214	50	7552448	48	5086846	49	8152186	48
78	49	7562911	48	5300353	49	1691450	50	6996466	48	4902602	49	7952329	48
80	49	7864129	48	5357142	49	1721726	50	6428572	48	4705882	49	7727293	48
82	49	8181580	48	5415162	49	1753049	50	5848375	48	4494823	49	7472815	48
84	49	8516150	48	5474452	49	1785425	50	5255474	48	4267045	49	7183586	48
86	49	8868787	48	5535055	49	1818863	50	4649446	48	4019426	49	6852799	48
88	49	9240497	48	5597014	49	1853370	50	4029851	48	3747713	49	6471406	48
90	49	9632352	48	5660377	49	1888954	50	3396226	48	3445843	49	6026782	48
92	49	1004549	49	5725190	49	1925623	50	2748092	48	3104602	49	5500137	48
94	49	1048115	49	5791505	49	1963386	50	2084942	48	2708624	49	4860771	48
96	49	1094061	49	5859375	49	2002252	50	1406250	48	2228248	49	4050521	48
98	49	1142527	49	5928853	49	2042231	50	7114630	47	1587664	49	2923416	48
10	50	1193662	49	6000000	49	2083333	50	0000000	00	0000000	00	0000000	00

Compton Cross Sections vs. Angle of Scattered Quantum

70	49 = $\gamma$	$\sigma_i(w, \phi)$		$\gamma'$	$\sigma_s(\gamma')$		E	$w'$		$\sigma_s(w', \phi)$			
w		$\phi_0$			$\phi_0$					$\phi_0$			
10	50N	2918531	48	2916666	49	2155612	50	4083333	49	1000000	50	3373822	49
90	49N	2824456	48	3004291	49	1966212	50	3995708	49	9910167	49	3027589	49
80	49N	2737222	48	3097345	49	1792712	50	3902654	49	9813137	49	2712246	49
70	49N	2658830	48	3196347	49	1635169	50	3803653	49	9707994	49	2427156	49
60	49N	2591745	48	3301886	49	1493646	50	3698113	49	9593655	49	2171590	49
50	49N	2539006	48	3414634	49	1368218	50	3585365	49	9468829	49	1944711	49
40	49N	2504380	48	3535353	49	1258967	50	3464646	49	9331970	49	1745557	49
30	49N	2492552	48	3664921	49	1165989	50	3335078	49	9181196	49	1573008	49
20	49N	2509381	48	3804347	49	1089396	50	3195652	49	9014203	49	1425755	49
10	49N	2562229	48	3954802	49	1029315	50	3045197	49	8828123	49	1302255	49
00	00	2660411	48	4117647	49	9858943	49	2882353	49	8619342	49	1200671	49
10	49	2815784	48	4294478	49	9593088	49	2705521	49	8383215	49	1118794	49
20	49	3043567	48	4487179	49	9497644	49	2512820	49	8113657	49	1053927	49
30	49	3363450	48	4697986	49	9575057	49	2302013	49	7802481	49	1002722	49
35	49	3565678	48	4810996	49	9679478	49	2189003	49	7627903	49	9809595	48
40	49	3801158	48	4929577	49	9828255	49	2070422	49	7438323	49	9609287	48
45	49	4074408	48	5054151	49	1002184	50	1945848	49	7231513	49	9418899	48
50	49	4390648	48	5185185	49	1026077	50	1814814	49	7004728	49	9229807	48
55	49	4755928	48	5323193	49	1054558	50	1676806	49	6754522	49	9031798	48
60	49	5177283	48	5468750	49	1087691	50	1531250	49	6476484	49	8812554	48
62	49	5363320	48	5529225	49	1102262	50	1470774	49	6356236	49	8715629	48
64	49	5560212	48	5591054	49	1117593	50	1408945	49	6230176	49	8611783	48
66	49	5768582	48	5654281	49	1133689	50	1345718	49	6097792	49	8499762	48
68	49	5989095	48	5718954	49	1150556	50	1281045	49	5958497	49	8378164	48
70	49	6222461	48	5785124	49	1168198	50	1214876	49	5811612	49	8245418	48
72	49	6469437	48	5852842	49	1186622	50	1147157	49	5656351	49	8099745	48
74	49	6730835	48	5922165	49	1205834	50	1077834	49	5491789	49	7939111	48
76	49	7007520	48	5993150	49	1225840	50	1006849	49	5316828	49	7761161	48
78	49	7300419	48	6065857	49	1246646	50	9341421	48	5130146	49	7563132	48
80	49	7610527	48	6140350	49	1268259	50	8596491	48	4930125	49	7341734	48
82	49	7938909	48	6216696	49	1290688	50	7833037	48	4714750	49	7092961	48
84	49	8286705	48	6294964	49	1313939	50	7050359	48	4481449	49	6811835	48
86	49	8655144	48	6375227	49	1338020	50	6247723	48	4226853	49	6491972	48
88	49	9045542	48	6457564	49	1362940	50	5424354	48	3946380	49	6124887	48
90	49	9459317	48	6542056	49	1388708	50	4579439	48	3633507	49	5698749	48
92	49	9897996	48	6628787	49	1415333	50	3712121	48	3278336	49	5195945	48
94	49	1036322	49	6717850	49	1442826	50	2821497	48	2864400	49	4587689	48
96	49	1085676	49	6809338	49	1471195	50	1906614	48	2359973	49	3819417	48
98	49	1138054	49	6903353	49	1500454	50	9664700	47	1684159	49	2754047	48
10	50	1193662	49	7000000	49	1530612	50	0000000	00	0000000	00	0000000	00

Compton Cross Sections vs. Angle of Scattered Quantum

80 49 = $\gamma$		$\sigma_1(w, \phi)$		$\gamma'$		$\sigma_2(\gamma')$		E		$w'$		$\sigma_3(w', \phi)$	
w		$\phi_0$				$\phi_0$						$\phi_0$	
10	50 N	2635075	48	3076923	49	1748798	50	4923077	49	1000000	50	3415057	49
90	49 N	2562758	48	3174603	49	1597749	50	4825396	49	9919754	49	3070839	49
80	49 N	2495988	48	3278688	49	1458888	50	4721311	49	9832820	49	2756120	49
70	49 N	2436497	48	3389830	49	1332263	50	4610169	49	9738311	49	2470346	49
60	49 N	2386447	48	3508771	49	1217927	50	4491228	49	9635179	49	2212877	49
50	49 N	2348537	48	3636363	49	1115944	50	4363636	49	9522165	49	1982977	49
40	49 N	2326156	48	3773584	49	1026385	50	4226415	49	9397752	49	1779786	49
30	49 N	2323585	48	3921568	49	9493336	49	4078431	49	9260085	49	1602305	49
20	49 N	2346253	48	4081632	49	8848852	49	3918367	49	9106874	49	1449353	49
10	49 N	2401094	48	4255319	49	8331532	49	3744680	49	8935251	49	1319530	49
00	00	2497029	48	4444444	49	7942708	49	3555555	49	8741572	49	1211155	49
10	49	2645624	48	4651162	49	7683957	49	3348837	49	8521124	49	1122192	49
20	49	2862011	48	4878048	49	7557164	49	3121951	49	8267673	49	1050137	49
30	49	3166190	48	5128205	49	7564603	49	2871794	49	7972767	49	9918610	48
35	49	3359227	48	5263157	49	7619500	49	2736842	49	7806247	49	9666832	48
40	49	3584898	48	5405405	49	7709037	49	2594594	49	7624563	49	9433641	48
45	49	3848041	48	5555555	49	7833658	49	2444444	49	7425371	49	9212035	48
50	49	4154326	48	5714285	49	7993861	49	2285714	49	7205766	49	8993837	48
55	49	4510417	48	5882353	49	8190199	49	2117647	49	6962093	49	8769348	48
60	49	4924184	48	6060606	49	8423295	49	1939393	49	6689647	49	8526869	48
62	49	5107873	48	6134969	49	8526979	49	1865030	49	6571287	49	8421723	48
64	49	5302936	48	6211180	49	8636704	49	1788819	49	6446870	49	8310354	48
66	49	5510094	48	6289308	49	8752520	49	1710691	49	6315846	49	8191569	48
68	49	5730121	48	6369426	49	8874482	49	1630573	49	6177584	49	8064042	48
70	49	5963852	48	6451612	49	9002646	49	1548387	49	6031355	49	7926285	48
72	49	6212183	48	6535947	49	9137071	49	1464052	49	5876313	49	7776613	48
74	49	6476079	48	6622516	49	9277819	49	1377483	49	5711463	49	7613100	48
76	49	6756581	48	6711409	49	9424958	49	1288590	49	5535623	49	7433526	48
78	49	7054812	48	6802721	49	9578555	49	1197278	49	5347368	49	7235282	48
80	49	7371985	48	6896551	49	9738685	49	1103448	49	5144957	49	7015265	48
82	49	7709410	48	6993007	49	9905425	49	1006993	49	4926219	49	6769706	48
84	49	8068506	48	7092198	49	1007885	50	9078014	48	4688390	49	6493918	48
86	49	8450810	48	7194244	49	1025906	50	8057554	48	4427844	49	6181904	48
88	49	8857987	48	7299270	49	1044614	50	7007299	48	4139663	49	5825691	48
90	49	9291846	48	7407407	49	1064019	50	5925926	48	3816850	49	5414167	48
92	49	9754352	48	7518797	49	1084130	50	4812030	48	3448807	49	4930790	48
94	49	1024764	49	7633587	49	1104960	50	3664122	48	3017937	49	4348514	48
96	49	1077405	49	7751938	49	1126518	50	2480620	48	2490410	49	3616025	48
98	49	1133612	49	7874015	49	1148819	50	1259842	48	1780172	49	2604253	48
10	50	1193662	49	8000000	49	1171875	50	0000000	00	0000000	00	0000000	00



Compton Cross Sections vs. Angle of Scattered Quantum

90 49 = $\gamma$		$\sigma_1(w, \phi)$		$\gamma'$		$\frac{\sigma_2(\gamma')}{\phi_0}$		E		w'		$\frac{\sigma_1(w', \phi)}{\phi_0}$	
w		$\phi_0$											
10	50 N	2403419	48	3214285	49	1461640	50	5785714	49	1000000	50	3470537	49
90	49 N	2347798	48	3321033	49	1337501	50	5678966	49	9927890	49	3126830	49
80	49 N	2296830	48	3435114	49	1222999	50	5564885	49	9849570	49	2811443	49
70	49 N	2252027	48	3557312	49	1118174	50	5442687	49	9764191	49	2523886	49
60	49 N	2215296	48	3688524	49	1023072	50	5311475	49	9670745	49	2263597	49
50	49 N	2189045	48	3829787	49	9377462	49	5170212	49	9568015	49	2029920	49
40	49 N	2176334	48	3982300	49	8622582	49	5017699	49	9454525	49	1822089	49
30	49 N	2181070	48	4147465	49	7966803	49	4852534	49	9328462	49	1639205	49
20	49 N	2208276	48	4326923	49	7410968	49	4673076	49	9187575	49	1480200	49
10	49 N	2264453	48	4522613	49	6956076	49	4477387	49	9029025	49	1343796	49
00	00	2358087	48	4736842	49	6603313	49	4263157	49	8849182	49	1228450	49
10	49	2500358	48	4972375	49	6354102	49	4027624	49	8643311	49	1132280	49
20	49	2706146	48	5232558	49	6210163	49	3767441	49	8405105	49	1052953	49
30	49	2995492	48	5521472	49	6173596	49	3478527	49	8125935	49	9875323	48
35	49	3179681	48	5678233	49	6196364	49	3321766	49	7967368	49	9588987	48
40	49	3395742	48	5844155	49	6246993	49	3155844	49	7793608	49	9322423	48
45	49	3648763	48	6020066	49	6325908	49	2979933	49	7602211	49	9068978	48
50	49	3944776	48	6206896	49	6433588	49	2793103	49	7390143	49	8820862	48
55	49	4290972	48	6405693	49	6570573	49	2594306	49	7153559	49	8568827	48
60	49	4695959	48	6617647	49	6737472	49	2382352	49	6887494	49	8301713	48
62	49	4876669	48	6706408	49	6812761	49	2293591	49	6771410	49	8187670	48
64	49	5069173	48	6797583	49	6892995	49	2202416	49	6649067	49	8068023	48
66	49	5274287	48	6891271	49	6978225	49	2108729	49	6519879	49	7941638	48
68	49	5492892	48	6987577	49	7068506	49	2012422	49	6383174	49	7807249	48
70	49	5725942	48	7086614	49	7163896	49	1913385	49	6238176	49	7663440	48
72	49	5974470	48	7188498	49	7264453	49	1811501	49	6083978	49	7508612	48
74	49	6239599	48	7293354	49	7370244	49	1706645	49	5919518	49	7340938	48
76	49	6522545	48	7401315	49	7481335	49	1598684	49	5743528	49	7158309	48
78	49	6824632	48	7512520	49	7597798	49	1487479	49	5554485	49	6958257	48
80	49	7147302	48	7627118	49	7719711	49	1372881	49	5350520	49	6737847	48
82	49	7492125	48	7745266	49	7847153	49	1254733	49	5129310	49	6493523	48
84	49	7860814	48	7867132	49	7980212	49	1132867	49	4887889	49	6220862	48
86	49	8255241	48	7992895	49	8118979	49	1007104	49	4622376	49	5914214	48
88	49	8677454	48	8122743	49	8263551	49	8772563	48	4327505	49	5566076	48
90	49	9129697	48	8256880	49	8414033	49	7431193	48	3995796	49	5165990	48
92	49	9614430	48	8395522	49	8570536	49	6044776	48	3615933	49	4698395	48
94	49	1013435	49	8538899	49	8733178	49	4611006	48	3169161	49	4137830	48
96	49	1069245	49	8687258	49	8902087	49	3127413	48	2619506	49	3435946	48
98	49	1129200	49	8840864	49	9077399	49	1591356	48	1875680	49	2470938	48
10	50	1193662	49	9000000	49	9259259	49	0000000	00	0000000	00	0000000	00

Compton Cross Sections vs. Angle of Scattered Quantum

10 50 = $\gamma$		$\sigma_1(w, \phi)$		$\gamma'$		$\sigma_3(\gamma')$		E		$w'$		$\sigma_1(w', \phi)$	
w		$\phi_0$				$\phi_0$						$\phi_0$	
10	50N	2210485	48	3333333	49	1250000	50	6666667	49	1000000	50	3536776	49
90	49N	2167914	48	3448275	49	1145560	50	6551724	49	9934852	49	3192456	49
80	49N	2129364	48	3571428	49	1048928	50	6428571	49	9863939	49	2875436	49
70	49N	2096170	48	3703703	49	9601389	49	6296296	49	9786452	49	2585286	49
60	49N	2070028	48	3846153	49	8792307	49	6153846	49	9701425	49	2321505	49
50	49N	2053098	48	4000000	49	8062500	49	6000000	49	9607689	49	2083509	49
40	49N	2048152	48	4166666	49	7412500	49	5833333	49	9503819	49	1870612	49
30	49N	2058765	48	4347826	49	6842934	49	5652174	49	9388055	49	1682002	49
20	49N	2089581	48	4545454	49	6354545	49	5454545	49	9258201	49	1516708	49
10	49N	2146664	48	4761904	49	5948214	49	5238095	49	9111469	49	1373562	49
00	00	2238116	48	5000000	49	5625000	49	5000000	49	8944271	49	1251145	49
10	49	2374620	48	5263157	49	5386184	49	4736842	49	8751899	49	1147710	49
20	49	2570712	48	5555555	49	5233333	49	4444444	49	8528028	49	1061078	49
30	49	2846275	48	5882352	49	5168382	49	4117647	49	8263938	49	9884887	48
35	49	3022103	48	6060606	49	5169602	49	3939394	49	8113124	49	9563826	48
40	49	3228949	48	6250000	49	5193750	49	3750000	49	7947194	49	9263652	48
45	49	3472081	48	6451612	49	5241229	49	3548387	49	7763631	49	8978020	48
50	49	3757825	48	6666666	49	5312500	49	3333333	49	7559269	49	8699486	48
55	49	4093807	48	6896551	49	5408082	49	3103448	49	7330166	49	8419200	48
60	49	4489283	48	7142857	49	5528571	49	2857143	49	7071067	49	8126470	48
62	49	4666582	48	7246376	49	5583891	49	2753623	49	6957560	49	8003043	48
64	49	4856009	48	7352941	49	5643352	49	2647059	49	6837634	49	7874569	48
66	49	5058467	48	7462686	49	5707007	49	2537313	49	6710671	49	7739962	48
68	49	5274938	48	7575757	49	5774909	49	2424242	49	6575959	49	7598012	48
70	49	5506493	48	7692307	49	5847115	49	2307692	49	6432675	49	7447366	48
72	49	5754297	48	7812500	49	5923687	49	2187500	49	6279858	49	7286498	48
74	49	6019628	48	7936507	49	6004690	49	2063492	49	6116377	49	7113667	48
76	49	6303878	48	8064516	49	6090193	49	1935484	49	5940885	49	6926866	48
78	49	6608576	48	8196721	49	6180270	49	1803279	49	5751756	49	6723753	48
80	49	6935397	48	8333333	49	6274999	49	1666667	49	5547002	49	6501542	48
82	49	7286180	48	8474576	49	6374466	49	1525424	49	5324139	49	6256864	48
84	49	7662949	48	8620689	49	6478758	49	1379310	49	5080005	49	5985542	48
86	49	8067932	48	8771929	49	6587973	49	1228070	49	4810456	49	5682237	48
88	49	8503591	48	8928571	49	6702214	49	1071429	49	4509876	49	5339874	48
90	49	8972643	48	9090909	49	6821590	49	9090910	48	4170288	49	4948598	48
92	49	9478100	48	9259259	49	6946222	49	7407410	48	3779644	49	4493743	48
94	49	1002329	49	9433962	49	7076235	49	5660380	48	3318007	49	3951309	48
96	49	1061195	49	9615384	49	7211769	49	3846150	48	2747211	49	3275661	48
98	49	1124819	49	9803921	49	7352970	49	1960780	48	1970658	49	2351627	48
10	50	1193662	49	1000000	50	7500000	49	0000000	00	0000000	00	0000000	00

Compton Cross Sections vs. Angle of Scattered Quantum

1 1 50 = $\gamma$		$\sigma_1(w, \phi)$		$\gamma'$		$\sigma_2(\gamma')$		E		$w'$		$\sigma_3(w', \phi)$	
w		$\phi_0$				$\phi_0$						$\phi_0$	
10	50N	2047235	48	3437500	49	1088584	50	7562500	49	1000000	50	3611323	49
90	49N	2015017	48	3559870	49	9990572	49	7440129	49	9940855	49	3265527	49
80	49N	1986370	48	3691275	49	9159826	49	7308725	49	9876355	49	2946142	49
70	49N	1962481	48	3832752	49	8393901	49	7167247	49	9805731	49	2652785	49
60	49N	1944870	48	3985507	49	7693136	49	7014493	49	9728062	49	2385010	49
50	49N	1935490	48	4150943	49	7057929	49	6849057	49	9642229	49	2142297	49
40	49N	1936861	48	4330708	49	6488742	49	6669291	49	9546863	49	1924026	49
30	49N	1952264	48	4526748	49	5986123	49	6473251	49	9440265	49	1729463	49
20	49N	1986000	48	4741379	49	5550726	49	6258621	49	9320301	49	1557724	49
10	49N	2043760	48	4977375	49	5183332	49	6022624	49	9184255	49	1407739	49
00	00	2133150	48	5238095	49	4884888	49	5761905	49	9028605	49	1278198	49
10	49	2264453	48	5527638	49	4656547	49	5472362	49	8848698	49	1167478	49
20	49	2451753	48	5851063	49	4499736	49	5148936	49	8638245	49	1073541	49
30	49	2714633	48	6214689	49	4416235	49	4785311	49	8388503	49	9937847	48
35	49	2882650	48	6413994	49	4402656	49	4586006	49	8245175	49	9582030	48
40	49	3080774	48	6626506	49	4408294	49	4373494	49	8086898	49	9248153	48
45	49	3314402	48	6853582	49	4433532	49	4146417	49	7911098	49	8930153	48
50	49	3590081	48	7096774	49	4478805	49	3903226	49	7714542	49	8620895	48
55	49	3915798	48	7357859	49	4544616	49	3642140	49	7493100	49	8311880	48
60	49	4301363	48	7638888	49	4631542	49	3361111	49	7241379	49	7992834	48
62	49	4474973	48	7757404	49	4672371	49	3242595	49	7130675	49	7859668	48
64	49	4660965	48	7879656	49	4716732	49	3120344	49	7013433	49	7721958	48
66	49	4860325	48	8005822	49	4764675	49	2994178	49	6889004	49	7578660	48
68	49	5074130	48	8136094	49	4816255	49	2863905	49	6756639	49	7428616	48
70	49	5303559	48	8270676	49	4871528	49	2729323	49	6615472	49	7270528	48
72	49	5549909	48	8409785	49	4930555	49	2590214	49	6464489	49	7102933	48
74	49	5814605	48	8553654	49	4993404	49	2446345	49	6302497	49	6924167	48
76	49	6099216	48	8702531	49	5060142	49	2297468	49	6128068	49	6732314	48
78	49	6405474	48	8856682	49	5130846	49	2143317	49	5939480	49	6525138	48
80	49	6735289	48	9016393	49	5205595	49	1983607	49	5734623	49	6299993	48
82	49	7090777	48	9181969	49	5284476	49	1818030	49	5510859	49	6053678	48
84	49	7474284	48	9353741	49	5367583	49	1646258	49	5264828	49	5782232	48
86	49	7888414	48	9532062	49	5455013	49	1467938	49	4992122	49	5480606	48
88	49	8336066	48	9717314	49	5546876	49	1282685	49	4686768	49	5142114	48
90	49	8820470	48	9909909	49	5643288	49	1090090	49	4340288	49	4757453	48
92	49	9345237	48	1011029	50	5744373	49	8897060	48	3939886	49	4312785	48
94	49	9914408	48	1031894	50	5850267	49	6810510	48	3464415	49	3785452	48
96	49	1053252	49	1053639	50	5961119	49	4636010	48	2873478	49	3132325	48
98	49	1120467	49	1076320	50	6077087	49	2367910	48	2065085	49	2244314	48
10	50	1193662	49	1100000	50	6198347	49	0000000	00	0000000	00	0000000	00

Compton Cross Sections vs. Angle of Scattered Quantum

12 50 = $\gamma$		$\sigma_s(w, \phi)$		$\gamma'$		$\sigma_s(\gamma')$		E		w'		$\sigma_s(w', \phi)$	
w		$\phi_0$				$\phi_0$						$\phi_0$	
10	50N	1907235	48	3529411	49	9620098	49	8470588	49	1000000	50	3692407	49
90	49N	1883336	48	3658536	49	8840828	49	8341463	49	9946068	49	3344461	49
80	49N	1862679	48	3797468	49	8115770	49	8202532	49	9867155	49	3022139	49
70	49N	1846334	48	3947368	49	7445175	49	8052632	49	9822534	49	2725103	49
60	49N	1835673	48	4109589	49	6829338	49	7890411	49	9751328	49	2452954	49
50	49N	1832471	48	4285714	49	6268601	49	7714286	49	9672471	49	2205223	49
40	49N	1839033	48	4477612	49	5763370	49	7522388	49	9584649	49	1981355	49
30	49N	1858380	48	4687500	49	5314127	49	7312500	49	9486229	49	1780679	49
20	49N	1894505	48	4918032	49	4921448	49	7081967	49	9375151	49	1602392	49
10	49N	1952734	48	5172413	49	4586027	49	6827586	49	9248775	49	1445510	49
00	00	2040256	48	5454545	49	4308712	49	6545455	49	9103664	49	1308824	49
10	49	2166891	48	5769230	49	4090544	49	6230769	49	8935251	49	1190823	49
20	49	2346253	48	6122449	49	3932823	49	5877551	49	8737316	49	1089597	49
30	49	2597523	48	6521739	49	3837183	49	5478261	49	8501154	49	1002691	49
35	49	2758295	48	6741573	49	3813275	49	5258427	49	8365005	49	9636387	46
40	49	2948235	48	6976744	49	3805717	49	5023256	49	8214141	49	9268801	48
45	49	3172824	48	7228915	49	3814868	49	4771084	49	8045952	49	8918346	48
50	49	3438772	48	7500000	49	3841145	49	4500000	49	7857142	49	8578174	48
55	49	3754354	48	7792207	49	3885027	49	4207792	49	7643477	49	8240105	48
60	49	4129849	48	8108108	49	3947072	49	3891892	49	7399400	49	7894233	48
62	49	4299602	48	8241758	49	3977117	49	3758242	49	7291663	49	7751057	48
64	49	4481925	48	8379888	49	4010218	49	3620112	49	7177305	49	7603799	48
66	49	4677877	48	8522727	49	4046425	49	3477273	49	7055649	49	7451455	48
68	49	4888622	48	8670520	49	4085790	49	3329480	49	6925914	49	7292903	48
70	49	5115445	48	8823529	49	4128370	49	3176471	49	6787193	49	7126900	48
72	49	5359764	48	8982035	49	4174226	49	3017964	49	6638424	49	6952037	48
74	49	5623150	48	9146341	49	4223424	49	2853659	49	6478352	49	6766717	48
76	49	5907342	48	9316770	49	4276035	49	2683230	49	6305476	49	6569105	48
78	49	6214272	48	9493670	49	4332133	49	2506329	49	6117981	49	6357063	48
80	49	6546089	48	9677419	49	4391801	49	2322581	49	5913636	49	6128064	48
82	49	6905187	48	9868421	49	4455126	49	2131579	49	5689655	49	5879061	48
84	49	7294242	48	1006711	50	4522203	49	1932886	49	5442477	49	5606290	48
86	49	7716249	48	1027397	50	4593136	49	1726027	49	5167436	49	5304962	48
88	49	8174567	48	1048951	50	4668036	49	1510490	49	4858197	49	4968750	48
90	49	8672972	48	1071428	50	4747023	49	1285714	49	4505775	49	4588858	48
92	49	9215723	48	1094890	50	4830231	49	1051095	49	4096614	49	4152212	48
94	49	9807629	48	1119403	50	4917801	49	8059700	48	3608335	49	3637400	48
96	49	1045414	49	1145038	50	5009892	49	5496180	48	2998266	49	3003608	48
98	49	1116145	49	1171875	50	5106673	49	2812500	48	2158938	49	2147361	48
10	50	1193662	49	1200000	50	5208333	49	0000000	00	0000000	00	0000000	00

Compton Cross Sections vs. Angle of Scattered Quantum

13 50 = $\gamma$		$\sigma_1(w, \phi)$		$\gamma'$		$\sigma_2(\gamma')$		E		w'		$\sigma_3(w', \phi)$	
w		$\phi_0$				$\phi_0$						$\phi_0$	
10	50N	1785785	48	3611111	49	8604536	49	9388889	49	1000000	50	3778722	49
90	49N	1768641	48	3746397	49	7917568	49	9253602	49	9950621	49	3428087	49
80	49N	1754498	48	3892215	49	7276777	49	9107784	49	9896606	49	3102379	49
70	49N	1744327	48	4049844	49	6682381	49	8950156	49	9837264	49	2801292	49
60	49N	1739378	48	4220779	49	6134634	49	8779221	49	9771763	49	2524474	49
50	49N	1741274	48	4406779	49	5633838	49	8593220	49	9699088	49	2271499	49
40	49N	1752134	48	4609929	49	5180347	49	8390071	49	9617984	49	2041864	49
30	49N	1774753	48	4832713	49	4774587	49	8167286	49	9526883	49	1834965	49
20	49N	1812846	48	5078125	49	4417067	49	7921875	49	9423802	49	1650062	49
10	49N	1871405	48	5349794	49	4108408	49	7650206	49	9306188	49	1486255	49
00	00	1957225	48	5652173	49	3849369	49	7347826	49	9170700	49	1342421	49
10	49	2079674	48	5990783	49	3640893	49	7009217	49	9012872	49	1217156	49
20	49	2251878	48	6372549	49	3484162	49	6627451	49	8826589	49	1108668	49
30	49	2492552	48	6806282	49	3380680	49	6193717	49	8603231	49	1014638	49
35	49	2646630	48	7046070	49	3349494	49	5953929	49	8473928	49	9721235	48
40	49	2828934	48	7303370	49	3332391	49	5696629	49	8330199	49	9319977	48
45	49	3044986	48	7580174	49	3329712	49	5419825	49	8169412	49	8937043	48
50	49	3301611	48	7878787	49	3341850	49	5121212	49	7988230	49	8565839	48
55	49	3607308	48	8201892	49	3369263	49	4798107	49	7782339	49	8198481	48
60	49	3972746	48	8552631	49	3412488	49	4447368	49	7546055	49	7825399	48
62	49	4138560	48	8701472	49	3434343	49	4298527	49	7441395	49	7672009	48
64	49	4317072	48	8855585	49	3458873	49	4144414	49	7330063	49	7514963	48
66	49	4509408	48	9015256	49	3486127	49	3984743	49	7211359	49	7353289	48
68	49	4716812	48	9180791	49	3516156	49	3819209	49	7084472	49	7185907	48
70	49	4940666	48	9352518	49	3549018	49	3647482	49	6948460	49	7011612	48
72	49	5182505	48	9530791	49	3584773	49	3469208	49	6802216	49	6829048	48
74	49	5444038	48	9715994	49	3623485	49	3284006	49	6644428	49	6636678	48
76	49	5727167	48	9908536	49	3665225	49	3091463	49	6473524	49	6432734	48
78	49	6034024	48	1010886	50	3710070	49	2891135	49	6287601	49	6215170	48
80	49	6366990	48	1031746	50	3758100	49	2682540	49	6084315	49	5981563	48
82	49	6728742	48	1053484	50	3809407	49	2465154	49	5860731	49	5729004	48
84	49	7122290	48	1076158	50	3864085	49	2238411	49	5613096	49	5453908	48
86	49	7551031	48	1099830	50	3922241	49	2001692	49	5336482	49	5151726	48
88	49	8018802	48	1124567	50	3983990	49	1754325	49	5024197	49	4816454	48
90	49	8529957	48	1150442	50	4049458	49	1495575	49	4666745	49	4439768	48
92	49	9089444	48	1177536	50	4118780	49	1224638	49	4249796	49	4009299	48
94	49	9702907	48	1205936	50	4192109	49	9406310	48	3749723	49	3504793	48
96	49	1037679	49	1235741	50	4269608	49	6425860	48	3121532	49	2887588	48
98	49	1111852	49	1267056	50	4351462	49	3294350	48	2252197	49	2059413	48
10	50	1193662	49	1300000	50	4437869	49	0000000	00	0000000	00	0000000	00

Compton Cross Sections vs. Angle of Scattered Quantum

1 4 5 0 = $\gamma$		$\sigma_1(w, \phi)$		$\gamma'$		$\sigma_2(\gamma')$		E		w'		$\sigma_3(w', \phi)$	
w		$\phi_0$				$\phi_0$						$\phi_0$	
10	50 N	1679375	48	3684210	49	7773899	49	1031578	50	1000000	50	3869281	49
90	49 N	1667765	48	3825136	49	7161780	49	1017486	50	9954623	49	3515525	49
80	49 N	1658978	48	3977272	49	6589459	49	1002272	50	9904922	49	3186066	49
70	49 N	1653900	48	4142011	49	6057126	49	9857988	49	9850246	49	2880637	49
60	49 N	1653680	48	4320987	49	5565003	49	9679012	49	9789804	49	2598915	49
50	49 N	1659811	48	4516129	49	5113355	49	9483871	49	9722630	49	2340520	49
40	49 N	1674253	48	4729729	49	4702495	49	9270270	49	9647527	49	2104998	49
30	49 N	1699599	48	4964539	49	4332799	49	9035461	49	9562996	49	1891793	49
20	49 N	1739317	48	5223880	49	4004721	49	8776119	49	9467130	49	1700234	49
10	49 N	1798098	48	5511811	49	3718815	49	8488189	49	9357467	49	1529488	49
00	00	1882366	48	5833333	49	3475765	49	8166667	49	9230769	49	1378519	49
10	49	2001057	48	6194690	49	3276424	49	7805310	49	9082688	49	1246016	49
20	49	2166803	48	6603773	49	3121871	49	7396226	49	8907235	49	1130298	49
30	49	2397814	48	7070707	49	3013489	49	6929293	49	8695913	49	1029173	49
35	49	2545722	48	7329842	49	2977156	49	6670157	49	8573111	49	9832067	48
40	49	2720923	48	7608695	49	2953083	49	6391304	49	8436212	49	9397204	48
45	49	2928950	48	7909604	49	2941591	49	6090395	49	8282579	49	8981793	48
50	49	3176700	48	8235294	49	2943052	49	5764706	49	8108848	49	8579486	48
55	49	3472840	48	8588957	49	2957902	49	5411043	49	7910655	49	8182669	48
60	49	3828355	48	8974359	49	2986656	49	5025641	49	7682212	49	7782080	48
62	49	3990212	48	9138381	49	3002184	49	4861619	49	7580693	49	7618311	48
64	49	4164842	48	9308510	49	3020077	49	4691489	49	7472482	49	7451286	48
66	49	4353432	48	9485094	49	3040382	49	4514905	49	7356858	49	7280058	48
68	49	4557300	48	9668508	49	3063152	49	4331492	49	7232985	49	7103581	48
70	49	4777920	48	9859154	49	3088441	49	4140845	49	7099887	49	6920691	48
72	49	5016932	48	1005747	50	3116308	49	3942529	49	6956417	49	6730075	48
74	49	5276176	48	1026393	50	3146819	49	3736070	49	6801212	49	6530246	48
76	49	5557716	48	1047904	50	3180044	49	3520958	49	6632635	49	6319503	48
78	49	5863872	48	1070336	50	3216057	49	3296636	49	6448698	49	6095874	48
80	49	6197258	48	1093750	50	3254942	49	3062500	49	6246950	49	5857036	48
82	49	6560829	48	1118210	50	3296789	49	2817891	49	6024313	49	5600199	48
84	49	6957935	48	1143790	50	3341696	49	2562092	49	5776846	49	5321944	48
86	49	7392378	48	1170568	50	3389771	49	2294314	49	5499365	49	5017933	48
88	49	7868495	48	1198630	50	3441130	49	2013699	49	5184823	49	4682468	48
90	49	8391239	48	1228070	50	3495905	49	1719298	49	4823207	49	4307654	48
92	49	8966291	48	1258992	50	3554235	49	1410072	49	4399413	49	3881780	48
94	49	9600187	48	1291512	50	3616280	49	1084871	49	3888541	49	3385668	48
96	49	1030047	49	1325757	50	3682212	49	7424240	48	3243243	49	2782666	48
98	49	1107589	49	1361867	50	3752224	49	3813230	48	2344841	49	1979341	48
10	50	1193662	49	1400000	50	3826530	49	0000000	00	0000000	00	0000000	00

Compton Cross Sections vs. Angle of Scattered Quantum

15 50 = $\gamma$		$\sigma_1(w, \phi)$		$\gamma'$		$\sigma_2(\gamma')$		E		$w'$		$\sigma_3(w', \phi)$	
w		$\phi_0$				$\phi_0$						$\phi_0$	
10	50N	1585332	48	3750000	49	7083333	49	1125000	50	1000000	50	3963331	49
90	49N	1578291	48	3896103	49	6532900	49	1110389	50	9958158	49	3606096	49
80	49N	1573938	48	4054054	49	6017117	49	1094594	50	9912279	49	3272593	49
70	49N	1573090	48	4225352	49	5536150	49	1077464	50	9861744	49	2962582	49
60	49N	1576809	48	4411764	49	5090196	49	1058823	50	9805806	49	2675773	49
50	49N	1586478	48	4615384	49	4679487	49	1038461	50	9743547	49	2411823	49
40	49N	1603917	48	4838709	49	4304301	49	1016129	50	9673824	49	2170317	49
30	49N	1631543	48	5084745	49	3964971	49	9915254	49	9595206	49	1950754	49
20	49N	1672606	48	5357142	49	3661904	49	9642857	49	9505863	49	1752513	49
10	49N	1731518	48	5660377	49	3395597	49	9339623	49	9403426	49	1574831	49
00	00	1814366	48	6000000	49	3166666	49	9000000	49	9284766	49	1416745	49
10	49	1929671	48	6382978	49	2975886	49	8617021	49	9145661	49	1277035	49
20	49	2089581	48	6818181	49	2824242	49	8181818	49	8980265	49	1154122	49
30	49	2311777	48	7317073	49	2713008	49	7682927	49	8780234	49	1045932	49
35	49	2454004	48	7594936	49	2673048	49	7405063	49	8663586	49	9965263	48
40	49	2622610	48	7894736	49	2643859	49	7105263	49	8533201	49	9496866	48
45	49	2823117	48	8219178	49	2625742	49	6780822	49	8386446	49	9048997	48
50	49	3062456	48	8571428	49	2619047	49	6428571	49	8219949	49	8615541	48
55	49	3349411	48	8955224	49	2624191	49	6044776	49	8029315	49	8189133	48
60	49	3695223	48	9375000	49	2641666	49	5625000	49	7808688	49	7760799	48
62	49	3853149	48	9554140	49	2652237	49	5445860	49	7710338	49	7586523	48
64	49	4023880	48	9740259	49	2664917	49	5259740	49	7605301	49	7409360	48
66	49	4208656	48	9933774	49	2679752	49	5066225	49	7492841	49	7228393	48
68	49	4408865	48	1013513	50	2696792	49	4864865	49	7372097	49	7042607	48
70	49	4626058	48	1034482	50	2716092	49	4655172	49	7242068	49	6850871	48
72	49	4861980	48	1056338	50	2737709	49	4436620	49	7101568	49	6651911	48
74	49	5118594	48	1079136	50	2761707	49	4208633	49	6949189	49	6444288	48
76	49	5398113	48	1102941	50	2788156	49	3970588	49	6783234	49	6226357	48
78	49	5703043	48	1127819	50	2817132	49	3721804	49	6601637	49	5996213	48
80	49	6036224	48	1153846	50	2848718	49	3461538	49	6401844	49	5751619	48
82	49	6400888	48	1181102	50	2883002	49	3188976	49	6180642	49	5489900	48
84	49	6800720	48	1209677	50	2920086	49	2903226	49	5933908	49	5207777	48
86	49	7239939	48	1239669	50	2960077	49	2603306	49	5656207	49	4901115	48
88	49	7723388	48	1271186	50	3003096	49	2288135	49	5340141	49	4564488	48
90	49	8256645	48	1304347	50	3049275	49	1956522	49	4975185	49	4190401	48
92	49	8846160	48	1339285	50	3098761	49	1607143	49	4545454	49	3767756	48
94	49	9499420	48	1376146	50	3151718	49	1238532	49	4024761	49	3278379	48
96	49	1022514	49	1415094	50	3208327	49	8490560	48	3363363	49	2687496	48
98	49	1103354	49	1456310	50	3268789	49	4368930	48	2436850	49	1906199	48
10	50	1193662	49	1500000	50	3333333	49	0000000	00	0000000	00	0000000	00

Compton Cross Sections vs. Angle of Scattered Quantum

16 50 = $\gamma$		$\sigma_1(w, \phi)$		$\gamma'$		$\sigma_2(\gamma')$		E		$w'$		$\sigma_3(w', \phi)$	
w		$\phi_0$				$\phi_0$						$\phi_0$	
10	50N	1501583	48	3809523	49	6501116	49	1219047	50	1000000	50	4060281	49
90	49N	1498339	48	3960396	49	6002233	49	1203960	50	9961297	49	3699274	49
80	49N	1497680	48	4123711	49	5533787	49	1187628	50	9918816	49	3361485	49
70	49N	1500365	48	4301075	49	5095923	49	1169892	50	9871975	49	3046698	49
60	49N	1507382	48	4494382	49	4688816	49	1150561	50	9820064	49	2754653	49
50	49N	1520018	48	4705882	49	4312672	49	1129411	50	9762210	49	2485040	49
40	49N	1539972	48	4938271	49	3967737	49	1106172	50	9697327	49	2237482	49
30	49N	1565509	48	5194805	49	3654309	49	1080519	50	9624045	49	2011519	49
20	49N	1611680	48	5479452	49	3372752	49	1052054	50	9540615	49	1806587	49
10	49N	1670649	48	5797101	49	3123514	49	1020289	50	9444758	49	1621978	49
00	00	1752189	48	6153846	49	2907151	49	9846154	49	9333456	49	1456801	49
10	49	1864431	48	6557377	49	2724369	49	9442623	49	9202619	49	1309917	49
20	49	2019053	48	7017543	49	2576069	49	8982456	49	9046557	49	1179844	49
30	49	2233200	48	7547169	49	2463425	49	8452830	49	8857103	49	1064621	49
35	49	2370194	48	7843137	49	2420941	49	8156863	49	8746268	49	1011786	49
40	49	2532685	48	8163265	49	2387994	49	7836735	49	8622074	49	9616012	48
45	49	2726156	48	8510638	49	2364865	49	7489362	49	8481905	49	9135716	48
50	49	2957547	48	8888889	49	2351888	49	7111111	49	8322397	49	8671078	48
55	49	3235717	48	9302325	49	2349456	49	6697674	49	8139142	49	8214975	48
60	49	3572101	48	9756097	49	2358041	49	6243902	49	7926239	49	7758697	48
62	49	3726155	48	9950248	49	2364683	49	6049751	49	7831056	49	7573801	48
64	49	3893010	48	1015228	50	2373219	49	5847716	49	7729215	49	7386369	48
66	49	4073952	48	1036269	50	2383694	49	5637306	49	7619964	49	7195511	48
68	49	4270429	48	1058201	50	2396155	49	5417989	49	7502428	49	7000235	48
70	49	4484068	48	1081081	50	2410657	49	5189189	49	7375577	49	6799443	48
72	49	4716705	48	1104972	50	2427257	49	4950276	49	7238197	49	6591895	48
74	49	4970420	48	1129943	50	2446017	49	4700565	49	7088836	49	6376197	48
76	49	5247570	48	1156069	50	2467007	49	4439306	49	6925744	49	6150748	48
78	49	5550836	48	1183432	50	2490300	49	4165680	49	6746784	49	5913709	48
80	49	5883279	48	1212121	50	2515980	49	3878788	49	6549305	49	5662919	48
82	49	6248400	48	1242236	50	2544137	49	3577640	49	6329967	49	5395802	48
84	49	6650223	48	1273885	50	2574870	49	3261147	49	6084472	49	5109212	48
86	49	7093381	48	1307189	50	2608291	49	2928105	49	5807143	49	4799194	48
88	49	7583235	48	1342281	50	2644520	49	2577181	49	5490235	49	4460574	48
90	49	8126008	48	1379310	50	2683694	49	2206896	49	5122717	49	4086228	48
92	49	8728950	48	1418439	50	2725964	49	1815603	49	4687919	49	3665626	48
94	49	9400553	48	1459854	50	2771497	49	1401460	49	4158359	49	3181534	48
96	49	1015080	49	1503759	50	2820482	49	9624069	48	3481865	49	2600944	48
98	49	1099148	49	1550387	50	2873133	49	4961240	48	2528207	49	1839184	48
10	50	1193662	49	1600000	50	2929687	49	0000000	00	0000000	00	0000000	00



Compton Cross Sections vs. Angle of Scattered Quantum

17 50 = $\gamma$		$\sigma_1(w, \phi)$		$\gamma'$		$\sigma_2(\gamma')$		E		$w'$		$\sigma_1(w', \phi)$	
w		$\phi_0$				$\phi_0$						$\phi_0$	
10	50N	1426427	48	3863635	49	6004246	49	1313636	50	1000000	50	4159667	49
90	49N	1426427	48	4018913	49	5548970	49	1298108	50	9964095	49	3794640	49
80	49N	1428361	48	4127192	49	5120638	49	1281280	50	9924652	49	3452364	49
70	49N	1434510	48	4370180	49	4719380	49	1262982	50	9881118	49	3132643	49
60	49N	1444298	48	4569892	49	4345351	49	1243010	50	9832820	49	2835242	49
50	49N	1459431	48	4733732	49	3998733	49	1221126	50	9778929	49	2559881	49
40	49N	1481502	48	5029585	49	3679746	49	1197041	50	9718411	49	2306217	49
30	49N	1512640	48	5295950	49	3388659	49	1170405	50	9649960	49	2073831	49
20	49N	1555720	48	5592105	49	3125796	49	1140789	50	9571900	49	1862202	49
10	49N	1614682	48	5923345	49	2891564	49	1107665	50	9482045	49	1670682	49
00	00	1695008	48	6296296	49	2686466	49	1070370	50	9377487	49	1498442	49
10	49	1804467	48	6719367	49	2511146	49	1028063	50	9254272	49	1344419	49
20	49	1954283	48	7203389	49	2366430	49	9796610	49	9106874	49	1207222	49
30	49	2161067	48	7762557	49	2253401	49	9237443	49	8927318	49	1084997	49
35	49	2293239	48	8076009	49	2209203	49	8923990	49	8821964	49	1028745	49
40	49	2450057	48	8415841	49	2173507	49	8584158	49	8703641	49	9752216	48
45	49	2636954	48	8785529	49	2146577	49	8214470	49	8569760	49	9239522	48
50	49	2860848	48	9189189	49	2128729	49	7810811	49	8416975	49	8743679	48
55	49	3130640	48	9631728	49	2120336	49	7368272	49	8240887	49	8257789	48
60	49	3457911	48	1011904	50	2121848	49	6880952	49	8035571	49	7773399	48
62	49	3608178	48	1032806	50	2125346	49	6671932	49	7943527	49	7577787	48
64	49	3771208	48	1054590	50	2130554	49	6454094	49	7844875	49	7379975	48
66	49	3948332	48	1077313	50	2137517	49	6226869	49	7738851	49	7179092	48
68	49	4141047	48	1101036	50	2146282	49	5989637	49	7624563	49	6974173	48
70	49	4351052	48	1125827	50	2156901	49	5741722	49	7500964	49	6764145	48
72	49	4580266	48	1151761	50	2169429	49	5482385	49	7366811	49	6547803	48
74	49	4830877	48	1170918	50	2183929	49	5210818	49	7220617	49	6323786	48
76	49	5105375	48	1207386	50	2200468	49	4926136	49	7060583	49	6090543	48
78	49	5406613	48	1237263	50	2219120	49	4627365	49	6884505	49	5846284	48
80	49	5737863	48	1268656	50	2239968	49	4313433	49	6689647	49	5588922	48
82	49	6102891	48	1301684	50	2263101	49	3983155	49	6472547	49	5315967	48
84	49	6506051	48	1336478	50	2288620	49	3635220	49	6228742	49	5024396	48
86	49	6952396	48	1373182	50	2316636	49	3268174	49	5952320	49	4710415	48
88	49	7447809	48	1411960	50	2347272	49	2880399	49	5635200	49	4369085	48
90	49	7999170	48	1452991	50	2380667	49	2470085	49	5265849	49	3993622	48
92	49	8614565	48	1496478	50	2416974	49	2035211	49	4826818	49	3574027	48
94	49	9303540	48	1542649	50	2456368	49	1573503	49	4289318	49	3093951	48
96	49	1007741	49	1591760	50	2499043	49	1082397	49	3598720	49	2522042	48
98	49	1094971	49	1644100	50	2545222	49	5589940	48	2618891	49	1777613	48
10	50	1193662	49	1700000	50	2595155	49	0000000	00	0000000	00	0000000	00

Compton Cross Sections vs. Angle of Scattered Quantum

18 50 = $\gamma$		$\sigma_1(w, \phi)$		$\gamma'$		$\sigma_2(\gamma')$		E		w'		$\sigma_1(w', \phi)$	
w		$\phi_0$				$\phi_0$						$\phi_0$	
10	50N	1358775	48	3913043	49	5575684	49	1408695	50	1000000	50	4261119	49
90	49N	1361363	48	4072398	49	5157690	49	1392760	50	9966602	49	3891864	49
80	49N	1366404	48	4245283	49	4763714	49	1375471	50	9929882	49	3544931	49
70	49N	1374549	48	4433497	49	4393872	49	1356650	50	9889320	49	3220143	49
60	49N	1386674	48	4639175	49	4048300	49	1336082	50	9844275	49	2917287	49
50	49N	1403913	48	4864864	49	3727164	49	1313513	50	9793962	49	2636110	49
40	49N	1427767	48	5113636	49	3430660	49	1288636	50	9737395	49	2376300	49
30	49N	1460245	48	5389221	49	3159029	49	1261077	50	9673327	49	2137474	49
20	49N	1504064	48	5696202	49	2912564	49	1230379	50	9600156	49	1919155	49
10	49N	1562961	48	6040268	49	2691632	49	1195973	50	9515786	49	1720742	49
00	00	1642155	48	6428571	49	2496693	49	1157142	50	9417419	49	1541468	49
10	49	1749071	48	6870229	49	2328332	49	1112977	50	9301236	49	1380341	49
20	49	1894505	48	7377049	49	2187310	49	1062295	50	9161879	49	1236055	49
30	49	2094538	48	7964601	49	2074627	49	1003539	50	8991582	49	1106858	49
35	49	2222263	48	8294930	49	2029316	49	9705069	49	8891387	49	1047199	49
40	49	2373817	48	8653846	49	1991631	49	9346154	49	8778622	49	9903455	48
45	49	2554572	48	9045226	49	1961820	49	8954774	49	8650729	49	9358395	48
50	49	2771405	48	9473684	49	1940180	49	8526316	49	8504394	49	8831325	48
55	49	3033226	48	9944751	49	1927067	49	8055249	49	8335236	49	8315572	48
60	49	3351718	48	1046511	50	1922911	49	7534884	49	8137334	49	7802917	48
62	49	3498298	48	1068883	50	1923870	49	7311164	49	8048383	49	7596508	48
64	49	3657578	48	1092233	50	1926384	49	7077670	49	7952891	49	7388216	48
66	49	3830925	48	1116625	50	1930494	49	6833747	49	7850084	49	7177192	48
68	49	4019884	48	1142132	50	1936247	49	6578680	49	7739059	49	6962496	48
70	49	4226212	48	1168831	50	1943692	49	6311688	49	7618753	49	6743076	48
72	49	4451910	48	1196808	50	1952886	49	6031915	49	7487900	49	6517759	48
74	49	4699262	48	1226158	50	1963887	49	5738420	49	7344982	49	6285215	48
76	49	4970887	48	1256983	50	1976763	49	5430168	49	7188156	49	6043935	48
78	49	5269797	48	1289398	50	1991588	49	5106017	49	7015162	49	5792180	48
80	49	5599466	48	1323529	50	2008442	49	4764706	49	6823182	49	5527920	48
82	49	5963921	48	1359516	50	2027415	49	4404834	49	6608644	49	5248750	48
84	49	6367842	48	1397515	50	2048608	49	4024845	49	6366925	49	4951753	48
86	49	6816695	48	1437699	50	2072131	49	3623003	49	6091893	49	4633285	48
88	49	7316890	48	1480263	50	2098111	49	3197368	49	5775139	49	4288620	48
90	49	7875982	48	1525423	50	2126687	49	2745763	49	5404640	49	3911293	48
92	49	8502913	48	1573426	50	2158016	49	2265734	49	4962168	49	3491799	48
94	49	9208332	48	1624548	50	2192276	49	1754513	49	4417627	49	3014617	48
96	49	1000498	49	1679104	50	2229671	49	1208955	49	3713906	49	2449962	48
98	49	1090821	49	1737451	50	2270429	49	6254820	48	2708888	49	1720903	48
10	50	1193662	49	1800000	50	2314814	49	0000000	00	0000000	00	0000000	00

Compton Cross Sections vs. Angle of Scattered Quantum

19 50 = $\gamma$		$\sigma_1(w, \phi)$		$\gamma'$		$\sigma_2(\gamma')$		E		$w'$		$\sigma_1(w', \phi)$	
w		$\phi_0$				$\phi_0$						$\phi_0$	
10	50 N	1297364	48	3958333	49	5202562	49	1504166	50	1000000	50	4364335	49
90	49 N	1302204	48	4121475	49	4816745	49	1487852	50	9968855	49	3990675	49
80	49 N	1309434	48	4298642	49	4452470	49	1470135	50	9934588	49	3638941	49
70	49 N	1319688	48	4491725	49	4109840	49	1450827	50	9896705	49	3308975	49
60	49 N	1333788	48	4702970	49	3788980	49	1429703	50	9854601	49	3000583	49
50	49 N	1352806	48	4935064	49	3490035	49	1406493	50	9807526	49	2713536	49
40	49 N	1378163	48	5191256	49	3213182	49	1380874	50	9754543	49	2447550	49
30	49 N	1411759	48	5475504	49	2958640	49	1352449	50	9694464	49	2202276	49
20	49 N	1456172	48	5792683	49	2726674	49	1320731	50	9625755	49	1977274	49
10	49 N	1514955	48	6148867	49	2517615	49	1285113	50	9546406	49	1771990	49
00	00	1593083	48	6551724	49	2331884	49	1244827	50	9453729	49	1585713	49
10	49	1697665	48	7011070	49	2170017	49	1198893	50	9344041	49	1417518	49
20	49	1839087	48	7539682	49	2032713	49	1146031	50	9212153	49	1266178	49
30	49	2032917	48	8154506	49	1920898	49	1084549	50	9050513	49	1130036	49
35	49	2156532	48	8501118	49	1874924	49	1049888	50	8955172	49	1066981	49
40	49	2303199	48	8878504	49	1835827	49	1012149	50	8847661	49	1006803	49
45	49	2478214	48	9290953	49	1803841	49	9709046	49	8725460	49	9490637	48
50	49	2688400	48	9743589	49	1779245	49	9256410	49	8585294	49	8932325	48
55	49	2942651	48	1024258	50	1762379	49	8757412	49	8422817	49	8386633	48
60	49	3252709	48	1079545	50	1753651	49	8204545	49	8232127	49	7845578	48
62	49	3395713	48	1103368	50	1752548	49	7966318	49	8146209	49	7628296	48
64	49	3551333	48	1128266	50	1752864	49	7717340	49	8053829	49	7409436	48
66	49	3720965	48	1154313	50	1754640	49	7456865	49	7954210	49	7188169	48
68	49	3906198	48	1181592	50	1757919	49	7184079	49	7846439	49	6963575	48
70	49	4108840	48	1210191	50	1762752	49	6898089	49	7729441	49	6734626	48
72	49	4330964	48	1240208	50	1769191	49	6597911	49	7601929	49	6500175	48
74	49	4574946	48	1271753	50	1777296	49	6282463	49	7462362	49	6258924	48
76	49	4843523	48	1304945	50	1787132	49	5950549	49	7308860	49	6009397	48
78	49	5139858	48	1339915	50	1798772	49	5600846	49	7139109	49	5749900	48
80	49	5467622	48	1376811	50	1812296	49	5231884	49	6950221	49	5478462	48
82	49	5831087	48	1415797	50	1827794	49	4842027	49	6738519	49	5192746	48
84	49	6235257	48	1457055	50	1845364	49	4429448	49	6499236	49	4889936	48
86	49	6686007	48	1500789	50	1865120	49	3992101	49	6226027	49	4566525	48
88	49	7190276	48	1547231	50	1887187	49	3527687	49	5910167	49	4217981	48
90	49	7756300	48	1596638	50	1911706	49	3033613	49	5539154	49	3838134	48
92	49	8393906	48	1649305	50	1938839	49	2506944	49	5093994	49	3417941	48
94	49	9114885	48	1705565	50	1968766	49	1944345	49	4543282	49	2942663	48
96	49	9933478	48	1765799	50	2001698	49	1342007	49	3827403	49	2383991	48
98	49	1086699	49	1830443	50	2037871	49	6955680	48	2798179	49	1668547	48
10	50	1193662	49	1900000	50	2077562	49	0000000	00	0000000	00	0000000	00

Compton Cross Sections vs. Angle of Scattered Quantum

20 50 = $\gamma$		$\sigma_1(w, \phi)$		$\gamma'$		$\sigma_s(\gamma')$		E		w'		$\sigma_s(w', \phi)$	
w		$\phi_0$				$\phi_0$						$\phi_0$	
10	50 N	1241408	48	4000000	49	4875000	49	1600000	50	1000000	50	4469070	49
90	49 N	1248147	48	4166666	49	4517187	49	1583333	50	9970887	49	4090854	49
80	49 N	1257235	48	4347826	49	4178804	49	1565217	50	9938837	49	3734197	49
70	49 N	1269274	48	4545454	49	3859943	49	1545454	50	9903379	49	3398958	49
60	49 N	1285046	48	4761904	49	3560714	49	1523809	50	9863939	49	3084963	49
50	49 N	1305567	48	5000000	49	3281250	49	1500000	50	9819805	49	2792002	49
40	49 N	1332188	48	5263157	49	3021710	49	1473684	50	9770084	49	2519819	49
30	49 N	1366714	48	5555555	49	2782291	49	1444444	50	9713641	49	2268092	49
20	49 N	1411597	48	5882353	49	2563235	49	1411764	50	9649012	49	2036418	49
10	49 N	1470221	48	6250000	49	2364843	49	1375000	50	9574271	49	1824287	49
00	00	1547339	48	6666666	49	2187500	49	1333333	50	9486833	49	1631039	49
10	49	1649768	48	7142857	49	2031696	49	1285714	50	9383148	49	1455809	49
20	49	1787504	48	7692307	49	1898076	49	1230769	50	9258201	49	1297447	49
30	49	1975621	48	8333333	49	1787500	49	1166666	50	9104654	49	1154388	49
35	49	2095432	48	8695652	49	1741202	49	1130434	50	9013878	49	1087947	49
40	49	2237556	48	9090909	49	1701136	49	1090909	50	8911327	49	1024452	49
45	49	2407205	48	9523809	49	1667522	49	1047619	50	8794529	49	9634811	48
50	49	2611135	48	1000000	50	1640625	49	1000000	50	8660254	49	9045238	48
55	49	2858202	48	1052631	50	1620764	49	9473684	49	8504200	49	8469543	48
60	49	3160175	48	1111111	50	1608333	49	8888889	49	8320502	49	7899960	48
62	49	3299722	48	1136363	50	1605545	49	8636364	49	8237544	49	7671737	48
64	49	3451781	48	1162790	50	1604058	49	8372093	49	8148217	49	7442230	48
66	49	3617776	48	1190476	50	1603910	49	8095238	49	8051739	49	7210625	48
68	49	3799330	48	1219512	50	1605146	49	7804878	49	7947194	49	6976025	48
70	49	3998301	48	1250000	50	1607812	49	7500000	49	7833494	49	6737424	48
72	49	4216825	48	1282051	50	1611961	49	7179487	49	7709342	49	6493698	48
74	49	4457361	48	1315789	50	1617651	49	6842105	49	7573172	49	6243577	48
76	49	4722757	48	1351351	50	1624946	49	6486486	49	7423074	49	5985619	48
78	49	5016317	48	1388888	50	1633916	49	6111111	49	7256691	49	5718167	48
80	49	5341898	48	1428571	50	1644642	49	5714286	49	7071067	49	5439301	48
82	49	5704015	48	1470588	50	1657213	49	5294118	49	6862435	49	5146753	48
84	49	6107981	48	1515151	50	1671727	49	4848485	49	6625891	49	4837792	48
86	49	6560077	48	1562500	50	1688296	49	4375000	49	6354889	49	4509035	48
88	49	7067772	48	1612903	50	1707048	49	3870968	49	6040404	49	4156133	48
90	49	7639989	48	1666666	50	1728125	49	3333333	49	5669467	49	3773189	48
92	49	8287457	48	1724137	50	1751689	49	2758621	49	5222329	49	3351590	48
94	49	9023154	48	1785714	50	1777928	49	2142857	49	4666282	49	2877334	48
96	49	9862888	48	1851851	50	1807055	49	1481481	49	3939192	49	2323511	48
98	49	1082605	49	1923076	50	1839317	49	7692310	48	2886751	49	1620109	48
10	50	1193662	49	2000000	50	1875000	49	0000000	00	0000000	00	0000000	00

Compton Cross Sections vs. Angle of Scattered Quantum

25 50 = $\gamma$		$\sigma_1(w, \phi)$		$\gamma'$		$\sigma_2(\gamma')$		E		w'		$\sigma_3(w', \phi)$	
w		$\phi_0$				$\phi_0$						$\phi_0$	
10	50 N	1022349	48	4166666	49	3700000	49	2083333	50	1000000	50	5009512	49
90	49 N	1035063	48	4347826	49	3440347	49	2065217	50	9978586	49	4606841	49
80	49 N	1049992	48	4545454	49	3193090	49	2045454	50	9954954	49	4224243	49
70	49 N	1067632	48	4761904	49	2958285	49	2023809	50	9928740	49	3861654	49
60	49 N	1088619	48	5000000	49	2736000	49	2000000	50	9899494	49	3518950	49
50	49 N	1113783	48	5263158	49	2526315	49	1973684	50	9866660	49	3196014	49
40	49 N	1144212	48	5555555	49	2329333	49	1944444	50	9829532	49	2892677	49
30	49 N	1181368	48	5882353	49	2145176	49	1911764	50	9787209	49	2608744	49
20	49 N	1227233	48	6250000	49	1974000	49	1875000	50	9738516	49	2343945	49
10	49 N	1284557	48	6666666	49	1816000	49	1833333	50	9681897	49	2097941	49
00	00	1357225	48	7142857	49	1671428	49	1785714	50	9615239	49	1870285	49
10	49	1450867	48	7692307	49	1540615	49	1730769	50	9535608	49	1660364	49
20	49	1573865	48	8333333	49	1424000	49	1666666	50	9438798	49	1467349	49
30	49	1739105	48	9090909	49	1322181	49	1590909	50	9318553	49	1290067	49
35	49	1843557	48	9523809	49	1277071	49	1547619	50	9246802	49	1206826	49
40	49	1967155	48	1000000	50	1236000	49	1500000	50	9165151	49	1126829	49
45	49	2114656	48	1052631	50	1199131	49	1447368	50	9071387	49	1049736	49
50	49	2292355	48	1111111	50	1166666	49	1388888	50	8962581	49	9751211	48
55	49	2508707	48	1176470	50	1138852	49	1323529	50	8834766	49	9024554	48
60	49	2775264	48	1250000	50	1116000	49	1250000	50	8682431	49	8310675	48
62	49	2899351	48	1282051	50	1108332	49	1217948	50	8612970	49	8026854	48
64	49	3035267	48	1315789	50	1101549	49	1184210	50	8537714	49	7743070	48
66	49	3184506	48	1351351	50	1095684	49	1148648	50	8455894	49	7458604	48
68	49	3348803	48	1388888	50	1090773	49	1111111	50	8366600	49	7172633	48
70	49	3530177	48	1428571	50	1086857	49	1077142	50	8268741	49	6884254	48
72	49	3730989	48	1470588	50	1083981	49	1029411	50	8161001	49	6592436	48
74	49	3954015	48	1515151	50	1082196	49	9848485	49	8041769	49	6296023	48
76	49	4202529	48	1562500	50	1081560	49	9375000	49	7909057	49	5993702	48
78	49	4480421	48	1612903	50	1082136	49	8870968	49	7760377	49	5683970	48
80	49	4792332	48	1666666	50	1084000	49	8333333	49	7592566	49	5365093	48
82	49	5143832	48	1724137	50	1087233	49	7758621	49	7401527	49	5035051	48
84	49	5541654	48	1785714	50	1091931	49	7142857	49	7181848	49	4691445	48
86	49	5993986	48	1851851	50	1098204	49	6481481	49	6926184	49	4331375	48
88	49	6511864	48	1923076	50	1106178	49	5769231	49	6624243	49	3951194	48
90	49	7104676	48	2000000	50	1116000	49	5000000	49	6260990	49	3546102	48
92	49	7790855	48	2083333	50	1127840	49	4166667	49	5813183	49	3109274	48
94	49	8588794	48	2173913	50	1141899	49	3260869	49	5241816	49	2629817	48
96	49	9523109	48	2272727	50	1158414	49	2272727	49	4472135	49	2086843	48
98	49	1062538	49	2380952	50	1177668	49	1190476	49	3318318	49	1424907	48
10	50	1193662	49	2500000	50	1200000	49	0000000	00	0000000	00	0000000	00

Compton Cross Sections vs. Angle of Scattered Quantum

30 50 = $\gamma$		$\sigma_1(w, \phi)$		$\gamma'$		$\sigma_2(\gamma')$		E		$w'$		$\sigma_3(w', \phi)$	
w		$\phi_0$				$\phi_0$						$\phi_0$	
10	50 N	87000159	47	4285714	49	2976190	49	2571428	50	10000000	50	5568102	49
90	49 N	8853752	47	4477611	49	2774689	49	2552238	50	9983593	49	5139184	49
80	49 N	9028599	47	4687500	49	2581770	49	2531250	50	9965457	49	4729267	49
70	49 N	9229042	47	4918032	49	2397472	49	2508196	50	9945305	49	4338308	49
60	49 N	9460612	47	5172413	49	2221839	49	2482758	50	9922778	49	3966244	49
50	49 N	9730453	47	5454545	49	2054924	49	2454545	50	9897433	49	3613001	49
40	49 N	1004792	48	5769230	49	1896794	49	2423076	50	9868703	49	3278478	49
30	49 N	1042548	48	6122448	49	1747534	49	2387755	50	9835862	49	2962549	49
20	49 N	1088001	48	6521739	49	1607246	49	2347826	50	9797959	49	2665048	49
10	49 N	1143487	48	6976744	49	1476065	49	2302325	50	9753724	49	2385751	49
00	00	1212313	48	7500000	49	1354166	49	2250000	50	9701425	49	2124360	49
10	49	1299282	48	8108108	49	1241779	49	2189189	50	9638632	49	1880452	49
20	49	1411597	48	8823529	49	1139215	49	2117647	50	9561828	49	1653438	49
30	49	1560443	48	9677419	49	1046908	49	2032258	50	9465727	49	1442454	49
40	49	1763957	48	1071428	50	9654761	48	1928571	50	9341987	49	1246214	49
50	49	2053098	48	1200000	50	8958333	48	1800000	50	9176629	49	1062723	49
60	49	2484180	48	1363636	50	8393939	48	1636363	50	8944271	49	8887674	48
62	49	2595646	48	1401869	50	8298707	48	1598130	50	8886002	49	8546995	48
64	49	2718143	48	1442307	50	8209871	48	1557692	50	8822575	49	8207506	48
66	49	2853171	48	1485148	50	8127706	48	1514851	50	8753269	49	7868553	48
68	49	3002493	48	1530612	50	8052517	48	1469387	50	8677218	49	7529403	48
70	49	3168190	48	1578947	50	7984649	48	1421052	50	8593378	49	7189223	48
72	49	3352729	48	1630434	50	7924492	48	1369565	50	8500474	49	6847075	48
74	49	3559055	48	1685393	50	7872490	48	1314606	50	8396932	49	6501887	48
76	49	3790706	48	1744186	50	7829147	48	1255813	50	8280786	49	6152446	48
78	49	4051956	48	1807228	50	7795039	48	1192771	50	8149545	49	5797355	48
80	49	4348007	48	1875000	50	7770833	48	1125000	50	8000000	49	5435009	48
82	49	4685236	48	1948052	50	7757294	48	1051948	50	7827936	49	5063542	48
84	49	5071526	48	2027027	50	7755315	48	9729730	49	7627700	49	4680774	48
86	49	5516707	48	2112676	50	7765939	48	8873239	49	7391491	49	4284101	48
88	49	6033150	48	2205882	50	7790392	48	7941176	49	7108186	49	3870348	48
90	49	6636587	48	2307692	50	7830128	48	6923077	49	6761234	49	3435476	48
91	49	6977034	48	2362204	50	7856256	48	6377953	49	6556300	49	3208479	48
92	49	7347246	48	2419354	50	7886881	48	5806452	49	6324555	49	2973956	48
93	49	7750716	48	2479338	50	7922276	48	5206612	49	6059811	49	2730742	48
94	49	8191457	48	2542372	50	7962739	48	4576271	49	5753559	49	2477272	48
95	49	8674088	48	2608695	50	8008604	48	3913043	49	5393598	49	2211300	48
96	49	9203954	48	2678571	50	8060237	48	3214286	49	4961389	49	1929321	48
97	49	9787261	48	2752293	50	8118046	48	2477064	49	4426266	49	1625215	48
98	49	1043124	49	2830188	50	8182484	48	1698113	49	3730019	49	1286420	48
99	49	1114437	49	2912621	50	8254057	48	8737860	48	2727977	49	8783212	47
10	50	1193662	49	3000000	50	8333333	48	0000000	00	0000000	00	0000000	00

Compton Cross Sections vs. Angle of Scattered Quantum

35 50 = $\gamma$		$\sigma_1(w, \phi)$		$\gamma'$		$\sigma_2(\gamma')$		E		$w'$		$\sigma_3(w', \phi)$	
w		$\phi_0$				$\phi_0$						$\phi_0$	
10	50N	7576956	47	4375000	49	2487245	49	3062500	50	1000000	50	6137334	49
90	49N	7741255	47	4575163	49	2323689	49	3042483	50	9987029	49	5681126	49
80	49N	7925998	47	4794520	49	2166424	49	3020547	50	9972677	49	5243104	49
70	49N	8135121	47	5035971	49	2015475	49	2996402	50	9956709	49	4823242	49
60	49N	8373603	47	5303030	49	1870872	49	2969697	50	9938837	49	4421511	49
50	49N	8647842	47	5600000	49	1732653	49	2940000	50	9918697	49	4037860	49
40	49N	8966167	47	5932203	49	1600864	49	2906779	50	9895830	49	3672239	49
30	49N	9339609	47	6306306	49	1475565	49	2869369	50	9869640	49	3324578	49
20	49N	9783057	47	6730769	49	1356828	49	2826923	50	9839347	49	2994768	49
10	49N	1031704	48	7216495	49	1244750	49	2778350	50	9803902	49	2682677	49
00	00	1097055	48	7777777	49	1139455	49	2722222	50	9761870	49	2388112	49
10	49	1178575	48	8433735	49	1041111	49	2656626	50	9711225	49	2110791	49
20	49	1282590	48	9210526	49	9499463	48	2578947	50	9649012	49	1850310	49
30	49	1418983	48	1014492	50	8662822	48	2485507	50	9570755	49	1606053	49
40	49	1603917	48	1129032	50	7905859	48	2370967	50	9469313	49	1377063	49
50	49	1865377	48	1272727	50	7235621	48	2227272	50	9332565	49	1161792	49
60	49	2255385	48	1458333	50	6663265	48	2041666	50	9138115	49	9576259	48
62	49	2356569	48	1502145	50	6561993	48	1997854	50	9088932	49	9177698	48
64	49	2467996	48	1548672	50	6465544	48	1951327	50	9035205	49	8781333	48
66	49	2591134	48	1598173	50	6374146	48	1901826	50	8976270	49	8386582	48
68	49	2727726	48	1650943	50	6288055	48	1849056	50	8911327	49	7992793	48
70	49	2879849	48	1707317	50	6207566	48	1792682	50	8839403	49	7599212	48
72	49	3049998	48	1767676	50	6133012	48	1732323	50	8759298	49	7204980	48
74	49	3241188	48	1832460	50	6064776	48	1667539	50	8669521	49	6809115	48
76	49	3457090	48	1902173	50	6003301	48	1597826	50	8568191	49	6410483	48
78	49	3702207	48	1977401	50	5949097	48	1522598	50	8452898	49	6007784	48
80	49	39822113	48	2058823	50	5902761	48	1441176	50	8320502	49	5599507	48
82	49	4303762	48	2147239	50	5864990	48	1352760	50	8166833	49	5183908	48
84	49	4675925	48	2243589	50	5836609	48	1256410	50	7986208	49	4758944	48
86	49	5109775	48	2348993	50	5818594	48	1151006	50	7770674	49	4322218	48
88	49	5619711	48	2464788	50	5812118	48	1035211	50	7508695	49	3870864	48
90	49	6224532	48	2592592	50	5818594	48	9074074	49	7182782	49	3401369	48
91	49	6570003	48	2661597	50	5827213	48	8384030	49	6987693	49	3158450	48
92	49	6949125	48	2734375	50	5839745	48	7656250	49	6764814	49	2909159	48
93	49	7366365	48	2811245	50	5856468	48	6887550	49	6507306	49	2652593	48
94	49	7826946	48	2892562	50	5877693	48	6074380	49	6205666	49	2387561	48
95	49	8336997	48	2978723	50	5903766	48	5212766	49	5846128	49	2112368	48
96	49	8903753	48	3070175	50	5935080	48	4298246	49	5407575	49	1824358	48
97	49	9535793	48	3167420	50	5972073	48	3325792	49	4854827	49	1518808	48
98	49	1024334	49	3271028	50	6015243	48	2289720	49	4120816	49	1185705	48
99	49	1103868	49	3381642	50	6065154	48	1183575	49	3039084	49	7963687	47
10	50	1193662	49	3500000	50	6122449	48	0000000	00	0000000	00	0000000	00

Compton Cross Sections vs. Angle of Scattered Quantum

40	50 = $\gamma$	$\sigma_i(w, \phi)$		$\gamma'$	$\sigma_s(\gamma')$		E	$w'$	$\sigma_s(w', \phi)$				
w		$\phi_0$			$\phi_0$				$\phi_0$				
10	50 N	6713325	47	4444444	49	2135416	49	3555555	50	1000000	50	6713325	49
90	49 N	6380405	47	4651162	49	1998346	49	3534883	50	9989490	49	6229187	49
80	49 N	7067132	47	4878048	49	1866082	49	3512195	50	9977851	49	5762588	49
70	49 N	7277145	47	5128205	49	1738641	49	3487179	50	9964891	49	5313508	49
60	49 N	7515030	47	5405405	49	1616047	49	3459459	50	9950371	49	4881941	49
50	49 N	7786643	47	5714285	49	1498325	49	3428571	50	9933992	49	4467881	49
40	49 N	8099576	47	6060606	49	1385511	49	3393939	50	9915372	49	4071285	49
30	49 N	8463837	47	6451612	49	1277646	49	3354838	50	9894016	49	3692123	49
20	49 N	8892877	47	6896551	49	1174784	49	3310344	50	9869275	49	3330341	49
10	49 N	9405176	47	7407407	49	1076996	49	3259259	50	9840273	49	2985870	49
00	00	1002676	48	8000000	49	9843750	48	3200000	50	9805806	49	2658585	49
10	49	1079539	48	8695652	49	8970448	48	3130434	50	9764168	49	2348323	49
20	49	1176777	48	9523809	49	8151785	48	3047619	50	9712858	49	2054815	49
30	49	1303256	48	1052631	50	7390213	48	2947368	50	9648062	49	1777646	49
40	49	1473551	48	1176470	50	6689338	48	2823529	50	9563650	49	1516131	49
50	49	1713126	48	1333333	50	6054687	48	2666666	50	9449111	49	1269101	49
60	49	2070028	48	1538461	50	5495192	48	2461538	50	9284766	49	1034482	49
62	49	2162765	48	1587301	50	5393497	48	2412698	50	9242924	49	9887544	48
64	49	2265018	48	1639344	50	5295553	48	2360655	50	9197090	49	9433340	48
66	49	2378203	48	1694915	50	5201551	48	2305084	50	9146661	49	8981789	48
68	49	2504013	48	1754386	50	5111710	48	2245614	50	9090909	49	8532075	48
70	49	2644486	48	1818181	50	5026278	48	2181818	50	9028939	49	8083767	48
72	49	2802091	48	1886792	50	4945542	48	2113207	50	8959644	49	7636002	48
74	49	2979847	48	1960784	50	4869834	48	2039215	50	8881638	49	7187891	48
76	49	3181468	48	2040816	50	4799540	48	1959183	50	8793155	49	6738385	48
78	49	3411573	48	2127659	50	4735113	48	1872340	50	8691918	49	6286271	48
80	49	3675955	48	2222222	50	4677083	48	1777777	50	8574929	49	5830134	48
82	49	3981957	48	2325581	50	4626083	48	1674418	50	8438159	49	5368321	48
84	49	4338999	48	2439024	50	4582865	48	1560975	50	8276058	49	4898982	48
86	49	4759309	48	2564102	50	4548341	48	1435897	50	8080749	49	4419622	48
88	49	5258989	48	2702702	50	4523614	48	1297297	50	7840625	49	3927829	48
90	49	5859558	48	2857142	50	4510044	48	1142857	50	7537783	49	3420376	48
91	49	6206430	48	2941176	50	4507954	48	1058823	50	7354355	49	3159607	48
92	49	6590269	48	3030303	50	4509318	48	9696970	49	7142857	49	2893391	48
93	49	7016516	48	3125000	50	4514414	48	8750000	49	6895966	49	2621032	48
94	49	7491640	48	3225806	50	4523558	48	7741936	49	6603381	49	2341640	48
95	49	8023370	48	3333333	50	4537109	48	6666667	49	6250000	49	2053982	48
96	49	8621001	48	3448275	50	4555474	48	5517241	49	5812382	49	1756124	48
97	49	9295781	48	3571428	50	4579118	48	4285714	49	5251050	49	1444541	48
98	49	1006142	49	3703703	50	4608576	48	2962963	49	4490132	49	1111429	48
99	49	1093475	49	3846153	50	4644465	48	1538462	49	3340765	49	7331809	47
10	50	1193662	49	4000000	50	4687500	48	0000000	00	0000000	00	0000000	00



Compton Cross Sections vs. Angle of Scattered Quantum

45	50 = $\gamma$	$\sigma_1(w, \phi)$		$\gamma'$	$\sigma_2(\gamma')$		E	$w'$	$\sigma_3(w', \phi)$				
w		$\phi_0$			$\phi_0$				$\phi_0$				
10	50N	6027993	47	4500000	49	1870370	49	4050000	50	1000000	50	7293872	49
90	49N	6193726	47	4712041	49	1752724	49	4028795	50	9991311	49	6781368	49
80	49N	6378322	47	4945055	49	1638868	49	4005494	50	9981685	49	6285866	49
70	49N	6585188	47	5202312	49	1528816	49	3979768	50	9970958	49	5807388	49
60	49N	6818600	47	5487804	49	1422583	49	3951219	50	9958932	49	5345918	49
50	49N	7084000	47	5806451	49	1320191	49	3919354	50	9945354	49	4901462	49
40	49N	7388414	47	6164383	49	1221664	49	3883561	50	9929905	49	4474011	49
30	49N	7741072	47	6569343	49	1127034	49	3843065	50	9912168	49	4063560	49
20	49N	8154335	47	7031250	49	1036342	49	3796875	50	9891595	49	3670094	49
10	49N	8645123	47	7563025	49	9496420	48	3743697	50	9867446	49	3293575	49
00	00	9237204	47	8181818	49	8670033	48	3681818	50	9838699	49	2933951	49
10	49	9964977	47	8910891	49	7885221	48	3608910	50	9803902	49	2591131	49
20	49	1088001	48	9782608	49	7143317	48	3521739	50	9760921	49	2264968	49
30	49	1206298	48	1084337	50	6446229	48	3415662	50	9706482	49	1955197	49
40	49	1364676	48	1216216	50	5796796	48	3283783	50	9635293	49	1661356	49
50	49	1586478	48	1384615	50	5199430	48	3115384	50	9538209	49	1382607	49
60	49	1916210	48	1607142	50	4661375	48	2892857	50	9397934	49	1117355	49
62	49	2001927	48	1660516	50	4561858	48	2839483	50	9362036	49	1065687	49
64	49	2096507	48	1717557	50	4465332	48	2782442	50	9322629	49	1014405	49
66	49	2201304	48	1778656	50	4371957	48	2721343	50	9279168	49	9634650	48
68	49	2317949	48	1844262	50	4281918	48	2655737	50	9230995	49	9128170	48
70	49	2448419	48	1914893	50	4195429	48	2585106	50	9177294	49	8624020	48
72	49	2595130	48	1991150	50	4112736	48	2508849	50	9117055	49	8121511	48
74	49	2761057	48	2073732	50	4034128	48	2426267	50	9049001	49	7619832	48
76	49	2949900	48	2163461	50	3959942	48	2336538	50	8971499	49	7118035	48
78	49	3166308	48	2261306	50	3890578	48	2238693	50	8882423	49	6614994	48
80	49	3416181	48	2368421	50	3826510	48	2131578	50	8778955	49	6109386	48
82	49	3707100	48	2486187	50	3768307	48	2013812	50	8657273	49	5599656	48
84	49	4048935	48	2616279	50	3716658	48	1883720	50	8512055	49	5083968	48
86	49	4454717	48	2760736	50	3672401	48	1739263	50	8335657	49	4560180	48
88	49	4941926	48	2922077	50	3636575	48	1577922	50	8116663	49	4025795	48
90	49	5534433	48	3103448	50	3610472	48	1396551	50	7837175	49	3477922	48
91	49	5880083	48	3202847	50	3601562	48	1297153	50	7666130	49	3197902	48
92	49	6265480	48	3308823	50	3595729	48	1191176	50	7467286	49	2913206	48
93	49	6697016	48	3422053	50	3593252	48	1077946	50	7232997	49	2623300	48
94	49	7182404	48	3543307	50	3594447	48	9566929	49	6952377	49	2327542	48
95	49	7731018	48	3673469	50	3599678	48	8265306	49	6609259	49	2025087	48
96	49	8354338	48	3813559	50	3609365	48	6864407	49	6178215	49	1714621	48
97	49	9066528	48	3964757	50	3623994	48	5352423	49	5615851	49	1393676	48
98	49	9885217	48	4128440	50	3644131	48	3715596	49	4837794	49	1056402	48
99	49	1083255	49	4306220	50	3670440	48	1937799	49	3632520	49	6836472	47
10	50	1193662	49	4500000	50	3703703	48	0000000	00	0000000	00	0000000	00

Compton Cross Sections vs. Angle of Scattered Quantum

50 50 = $\gamma$		$\sigma_1(w, \phi)$		$\gamma'$		$\sigma_2(\gamma')$		E		w'		$\sigma_3(w', \phi)$	
w		$\phi_0$				$\phi_0$						$\phi_0$	
10	50N	5470577	47	4545454	49	1663636	49	4545454	50	1000000	50	7877631	49
90	49N	5632806	47	4761904	49	1560785	49	4523809	50	9992698	49	7336452	49
80	49N	5813134	47	5000000	49	1461000	49	4500000	50	9984603	49	6811858	49
70	49N	6014776	47	5263158	49	1364289	49	4473684	50	9975579	49	6303839	49
60	49N	6241755	47	5555555	49	1270666	49	4444444	50	9965457	49	5812429	49
50	49N	6499179	47	5882353	49	1180147	49	4411764	50	9954022	49	5337626	49
40	49N	6793615	47	6250000	49	1092750	49	4375000	50	9941002	49	4879427	49
30	49N	7133677	47	6666666	49	1008500	49	4333333	50	9926042	49	4437870	49
20	49N	7530858	47	7142857	49	9274285	48	4285714	50	9908673	49	4012944	49
10	49N	8000850	47	7692307	49	8495769	48	4230769	50	9888264	49	3604658	49
00	00	8565631	47	8333333	49	7750000	48	4166666	50	9863939	49	3212999	49
10	49	9256934	47	9090909	49	7037727	48	4090909	50	9834450	49	2837949	49
20	49	1012225	48	1000000	50	6360000	48	4000000	50	9797959	49	2479435	49
30	49	1123581	48	1111111	50	5718333	48	3888888	50	9751632	49	2137328	49
40	49	1271996	48	1250000	50	5115000	48	3750000	50	9690874	49	1811347	49
50	49	1479027	48	1428571	50	4553571	48	3571428	50	9607689	49	1500934	49
60	49	1786072	48	1666666	50	4040000	48	3333333	50	9486833	49	1204918	49
62	49	1865879	48	1724138	50	3943841	48	3275862	50	9455779	49	1147258	49
64	49	1953969	48	1785714	50	3850114	48	3214285	50	9421630	49	1090051	49
66	49	2051633	48	1851851	50	3758955	48	3148148	50	9383898	49	1033261	49
68	49	2160435	48	1923076	50	3670523	48	3076923	50	9341987	49	9768460	48
70	49	2282281	48	2000000	50	3585000	48	3000000	50	9295160	49	9207541	48
72	49	2419514	48	2083333	50	3502600	48	2916666	50	9242495	49	8649260	48
74	49	2575041	48	2173913	50	3423573	48	2826086	50	9182827	49	8092899	48
76	49	2752507	48	2272727	50	3348218	48	2727272	50	9114654	49	7537597	48
78	49	2956533	48	2380952	50	3276885	48	2619047	50	9036010	49	6982333	48
80	49	3193046	48	2500000	50	3210000	48	2500000	50	8944271	49	6425881	48
82	49	3469747	48	2631579	50	3148073	48	2368421	50	8835852	49	5866782	48
84	49	3796795	48	2777777	50	3091733	48	2222222	50	8705715	49	5303301	48
86	49	4187802	48	2941176	50	3041753	48	2058823	50	8546547	49	4733393	48
88	49	4661343	48	3125000	50	2999100	48	1875000	50	8347300	49	4154684	48
90	49	5243271	48	3333333	50	2965000	48	1666666	50	8090398	49	3564471	48
91	49	5585813	48	3448275	50	2951632	48	1551724	50	7931747	49	3264129	48
92	49	5970398	48	3571428	50	2941028	48	1428571	50	7745966	49	2959776	48
93	49	6404318	48	3703703	50	2933461	48	1296296	50	7525238	49	2651006	48
94	49	6896509	48	3846153	50	2929246	48	1153846	50	7258300	49	2337381	48
95	49	7458000	48	4000000	50	2928750	48	1000000	50	6928203	49	2018380	48
96	49	8102533	48	4166666	50	2932400	48	8333333	49	6507913	49	1693237	48
97	49	8847383	48	4347826	50	2940697	48	6521739	49	5950616	49	1360423	48
98	49	9714490	48	4545454	50	2954236	48	4545454	49	5163977	49	1015849	48
99	49	1073202	49	4761904	50	2973721	48	2380952	49	3913968	49	6443656	47
10	50	1193662	49	5000000	50	3000000	48	0000000	00	0000000	00	0000000	00

Compton Cross Sections vs. Angle of Scattered Quantum

55 50 = $\gamma$		$\sigma_1(w, \phi)$		$\gamma'$	$\sigma_2(\gamma')$		E	$w'$	$\sigma_1(w', \phi)$				
w	$\phi_s$				$\phi_s$				$\phi_s$				
10	50N	5008130	47	4583333	49	1497933	49	5041666	50	1000000	50	8463740	49
90	49N	5165761	47	4803493	49	1406694	49	5019650	50	9993777	49	7893675	49
80	49N	5340757	47	5045871	49	1317984	49	4995412	50	9986876	49	7339818	49
70	49N	5536168	47	5314009	49	1231812	49	4968599	50	9979181	49	6802197	49
60	49N	5755803	47	5612245	49	1148186	49	4938775	50	9970544	49	6280825	49
50	49N	6004483	47	5945946	49	1067120	49	4905405	50	9960784	49	5775697	49
40	49N	6288404	47	6321839	49	9886292	48	4867816	50	9949664	49	5286861	49
30	49N	6615661	47	6748466	49	9127313	48	4825153	50	9936879	49	4814339	49
20	49N	6997037	47	7236842	49	8394519	48	4776315	50	9922026	49	4358149	49
10	49N	7447216	47	7801418	49	7688236	48	4719858	50	9904557	49	3918328	49
00	00	7986723	47	8461538	49	7008900	48	4653846	50	9883717	49	3494898	49
10	49	8645123	47	9243697	49	6357108	48	4575630	50	9858422	49	3087879	49
20	49	9466578	47	1018518	50	5733700	48	4481481	50	9827076	49	2697286	49
30	49	1052002	48	1134020	50	5139899	48	4365979	50	9787209	49	2323072	49
40	49	1191905	48	1279069	50	4577551	48	4220930	50	9734801	49	1965122	49
50	49	1386416	48	1466666	50	4049586	48	4033333	50	9662823	49	1623111	49
60	49	1674215	48	1718750	50	3560950	48	3781250	50	9557790	49	1296241	49
62	49	1748984	48	1779935	50	3468625	48	3720064	50	9530714	49	1232547	49
64	49	1831523	48	1845637	50	3378310	48	3654362	50	9500898	49	1169366	49
66	49	1923064	48	1916376	50	3290122	48	3583623	50	9467902	49	1106666	49
68	49	2025100	48	1992753	50	3204196	48	3507246	50	9431191	49	1044415	49
70	49	2139462	48	2075471	50	3120692	48	3424528	50	9390096	49	9825705	48
72	49	2268413	48	2165354	50	3039794	48	3334645	50	9343782	49	9210791	48
74	49	2414778	48	2263374	50	2961722	48	3236625	50	9291185	49	8598790	48
76	49	2582122	48	2370689	50	2886736	48	3129310	50	9230930	49	7988944	48
78	49	2774998	48	2488687	50	2815151	48	3011312	50	9161209	49	7380338	48
80	49	2999300	48	2619047	50	2747343	48	2880952	50	9079593	49	6771849	48
82	49	3262763	48	2763819	50	2683775	48	2736180	50	8982742	49	6162125	48
84	49	3575708	48	2925531	50	2625018	48	2574468	50	8865926	49	5549533	48
86	49	3952149	48	3107344	50	2571783	48	2392655	50	8722222	49	4932131	48
88	49	4411493	48	3313253	50	2524970	48	2186747	50	8541056	49	4307646	48
90	49	4981238	48	3548387	50	2485737	48	1951612	50	8305395	49	3673526	48
91	49	5319337	48	3678929	50	2469416	48	1821070	50	8158710	49	3352005	48
92	49	5701337	48	3819444	50	2455592	48	1680555	50	7985836	49	3027068	48
93	49	6135380	48	3971119	50	2444531	48	1528880	50	7778914	49	2698406	48
94	49	6631574	48	4135338	50	2436545	48	1364661	50	7526489	49	2365748	48
95	49	7202591	48	4313725	50	2432000	48	1186274	50	7211102	49	2028852	48
96	49	7864472	48	4508196	50	2431329	48	9918033	49	6804511	49	1687429	48
97	49	8637748	48	4721030	50	2435044	48	7789699	49	6257042	49	1340795	48
98	49	9549010	48	4954955	50	2443761	48	5450450	49	5469141	49	9864785	47
99	49	1063315	49	5213270	50	2458223	48	2867298	49	4184848	49	6129846	47
10	50	1193662	49	5500000	50	2479338	48	0000000	00	0000000	00	0000000	00

Compton Cross Sections vs. Angle of Scattered Quantum

60	50 = $\gamma$	$\sigma_1(w, \phi)$		$\gamma'$	$\sigma_2(\gamma')$		E	$w'$		$\sigma_3(w', \phi)$			
w		$\phi_0$			$\phi_0$					$\phi_0$			
10	50 N	4618173	47	4615384	49	1362179	49	5538461	50	1000000	50	9051620	49
90	49 N	4770706	47	4838709	49	1280275	49	5516129	50	9994633	49	8452505	49
80	49 N	4939906	47	5084745	49	1200494	49	5491525	50	9988681	49	7869290	49
70	49 N	5128676	47	5357142	49	1122842	49	5464285	50	9982041	49	7301998	49
60	49 N	5340639	47	5660377	49	1047327	49	5433962	50	9974587	49	6750631	49
50	49 N	5580370	47	6000000	49	9739583	48	5400000	50	9966158	49	6215237	49
40	49 N	5853741	47	6382978	49	9027482	48	5361702	50	9956553	49	5695851	49
30	49 N	6168411	47	6818181	49	8337121	48	5318181	50	9945503	49	5192492	49
20	49 N	6534564	47	7317073	49	7668699	48	5268292	50	9932659	49	4705207	49
10	49 N	6966038	47	7894737	49	7022478	48	5210526	50	9917543	49	4234036	49
00	00	7482137	47	8571428	49	6398809	48	5142857	50	9899494	49	3779050	49
10	49	8110621	47	9375000	49	5798177	48	5062500	50	9877569	49	3340295	49
20	49	8892877	47	1034482	50	5221264	48	4965517	50	9850365	49	2917837	49
30	49	9893418	47	1153846	50	4669070	48	4846153	50	9815717	49	2511728	49
40	49	1121848	48	1304347	50	4143116	48	4695652	50	9770084	49	2121962	49
50	49	1305567	48	1500000	50	3645833	48	4500000	50	9707253	49	1748422	49
60	49	1576809	48	1764705	50	3181372	48	4235294	50	9615239	49	1390641	49
62	49	1647231	48	1829268	50	3092998	48	4170731	50	9591457	49	1320882	49
64	49	1724971	48	1898734	50	3006308	48	4101265	50	9565237	49	1251687	49
66	49	1811202	48	1973684	50	2921403	48	4026315	50	9536187	49	1183032	49
68	49	1907351	48	2054794	50	2838402	48	3945205	50	9503819	49	1114890	49
70	49	2015174	48	2142857	50	2757440	48	3857142	50	9467531	49	1047227	49
72	49	2136850	48	2238806	50	2678681	48	3761194	50	9426563	49	9799997	48
74	49	2275113	48	2343750	50	2602317	48	3656250	50	9379948	49	9131549	48
76	49	2433433	48	2459016	50	2528579	48	3540983	50	9326427	49	8466270	48
78	49	2616274	48	2586206	50	2457744	48	3413793	50	9264341	49	7803350	48
80	49	2829454	48	2727272	50	2390151	48	3272727	50	9191450	49	7141783	48
82	49	3080678	48	2884615	50	2326218	48	3115384	50	9104654	49	6480328	48
84	49	3380329	48	3061224	50	2266462	48	2938775	50	8999540	49	5817468	48
86	49	3742672	48	3260869	50	2211540	48	2739130	50	8869595	49	5151367	48
88	49	4187733	48	3488372	50	2162286	48	2511627	50	8704780	49	4479858	48
90	49	4744340	48	3750000	50	2119791	48	2250000	50	8488746	49	3800504	48
91	49	5077067	48	3896103	50	2101511	48	2103896	50	8353351	49	3457098	48
92	49	5455172	48	4054054	50	2085495	48	1945945	50	8192880	49	3110818	48
93	49	5887580	48	4225352	50	2072005	48	1774647	50	7999533	49	2761436	48
94	49	6385518	48	4411764	50	2061348	48	1588235	50	7761823	49	2408815	48
95	49	6963255	48	4615384	50	2053886	48	1384615	50	7462025	49	2052949	48
96	49	7639140	48	4838709	50	2050053	48	1161290	50	7071067	49	1693969	48
97	49	8437064	48	5084745	50	2050372	48	9152542	49	6537014	49	1331961	48
98	49	9388560	48	5357142	50	2055476	48	6428572	49	5753964	49	9659475	47
99	49	1053588	49	5660377	50	2066141	48	3396226	49	4445004	49	5878283	47
10	50	1193662	49	6000000	50	2083333	48	0000000	00	0000000	00	0000000	00

Compton Cross Sections vs. Angle of Scattered Quantum

65	50 = $\gamma$	$\sigma_1(w, \phi)$		$\gamma'$	$\sigma_2(\gamma')$		E	$w'$	$\sigma_1(w', \phi)$				
w		$\phi_0$			$\phi_0$				$\phi_0$				
10	50 N	4284829	47	4642857	49	1248943	49	6035714	50	1000000	50	9640866	49
90	49 N	4432101	47	4868913	49	1174695	49	6013108	50	9995324	49	9012564	49
80	49 N	4595380	47	5118110	49	1102255	49	5988189	50	9990138	49	8399918	49
70	49 N	4777438	47	5394190	49	1031626	49	5960580	50	9984350	49	7802916	49
60	49 N	4981729	47	5701754	49	9628152	48	5929824	50	9977851	49	7221579	49
50	49 N	5212616	47	6046511	49	8958304	48	5895348	50	9970501	49	6655941	49
40	49 N	5475686	47	6435643	49	8306813	48	5856435	50	9962121	49	6106072	49
30	49 N	5778219	47	6878307	49	7673804	48	5812169	50	9952477	49	5571981	49
20	49 N	6129876	47	7386363	49	7059440	48	5761363	50	9941262	49	5053731	49
10	49 N	6543778	47	7975460	49	6463934	48	5702454	50	9928056	49	4551385	49
00	00	7038184	47	8666666	49	5887573	48	5633333	50	9912279	49	4065017	49
10	49	7639316	47	9489051	49	5330756	48	5551094	50	9893097	49	3594720	49
20	49	8386205	47	1048387	50	4794044	48	5451612	50	9869275	49	3140596	49
30	49	9339609	47	1171171	50	4278266	48	5328828	50	9838899	49	2702763	49
40	49	1059948	48	1326530	50	3784687	48	5173469	50	9798830	49	2281324	49
50	49	1234236	48	1529411	50	3315349	48	4970588	50	9743547	49	1876331	49
60	49	1491054	48	1805555	50	2873767	48	4694444	50	9662349	49	1487605	49
62	49	1557684	48	1873198	50	2789276	48	4626801	50	9641316	49	1411757	49
64	49	1631233	48	1946107	50	2706214	48	4553892	50	9618107	49	1336518	49
66	49	1712818	48	2024922	50	2624668	48	4475077	50	9592365	49	1261869	49
68	49	1803802	48	2110389	50	2544741	48	4389610	50	9563650	49	1187792	49
70	49	1905870	48	2203389	50	2466553	48	4296610	50	9531417	49	1114258	49
72	49	2021115	48	2304964	50	2390245	48	4195035	50	9494975	49	1041233	49
74	49	2152180	48	2416356	50	2315988	48	4083643	50	9453441	49	9686751	48
76	49	2302434	48	2539062	50	2243986	48	3960937	50	9405667	49	8965269	48
78	49	2476231	48	2674897	50	2174487	48	3825102	50	9350130	49	8247193	48
80	49	2679289	48	2826087	50	2107795	48	3673913	50	9284766	49	7531631	48
82	49	2919235	48	2995391	50	2044286	48	3504608	50	9206709	49	6817472	48
84	49	3206441	48	3186274	50	1984434	48	3313725	50	9111851	49	6103317	48
86	49	3555301	48	3403141	50	1928840	48	3096858	50	8994091	49	5387448	48
88	49	3986278	48	3651685	50	1878282	48	2848314	50	8843954	49	4667810	48
90	49	4529252	48	3939394	50	1833781	48	2560606	50	8645856	49	3942076	48
91	49	4855980	48	4100946	50	1814214	48	2399053	50	8520954	49	3576182	48
92	49	5229232	48	4276315	50	1796711	48	2223684	50	8372183	49	3207925	48
93	49	5658650	48	4467353	50	1781525	48	2032646	50	8191882	49	2837136	48
94	49	6156507	48	4676259	50	1768956	48	1823741	50	7968659	49	2463789	48
95	49	6738617	48	4905660	50	1759364	48	1594339	50	7684732	49	2088079	48
96	49	7425617	48	5158730	50	1753181	48	1341269	50	7310552	49	1710505	48
97	49	8244817	48	5439330	50	1750934	48	1060669	50	6792501	49	1331855	48
98	49	9232936	48	5752212	50	1753274	48	7477876	49	6019292	49	9525459	47
99	49	1044019	49	6103286	50	1761006	48	3967136	49	4694381	49	5676699	47
10	50	1193662	49	6500000	50	1775147	48	0000000	00	0000000	00	0000000	00

Compton Cross Sections vs. Angle of Scattered Quantum

70	50 = $\gamma$	$\sigma_1(w, \phi)$		$\gamma'$	$\sigma_2(\gamma')$		E	$w'$	$\sigma_1(w', \phi)$		
w		$\phi_0$			$\phi_0$				$\phi_0$		
10	50N	3996557	47	4666666	49	1153061	49	6533333	50	1000000	50
90	49N	4138599	47	4895104	49	1085198	49	6510489	50	9995890	49
80	49N	4296024	47	5147058	49	1018892	49	6485294	50	9991330	49
70	49N	4471487	47	5426356	49	9541468	48	6457364	50	9986241	49
60	49N	4668292	47	5737704	49	8909668	48	6426229	50	9980525	49
50	49N	4890610	47	6086956	49	8293589	48	6391304	50	9974059	49
40	49N	5143775	47	6481481	49	7693310	48	6351851	50	9966685	49
30	49N	5434731	47	6930693	49	7108935	48	6306930	50	9958196	49
20	49N	5772687	47	7446808	49	6540598	48	6255319	50	9948320	49
10	49N	6170126	47	8045977	49	5988476	48	6195402	50	9936686	49
00	00	6644407	47	8750000	49	5452805	48	6125000	50	9922778	49
10	49	7220419	47	9589041	49	4933917	48	6041095	50	9905860	49
20	49	7935160	47	1060606	50	4432281	48	5939395	50	9884833	49
30	49	8846149	47	1186440	50	3948590	48	5813559	50	9857993	49
40	49	1004792	48	1346153	50	3483908	48	5653846	50	9822546	49
50	49	1170738	48	1555555	50	3039965	48	5444444	50	9773555	49
60	49	1414852	48	1842105	50	2619763	48	5157894	50	9701425	49
62	49	1478142	48	1912568	50	2538997	48	5087431	50	9682707	49
64	49	1547997	48	1988636	50	2459457	48	5011363	50	9662036	49
66	49	1625481	48	2071005	50	2381217	48	4928994	50	9639089	49
68	49	1711899	48	2160493	50	2304368	48	4839506	50	9613468	49
70	49	1808864	48	2258064	50	2229015	48	4741935	50	9584676	49
72	49	1918391	48	2364864	50	2155283	48	4635135	50	9552086	49
74	49	2043030	48	2482269	50	2083323	48	4517730	50	9514893	49
76	49	2186043	48	2611940	50	2013317	48	4388059	50	9472044	49
78	49	2351671	48	2755905	50	1945485	48	4244094	50	9422144	49
80	49	2545512	48	2916666	50	1880102	48	4083333	50	9363291	49
82	49	2775081	48	3097345	50	1817508	48	3902654	50	9292837	49
84	49	3050682	48	3301886	50	1758136	48	3698113	50	9206965	49
86	49	3386747	48	3535353	50	1702538	48	3464646	50	9099978	49
88	49	3804019	48	3804347	50	1651437	48	3195652	50	8962964	49
90	49	4333190	48	4117647	50	1605792	48	2882353	50	8781140	49
91	49	4653518	48	4294478	50	1585405	48	2705521	50	8665897	49
92	49	5021232	48	4487179	50	1566907	48	2512820	50	8528028	49
93	49	5446619	48	4697986	50	1550541	48	2302013	50	8360071	49
94	49	5942930	48	4929577	50	1536601	48	2070422	50	8150827	49
95	49	6527450	48	5185185	50	1525439	48	1814814	50	7882634	49
96	49	7223061	48	5468750	50	1517487	48	1531250	50	7525766	49
97	49	8060526	48	5785124	50	1513275	48	1214876	50	7025476	49
98	49	9081939	48	6140350	50	1513464	48	8596491	49	6266083	49
99	49	1034604	49	6542056	50	1518887	48	4579439	49	4933011	49
10	50	1193662	49	7000000	50	1530612	48	0000000	00	0000000	00

Compton Cross Sections vs. Angle of Scattered Quantum

75	50 = $\gamma$	$\sigma_1(w, \phi)$		$\gamma'$	$\sigma_2(\gamma')$		E	w'	$\sigma_3(w', \phi)$				
w		$\phi_0$			$\phi_0$				$\phi_0$				
10	50N	3744765	47	4687500	49	1070833	49	7031250	50	1000000	50	1082237	50
90	49N	3381714	47	4918032	49	1008371	49	7008196	50	9996359	49	1013545	50
80	49N	4033461	47	5172413	49	9472643	48	6982758	50	9992319	49	9463717	49
70	49N	4202551	47	5454545	49	8875151	48	6954545	50	9987809	49	8807202	49
60	49N	4392154	47	5769230	49	8291281	48	6923076	50	9982743	49	8165925	49
50	49N	4606266	47	6122449	49	7721088	48	6887755	50	9977011	49	7539954	49
40	49N	4849994	47	6521739	49	7164637	48	6847826	50	9970472	49	6929281	49
30	49N	5129982	47	6976744	49	6622015	48	6802325	50	9962943	49	6333988	49
20	49N	5455035	47	7500000	49	6093333	48	6750000	50	9954180	49	5754149	49
10	49N	5837074	47	8108108	49	5578738	48	6689189	50	9943854	49	5189839	49
00	00	6292662	47	3823529	49	5078431	48	6617647	50	9931506	49	4641160	49
10	49	6845516	47	9677419	49	4592688	48	6532258	50	9916475	49	4108252	49
20	49	7530858	47	1071428	50	4121904	48	6428571	50	9897782	49	3591275	49
30	49	8403380	47	1200000	50	3666666	48	6300000	50	9873903	49	3090447	49
40	49	9552883	47	1363636	50	3227878	48	6136363	50	9842332	49	2606037	49
50	49	1113783	48	1578947	50	2807017	48	5921052	50	9798637	49	2138362	49
60	49	1346600	48	1875000	50	2406666	48	5625000	50	9734171	49	1687716	49
62	49	1406922	48	1948052	50	2329426	48	5551948	50	9717417	49	1599642	49
64	49	1473492	48	2027027	50	2253246	48	5472973	50	9698902	49	1512247	49
66	49	1547328	48	2112676	50	2178193	48	5387323	50	9678334	49	1425529	49
68	49	1629678	48	2205882	50	2104345	48	5294117	50	9655351	49	1339477	49
70	49	1722089	48	2307692	50	2031794	48	5192307	50	9629500	49	1254078	49
72	49	1826502	48	2419354	50	1960653	48	5080645	50	9600208	49	1169316	49
74	49	1945373	48	2542372	50	1891055	48	4957627	50	9566741	49	1085164	49
76	49	2081861	48	2678571	50	1823161	48	4821428	50	9528134	49	1001586	49
78	49	2240088	48	2830188	50	1757172	48	4669811	50	9483104	49	9185373	48
80	49	2425521	48	3000000	50	1693333	48	4500000	50	9429903	49	8359516	48
82	49	2645544	48	3191489	50	1631954	48	4308510	50	9366079	49	7537448	48
84	49	2910347	48	3409090	50	1573430	48	4090909	50	9288092	49	6718047	48
86	49	3234326	48	3658536	50	1518269	48	3841463	50	9190627	49	5899867	48
88	49	3638380	48	3947368	50	1467143	48	3552631	50	9065323	49	5081109	48
90	49	4153804	48	4285714	50	1420952	48	3214285	50	8898206	49	4259675	48
91	49	4467502	48	4477612	50	1400076	48	3022388	50	8791796	49	3847288	48
92	49	4829202	48	4687500	50	1380933	48	2812500	50	8664002	49	3433503	48
93	49	5249771	48	4918032	50	1363758	48	2581967	50	8507599	49	3018236	48
94	49	5743360	48	5172413	50	1348836	48	2327586	50	8311658	49	2601616	48
95	49	6328650	48	5454545	50	1336515	48	2045454	50	8058772	49	2184149	48
96	49	7030707	48	5769230	50	1327220	48	1730769	50	7719302	49	1766943	48
97	49	7883743	48	6122449	50	1321484	48	1377551	50	7237866	49	1352014	48
98	49	8935385	48	6521739	50	1319976	48	9782608	49	6495366	49	9423239	47
99	49	1025339	49	6976744	50	1323555	48	5232558	49	5161002	49	5388941	47
10	50	1193662	49	7500000	50	1333333	48	0000000	00	0000000	00	0000000	00

Compton Cross Sections vs. Angle of Scattered Quantum

80 50 = $\gamma$		$\sigma_1(w, \phi)$		$\gamma'$		$\sigma_2(\gamma')$		E		w'		$\sigma_3(w', \phi)$	
w		$\phi_0$				$\phi_0$						$\phi_0$	
10	50N	3522918	47	4705882	49	9995404	48	7529411	50	1000000	50	1141425	50
90	49N	3654971	47	4938271	49	9417028	48	7506172	50	9996752	49	1069792	50
80	49N	3801270	47	5194805	49	8850547	48	7480519	50	9993148	49	9996608	49
70	49N	3964265	47	5479452	49	8295992	48	7452054	50	9989124	49	9310276	49
60	49N	4146999	47	5797101	49	7753396	48	7420289	50	9984603	49	8639057	49
50	49N	4353307	47	6153846	49	7222806	48	7384615	50	9979487	49	7982938	49
40	49N	4588095	47	6557377	49	6704277	48	7344262	50	9973649	49	7341942	49
30	49N	4857733	47	7017543	49	6197882	48	7298245	50	9966926	49	6716177	49
20	49N	5170662	47	7547169	49	5703714	48	7245283	50	9959100	49	6105665	49
10	49N	5538299	47	8163265	49	5221898	48	7183673	50	9949874	49	5510544	49
00	00	5976497	47	8888888	49	4752604	48	7111111	50	9938837	49	4930890	49
10	49	6507935	47	9756097	49	4296065	48	7024390	50	9925397	49	4366864	49
20	49	7166261	47	1081081	50	3852618	48	6918918	50	9908673	49	3818661	49
30	49	8003667	47	1212121	50	3422762	48	6787878	50	9887295	49	3286528	49
40	49	9105778	47	1379310	50	3007273	48	6620689	50	9859006	49	2770798	49
50	49	1062359	48	1600000	50	2607421	48	6400000	50	9819805	49	2271891	49
60	49	1285046	48	1904761	50	2225446	48	6095238	50	9761870	49	1790294	49
62	49	1342710	48	1980198	50	2151518	48	6019802	50	9746794	49	1696090	49
64	49	1406338	48	2061855	50	2078514	48	5938144	50	9730124	49	1602598	49
66	49	1476903	48	2150537	50	2006494	48	5849462	50	9711594	49	1509813	49
68	49	1555604	48	2247191	50	1935526	48	5752809	50	9690874	49	1417735	49
70	49	1643927	48	2352941	50	1865694	48	5647058	50	9667550	49	1326358	49
72	49	1743737	48	2469135	50	1797094	48	5530864	50	9641100	49	1235670	49
74	49	1857405	48	2597402	50	1729848	48	5402597	50	9610849	49	1145653	49
76	49	1987989	48	2739726	50	1664101	48	5260274	50	9575913	49	1056284	49
78	49	2139489	48	2898550	50	1600030	48	5101449	50	9535112	49	9675271	48
80	49	2317236	48	3076923	50	1537860	48	4923077	50	9486833	49	8793294	48
82	49	2528468	48	3278688	50	1477872	48	4721311	50	9428809	49	7916203	48
84	49	2783232	48	3508771	50	1420427	48	4491228	50	9357754	49	7043030	48
86	49	3095832	48	3773584	50	1365995	48	4226415	50	9268715	49	6172482	48
88	49	3487217	48	4081632	50	1315197	48	3918367	50	9153857	49	5302908	48
90	49	3989107	48	4444444	50	1268880	48	3555555	50	9000000	49	4432341	48
91	49	4296068	48	4651162	50	1247751	48	3348837	50	8901636	49	3996057	48
92	49	4651438	48	4878048	50	1228216	48	3121951	50	8783100	49	3558842	48
93	49	5066603	48	5128205	50	1210503	48	2871794	50	8637433	49	3120640	48
94	49	5556533	48	5405405	50	1194888	48	2594594	50	8454027	49	2681639	48
95	49	6141226	48	5714285	50	1181710	48	2285714	50	8215838	49	2242458	48
96	49	6847854	48	6060606	50	1171392	48	1939393	50	7893522	49	1804459	48
97	49	7714055	48	6451612	50	1164463	48	1548387	50	7431505	49	1370187	48
98	49	8793096	48	6896551	50	1161602	48	1103448	50	6708203	49	9437741	47
99	49	1016222	49	7407407	50	1163687	48	5925926	49	5378528	49	5290337	47
10	50	1193662	49	8000000	50	1171875	48	0000000	00	0000000	00	0000000	00



Compton Cross Sections vs. Angle of Scattered Quantum

85 50 = $\gamma$		$\sigma_1(w, \phi)$		$\gamma'$		$\sigma_2(\gamma')$		E		w'		$\sigma_3(w', \phi)$	
w		$\phi_0$				$\phi_0$						$\phi_0$	
10	50N	3325961	47	4722222	49	9371396	48	8027777	50	1000000	50	1200672	50
90	49N	3453341	47	4956268	49	8833032	48	8004373	50	9997085	49	1126091	50
80	49N	3594453	47	5214723	49	8305199	48	7978527	50	9993850	49	1052997	50
70	49N	3751651	47	5501618	49	7787919	48	7949838	50	9990237	49	9813842	49
60	49N	3927866	47	5821917	49	7281225	48	7917808	50	9986178	49	9112676	49
50	49N	4126788	47	6181818	49	6785152	48	7881818	50	9981583	49	8426427	49
40	49N	4353132	47	6589147	49	6299750	48	7841085	50	9976340	49	7755177	49
30	49N	4613024	47	7053941	49	5825080	48	7794605	50	9970301	49	7098953	49
20	49N	4914571	47	7589285	49	5361221	48	7741071	50	9963268	49	6457873	49
10	49N	5268737	47	8212560	49	4908279	48	7678744	50	9954977	49	5832002	49
00	00	5690735	47	8947368	49	4466399	48	7605263	50	9945054	49	5221481	49
10	49	6202310	47	9826589	49	4035782	48	7517341	50	9932966	49	4626453	49
20	49	6835702	47	1089743	50	3616715	48	7410256	50	9917919	49	4047143	49
30	49	7640876	47	1223021	50	3209629	48	7276978	50	9898672	49	3483821	49
40	49	8699738	47	1393442	50	2815191	48	7106557	50	9873183	49	2936868	49
50	49	1015663	48	1619047	50	2434503	48	6880952	50	9837827	49	2406797	49
60	49	1229198	48	1931818	50	2069518	48	6568181	50	9785497	49	1894263	49
62	49	1284465	48	2009456	50	1998688	48	6490543	50	9771865	49	1793925	49
64	49	1345438	48	2093596	50	1928670	48	6406403	50	9756784	49	1694322	49
66	49	1413054	48	2185090	50	1859517	48	6314910	50	9740011	49	1595458	49
68	49	1488462	48	2284946	50	1791289	48	6215053	50	9721245	49	1497336	49
70	49	1573090	48	2394366	50	1724060	48	6105633	50	9700107	49	1399953	49
72	49	1668737	48	2514792	50	1657919	48	5985207	50	9676118	49	1303310	49
74	49	1777690	48	2647975	50	1592972	48	5852024	50	9648658	49	1207394	49
76	49	1902907	48	2796052	50	1529349	48	5703947	50	9616915	49	1112192	49
78	49	2048272	48	2961672	50	1467213	48	5538327	50	9579801	49	1017679	49
80	49	2218975	48	3148148	50	1406766	48	5351851	50	9535826	49	9238144	48
82	49	2422100	48	3359683	50	1348264	48	5140316	50	9482893	49	8305422	48
84	49	2667531	48	3601694	50	1292039	48	4898305	50	9417950	49	7377814	48
86	49	2969435	48	3881278	50	1238523	48	4618721	50	9336379	49	6454188	48
88	49	3348726	48	4207920	50	1188295	48	4292079	50	9230844	49	5533056	48
90	49	3837402	48	4594594	50	1142149	48	3905405	50	9088932	49	4612601	48
91	49	4137612	48	4815864	50	1120937	48	3684136	50	8997881	49	4152036	48
92	49	4486463	48	5059523	50	1101196	48	3440476	50	8887825	49	3691006	48
93	49	4895794	48	5329153	50	1083145	48	3170846	50	8752083	49	3229476	48
94	49	5381325	48	5629139	50	1067051	48	2870860	50	8580407	49	2767676	48
95	49	5964281	48	5964912	50	1053246	48	2535087	50	8356190	49	2306324	48
96	49	6673860	48	6343283	50	1042146	48	2156716	50	8050558	49	1846997	48
97	49	7551072	48	6772908	50	1034280	48	1727091	50	7608119	49	1392728	48
98	49	8654903	48	7264957	50	1030329	48	1235042	50	6905667	49	9487515	47
99	49	1007249	49	7834101	50	1031189	48	6658986	49	5585819	49	5215831	47
10	50	1193662	49	8500000	50	1038062	48	0000000	00	0000000	00	0000000	00

Compton Cross Sections vs. Angle of Scattered Quantum

90 50 = $\gamma$		$\sigma_1(w, \phi)$		$\gamma'$		$\sigma_2(\gamma')$		E		w'		$\sigma_1(w', \phi)$	
w		$\phi_0$				$\phi_0$						$\phi_0$	
10	50 N	3149917	47	4736842	49	8820662	48	8526315	50	1000000	50	1259967	50
90	49 N	3272860	47	4972375	49	8317244	48	8502762	50	9997369	49	1182430	50
80	49 N	3409050	47	5232558	49	7823212	48	8476744	50	9994449	49	1106369	50
70	49 N	3560757	47	5521472	49	7338587	48	8447852	50	9991188	49	1031780	50
60	49 N	3730806	47	5844155	49	6863395	48	8415584	50	9987523	49	9586746	49
50	49 N	3922752	47	6206896	49	6397669	48	8379310	50	9983374	49	8870410	49
40	49 N	4141137	47	6617647	49	5941448	48	8338235	50	9978640	49	8168808	49
30	49 N	4391860	47	7036614	49	5494787	48	8291338	50	9973185	49	7482292	49
20	49 N	4682725	47	7627118	49	5057752	48	8237288	50	9966832	49	6810661	49
10	49 N	5024283	47	8256880	49	4630436	48	8174311	50	9959340	49	6154121	49
00	00	5431162	47	9000000	49	4212962	48	8100000	50	9950371	49	5512822	49
10	49	5924266	47	9890109	49	3805504	48	8010989	50	9939443	49	4886898	49
20	49	6534564	47	1097561	50	3408310	48	7902439	50	9925833	49	4276585	49
30	49	7310016	47	1232876	50	3021752	48	7767123	50	9908416	49	3682149	49
40	49	8329187	47	1406250	50	2646412	48	7593750	50	9885336	49	3104063	49
50	49	9730453	47	1636363	50	2283249	48	7363636	50	9853292	49	2542904	49
60	49	1178259	48	1956521	50	1933977	48	7043478	50	9805806	49	1999453	49
62	49	1231349	48	2036199	50	1866039	48	6963800	50	9793424	49	1892971	49
64	49	1289914	48	2122641	50	1798819	48	6877358	50	9779720	49	1787252	49
66	49	1354852	48	2216748	50	1732363	48	6783251	50	9764472	49	1682297	49
68	49	1427270	48	2319587	50	1666727	48	6680412	50	9747403	49	1578119	49
70	49	1508544	48	2432432	50	1601977	48	6567567	50	9728166	49	1474712	49
72	49	1600404	48	2556818	50	1538190	48	6443181	50	9706320	49	1372090	49
74	49	1705064	48	2694610	50	1475463	48	6305389	50	9681294	49	1270242	49
76	49	1825383	48	2848101	50	1413914	48	6151898	50	9652341	49	1169174	49
78	49	1965132	48	3020134	50	1353690	48	5979865	50	9618457	49	1068860	49
80	49	2129364	48	3214285	50	1294973	48	5785714	50	9578262	49	9692814	48
82	49	2325000	48	3435114	50	1237999	48	5564885	50	9529814	49	8703914	48
84	49	2561750	48	3688524	50	1183072	48	5311475	50	9470274	49	7721278	48
86	49	2853606	48	3982300	50	1130591	48	5017699	50	9395338	49	6743927	48
88	49	3221388	48	4326923	50	1081096	48	4673076	50	9298135	49	5770560	48
90	49	3697237	48	4736842	50	1035331	48	4263157	50	9166984	49	4799521	48
91	49	3990750	48	4972375	50	1014160	48	4027624	50	9082572	49	4314329	48
92	49	4332987	48	5232558	50	9943497	47	3767441	50	8980265	49	3829128	48
93	49	4736183	48	5521472	50	9761096	47	3478527	50	8853669	49	3343910	48
94	49	5216736	48	5844155	50	9596993	47	3155844	50	8692913	49	2858941	48
95	49	5797011	48	6206896	50	9454422	47	2793103	50	8481889	49	2375014	48
96	49	6508136	48	6617647	50	9337472	47	2382352	50	8192319	49	1893895	48
97	49	7394434	48	7086614	50	9251396	47	1913385	50	7769309	49	1419058	48
98	49	8520648	48	7627118	50	9203044	47	1372881	50	7088812	49	9567802	47
99	49	9984178	48	8256880	50	9201533	47	7431193	49	5783149	49	5162013	47
10	50	1193662	49	9000000	50	9259259	47	0000000	00	0000000	00	0000000	00

Compton Cross Sections vs. Angle of Scattered Quantum

95	50 = $\gamma$	$\sigma_1(w, \phi)$		$\gamma'$	$\sigma_2(\gamma')$		E	$w'$	$\sigma_1(w', \phi)$		
w		$\phi_0$			$\phi_0$				$\phi_0$		
10	50N	2991615	47	4750000	49	8331025	48	9025000	50	1000000	50
90	49N	3110356	47	4986876	49	7858377	48	9001312	50	9997613	49
80	49N	3241890	47	5248618	49	7394148	48	8975138	50	9994964	49
70	49N	3388407	47	5539358	49	6938356	48	8946064	50	9992006	49
60	49N	3552633	47	5864197	49	6491023	48	8913580	50	9988681	49
50	49N	3738000	47	6229508	49	6052177	48	8877049	50	9984917	49
40	49N	3948888	47	6643356	49	5621854	48	8835664	50	9980620	49
30	49N	4190988	47	7116104	49	5200099	48	8788389	50	9975669	49
20	49N	4471825	47	7661290	49	4786971	48	8733871	50	9969902	49
10	49N	4801569	47	8296943	49	4382549	48	8670305	50	9963099	49
00	00	5194318	47	9047619	49	3986941	48	8595238	50	9954954	49
10	49	5670205	47	9947643	49	3600296	48	8505235	50	9945027	49
20	49	6259042	47	1104651	50	3222830	48	8395348	50	9932659	49
30	49	7006977	47	1241830	50	2854869	48	8258170	50	9916825	49
40	49	7989550	47	1417910	50	2496920	48	8082089	50	9895830	49
50	49	9339740	47	1652173	50	2149825	48	7847826	50	9866660	49
60	49	1131578	48	1979166	50	1815097	48	7520833	50	9823385	49
62	49	1182681	48	2060737	50	1749855	48	7439262	50	9812091	49
64	49	1239047	48	2149321	50	1685254	48	7350678	50	9799588	49
66	49	1301543	48	2245862	50	1621332	48	7254137	50	9785671	49
68	49	1371232	48	2351485	50	1558140	48	7148514	50	9770084	49
70	49	1449442	48	2467532	50	1495737	48	7032467	50	9752509	49
72	49	1537845	48	2595628	50	1434192	48	6904371	50	9732538	49
74	49	1638577	48	2737752	50	1373594	48	6762247	50	9709647	49
76	49	1754410	48	2896341	50	1314049	48	6603658	50	9683144	49
78	49	1889002	48	3074433	50	1255689	48	6425566	50	9652100	49
80	49	2047270	48	3275862	50	1198681	48	6224137	50	9615239	49
82	49	2235975	48	3505535	50	1143242	48	5994464	50	9570755	49
84	49	2464639	48	3769841	50	1089650	48	5730158	50	9516008	49
86	49	2747061	48	4077253	50	1038276	48	5422746	50	9446980	49
88	49	3103909	48	4439252	50	9896218	47	5060747	50	9357238	49
90	49	3567363	48	4871794	50	9443853	47	4628205	50	9235789	49
91	49	3854282	48	5121293	50	9233450	47	4378706	50	9157402	49
92	49	4189882	48	5397727	50	9035659	47	4102272	50	9062168	49
93	49	4586744	48	5705705	50	8852496	47	3794294	50	8943982	49
94	49	5061871	48	6050955	50	8686466	47	3449044	50	8793361	49
95	49	5638682	48	6440678	50	8540718	47	3059322	50	8594727	49
96	49	6350144	48	6884058	50	8419270	47	2615942	50	8320502	49
97	49	7243804	48	7392996	50	8327327	47	2107003	50	7916547	49
98	49	8390177	48	7983193	50	8271757	47	1516806	50	7258661	49
99	49	9897243	48	8675799	50	8261809	47	8242009	49	5970826	49
10	50	1193662	49	9500000	50	8310249	47	0000000	00	0000000	00

Compton Cross Sections vs. Angle of Scattered Quantum

10 51 = $\gamma$		$\sigma_1(w, \phi)$		$\gamma'$	$\sigma_2(\gamma')$		E	$w'$	$\sigma_3(w', \phi)$				
w		$\phi_0$			$\phi_0$				$\phi_0$				
10	50N	2848497	47	4761904	49	7892857	48	9523809	50	1000000	50	1378672	50
90	49N	2963266	47	5000000	49	7447500	48	9500000	50	9997825	49	1295238	50
80	49N	3090399	47	5263157	49	7009737	48	9473684	50	9995411	49	1213233	50
70	49N	3232016	47	5555555	49	6579583	48	9444444	50	9992715	49	1132671	50
60	49N	3390748	47	5882352	49	6157059	48	9411765	50	9989685	49	1053579	50
50	49N	3569912	47	6250000	49	5742187	48	9375000	50	9986254	49	9759280	49
40	49N	3773740	47	6666666	49	5335000	48	9333333	50	9982337	49	8997386	49
30	49N	4007729	47	7142857	49	4935535	48	9285714	50	9977823	49	8250123	49
20	49N	4279145	47	7692307	49	4543846	48	9230769	50	9972565	49	7517726	49
10	49N	4597809	47	8333333	49	4159999	48	9166667	50	9966361	49	6800046	49
00	00	4977328	47	9090909	49	3784090	48	9090909	50	9958932	49	6097422	49
10	49	5437130	47	1000000	50	3416250	48	9000000	50	9949874	49	5409876	49
20	49	6005970	47	1111111	50	3056666	48	8888889	50	9938586	49	4737768	49
30	49	6728337	47	1250000	50	2705625	48	8750000	50	9924130	49	4081434	49
40	49	7677021	47	1428571	50	2363571	48	8571429	50	9904953	49	3441306	49
50	49	8980097	47	1666666	50	2031250	48	8333333	50	9878291	49	2818123	49
60	49	1088619	48	2000000	50	1710000	48	8000000	50	9838699	49	2212934	49
62	49	1137899	48	2083333	50	1647275	48	7916667	50	9828358	49	2094179	49
64	49	1192249	48	2173913	50	1585121	48	7826087	50	9816907	49	1976212	49
66	49	1252504	48	2272727	50	1523577	48	7727273	50	9804157	49	1859049	49
68	49	1319692	48	2380952	50	1462685	48	7619048	50	9789871	49	1742716	49
70	49	1395092	48	2500000	50	1402500	48	7500000	50	9773756	49	1627220	49
72	49	1480321	48	2631578	50	1343084	48	7368421	50	9755436	49	1512578	49
74	49	1577447	48	2777777	50	1284516	48	7222222	50	9734425	49	1398800	49
76	49	1689154	48	2941176	50	1226894	48	7058823	50	9710083	49	1285904	49
78	49	1818994	48	3125000	50	1170337	48	6875000	50	9681549	49	1173889	49
80	49	1971752	48	3333333	50	1115000	48	6666667	50	9647638	49	1062759	49
82	49	2154029	48	3571428	50	1061078	48	6428571	50	9606671	49	9524954	48
84	49	2375153	48	3846153	50	1008830	48	6153846	50	9556189	49	8430690	48
86	49	2648714	48	4166666	50	9586000	47	5833333	50	9492438	49	7344178	48
88	49	2995186	48	4545454	50	9108545	47	5454545	50	9409388	49	6264514	48
90	49	3446699	48	5000000	50	8662500	47	5000000	50	9296696	49	5190425	48
91	49	3727161	48	5263157	50	8454059	47	4736842	50	9223780	49	4655022	48
92	49	4056158	48	5555555	50	8257333	47	4444444	50	9135002	49	4120540	48
93	49	4446567	48	5882352	50	8074257	47	4117647	50	9024539	49	3586998	48
94	49	4915929	48	6250000	50	7907250	47	3750000	50	8883301	49	3054711	48
95	49	5488635	48	6666666	50	7759375	47	3333333	50	8696263	49	2524594	48
96	49	6199386	48	7142857	50	7634571	47	2857143	50	8436614	49	1998708	48
97	49	7098866	48	7692307	50	7537990	47	2307692	50	8051175	49	1481286	48
98	49	8263346	48	8333333	50	7476499	47	1666667	50	7416198	49	9805219	47
99	49	9811660	48	9090909	50	7459465	47	9090910	49	6149186	49	5105928	47
10	50	1193662	49	1000000	51	7500000	47	0000000	00	0000000	00	0000000	00

Compton Cross Sections vs. Angle of Scattered Quantum

11 51 = $\gamma$		$\sigma_i(w, \phi)$		$\gamma'$		$\sigma_s(\gamma')$		E		w'		$\sigma_s(w', \phi)$		
w		$\phi_0$				$\phi_0$						$\phi_0$		
10	50	N	2599822	47	4782608	49	7141573	48	1052173	51	1000000	50	1497497	50
90	49	N	2707294	47	5022831	49	6742457	48	1049771	51	9998173	49	1408123	50
80	49	N	2826349	47	5288461	49	6349610	48	1047115	51	9996144	49	1320198	50
70	49	N	2958974	47	5583756	49	5963045	48	1044162	51	9993878	49	1233672	50
60	49	N	3107634	47	5913978	49	5582777	48	1040860	51	9991330	49	1148589	50
50	49	N	3275436	47	6285714	49	5208825	48	1037142	51	9988446	49	1064934	50
40	49	N	3466345	47	6707317	49	4841211	48	1032926	51	9985152	49	9827154	49
30	49	N	3685508	47	7189542	49	4479967	48	1028104	51	9981355	49	9019409	49
20	49	N	3939730	47	7746478	49	4125131	48	1022535	51	9976931	49	822618.6	49
10	49	N	4238205	47	8396946	49	3776757	48	1016030	51	9971711	49	7447671	49
00	00		4593664	47	9166666	49	3434917	48	1008333	51	9965457	49	6683880	49
10	49		5024283	47	1009174	50	3099713	48	9990826	50	9957830	49	5935089	49
20	49		5556942	47	1122449	50	2771293	48	9877551	50	9948320	49	5201493	49
30	49		6233207	47	1264367	50	2449878	48	9735632	50	9936132	49	4483489	49
40	49		7121032	47	1447368	50	2135820	48	9552631	50	9919953	49	3781635	49
50	49		8339878	47	1692307	50	1829704	48	9307692	50	9897433	49	3096662	49
60	49		1012153	48	2037037	50	1532598	48	8962963	50	9863939	49	2429845	49
62	49		1058196	48	2123552	50	1474416	48	8876448	50	9855181	49	2298804	49
64	49		1108969	48	2217741	50	1416698	48	8782258	50	9845477	49	2168586	49
66	49		1165251	48	2320675	50	1359474	48	8679325	50	9834666	49	2039207	49
68	49		1228004	48	2433628	50	1302780	48	8566372	50	9822546	49	1910690	49
70	49		1298424	48	2558139	50	1246660	48	8441860	50	9808863	49	1783055	49
72	49		1378027	48	2696078	50	1191166	48	8303922	50	9793296	49	1656339	49
74	49		1468751	48	2849741	50	1136363	48	8150259	50	9775426	49	1530559	49
76	49		1573125	48	3021978	50	1082332	48	7978022	50	9754700	49	1405746	49
78	49		1694500	48	3216374	50	1029172	48	7783626	50	9730375	49	1281919	49
80	49		1837411	48	3437500	50	9770144	47	7562500	50	9701425	49	1159105	49
82	49		2008145	48	3691275	50	9260239	47	7308725	50	9666389	49	1037313	49
84	49		2215644	48	3985507	50	8764211	47	7014493	50	9623123	49	9165468	48
86	49		2473043	48	4330708	50	8285023	47	6669291	50	9568340	49	7967837	48
88	49		2800345	48	4741379	50	7826759	47	6258621	50	9496730	49	6779753	48
90	49		3229371	48	5238095	50	7395218	47	5761905	50	9399125	49	5600389	48
91	49		3497420	48	5527638	50	7191981	47	5472362	50	9335702	49	5013656	48
92	49		3813468	48	5851063	50	6998909	47	5148936	50	9258201	49	4428767	48
93	49		4190851	48	6214689	50	6817784	47	4785311	50	9161334	49	3845779	48
94	49		4648008	48	6626506	50	6650856	47	4373494	50	9036786	49	3265049	48
95	49		5211027	48	7096774	50	6501016	47	3903226	50	8870655	49	2687563	48
96	49		5917781	48	7638888	50	6372038	47	3361111	50	8637789	49	2115600	48
97	49		6824906	48	8270676	50	6268945	47	2729323	50	8287366	49	1554004	48
98	49		8020055	48	9016393	50	6198570	47	1983607	50	7698003	49	1012664	48
99	49		9644437	48	9909909	50	6170457	47	1090090	50	6479390	49	5105482	47
10	50		1193662	49	1100000	51	6198347	47	0000000	00	0000000	00	0000000	00

Compton Cross Sections vs. Angle of Scattered Quantum

12 51 = $\gamma$		$\sigma_1(w, \phi)$		$\gamma'$		$\sigma_2(\gamma')$		E		$w'$		$\sigma_3(w', \phi)$	
w		$\phi_0$				$\phi_0$						$\phi_0$	
10	50 N	2391143	47	4800000	49	6520833	48	1152000	51	1000000	50	1616413	50
90	49 N	2492101	47	5042016	49	6159379	48	1149579	51	9998443	49	1521127	50
80	49 N	2603949	47	5309734	49	5803189	48	1146902	51	9996714	49	1427227	50
70	49 N	2728554	47	5607476	49	5452273	48	1143925	51	9994783	49	1334726	50
60	49 N	2868238	47	5940594	49	5106642	48	1140594	51	9992611	49	1243676	50
50	49 N	3025922	47	6315789	49	4766310	48	1136842	51	9990152	49	1154010	50
40	49 N	3205335	47	6741573	49	4431296	48	1132584	51	9987344	49	1065773	50
30	49 N	3411319	47	7228915	49	4101625	48	1127710	51	9984107	49	9789739	49
20	49 N	3650276	47	7792207	49	3777326	48	1122077	51	9980334	49	8935905	49
10	49 N	3930851	47	8450704	49	3458443	48	1115493	51	9975881	49	8096658	49
00	00	4265019	47	9230769	49	3145032	48	1107692	51	9970544	49	7271991	49
10	49	4669866	47	1016949	50	2837173	48	1098305	51	9964034	49	6462031	49
20	49	5170662	47	1132075	50	2534984	48	1086792	51	9955914	49	5667237	49
30	49	5806460	47	1276595	50	2238641	48	1072340	51	9945503	49	4887794	49
40	49	6641077	47	1463414	50	1948424	48	1053658	51	9931673	49	4124392	49
50	49	7786643	47	1714285	50	1664806	48	1028571	51	9912407	49	3377848	49
60	49	9460612	47	2068965	50	1388649	48	9931034	50	9883717	49	2649510	49
62	49	9893106	47	2158273	50	1334441	48	9841727	50	9876208	49	2506198	49
64	49	1036999	48	2255639	50	1280617	48	9744361	50	9867885	49	2363731	49
66	49	1089860	48	2362204	50	1227200	48	9637795	50	9858608	49	2222129	49
68	49	1148793	48	2479338	50	1174221	48	9520661	50	9848202	49	2081413	49
70	49	1214926	48	2608695	50	1121716	48	9391304	50	9836448	49	1941621	49
72	49	1289683	48	2752293	50	1069728	48	9247706	50	9823067	49	1802789	49
74	49	1374893	48	2912621	50	1018312	48	9087379	50	9807695	49	1664951	49
76	49	1472941	48	3092783	50	9675343	47	8907216	50	9789852	49	1528150	49
78	49	1586999	48	3296703	50	9174805	47	8703297	50	9768890	49	1392430	49
80	49	1721371	48	3529411	50	8682598	47	8470588	50	9743911	49	1257828	49
82	49	1882045	48	3797468	50	8200145	47	8202532	50	9713641	49	1124386	49
84	49	2077586	48	4109589	50	7729338	47	7890411	50	9676198	49	9921371	48
86	49	2320659	48	4477612	50	7272745	47	7522388	50	9628686	49	8610995	48
88	49	2630720	48	4918032	50	6833948	47	7081967	50	9566412	49	7312677	48
90	49	3039085	48	5454545	50	6418087	47	6545455	50	9481224	49	6026102	48
91	49	3295468	48	5769230	50	6221013	47	6230769	50	9425680	49	5387046	48
92	49	3599076	48	6122449	50	6032823	47	5877551	50	9357604	49	4750766	48
93	49	3963557	48	6521739	50	5855151	47	5478261	50	9272207	49	4117357	48
94	49	4408034	48	6976744	50	5690092	47	5023256	50	9161899	49	3487207	48
95	49	4959992	48	7500000	50	5540364	47	4500000	50	9013878	49	2861361	48
96	49	5660074	48	8108108	50	5409572	47	3891892	50	8804711	49	2242246	48
97	49	6570414	48	8823529	50	5302588	47	3176471	50	8486285	49	1635193	48
98	49	7789745	48	9677419	50	5226176	47	2322581	50	7941013	49	1051579	48
99	49	9482291	48	1071428	51	5189992	47	1285714	50	6776718	49	5149222	47
10	50	1193662	49	1200000	51	5208333	47	0000000	00	0000000	00	0000000	00

Compton Cross Sections vs. Angle of Scattered Quantum

$\beta$	$51 = \gamma$	$\sigma_1(w, \phi)$		$\gamma'$	$\sigma_2(\gamma')$		E		$w'$	$\sigma_3(w', \phi)$			
	W	$\phi_0$			$\phi_0$					$\phi_0$			
0	50N	2213517	47	4814814	49	5999342	48	1251851	51	1000000	50	1735397	50
0	49N	2308647	47	5058365	49	5669137	48	1249416	51	9998657	49	1634161	50
0	49N	2414048	47	5327868	49	5343413	48	1246721	51	9997166	49	1534325	50
0	49N	2531483	47	5627705	49	5022179	48	1243722	51	9995501	49	1435876	50
0	49N	2663143	47	5963302	49	4705444	48	1240367	51	9993628	49	1338811	50
0	49N	2811785	47	6341463	49	4393220	48	1236585	51	9991507	49	1243161	50
0	49N	2980930	47	6770833	49	4085521	48	1232291	51	9989084	49	1148903	50
0	49N	3175151	47	7262569	49	3782366	48	1227374	51	9986292	49	1056083	50
0	49N	3400490	47	7831325	49	3483781	48	1221686	51	9983036	49	9646633	49
0	49N	3665112	47	8496732	49	3189798	48	1215032	51	9979193	49	8746697	49
0	00	3980323	47	9285714	49	2900465	48	1207142	51	9974587	49	7861197	49
0	49	4362257	47	1023622	50	2615844	48	1197637	51	9968965	49	6990405	49
0	49	4834771	47	1140350	50	2336032	48	1185964	51	9961952	49	6134504	49
0	49	5434731	47	1287128	50	2061170	48	1171287	51	9952957	49	5293856	49
0	49	6222360	47	1477272	50	1791487	48	1152272	51	9941002	49	4469126	49
0	49	7303443	47	1733333	50	1527366	48	1126666	51	9924336	49	3661161	49
0	49	8883047	47	2096774	50	1269517	48	1090322	51	9899494	49	2871434	49
2	49	9291126	47	2188552	50	1218805	48	1081144	51	9892988	49	2715867	49
4	49	9741082	47	2288732	50	1168414	48	1071126	51	9885774	49	2561159	49
6	49	1023981	48	2398524	50	1118365	48	1060147	51	9877729	49	2407328	49
8	49	1079583	48	2519379	50	1068683	48	1048062	51	9868703	49	2254410	49
0	49	1141978	48	2653061	50	1019396	48	1034693	51	9858503	49	2102439	49
2	49	1212511	48	2801724	50	9705437	47	1019827	51	9846884	49	1951466	49
4	49	1292913	48	2968036	50	9221694	47	1003196	51	9833529	49	1801540	49
6	49	1385441	48	3155339	50	8743310	47	9844660	50	9818016	49	1652704	49
8	49	1493106	48	3367875	50	8271007	47	9632124	50	9799777	49	1505024	49
0	49	1619999	48	3611111	50	7805719	47	9388889	50	9778024	49	1358554	49
2	49	1771832	48	3892215	50	7348671	47	9107784	50	9751632	49	1213365	49
4	49	1956810	48	4220779	50	6901498	47	8779221	50	9718941	49	1069517	49
6	49	2187127	48	4609929	50	6466442	47	8390071	50	9677390	49	9270675	48
8	49	2481658	48	5078125	50	6046653	47	7921875	50	9622807	49	7860590	48
0	49	2871087	48	5652173	50	5646706	47	7347826	50	9547920	49	6465110	48
1	49	3116578	48	5990783	50	5456204	47	7009217	50	9498956	49	5772865	48
2	49	3408367	48	6372549	50	5273512	47	6627451	50	9438798	49	5084317	48
3	49	3760292	48	6806282	50	5100133	47	6193717	50	9363104	49	4399610	48
4	49	4191978	48	7303370	50	4938012	47	5696629	50	9264956	49	3719182	48
5	49	4732032	48	7878787	50	4789705	47	5121212	50	9132593	49	3044118	48
6	49	5423492	48	8552631	50	4658642	47	4447368	50	8944271	49	2376950	48
7	49	6333509	48	9352518	50	4549536	47	3647482	50	8654736	49	1723382	48
8	49	7571479	48	1031746	51	4469047	47	2682540	50	8151115	49	1096088	48
9	49	9325015	48	1150442	51	4426898	47	1495575	50	7044164	49	5228982	47
0	50	1193662	49	1300000	51	4437869	47	0000000	00	0000000	00	0000000	00

Compton Cross Sections vs. Angle of Scattered Quantum

1 4 5 1 = $\gamma$		$\sigma_1(w, \phi)$		$\gamma'$		$\sigma_2(\gamma')$		E		w'		$\sigma_4(w', \phi)$	
w		$\phi_0$				$\phi_0$						$\phi_0$	
10	50N	2060485	47	4827586	49	5555066	48	1351724	51	1000000	50	1854436	50
90	49N	2150383	47	5072463	49	5251192	48	1349275	51	9998830	49	1747246	50
80	49N	2249999	47	5343511	49	4951180	48	1346564	51	9997531	49	1641472	50
70	49N	2360999	47	5645161	49	4655036	48	1343548	51	9996080	49	1537042	50
60	49N	2485459	47	5982906	49	4362768	48	1340170	51	9994449	49	1434017	50
50	49N	2625989	47	6363636	49	4074385	48	1336363	51	9992600	49	1332364	50
40	49N	2785925	47	6796116	49	3789900	48	1332038	51	9990489	49	1232114	50
30	49N	2969597	47	7291666	49	3509327	48	1327083	51	9988055	49	1133243	50
20	49N	3182730	47	7865168	49	3232687	48	1321348	51	9985218	49	1035795	50
10	49N	3433060	47	8536585	49	2960008	48	1314634	51	9981867	49	9397577	49
00	00	3731299	47	9333333	49	2691326	48	1306666	51	9977851	49	8451459	49
10	49	4092735	47	1029411	50	2426695	48	1297058	51	9972949	49	7519912	49
20	49	4539976	47	1147541	50	2166192	48	1285245	51	9966832	49	6603070	49
30	49	5107957	47	1296296	50	1909934	48	1270370	51	9958983	49	5701402	49
40	49	5853741	47	1489361	50	1658109	48	1251063	51	9948548	49	4815479	49
50	49	6877545	47	1750000	50	1411033	48	1225000	51	9933992	49	3946245	49
60	49	8373603	47	2121212	50	1169295	48	1187878	51	9912279	49	3095245	49
62	49	8760110	47	2215189	50	1121676	48	1178481	51	9906588	49	2927431	49
64	49	9186283	47	2317880	50	1074329	48	1168211	51	9900277	49	2760489	49
66	49	9658661	47	2430555	50	1027272	48	1156944	51	9893237	49	2594430	49
68	49	1018530	48	2554744	50	9805258	47	1144525	51	9885336	49	2429307	49
70	49	1077630	48	2692307	50	9341149	47	1130769	51	9876403	49	2265157	49
72	49	1144441	48	2845528	50	8880711	47	1115447	51	9866225	49	2102030	49
74	49	1220606	48	3017241	50	8424331	47	1098275	51	9854519	49	1939985	49
76	49	1308270	48	3211009	50	7972495	47	1078899	51	9840915	49	1779082	49
78	49	1410295	48	3431372	50	7525825	47	1056862	51	9824910	49	1619392	49
80	49	1530581	48	3684210	50	7085123	47	1031578	51	9805806	49	1460994	49
82	49	1674584	48	3977272	50	6651449	47	1002272	51	9782608	49	1303979	49
84	49	1850168	48	4320987	50	6226228	47	9679012	50	9753841	49	1148435	49
86	49	2069071	48	4729729	50	5811424	47	9270270	50	9717224	49	9944595	48
88	49	2349577	48	5223880	50	5409823	47	8776119	50	9669038	49	8421418	48
90	49	2721660	48	5833333	50	5025510	47	8166667	50	9602766	49	6915562	48
91	49	2957019	48	6194690	50	4841666	47	7805310	50	9559334	49	6169341	48
92	49	3237657	48	6603773	50	4664728	47	7396226	50	9505863	49	5427735	48
93	49	3577500	48	7070707	50	4496078	47	6929293	50	9438416	49	4690950	48
94	49	3996522	48	7608695	50	4337522	47	6391304	50	9350680	49	3959474	48
95	49	4524217	48	8235294	50	4191457	47	5764706	50	9231861	49	3234432	48
96	49	5205657	48	8974359	50	4061145	47	5025641	50	9061831	49	2518432	48
97	49	6112531	48	9859154	50	3951132	47	4140845	50	8798196	49	1817461	48
98	49	7364400	48	1093750	51	3867952	47	3062500	50	8333333	49	1145311	48
99	49	9172410	48	1228070	51	3821351	47	1719298	50	7284644	49	5338768	47
10	50	1193662	49	1400000	51	3826530	47	0000000	00	0000000	00	0000000	00



Compton Cross Sections vs. Angle of Scattered Quantum

15	51 = $\gamma$	$\sigma_1(w, \phi)$		$\gamma'$	$\sigma_2(\gamma')$		E		$w'$	$\sigma_3(w', \phi)$			
	w	$\phi_0$			$\phi_0$					$\phi_0$			
10	50N	1927264	47	4838709	49	5172043	48	1451612	51	1000000	50	1973519	50
90	49N	2012450	47	5084745	49	4890649	48	1449152	51	9998972	49	1860418	50
80	49N	2106852	47	5357142	49	4612619	48	1446428	51	9997830	49	1748642	50
70	49N	2212055	47	5660377	49	4337956	48	1443396	51	9996555	49	1638260	50
60	49N	2330028	47	6000000	49	4066666	48	1440000	51	9995120	49	1529246	50
50	49N	2463250	47	6382978	49	3798758	48	1436170	51	9993495	49	1421603	50
40	49N	2614891	47	6818181	49	3534242	48	1431818	51	9991640	49	1315351	50
30	49N	2789062	47	7317073	49	3273130	48	1426829	51	9989499	49	1210472	50
20	49N	2991203	47	7894736	49	3015438	48	1421052	51	9987004	49	1106997	50
10	49N	3228664	47	8571428	49	2761190	48	1414285	51	9984058	49	1004908	50
00	00	3511627	47	9375000	49	2510416	48	1406250	51	9980525	49	9042473	49
10	49	3854624	47	1034482	50	2263161	48	1396551	51	9976213	49	8050281	49
20	49	4279145	47	1153846	50	2019487	48	1384615	51	9970831	49	7072700	49
30	49	4818404	47	1304347	50	1779492	48	1369565	51	9963923	49	6110075	49
40	49	5526655	47	1500000	50	1543333	48	1350000	51	9954736	49	5163178	49
50	49	6499178	47	1764705	50	1311274	48	1323529	51	9941916	49	4232820	49
60	49	7920625	47	2142857	50	1083809	48	1285714	51	9922778	49	3320618	49
62	49	8287899	47	2238806	50	1038942	48	1276119	51	9917760	49	3140581	49
64	49	8692881	47	2343750	50	9943083	47	1265625	51	9912194	49	2961417	49
66	49	9141787	47	2459016	50	9499224	47	1254098	51	9905984	49	2783142	49
68	49	9642287	47	2586206	50	9058023	47	1241379	51	9899011	49	2605822	49
70	49	1020397	48	2727272	50	8619697	47	1227272	51	9891127	49	2429488	49
72	49	1083898	48	2884615	50	8184513	47	1211538	51	9882139	49	2254194	49
74	49	1156296	48	3061224	50	7752802	47	1193877	51	9871799	49	2080017	49
76	49	1239634	48	3260869	50	7324985	47	1173913	51	9859776	49	1907021	49
78	49	1336642	48	3488372	50	6901597	47	1151162	51	9845624	49	1735286	49
80	49	1451045	48	3750000	50	6483333	47	1125000	51	9828721	49	1564910	49
82	49	1588063	48	4054054	50	6071117	47	1094594	51	9808181	49	1396007	49
84	49	1755239	48	4411764	50	5666196	47	1058823	51	9782685	49	1228690	49
86	49	1963879	48	4838709	50	5270301	47	1016129	51	9750195	49	1063092	49
88	49	2231678	48	5357142	50	4885904	47	9642857	50	9707375	49	8993499	48
90	49	2587859	48	6000000	50	4516666	47	9000000	50	9648363	49	7375981	48
91	49	2813813	48	6382978	50	4339386	47	8617021	50	9609614	49	6575101	48
92	49	3083970	48	6818181	50	4168242	47	8181818	50	9561828	49	5779723	48
93	49	3412275	48	7317073	50	4004508	47	7682927	50	9501425	49	4990153	48
94	49	3818918	48	7894736	50	3849859	47	7105263	50	9422639	49	4206930	48
95	49	4334072	48	8571428	50	3706547	47	6428571	50	9315560	49	3431225	48
96	49	5004521	48	9375000	50	3577666	47	5625000	50	9161573	49	2665705	48
97	49	5906016	48	1034482	51	3467592	47	4655172	50	8921070	49	1916577	48
98	49	7167731	48	1153846	51	3382718	47	3461538	50	8491918	49	1198572	48
99	49	9024289	48	1304347	51	3332775	47	1956522	50	7500915	49	5474067	47
10	50	1193662	49	1500000	51	3333333	47	0000000	00	0000000	00	0000000	00

Compton Cross Sections vs. Angle of Scattered Quantum

16 51 = $\gamma$		$\sigma_i(w, \phi)$		$\gamma'$	$\sigma_s(\gamma')$		E	$w'$	$\sigma_i(w', \phi)$				
w		$\phi_0$			$\phi_0$				$\phi_0$				
10	50N	1810239	47	4848484	49	4838423	48	1551515	51	1000000	50	2092637	50
90	49N	1891162	47	5095541	49	4576442	48	1549044	51	9999089	49	1973569	50
80	49N	1980849	47	5369127	49	4317415	48	1546308	51	9998078	49	1855871	50
70	49N	2080807	47	5673758	49	4061347	48	1543262	51	9996948	49	1739511	50
60	49N	2192912	47	6015037	49	3808241	48	1539849	51	9995677	49	1624508	50
50	49N	2319524	47	6400000	49	3558105	48	1536000	51	9994238	49	1510874	50
40	49N	2463659	47	6837606	49	3310947	48	1531623	51	9992593	49	1398612	50
30	49N	2629235	47	7339449	49	3066778	48	1526605	51	9990697	49	1287736	50
20	49N	2821432	47	7920792	49	2825611	48	1520792	51	9988485	49	1178233	50
10	49N	3047254	47	8602150	49	2587465	48	1513978	51	9985874	49	1070121	50
00	00	3316403	47	9411764	49	2352366	48	1505882	51	9982743	49	9634227	49
10	49	3642726	47	1038961	50	2120351	48	1496103	51	9978921	49	8581361	49
20	49	4046712	47	1159420	50	1891474	48	1484058	51	9974149	49	7543154	49
30	49	4560026	47	1311475	50	1665815	48	1468852	51	9968023	49	6519796	49
40	49	5234403	47	1509434	50	1443506	48	1449056	51	9959873	49	5511947	49
50	49	6160704	47	1777777	50	1224772	48	1422222	51	9948497	49	4520605	49
60	49	7515030	47	2162162	50	1010029	48	1383783	51	9931506	49	3547344	49
62	49	7865022	47	2259887	50	9676235	47	1374011	51	9927049	49	3355102	49
64	49	8250974	47	2366863	50	9254193	47	1363313	51	9922103	49	3163712	49
66	49	8678812	47	2484472	50	8834296	47	1351552	51	9916585	49	2973234	49
68	49	9155856	47	2614379	50	8416697	47	1338562	51	9910388	49	2783712	49
70	49	9691254	47	2758620	50	8001583	47	1324137	51	9903379	49	2595197	49
72	49	1029660	48	2919708	50	7589182	47	1308029	51	9895387	49	2407740	49
74	49	1098682	48	3100775	50	7179783	47	1289922	51	9886189	49	2221415	49
76	49	1178144	48	3305785	50	6773747	47	1269421	51	9875490	49	2036304	49
78	49	1270655	48	3539823	50	6371541	47	1246017	51	9862891	49	1852499	49
80	49	1379781	48	3809523	50	5973772	47	1219047	51	9847835	49	1670111	49
82	49	1510525	48	4123711	50	5581248	47	1187628	51	9829527	49	1489268	49
84	49	1670133	48	4494382	50	5195066	47	1150561	51	9806785	49	1310113	49
86	49	1869498	48	4938271	50	4816760	47	1106172	51	9777776	49	1132815	49
88	49	2125745	48	5479452	50	4448534	47	1052054	51	9739495	49	9575527	48
90	49	2467327	48	6153846	50	4093675	47	9846154	50	9686649	49	7845200	48
91	49	2684552	48	6557377	50	3922758	47	9442623	50	9651892	49	6989042	48
92	49	2944885	48	7017543	50	3757319	47	8982456	50	9608968	49	6139258	48
93	49	3262224	48	7547169	50	3598532	47	8452830	50	9554612	49	5296251	48
94	49	3656870	48	8163265	50	3447955	47	7836735	50	9483552	49	4460637	48
95	49	4159499	48	8888889	50	3307698	47	7111111	50	9386679	49	3633648	48
96	49	4818310	48	9756097	50	3180697	47	6243902	50	9246781	49	2817999	48
97	49	5712661	48	1081081	51	3071155	47	5189189	50	9026902	49	2020052	48
98	49	6980757	48	1212121	51	2985316	47	3878788	50	8630442	49	1255339	48
99	49	8880474	48	1379310	51	2932864	47	2206896	50	7695538	49	5631408	47
10	50	1193662	49	1600000	51	2929687	47	0000000	00	0000000	00	0000000	00

Compton Cross Sections vs. Angle of Scattered Quantum

17 $\bar{s}1 = \gamma$		$\sigma_1(w, \phi)$		$\gamma'$		$\sigma_2(\gamma')$		E		$w'$		$\sigma_3(w', \phi)$	
w		$\phi_0$				$\phi_0$						$\phi_0$	
10	50 N	1706623	47	4857142	49	4545230	48	1651428	51	1000000	50	2211784	50
90	49 N	1783675	47	5105105	49	4300177	48	1648948	51	9999187	49	2086768	50
80	49 N	1869080	47	5379746	49	4057739	48	1646202	51	9998285	49	1963095	50
70	49 N	1964276	47	5685618	49	3817921	48	1643143	51	9997277	49	1840772	50
60	49 N	2071051	47	6028368	49	3580726	48	1639716	51	9996144	49	1719791	50
50	49 N	2191658	47	6415094	49	3346159	48	1635849	51	9994859	49	1600168	50
40	49 N	2328976	47	6854838	49	3114228	48	1631451	51	9993392	49	1481937	50
30	49 N	2486744	47	7359307	49	2884942	48	1626406	51	9991700	49	1365053	50
20	49 N	2669909	47	7943925	49	2658312	48	1620560	51	9989727	49	1249525	50
10	49 N	2885156	47	8629441	49	2434354	48	1613705	51	9987397	49	1135386	50
00	00	3141754	47	9444444	49	2213091	48	1605555	51	9984603	49	1022640	50
10	49	3452933	47	1042944	50	1994552	48	1595705	51	9981191	49	9113209	49
20	49	3838268	47	1164383	50	1778783	48	1583561	51	9976931	49	8014365	49
30	49	4328027	47	1317829	50	1565854	48	1568217	51	9971463	49	6930334	49
40	49	4971666	47	1517857	50	1355876	48	1548214	51	9964185	49	5861705	49
50	49	5856062	47	1789473	50	1149039	48	1521052	51	9954022	49	4809450	49
60	49	7149617	47	2179487	50	9457013	47	1482051	51	9938837	49	3775215	49
62	49	7483980	47	2278820	50	9055080	47	1472118	51	9934852	49	3570752	49
64	49	7852726	47	2387640	50	8654908	47	1461235	51	9930431	49	3367185	49
66	49	8261526	47	2507374	50	8256608	47	1449262	51	9925496	49	3164507	49
68	49	8717379	47	2639751	50	7860311	47	1436024	51	9919953	49	2962799	49
70	49	9229042	47	2786885	50	7466178	47	1421311	51	9913682	49	2762101	49
72	49	9807609	47	2951388	50	7074409	47	1404861	51	9906529	49	2562476	49
74	49	1046736	48	3136531	50	6685253	47	1386346	51	9898296	49	2364004	49
76	49	1122700	48	3346456	50	6299027	47	1365354	51	9888716	49	2166766	49
78	49	1211154	48	3586497	50	5916138	47	1341350	51	9877431	49	1970866	49
80	49	1315517	48	3863636	50	5537118	47	1313636	51	9863939	49	1776438	49
82	49	1440592	48	4187192	50	5162680	47	1281280	51	9847524	49	1583619	49
84	49	1593350	48	4569892	50	4793794	47	1243010	51	9827119	49	1392570	49
86	49	1784296	48	5029585	50	4431822	47	1197041	51	9801070	49	1203503	49
88	49	2030002	48	5592105	50	4078738	47	1140789	51	9766659	49	1016637	49
90	49	2358154	48	6296296	50	3737505	47	1070370	51	9719086	49	8322250	48
91	49	2567277	48	6719367	50	3572695	47	1028063	51	9687754	49	7410261	48
92	49	2818411	48	7203389	50	3412797	47	9796610	50	9649012	49	6505501	48
93	49	3125359	48	7762557	50	3258894	47	9237443	50	9599878	49	5608463	48
94	49	3508451	48	8415841	50	3112434	47	8584158	50	9535517	49	4719870	48
95	49	3998707	48	9189189	50	2975398	47	7810811	50	9447549	49	3841024	48
96	49	4645483	48	1011904	51	2850568	47	6880952	50	9320046	49	2974690	48
97	49	5531312	48	1125827	51	2741978	47	5741722	50	9118552	49	2127346	48
98	49	6802825	48	1268656	51	2655712	47	4313433	50	8751899	49	1315186	48
99	49	8740794	48	1452991	51	2601385	47	2470085	50	7870850	49	5808058	47
10	50	1193662	49	1700000	51	2595155	47	0000000	00	0000000	00	0000000	00

Compton Cross Sections vs. Angle of Scattered Quantum

$180 - \gamma = \gamma'$		$\sigma_1(w, \phi)$		$\gamma'$		$\sigma_2(\gamma')$		E		$w'$		$\sigma_3(w', \phi)$	
w		$\phi_0$				$\phi_0$						$\phi_0$	
10	50N	1614235	47	4864864	49	4285535	48	1751351	51	1000000	50	2330955	50
90	49N	1687759	47	5113636	49	4055371	48	1748863	51	9999271	49	2199977	50
80	49N	1769260	47	5389221	49	3827539	48	1746107	51	9998461	49	2070350	50
70	49N	1860115	47	5696202	49	3602042	48	1743038	51	9997556	49	1942048	50
60	49N	1962031	47	6040268	49	3378883	48	1739597	51	9996539	49	1815128	50
50	49N	2077163	47	6428571	49	3158068	48	1735714	51	9995386	49	1689521	50
40	49N	2208265	47	6870229	49	2939602	48	1731297	51	9994069	49	1565257	50
30	49N	2358912	47	7377049	49	2723493	48	1726229	51	9992550	49	1442370	50
20	49N	2533838	47	7964601	49	2509750	48	1720354	51	9990779	49	1320832	50
10	49N	2739440	47	8653846	49	2298388	48	1713461	51	9988687	49	1200685	50
00	00	2984590	47	9473684	49	2089425	48	1705263	51	9986178	49	1081922	50
10	49	3281953	47	1046511	50	1882886	48	1695348	51	9983114	49	9645572	49
20	49	3650276	47	1168831	50	1678811	48	1683116	51	9979288	49	8486252	49
30	49	4118550	47	1323529	50	1477260	48	1667647	51	9974376	49	7341592	49
40	49	4734162	47	1525423	50	1278327	48	1647457	51	9967838	49	6212251	49
50	49	5580370	47	1800000	50	1082175	48	1620000	51	9958705	49	5099175	49
60	49	6818600	47	2195122	50	8891147	47	1580487	51	9945054	49	4004055	49
62	49	7138745	47	2295918	50	8509202	47	1570408	51	9941471	49	3787425	49
64	49	7491845	47	2406417	50	8128807	47	1559358	51	9937494	49	3571664	49
66	49	7883336	47	2528089	50	7750057	47	1547191	51	9933055	49	3356817	49
68	49	8319933	47	2662721	50	7373065	47	1533727	51	9928068	49	3142914	49
70	49	8810033	47	2812500	50	6997974	47	1518759	51	9922426	49	2930046	49
72	49	9364277	47	2980132	50	6624957	47	1501986	51	9915989	49	2718247	49
74	49	9996372	47	3169014	50	6254231	47	1483098	51	9908577	49	2507624	49
76	49	1072427	48	3383458	50	5886076	47	1461654	51	9899952	49	2298255	49
78	49	1157197	48	3629032	50	5520848	47	1437096	51	9889786	49	2090253	49
80	49	1257235	48	3913043	50	5159017	47	1408695	51	9877629	49	1883762	49
82	49	1377160	48	4245283	50	4801214	47	1375471	51	9862831	49	1678928	49
84	49	1523687	48	4639175	50	4448300	47	1336082	51	9844427	49	1475950	49
86	49	1706954	48	5113636	50	4101494	47	1288636	51	9820915	49	1275055	49
88	49	1943009	48	5696202	50	3762564	47	1230379	51	9789826	49	1076514	49
90	49	2258779	48	6428571	50	3434193	47	1157142	51	9746794	49	8806342	48
91	49	2460375	48	6870229	50	3275207	47	1112977	51	9718419	49	7838028	48
92	49	2702898	48	7377049	50	3120643	47	1062295	51	9683296	49	6877760	48
93	49	3000021	48	7964601	50	2971502	47	1000353	51	9638693	49	5926155	48
94	49	3372030	48	8653846	50	2829131	47	9346154	50	9580170	49	4984040	48
95	49	3850165	48	9473684	50	2695388	47	8526316	50	9500000	49	4052805	48
96	49	4484696	48	1046511	51	2572911	47	7534884	50	9383431	49	3135270	48
97	49	5360936	48	1168831	51	2465567	47	6311688	50	9198335	49	2238013	48
98	49	6633337	48	1323529	51	2379275	47	4764706	50	8858795	49	1377765	48
99	49	8605089	48	1525423	51	2323562	47	2745763	50	8028965	49	6001832	47
10	50	1193662	49	1800000	51	2314814	47	0000000	00	0000000	00	0000000	00

Compton Cross Sections vs. Angle of Scattered Quantum

19	51 = $\gamma$	$\sigma_1(w, \phi)$		$\gamma'$	$\sigma_2(\gamma')$		E		$w'$	$\sigma_1(w', \phi)$			
w		$\phi_0$			$\phi_0$					$\phi_0$			
10	50N	1531342	47	4871794	49	4053910	48	1851282	51	1000000	50	2450147	50
90	49N	1601639	47	5121293	49	3836941	48	1848787	51	9999342	49	2313237	50
80	49N	1679570	47	5397727	49	3622064	48	1846022	51	9998611	49	2177640	50
70	49N	1766452	47	5705705	49	3409283	48	1842942	51	9997794	49	2043376	50
60	49N	1863922	47	6050955	49	3198599	48	1839490	51	9996876	49	1910474	50
50	49N	1974044	47	6440678	49	2990017	48	1835593	51	9995835	49	1778843	50
40	49N	2099456	47	6884058	49	2783542	48	1831159	51	9994647	49	1648625	50
30	49N	2243586	47	7392996	49	2579180	48	1826070	51	9993276	49	1519714	50
20	49N	2410969	47	7983193	49	2376940	48	1820168	51	9991677	49	1392197	50
10	49N	2607741	47	8675799	49	2176834	48	1813242	51	9989788	49	1266022	50
00	00	2842407	47	9500000	49	1978878	48	1805000	51	9987523	49	1141232	50
10	49	3127118	47	1049723	50	1783093	48	1795027	51	9984757	49	1017827	50
20	49	3479860	47	1172839	50	1589514	48	1782716	51	9981302	49	8958600	49
30	49	3928458	47	1328671	50	1398192	48	1767132	51	9976866	49	7753457	49
40	49	4518404	47	1532258	50	1209208	48	1746774	51	9970960	49	6563523	49
50	49	5329653	47	1809523	50	1022704	48	1719047	51	9962709	49	5389733	49
60	49	6517271	47	2209302	50	8389486	47	1679069	51	9950371	49	4233784	49
62	49	6824416	47	2311435	50	8025680	47	1668856	51	9947132	49	4004975	49
64	49	7163214	47	2423469	50	7663245	47	1657653	51	9943537	49	3777037	49
66	49	7538889	47	2546916	50	7302266	47	1645308	51	9939523	49	3550000	49
68	49	7957893	47	2683615	50	6942842	47	1631638	51	9935014	49	3323937	49
70	49	8428299	47	2835820	50	6585097	47	1616417	51	9929910	49	3098893	49
72	49	8960337	47	3006329	50	6229184	47	1599367	51	9924087	49	2874941	49
74	49	9567183	47	3198653	50	5875294	47	1580134	51	9917381	49	2652158	49
76	49	1026610	48	3417266	50	5523673	47	1558273	51	9909574	49	2430657	49
78	49	1108020	48	3667953	50	5174636	47	1533204	51	9900372	49	2210540	49
80	49	1204110	48	3958333	50	4828601	47	1504166	51	9889363	49	1991962	49
82	49	1319332	48	4298642	50	4486126	47	1470135	51	9875957	49	1775095	49
84	49	1460163	48	4702970	50	4147983	47	1429703	51	9859277	49	1560151	49
86	49	1636399	48	5191256	50	3815260	47	1380874	51	9837954	49	1347384	49
88	49	1863587	48	5792683	50	3489554	47	1320731	51	9809737	49	1137103	49
90	49	2167914	48	6551724	50	3173297	47	1244827	51	9770639	49	9296792	48
91	49	2362508	48	7011070	50	3019844	47	1198893	51	9744832	49	8271710	48
92	49	2596968	48	7539682	50	2870386	47	1146031	51	9712858	49	7255464	48
93	49	2884811	48	8154506	50	2725849	47	1084549	51	9672208	49	6248795	48
94	49	3246222	48	8878504	50	2587489	47	1012149	51	9618794	49	5252655	48
95	49	3712548	48	9743589	50	2457050	47	9256410	50	9545479	49	4268536	48
96	49	4334774	48	1079545	51	2337031	47	8204545	50	9438583	49	3299331	48
97	49	5200613	48	1210191	51	2231138	47	6898089	50	9268136	49	2351688	48
98	49	6471742	48	1376811	51	2145122	47	5231884	50	8953229	49	1442786	48
99	49	8473205	48	1596638	51	2088403	47	3033613	50	8171778	49	6210949	47
10	50	1193662	49	1900000	51	2077562	47	0000000	00	0000000	00	0000000	00

Compton Cross Sections vs. Angle of Scattered Quantum

20 51 = $\gamma$		$\sigma_1(w, \phi)$		$\gamma'$		$\sigma_2(\gamma')$		E		$w'$		$\sigma_1(w', \phi)$	
w		$\phi_0$				$\phi_0$						$\phi_0$	
10	50 N	1456551	47	4878048	49	3846036	48	1951219	51	1000000	50	2569356	50
90	49 N	1523886	47	5128205	49	3640841	48	1948717	51	9999403	49	2426458	50
80	49 N	1598540	47	5405405	49	3437533	48	1945945	51	9998740	49	2284926	50
70	49 N	1681775	47	5714285	49	3236116	48	1942857	51	9997999	49	2144693	50
60	49 N	1775164	47	6060606	49	3036590	48	1939393	51	9997166	49	2005799	50
50	49 N	1880686	47	6451613	49	2838961	48	1935483	51	9996222	49	1868216	50
40	49 N	2000873	47	6896551	49	2643232	48	1931034	51	9995144	49	1732007	50
30	49 N	2139016	47	7407407	49	2449409	48	1925925	51	9993900	49	1597119	50
20	49 N	2299470	47	8000000	49	2257500	48	1920000	51	9992450	49	1463570	50
10	49 N	2488128	47	8695652	49	2067513	48	1913043	51	9990736	49	1331393	50
00	00	2713161	47	9523809	49	1879464	48	1904761	51	9988681	49	1200582	50
10	49	2986243	47	1052631	50	1693371	48	1894736	51	9986171	49	1071154	50
20	49	3324663	47	1176470	50	1509264	48	1882352	51	9983036	49	9431487	49
30	49	3755172	47	1333333	50	1327187	48	1866666	51	9979010	49	8165871	49
40	49	4321523	47	1538461	50	1147211	48	1846153	51	9973649	49	6915372	49
50	49	5100640	47	1818181	50	9694602	47	1818181	51	9966158	49	5680916	49
60	49	6241755	47	2222222	50	7941666	47	1777777	51	9954954	49	4464232	49
62	49	6536961	47	2325581	50	7594386	47	1767441	51	9952012	49	4223264	49
64	49	6862626	47	2439024	50	7248329	47	1756097	51	9948746	49	3983174	49
66	49	7223779	47	2564102	50	6903567	47	1743589	51	9945099	49	3743969	49
68	49	7626636	47	2702702	50	6560189	47	1729729	51	9941002	49	3505751	49
70	49	8078968	47	2857142	50	6218303	47	1714285	51	9936364	49	3268544	49
72	49	8590633	47	3030303	50	5878045	47	1696969	51	9931072	49	3032433	49
74	49	9174320	47	3225806	50	5539584	47	1677419	51	9924976	49	2797504	49
76	49	9846671	47	3448275	50	5203137	47	1655172	51	9917878	49	2563856	49
78	49	1062994	48	3703703	50	4868986	47	1629629	51	9909509	49	2331627	49
80	49	1155464	48	4000000	50	4537500	47	1600000	51	9899494	49	2100952	49
82	49	1266373	48	4347826	50	4209179	47	1565217	51	9887295	49	1872030	49
84	49	1401976	48	4761904	50	3884714	47	1523809	51	9872110	49	1645088	49
86	49	1571747	48	5263157	50	3565085	47	1473684	51	9852688	49	1420409	49
88	49	1790760	48	5882353	50	3251735	47	1411764	51	9826970	49	1198339	49
90	49	2084487	48	6666666	50	2946875	47	1333333	51	9791300	49	9793026	48
91	49	2272558	48	7142857	50	2798665	47	1285714	51	9767735	49	8710781	48
92	49	2499464	48	7692307	50	2654076	47	1230769	51	9738516	49	7638128	48
93	49	2778545	48	8333333	50	2513968	47	1166666	51	9701332	49	6575944	48
94	49	3129843	48	9090909	50	2379511	47	1090909	51	9652409	49	5525306	48
95	49	3584716	48	1000000	51	2252343	47	1000000	51	9585144	49	4487840	48
96	49	4194682	48	1111111	51	2134833	47	8888889	50	9486833	49	3466521	48
97	49	5049516	48	1250000	51	2030531	47	7500000	50	9329494	49	2468064	48
98	49	6317534	48	1428571	51	1945017	47	5714286	50	9036961	49	1510007	48
99	49	8344996	48	1666666	51	1887593	47	3333333	50	8300978	49	6433937	47
10	50	1193662	49	2000000	51	1875000	47	0000000	00	0000000	00	0000000	00

Compton Cross Sections vs. Angle of Scattered Quantum

22 51 = $\gamma$		$\sigma_1(w, \phi)$		$\gamma'$		$\sigma_2(\gamma')$		E		$w'$		$\sigma_1(w', \phi)$	
w		$\phi_0$				$\phi_0$						$\phi_0$	
10	50N	1326946	47	4838888	49	3488292	48	2151111	51	1000000	50	2807817	50
90	49N	1389035	47	5140186	49	3303204	48	2148598	51	9999502	49	2653058	50
80	49N	1457884	47	5418719	49	3119677	48	2145812	51	9998949	49	2499532	50
70	49N	1534659	47	5729166	49	2937709	48	2142708	51	9998332	49	2347409	50
60	49N	1620814	47	6077348	49	2757305	48	2139226	51	9997637	49	2196526	50
50	49N	1718182	47	6470588	49	2578466	48	2135294	51	9996850	49	2047011	50
40	49N	1829106	47	6918239	49	2401196	48	2130817	51	9995951	49	1898782	50
30	49N	1956634	47	7432432	49	2225499	48	2125675	51	9994914	49	1751938	50
20	49N	2104799	47	8029197	49	2051381	48	2119708	51	9993704	49	1606401	50
10	49N	2279063	47	8730158	49	1878849	48	2112698	51	9992275	49	1462198	50
00	00	2487000	47	9565217	49	1707914	48	2104347	51	9990561	49	1319363	50
10	49	2739440	47	1057692	50	1538590	48	2094230	51	9988467	49	1177893	50
20	49	3052430	47	1182795	50	1370901	48	2081720	51	9985852	49	1037830	50
30	49	3450812	47	1341463	50	1204879	48	2065853	51	9982492	49	8991979	49
40	49	3975249	47	1549295	50	1040580	48	2045070	51	9978018	49	7620585	49
50	49	4697281	47	1833333	50	8780991	47	2016666	51	9971764	49	6265053	49
60	49	5755803	47	2244898	50	7176168	47	1975510	51	9962405	49	4927065	49
62	49	6029811	47	2350427	50	6857880	47	1964957	51	9959947	49	4661822	49
64	49	6332161	47	2466367	50	6540579	47	1953363	51	9957217	49	4397413	49
66	49	6667543	47	2594339	50	6224321	47	1940566	51	9954170	49	4133938	49
68	49	7041746	47	2736318	50	5909177	47	1926368	51	9950744	49	3871414	49
70	49	7462020	47	2894736	50	5595231	47	1910526	51	9946866	49	3609904	49
72	49	7937549	47	3072625	50	5282591	47	1892737	51	9942439	49	3349499	49
74	49	8480176	47	3273809	50	4971391	47	1872619	51	9937339	49	3090272	49
76	49	9105426	47	3503184	50	4661804	47	1849681	51	9931399	49	2832345	49
78	49	9834078	47	3767123	50	4354054	47	1823287	51	9924392	49	2575864	49
80	49	1069462	48	4074074	50	4048439	47	1792592	51	9916004	49	2320975	49
82	49	1172724	48	4435483	50	3745361	47	1756451	51	9905780	49	2067904	49
84	49	1299050	48	4867256	50	3445381	47	1713274	51	9893045	49	1816900	49
86	49	1457334	48	5392156	50	3149301	47	1660784	51	9876743	49	1568302	49
88	49	1661774	48	6043955	50	2858309	47	1595604	51	9855131	49	1322522	49
90	49	1936495	48	6875000	50	2574251	47	1512500	51	9825113	49	1080088	49
91	49	2112787	48	7382550	50	2435695	47	1461745	51	9805252	49	9603299	48
92	49	2325960	48	7971014	50	2300143	47	1402898	51	9780594	49	8416711	48
93	49	2588957	48	8661417	50	2168337	47	1333858	51	9749164	49	7242265	48
94	49	2921432	48	9482758	50	2041297	47	1251724	51	9707724	49	6081374	48
95	49	3354556	48	1047619	51	1920473	47	1152380	51	9650585	49	4935939	48
96	49	3940454	48	1170212	51	1807991	47	1029787	51	9566738	49	3809167	48
97	49	4772113	48	1325301	51	1707109	47	8746988	50	9431723	49	2707920	48
98	49	6029456	48	1527777	51	1623071	47	6722222	50	9177999	49	1650250	48
99	49	8099050	48	1803278	51	1564906	47	3967213	50	8524367	49	6916770	47
10	50	1193662	49	2200000	51	1549586	47	0000000	00	0000000	00	0000000	00

Compton Cross Sections vs. Angle of Scattered Quantum

24 51 = $\gamma$		$\sigma_i(w, \phi)$		$\gamma'$		$\sigma_s(\gamma')$		E		w'		$\sigma_s(w', \phi)$	
w		$\phi_0$				$\phi_0$						$\phi_0$	
10	50N	1218529	47	4897959	49	3191432	48	2351020	51	1000000	50	3046324	50
90	49N	1276121	47	5150214	49	3022881	48	2348497	51	9999579	49	2879628	50
80	49N	1339989	47	5429864	49	2855639	48	2345701	51	9999111	49	2714171	50
70	49N	1411221	47	5741626	49	2689708	48	2342583	51	9998588	49	2550092	50
60	49N	1491169	47	6091370	49	2525089	48	2339086	51	9998000	49	2387303	50
50	49N	1581538	47	6486486	49	2361785	48	2335135	51	9997334	49	2225825	50
40	49N	1684508	47	6936416	49	2199798	48	2330635	51	9996573	49	2065653	50
30	49N	1802918	47	7453416	49	2039131	48	2325465	51	9995695	49	1906812	50
20	49N	1940524	47	8053691	49	1879788	48	2319463	51	9994670	49	1749247	50
10	49N	2102414	47	8759124	49	1721777	48	2312408	51	9993461	49	1593082	50
00	00	2295650	47	9600000	49	1565104	48	2304000	51	9992009	49	1438234	50
10	49	2530332	47	1061946	50	1409781	48	2293805	51	9990236	49	1284734	50
20	49	2821432	47	1188118	50	1255827	48	2281188	51	9988021	49	1132642	50
30	49	3192149	47	1348314	50	1103266	48	2265168	51	9985175	49	9819619	49
40	49	3680475	47	1558441	50	9521442	47	2244155	51	9981385	49	8327462	49
50	49	4353307	47	1846153	50	8025340	47	2215384	51	9976086	49	6851117	49
60	49	5340639	47	2264151	50	6545794	47	2173584	51	9968152	49	5391999	49
62	49	5596377	47	2371541	50	6252092	47	2162845	51	9966068	49	5102477	49
64	49	5878637	47	2489626	50	5959202	47	2151037	51	9963753	49	4813860	49
66	49	6191812	47	2620087	50	5667168	47	2137991	51	9961168	49	4526118	49
68	49	6541331	47	2764976	50	5376046	47	2123502	51	9958262	49	4239308	49
70	49	6933990	47	2926829	50	5085905	47	2107317	51	9954972	49	3953540	49
72	49	7378405	47	3108808	50	4796831	47	2089119	51	9951216	49	3668857	49
74	49	7885683	47	3314917	50	4508933	47	2068508	51	9946887	49	3385359	49
76	49	8470389	47	3550295	50	4222349	47	2044970	51	9941844	49	3103165	49
78	49	9152036	47	3821656	50	3937262	47	2017834	51	9935894	49	2822428	49
80	49	9957380	47	4137931	50	3653915	47	1986206	51	9928768	49	2543310	49
82	49	1092418	48	4511278	50	3372636	47	1948872	51	9920079	49	2266044	49
84	49	1210755	48	4958677	50	3093887	47	1904132	51	9909250	49	1990919	49
86	49	1359132	48	5504587	50	2818331	47	1849541	51	9895379	49	1718306	49
88	49	1550963	48	6185567	50	2546960	47	1781443	51	9876974	49	1448679	49
90	49	1809140	48	7058823	50	2281326	47	1694117	51	9851380	49	1182664	49
91	49	1975105	48	7594936	50	2151403	47	1640506	51	9834427	49	1051255	49
92	49	2176144	48	8219178	50	2024001	47	1578082	51	9813358	49	9210743	48
93	49	2424779	48	8955223	50	1899761	47	1504477	51	9786468	49	7922649	48
94	49	2740189	48	9836065	50	1779580	47	1416393	51	9750955	49	6649996	48
95	49	3153149	48	1090909	51	1664743	47	1309090	51	9701881	49	5395064	48
96	49	3715907	48	1224489	51	1557164	47	1175510	51	9629640	49	4161352	48
97	49	4523632	48	1395348	51	1459827	47	1004651	51	9512742	49	2955919	48
98	49	5765794	48	1621621	51	1377653	47	7783784	50	9291176	49	1797160	48
99	49	7866212	48	1935483	51	1319369	47	4645161	50	8709162	49	7442459	47
10	50	1193662	49	2400000	51	1302083	47	0000000	00	0000000	00	0000000	00



Compton Cross Sections vs. Angle of Scattered Quantum

26 51 = $\gamma$		$\sigma_1(w, \phi)$		$\gamma'$		$\sigma_2(\gamma')$		E		w'		$\sigma_1(w', \phi)$	
w		$\phi_0$				$\phi_0$						$\phi_0$	
10	50N	1126497	47	4905660	49	2941135	48	2550943	51	1000000	50	3284865	50
90	49N	1180190	47	5158730	49	2786418	48	2548412	51	9999639	49	3106206	50
80	49N	1239743	47	5439330	49	2632817	48	2545606	51	9999238	49	2928903	50
70	49N	1306170	47	5752212	49	2480332	48	2542477	51	9998789	49	2752879	50
60	49N	1380735	47	6103286	49	2328964	48	2538967	51	9998285	49	2578115	50
50	49N	1465033	47	6500000	49	2178716	48	2535000	51	9997714	49	2404648	50
40	49N	1561104	47	6951871	49	2029589	48	2530481	51	9997061	49	2232573	50
30	49N	1671600	47	7471264	49	1881586	48	2525287	51	9996308	49	2061727	50
20	49N	1800040	47	8074534	49	1734710	48	2519254	51	9995430	49	1892211	50
10	49N	1951184	47	8783783	49	1588967	48	2512162	51	9994393	49	1724006	50
00	00	2131647	47	9629629	49	1444362	48	2503703	51	9993148	49	1557185	50
10	49	2350892	47	1065573	50	1300905	48	2493442	51	9991627	49	1391662	50
20	49	2622956	47	1192660	50	1158609	48	2480733	51	9989727	49	1227551	50
30	49	2969597	47	1354166	50	1017497	48	2464583	51	9987286	49	1064828	50
40	49	3426480	47	1566265	50	8776021	47	2443373	51	9984034	49	9035709	49
50	49	4056450	47	1857142	50	7389845	47	2414285	51	9979487	49	7438586	49
60	49	4981729	47	2280701	50	6017595	47	2371929	51	9972677	49	5858567	49
62	49	5221541	47	2389705	50	5744995	47	2361029	51	9970887	49	5544894	49
64	49	5486286	47	2509652	50	5473072	47	2349034	51	9968900	49	5232007	49
66	49	5780103	47	2642276	50	5201863	47	2335772	51	9966680	49	4920046	49
68	49	6108105	47	2789699	50	4931414	47	2321030	51	9964185	49	4609023	49
70	49	6476692	47	2954545	50	4661780	47	2304545	51	9961359	49	4298994	49
72	49	6893988	47	3140096	50	4393032	47	2285990	51	9958132	49	3990082	49
74	49	7370459	47	3350515	50	4125258	47	2264948	51	9954413	49	3682316	49
76	49	7919841	47	3591160	50	3858573	47	2240884	51	9950079	49	3375878	49
78	49	8560532	47	3869047	50	3593126	47	2213095	51	9944964	49	3070887	49
80	49	9317784	47	4193548	50	3329118	47	2180645	51	9938837	49	2767541	49
82	49	1022724	48	4577464	50	3066821	47	2142253	51	9931364	49	2466064	49
84	49	1134098	48	5038759	50	2806618	47	2096124	51	9922045	49	2166777	49
86	49	1273831	48	5603448	50	2549066	47	2039655	51	9910104	49	1870081	49
88	49	1454638	48	6310679	50	2294999	47	1968932	51	9894248	49	1576508	49
90	49	1698287	48	7222222	50	2045734	47	1877777	51	9872177	49	1286766	49
91	49	1855133	48	7784431	50	1923539	47	1821556	51	9857545	49	1143618	49
92	49	2045393	48	8441558	50	1803481	47	1755844	51	9839347	49	1001810	49
93	49	2281165	48	9219858	50	1686118	47	1678014	51	9816096	49	8615173	48
94	49	2581105	48	1015625	51	1572240	47	1584375	51	9785349	49	7229475	48
95	49	2975448	48	1130434	51	1462989	47	1469565	51	9742785	49	5863682	48
96	49	3516214	48	1274509	51	1360094	47	1325490	51	9679969	49	4521692	48
97	49	4299914	48	1460674	51	1266289	47	1139325	51	9577921	49	3210819	48
98	49	5523721	48	1710526	51	1186184	47	8894737	50	9383148	49	1949725	48
99	49	7645537	48	2063492	51	1128190	47	5365079	50	8863184	49	8005089	47
10	50	1193662	49	2600000	51	1109467	47	0000000	00	0000000	00	0000000	00

Compton Cross Sections vs. Angle of Scattered Quantum

28 51 = $\gamma$		$\sigma_1(w, \phi)$		$\gamma'$		$\sigma_2(\gamma')$		E		$w'$		$\sigma_3(w', \phi)$	
w		$\phi_0$				$\phi_0$						$\phi_0$	
10	50 N	1047394	47	4912280	49	2727242	48	2750877	51	1000000	50	3523434	50
90	49 N	1097679	47	5166051	49	2584269	48	2748339	51	9999687	49	3332850	50
80	49 N	1153456	47	5447470	49	2442257	48	2745525	51	9999339	49	3143632	50
70	49 N	1215680	47	5761317	49	2301207	48	2742386	51	9998951	49	2955648	50
60	49 N	1285536	47	6113537	49	2161120	48	2738864	51	9998514	49	2768935	50
50	49 N	1364520	47	6511627	49	2021998	48	2734883	51	9998018	49	2583530	50
40	49 N	1454550	47	6965174	49	1883842	48	2730348	51	9997453	49	2399468	50
30	49 N	1558117	47	7486631	49	1746655	48	2725133	51	9996800	49	2216655	50
20	49 N	1678526	47	8092485	49	1610438	48	2719075	51	9996038	49	2035171	50
10	49 N	1820253	47	8805031	49	1475196	48	2711949	51	9995139	49	1855021	50
00	00	1989518	47	9655172	49	1340935	48	2703448	51	9994060	49	1676161	50
10	49	2195223	47	1068702	50	1207661	48	2693129	51	9992741	49	1498665	50
20	49	2450579	47	1196581	50	1075385	48	2680341	51	9991093	49	1322518	50
30	49	2776080	47	1359223	50	9441267	47	2664077	51	9988977	49	1147792	50
40	49	3205335	47	1573033	50	8139116	47	2642696	51	9986156	49	9744892	49
50	49	3797613	47	1866666	50	6847895	47	2613333	51	9982211	49	8027252	49
60	49	4668292	47	2295082	50	5568542	47	2570491	51	9976303	49	6326552	49
62	49	4894086	47	2405498	50	5314243	47	2559450	51	9974750	49	5988654	49
64	49	5143414	47	2527075	50	5060516	47	2547292	51	9973025	49	5651613	49
66	49	5420188	47	2661597	50	4807393	47	2533840	51	9971098	49	5315440	49
68	49	5729246	47	2811245	50	4554911	47	2518875	51	9968932	49	4980201	49
70	49	6076641	47	2978723	50	4303116	47	2502127	51	9966479	49	4645984	49
72	49	6470059	47	3167420	50	4052067	47	2483257	51	9963677	49	4312810	49
74	49	6919408	47	3381642	50	3801836	47	2461835	51	9960448	49	3980841	49
76	49	7437689	47	3626943	50	3552519	47	2437305	51	9956684	49	3650160	49
78	49	8042326	47	3910614	50	3304240	47	2408938	51	9952241	49	3320937	49
80	49	8757241	47	4242424	50	3057166	47	2375757	51	9946917	49	2993350	49
82	49	9616218	47	4635761	50	2811525	47	2336423	51	9940423	49	2667657	49
84	49	1066864	48	5109489	50	2567641	47	2289051	51	9932322	49	2344190	49
86	49	1198980	48	5691056	50	2325981	47	2230894	51	9921936	49	2023367	49
88	49	1370058	48	6422018	50	2087256	47	2157798	51	9908138	49	1705775	49
90	49	1600845	48	7368420	50	1852594	47	2063157	51	9888917	49	1392191	49
91	49	1749583	48	7954545	50	1737336	47	2004545	51	9876166	49	1237231	49
92	49	1930218	48	8641975	50	1623904	47	1935802	51	9860295	49	1083708	49
93	49	2154424	48	9459459	50	1512789	47	1854054	51	9840002	49	9318314	48
94	49	2440318	48	1044776	51	1404688	47	1755223	51	9813139	49	7818459	48
95	49	2817505	48	1166666	51	1300621	47	1633333	51	9775898	49	6340606	48
96	49	3337518	48	1320754	51	1202151	47	1479245	51	9720822	49	4889119	48
97	49	4097534	48	1521739	51	1111788	47	1278260	51	9631061	49	3471671	48
98	49	5300813	48	1794871	51	1033845	47	1005128	51	9458757	49	2107154	48
99	49	7436163	48	2187500	51	9764110	46	6125000	50	8992518	49	8600049	47
10	50	1193662	49	2800000	51	9566326	46	0000000	00	0000000	00	0000000	00

Compton Cross Sections vs. Angle of Scattered Quantum

30	51 = $\gamma$	$\sigma_1(w, \phi)$		$\gamma'$	$\sigma_2(\gamma')$		E	$w'$	$\sigma_1(w', \phi)$				
w		$\phi_0$			$\phi_0$				$\phi_0$				
10	50N	9786745	46	4918032	49	2542349	48	2950819	51	1000000	50	3762024	50
90	49N	1025954	47	5172413	49	2409468	48	2948275	51	9999726	49	3559568	50
80	49N	1078403	47	5454545	49	2277424	48	2945454	51	9999421	49	3358297	50
70	49N	1136919	47	5769230	49	2146217	48	2942307	51	9999082	49	3158449	50
60	49N	1202620	47	6122448	49	2015850	48	2938775	51	9998699	49	2959770	50
50	49N	1276917	47	6521739	49	1886322	48	2934782	51	9998266	49	2762414	50
40	49N	1361615	47	6976744	49	1757635	48	2930232	51	9997770	49	2566381	50
30	49N	1459065	47	7500000	49	1629791	48	2925000	51	9997199	49	2371645	50
20	49N	1572382	47	8108108	49	1502792	48	2918918	51	9996533	49	2178194	50
10	49N	1705791	47	8823529	49	1376642	48	2911764	51	9995745	49	1986055	50
00	00	1865159	47	9677419	49	1251344	48	2903225	51	9994801	49	1795200	50
10	49	2058893	47	1071428	50	1126904	48	2892857	51	9993646	49	1605706	50
20	49	2299470	47	1200000	50	1003333	48	2880000	51	9992204	49	1417594	50
30	49	2606259	47	1363636	50	8806439	47	2863636	51	9990351	49	1230814	50
40	49	3011042	47	1578947	50	7588596	47	2842105	51	9987881	49	1045496	50
50	49	3569912	47	1875000	50	6380208	47	2812500	51	9984427	49	8616914	49
60	49	4392154	47	2307692	50	5182051	47	2769230	51	9979253	49	6795571	49
62	49	4605506	47	2419354	50	4943768	47	2758064	51	9977892	49	6433569	49
64	49	4841149	47	2542372	50	4705977	47	2745762	51	9976381	49	6072371	49
66	49	5102793	47	2678571	50	4468702	47	2732142	51	9974693	49	5712008	49
68	49	5395031	47	2830188	50	4231974	47	2716981	51	9972796	49	5352623	49
70	49	5723609	47	3000000	50	3995833	47	2700000	51	9970646	49	4994209	49
72	49	6095824	47	3191489	50	3760326	47	2680851	51	9968191	49	4636858	49
74	49	6521084	47	3409090	50	3525515	47	2659090	51	9965361	49	4280660	49
76	49	7011745	47	3658536	50	3291479	47	2634146	51	9962062	49	3925768	49
78	49	7584362	47	3947368	50	3058324	47	2605263	51	9958167	49	3572320	49
80	49	8261671	47	4285714	50	2826190	47	2571428	51	9953500	49	3220495	49
82	49	9075809	47	4687500	50	2595270	47	2531250	51	9947804	49	2870597	49
84	49	1007376	48	5172413	50	2365839	47	2482758	51	9940698	49	2522928	49
86	49	1132722	48	5769230	50	2138294	47	2423076	51	9931584	49	2177950	49
88	49	1295143	48	6521739	50	1913246	47	2347826	51	9919471	49	1836278	49
90	49	1514458	48	7500000	50	1691666	47	2250000	51	9902586	49	1498767	49
91	49	1655942	48	8108108	50	1582654	47	2189189	51	9891378	49	1331935	49
92	49	1827933	48	8823529	50	1475215	47	2117647	51	9877421	49	1166629	49
93	49	2041696	48	9677419	50	1369783	47	2032258	51	9859563	49	1003085	49
94	49	2314808	48	1071428	51	1266976	47	1928571	51	9835901	49	8415852	48
95	49	2676190	48	1200000	51	1167708	47	1800000	51	9803060	49	6824880	48
96	49	3176701	48	1363636	51	1073393	47	1636363	51	9754410	49	5262796	48
97	49	3913650	48	1578947	51	9863399	46	1421052	51	9674910	49	3737721	48
98	49	5094978	48	1875000	51	9105833	46	1125000	51	9521574	49	2268816	48
99	49	7237303	48	2307692	51	8538878	46	6923077	50	9101913	49	9223634	47
10	50	11933662	49	3000000	51	8333333	46	0000000	00	0000000	00	0000000	00

Compton Cross Sections vs. Angle of Scattered Quantum

$32 \quad 51 = \gamma$		$\sigma_1(w, \phi)$		$\gamma'$		$\sigma_2(\gamma')$		E		$w'$		$\sigma_3(w', \phi)$	
w		$\phi_0$				$\phi_0$						$\phi_0$	
10	50N	9184189	46	4923076	49	2380934	48	3150769	51	1000000	50	4000632	50
90	49N	9630297	46	5177993	49	2256818	48	3148220	51	9999758	49	3786084	50
80	49N	1012522	47	5460750	49	2133437	48	3145392	51	9999489	49	3573077	50
70	49N	1067745	47	5776173	49	2010792	48	3142238	51	9999189	49	3361123	50
60	49N	1129755	47	6130268	49	1888885	48	3138697	51	9998852	49	3150729	50
50	49N	1199886	47	6530612	49	1767715	48	3134693	51	9998469	49	2941484	50
40	49N	1279845	47	6986899	49	1647284	48	3130131	51	9998032	49	2733402	50
30	49N	1371856	47	7511737	49	1527593	48	3124882	51	9997528	49	2526654	50
20	49N	1478866	47	8121827	49	1408644	48	3118781	51	9996940	49	2321360	50
10	49N	1604873	47	8839778	49	1290440	48	3111602	51	9996245	49	2117148	50
00	00	1755434	47	9696969	49	1172984	48	3103030	51	9995411	49	1914235	50
10	49	1938508	47	1073825	50	1056282	48	3092617	51	9994393	49	1712866	50
20	49	2165920	47	1203007	50	9403415	47	3079699	51	9993120	49	1512632	50
30	49	2456029	47	1367521	50	8251734	47	3063247	51	9991484	49	1313896	50
40	49	2838985	47	1584158	50	7107973	47	3041584	51	9989304	49	1116579	50
50	49	3368032	47	1882352	50	5972469	47	3011764	51	9986254	49	9207434	49
60	49	4146999	47	2318840	50	4845873	47	2968115	51	9981685	49	7265584	49
62	49	4349229	47	2431610	50	4621724	47	2956838	51	9980483	49	6879523	49
64	49	4572636	47	2555910	50	4398000	47	2944408	51	9979149	49	6494128	49
66	49	4820752	47	2693602	50	4174722	47	2930639	51	9977658	49	6109622	49
68	49	5097946	47	2846975	50	3951917	47	2915302	51	9975982	49	5726088	49
70	49	5409692	47	3018867	50	3729616	47	2898113	51	9974083	49	5343567	49
72	49	5762937	47	3212851	50	3507862	47	2878714	51	9971914	49	4961936	49
74	49	6166646	47	3433476	50	3286705	47	2856652	51	9969414	49	4581603	49
76	49	6632588	47	3686635	50	3066213	47	2831336	51	9966499	49	4202470	49
78	49	7176547	47	3980099	50	2846476	47	2801990	51	9963057	49	3824789	49
80	49	7820203	47	4324324	50	2627613	47	2767567	51	9958932	49	3448819	49
82	49	8594202	47	4733727	50	2409788	47	2726627	51	9953897	49	3074671	49
84	49	9543392	47	5228758	50	2193236	47	2677124	51	9947613	49	2702789	49
86	49	1073622	48	5839416	50	1978301	47	2616058	51	9939552	49	2333655	49
88	49	1228284	48	6611570	50	1765507	47	2538843	51	9928835	49	1967859	49
90	49	1437298	48	7619047	50	1555698	47	2438095	51	9913889	49	1606366	49
91	49	1572252	48	8247422	50	1452331	47	2375257	51	9903962	49	1427610	49
92	49	1736439	48	8988764	50	1350329	47	2301123	51	9891595	49	1250458	49
93	49	1940736	48	9876543	50	1250076	47	2212345	51	9875763	49	1075174	49
94	49	2202183	48	1095890	51	1152123	47	2104109	51	9854771	49	9020768	48
95	49	2548994	48	1230769	51	1057293	47	1969230	51	9825607	49	7315752	48
96	49	3031223	48	1403508	51	9668688	46	1796491	51	9782341	49	5642055	48
97	49	3745891	48	1632653	51	8829727	46	1567346	51	9711484	49	4008377	48
98	49	4904408	48	1951219	51	8093833	46	1248780	51	9574271	49	2434204	48
99	49	7048236	48	2424242	51	7535433	46	7757576	50	9195090	49	9872798	47
10	50	1193662	49	3200000	51	7324218	46	0000000	00	0000000	00	0000000	00

Compton Cross Sections vs. Angle of Scattered Quantum

$34 \ 51 = \gamma$		$\sigma_i(w, \phi)$		$\gamma'$		$\sigma_i(\gamma')$		E		$w'$		$\sigma_i(w', \phi)$	
w		$\phi_0$				$\phi_0$						$\phi_0$	
10	50N	8651542	46	4927536	49	2238792	48	3350724	51	1000000	50	4239255	50
90	49N	9073797	46	5182926	49	2122358	48	3348170	51	9999785	49	4012814	50
80	49N	9542298	46	5466237	49	2006576	48	3345337	51	9999546	49	3787924	50
70	49N	1006508	47	5782313	49	1891447	48	3342176	51	9999279	49	3564069	50
60	49N	1065217	47	6137184	49	1776969	48	3338628	51	9998979	49	3341251	50
50	49N	1131622	47	6538461	49	1663145	48	3334615	51	9998639	49	3120637	50
40	49N	1207341	47	6995884	49	1549975	48	3330041	51	9998251	49	2900234	50
30	49N	1294485	47	7522124	49	1437460	48	3324778	51	9997802	49	2681625	50
20	49N	1395850	47	8133971	49	1325603	48	3318660	51	9997280	49	2464172	50
10	49N	1515231	47	8854166	49	1214404	48	3311458	51	9996662	49	2248123	50
00	00	1657902	47	9714285	49	1103868	48	3302857	51	9995920	49	2033354	50
10	49	1831425	47	1075949	50	9939980	47	3292405	51	9995015	49	1819964	50
20	49	2047035	47	1205673	50	8848008	47	3279432	51	9993883	49	1607878	50
30	49	2322183	47	1370967	50	7762864	47	3262903	51	9992428	49	1397079	50
40	49	2685547	47	1588785	50	6684708	47	3241121	51	9990489	49	1187709	50
50	49	3187806	47	1888888	50	5613826	47	3211111	51	9987777	49	9798679	49
60	49	3927866	47	2328767	50	4550765	47	3167123	51	9983713	49	7736439	49
62	49	4120092	47	2442528	50	4339178	47	3155747	51	9982644	49	7326123	49
64	49	4332490	47	2567975	50	4127961	47	3143202	51	9981457	49	6916596	49
66	49	4568431	47	2707006	50	3917133	47	3129299	51	9980131	49	6508073	49
68	49	4832085	47	2861952	50	3706717	47	3113804	51	9978640	49	6100431	49
70	49	5128676	47	3035714	50	3496740	47	3096428	51	9976950	49	5693594	49
72	49	5464841	47	3231939	50	3287237	47	3076806	51	9975021	49	5287986	49
74	49	5849140	47	3455284	50	3078252	47	3054471	51	9972795	49	4883434	49
76	49	6292819	47	3711790	50	2869843	47	3028820	51	9970201	49	4480191	49
78	49	6810961	47	4009434	50	2662086	47	2999056	51	9967138	49	4078346	49
80	49	7424292	47	4358974	50	2455083	47	2964102	51	9963466	49	3678043	49
82	49	8162124	47	4775281	50	2248978	47	2922471	51	9958983	49	3279768	49
84	49	9067359	47	5279503	50	2043970	47	2872049	51	9953389	49	2883679	49
86	49	1020552	48	5902777	50	1840358	47	2809722	51	9946209	49	2490296	49
88	49	1168215	48	6692913	50	1638597	47	2730708	51	9936661	49	2100391	49
90	49	1367924	48	7727272	50	1439426	47	2627272	51	9923339	49	1714850	49
91	49	1496967	48	8374384	50	1341178	47	2562561	51	9914488	49	1524131	49
92	49	1654076	48	9139784	50	1244123	47	2486021	51	9903457	49	1335093	49
93	49	1849755	48	1005917	51	1148602	47	2394082	51	9889328	49	1148012	49
94	49	2100525	48	1118421	51	1055108	47	2281578	51	9870583	49	9632500	48
95	49	2433883	48	1259259	51	9643827	46	2140740	51	9844519	49	7812551	48
96	49	2898994	48	1440678	51	8775937	46	1959322	51	9805806	49	6026343	48
97	49	3592262	48	1683168	51	7966964	46	1716831	51	9742288	49	4283153	48
98	49	4727530	48	2023809	51	7252286	46	1376190	51	9618869	49	2602902	48
99	49	6868305	48	2537313	51	6703185	46	8626866	50	9274981	49	1054500	48
10	50	1193662	49	3400000	51	6487889	46	0000000	00	0000000	00	0000000	00

Compton Cross Sections vs. Angle of Scattered Quantum

36 51 = $\gamma$		$\sigma_1(w, \phi)$		$\gamma'$		$\sigma_2(\gamma')$		E		w'		$\sigma_3(w', \phi)$	
w		$\phi_0$				$\phi_0$						$\phi_0$	
10	50N	8177301	46	4931506	49	2112665	48	3550684	51	1000000	50	4477890	50
90	49N	8578112	46	5187319	49	2003021	48	3548126	51	9999807	49	4239553	50
80	49N	9022849	46	5471124	49	1893958	48	3545288	51	9999594	49	4002777	50
70	49N	9519158	46	5787781	49	1785476	48	3542122	51	9999355	49	3767019	50
60	49N	1007656	47	6143344	49	1677577	48	3538566	51	9999087	49	3532280	50
50	49N	1070708	47	6545454	49	1570259	48	3534545	51	9998782	49	3299298	50
40	49N	1142613	47	7003891	49	1463525	48	3529961	51	9998435	49	3067450	50
30	49N	1225376	47	7531380	49	1357376	48	3524686	51	9998034	49	2836925	50
20	49N	1321659	47	8144796	49	1251812	48	3518552	51	9997566	49	2607231	50
10	49N	1435073	47	8866995	49	1146835	48	3511330	51	9997013	49	2379305	50
00	00	1570639	47	9729729	49	1042448	48	3502702	51	9996349	49	2152647	50
10	49	1735555	47	1077844	50	9386557	47	3492215	51	9995539	49	1927187	50
20	49	1940524	47	1208053	50	8354617	47	3479194	51	9994526	49	1702955	50
30	49	2202178	47	1374045	50	7328752	47	3462595	51	9993224	49	1480221	50
40	49	2547860	47	1592920	50	6309099	47	3440708	51	9991488	49	1258870	50
50	49	3025922	47	1894736	50	5295900	47	3410526	51	9989061	49	1039055	50
60	49	3730806	47	2337662	50	4289622	47	3366233	51	9985422	49	8207911	49
62	49	3913982	47	2452316	50	4089270	47	3354768	51	9984465	49	7773528	49
64	49	4116419	47	2578796	50	3889245	47	3342120	51	9983403	49	7340015	49
66	49	4341342	47	2719033	50	3689562	47	3328096	51	9982215	49	6907118	49
68	49	4592739	47	2875399	50	3490240	47	3312460	51	9980880	49	6475479	49
70	49	4875611	47	3050847	50	3291303	47	3294915	51	9979367	49	6044551	49
72	49	5196307	47	3249097	50	3092781	47	3275090	51	9977639	49	5614677	49
74	49	5563024	47	3474903	50	2894712	47	3252509	51	9975646	49	5186047	49
76	49	5986533	47	3734439	50	2697145	47	3226556	51	9973323	49	4758663	49
78	49	6481281	47	4035874	50	2500147	47	3196412	51	9970579	49	4332595	49
80	49	7067132	47	4390243	50	2303805	47	3160975	51	9967290	49	3908177	49
82	49	7772177	47	4812834	50	2108243	47	3118716	51	9963274	49	3485689	49
84	49	8637563	47	5325443	50	1913636	47	3067455	51	9958261	49	3065364	49
86	49	9726156	47	5960264	50	1720243	47	3003973	51	9951826	49	2647846	49
88	49	1113927	48	6766917	50	1528463	47	2923308	51	9943267	49	2233753	49
90	49	1305184	48	7826086	50	1338944	47	2817391	51	9931320	49	1824128	49
91	49	1428850	48	8490566	50	1245355	47	2750943	51	9923379	49	1621422	49
92	49	1579507	48	9278350	50	1152816	47	2672164	51	9913480	49	1420449	49
93	49	1767309	48	1022727	51	1061629	47	2577272	51	9900796	49	1221520	49
94	49	2008277	48	1139240	51	9722383	46	2460759	51	9883960	49	1025031	49
95	49	2329196	48	1285714	51	8853133	46	2314285	51	9860533	49	8314752	48
96	49	2778283	48	1475409	51	8019201	46	2124590	51	9825702	49	6415189	48
97	49	3451076	48	1730769	51	7238626	46	1869230	51	9768462	49	4561655	48
98	49	4562972	48	2093023	51	6544547	46	1506976	51	9656921	49	2774568	48
99	49	6696905	48	2647058	51	6005191	46	9529412	50	9343911	49	1123807	48
10	50	1193662	49	3600000	51	5787037	46	0000000	00	0000000	00	0000000	00

Compton Cross Sections vs. Angle of Scattered Quantum

38 51 = $\gamma$		$\sigma_1(w, \phi)$		$\gamma'$		$\sigma_2(\gamma')$		E		$w'$		$\sigma_3(w', \phi)$	
w		$\phi_0$				$\phi_0$						$\phi_0$	
10	50 N	7752359	46	4935064	49	1999990	48	3750649	51	1000000	50	4716535	50
90	49 N	8133787	46	5191256	49	1896390	48	3748087	51	9999827	49	4466298	50
80	49 N	8557046	46	5475504	49	1793310	48	3745245	51	9999634	49	4217636	50
70	49 N	9029416	46	5792682	49	1690752	48	3742073	51	9999419	49	3969972	50
60	49 N	9559976	46	6148867	49	1588716	48	3738511	51	9999178	49	3723310	50
50	49 N	1016018	47	6551724	49	1487203	48	3734482	51	9998904	49	3478427	50
40	49 N	1084473	47	7011070	49	1386213	48	3729889	51	9998591	49	3234214	50
30	49 N	1163273	47	7539682	49	1285747	48	3724603	51	9998230	49	2991837	50
20	49 N	1254958	47	8154506	49	1185806	48	3718454	51	9997809	49	2750588	50
10	49 N	1362971	47	8878504	49	1086392	48	3711214	51	9997311	49	2510462	50
00	00	1492102	47	9743589	49	9875079	47	3702564	51	9996714	49	2271695	50
10	49	1649224	47	1079545	50	8891553	47	3692045	51	9995984	49	2034379	50
20	49	1844551	47	1210191	50	7913394	47	3678980	51	9995072	49	1798270	50
30	49	2093972	47	1376811	50	6940676	47	3662318	51	9993900	49	1563430	50
40	49	2423613	47	1596638	50	5973515	47	3640336	51	9992338	49	1330150	50
50	49	2879709	47	1900000	50	5012118	47	3610000	51	9990152	49	1098265	50
60	49	3552633	47	2345679	50	4056889	47	3565432	51	9986876	49	8679766	49
62	49	3727581	47	2461139	50	3866646	47	3553886	51	9986015	49	8221569	49
64	49	3920961	47	2588555	50	3676693	47	3541144	51	9985058	49	7763716	49
66	49	4135862	47	2729885	50	3487042	47	3527011	51	9983988	49	7307108	49
68	49	4376109	47	2887538	50	3297711	47	3511246	51	9982786	49	6851130	49
70	49	4646496	47	3064516	50	3108720	47	3493548	51	9981423	49	6396208	49
72	49	4953113	47	3264604	50	2920094	47	3473539	51	9979867	49	5942269	49
74	49	5303825	47	3492647	50	2731867	47	3450735	51	9978072	49	5489418	49
76	49	5708966	47	3754940	50	2544082	47	3424505	51	9975979	49	5037754	49
78	49	6182409	47	4059829	50	2356796	47	3394017	51	9973508	49	4587636	49
80	49	6743221	47	4418604	50	2170086	47	3358139	51	9970544	49	4139023	49
82	49	7418393	47	4846938	50	1984059	47	3315306	51	9966926	49	3692352	49
84	49	8247460	47	5367231	50	1798868	47	3263276	51	9962408	49	3247852	49
86	49	9290860	47	6012658	50	1614740	47	3198734	51	9956609	49	2806128	49
88	49	1064605	48	6834532	50	1432026	47	3116546	51	9948893	49	2367874	49
90	49	1248147	48	7916666	50	1251298	47	3008333	51	9938120	49	1934104	49
91	49	1366898	48	8597284	50	1161966	47	2940271	51	9930957	49	1719404	49
92	49	1511649	48	9405940	50	1073560	47	2859405	51	9922026	49	1506472	49
93	49	1692226	48	1038251	51	9863548	46	2761748	51	9910578	49	1295649	49
94	49	1924166	48	1158536	51	9007473	46	2641463	51	9895375	49	1087369	49
95	49	2233558	48	1310344	51	8173461	46	2489655	51	9874208	49	8821850	48
96	49	2667643	48	1507936	51	7371256	46	2292063	51	9842712	49	6808202	48
97	49	3320898	48	1775700	51	6617528	46	2024299	51	9790880	49	4843525	48
98	49	4409532	48	2159090	51	5943338	46	1640909	51	9689627	49	2948901	48
99	49	6533481	48	2753623	51	5413965	46	1046376	51	9403735	49	1195014	48
10	50	1193662	49	3800000	51	5193905	46	0000000	00	0000000	00	0000000	00

Compton Cross Sections vs. Angle of Scattered Quantum

40 51 = $\gamma$		$\sigma_1(w, \phi)$		$\gamma'$	$\sigma_2(\gamma')$		E	$w'$	$\sigma_3(w', \phi)$				
w		$\phi_0$			$\phi_0$				$\phi_0$				
10	50 N	7369407	46	4938271	49	1898726	48	3950617	51	1000000	50	4955189	50
90	49 N	7733233	46	5194805	49	1800538	48	3948051	51	9999843	49	4693051	50
80	49 N	8136982	46	5479452	49	1702821	48	3945205	51	9999669	49	4432498	50
70	49 N	8587609	46	5797101	49	1605574	48	3942029	51	9999475	49	4172219	50
60	49 N	9093781	46	6153846	49	1508798	48	3938461	51	9999256	49	3914343	50
50	49 N	9666448	46	6557377	49	1412493	48	3934426	51	9999008	49	3657010	50
40	49 N	1031963	47	7017544	49	1316661	48	3929824	51	9998725	49	3401408	50
30	49 N	1107162	47	7547170	49	1221301	48	3924528	51	9998398	49	3147119	50
20	49 N	1194666	47	8163265	49	1126415	48	3918367	51	9998017	49	2893598	50
10	49 N	1297767	47	8888888	49	1032005	48	3911111	51	9997567	49	2641592	50
00	00	1421046	47	9756097	49	9380716	47	3902439	51	9997026	49	2390937	50
10	49	1571075	47	1081081	50	8446178	47	3891891	51	9996366	49	2141539	50
20	49	1757626	47	1212121	50	7516477	47	3878787	51	9995541	49	1893564	50
30	49	1995905	47	1379310	50	6591675	47	3862069	51	9994480	49	1646720	50
40	49	2310929	47	1600000	50	5671875	47	3840000	51	9993066	49	1401405	50
50	49	2746995	47	1904761	50	4757254	47	3809523	51	9991088	49	1157501	50
60	49	3390748	47	2352941	50	3848161	47	3764705	51	9988123	49	9152440	49
62	49	3558182	47	2469135	50	3667061	47	3753086	51	9987343	49	8669696	49
64	49	3743289	47	2597402	50	3486219	47	3740259	51	9986477	49	8188332	49
66	49	3949033	47	2739726	50	3305646	47	3726027	51	9985509	49	7707407	49
68	49	4179090	47	2898550	50	3125358	47	3710144	51	9984420	49	7227474	49
70	49	4438064	47	3076923	50	2945372	47	3692307	51	9983187	49	6748467	49
72	49	4731809	47	3278688	50	2765711	47	3672131	51	9981778	49	6270373	49
74	49	5067883	47	3508771	50	2586402	47	3649122	51	9980153	49	5793351	49
76	49	5456223	47	3773584	50	2407485	47	3622641	51	9978258	49	5317677	49
78	49	5910169	47	4081632	50	2229009	47	3591836	51	9976020	49	4843255	49
80	49	6448067	47	4444444	50	2051041	47	3555555	51	9973337	49	4370586	49
82	49	7095890	47	4878048	50	1873676	47	3512195	51	9970060	49	3899640	49
84	49	7891701	47	5405405	50	1697047	47	3459459	51	9965968	49	3430973	49
86	49	8893707	47	6060606	50	1521355	47	3393939	51	9960715	49	2965067	49
88	49	1019582	48	6896551	50	1346909	47	3310344	51	9953724	49	2502647	49
90	49	1196049	48	8000000	50	1174218	47	3200000	51	9943960	49	2044736	49
91	49	1310289	48	8695652	50	1088787	47	3130434	51	9937467	49	1817990	49
92	49	1449614	48	9523809	50	1004178	47	3047619	51	9929369	49	1593070	49
93	49	1623536	48	1052631	51	9206385	46	2947368	51	9918986	49	1370323	49
94	49	1847139	48	1176470	51	8385275	46	2823529	51	9905192	49	1150219	49
95	49	2145828	48	1333333	51	7583984	46	2666666	51	9885977	49	9333496	48
96	49	2565857	48	1538461	51	6811442	46	2461538	51	9857364	49	7205067	48
97	49	3200500	48	1818181	51	6083075	46	2181818	51	9810222	49	5128515	48
98	49	4266154	48	2222222	51	5428020	46	1777777	51	9717932	49	3125667	48
99	49	6377522	48	2857142	51	4908716	46	1142857	51	9455944	49	1267958	48
10	50	1193662	49	4000000	51	4687500	46	0000000	00	0000000	00	0000000	00



Compton Cross Sections vs. Angle of Scattered Quantum

42 51 = $\gamma$		$\sigma_i(w, \phi)$		$\gamma'$		$\sigma_i(\gamma')$		E		$w'$		$\sigma_i(w', \phi)$	
w		$\phi_0$				$\phi_0$						$\phi_0$	
10	50 N	7022513	46	4941176	49	1807223	48	4150588	51	1000000	50	5193851	50
90	49 N	7370285	46	5198020	49	1713911	48	4148019	51	9999857	49	4919809	50
80	49 N	7756237	46	5483028	49	1621025	48	4145169	51	9999699	49	4646528	50
70	49 N	8187027	46	5801105	49	1528567	48	4141988	51	9999522	49	4375144	50
60	49 N	8670947	46	6158357	49	1436536	48	4138416	51	9999324	49	4105377	50
50	49 N	9218478	46	6562500	49	1344932	48	4134375	51	9999098	49	3836114	50
40	49 N	9843049	46	7023411	49	1253756	48	4129765	51	9998841	49	3568602	50
30	49 N	1056215	47	7553957	49	1163009	48	4124460	51	9998544	49	3301973	50
20	49 N	1139902	47	8171206	49	1072692	48	4118287	51	9998197	49	3036576	50
10	49 N	1238518	47	8898305	49	9828058	47	4111016	51	9997788	49	2773001	50
00	00	1356451	47	9767441	49	8933515	47	4102325	51	9997296	49	2510160	50
10	49	1499997	47	1082474	50	8043319	47	4091752	51	9996696	49	2248869	50
20	49	1678526	47	1213872	50	7157504	47	4078612	51	9995946	49	1988676	50
30	49	1906615	47	1381579	50	6276125	47	4061842	51	9994981	49	1729987	50
40	49	2208265	47	1603053	50	5399270	47	4039694	51	9993696	49	1472721	50
50	49	2625989	47	1909090	50	4527095	47	4009090	51	9991897	49	1216831	50
60	49	3243009	47	2359550	50	3659902	47	3964044	51	9989200	49	9625294	49
62	49	3403553	47	2476415	50	3487109	47	3952358	51	9988491	49	9118613	49
64	49	3581071	47	2605459	50	3314548	47	3939454	51	9987703	49	8613073	49
66	49	3778416	47	2748691	50	3142229	47	3925130	51	9986823	49	8108056	49
68	49	3999123	47	2908587	50	2970164	47	3909141	51	9985833	49	7604125	49
70	49	4247622	47	3088235	50	2798369	47	3891176	51	9984711	49	7100982	49
72	49	4529549	47	3291536	50	2626864	47	3870846	51	9983430	49	6598866	49
74	49	4852181	47	3523489	50	2455674	47	3847651	51	9981951	49	6097919	49
76	49	5225087	47	3790613	50	2284832	47	3820938	51	9980228	49	5598000	49
78	49	5661120	47	4101562	50	2114382	47	3789843	51	9978192	49	5099519	49
80	49	6177959	47	4468085	50	1944384	47	3753191	51	9975751	49	4602584	49
82	49	6800641	47	4906542	50	1774919	47	3709345	51	9972769	49	4107551	49
84	49	7565871	47	5440414	50	1606108	47	3655958	51	9969046	49	3614743	49
86	49	8529803	47	6104651	50	1438126	47	3589534	51	9964265	49	3124611	49
88	49	9783088	47	6953642	50	1271250	47	3504635	51	9957902	49	2637993	49
90	49	1148261	48	8076923	50	1105932	47	3392307	51	9949013	49	2155938	49
91	49	1258345	48	8786610	50	1024087	47	3321338	51	9943101	49	1917160	49
92	49	1392663	48	9633027	50	9429757	46	3236697	51	9935725	49	1680207	49
93	49	1560438	48	1065989	51	8628204	46	3134010	51	9926265	49	1445517	49
94	49	1776317	48	1193181	51	7839479	46	3006818	51	9913695	49	1213534	49
95	49	2065048	48	1354838	51	7068624	46	2845161	51	9896177	49	9849301	48
96	49	2471894	48	1567164	51	6323840	46	2632835	51	9870072	49	7605455	48
97	49	3088828	48	1858407	51	5619426	46	2341592	51	9827020	49	5416364	48
98	49	4131909	48	2282608	51	4982734	46	1917391	51	9742579	49	3304649	48
99	49	6228559	48	2957746	51	4473481	46	1242253	51	9501747	49	1342499	48
10	50	1193661	49	4200000	51	4251700	46	0000000	00	0000000	00	0000000	00

Compton Cross Sections vs. Angle of Scattered Quantum

44 51 = $\gamma$		$\sigma_1(w, \phi)$		$\gamma'$		$\sigma_2(\gamma')$		E		$w'$		$\sigma_3(w', \phi)$	
w		$\phi_0$				$\phi_0$						$\phi_0$	
10	50N	6706812	46	4943820	49	1724133	48	4350561	51	1000000	50	5432518	50
90	49N	7039881	46	5200945	49	1635236	48	4347990	51	9999870	49	5146571	50
80	49N	7409535	46	5486284	49	1546729	48	4345137	51	9999725	49	4861360	50
70	49N	7822153	46	5804749	49	1458610	48	4341952	51	9999564	49	4578069	50
60	49N	8285691	46	6162464	49	1370880	48	4338375	51	9999382	49	4296412	50
50	49N	8810194	46	6567164	49	1283540	48	4334328	51	9999177	49	4015220	50
40	49N	9408542	46	7028754	49	1196590	48	4329712	51	9998941	49	3735274	50
30	49N	1009751	47	7560137	49	1110030	48	4324398	51	9998670	49	3456787	50
20	49N	1089939	47	8178438	49	1023862	48	4318215	51	9998354	49	3179902	50
10	49N	1184443	47	8906882	49	9380858	47	4310931	51	9997980	49	2904092	50
00	00	1297473	47	9777777	49	8527031	47	4302222	51	9997531	49	2629363	50
10	49	1435073	47	1083743	50	7677162	47	4291625	51	9996983	49	2355972	50
20	49	1606240	47	1215469	50	6831280	47	4278453	51	9996298	49	2084083	50
30	49	1824975	47	1383647	50	5989433	47	4261635	51	9995417	49	1813355	50
40	49	2114339	47	1605839	50	5151697	47	4239416	51	9994243	49	1544015	50
50	49	2515205	47	1913043	50	4318209	47	4208695	51	9992600	49	1276142	50
60	49	3107634	47	2365591	50	3489236	47	4163440	51	9990138	49	1009875	50
62	49	3261837	47	2483070	50	3324025	47	4151693	51	9989490	49	9568078	49
64	49	3432369	47	2612826	50	3159022	47	4138717	51	9988770	49	9038278	49
66	49	3621980	47	2756892	50	2994238	47	4124310	51	9987966	49	8509390	49
68	49	3834075	47	2917771	50	2829683	47	4108222	51	9987062	49	7981375	49
70	49	4072925	47	3098591	50	2665371	47	4090140	51	9986037	49	7454228	49
72	49	4343962	47	3303303	50	2501318	47	4069669	51	9984866	49	6927791	49
74	49	4654204	47	3536977	50	2337549	47	4046302	51	9983516	49	6402698	49
76	49	5012881	47	3806228	50	2174090	47	4019377	51	9981942	49	5878764	49
78	49	5432394	47	4119850	50	2010982	47	3988015	51	9980082	49	5356267	49
80	49	5929806	47	4489796	50	1848277	47	3951020	51	9977851	49	4835250	49
82	49	6529288	47	4932735	50	1686048	47	3906726	51	9975127	49	4315997	49
84	49	7266291	47	5472636	50	1524401	47	3852736	51	9971725	49	3798987	49
86	49	8195069	47	6145251	50	1363494	47	3785474	51	9967356	49	3284684	49
88	49	9403248	47	7006369	50	1203571	47	3699363	51	9961539	49	2773873	49
90	49	1104257	48	8148148	50	1045038	47	3585185	51	9953414	49	2267663	49
91	49	1210496	48	8870967	50	9664991	46	3512903	51	9948007	49	2016801	49
92	49	1340182	48	9734513	50	8886180	46	3426548	51	9941262	49	1767841	49
93	49	1502259	48	1078431	51	8115957	46	3321568	51	9932609	49	1521167	49
94	49	1710963	48	1208791	51	7357293	46	3191208	51	9921108	49	1277281	49
95	49	1990408	48	1375000	51	6614798	46	3025000	51	9905072	49	1036892	49
96	49	2384878	48	1594202	51	5896020	46	2805797	51	9881164	49	8009161	48
97	49	2984969	48	1896551	51	5214232	46	2503448	51	9841699	49	5706859	48
98	49	4005973	48	2340425	51	4595134	46	2059574	51	9764168	49	3485676	48
99	49	6086157	48	3055555	51	4095837	46	1344444	51	9542125	49	1418511	48
10	50	1193661	49	4400000	51	3873967	46	0000000	00	0000000	00	0000000	00

Compton Cross Sections vs. Angle of Scattered Quantum

46	51 = $\gamma$	$\sigma_1(w, \phi)$		$\gamma'$	$\sigma_2(\gamma')$		E		$w'$	$\sigma_1(w', \phi)$			
w		$\phi_0$			$\phi_0$					$\phi_0$			
10	50N	6418279	46	4946236	49	1648347	48	4550537	51	1000000	50	5671192	50
90	49N	6737834	46	5203619	49	1563468	48	4547963	51	9999880	49	5373337	50
80	49N	7092506	46	5489260	49	1478944	48	4545107	51	9999748	49	5076194	50
70	49N	7488421	46	5808081	49	1394777	48	4541919	51	9999600	49	4780998	50
60	49N	7933217	46	6166220	49	1310965	48	4538337	51	9999434	49	4486730	50
50	49N	8436545	46	6571428	49	1227509	48	4534285	51	9999245	49	4194325	50
40	49N	9010778	46	7033639	49	1144410	48	4529663	51	9999030	49	3902446	50
30	49N	9672033	46	7565789	49	1061669	48	4524342	51	9998781	49	3612030	50
20	49N	1044172	47	8185053	49	9792850	47	4518149	51	9998491	49	3323229	50
10	49N	1134892	47	8914728	49	8972597	47	4510852	51	9998148	49	3035156	50
00	00	1243410	47	9787234	49	8155944	47	4502127	51	9997737	49	2748544	50
10	49	1375536	47	1084905	50	7342908	47	4491509	51	9997234	49	2463262	50
20	49	1539923	47	1216931	50	6533515	47	4478306	51	9996606	49	2179306	50
30	49	1750041	47	1385542	50	5727809	47	4461445	51	9995799	49	1896708	50
40	49	2028081	47	1608391	50	4925855	47	4439160	51	9994722	49	1615383	50
50	49	2413401	47	1916666	50	4127776	47	4408333	51	9993216	49	1335500	50
60	49	2983131	47	2371134	50	3333804	47	4362886	51	9990958	49	1057207	50
62	49	3131478	47	2489177	50	3175539	47	4351082	51	9990364	49	1001778	50
64	49	3295558	47	2619590	50	3017464	47	4338041	51	9989704	49	9464010	49
66	49	3478023	47	2764423	50	2859586	47	4323557	51	9988967	49	8910895	49
68	49	3682159	47	2926208	50	2701916	47	4307379	51	9988137	49	8358764	49
70	49	3912090	47	3108108	50	2544464	47	4289189	51	9987198	49	7807593	49
72	49	4173058	47	3314121	50	2387248	47	4268587	51	9986124	49	7257403	49
74	49	4471841	47	3549382	50	2230285	47	4245061	51	9984886	49	6708051	49
76	49	4817355	47	3820598	50	2073604	47	4217940	51	9983442	49	6160014	49
78	49	5221580	47	4136690	50	1917236	47	4186330	51	9981736	49	5613425	49
80	49	5701009	47	4509803	50	1761230	47	4149019	51	9979690	49	5068251	49
82	49	6279010	47	4956896	50	1605651	47	4104310	51	9977192	49	4524866	49
84	49	6989868	47	5502392	50	1450593	47	4049760	51	9974071	49	3983681	49
86	49	7886076	47	6182795	50	1296197	47	3981720	51	9970063	49	3445240	49
88	49	9052447	47	7055214	50	1142682	47	3894478	51	9964726	49	2910233	49
90	49	1063594	48	8214285	50	9904131	46	3778571	51	9957269	49	2379868	49
91	49	1166267	48	8949416	50	9149312	46	3705058	51	9952307	49	2116946	49
92	49	1291650	48	9829059	50	8400416	46	3617094	51	9946115	49	1855924	49
93	49	1448431	48	1090047	51	7659262	46	3509952	51	9938171	49	1597241	49
94	49	1650453	48	1223404	51	6928563	46	3376595	51	9927608	49	1341434	49
95	49	1921220	48	1393939	51	6212541	46	3206060	51	9912876	49	1089218	49
96	49	2304057	48	1619718	51	5518157	46	2980281	51	9890901	49	8415903	48
97	49	2888133	48	1932773	51	4857752	46	2667226	51	9854599	49	5999822	48
98	49	3887615	48	2395833	51	4255493	46	2204166	51	9783178	49	3668587	48
99	49	5949919	48	3150685	51	3766005	46	1449315	51	9577884	49	1495883	48
10	50	1193661	49	4600000	51	3544423	46	0000000	00	0000000	00	0000000	00

Compton Cross Sections vs. Angle of Scattered Quantum

48	51 = $\gamma$	$\sigma_1(w, \phi)$		$\gamma'$	$\sigma_2(\gamma')$		E	$w'$	$\sigma_3(w', \phi)$				
w		$\phi_0$			$\phi_0$				$\phi_0$				
10	50M	6153550	46	4948453	49	1578943	48	4750515	51	1000000	50	5909870	50
90	49N	6460643	46	5206073	49	1497735	48	4747939	51	9999890	49	5600108	50
80	49N	6801497	46	5491991	49	1416852	48	4745080	51	9999768	49	5291031	50
70	49N	7182003	46	5811138	49	1336297	48	4741888	51	9999632	49	4983928	50
60	49N	7609510	46	6169665	49	1256068	48	4738303	51	9999479	49	4677736	50
50	49N	8093303	46	6575342	49	1176166	48	4734246	51	9999305	49	4373432	50
40	49N	8645284	46	7038123	49	1096592	48	4729618	51	9999107	49	4069619	50
30	49N	9280962	46	7570978	49	1017346	48	4724290	51	9998878	49	3767275	50
20	49N	1002094	47	8191126	49	9384287	47	4718088	51	9998612	49	3466141	50
10	49N	1089321	47	8921933	49	8598402	47	4710780	51	9998296	49	3166193	50
00	00	1193672	47	9795918	49	7815821	47	4702040	51	9997918	49	2867704	50
10	49	1320743	47	1085972	50	7036559	47	4691402	51	9997455	49	2570537	50
20	49	1478866	47	1218274	50	6260641	47	4678172	51	9996877	49	2274686	50
30	49	1681019	47	1387283	50	5488102	47	4661271	51	9996134	49	1980045	50
40	49	1948589	47	1610738	50	4719003	47	4638926	51	9995144	49	1686735	50
50	49	2319524	47	1920000	50	3953450	47	4608000	51	9993758	49	1394910	50
60	49	2868238	47	2376237	50	3191651	47	4562376	51	9991680	49	1104610	50
62	49	3011160	47	2494802	50	3039774	47	4550519	51	9991133	49	1046775	50
64	49	3169261	47	2625820	50	2888070	47	4537417	51	9990526	49	9889980	49
66	49	3345103	47	2771362	50	2736545	47	4522863	51	9989848	49	9312905	49
68	49	3541862	47	2933985	50	2585209	47	4506601	51	9989084	49	8736582	49
70	49	3763522	47	3116883	50	2434071	47	4488311	51	9988220	49	8161328	49
72	49	4015152	47	3324099	50	2283146	47	4467590	51	9987232	49	7587144	49
74	49	4303304	47	3560830	50	2132451	47	4443916	51	9986092	49	7013860	49
76	49	4636602	47	3833865	50	1982010	47	4416613	51	9984763	49	6441800	49
78	49	5026637	47	4152249	50	1831853	47	4384775	51	9983193	49	5870896	49
80	49	5489368	47	4528301	50	1682021	47	4347169	51	9981310	49	5301613	49
82	49	6047417	47	4979253	50	1532573	47	4302074	51	9979010	49	4734193	49
84	49	6733984	47	5529953	50	1383594	47	4247004	51	9976137	49	4168866	49
86	49	7599919	47	6217616	50	1235210	47	4178238	51	9972447	49	3606218	49
88	49	8727419	47	7100591	50	1087618	47	4089940	51	9967533	49	3047042	49
90	49	1025898	48	8275861	50	9411480	46	3972413	51	9960666	49	2492472	49
91	49	1125251	48	9022556	50	8685009	46	3897744	51	9956096	49	2217483	49
92	49	1246628	48	9917355	50	7963885	46	3808264	51	9950392	49	1944409	49
93	49	1398472	48	1100917	51	7249768	46	3699082	51	9943073	49	1673716	49
94	49	1594255	48	1237113	51	6545136	46	3562886	51	9933339	49	1405940	49
95	49	1856897	48	1411764	51	5853869	46	3388235	51	9919760	49	1141867	49
96	49	2228782	48	1643835	51	5182398	46	3156164	51	9899494	49	8825528	48
97	49	2797631	48	1967213	51	4542213	46	2832786	51	9865994	49	6295098	48
98	49	3776186	48	2448979	51	3956061	46	2351020	51	9800000	49	3853252	48
99	49	5819472	48	3243243	51	3476197	46	1556756	51	9609690	49	1574517	48
10	50	1193661	49	4800000	51	3255208	46	0000000	00	0000000	00	0000000	00

Compton Cross Sections vs. Angle of Scattered Quantum

50 51 = $\gamma$		$\sigma_1(w, \phi)$		$\gamma'$		$\sigma_2(\gamma')$		E		$w'$		$\sigma_3(w', \phi)$	
w		$\phi_0$				$\phi_0$						$\phi_0$	
10	50N	5909797	46	4950495	49	1515148	48	4950495	51	1000000	50	6148553	50
90	49N	6205360	46	5206333	49	1437306	48	4947916	51	9999898	49	5826882	50
80	49N	6533428	46	5494505	49	1359764	48	4945054	51	9999786	49	5505869	50
70	49N	6899678	46	5813953	49	1282524	48	4941860	51	9999660	49	5186858	50
60	49N	7311188	46	6172839	49	1205585	48	4938271	51	9999519	49	4868744	50
50	49N	7776903	46	6578947	49	1128947	48	4934210	51	9999359	49	4551857	50
40	49N	8308286	46	7042253	49	1052611	48	4929577	51	9999176	49	4236792	50
30	49N	8920288	46	7575757	49	9765772	47	4924242	51	9998965	49	3922009	50
20	49N	9632765	46	8196721	49	9008459	47	4918032	51	9998718	49	3609453	50
10	49N	1047268	47	8928571	49	8254178	47	4910714	51	9998427	49	3297565	50
00	00	1147760	47	9803921	49	7502941	47	4901960	51	9998078	49	2987140	50
10	49	1270148	47	1086956	50	6754760	47	4891304	51	9997651	49	2677795	50
20	49	1422467	47	1219512	50	6009658	47	4878048	51	9997117	49	2369866	50
30	49	1617236	47	1388888	50	5267666	47	4861111	51	9996431	49	2063365	50
40	49	1875096	47	1612903	50	4528838	47	4838709	51	9995517	49	1758071	50
50	49	2232683	47	1923076	50	3793269	47	4807692	51	9994238	49	1454308	50
60	49	2761882	47	2380952	50	3061142	47	4761904	51	9992319	49	1152047	50
62	49	2899763	47	2500000	50	2915160	47	4750000	51	9991814	49	1091761	50
64	49	3052308	47	2631579	50	2769334	47	4736842	51	9991254	49	1031621	50
66	49	3221995	47	2777777	50	2623673	47	4722222	51	9990627	49	9715149	49
68	49	3411895	47	2941176	50	2478183	47	4705882	51	9989923	49	9114882	49
70	49	3625865	47	3125000	50	2332875	47	4687500	51	9989124	49	8515473	49
72	49	3868809	47	3333333	50	2187760	47	4666666	51	9988212	49	7917239	49
74	49	4147071	47	3571428	50	2042854	47	4642857	51	9987159	49	7319791	49
76	49	4469001	47	3846153	50	1898178	47	4615384	51	9985932	49	6723692	49
78	49	4845825	47	4166666	50	1753760	47	4583333	51	9984482	49	6128842	49
80	49	5293007	47	4545454	50	1609636	47	4545454	51	9982743	49	5535471	49
82	49	5832471	47	5000000	50	1465860	47	4500000	51	9980619	49	4943838	49
84	49	6496403	47	5555555	50	1322506	47	4444444	51	9977966	49	4354442	49
86	49	7334120	47	6250000	50	1179690	47	4375000	51	9974557	49	3767597	49
88	49	8425374	47	7142857	50	1037588	47	4285714	51	9970018	49	3184258	49
90	49	9908501	47	8333333	50	8965000	46	4166666	51	9963674	49	2605508	49
91	49	1087104	48	9090909	50	8264877	46	4090909	51	9959451	49	2318404	49
92	49	1204739	48	1000000	51	7569600	46	4000000	51	9954180	49	2033266	49
93	49	1351968	48	1111111	51	6880683	46	3888888	51	9947416	49	1750545	49
94	49	1541913	48	1250000	51	6200400	46	3750000	51	9938418	49	1470795	49
95	49	1796931	48	1428571	51	5532321	46	3571428	51	9925861	49	1194832	49
96	49	2158494	48	1666666	51	4882400	46	3333333	51	9907115	49	9237811	48
97	49	2712859	48	2000000	51	4261350	46	3000000	51	9876107	49	6592539	48
98	49	3671107	48	2500000	51	3690600	46	2500000	51	9814954	49	4039549	48
99	49	5694475	48	3333333	51	3220150	46	1666666	51	9638094	49	1654324	48
10	50	1193661	49	5000000	51	3000000	46	0000000	00	0000000	00	0000000	00

Compton Cross Sections vs Energy of Scattered Quantum

$10^{49} = \gamma$		$\sigma_s(\gamma')/\phi_0$		E		w		$\sigma_1(w, \phi)/\phi_0$		w'		$\sigma_4(w', \phi)/\phi_0$	
$\gamma'$													
8333	48	7624999	51	1666667	48	1000000	50*	8427475	48	1000000	50	4078897	49
8400	48	6934014	51	1600000	48	9047620	49*	7786879	48	9799579	49	3632520	49
8600	48	5313967	51	1400000	48	6279070	49*	6255123	48	9171217	49	2600157	49
8800	48	4307230	51	1200000	48	3636360	49*	5308643	48	8495115	49	1948310	49
9000	48	3837963	51	1000000	48	1111110	49*	4947729	48	7758801	49	1582421	49
9200	48	3839886	51	8000000	47	1304350	49	5172663	48	6943137	49	1413957	49
9400	48	4254967	51	6000000	47	3617020	49	5983731	48	6015931	49	1354864	49
9600	48	5032290	51	4000000	47	5833330	49	7381222	48	4914439	49	1306381	49
9800	48	6127101	51	2000000	47	7959180	49	9365421	48	3476770	49	1123037	49
1000	49	7500000	51	0000000	00	1000000	50	1193662	49	0000000	00	0000000	00

Compton Cross Sections vs Energy of Scattered Quantum

$20 \gamma'$	$49 = \gamma$	$\sigma_s(\gamma')/\phi_0$	E	w	$\sigma_1(w, \phi)/\phi_0$	w'	$\sigma_4(w', \phi)/\phi_0$
1428	49	1982142 51	5714286 48	1000000 50*	6438118 48	1000000 50	3708356 49
1440	49	1875810 51	5600000 48	9444444 49*	6190617 48	9902245 49	3471254 49
1460	49	1707374 51	5400000 48	8493151 49*	5792346 48	9728545 49	3098097 49
1480	49	1560030 51	5200000 48	7567568 49*	5438468 48	9551338 49	2775764 49
1500	49	1432291 51	5000000 48	6666667 49*	5129016 48	9370425 49	2493539 49
1520	49	1322784 51	4800000 48	5789474 49*	4864029 48	9185586 49	2253063 49
1540	49	1230234 51	4600000 48	4935065 49*	4643542 48	8996578 49	2048302 49
1560	49	1153464 51	4400000 48	4102564 49*	4467590 48	8803130 49	1875515 49
1580	49	1091380 51	4200000 48	3291139 49*	4336210 48	8604943 49	1731223 49
1600	49	1042968 51	4000000 48	2500000 49*	4249436 48	8401680 49	1612186 49
1620	49	1007288 51	3800000 48	1728395 49*	4207306 48	8192962 49	1515378 49
1640	49	9834660 50	3600000 48	9756100 48*	4209855 48	7978359 49	1437957 49
1660	49	9706874 50	3400000 48	2409640 48*	4257118 48	7757383 49	1377254 49
1680	49	9681973 50	3200000 48	4761900 48	4349131 48	7529469 49	1330740 49
1700	49	9752919 50	3000000 48	1176471 49	4485931 48	7293968 49	1296009 49
1720	49	9913162 50	2800000 48	1860465 49	4667552 48	7050116 49	1270755 49
1740	49	1015659 51	2600000 48	2528736 49	4894032 48	6797014 49	1252745 49
1760	49	1047753 51	2400000 48	3181818 49	5165405 48	6533586 49	1239793 49
1780	49	1087065 51	2200000 48	3820225 49	5481708 48	6258525 49	1229724 49
1800	49	1133101 51	2000000 48	4444444 49	5842975 48	5970223 49	1220337 49
1820	49	1185399 51	1800000 48	5054945 49	6249244 48	5666657 49	1209348 49
1840	49	1243525 51	1600000 48	5652174 49	6700550 48	5345224 49	1194316 49
1860	49	1307077 51	1400000 48	6236559 49	7196928 48	5002482 49	1172528 49
1880	49	1375676 51	1200000 48	6808511 49	7738415 48	4633699 49	1140821 49
1900	49	1448969 51	1000000 48	7368421 49	8325047 48	4232073 49	1095272 49
1920	49	1526627 51	8000000 47	7916667 49	8956858 48	3787166 49	1030605 49
1940	49	1608340 51	6000000 47	8453608 49	9633885 48	3281417 49	9388989 48
1960	49	1693817 51	4000000 47	8979592 49	1035616 49	2680602 49	8061430 48
1980	49	1782789 51	2000000 47	9494949 49	1112373 49	1896419 49	5990735 48
2000	49	1875000 51	0000000 00	1000000 50	1193662 49	0000000 00	0000000 00

82

Compton Cross Sections vs Energy of Scattered Quantum

$30$ $\gamma'$	$49 = \gamma$	$\sigma_3(\gamma')/\phi_0$		E	w	$\sigma_1(w, \phi)/\phi_0$		w'	$\sigma_4(w', \phi)/\phi_0$				
1875	49	9270833	50	1125000	49	1000000	50*	5187300	48	1000000	50	3506615	49
1880	49	9142682	50	1120000	49	9858156	49*	5142916	48	9978934	49	3449225	49
1900	49	8653560	50	1100000	49	9298246	49*	4971897	48	9894120	49	3230820	49
1920	49	8200520	50	1080000	49	8750000	49*	4811317	48	9808411	49	3029404	49
1940	49	7781674	50	1060000	49	8213059	49*	4661188	48	9721781	49	2843882	49
1960	49	7395236	50	1040000	49	7687075	49*	4521518	48	9634205	49	2673224	49
1980	49	7039528	50	1020000	49	7171718	49*	4392321	48	9545657	49	2516464	49
2000	49	6712963	50	1000000	49	6666667	49*	4273605	48	9456108	49	2372691	49
2020	49	6414043	50	9800000	48	6171617	49*	4165381	48	9365530	49	2241047	49
2040	49	6141355	50	9600000	48	5686275	49*	4067660	48	9273893	49	2120727	49
2060	49	5893564	50	9400000	48	5210356	49*	3980454	48	9181162	49	2010967	49
2080	49	5669406	50	9200000	48	4743590	49*	3903771	48	9087306	49	1911050	49
2100	49	5467687	50	9000000	48	4285715	49*	3837623	48	8992288	49	1820297	49
2120	49	5287277	50	8800000	48	3836478	49*	3782021	48	8896069	49	1738069	49
2140	49	5127108	50	8600000	48	3395639	49*	3736975	48	8798612	49	1663762	49
2160	49	4986168	50	8400000	48	2962963	49*	3702495	48	8699872	49	1596802	49
2180	49	4863497	50	8200000	48	2538227	49*	3678593	48	8599806	49	1536649	49
2200	49	4758187	50	8000000	48	2121212	49*	3665279	48	8498365	49	1482789	49
2220	49	4669379	50	7800000	48	1711712	49*	3662563	48	8395501	49	1434738	49
2240	49	4596253	50	7600000	48	1309524	49*	3670457	48	8291158	49	1392034	49
2260	49	4538038	50	7400000	48	9144550	48*	3688970	48	8185281	49	1354238	49
2280	49	4493998	50	7200000	48	5263160	48*	3718114	48	8077807	49	1320936	49
2300	49	4463435	50	7000000	48	1449280	48*	3757898	48	7968672	49	1291730	49
2320	49	4445688	50	6800000	48	2298850	48	3808335	48	7857805	49	1266243	49
2340	49	4440128	50	6600000	48	5982900	48	3869433	48	7745133	49	1244116	49
2360	49	4446157	50	6400000	48	9604520	48	3941204	48	7630574	49	1225003	49
2380	49	4463207	50	6200000	48	1316526	49	4023658	48	7514042	49	1208576	49
2400	49	4490740	50	6000000	48	1666666	49	4116807	48	7395441	49	1194517	49
2420	49	4528242	50	5800000	48	2011019	49	4220661	48	7274672	49	1182523	49
2440	49	4575223	50	5600000	48	2349726	49	4335229	48	7151622	49	1172300	49
2460	49	4631221	50	5400000	48	2682926	49	4460524	48	7026172	49	1163566	49
2480	49	4695793	50	5200000	48	3010752	49	4596555	48	6898189	49	1156045	49
2500	49	4768518	50	5000000	48	3333333	49	4743332	48	6767529	49	1149469	49
2520	49	4848996	50	4800000	48	3650793	49	4900868	48	6634035	49	1143577	49
2540	49	4936845	50	4600000	48	3963254	49	5069172	48	6497528	49	1138111	49
2560	49	5031702	50	4400000	48	4270833	49	5248255	48	6357816	49	1132819	49
2580	49	5133219	50	4200000	48	4573643	49	5438127	48	6214681	49	1127447	49
2600	49	5241069	50	4000000	48	4871795	49	5638801	48	6067880	49	1121742	49
2620	49	5354935	50	3800000	48	5165394	49	5850284	48	5917139	49	1115450	49
2640	49	5474517	50	3600000	48	5454545	49	6072588	48	5762149	49	1108311	49
2660	49	5599531	50	3400000	48	5739348	49	6305725	48	5602554	49	1100058	49
2680	49	5729701	50	3200000	48	6019900	49	6549704	48	5437950	49	1090411	49
2700	49	5864768	50	3000000	48	6296296	49	6804536	48	5267866	49	1079079	49
2720	49	6004485	50	2800000	48	6568627	49	7070233	48	5091751	49	1065748	49
2740	49	6148613	50	2600000	48	6836983	49	7346803	48	4908955	49	1050076	49
2760	49	6296926	50	2400000	48	7101449	49	7634259	48	4718701	49	1031687	49



Compton Cross Sections vs Energy of Scattered Quantum

$30 \ 49 = \gamma$ $\gamma'$		$\sigma_3(\gamma')/\phi_0$		E	w	$\sigma_1(w, \phi)/\phi_0$		w'	$\sigma_4(w', \phi)/\phi_0$				
2780	49	6449208	50	2200000	48	7362110	49	7932610	48	4520046	49	1010153	49
2800	49	6605252	50	2000000	48	7619047	49	8241867	48	4311828	49	9849849	48
2820	49	6764863	50	1800000	48	7872340	49	8562042	48	4092586	49	9555977	48
2840	49	6927850	50	1600000	48	8122065	49	8893143	48	3860440	49	9212816	48
2860	49	7094035	50	1400000	48	8368298	49	9235183	48	3612904	49	8811394	48
2880	49	7263245	50	1200000	48	8611111	49	9588172	48	3346561	49	8339911	48
2900	49	7435317	50	1000000	48	8850574	49	9952120	48	3056498	49	7782010	48
2920	49	7610092	50	8000000	47	9086758	49	1032703	49	2735175	49	7113421	48
2940	49	7787422	50	6000000	47	9319728	49	1071293	49	2369912	49	6294536	48
2960	49	7967162	50	4000000	47	9549549	49	1110982	49	1935991	49	5250232	48
2980	49	8149176	50	2000000	47	9776286	49	1151771	49	1369636	49	3791605	48
3000	49	8333333	50	0000000	00	1000000	50	1193662	49	0000000	00	0000000	00

Compton Cross Sections vs Energy of Scattered Quantum

$40 \gamma'$	$49 = \gamma$	$\sigma_3(\gamma')/\phi_0$	E	w	$\sigma_1(w, \phi)/\phi_0$	w	$\sigma_4(w, \phi)/\phi_0$
2222	49	5520833 50	1777777 49	1000000 50*	4339100 48	1000000 50	3401855 49
2240	49	5333346 50	1760000 49	9642857 49*	4259081 48	9953938 49	3265852 49
2260	49	5133110 50	1740000 49	9247788 49*	4172704 48	9901771 49	3121021 49
2280	49	4943718 50	1720000 49	8859649 49*	4090190 48	9849231 49	2984418 49
2300	49	4764702 50	1700000 49	8478261 49*	4011543 48	9796312 49	2855629 49
2320	49	4595617 50	1680000 49	8103448 49*	3936769 48	9743007 49	2734257 49
2340	49	4436040 50	1660000 49	7735043 49*	3865870 48	9689310 49	2619928 49
2360	49	4285568 50	1640000 49	7372881 49*	3798853 48	9635213 49	2512281 49
2380	49	4143815 50	1620000 49	7016807 49*	3735721 48	9580710 49	2410980 49
2400	49	4010416 50	1600000 49	6666667 49*	3676479 48	9525793 49	2315699 49
2420	49	3885021 50	1580000 49	6322314 49*	3621131 48	9470455 49	2226133 49
2440	49	3767296 50	1560000 49	5983607 49*	3569682 48	9414688 49	2141989 49
2460	49	3656923 50	1540000 49	5650407 49*	3522136 48	9358485 49	2062989 49
2480	49	3553598 50	1520000 49	5322581 49*	3478498 48	9301836 49	1988866 49
2500	49	3457031 50	1500000 49	5000000 49*	3438772 48	9244734 49	1919370 49
2520	49	3366945 50	1480000 49	4682540 49*	3402963 48	9187170 49	1854259 49
2540	49	3283076 50	1460000 49	4370079 49*	3371075 48	9129134 49	1793304 49
2560	49	3205169 50	1440000 49	4062500 49*	3343113 48	9070618 49	1736286 49
2580	49	3132985 50	1420000 49	3759690 49*	3319081 48	9011612 49	1682988 49
2600	49	3066290 50	1400000 49	3461538 49*	3298983 48	8952105 49	1633240 49
2620	49	3004865 50	1380000 49	3167939 49*	3282825 48	8892087 49	1586822 49
2640	49	2948497 50	1360000 49	2878788 49*	3270610 48	8831548 49	1543562 49
2660	49	2896985 50	1340000 49	2593985 49*	3262343 48	8770477 49	1503288 49
2680	49	2850133 50	1320000 49	2313433 49*	3258028 48	8708862 49	1465835 49
2700	49	2807757 50	1300000 49	2037037 49*	3257671 48	8646690 49	1431043 49
2720	49	2769679 50	1280000 49	1764706 49*	3261275 48	8583950 49	1398762 49
2740	49	2735729 50	1260000 49	1496350 49*	3268845 48	8520629 49	1368848 49
2760	49	2705744 50	1240000 49	1231884 49*	3280386 48	8456713 49	1341162 49
2780	49	2679566 50	1220000 49	9712230 48*	3295901 48	8392189 49	1315571 49
2800	49	2657047 50	1200000 49	7142860 48*	3315396 48	8327041 49	1291950 49
2820	49	2638042 50	1180000 49	4609930 48*	3338875 48	8261255 49	1270175 49
2840	49	2622414 50	1160000 49	2112680 48*	3366341 48	8194816 49	1250132 49
2860	49	2610031 50	1140000 49	3496500 47	3397801 48	8127705 49	1231708 49
2880	49	2600766 50	1120000 49	2777780 48	3433258 48	8059908 49	1214796 49
2900	49	2594497 50	1100000 49	5172410 48	3472717 48	7991405 49	1199293 49
2920	49	2591108 50	1080000 49	7534250 48	3516182 48	7922178 49	1185101 49
2940	49	2590485 50	1060000 49	9863950 48	3563658 48	7852207 49	1172124 49
2960	49	2592523 50	1040000 49	1216216 49	3615148 48	7781473 49	1160272 49
2980	49	2597116 50	1020000 49	1442953 49	3670659 48	7709953 49	1149456 49
3000	49	2604166 50	1000000 49	1666667 49	3730193 48	7637626 49	1139593 49
3020	49	2613578 50	9800000 48	1887417 49	3793757 48	7564467 49	1130599 49
3040	49	2625259 50	9600000 48	2105263 49	3861353 48	7490452 49	1122398 49
3060	49	2639122 50	9400000 48	2320261 49	3932987 48	7415554 49	1114912 49
3080	49	2655082 50	9200000 48	2532468 49	4008663 48	7339747 49	1108068 49
3100	49	2673057 50	9000000 48	2741935 49	4088385 48	7263002 49	1101795 49
3120	49	2692970 50	8800000 48	2948718 49	4172159 48	7185287 49	1096025 49

## Compton Cross Sections vs Energy of Scattered Quantum

40 $\gamma'$	49= $\gamma$	$\sigma_3(\gamma')/\phi_0$		E	w	$\sigma_1(w, \phi)/\phi_0$		w'	$\sigma_4(w', \phi)/\phi_0$				
3140	49	2714744	50	8600000	48	3152866	49	4259988	48	7106571	49	1090691	49
3160	49	2738308	50	8400000	48	3354430	49	4351877	48	7026820	49	1085727	49
3180	49	2763591	50	8200000	48	3553459	49	4447830	48	6945997	49	1081070	49
3200	49	2790527	50	8000000	48	3750000	49	4547852	48	6864064	49	1076659	49
3220	49	2819051	50	7800000	48	3944099	49	4651947	48	6780981	49	1072434	49
3240	49	2849101	50	7600000	48	4135802	49	4760121	48	6696705	49	1068335	49
3260	49	2880617	50	7400000	48	4325153	49	4872377	48	6611188	49	1064306	49
3280	49	2913541	50	7200000	48	4512195	49	4988719	48	6524382	49	1060289	49
3300	49	2947819	50	7000000	48	4696970	49	5109153	48	6436234	49	1056227	49
3320	49	2983397	50	6800000	48	4879518	49	5233683	48	6346689	49	1052067	49
3340	49	3020223	50	6600000	48	5059880	49	5362312	48	6255684	49	1047752	49
3360	49	3058248	50	6400000	48	5238095	49	5495047	48	6163156	49	1043228	49
3380	49	3097424	50	6200000	48	5414201	49	5631890	48	6069033	49	1038440	49
3400	49	3137705	50	6000000	48	5588235	49	5772848	48	5973241	49	1033334	49
3420	49	3179047	50	5800000	48	5760234	49	5917923	48	5875696	49	1027853	49
3440	49	3221407	50	5600000	48	5930233	49	6067121	48	5776309	49	1021942	49
3460	49	3264745	50	5400000	48	6098266	49	6220447	48	5674984	49	1015544	49
3480	49	3309019	50	5200000	48	6264368	49	6377903	48	5571614	49	1008600	49
3500	49	3354193	50	5000000	48	6428571	49	6539496	48	5466082	49	1001050	49
3520	49	3400229	50	4800000	48	6590909	49	6705229	48	5358258	49	9928321	48
3540	49	3447091	50	4600000	48	6751412	49	6875107	48	5248004	49	9838804	48
3560	49	3494746	50	4400000	48	6910112	49	7049135	48	5135159	49	9741268	48
3580	49	3543161	50	4200000	48	7067039	49	7227317	48	5019550	49	9634990	48
3600	49	3592303	50	4000000	48	7222222	49	7409656	48	4900980	49	9519198	48
3620	49	3642142	50	3800000	48	7375691	49	7596160	48	4779227	49	9393057	48
3640	49	3692647	50	3600000	48	7527473	49	7786831	48	4654042	49	9255668	48
3660	49	3743791	50	3400000	48	7677596	49	7981673	48	4525139	49	9106039	48
3680	49	3795545	50	3200000	48	7826087	49	8180691	48	4392190	49	8943075	48
3700	49	3847884	50	3000000	48	7972973	49	8383890	48	4254814	49	8765542	48
3720	49	3900781	50	2800000	48	8118280	49	8591275	48	4112567	49	8572048	48
3740	49	3954211	50	2600000	48	8262032	49	8802849	48	3964925	49	8360993	48
3760	49	4008151	50	2400000	48	8404255	49	9018617	48	3811259	49	8130508	48
3780	49	4062578	50	2200000	48	8544974	49	9238586	48	3650805	49	7878378	48
3800	49	4117469	50	2000000	48	8684211	49	9462756	48	3482629	49	7601939	48
3820	49	4172802	50	1800000	48	8821990	49	9691134	48	3305549	49	7297897	48
3840	49	4228556	50	1600000	48	8958333	49	9923724	48	3118048	49	6962097	48
3860	49	4284712	50	1400000	48	9093264	49	1016053	49	2918114	49	6589114	48
3880	49	4341250	50	1200000	48	9226804	49	1040155	49	2702991	49	6171625	48
3900	49	4398152	50	1000000	48	9358974	49	1064681	49	2468710	49	5699235	48
3920	49	4455399	50	8000000	47	9489796	49	1089629	49	2209180	49	5156194	48
3940	49	4512974	50	6000000	47	9619289	49	1115001	49	1914160	49	4516345	48
3960	49	4570860	50	4000000	47	9747475	49	1140797	49	1563683	49	3729291	48
3980	49	4629040	50	2000000	47	9874372	49	1167017	49	1106243	49	2666575	48
4000	49	4687500	50	0000000	00	1000000	50	1193662	49	0000000	00	0000000	00

## Compton Cross Sections vs Energy of Scattered Quantum

$50 \text{ } 49 = \gamma$ $\gamma'$		$\sigma_3(\gamma')/\phi_0$		E		w		$\sigma_1(w, \phi)/\phi_0$		w'		$\sigma_4(w', \phi)/\phi_0$	
2500	49	3750000	50	2500000	49	1000000	50*	3730193	48	1000000	50	3357174	49
2500	49	3750000	50	2500000	49	1000000	50*	3730194	48	1000000	50	3357174	49
2600	49	3238579	50	2400000	49	8461538	49*	3484347	48	9819805	49	2821831	49
2700	49	2830576	50	2300000	49	7037037	49*	3284146	48	9634579	49	2398252	49
2800	49	2508367	50	2200000	49	5714286	49*	3129877	48	9444002	49	2064576	49
2900	49	2257633	50	2100000	49	4482759	49*	3021827	48	9247722	49	1803227	49
3000	49	2066666	50	2000000	49	3333333	49*	2960281	48	9045340	49	1599993	49
3100	49	1925837	50	1900000	49	2258065	49*	2945528	48	8836412	49	1443316	49
3200	49	1827187	50	1800000	49	1250000	49*	2977852	48	8620436	49	1323740	49
3300	49	1764104	50	1700000	49	3030300	48*	3057541	48	8396839	49	1233494	49
3400	49	1731072	50	1600000	49	5882350	48	3184881	48	8164965	49	1166151	49
3500	49	1723469	50	1500000	49	1428571	49	3360158	48	7924058	49	1116363	49
3600	49	1737407	50	1400000	49	2222222	49	3583660	48	7673233	49	1079655	49
3700	49	1769605	50	1300000	49	2972973	49	3855671	48	7411449	49	1052243	49
3800	49	1817285	50	1200000	49	3684211	49	4176480	48	7137464	49	1030899	49
3900	49	1878086	50	1100000	49	4358974	49	4546372	48	6849776	49	1012825	49
4000	49	1950000	50	1000000	49	5000000	49	4965634	48	6546536	49	9955485	48
4100	49	2031308	50	9000000	48	5609756	49	5434552	48	6225430	49	9768221	48
4200	49	2120544	50	8000000	48	6190476	49	5953413	48	5883484	49	9545225	48
4300	49	2216446	50	7000000	48	6744186	49	6522503	48	5516772	49	9265326	48
4400	49	2317933	50	6000000	48	7272727	49	7142109	48	5119921	49	8905870	48
4500	49	2424074	50	5000000	48	7777778	49	7812518	48	4685212	49	8440350	48
4600	49	2534064	50	4000000	48	8260870	49	8534015	48	4200839	49	7834146	48
4700	49	2647211	50	3000000	48	8723404	49	9306887	48	3646984	49	7035456	48
4800	49	2762916	50	2000000	48	9166667	49	1013142	49	2985111	49	5951256	48
4900	49	2880662	50	1000000	48	9591837	49	1100790	49	2116036	49	4354969	48
5000	49	3000000	50	0000000	00	1000000	50	1193662	49	0000000	00	0000000	00

Compton Cross Sections vs Energy of Scattered Quantum

$60 \gamma' 49 = \gamma$		$\sigma_3(\gamma')/\phi_0$		E	w	$\sigma_1(w, \phi)/\phi_0$		w'	$\sigma_4(w', \phi)/\phi_0$				
2727	49	2765151	50	3272727	49	1000000	50*	3273378	48	1000000	50	3351939	49
2800	49	2529289	50	3200000	49	9047619	49*	3155983	48	9903751	49	3017567	49
2900	49	2253345	50	3100000	49	7816092	49*	3016087	48	9768853	49	2628924	49
3000	49	2025463	50	3000000	49	6666666	49*	2901261	48	9630868	49	2309553	49
3100	49	1838320	50	2900000	49	5591398	49*	2811673	48	9489645	49	2047504	49
3200	49	1685836	50	2800000	49	4583333	49*	2747485	48	9345021	49	1832939	49
3300	49	1562930	50	2700000	49	3636363	49*	2708866	48	9196819	49	1657721	49
3400	49	1465341	50	2600000	49	2745098	49*	2695981	48	9044846	49	1515094	49
3500	49	1389479	50	2500000	49	1904762	49*	2708995	48	8888888	49	1399417	49
3600	49	1332304	50	2400000	49	1111111	49*	2748075	48	8728715	49	1305968	49
3700	49	1291236	50	2300000	49	3603600	48*	2813386	48	8564070	49	1230774	49
3800	49	1264074	50	2200000	49	3508780	48	2905093	48	8394669	49	1170482	49
3900	49	1248938	50	2100000	49	1025641	49	3023363	48	8220197	49	1122252	49
4000	49	1244213	50	2000000	49	1666667	49	3168362	48	8040302	49	1083665	49
4100	49	1248509	50	1900000	49	2276423	49	3340254	48	7854589	49	1052655	49
4200	49	1260629	50	1800000	49	2857143	49	3539208	48	7662610	49	1027447	49
4300	49	1279536	50	1700000	49	3410853	49	3765386	48	7463857	49	1006509	49
4400	49	1304331	50	1600000	49	3939394	49	4018957	48	7257747	49	9885073	48
4500	49	1334233	50	1500000	49	4444445	49	4300084	48	7043607	49	9722691	48
4600	49	1368563	50	1400000	49	4927537	49	4608935	48	6820651	49	9567552	48
4700	49	1406726	50	1300000	49	5390071	49	4945675	48	6587954	49	9410272	48
4800	49	1448206	50	1200000	49	5833334	49	5310470	48	6344412	49	9242217	48
4900	49	1492547	50	1100000	49	6258504	49	5703485	48	6088689	49	9052228	48
5000	49	1539351	50	1000000	49	6666667	49	6124886	48	5819143	49	8841342	48
5100	49	1588271	50	9000000	48	7058824	49	6574840	48	5533715	49	8592445	48
5200	49	1638998	50	8000000	48	7435898	49	7053512	48	5229763	49	8299843	48
5300	49	1691263	50	7000000	48	7798742	49	7561066	48	4903798	49	7953661	48
5400	49	1744827	50	6000000	48	8148148	49	8097670	48	4551041	49	7541892	48
5500	49	1799481	50	5000000	48	8484849	49	8663491	48	4164633	49	7048788	48
5600	49	1855040	50	4000000	48	8809524	49	9258691	48	3734079	49	6451786	48
5700	49	1911341	50	3000000	48	9122807	49	9883439	48	3241763	49	5714712	48
5800	49	1968239	50	2000000	48	9425288	49	1053790	49	2653431	49	4769481	48
5900	49	2025607	50	1000000	48	9717514	49	1122223	49	1880922	49	3445092	48
6000	49	2083333	50	0000000	00	1000000	50	1193662	49	0000000	00	0000000	00

Compton Cross Sections vs Energy of Scattered Quantum

70 49 = $\gamma$ $\gamma'$		$\sigma_3(\gamma')/\phi_0$		E		w		$\sigma_1(w, \phi)/\phi_0$		w'		$\sigma_4(w', \phi)/\phi_0$	
2916	49	2155612	50	4083333	49	1000000	50*	2918531	48	1000000	50	3373822	49
3000	49	1974871	50	4000000	49	9047619	49*	2828795	48	9914601	49	3043371	49
3100	49	1788141	50	3900000	49	7972351	49*	2734925	48	9810344	49	2703961	49
3200	49	1629838	50	3800000	49	6964286	49*	2656223	48	9704076	49	2417525	49
3300	49	1495960	50	3700000	49	6017316	49*	2592794	48	9595720	49	2175768	49
3400	49	1383139	50	3600000	49	5126051	49*	2544742	48	9485192	49	1971761	49
3500	49	1288525	50	3500000	49	4285715	49*	2512171	48	9372403	49	1799691	49
3600	49	1209700	50	3400000	49	3492064	49*	2495186	48	9257259	49	1654666	49
3700	49	1144600	50	3300000	49	2741313	49*	2493891	48	9139656	49	1532547	49
3800	49	1091460	50	3200000	49	2030075	49*	2508390	48	9019487	49	1429828	49
3900	49	1048762	50	3100000	49	1355312	49*	2538789	48	8896634	49	1343523	49
4000	49	1015202	50	3000000	49	7142860	48*	2585190	48	8770969	49	1271083	49
4100	49	9896484	49	2900000	49	1045300	48*	2647700	48	8642355	49	1210326	49
4200	49	9711231	49	2800000	49	4761900	48	2726421	48	8510645	49	1159377	49
4300	49	9587751	49	2700000	49	1029900	49	2821459	48	8375675	49	1116623	49
4400	49	9518631	49	2600000	49	1558441	49	2932918	48	8237270	49	1080670	49
4500	49	9497392	49	2500000	49	2063492	49	3060903	48	8095238	49	1050309	49
4600	49	9518363	49	2400000	49	2546584	49	3205517	48	7949365	49	1024493	49
4700	49	9576567	49	2300000	49	3009118	49	3366865	48	7799421	49	1002306	49
4800	49	9667629	49	2200000	49	3452381	49	3545052	48	7645145	49	9829469	48
4900	49	9787693	49	2100000	49	3877551	49	3740181	48	7486251	49	9657122	48
5000	49	9933360	49	2000000	49	4285714	49	3952358	48	7322418	49	9499801	48
5100	49	1010162	50	1900000	49	4677871	49	4181687	48	7153286	49	9351975	48
5200	49	1028981	50	1800000	49	5054945	49	4428272	48	6978448	49	9208688	48
5300	49	1049557	50	1700000	49	5417789	49	4692217	48	6797441	49	9065457	48
5400	49	1071681	50	1600000	49	5767195	49	4973628	48	6609734	49	8918167	48
5500	49	1095166	50	1500000	49	6103896	49	5272608	48	6414713	49	8762996	48
5600	49	1119845	50	1400000	49	6428571	49	5589261	48	6211665	49	8596313	48
5700	49	1145572	50	1300000	49	6741854	49	5923693	48	5999744	49	8414593	48
5800	49	1172215	50	1200000	49	7044335	49	6276008	48	5777947	49	8214308	48
5900	49	1199654	50	1100000	49	7336561	49	6646308	48	5545057	49	7991820	48
6000	49	1227787	50	1000000	49	7619047	49	7034701	48	5299577	49	7743214	48
6100	49	1256517	50	9000000	48	7892271	49	7441289	48	5039634	49	7464116	48
6200	49	1285761	50	8000000	48	8156682	49	7866178	48	4762820	49	7149399	48
6300	49	1315443	50	7000000	48	8412698	49	8309471	48	4465959	49	6792756	48
6400	49	1345496	50	6000000	48	8660714	49	8771273	48	4144698	49	6385991	48
6500	49	1375859	50	5000000	48	8901099	49	9251688	48	3792791	49	5917785	48
6600	49	1406478	50	4000000	48	9134199	49	9750821	48	3400680	49	5371279	48
6700	49	1437305	50	3000000	48	9360341	49	1026877	49	2952320	49	4718706	48
6800	49	1468295	50	2000000	48	9579832	49	1080566	49	2416518	49	3906830	48
6900	49	1499409	50	1000000	48	9792960	49	1136157	49	1712984	49	2800168	48
7000	49	1530612	50	0000000	00	1000000	50	1193662	49	0000000	00	0000000	00

11

## Compton Cross Sections vs Energy of Scattered Quantum

$80$ $\gamma'$	$49=\gamma$	$\sigma_3(\gamma')/\phi_0$	$E$	$w$	$\sigma_1(w, \phi)/\phi_0$	$w'$	$\sigma_4(w', \phi)/\phi_0$
3076	49	1748798 50	4923076 49	1000000 50*	2635075 48	1000000 50	3415058 49
3100	49	1711138 50	4900000 49	9758065 49*	2617150 48	9981157 49	3329047 49
3200	49	1561889 50	4800000 49	3750000 49*	2545484 48	9898680 49	2989414 49
3300	49	1432977 50	4700000 49	7803030 49*	2483633 48	9814834 49	2697561 49
3400	49	1321679 50	4600000 49	6911765 49*	2431667 48	9729575 49	2446501 49
3500	49	1225685 50	4500000 49	6071429 49*	2389655 48	9642857 49	2230345 49
3600	49	1143030 50	4400000 49	5277778 49*	2357669 48	9554631 49	2044119 49
3700	49	1072032 50	4300000 49	4527027 49*	2335777 48	9464847 49	1883602 49
3800	49	1011249 50	4200000 49	3815789 49*	2324050 48	9373450 49	1745193 49
3900	49	9594389 49	4100000 49	3141026 49*	2322558 48	9280383 49	1625820 49
4000	49	9155273 49	4000000 49	2500000 49*	2331371 48	9185586 49	1522845 49
4100	49	8785838 49	3900000 49	1890244 49*	2350558 48	9088995 49	1434002 49
4200	49	8477990 49	3800000 49	1309524 49*	2380190 48	8990541 49	1357337 49
4300	49	8224674 49	3700000 49	7558140 48*	2420336 48	8890152 49	1291158 49
4400	49	8019716 49	3600000 49	2272730 48*	2471066 48	8787751 49	1234002 49
4500	49	7857711 49	3500000 49	2777780 48	2532452 48	8683256 49	1184593 49
4600	49	7733903 49	3400000 49	7608700 48	2604561 48	8576578 49	1141825 49
4700	49	7644110 49	3300000 49	1223404 49	2687465 48	8467623 49	1104728 49
4800	49	7584635 49	3200000 49	1666667 49	2781232 48	8356290 49	1072455 49
4900	49	7552212 49	3100000 49	2091837 49	2885934 48	8242469 49	1044264 49
5000	49	7543945 49	3000000 49	2500000 49	3001640 48	8126045 49	1019503 49
5100	49	7557264 49	2900000 49	2892157 49	3128420 48	8006888 49	9975953 48
5200	49	7589884 49	2800000 49	3269231 49	3266344 48	7884862 49	9780341 48
5300	49	7639767 49	2700000 49	3632075 49	3415482 48	7759817 49	9603697 48
5400	49	7705098 49	2600000 49	3981481 49	3575903 48	7631589 49	9442025 48
5500	49	7784252 49	2500000 49	4318182 49	3747679 48	7499999 49	9291767 48
5600	49	7875777 49	2400000 49	4642857 49	3930878 48	7364853 49	9149738 48
5700	49	7978371 49	2300000 49	4956140 49	4125571 48	7225934 49	9013076 48
5800	49	8090867 49	2200000 49	5258621 49	4331827 48	7083002 49	8879191 48
5900	49	8212214 49	2100000 49	5550847 49	4549717 48	6935791 49	8745727 48
6000	49	8341470 49	2000000 49	5833333 49	4779310 48	6784005 49	8610518 48
6100	49	8477787 49	1900000 49	6106557 49	5020677 48	6627309 49	8471555 48
6200	49	8620399 49	1800000 49	6370968 49	5273888 48	6465327 49	8326950 48
6300	49	8768616 49	1700000 49	6626984 49	5539011 48	6297629 49	8174905 48
6400	49	8921814 49	1600000 49	6875000 49	5816118 48	6123724 49	8013669 48
6500	49	9079430 49	1500000 49	7115385 49	6105278 48	5943043 49	7841506 48
6600	49	9240958 49	1400000 49	7348485 49	6406561 48	5754924 49	7656658 48
6700	49	9405935 49	1300000 49	7574627 49	6720037 48	5558586 49	7457283 48
6800	49	9573945 49	1200000 49	7794118 49	7045777 48	5353097 49	7241406 48
6900	49	9744610 49	1100000 49	8007246 49	7383848 48	5137332 49	7006839 48
7000	49	9917590 49	1000000 49	8214286 49	7734324 48	4909902 49	6751070 48
7200	49	1026927 50	8000000 48	8611111 49	8472762 48	4412613 49	6163360 48
7400	49	1062685 50	6000000 48	8986486 49	9261651 48	3839941 49	5444012 48
7600	49	1098856 50	4000000 48	9342105 49	1010155 49	3150630 49	4529536 48
7800	49	1135292 50	2000000 48	9679487 49	1099302 49	2238834 49	3260525 48
8000	49	1171875 50	0000000 00	1000000 50	1193662 49	0000000 00	0000000 00

Compton Cross Sections vs Energy of Scattered Quantum

$90^\circ$ $\gamma'$	$49 = \gamma$	$\sigma_3(\gamma')/\phi_0$	E	w	$\sigma_1(w, \phi)/\phi_0$	w'	$\sigma_4(w', \phi)/\phi_0$
3214	49	1461640 50	5785714 49	1000000 50*	2403419 48	1000000 50	3470537 49
3300	49	1360580 50	5700000 49	9191919 49*	2358154 48	9942187 49	3190584 49
3400	49	1256409 50	5600000 49	8300654 49*	2311581 48	9873818 49	2903316 49
3500	49	1165222 50	5500000 49	7460318 49*	2271774 48	9804430 49	2652831 49
3600	49	1085391 50	5400000 49	6666667 49*	2238779 48	9733994 49	2434124 49
3700	49	1015520 50	5300000 49	5915916 49*	2212647 48	9662483 49	2242933 49
3800	49	9544120 49	5200000 49	5204678 49*	2193427 48	9589865 49	2075617 49
3900	49	9010309 49	5100000 49	4529915 49*	2181167 48	9516107 49	1929054 49
4000	49	8544810 49	5000000 49	3888889 49*	2175918 48	9441175 49	1800555 49
4100	49	8139836 49	4900000 49	3279133 49*	2177727 48	9365036 49	1687803 49
4200	49	7788602 49	4800000 49	2698413 49*	2186644 48	9287650 49	1588791 49
4300	49	7485178 49	4700000 49	2144703 49*	2202719 48	9208980 49	1501777 49
4400	49	7224367 49	4600000 49	1616162 49*	2226000 48	9128984 49	1425248 49
4500	49	7001600 49	4500000 49	1111111 49*	2256537 48	9047619 49	1357881 49
4600	49	6812856 49	4400000 49	6280190 48*	2294378 48	8964839 49	1298522 49
4700	49	6654581 49	4300000 49	1654850 48*	2339573 48	8880597 49	1246159 49
4800	49	6523633 49	4200000 49	2777780 48	2392170 48	8794842 49	1199903 49
4900	49	6417224 49	4100000 49	7029480 48	2452220 48	8707520 49	1158974 49
5000	49	6332876 49	4000000 49	1111111 49	2519771 48	8618575 49	1122682 49
5100	49	6268383 49	3900000 49	1503268 49	2594872 48	8527946 49	1090419 49
5200	49	6221777 49	3800000 49	1880342 49	2677572 48	8435569 49	1061648 49
5300	49	6191300 49	3700000 49	2243186 49	2767921 48	8341377 49	1035891 49
5400	49	6175379 49	3600000 49	2592592 49	2865967 48	8245297 49	1012726 49
5500	49	6172603 49	3500000 49	2929293 49	2971760 48	8147252 49	9917751 48
5600	49	6181704 49	3400000 49	3253968 49	3085349 48	8047159 49	9727037 48
5700	49	6201543 49	3300000 49	3567251 49	3206783 48	7944930 49	9552120 48
5800	49	6231096 49	3200000 49	3869732 49	3336111 48	7840469 49	9390320 48
5900	49	6269436 49	3100000 49	4161958 49	3473382 48	7733675 49	9239242 48
6000	49	6315729 49	3000000 49	4444444 49	3618646 48	7624437 49	9096722 48
6100	49	6369219 49	2900000 49	4717668 49	3771951 48	7512636 49	8960816 48
6200	49	6429226 49	2800000 49	4982079 49	3933346 48	7398142 49	8829763 48
6300	49	6495128 49	2700000 49	5238095 49	4102881 48	7280816 49	8701968 48
6400	49	6566366 49	2600000 49	5486111 49	4280605 48	7160503 49	8575975 48
6500	49	6642431 49	2500000 49	5726496 49	4466567 48	7037036 49	8450450 48
6600	49	6722859 49	2400000 49	5959596 49	4660816 48	6910233 49	8324165 48
6700	49	6807229 49	2300000 49	6185738 49	4863401 48	6779888 49	8195975 48
6800	49	6895160 49	2200000 49	6405229 49	5074372 48	6645779 49	8064810 48
6900	49	6986300 49	2100000 49	6618357 49	5293776 48	6507656 49	7929657 48
7000	49	7080335 49	2000000 49	6825397 49	5521665 48	6365239 49	7789541 48
7200	49	7275948 49	1800000 49	7222222 49	6003088 48	6066233 49	7490653 48
7400	49	7479963 49	1600000 49	7597597 49	6519035 48	5745717 49	7160601 48
7600	49	7690700 49	1400000 49	7953216 49	7069899 48	5399682 49	6791406 48
7800	49	7906727 49	1200000 49	8290598 49	7656073 48	5022660 49	6373827 48
8000	49	8126857 49	1000000 49	8611111 49	8277948 48	4606822 49	5896043 48
8200	49	8350095 49	8000000 48	8915989 49	8935920 48	4140229 49	5341220 48
8400	49	8575604 49	6000000 48	9206349 49	9630380 48	3602907 49	4682203 48



Compton Cross Sections vs Energy of Scattered Quantum

$\frac{90}{\gamma'} \frac{49}{\gamma} = \gamma$	$\sigma_3(\gamma')/\phi_0$	E	w	$\sigma_1(w, \phi)/\phi_0$	w'	$\sigma_4(w', \phi)/\phi_0$
8600 49	8802679 49	4000000 48	9483204 49	1036172 49	2956147 49	3867223 48
8800 49	9030730 49	2000000 48	9747475 49	1113033 49	2100633 49	2764227 48
9000 49	9259259 49	0000000 00	1000000 50	1193662 49	0000000 00	0000000 00

Compton Cross Sections vs Energy of Scattered Quantum

10 50 = $\gamma$		$\sigma_3(\gamma')/\phi_0$		E		w		$\sigma_1(w, \phi)/\phi_0$		w'		$\sigma_4(w', \phi)/\phi_0$	
$\gamma'$													
3333	49	1250000	50	6666667	49	1000000	50*	2210485	48	1000000	50	3536776	49
3350	49	1233917	50	6650000	49	9850746	49*	2203920	48	9990614	49	3483637	49
3400	49	1187621	50	6600000	49	9411765	49*	2185022	48	9962335	49	3330906	49
3450	49	1144104	50	6550000	49	8985507	49*	2167324	48	9933867	49	3187668	49
3500	49	1103188	50	6500000	49	8571429	49*	2150829	48	9905211	49	3053272	49
3550	49	1064711	50	6450000	49	8169014	49*	2135544	48	9876362	49	2927118	49
3600	49	1028518	50	6400000	49	7777778	49*	2121471	48	9847319	49	2808653	49
3650	49	9944702	49	6350000	49	7397260	49*	2108616	48	9818079	49	2697364	49
3700	49	9624351	49	6300000	49	7027027	49*	2096983	48	9788640	49	2592778	49
3750	49	9322917	49	6250000	49	6666667	49*	2086577	48	9759000	49	2494456	49
3800	49	9039265	49	6200000	49	6315789	49*	2077401	48	9729156	49	2401989	49
3850	49	8772346	49	6150000	49	5974026	49*	2069461	48	9699106	49	2314999	49
3900	49	8521178	49	6100000	49	5641026	49*	2062761	48	9668846	49	2233137	49
3950	49	8284847	49	6050000	49	5316456	49*	2057305	48	9638375	49	2156075	49
4000	49	8062500	49	6000000	49	5000000	49*	2053098	48	9607689	49	2083509	49
4100	49	7656625	49	5900000	49	4390244	49*	2048449	48	9545663	49	1950757	49
4200	49	7297789	49	5800000	49	3809524	49*	2048849	48	9482746	49	1832841	49
4300	49	6980942	49	5700000	49	3255814	49*	2054334	48	9418914	49	1727990	49
4400	49	6701653	49	5600000	49	2727273	49*	2064940	48	9354143	49	1634654	49
4500	49	6456018	49	5500000	49	2222222	49*	2080702	48	9288407	49	1551480	49
4600	49	6240595	49	5400000	49	1739130	49*	2101656	48	9221679	49	1477282	49
4700	49	6052337	49	5300000	49	1276596	49*	2127840	48	9153931	49	1411016	49
4800	49	5888541	49	5200000	49	8333330	48*	2159286	48	9085135	49	1351762	49
4900	49	5746808	49	5100000	49	4081630	48*	2196033	48	9015259	49	1298711	49
5000	49	5625000	49	5000000	49	0000000		2238116	48	8944271	49	1251145	49
5100	49	5521208	49	4900000	49	3921570	48	2285570	48	8872139	49	1208429	49
5200	49	5433727	49	4800000	49	7692310	48	2338431	48	8798826	49	1170000	49
5300	49	5361031	49	4700000	49	1132075	49	2396736	48	8724297	49	1135358	49
5400	49	5301749	49	4600000	49	1481481	49	2460519	48	8648511	49	1104055	49
5500	49	5254648	49	4500000	49	1818182	49	2529817	48	8571428	49	1075695	49
5600	49	5218622	49	4400000	49	2142857	49	2604666	48	8493005	49	1049922	49
5700	49	5192670	49	4300000	49	2456140	49	2685101	48	8413197	49	1026418	49
5800	49	5175891	49	4200000	49	2758621	49	2771158	48	8331955	49	1004900	49
5900	49	5167470	49	4100000	49	3050847	49	2862873	48	8249230	49	9851120	48
6000	49	5166666	49	4000000	49	3333333	49	2960281	48	8164965	49	9668240	48
6100	49	5172813	49	3900000	49	3606557	49	3063420	48	8079106	49	9498304	48
6200	49	5185301	49	3800000	49	3870968	49	3172324	48	7991592	49	9339450	48
6300	49	5203581	49	3700000	49	4126984	49	3287029	48	7902357	49	9190006	48
6400	49	5227148	49	3600000	49	4375000	49	3407571	48	7811334	49	9048450	48
6500	49	5255547	49	3500000	49	4615385	49	3533985	48	7718449	49	8913410	48
6600	49	5288361	49	3400000	49	4848485	49	3666309	48	7623624	49	8783638	48
6700	49	5325203	49	3300000	49	5074627	49	3804577	48	7526776	49	8658000	48
6800	49	5365744	49	3200000	49	5294118	49	3948825	48	7427813	49	8535461	48
6900	49	5409648	49	3100000	49	5507246	49	4099089	48	7326640	49	8415076	48
7000	49	5456632	49	3000000	49	5714286	49	4255405	48	7223151	49	8295970	48
7500	49	5729166	49	2500000	49	6666667	49	5129016	48	6666666	49	7693524	48

Compton Cross Sections vs Energy of Scattered Quantum

$10^5 \gamma'$	$50 = \gamma$	$\sigma_s(\gamma')/\phi_0$		E		w		$\sigma_1(w, \phi)/\phi_0$		w'		$\sigma_4(w', \phi)/\phi_0$	
8000	49	6046875	49	2000000	49	7500000	49	6159296	48	6030226	49	7022150	48
8500	49	6392517	49	1500000	49	8235294	49	7350720	48	5282705	49	6211055	48
9000	49	6754629	49	1000000	49	8888889	49	8707764	48	4364357	49	5172739	48
9500	49	7125519	49	5000000	48	9473684	49	1023490	49	3123475	49	3721538	48
1000	50	7500000	49	0000000	00	1000000	50	1193662	49	0000000	00	0000000	00

## Compton Cross Sections vs Energy of Scattered Quantum

$11 \quad 50 = \gamma$		$\sigma_3(\gamma')/\phi_0$		E		w		$\sigma_1(w, \phi)/\phi_0$		w'		$\sigma_4(w', \phi)/\phi_0$	
$\gamma'$													
3437	49	1088584	50	7562500	49	1000000	50*	2047235	48	1000000	50	3611323	49
3450	49	1078844	50	7550000	49	9894598	49*	2043700	48	9993998	49	3573620	49
3500	49	10411273	50	7500000	49	9480520	49*	2030116	48	9969902	49	3428372	49
3550	49	1005817	50	7450000	49	9078105	49*	2017419	48	9945659	49	3291580	49
3600	49	9723487	49	7400000	49	8686869	49*	2005613	48	9921268	49	3162695	49
3650	49	9407453	49	7350000	49	8306351	49*	1994701	48	9896727	49	3041201	49
3700	49	9108955	49	7300000	49	7936118	49*	1984687	48	9872035	49	2926628	49
3750	49	8826953	49	7250000	49	7575758	49*	1975574	48	9847191	49	2818533	49
3800	49	8560476	49	7200000	49	7224880	49*	1967366	48	9822191	49	2716509	49
3850	49	8308623	49	7150000	49	6883117	49*	1960065	48	9797036	49	2620175	49
3900	49	8070553	49	7100000	49	6550117	49*	1953676	48	9771722	49	2529181	49
3950	49	7845481	49	7050000	49	6225547	49*	1948201	48	9746249	49	2443197	49
4000	49	7632675	49	7000000	49	5909091	49*	1943644	48	9720615	49	2361918	49
4100	49	7241168	49	6900000	49	5299335	49*	1937298	48	9668854	49	2212356	49
4200	49	6891071	49	6800000	49	4718615	49*	1934663	48	9616425	49	2078437	49
4300	49	6578035	49	6700000	49	4164905	49*	1935767	48	9563313	49	1958366	49
4400	49	6298237	49	6600000	49	3636364	49*	1940638	48	9509501	49	1850576	49
4500	49	6048305	49	6500000	49	3131313	49*	1949300	48	9454974	49	1753689	49
4600	49	5825259	49	6400000	49	2648221	49*	1961783	48	9399713	49	1666497	49
4700	49	5626458	49	6300000	49	2185687	49*	1978112	48	9343702	49	1587934	49
4800	49	5449558	49	6200000	49	1742424	49*	1998314	48	9286922	49	1517059	49
4900	49	5292471	49	6100000	49	1317254	49*	2022417	48	9229353	49	1453040	49
5000	49	5153336	49	6000000	49	9090910	48*	2050447	48	9170976	49	1395139	49
5100	49	5030489	49	5900000	49	5169340	48*	2082431	48	9111769	49	1342701	49
5200	49	4922440	49	5800000	49	1398600	48*	2118396	48	9051712	49	1295142	49
5300	49	4827852	49	5700000	49	2229840	48	2158369	48	8990782	49	1251943	49
5400	49	4745524	49	5600000	49	5723900	48	2202377	48	8928955	49	1212639	49
5500	49	4674373	49	5500000	49	9090910	48	2250447	48	8866206	49	1176815	49
5600	49	4613424	49	5400000	49	1233766	49	2302606	48	8802512	49	1144101	49
5700	49	4561797	49	5300000	49	1547049	49	2358880	48	8737844	49	1114161	49
5800	49	4518694	49	5200000	49	1849530	49	2419296	48	8672174	49	1086698	49
5900	49	4483393	49	5100000	49	2141756	49	2483882	48	8605474	49	1061441	49
6000	49	4455239	49	5000000	49	2424242	49	2552664	48	8537714	49	1038149	49
6100	49	4433638	49	4900000	49	2697466	49	2625669	48	8468860	49	1016601	49
6200	49	4418048	49	4800000	49	2961877	49	2702925	48	8398880	49	9966028	48
6300	49	4407977	49	4700000	49	3217893	49	2784457	48	8327738	49	9779738	48
6400	49	4402975	49	4600000	49	3465909	49	2870293	48	8255397	49	9605531	48
6500	49	4402633	49	4500000	49	3706294	49	2960461	48	8181818	49	9441942	48
6600	49	4406575	49	4400000	49	3939394	49	3054985	48	8106960	49	9287650	48
6700	49	4414459	49	4300000	49	4165536	49	3153895	48	8030779	49	9141441	48
6800	49	4425971	49	4200000	49	4385027	49	3257216	48	7953230	49	9002223	48
6900	49	4440824	49	4100000	49	4598155	49	3364975	48	7874265	49	8868999	48
7000	49	4458753	49	4000000	49	4805195	49	3477200	48	7793830	49	8740853	48
7500	49	4586720	49	3500000	49	5757576	49	4106245	48	7367611	49	8149510	48
8000	49	4762417	49	3000000	49	6590909	49	4850958	48	6894826	49	7585311	48
8500	49	4969764	49	2500000	49	7326203	49	5714704	48	6363636	49	6991545	48

## Compton Cross Sections vs Energy of Scattered Quantum

11 50= $\gamma$ $\gamma'$		$\sigma_s(\gamma')/\phi_0$		E		w		$\sigma_1(w, \phi)/\phi_0$		w'		$\sigma_4(w', \phi)/\phi_0$	
9000	49	5197859	49	2000000	49	7979798	49	6700846	48	5756125	49	6323638	48
9500	49	5439215	49	1500000	49	8564593	49	7812744	48	5042582	49	5536472	48
1000	50	5688648	49	1000000	49	9090909	49	9053765	48	4165978	49	4563852	48
1050	50	5942536	49	5000000	48	9567099	49	1042726	49	2981500	49	3251483	48
1100	50	6198347	49	0000000	00	1000000	50	1193662	49	0000000	00	0000000	00

## Compton Cross Sections vs Energy of Scattered Quantum

$12 \frac{50-\gamma}{\gamma'}$	$\sigma_3(\gamma')/\phi_0$	E	w	$\sigma_1(w, \phi)/\phi_0$	w'	$\sigma_4(w', \phi)/\phi_0$
3529 49	9620098 49	8470588 49	1000000 50*	1907235 48	1000000 50	3692407 49
3550 49	9488336 49	8450000 49	9835681 49*	1903123 48	9991453 49	3633461 49
3600 49	9180491 49	8400000 49	9444445 49*	1893612 48	9970614 49	3495922 49
3650 49	8889025 49	8350000 49	9063927 49*	1884777 48	9949657 49	3365934 49
3700 49	8612968 49	8300000 49	8693694 49*	1876620 48	9928582 49	3243023 49
3750 49	8351418 49	8250000 49	8333334 49*	1869144 48	9907388 49	3126753 49
3800 49	8103535 49	8200000 49	7982456 49*	1862352 48	9886072 49	3016711 49
3850 49	7868537 49	8150000 49	7640693 49*	1856246 48	9864635 49	2912521 49
3900 49	7645695 49	8100000 49	7307693 49*	1850829 48	9843074 49	2813829 49
3950 49	7434326 49	8050000 49	6983123 49*	1846103 48	9821389 49	2720305 49
4000 49	7233796 49	8000000 49	6666667 49*	1842071 48	9799578 49	2631643 49
4100 49	6862910 49	7900000 49	6056911 49*	1836099 48	9755575 49	2467782 49
4200 49	6528723 49	7800000 49	5476191 49*	1832934 48	9711053 49	2320178 49
4300 49	6227445 49	7700000 49	4922481 49*	1832597 48	9666002 49	2187024 49
4400 49	5955746 49	7600000 49	4393940 49*	1835108 48	9620412 49	2066737 49
4500 49	5710680 49	7500000 49	3888889 49*	1840488 48	9574271 49	1957925 49
4600 49	5489644 49	7400000 49	3405797 49*	1848757 48	9527567 49	1859364 49
4700 49	5290328 49	7300000 49	2943263 49*	1859938 48	9480288 49	1769973 49
4800 49	5110677 49	7200000 49	2500000 49*	1874049 48	9432422 49	1688794 49
4900 49	4948859 49	7100000 49	2074830 49*	1891112 48	9383956 49	1614979 49
5000 49	4803240 49	7000000 49	1666667 49*	1911148 48	9334876 49	1547774 49
5100 49	4672356 49	6900000 49	1274510 49*	1934178 48	9285169 49	1486509 49
5200 49	4554894 49	6800000 49	8974360 48*	1960221 48	9234821 49	1430585 49
5300 49	4449675 49	6700000 49	5345920 48*	1989299 48	9183816 49	1379467 49
5400 49	4355638 49	6600000 49	1851860 48*	2021433 48	9132140 49	1332677 49
5500 49	4271825 49	6500000 49	1515150 48	2056643 48	9079776 49	1289786 49
5600 49	4197373 49	6400000 49	4761900 48	2094950 48	9026709 49	1250409 49
5700 49	4131499 49	6300000 49	7894730 48	2136375 48	8972920 49	1214200 49
5800 49	4073495 49	6200000 49	1091954 49	2180938 48	8918393 49	1180847 49
5900 49	4022720 49	6100000 49	1384180 49	2228660 48	8863109 49	1150070 49
6000 49	3978588 49	6000000 49	1666666 49	2279563 48	8807048 49	1121613 49
6100 49	3940568 49	5900000 49	1939890 49	2333665 48	8750191 49	1095249 49
6200 49	3908177 49	5800000 49	2204301 49	2390989 48	8692517 49	1070770 49
6300 49	3880972 49	5700000 49	2460317 49	2451555 48	8634005 49	1047988 49
6400 49	3858552 49	5600000 49	2708333 49	2515384 48	8574631 49	1026731 49
6500 49	3840546 49	5500000 49	2948718 49	2582497 48	8514373 49	1006846 49
6600 49	3826618 49	5400000 49	3181818 49	2652914 48	8453206 49	9881919 48
6700 49	3816458 49	5300000 49	3407960 49	2726655 48	8391104 49	9706395 48
6800 49	3809782 49	5200000 49	3627451 49	2803742 48	8328040 49	9540725 48
6900 49	3806330 49	5100000 49	3840579 49	2884196 48	8263988 49	9383847 48
7000 49	3805862 49	5000000 49	4047619 49	2968036 48	8198915 49	9234784 48
7500 49	3841145 49	4500000 49	5000000 49	3438772 48	7857142 49	8578174 48
8000 49	3924334 49	4000000 49	5833333 49	3997294 48	7484552 49	8011089 48
8500 49	4040538 49	3500000 49	6568627 49	4646192 48	7075245 49	7475732 48
9000 49	4179526 49	3000000 49	7222222 49	5388057 48	6621222 49	6931994 48
9500 49	4334165 49	2500000 49	7807017 49	6225480 48	6111111 49	6349332 48

Compton Cross Sections vs Energy of Scattered Quantum

$^{12}_{50} = \gamma$ $\gamma'$	$\sigma_3(\gamma')/\phi_0$	E	w	$\sigma_1(w, \phi)/\phi_0$	w'	$\sigma_4(w', \phi)/\phi_0$
1000 50	4 499421 49	2000000 49	8333333 49	7161050 48	5527708 49	5700125 48
1050 50	4 671703 49	1500000 49	8809523 49	8197359 48	4842481 49	4951736 48
1100 50	4 848437 49	1000000 49	9242424 49	9336997 48	4000661 49	4050507 48
1150 50	5 027762 49	5000000 48	9637681 49	1058255 49	2863186 49	2864635 48
1200 50	5 208333 49	0000000 00	1000000 50	1193662 49	0000000 00	0000000 00

## Compton Cross Sections vs Energy of Scattered Quantum

$13$ $\gamma'$	$50 = \gamma$	$\sigma_3(\gamma')/\phi_0$	E	w	$\sigma_1(w, \phi)/\phi_0$	w'	$\sigma_4(w', \phi)/\phi_0$
3611	49	8604536 49	9388889 49	1000000 50*	1785785 48	1000000 50	3778722 49
3650	49	8397057 49	9350000 49	9704952 49*	1780463 48	9985877 49	3672659 49
3700	49	8142378 49	9300000 49	9334719 49*	1774086 48	9967635 49	3542663 49
3750	49	7900560 49	9250000 49	8974359 49*	1768237 48	9949297 49	3419427 49
3800	49	7670868 49	9200000 49	8623481 49*	1762916 48	9930862 49	3302541 49
3850	49	7452616 49	9150000 49	8281718 49*	1758127 48	9912329 49	3191631 49
3900	49	7245165 49	9100000 49	7948718 49*	1753871 48	9893698 49	3086342 49
3950	49	7047917 49	9050000 49	7624148 49*	1750149 48	9874968 49	2986345 49
4000	49	6860316 49	9000000 49	7307692 49*	1746965 48	9856137 49	2891332 49
4100	49	6511996 49	8900000 49	6697936 49*	1742216 48	9818170 49	2715136 49
4200	49	6196416 49	8800000 49	6117216 49*	1739639 48	9779791 49	2555678 49
4300	49	5910246 49	8700000 49	5563506 49*	1739252 48	9740991 49	2411147 49
4400	49	5650552 49	8600000 49	5034965 49*	1741070 48	9701763 49	2279947 49
4500	49	5414742 49	8500000 49	4529914 49*	1745110 48	9662099 49	2160678 49
4600	49	5200519 49	8400000 49	4046822 49*	1751388 48	9621991 49	2052104 49
4700	49	5005844 49	8300000 49	3584288 49*	1759921 48	9581429 49	1953132 49
4800	49	4828900 49	8200000 49	3141025 49*	1770723 48	9540405 49	1862792 49
4900	49	4668068 49	8100000 49	2715855 49*	1783813 48	9498911 49	1780225 49
5000	49	4521900 49	8000000 49	2307692 49*	1799207 48	9456936 49	1704663 49
5100	49	4389097 49	7900000 49	1915535 49*	1816919 48	9414471 49	1635425 49
5200	49	4268495 49	7800000 49	1538461 49*	1836968 48	9371505 49	1571900 49
5300	49	4159045 49	7700000 49	1175617 49*	1859369 48	9328030 49	1513541 49
5400	49	4059803 49	7600000 49	8262110 48*	1884138 48	9284034 49	1459859 49
5500	49	3969917 49	7500000 49	4895100 48*	1911291 48	9239506 49	1410414 49
5600	49	3888615 49	7400000 49	1648350 48*	1940846 48	9194435 49	1364810 49
5700	49	3815200 49	7300000 49	1484480 48	1972818 48	9148809 49	1322691 49
5800	49	3749038 49	7200000 49	4509290 48	2007224 48	9102617 49	1283734 49
5900	49	3689553 49	7100000 49	7431550 48	2044080 48	9055845 49	1247649 49
6000	49	3636223 49	7000000 49	1025641 49	2083402 48	9008482 49	1214173 49
6100	49	3588569 49	6900000 49	1298865 49	2125206 48	8960513 49	1183068 49
6200	49	3546158 49	6800000 49	1563276 49	2169510 48	8911925 49	1154118 49
6300	49	3508592 49	6700000 49	1819292 49	2216328 48	8862704 49	1127127 49
6400	49	3475507 49	6600000 49	2067308 49	2265678 48	8812834 49	1101915 49
6500	49	3446570 49	6500000 49	2307693 49	2317576 48	8762302 49	1078321 49
6600	49	3421476 49	6400000 49	2540793 49	2372037 48	8711090 49	1056197 49
6700	49	3399946 49	6300000 49	2766935 49	2429079 48	8659182 49	1035408 49
6800	49	3381721 49	6200000 49	2986426 49	2488718 48	8606561 49	1015830 49
6900	49	3366565 49	6100000 49	3199554 49	2550970 48	8553210 49	9973517 48
7000	49	3354260 49	6000000 49	3406594 49	2615850 48	8499109 49	9798688 48
7500	49	3328985 49	5500000 49	4358975 49	2980263 48	8216667 49	9043554 48
8000	49	3350558 49	5000000 49	5192308 49	3412851 48	7912240 49	8424573 48
8500	49	3405227 49	4500000 49	5927602 49	3915652 48	7582417 49	7880198 48
9000	49	3483447 49	4000000 49	6581197 49	4490703 48	7222854 49	7368713 48
9500	49	3578486 49	3500000 49	7165992 49	5140043 48	6827859 49	6860738 48
1000	50	3685532 49	3000000 49	7692308 49	5865707 48	6389710 49	6334149 48
1050	50	3801104 49	2500000 49	8168498 49	6669734 48	5897436 49	5770178 48



Compton Cross Sections vs Energy of Scattered Quantum

$13 \text{ } 50 = \gamma$		$\sigma_3(\gamma')/\phi_0$		E		w		$\sigma_1(w, \phi)/\phi_0$		w'		$\sigma_4(w', \phi)/\phi_0$	
$\gamma'$													
1100	50	3922661	49	2000000	49	8601399	49	7554162	48	5334430	49	5149504	48
1150	50	4048332	49	1500000	49	8996656	49	8521027	48	4673161	49	4446465	48
1200	50	4176732	49	1000000	49	9358975	49	9572366	48	3860776	49	3615771	48
1250	50	4306834	49	5000000	48	9692308	49	1071021	49	2763072	49	2542783	48
1300	50	4437869	49	0000000	00	1000000	50	1193662	49	0000000	00	0000000	00

Compton Cross Sections vs Energy of Scattered Quantum

$\gamma'$	$50 = \gamma$	$\sigma_3(\gamma')/\phi_0$	E	w	$\sigma_1(w, \phi)/\phi_0$	w'	$\sigma_4(w', \phi)/\phi_0$
3684	49	7773898 49	1031579 50	1000000 50*	1679375 48	1000000 50	3869281 49
3700	49	7700965 49	1030000 50	9884170 49*	1677910 48	9994947 49	3827054 49
3750	49	7477461 49	1025000 50	9523810 49*	1673542 48	9978894 49	3697780 49
3800	49	7264794 49	1020000 50	9172932 49*	1669593 48	9962763 49	3574956 49
3850	49	7062357 49	1015000 50	8831169 49*	1666062 48	9946552 49	3458204 49
3900	49	6869586 49	1010000 50	8498169 49*	1662952 48	9930260 49	3347172 49
3950	49	6685951 49	1005000 50	8173599 49*	1660265 48	9913887 49	3241528 49
4000	49	6510959 49	1000000 50	7857143 49*	1658002 48	9897433 49	3140969 49
4100	49	6185084 49	9900000 49	7247387 49*	1654754 48	9864276 49	2953976 49
4200	49	5888605 49	9800000 49	6666667 49*	1653222 48	9830783 49	2784112 49
4300	49	5618570 49	9700000 49	6112957 49*	1653418 48	9796949 49	2629561 49
4400	49	5372374 49	9600000 49	5584416 49*	1655357 48	9762768 49	2488722 49
4500	49	5147715 49	9500000 49	5079365 49*	1659050 48	9728233 49	2360186 49
4600	49	4942551 49	9400000 49	4596273 49*	1664512 48	9693340 49	2242709 49
4700	49	4755068 49	9300000 49	4133739 49*	1671755 48	9658081 49	2135190 49
4800	49	4583647 49	9200000 49	3690476 49*	1680791 48	9622450 49	2036650 49
4900	49	4426846 49	9100000 49	3265306 49*	1691635 48	9586441 49	1946218 49
5000	49	4283371 49	9000000 49	2857143 49*	1704299 48	9550046 49	1863120 49
5100	49	4152063 49	8900000 49	2464986 49*	1718796 48	9513258 49	1786663 49
5200	49	4031881 49	8800000 49	2087912 49*	1735140 48	9476070 49	1716227 49
5300	49	3921886 49	8700000 49	1725068 49*	1753343 48	9438476 49	1651256 49
5400	49	3821233 49	8600000 49	1375662 49*	1773418 48	9400466 49	1591251 49
5500	49	3729156 49	8500000 49	1038961 49*	1795379 48	9362034 49	1535763 49
5600	49	3644965 49	8400000 49	7142860 48*	1819238 48	9323171 49	1484388 49
5700	49	3568031 49	8300000 49	4010030 48*	1845009 48	9283869 49	1436760 49
5800	49	3497785 49	8200000 49	9852200 47*	1872704 48	9244120 49	1392549 49
5900	49	3433708 49	8100000 49	1937040 48	1902337 48	9203914 49	1351457 49
6000	49	3375329 49	8000000 49	4761900 48	1933921 48	9163242 49	1313213 49
6100	49	3322217 49	7900000 49	7494140 48	1967469 48	9122096 49	1277570 49
6200	49	3273979 49	7800000 49	1013825 49	2002993 48	9080465 49	1244306 49
6300	49	3230256 49	7700000 49	1269841 49	2040507 48	9038340 49	1213218 49
6400	49	3190717 49	7600000 49	1517857 49	2080024 48	8995710 49	1184120 49
6500	49	3155062 49	7500000 49	1758242 49	2121557 48	8952565 49	1156843 49
6600	49	3123013 49	7400000 49	1991342 49	2165119 48	8908893 49	1131234 49
6700	49	3094316 49	7300000 49	2217484 49	2210723 48	8864685 49	1107151 49
6800	49	3068736 49	7200000 49	2436975 49	2258382 48	8819927 49	1084466 49
6900	49	3046058 49	7100000 49	2650103 49	2308110 48	8774608 49	1063061 49
7000	49	3026083 49	7000000 49	2857143 49	2359918 48	8728715 49	1042827 49
7500	49	2960789 49	6500000 49	3809524 49	2650636 48	8490180 49	9560263 48
8000	49	2940669 49	6000000 49	4642857 49	2995341 48	8235162 49	8865817 48
8500	49	2953023 49	5500000 49	5378151 49	3395665 48	7961492 49	8279335 48
9000	49	2988964 49	5000000 49	6031746 49	3853239 48	7666518 49	7756267 48
9500	49	3042171 49	4500000 49	6616541 49	4369694 48	7346939 49	7265677 48
1000	50	3108080 49	4000000 49	7142857 49	4946662 48	6998542 49	6785409 48
1050	50	3183352 49	3500000 49	7619047 49	5585774 48	6615814 49	6298796 48
1100	50	3265523 49	3000000 49	8051948 49	6288663 48	6191272 49	5792181 48

Compton Cross Sections vs Energy of Scattered Quantum

$1.450 = \gamma$		$\sigma_3(\gamma')/\phi_0$		E		w		$\sigma_1(w, \phi)/\phi_0$		w'		$\sigma_4(w', \phi)/\phi_0$	
$\gamma'$													
1150	50	3352753	49	2500000	49	8447205	49	7056956	48	5714285	49	5252696	48
1200	50	3443660	49	2000000	49	8809524	49	7892289	48	5168765	49	4665586	48
1250	50	3537197	49	1500000	49	9142857	49	8796289	48	4528033	49	4009586	48
1300	50	3632570	49	1000000	49	9450549	49	9770591	48	3740879	49	3245488	48
1350	50	3729169	49	5000000	48	9735450	49	1081682	49	2677263	49	2272294	48
1400	50	3826530	49	0000000	00	1000000	50	1193662	49	0000000	00	0000000	00

Compton Cross Sections vs Energy of Scattered Quantum

$15 \gamma'$	$50 = \gamma$	$\sigma_s(\gamma')/\phi_0$	E	w	$\sigma_1(w, \phi)/\phi_0$	w'	$\sigma_4(w', \phi)/\phi_0$
3750	49	7083333 49	1125000 50	1000000 50*	1585332 48	1000000 50	3963331 49
3750	49	7083333 49	1125000 50	1000000 50*	1585332 48	1000000 50	3963331 49
3800	49	6886262 49	1120000 50	9649122 49*	1582598 48	9985744 49	3835268 49
3850	49	6698400 49	1115000 50	9307359 49*	1580202 48	9971423 49	3713359 49
3900	49	6519241 49	1110000 50	8974359 49*	1578143 48	9957035 49	3597250 49
3950	49	6348317 49	1105000 50	8649789 49*	1576423 48	9942579 49	3486611 49
4000	49	6185185 49	1100000 50	8333333 49*	1575044 48	9928056 49	3381138 49
4100	49	5880677 49	1090000 50	7723577 49*	1573313 48	9898804 49	3184562 49
4200	49	5602721 49	1080000 50	7142857 49*	1572960 48	9869275 49	3005443 49
4300	49	5348679 49	1070000 50	6589147 49*	1573995 48	9839464 49	2841957 49
4400	49	5116222 49	1060000 50	6060606 49*	1576430 48	9809366 49	2692501 49
4500	49	4903292 49	1050000 50	5555555 49*	1580275 48	9778978 49	2555663 49
4600	49	4708058 49	1040000 50	5072463 49*	1585541 48	9748294 49	2430190 49
4700	49	4528895 49	1030000 50	4609929 49*	1592238 48	9717309 49	2314974 49
4800	49	4364351 49	1020000 50	4166666 49*	1600377 48	9686020 49	2209029 49
4900	49	4213131 49	1010000 50	3741496 49*	1609968 48	9654420 49	2111479 49
5000	49	4074074 49	1000000 50	3333333 49*	1621022 48	9622504 49	2021539 49
5100	49	3946136 49	9900000 49	2941176 49*	1633550 48	9590268 49	1938508 49
5200	49	3828380 49	9800000 49	2564102 49*	1647562 48	9557705 49	1861760 49
5300	49	3719962 49	9700000 49	2201258 49*	1663069 48	9524811 49	1790731 49
5400	49	3620119 49	9600000 49	1851852 49*	1680082 48	9491580 49	1724914 49
5500	49	3528160 49	9500000 49	1515151 49*	1698610 48	9458005 49	1663851 49
5600	49	3443461 49	9400000 49	1190476 49*	1718665 48	9424081 49	1607132 49
5700	49	3365456 49	9300000 49	8771930 48*	1740258 48	9389801 49	1554383 49
5800	49	3293627 49	9200000 49	5747120 48*	1763399 48	9355160 49	1505268 49
5900	49	3227507 49	9100000 49	2824860 48*	1788098 48	9320151 49	1459482 49
6000	49	3166666 49	9000000 49	0000000	1814366 48	9284766 49	1416745 49
6100	49	3110716 49	8900000 49	2732240 48	1842214 48	9249001 49	1376808 49
6200	49	3059297 49	8800000 49	5376350 48	1871652 48	9212846 49	1339439 49
6300	49	3012085 49	8700000 49	7936510 48	1902692 48	9176296 49	1304431 49
6400	49	2968779 49	8600000 49	1041667 49	1935343 48	9139342 49	1271591 49
6500	49	2929103 49	8500000 49	1282052 49	1969616 48	9101977 49	1240745 49
6600	49	2892807 49	8400000 49	1515152 49	2005522 48	9064194 49	1211736 49
6700	49	2859656 49	8300000 49	1741294 49	2043071 48	9025984 49	1184414 49
6800	49	2829437 49	8200000 49	1960785 49	2082274 48	8987338 49	1158649 49
6900	49	2801953 49	8100000 49	2173913 49	2123142 48	8948249 49	1134316 49
7000	49	2777022 49	8000000 49	2380953 49	2165686 48	8908707 49	1111303 49
7500	49	2685185 49	7500000 49	3333334 49	2403902 48	8703882 49	1012687 49
8000	49	2636574 49	7000000 49	4166667 49	2685592 48	8486251 49	9345573 48
8500	49	2619441 49	6500000 49	4901961 49	3012081 48	8254342 49	8699725 48
9000	49	2625514 49	6000000 49	5555556 49	3384695 48	8006407 49	8141818 48
9500	49	2648866 49	5500000 49	6140351 49	3804761 48	7740339 49	7638762 48
1000	50	2685185 49	5000000 49	6666667 49	4273605 48	7453559 49	7167053 48
1050	50	2731292 49	4500000 49	7142857 49	4792553 48	7142857 49	6709574 48
1100	50	2784818 49	4000000 49	7575758 49	5362932 48	6804137 49	6253382 48
1150	50	2843975 49	3500000 49	7971015 49	5986068 48	6432041 49	5788058 48

Compton Cross Sections vs Energy of Scattered Quantum

$1.5 \times 10^{-5} \gamma'$		$\sigma_3(\gamma')/\phi_0$		E		w		$\sigma_1(w, \phi)/\phi_0$		w'		$\sigma_4(w', \phi)/\phi_0$	
1200	50	2907407	49	3000000	49	8333334	49	6663287	48	6019291	49	5304317	48
1250	50	2974074	49	2500000	49	8666667	49	7395915	48	5555555	49	4792552	48
1300	50	3043173	49	2000000	49	8974359	49	8185280	48	5025189	49	4240793	48
1350	50	3114083	49	1500000	49	9259260	49	9032706	48	4402252	49	3630819	48
1400	50	3186319	49	1000000	49	9523810	49	9939521	48	3636963	49	2928122	48
1450	50	3259501	49	5000000	48	9770115	49	1090705	49	2602895	49	2042858	48
1500	50	3333333	49	0000000	00	1000000	50	1193662	49	0000000	00	0000000	00

## Compton Cross Sections vs Energy of Scattered Quantum

16 50= $\gamma$ $\gamma'$		$\sigma_3(\gamma')/\phi_0$		E		w		$\sigma_1(w, \phi)/\phi_0$		w'		$\sigma_4(w', \phi)/\phi_0$	
3809	49	6501115	49	1219047	50	1000000	50*	1501583	48	1000000	50	4060281	49
3850	49	6360404	49	1215000	50	9724026	49*	1500466	48	9989667	49	3958323	49
3900	49	6193693	49	1210000	50	9391026	49*	1499336	48	9976852	49	3837663	49
3950	49	6034444	49	1205000	50	9066456	49*	1498482	48	9963980	49	3722543	49
4000	49	5882263	49	1200000	50	8750000	49*	1497906	48	9951052	49	3612657	49
4100	49	5597643	49	1190000	50	8140244	49*	1497590	48	9925022	49	3407465	49
4200	49	5337140	49	1180000	50	7559524	49*	1498398	48	9898760	49	3220008	49
4300	49	5098380	49	1170000	50	7005814	49*	1500338	48	9872261	49	3048460	49
4400	49	4879269	49	1160000	50	6477273	49*	1503419	48	9845523	49	2891219	49
4500	49	4677949	49	1150000	50	5972222	49*	1507650	48	9818542	49	2746862	49
4600	49	4492773	49	1140000	50	5489130	49*	1513039	48	9791313	49	2614135	49
4700	49	4322273	49	1130000	50	5026596	49*	1519595	48	9763834	49	2491924	49
4800	49	4165140	49	1120000	50	4583333	49*	1527327	48	9736101	49	2379234	49
4900	49	4020204	49	1110000	50	4158163	49*	1536244	48	9708109	49	2275185	49
5000	49	3886413	49	1100000	50	3750000	49*	1546354	48	9679855	49	2178987	49
5100	49	3762826	49	1090000	50	3357843	49*	1557667	48	9651334	49	2089930	49
5200	49	3648593	49	1080000	50	2980769	49*	1570190	48	9622543	49	2007382	49
5300	49	3542949	49	1070000	50	2617925	49*	1583932	48	9593477	49	1930772	49
5400	49	3445202	49	1060000	50	2268519	49*	1598904	48	9564132	49	1859587	49
5500	49	3354726	49	1050000	50	1931818	49*	1615112	48	9534503	49	1793363	49
5600	49	3270955	49	1040000	50	1607143	49*	1632566	48	9504586	49	1731682	49
5700	49	3193371	49	1030000	50	1293860	49*	1651274	48	9474377	49	1674167	49
5800	49	3121507	49	1020000	50	9913790	48*	1671246	48	9443869	49	1620472	49
5900	49	3054935	49	1010000	50	6991530	48*	1692490	48	9413059	49	1570287	49
6000	49	2993265	49	1000000	50	4166670	48*	1715015	48	9381941	49	1523329	49
6100	49	2936142	49	9900000	49	1434430	48*	1738829	48	9350511	49	1479340	49
6200	49	2883239	49	9800000	49	1209680	48	1763941	48	9318763	49	1438086	49
6300	49	2834258	49	9700000	49	3769840	48	1790361	48	9286691	49	1399351	49
6400	49	2788925	49	9600000	49	6250000	48	1818096	48	9254290	49	1362940	49
6500	49	2746988	49	9500000	49	8653850	48	1847156	48	9221554	49	1328673	49
6600	49	2708216	49	9400000	49	1098485	49	1877549	48	9188479	49	1296388	49
6700	49	2672396	49	9300000	49	1324627	49	1909284	48	9155056	49	1265932	49
6800	49	2639332	49	9200000	49	1544118	49	1942370	48	9121281	49	1237169	49
6900	49	2608842	49	9100000	49	1757246	49	1976815	48	9087147	49	1209970	49
7000	49	2580759	49	9000000	49	1964286	49	2012629	48	9052647	49	1184220	49
7500	49	2471415	49	8500000	49	2916667	49	2212525	48	8874428	49	1073715	49
8000	49	2403259	49	8000000	49	3750000	49	2447939	48	8685990	49	9863917	48
8500	49	2365402	49	7500000	49	4485294	49	2719963	48	8486285	49	9149588	48
9000	49	2350136	49	7000000	49	5138889	49	3029689	48	8274094	49	8543865	48
9500	49	2351903	49	6500000	49	5723684	49	3378211	48	8047984	49	8011461	48
1000	50	2366638	49	6000000	49	6250000	49	3766621	48	7806247	49	7527214	48
1050	50	2391322	49	5500000	49	6726190	49	4196012	48	7546831	49	7072884	48
1100	50	2423688	49	5000000	49	7159091	49	4667478	48	7267220	49	6634963	48
1150	50	2462015	49	4500000	49	7554348	49	5182110	48	6964285	49	6203159	48
1200	50	2504984	49	4000000	49	7916667	49	5741001	48	6634034	49	5769240	48
1250	50	2551574	49	3500000	49	8250000	49	6345245	48	6271240	49	5326116	48

Compton Cross Sections vs Energy of Scattered Quantum

16 50= $\gamma$ $\gamma'$		$\sigma_3(\gamma')/\phi_0$		E		w		$\sigma_1(w,\phi)/\phi_0$		w'		$\sigma_4(w',\phi)/\phi_0$	
1300	50	2600991	49	3000000	49	8557692	49	6995934	48	5868810	49	4866964	48
1350	50	2652612	49	2500000	49	8842593	49	7694162	48	5416665	49	4384137	48
1400	50	2705943	49	2000000	49	9107143	49	8441020	48	4899559	49	3867537	48
1450	50	2760598	49	1500000	49	9353448	49	9237603	48	4292198	49	3301211	48
1500	50	2816263	49	1000000	49	9583333	49	1008500	49	3546^42	49	2654417	48
1550	50	2872693	49	5000000	48	9798387	49	1098431	49	2537824	49	1846596	48
1600	50	2929687	49	0000000	00	10000000	50	1193662	49	0000000	00	0000000	00

8

## Compton Cross Sections vs Energy of Scattered Quantum

17 50 = $\gamma$ $\gamma'$		$\sigma_3(\gamma')/\phi_0$		E		w		$\sigma_1(w, \phi)/\phi_0$		w'		$\sigma_4(w', \phi)/\phi_0$	
3863	49	6004246	49	1313636	50	1000000	50*	1426497	48	1000000	50	4159667	49
3900	49	5891916	49	1310000	50	9758673	49*	1426283	48	9991633	49	4069483	49
3950	49	5743304	49	1305000	50	9434103	49*	1426186	48	9980087	49	3950294	49
4000	49	5601136	49	1300000	50	9117647	49*	1426317	48	9968494	49	3836401	49
4100	49	5334810	49	1290000	50	8507891	49*	1427272	48	9945159	49	3623371	49
4200	49	5090499	49	1280000	50	7927171	49*	1429154	48	9921627	49	3428320	49
4300	49	4866058	49	1270000	50	7373461	49*	1431971	48	9897894	49	3249421	49
4400	49	4659588	49	1260000	50	6844920	49*	1435730	48	9873958	49	3085066	49
4500	49	4469407	49	1250000	50	6339869	49*	1440439	48	9849817	49	2933832	49
4600	49	4294021	49	1240000	50	5856777	49*	1446105	48	9825466	49	2794459	49
4700	49	4132098	49	1230000	50	5394243	49*	1452735	48	9800903	49	2665828	49
4800	49	3982450	49	1220000	50	4950980	49*	1460336	48	9776126	49	2546943	49
4900	49	3844013	49	1210000	50	4525810	49*	1468916	48	9751131	49	2436915	49
5000	49	3715832	49	1200000	50	4117647	49*	1478482	48	9725915	49	2334947	49
5100	49	3597049	49	1190000	50	3725490	49*	1489041	48	9700474	49	2240326	49
5200	49	3486893	49	1180000	50	3348416	49*	1500601	48	9674806	49	2152412	49
5300	49	3384664	49	1170000	50	2985572	49*	1513169	48	9648907	49	2070630	49
5400	49	3289734	49	1160000	50	2636166	49*	1526752	48	9622774	49	1994462	49
5500	49	3201532	49	1150000	50	2299465	49*	1541357	48	9596403	49	1923436	49
5600	49	3119538	49	1140000	50	1974790	49*	1556992	48	9569790	49	1857130	49
5700	49	3043282	49	1130000	50	1661507	49*	1573664	48	9542933	49	1795160	49
5800	49	2972336	49	1120000	50	1359026	49*	1591380	48	9515827	49	1737177	49
5900	49	2906308	49	1110000	50	1066800	49*	1610148	48	9488468	49	1682864	49
6000	49	2844843	49	1100000	50	7843140	48*	1629975	48	9460854	49	1631934	49
6100	49	2787613	49	1090000	50	5110900	48*	1650868	48	9432978	49	1584122	49
6200	49	2734320	49	1080000	50	2466790	48*	1672834	48	9404838	49	1539191	49
6300	49	2684691	49	1070000	50	9337000	46	1695881	48	9376430	49	1496921	49
6400	49	2638472	49	1060000	50	2573530	48	1720016	48	9347749	49	1457112	49
6500	49	2595434	49	1050000	50	4977380	48	1745247	48	9318791	49	1419579	49
6600	49	2555364	49	1040000	50	7308380	48	1771580	48	9289550	49	1384156	49
6700	49	2518065	49	1030000	50	9569800	48	1799023	48	9260024	49	1350687	49
6800	49	2483357	49	1020000	50	1176471	49	1827583	48	9230207	49	1319031	49
6900	49	2451073	49	1010000	50	1389599	49	1857268	48	9200094	49	1289056	49
7000	49	2421058	49	1000000	50	1596639	49	1888084	48	9169680	49	1260643	49
7500	49	2300369	49	9500000	49	2549020	49	2059398	48	9012922	49	1138407	49
8000	49	2218846	49	9000000	49	3382353	49	2260098	48	8847836	49	1041719	49
8500	49	2166371	49	8500000	49	4117647	49	2491098	48	8673649	49	9629748	48
9000	49	2135746	49	8000000	49	4771242	49	2753307	48	8489474	49	8968853	48
9500	49	2121758	49	7500000	49	5356037	49	3047637	48	8294268	49	8397130	48
1000	50	2120574	49	7000000	49	5882353	49	3374999	48	8086898	49	7887755	48
1050	50	2129332	49	6500000	49	6358543	49	3736303	48	7865903	49	7421202	48
1100	50	2145870	49	6000000	49	6791444	49	4132462	48	7629635	49	6983036	48
1150	50	2168535	49	5500000	49	7186701	49	4564386	48	7376088	49	6562411	48
1200	50	2196054	49	5000000	49	7549020	49	5032986	48	7102803	49	6150966	48
1250	50	2227433	49	4500000	49	7882353	49	5539173	48	6806722	49	5742030	48
1300	50	2261894	49	4000000	49	8190045	49	6083859	48	6483943	49	5329966	48



## Compton Cross Sections vs Energy of Scattered Quantum

17 50 = $\gamma$ $\gamma'$		$\sigma_3(\gamma')/\phi_0$		E		w		$\sigma_1(w, \phi)/\phi_0$		w'		$\sigma_4(w', \phi)/\phi_0$	
1350	50	2298820	49	3500000	49	8474946	49	6667955	48	6129356	49	4909598	48
1400	50	2337720	49	3000000	49	8739496	49	7292370	48	5736031	49	4475588	48
1450	50	2378202	49	2500000	49	8985801	49	7958018	48	5294118	49	4021591	48
1500	50	2419950	49	2000000	49	9215686	49	8665808	48	4788710	49	3538839	48
1550	50	2462708	49	1500000	49	9430740	49	9416653	48	4195089	49	3013156	48
1600	50	2506270	49	1000000	49	9632353	49	1021146	49	3465813	49	2416918	48
1650	50	2550465	49	5000000	48	9821747	49	1105114	49	2480406	49	1677414	48
1700	50	2595155	49	0000000	00	1000000	50	1193662	49	0000000	00	0000000	00

Compton Cross Sections vs Energy of Scattered Quantum

$1850 = \gamma$		$\sigma_3(\gamma')/\phi_0$		E		w		$\sigma_1(w, \phi)/\phi_0$		w'		$\sigma_4(w', \phi)/\phi_0$	
$\gamma'$													
3913	49	5575684	49	1408695	50	1000000	50*	1358775	48	1000000	50	4261119	49
3950	49	5473562	49	1405000	50	9760900	49*	1359203	48	9992292	49	4170791	49
4000	49	5340506	49	1400000	50	9444444	49*	1359948	48	9981827	49	4053210	49
4100	49	5090901	49	1390000	50	8834688	49*	1362017	48	9960773	49	3832979	49
4200	49	4861490	49	1380000	50	8253968	49*	1364860	48	9939550	49	3630936	49
4300	49	4650318	49	1370000	50	7700258	49*	1368484	48	9918154	49	3445263	49
4400	49	4455658	49	1360000	50	7171717	49*	1372895	48	9896584	49	3274349	49
4500	49	4275977	49	1350000	50	6666666	49*	1378099	48	9874838	49	3116765	49
4600	49	4109913	49	1340000	50	6183574	49*	1384103	48	9852913	49	2971249	49
4700	49	3956251	49	1330000	50	5721040	49*	1390912	48	9830808	49	2836682	49
4800	49	3813907	49	1320000	50	5277777	49*	1398533	48	9808519	49	2712057	49
4900	49	3681909	49	1310000	50	4852607	49*	1406971	48	9786044	49	2596482	49
5000	49	3559384	49	1300000	50	4444444	49*	1416234	48	9763380	49	2489155	49
5100	49	3445550	49	1290000	50	4052287	49*	1426326	48	9740526	49	2389362	49
5200	49	3339698	49	1280000	50	3675213	49*	1437255	48	9717478	49	2296452	49
5300	49	3241190	49	1270000	50	3312369	49*	1449026	48	9694234	49	2209849	49
5400	49	3149450	49	1260000	50	2962963	49*	1461646	48	9670790	49	2129025	49
5500	49	3063953	49	1250000	50	2626262	49*	1475120	48	9647146	49	2053510	49
5600	49	2984224	49	1240000	50	2301587	49*	1489455	48	9623296	49	1982870	49
5700	49	2909832	49	1230000	50	1988304	49*	1504657	48	9599239	49	1916720	49
5800	49	2840382	49	1220000	50	1685823	49*	1520732	48	9574971	49	1854706	49
5900	49	2775516	49	1210000	50	1393597	49*	1537687	48	9550490	49	1796505	49
6000	49	2714906	49	1200000	50	1111111	49*	1555526	48	9525793	49	1741827	49
6100	49	2658251	49	1190000	50	8378870	48*	1574257	48	9500876	49	1690402	49
6200	49	2605276	49	1180000	50	5734760	48*	1593886	48	9475736	49	1641988	49
6300	49	2555730	49	1170000	50	3174600	48*	1614418	48	9450370	49	1596362	49
6400	49	2509379	49	1160000	50	6944400	47*	1635861	48	9424774	49	1553318	49
6500	49	2466011	49	1150000	50	1709410	48	1658219	48	9398946	49	1512670	49
6600	49	2425430	49	1140000	50	4040410	48	1681499	48	9372881	49	1474247	49
6700	49	2387454	49	1130000	50	6301830	48	1705708	48	9346576	49	1437889	49
6800	49	2351916	49	1120000	50	8496740	48	1730851	48	9320028	49	1403451	49
6900	49	2318662	49	1110000	50	1062802	49	1756935	48	9293232	49	1370800	49
7000	49	2287549	49	1100000	50	1269842	49	1783966	48	9266186	49	1339812	49
7500	49	2159779	49	1050000	50	2222223	49	1933535	48	9127046	49	1206114	49
8000	49	2069222	49	1000000	50	3055556	49	2107693	48	8981004	49	1100078	49
8500	49	2006452	49	9500000	49	3790850	49	2307208	48	8827471	49	1013813	49
9000	49	1964734	49	9000000	49	4444445	49	2532847	48	8665782	49	9417957	48
9500	49	1939175	49	8500000	49	5029240	49	2785379	48	8495179	49	8800925	48
1000	50	1926154	49	8000000	49	5555556	49	3065570	48	8314794	49	8258624	48
1050	50	1922961	49	7500000	49	6031746	49	3374187	48	8123623	49	7770246	48
1100	50	1927536	49	7000000	49	6464647	49	3712000	48	7920500	49	7320347	48
1150	50	1938297	49	6500000	49	6859904	49	4079775	48	7704052	49	6897321	48
1200	50	1954018	49	6000000	49	7222223	49	4478280	48	7472646	49	6492302	48
1250	50	1973736	49	5500000	49	7555556	49	4908280	48	7224316	49	6098392	48
1300	50	1996694	49	5000000	49	7863248	49	5370546	48	6956655	49	5710068	48
1350	50	2022287	49	4500000	49	8148149	49	5865845	48	6666665	49	5322709	48

Compton Cross Sections vs Energy of Scattered Quantum

$18 \ 50 = \gamma$		$\sigma_3(\gamma')/\phi_0$		E		w		$\sigma_1(w, \phi)/\phi_0$		w'		$\sigma_4(w', \phi)/\phi_0$	
$\gamma'$													
1400	50	2050031	49	4000000	49	8412699	49	6394943	48	6350528	49	4932213	48
1450	50	2079535	49	3500000	49	8659004	49	6958608	48	6003238	49	4534575	48
1500	50	2110482	49	3000000	49	8888889	49	7557608	48	5618006	49	4125425	48
1550	50	2142614	49	2500000	49	9103943	49	8192710	48	5185184	49	3699323	48
1600	50	2175720	49	2000000	49	9305556	49	8864683	48	4690175	49	3248527	48
1650	50	2209625	49	1500000	49	9494950	49	9574293	48	4108769	49	2760300	48
1700	50	2244185	49	1000000	49	9673203	49	1032230	49	3394498	49	2209642	48
1750	50	2279281	49	5000000	48	9841270	49	1110949	49	2429368	49	1530552	48
1800	50	2314814	49	0000000	00	1000000	50	1193662	49	0000000	00	0000000	00

Compton Cross Sections vs Energy of Scattered Quantum

$10^5 \gamma'$	$50 = \gamma$	$\sigma_3(\gamma')/\phi_0$		E	w	$\sigma_1(w, \phi)/\phi_0$		w'	$\sigma_4(w', \phi)/\phi_0$				
3958	49	5202562	49	1504166	50	1000000	50*	1297364	48	1000000	50	4364335	49
4000	49	5098948	49	1500000	50	9736842	49*	1298436	48	9992082	49	4263870	49
4100	49	4864584	49	1490000	50	9127086	49*	1301468	48	9972977	49	4036945	49
4200	49	4648822	49	1480000	50	8546366	49*	1305153	48	9953725	49	3828410	49
4300	49	4449874	49	1470000	50	7992656	49*	1309497	48	9934324	49	3636440	49
4400	49	4266161	49	1460000	50	7464115	49*	1314506	48	9914772	49	3459421	49
4500	49	4096277	49	1450000	50	6959064	49*	1320184	48	9895069	49	3295927	49
4600	49	3938977	49	1440000	50	6475972	49*	1326536	48	9875211	49	3144691	49
4700	49	3793146	49	1430000	50	6013438	49*	1333569	48	9855198	49	3004586	49
4800	49	3657791	49	1420000	50	5570175	49*	1341286	48	9835025	49	2874602	49
4900	49	3532018	49	1410000	50	5145005	49*	1349693	48	9814693	49	2753846	49
5000	49	3415029	49	1400000	50	4736842	49*	1358796	48	9794199	49	2641511	49
5100	49	3306102	49	1390000	50	4344685	49*	1368600	48	9773541	49	2536873	49
5200	49	3204587	49	1380000	50	3967611	49*	1379110	48	9752716	49	2439284	49
5300	49	3109899	49	1370000	50	3604767	49*	1390331	48	9731722	49	2348158	49
5400	49	3021505	49	1360000	50	3255361	49*	1402268	48	9710558	49	2262963	49
5500	49	2938925	49	1350000	50	2918660	49*	1414926	48	9689221	49	2183223	49
5600	49	2861719	49	1340000	50	2593985	49*	1428312	48	9667708	49	2108504	49
5700	49	2789490	49	1330000	50	2280702	49*	1442429	48	9646018	49	2038415	49
5800	49	2721875	49	1320000	50	1978221	49*	1457284	48	9624148	49	1972595	49
5900	49	2658543	49	1310000	50	1685995	49*	1472881	48	9602096	49	1910721	49
6000	49	2599191	49	1300000	50	1403509	49*	1489226	48	9579858	49	1852493	49
6100	49	2543541	49	1290000	50	1130285	49*	1506324	48	9557434	49	1797642	49
6200	49	2491339	49	1280000	50	8658740	48*	1524180	48	9534818	49	1745919	49
6300	49	2442352	49	1270000	50	6098580	48*	1542799	48	9512011	49	1697100	49
6400	49	2396365	49	1260000	50	3618420	48*	1562187	48	9489009	49	1650975	49
6500	49	2353181	49	1250000	50	1214570	48*	1582349	48	9465808	49	1607352	49
6600	49	2312618	49	1240000	50	1116430	48	1603289	48	9442407	49	1566059	49
6700	49	2274508	49	1230000	50	3377850	48	1625014	48	9418802	49	1526931	49
6800	49	2238696	49	1220000	50	5572760	48	1647529	48	9394991	49	1489822	49
6900	49	2205037	49	1210000	50	7704040	48	1670838	48	9370970	49	1454594	49
7000	49	2173401	49	1200000	50	9774440	48	1694946	48	9346737	49	1421121	49
7500	49	2041529	49	1150000	50	1929825	49	1827672	48	9222274	49	1276280	49
8000	49	1945017	49	1100000	50	2763158	49	1981178	48	9092009	49	1161015	49
8500	49	1875056	49	1050000	50	3498452	49	2156116	48	8955485	49	1067172	49
9000	49	1825336	49	1000000	50	4152047	49	2353141	48	8812188	49	9890094	48
9500	49	1791250	49	9500000	49	4736842	49	2572903	48	8661541	49	9224158	48
1000	50	1769381	49	9000000	49	5263158	49	2816057	48	8502891	49	8644011	48
1050	50	1757157	49	8500000	49	5739348	49	3083254	48	8335495	49	8127615	48
1100	50	1752617	49	8000000	49	6172249	49	3375147	48	8158501	49	7658522	48
1150	50	1754250	49	7500000	49	6567506	49	3692388	48	7970924	49	7224319	48
1200	50	1760876	49	7000000	49	6929825	49	4035631	48	7771619	49	6815523	48
1250	50	1771567	49	6500000	49	7263158	49	4405527	48	7559240	49	6424790	48
1300	50	1785588	49	6000000	49	7570850	49	4802731	48	7332184	49	6046344	48
1350	50	1802349	49	5500000	49	7855751	49	5227893	48	7088520	49	5675527	48
1400	50	1821376	49	5000000	49	8120301	49	5681667	48	6825891	49	5308481	48

Compton Cross Sections vs Energy of Scattered Quantum

$19 \ 50 = \gamma$ $\gamma'$		$\sigma_s(\gamma')/\phi_0$		E		w		$\sigma_1(w, \phi)/\phi_0$		w'		$\sigma_4(w', \phi)/\phi_0$	
1450	50	1842282	49	4500000	49	8366606	49	6164704	48	6541353	49	4941824	48
1500	50	1864754	49	4000000	49	8596491	49	6677659	48	6231158	49	4572401	48
1550	50	1888534	49	3500000	49	8811545	49	7221184	48	5890395	49	4196976	48
1600	50	1913409	49	3000000	49	9013158	49	7795931	48	5512404	49	3811851	48
1650	50	1939202	49	2500000	49	9202552	49	8402552	48	5087718	49	3412264	48
1700	50	1965767	49	2000000	49	9380805	49	9041700	48	4602015	49	2991278	48
1750	50	1992981	49	1500000	49	9548872	49	9714029	48	4031539	49	2537361	48
1800	50	2020740	49	1000000	49	9707602	49	1042019	49	3330695	49	2027755	48
1850	50	2048958	49	5000000	48	9857753	49	1116083	49	2383700	49	1402244	48
1900	50	2077562	49	0000000	00	1000000	50	1193662	49	0000000	00	0000000	00

Compton Cross Sections vs Energy of Scattered Quantum

$z_0$	$50 = \gamma$	$\sigma_3(\gamma')/\phi_0$		E		w	$\sigma_1(w, \phi)/\phi_0$		w'	$\sigma_4(w', \phi)/\phi_0$			
$\gamma'$													
4000	49	4875000	49	1600000	50	1000000	50*	1241408	48	1000000	50	4469070	49
4000	49	4875000	49	1600000	50	1000000	50*	1241408	48	1000000	50	4469070	49
4100	49	4654514	49	1590000	50	9390244	49*	1245266	48	9982575	49	4235876	49
4200	49	4451233	49	1580000	50	8809524	49*	1249680	48	9965022	49	4021259	49
4300	49	4263513	49	1570000	50	8255814	49*	1254656	48	9947340	49	3823389	49
4400	49	4089901	49	1560000	50	7727273	49*	1260196	48	9929526	49	3640650	49
4500	49	3929108	49	1550000	50	7222222	49*	1266307	48	9911580	49	3471612	49
4600	49	3779985	49	1540000	50	6739130	49*	1272992	48	9893500	49	3315005	49
4700	49	3641508	49	1530000	50	6276596	49*	1280257	48	9875284	49	3169700	49
4800	49	3512760	49	1520000	50	5833333	49*	1288104	48	9856931	49	3034681	49
4900	49	3392920	49	1510000	50	5408163	49*	1296540	48	9838438	49	2909052	49
5000	49	3281250	49	1500000	50	5000000	49*	1305567	48	9819805	49	2792002	49
5100	49	3177085	49	1490000	50	4607843	49*	1315192	48	9801029	49	2682803	49
5200	49	3079826	49	1480000	50	4230769	49*	1325418	48	9782109	49	2580803	49
5300	49	2988931	49	1470000	50	3867925	49*	1336250	48	9763042	49	2485407	49
5400	49	2903909	49	1460000	50	3518519	49*	1347692	48	9743828	49	2396086	49
5500	49	2824315	49	1450000	50	3181818	49*	1359749	48	9724465	49	2312357	49
5600	49	2749745	49	1440000	50	2857143	49*	1372424	48	9704949	49	2233778	49
5700	49	2679828	49	1430000	50	2543860	49*	1385724	48	9685280	49	2159956	49
5800	49	2614231	49	1420000	50	2241379	49*	1399652	48	9665456	49	2090529	49
5900	49	2552646	49	1410000	50	1949153	49*	1414212	48	9645475	49	2025165	49
6000	49	2494791	49	1400000	50	1666667	49*	1429410	48	9625334	49	1963566	49
6250	49	2364843	49	1375000	50	1000000	49*	1470221	48	9574271	49	1824287	49
6500	49	2253189	49	1350000	50	3846150	48*	1515111	48	9522165	49	1703180	49
6750	49	2157005	49	1325000	50	1851850	48	1564151	48	9468983	49	1597259	49
7000	49	2073979	49	1300000	50	7142860	48	1617412	48	9414688	49	1504097	49
7250	49	2002206	49	1275000	50	1206897	49	1674962	48	9359242	49	1421705	49
7500	49	1940104	49	1250000	50	1666667	49	1736871	48	9302605	49	1348447	49
7750	49	1886352	49	1225000	50	2096774	49	1803210	48	9244734	49	1282964	49
8000	49	1839843	49	1200000	50	2500000	49	1874049	48	9185586	49	1224123	49
8250	49	1799640	49	1175000	50	2878788	49	1949457	48	9125114	49	1170979	49
8500	49	1764949	49	1150000	50	3235294	49	2029505	48	9063269	49	1122731	49
8750	49	1735092	49	1125000	50	3571429	49	2114262	48	8999999	49	1078705	49
9000	49	1709490	49	1100000	50	3888889	49	2203798	48	8935250	49	1038327	49
9250	49	1687645	49	1075000	50	4189189	49	2298184	48	8868964	49	1001110	49
9500	49	1669126	49	1050000	50	4473684	49	2397488	48	8801080	49	9666350	48
9750	49	1653561	49	1025000	50	4743590	49	2501782	48	8731533	49	9345426	48
1000	50	1640625	49	1000000	50	5000000	49	2611135	48	8660254	49	9045238	48
1100	50	1610020	49	9000000	49	5909091	49	3100537	48	8356290	49	8003475	48
1200	50	1604166	49	8000000	49	6666667	49	3676479	48	8017837	49	7132805	48
1300	50	1614829	49	7000000	49	7307692	49	4343437	48	7637626	49	6359900	48
1400	50	1636798	49	6000000	49	7857143	49	5105889	48	7205766	49	5639748	48
1500	50	1666666	49	5000000	49	8333333	49	5968310	48	6708204	49	4942796	48
1600	50	1702148	49	4000000	49	8750000	49	6935176	48	6123724	49	4246911	48
1700	50	1741673	49	3000000	49	9117647	49	8010964	48	5417363	49	3530596	48
1800	50	1784143	49	2000000	49	9444444	49	9200149	48	4522671	49	2762535	48

Compton Cross Sections vs Energy of Scattered Quantum

20 $\gamma'$	50= $\gamma$	$\sigma_3(\gamma')/\phi_0$	E	w	$\sigma_1(w, \phi)/\phi_0$	w'	$\sigma_4(w', \phi)/\phi_0$
1900	50	1828774 49	1000000 49	9736842 49	1050721 49	3273269 49	1867316 48
2000	50	1875000 49	0000000 00	1000000 50	1193662 49	0000000 00	0000000 00

Compton Cross Sections vs Energy of Scattered Quantum

$25 \gamma'$	$50 = \gamma$	$\sigma_3(\gamma')/\phi_0$		E		w		$\sigma_1(w, \phi)/\phi_0$		w'		$\sigma_4(w', \phi)/\phi_0$	
4166	49	3700000	49	2083333	50	1000000	50*	1022349	48	1000000	50	5009512	49
4200	49	3649589	49	2080000	50	9809524	49*	1024619	48	9996077	49	4931256	49
4300	49	3505592	49	2070000	50	9255814	49*	1031617	48	9984262	49	4707932	49
4400	49	3371682	49	2060000	50	8727273	49*	1038896	48	9972375	49	4500506	49
4500	49	3246963	49	2050000	50	8222222	49*	1046459	48	9960415	49	4307534	49
4600	49	3130634	49	2040000	50	7739130	49*	1054309	48	9948381	49	4127729	49
4700	49	3021982	49	2030000	50	7276596	49*	1062448	48	9936273	49	3959949	49
4800	49	2920366	49	2020000	50	6833333	49*	1070878	48	9924089	49	3803158	49
4900	49	2825211	49	2010000	50	6408163	49*	1079601	48	9911830	49	3656435	49
5000	49	2736000	49	2000000	50	6000000	49*	1088619	48	9899494	49	3518950	49
5100	49	2652263	49	1990000	50	5607843	49*	1097936	48	9887081	49	3389958	49
5200	49	2573581	49	1980000	50	5230769	49*	1107553	48	9874590	49	3268791	49
5300	49	2499568	49	1970000	50	4867925	49*	1117472	48	9862020	49	3154832	49
5400	49	2429879	49	1960000	50	4518519	49*	1127697	48	9849370	49	3047526	49
5500	49	2364198	49	1950000	50	4181818	49*	1138228	48	9836640	49	2946381	49
5600	49	2302236	49	1940000	50	3857143	49*	1149069	48	9823828	49	2850932	49
5700	49	2243732	49	1930000	50	3543860	49*	1160221	48	9810935	49	2760773	49
5800	49	2188446	49	1920000	50	3241379	49*	1171688	48	9797959	49	2675516	49
5900	49	2136157	49	1910000	50	2949153	49*	1183470	48	9784898	49	2594821	49
6000	49	2086666	49	1900000	50	2666667	49*	1195571	48	9771754	49	2518367	49
6250	49	1974000	49	1875000	50	2000000	49*	1227233	48	9738516	49	2343945	49
6500	49	1875195	49	1850000	50	1384615	49*	1260936	48	9704731	49	2190358	49
6750	49	1788205	49	1825000	50	8148150	48*	1296716	48	9670384	49	2054414	49
7000	49	1711346	49	1800000	50	2857140	48*	1334609	48	9635460	49	1933489	49
7250	49	1643222	49	1775000	50	2068970	48	1374651	48	9599944	49	1825421	49
7500	49	1582666	49	1750000	50	6666670	48	1416876	48	9563820	49	1728412	49
7750	49	1528701	49	1725000	50	1096774	49	1461322	48	9527072	49	1640963	49
8000	49	1480500	49	1700000	50	1500000	49	1508024	48	9489681	49	1561807	49
8250	49	1437360	49	1675000	50	1878788	49	1557018	48	9451631	49	1489880	49
8500	49	1398685	49	1650000	50	2235294	49	1608340	48	9412903	49	1424274	49
8750	49	1363959	49	1625000	50	2571429	49	1662025	48	9373477	49	1364213	49
9000	49	1332740	49	1600000	50	2888889	49	1718109	48	9333333	49	1309035	49
9250	49	1304647	49	1575000	50	3189189	49	1776628	48	9292451	49	1258170	49
9500	49	1279346	49	1550000	50	3473684	49	1837618	48	9250808	49	1211124	49
9750	49	1256548	49	1525000	50	3743590	49	1901115	48	9208383	49	1167468	49
1000	50	1236000	49	1500000	50	4000000	49	1967155	48	9165151	49	1126829	49
1100	50	1172231	49	1400000	50	4909091	49	2257453	48	8983645	49	9885255	48
1200	50	1130666	49	1300000	50	5666667	49	2591297	48	8787042	49	8785553	48
1300	50	1104568	49	1200000	50	6307692	49	2970977	48	8573214	49	7874085	48
1400	50	1089551	49	1100000	50	6857143	49	3398785	48	8339567	49	7090525	48
1500	50	1082666	49	1000000	50	7333333	49	3877014	48	8082904	49	6395415	48
1600	50	1081875	49	9000000	49	7750000	49	4407955	48	7799204	49	5762187	48
1700	50	1085730	49	8000000	49	8117647	49	4993899	48	7483314	49	5172446	48
1800	50	1093185	49	7000000	49	8444444	49	5637140	48	7128451	49	4612970	48
1900	50	1103468	49	6000000	49	8736842	49	6339969	48	6725382	49	4073686	48
2000	50	1116000	49	5000000	49	9000000	49	7104676	48	6260990	49	3546102	48



## Compton Cross Sections vs Energy of Scattered Quantum

$25 = \gamma$		$50 = \gamma$		E		w		$\sigma_1(w, \phi) / \phi_0$		w'		$\sigma_4(w', \phi) / \phi_0$	
25	50	$\sigma_3(\gamma') / \phi_0$		E		w		$\sigma_1(w, \phi) / \phi_0$		w'		$\sigma_4(w', \phi) / \phi_0$	
$\gamma'$	$\gamma'$												
2100	50	1130340	49	4000000	49	9238095	49	7933555	48	5715476	49	3021678	48
2200	50	1146148	49	3000000	49	9454545	49	8828896	48	5056207	49	2489348	48
2300	50	1163160	49	2000000	49	9652174	49	9792994	48	4221158	49	1929659	48
2400	50	1181166	49	1000000	49	9833333	49	1082813	49	3055053	49	1292209	48
2500	50	1200000	49	0000000	00	1000000	50	1193662	49	0000000	00	0000000	00

Compton Cross Sections vs Energy of Scattered Quantum

30 $\gamma'$	50= $\gamma$	$\sigma_3(\gamma')/\phi_0$		E	w	$\sigma_1(w, \phi)/\phi_0$		w'	$\sigma_4(w', \phi)/\phi_0$				
4285	49	2976190	49	2571428	50	1000000	50*	8700160	47	1000000	50	5568102	49
4300	49	2960264	49	2570000	50	9922481	49*	8711390	47	9998784	49	5534172	49
4400	49	2853045	49	2560000	50	9393940	49*	8790917	47	9990248	49	5305876	49
4500	49	2752829	49	2550000	50	8888889	49*	8872059	47	9981668	49	5092697	49
4600	49	2659019	49	2540000	50	8405797	49*	8954828	47	9973042	49	4893324	49
4700	49	2571083	49	2530000	50	7943263	49*	9039241	47	9964371	49	4706577	49
4800	49	2488541	49	2520000	50	7500000	49*	9125307	47	9955653	49	4531421	49
4900	49	2410964	49	2510000	50	7074830	49*	9213042	47	9946890	49	4366907	49
5000	49	2337963	49	2500000	50	6666667	49*	9302459	47	9938079	49	4212190	49
5100	49	2269186	49	2490000	50	6274510	49*	9393570	47	9929222	49	4066502	49
5200	49	2204317	49	2480000	50	5897436	49*	9486388	47	9920317	49	3929149	49
5300	49	2143067	49	2470000	50	5534592	49*	9580929	47	9911364	49	3799503	49
5400	49	2085173	49	2460000	50	5185186	49*	9677204	47	9902363	49	3677003	49
5500	49	2030398	49	2450000	50	4848485	49*	9775226	47	9893313	49	3561113	49
5600	49	1978524	49	2440000	50	4523810	49*	9875011	47	9884214	49	3451376	49
5700	49	1929351	49	2430000	50	4210527	49*	9976567	47	9875066	49	3347354	49
5800	49	1882698	49	2420000	50	3908046	49*	1007991	48	9865867	49	3248653	49
5900	49	1838397	49	2410000	50	3615820	49*	1018506	48	9856618	49	3154910	49
6000	49	1796296	49	2400000	50	3333334	49*	1029202	48	9847319	49	3065799	49
6250	49	1699768	49	2375000	50	2666667	49*	1056744	48	9823845	49	2861345	49
6500	49	1614220	49	2350000	50	2051282	49*	1085449	48	9800044	49	2679858	49
66	6750	1538080	49	2325000	50	1481482	49*	1115338	48	9775909	49	2517972	49
7000	49	1470049	49	2300000	50	9523810	48*	1146431	48	9751432	49	2372902	49
7250	49	1409046	49	2275000	50	4597700	48*	1178749	48	9726607	49	2242340	49
7500	49	1354166	49	2250000	50	0000000		1212313	48	9701425	49	2124360	49
7750	49	1304646	49	2225000	50	4301070	48	1247143	48	9675878	49	2017339	49
8000	49	1259837	49	2200000	50	8333330	48	1283260	48	9649958	49	1919912	49
8250	49	1219190	49	2175000	50	1212121	49	1320685	48	9623656	49	1830911	49
8500	49	1182229	49	2150000	50	1568627	49	1359439	48	9596965	49	1749341	49
8750	49	1148549	49	2125000	50	1904762	49	1399542	48	9569874	49	1674351	49
9000	49	1117798	49	2100000	50	2222222	49	1441015	48	9542374	49	1605204	49
9250	49	1089669	49	2075000	50	2522522	49	1483879	48	9514456	49	1541264	49
9500	49	1063897	49	2050000	50	2807017	49	1528154	48	9486109	49	1481974	49
9750	49	1040249	49	2025000	50	3076923	49	1573862	48	9457325	49	1426855	49
10000	50	1018518	49	2000000	50	3333333	49	1621022	48	9428090	49	1375483	49
11000	50	9474670	48	1900000	50	4242424	49	1824608	48	9306432	49	1200657	49
12000	50	8958333	48	1800000	50	5000000	49	2053098	48	9176629	49	1062723	49
13000	50	8580154	48	1700000	50	5641025	49	2307820	48	9037792	49	9503941	48
14000	50	8303098	48	1600000	50	6190476	49	2590099	48	8888889	49	8563186	48
15000	50	8101851	48	1500000	50	6666666	49	2901261	48	8728715	49	7755566	48
16000	50	7958622	48	1400000	50	7083333	49	3242634	48	8555852	49	7046960	48
17000	50	7860598	48	1300000	50	7450980	49	3615543	48	8368612	49	6413272	48
18000	50	7798353	48	1200000	50	7777777	49	4021314	48	8164966	49	5837139	48
19000	50	7764824	48	1100000	50	8070175	49	4461275	48	7942445	49	5305815	48
20000	50	7754629	48	1000000	50	8333333	49	4936750	48	7698004	49	4809772	48
21000	50	7763604	48	9000000	49	8571428	49	5449067	48	7427814	49	4341735	48

Compton Cross Sections vs Energy of Scattered Quantum

$30 \leq \gamma \leq 50$		$\sigma_s(\gamma')/\phi_0$		E		w		$\sigma_1(w, \phi)/\phi_0$		$w'$		$\sigma_4(w', \phi)/\phi_0$	
$\gamma'$													
2200	50	7788490	48	8000000	49	8787878	49	5999551	48	7126967	49	3895982	48
2300	50	7826699	48	7000000	49	8985507	49	6589530	48	6789001	49	3467806	48
2400	50	7876157	48	6000000	49	9166666	49	7220328	48	6405127	49	3053034	48
2500	50	7935184	48	5000000	49	9333333	49	7893274	48	5962848	49	2647486	48
2600	50	8002410	48	4000000	49	9487179	49	8609693	48	5443312	49	2246205	48
2700	50	8076702	48	3000000	49	9629629	49	9370909	48	4815437	49	1841910	48
2800	50	8157123	48	2000000	49	9761904	49	1017825	49	4020156	49	1420916	48
2900	50	8242887	48	1000000	49	9885057	49	1103304	49	2909577	49	9468709	47
3000	50	8333333	48	0000000	00	1000000	50	1193662	49	0000000	00	0000000	00

Compton Cross Sections vs Energy of Scattered Quantum

$35$ $\gamma'$	$50 = \gamma$	$\sigma_3(\gamma')/\phi_0$	E	w	$\sigma_1(w, \phi)/\phi_0$	w'	$\sigma_4(w', \phi)/\phi_0$						
4375	49	2487244	49	3062500	50	1000000	50*	7576956	47	1000000	50	6137334	49
4400	49	2465649	49	3060000	50	9870130	49*	7597257	47	9998386	49	6077061	49
4500	49	2382672	49	3050000	50	9365079	49*	7679085	47	9991914	49	5845876	49
4600	49	2304802	49	3040000	50	8881987	49*	7761925	47	9985412	49	5628495	49
4700	49	2231622	49	3030000	50	8419453	49*	7845786	47	9978879	49	5424622	49
4800	49	2162756	49	3020000	50	7976190	49*	7930678	47	9972317	49	5232894	49
4900	49	2097868	49	3010000	50	7551020	49*	8016604	47	9965724	49	5052357	49
5000	49	2036651	49	3000000	50	7142857	49*	8103577	47	9959100	49	4882113	49
5100	49	1978830	49	2990000	50	6750700	49*	8191606	47	9952445	49	4721398	49
5200	49	1924154	49	2980000	50	6373626	49*	8280695	47	9945759	49	4569495	49
5300	49	1872397	49	2970000	50	6010782	49*	8370855	47	9939041	49	4425747	49
5400	49	1823350	49	2960000	50	5661376	49*	8462093	47	9932292	49	4289572	49
5500	49	1776826	49	2950000	50	5324675	49*	8554421	47	9925511	49	4160444	49
5600	49	1732653	49	2940000	50	5000000	49*	8647842	47	9918697	49	4037860	49
5700	49	1690671	49	2930000	50	4686717	49*	8742369	47	9911852	49	3921382	49
5800	49	1650738	49	2920000	50	4384236	49*	8838008	47	9904974	49	3810600	49
5900	49	1612720	49	2910000	50	4092010	49*	8934767	47	9898063	49	3705129	49
6000	49	1576496	49	2900000	50	3809524	49*	9032656	47	9891118	49	3604635	49
6250	49	1493065	49	2875000	50	3142857	49*	9282372	47	9873612	49	3373149	49
6500	49	1418636	49	2850000	50	2527472	49*	9539329	47	9855894	49	3166516	49
6750	49	1351949	49	2825000	50	1957672	49*	9803654	47	9837959	49	2981200	49
7000	49	1291961	49	2800000	50	1428571	49*	1007548	48	9819805	49	2814272	49
7250	49	1237802	49	2775000	50	9359600	48*	1035494	48	9801426	49	2663292	49
7500	49	1188740	49	2750000	50	4761900	48*	1064216	48	9782818	49	2526209	49
7750	49	1144156	49	2725000	50	4608300	47*	1093727	48	9763978	49	2401304	49
8000	49	1103524	49	2700000	50	3571430	48	1124040	48	9744900	49	2287108	49
8250	49	1066394	49	2675000	50	7359310	48	1155169	48	9725581	49	2182366	49
8500	49	1032379	49	2650000	50	1092437	49	1187127	48	9706014	49	2086012	49
8750	49	1001145	49	2625000	50	1428572	49	1219925	48	9686196	49	1997124	49
9000	49	9724035	48	2600000	50	1746032	49	1253578	48	9666121	49	1914898	49
9250	49	9459013	48	2575000	50	2046332	49	1288099	48	9645784	49	1838641	49
9500	49	9214184	48	2550000	50	2330827	49	1323500	48	9625179	49	1767744	49
9750	49	8987611	48	2525000	50	2600733	49	1359795	48	9604303	49	1701682	49
1000	50	8777593	48	2500000	50	2857143	49	1396997	48	9583148	49	1639985	49
1100	50	8075354	48	2400000	50	3766234	49	1555131	48	9495629	49	1429295	49
1200	50	7543385	48	2300000	50	4523810	49	1728816	48	9403167	49	1262724	49
1300	50	7134157	48	2200000	50	5164835	49	1918887	48	9305316	49	1127466	49
1400	50	6815910	48	2100000	50	5714286	49	2126180	48	9201575	49	1015043	49
1500	50	6566708	48	2000000	50	6190476	49	2351529	48	9091372	49	9196621	48
1600	50	6370978	48	1900000	50	6607143	49	2595770	48	8974059	49	8372505	48
1700	50	6217392	48	1800000	50	6974790	49	2859737	48	8848892	49	7648839	48
1800	50	6097536	48	1700000	50	7301587	49	3144267	48	8715013	49	7004177	48
1900	50	6005046	48	1600000	50	7593985	49	3450195	48	8571428	49	6422524	48
2000	50	5935027	48	1500000	50	7857143	49	3778355	48	8416975	49	5891773	48
2100	50	5883659	48	1400000	50	8095238	49	4129583	48	8250286	49	5402634	48
2200	50	5847925	48	1300000	50	8311688	49	4504714	48	8069733	49	4947891	48

## Compton Cross Sections vs Energy of Scattered Quantum

35 $\gamma'$	50= $\gamma$	$\sigma_s(\gamma')/\phi_0$		E		w	$\sigma_1(w, \phi)/\phi_0$		w'	$\sigma_4(w', \phi)/\phi_0$			
2300	50	5825408	48	12000000	50	8509317	49	4904584	48	7873359	49	4521864	48
2400	50	5814157	48	11000000	50	8690476	49	5330026	48	7658786	49	4120039	48
2500	50	5812578	48	10000000	50	8857143	49	5781878	48	7423074	49	3738748	48
2600	50	5819358	48	9000000	49	9010989	49	6260973	48	7162534	49	3374962	48
2700	50	5833406	48	8000000	49	9153439	49	6768148	48	6872432	49	3026077	48
2800	50	5853811	48	7000000	49	9285714	49	7304237	48	6546537	49	2689733	48
2900	50	5879803	48	6000000	49	9408867	49	7870076	48	6176371	49	2363601	48
3000	50	5910732	48	5000000	49	9523810	49	8466500	48	5749887	49	2045085	48
3100	50	5946039	48	4000000	49	9631336	49	9094342	48	5248908	49	1730815	48
3200	50	5985250	48	3000000	49	9732143	49	9754441	48	4643453	49	1415501	48
3300	50	6027952	48	2000000	49	9826840	49	1044763	49	3876572	49	1088915	48
3400	50	6073788	48	1000000	49	9915966	49	1117474	49	2805664	49	7235449	47
3500	50	6122449	48	0000000	00	10000000	50	1193662	49	0000000	00	0000000	00

Compton Cross Sections vs Energy of Scattered Quantum

40 $\gamma'$	50 = $\gamma$	$\sigma_3(\gamma')/\phi_0$	E	w	$\sigma_1(w, \phi)/\phi_0$	w'	$\sigma_4(w', \phi)/\phi_0$
4444	49	2135416 49	3555555 50	1000000 50*	6713325 47	1000000 50	6713325 49
4600	49	2030687 49	3540000 50	9239130 49*	6838784 47	9992099 49	6343364 49
4800	49	1909635 49	3520000 50	8333333 49*	7002499 47	9981867 49	5916163 49
5000	49	1801757 49	3500000 50	7500000 49*	7168966 47	9971550 49	5535850 49
5200	49	1705157 49	3480000 50	6730769 49*	7338231 47	9961147 49	5195596 49
5400	49	1618273 49	3460000 50	6018519 49*	7510339 47	9950656 49	4889782 49
5600	49	1539807 49	3440000 50	5357143 49*	7685333 47	9940077 49	4613749 49
5800	49	1468677 49	3420000 50	4741379 49*	7863259 47	9929409 49	4363639 49
6000	49	1403971 49	3400000 50	4166667 49*	8044163 47	9918650 49	4136176 49
6200	49	1344916 49	3380000 50	3629032 49*	8228088 47	9907799 49	3928592 49
6400	49	1290857 49	3360000 50	3125000 49*	8415078 47	9896856 49	3738567 49
6600	49	1241229 49	3340000 50	2651515 49*	8605180 47	9885818 49	3564077 49
6800	49	1195549 49	3320000 50	2205882 49*	8798438 47	9874684 49	3403411 49
7000	49	1153400 49	3300000 50	1785714 49*	8994896 47	9863454 49	3255071 49
7200	49	1114417 49	3280000 50	1388889 49*	9194599 47	9852126 49	3117782 49
7400	49	1078283 49	3260000 50	1013514 49*	9397593 47	9840698 49	2990409 49
7600	49	1044723 49	3240000 50	6578950 48*	9603921 47	9829170 49	2871976 49
7800	49	1013492 49	3220000 50	3205130 48*	9813629 47	9817540 49	2761621 49
8000	49	9843750 48	3200000 50	0000000 48	1002676 48	9805806 49	2658585 49
8200	49	9571824 48	3180000 50	3048780 48	1024336 48	9793968 49	2562198 49
8400	49	9317456 48	3160000 50	5952380 48	1046347 48	9782023 49	2471869 49
8600	49	9079144 48	3140000 50	8720930 48	1068715 48	9769971 49	2387065 49
8800	49	8855549 48	3120000 50	1136364 49	1091442 48	9757809 49	2307321 49
9000	49	8645471 48	3100000 50	1388889 49	1114535 48	9745536 49	2232210 49
9200	49	8447834 48	3080000 50	1630435 49	1137997 48	9733152 49	2161355 49
9400	49	8261668 48	3060000 50	1861702 49	1161832 48	9720653 49	2094423 49
9600	49	8086100 48	3040000 50	2083333 49	1186046 48	9708039 49	2031103 49
9800	49	7920340 48	3020000 50	2295918 49	1210643 48	9695308 49	1971119 49
1000	50	7763671 48	3000000 50	2500000 49	1235626 48	9682458 49	1914224 49
1100	50	7095896 48	2900000 50	3409091 49	1366509 48	9616365 49	1668823 49
1200	50	6578775 48	2800000 50	4166667 49	1507744 48	9547032 49	1473995 49
1300	50	6171239 48	2700000 50	4807692 49	1659889 48	9474209 49	1315562 49
1400	50	5845623 48	2600000 50	5357143 49	1823505 48	9397617 49	1184034 49
1500	50	5582682 48	2500000 50	5833333 49	1999150 48	9316950 49	1072857 49
1600	50	5368652 48	2400000 50	6250000 49	2187385 48	9231861 49	9773721 48
1700	50	5193454 48	2300000 50	6617647 49	2388769 48	9141968 49	8941968 48
1800	50	5049551 48	2200000 50	6944444 49	2603861 48	9046836 49	8208207 48
1900	50	4931207 48	2100000 50	7236842 49	2833222 48	8945976 49	7553510 48
2000	50	4833984 48	2000000 50	7500000 49	3077410 48	8838834 49	6963384 48
2500	50	4564453 48	1500000 50	8500000 49	4540345 48	8183170 49	4660651 48
3000	50	4508463 48	1000000 50	9166667 49	6457898 48	7216877 49	2982773 48
3500	50	4564931 48	5000000 49	9642857 49	8900009 48	5590170 49	1624574 48
4000	50	4687500 48	0000000 00	1000000 50	1193662 49	0000000 00	0000000 00

## Compton Cross Sections vs Energy of Scattered Quantum

45 $\gamma'$		50= $\gamma$		$\sigma_3(\gamma')/\phi_0$		E		w		$\sigma_1(w, \phi)/\phi_0$		w'		$\sigma_4(w', \phi)/\phi_0$	
4500	49	1870370	49	4050000	50	1000000	50*	6027993	47	1000000	50	7293871	49		
4600	49	1813064	49	4040000	50	9516908	49*	6105889	47	9995911	49	7044168	49		
4800	49	1707996	49	4020000	50	8611111	49*	6263102	47	9987687	49	6586654	49		
5000	49	1614083	49	4000000	50	7777778	49*	6422233	47	9979402	49	6178073	49		
5200	49	1529740	49	3980000	50	7008547	49*	6583314	47	9971055	49	5811405	49		
5400	49	1453660	49	3960000	50	6296297	49*	6746377	47	9962644	49	5480882	49		
5600	49	1384755	49	3940000	50	5634921	49*	6911453	47	9954170	49	5181681	49		
5800	49	1322116	49	3920000	50	5019157	49*	7078575	47	9945631	49	4909818	49		
6000	49	1264974	49	3900000	50	4444445	49*	7247771	47	9937027	49	4661889	49		
6200	49	1212680	49	3880000	50	3906810	49*	7419077	47	9928356	49	4435049	49		
6400	49	1164678	49	3860000	50	3402778	49*	7592520	47	9919619	49	4226842	49		
6600	49	1120491	49	3840000	50	2929293	49*	7768134	47	9910814	49	4035182	49		
6800	49	1079711	49	3820000	50	2483660	49*	7945949	47	9901941	49	3858280	49		
7000	49	1041982	49	3800000	50	2063492	49*	8125999	47	9892999	49	3694570	49		
7200	49	1006995	49	3780000	50	1666667	49*	8308312	47	9883986	49	3542709	49		
7400	49	9744814	48	3760000	50	1291292	49*	8492921	47	9874903	49	3401503	49		
7600	49	9442029	48	3740000	50	9356730	48*	8679859	47	9865748	49	3269936	49		
7800	49	9159524	48	3720000	50	5982910	48*	8869155	47	9856520	49	3147082	49		
8000	49	8895461	48	3700000	50	2777780	48*	9060843	47	9847219	49	3032158	49		
8200	49	8648211	48	3680000	50	2710000	47	9254951	47	9837843	49	2924440	49		
8400	49	8416328	48	3660000	50	3174600	48	9451514	47	9828392	49	2823304	49		
8600	49	8198520	48	3640000	50	5943150	48	9650560	47	9818865	49	2728189	49		
8800	49	7993636	48	3620000	50	6585860	48	9852124	47	9809261	49	2638597	49		
9000	49	7800640	48	3600000	50	1111111	49	1005623	48	9799578	49	2554074	49		
9200	49	7618602	48	3580000	50	1352657	49	1026292	48	9789817	49	2474218	49		
9400	49	7446687	48	3560000	50	1583924	49	1047222	48	9779975	49	2398670	49		
9600	49	7284136	48	3540000	50	1805555	49	1068416	48	9770053	49	2327094	49		
9800	49	7130265	48	3520000	50	2018140	49	1089878	48	9760048	49	2259204	49		
1000	50	6984453	48	3500000	50	2222222	49	1111610	48	9749960	49	2194727	49		
1100	50	6358156	48	3400000	50	3131313	49	1224437	48	9698236	49	1915716	49		
1200	50	5866483	48	3300000	50	3888889	49	1344499	48	9644266	49	1693239	49		
1300	50	5473386	48	3200000	50	4529914	49	1472186	48	9587900	49	1511841	49		
1400	50	5154437	48	3100000	50	5079365	49	1607894	48	9528969	49	1361090	49		
1500	50	4892546	48	3000000	50	5555555	49	1752014	48	9467292	49	1233730	49		
1600	50	4675425	48	2900000	50	5972222	49	1904940	48	9402668	49	1124564	49		
1700	50	4494029	48	2800000	50	6339869	49	2067063	48	9334876	49	1029785	49		
1800	50	4341563	48	2700000	50	6666666	49	2238779	48	9263671	49	9465527	48		
1900	50	4212831	48	2600000	50	6959064	49	2420479	48	9188781	49	8727049	48		
2000	50	4103794	48	2500000	50	7222222	49	2612557	48	9109906	49	8065742	48		
2500	50	3762231	48	2000000	50	8222222	49	3742360	48	8642416	49	5542689	48		
3000	50	3623685	48	1500000	50	8888889	49	5190547	48	8001322	49	3784147	48		
3500	50	3593591	48	1000000	50	9365079	49	7006238	48	7056504	49	2431536	48		
4000	50	3627971	48	5000000	49	9722222	49	9238554	48	5465945	49	1320472	48		
4500	50	3703703	48	0000000	00	1000000	50	1193662	49	0000000	00	0000000	00		

Compton Cross Sections vs Energy of Scattered Quantum

50 $\gamma'$		$\sigma_s(\gamma')/\phi_0$		E		w		$\sigma_1(w, \phi)/\phi_0$		w'		$\sigma_4(w', \phi)/\phi_0$	
4545	49	1663636	49	4545454	50	1000000	50*	5470577	47	1000000	50	7877631	49
4600	49	1636510	49	4540000	50	9739130	49*	5511307	47	9998165	49	7734858	49
4800	49	1543941	49	4520000	50	8833333	49*	5661526	47	9991407	49	7247865	49
5000	49	1461000	49	4500000	50	8000000	49*	5813134	47	9984603	49	6811858	49
5200	49	1386333	49	4480000	50	7230769	49*	5966155	47	9977753	49	6419609	49
5400	49	1318825	49	4460000	50	6518519	49*	6120614	47	9970855	49	6065164	49
5600	49	1257544	49	4440000	50	5857143	49*	6276531	47	9963910	49	5743579	49
5800	49	1201711	49	4420000	50	5241379	49*	6433930	47	9956916	49	5450702	49
6000	49	1150666	49	4400000	50	4666667	49*	6592834	47	9949874	49	5183041	49
6200	49	1103850	49	4380000	50	4129032	49*	6753266	47	9942783	49	4937616	49
6400	49	1060786	49	4360000	50	3625000	49*	6915249	47	9935641	49	4711891	49
6600	49	1021061	49	4340000	50	3151515	49*	7078805	47	9928450	49	4503699	49
6800	49	9843238	48	4320000	50	2705882	49*	7243959	47	9921208	49	4311157	49
7000	49	9502653	48	4300000	50	2285714	49*	7410731	47	9913915	49	4132651	49
7200	49	9186185	48	4280000	50	1888889	49*	7579146	47	9906569	49	3966757	49
7400	49	8891496	48	4260000	50	1513514	49*	7749227	47	9899172	49	3812235	49
7600	49	8616531	48	4240000	50	1157895	49*	7920996	47	9891721	49	3668012	49
7800	49	8359483	48	4220000	50	8205130	48*	8094476	47	9884217	49	3533137	49
8000	49	8118750	48	4200000	50	5000000	48*	8269690	47	9876658	49	3406751	49
8200	49	7892912	48	4180000	50	1951220	48*	8446661	47	9869045	49	3288113	49
8400	49	7680707	48	4160000	50	9523800	47	8625413	47	9861376	49	3176563	49
8600	49	7481007	48	4140000	50	3720930	48	8805967	47	9853652	49	3071508	49
8800	49	7292801	48	4120000	50	6363640	48	8988348	47	9845871	49	2972412	49
9000	49	7115185	48	4100000	50	8888890	48	9172576	47	9838032	49	2878802	49
9200	49	6947342	48	4080000	50	1130435	49	9358677	47	9830136	49	2790247	49
9400	49	6788536	48	4060000	50	1361702	49	9546672	47	9822181	49	2706369	49
9600	49	6638104	48	4040000	50	1583333	49	9736584	47	9814167	49	2626813	49
9800	49	6495441	48	4020000	50	1795918	49	9928437	47	9806093	49	2551263	49
1000	50	6360000	48	4000000	50	2000000	49	1012225	48	9797959	49	2479435	49
1100	50	5775124	48	3900000	50	2909091	49	1112158	48	9756353	49	2167756	49
1200	50	5311666	48	3800000	50	3666667	49	1217344	48	9713126	49	1918241	49
1300	50	4937574	48	3700000	50	4307692	49	1328068	48	9668179	49	1714217	49
1400	50	4631020	48	3600000	50	4857143	49	1444617	48	9621404	49	1544362	49
1500	50	4376666	48	3500000	50	5333333	49	1567278	48	9572688	49	1400749	49
1600	50	4163437	48	3400000	50	5750000	49	1696337	48	9521904	49	1277677	49
1700	50	3983148	48	3300000	50	6117647	49	1832080	48	9468916	49	1170944	49
1800	50	3829629	48	3200000	50	6444444	49	1974794	48	9413574	49	1077397	49
1900	50	3698144	48	3100000	50	6736842	49	2124766	48	9355715	49	9946241	48
2000	50	3585000	48	3000000	50	7000000	49	2282281	48	9295160	49	9207541	48
2500	50	3210000	48	2500000	50	8000000	49	3193046	48	8944271	49	6425881	48
3000	50	3026666	48	2000000	50	8666667	49	4335380	48	8485281	49	4541594	48
3500	50	2946734	48	1500000	50	9142857	49	5745095	48	7855844	49	3134207	48
4000	50	2928750	48	1000000	50	9500000	49	7458000	48	6928203	49	2018380	48
4500	50	2950740	48	5000000	49	9777778	49	9509905	48	5366561	49	1093867	48
5000	50	3000000	48	0000000	00	1000000	50	1193662	49	0000000	00	0000000	00



Compton Cross Sections vs Energy of Scattered Quantum

$55 \gamma$	$50 = \gamma$	$\sigma_3(\gamma')/\phi_0$	E	w	$\sigma_1(w, \phi)/\phi_0$	w'	$\sigma_4(w', \phi)/\phi_0$
4583	49	1497933 49	5041666 50	1000000 50*	5008130 47	1000000 50	8463740 49
4600	49	1490629 49	5040000 50	9920948 49*	5020020 47	9999530 49	8418085 49
4800	49	1408058 49	5020000 50	9015151 49*	5163250 47	9993876 49	7902192 49
5000	49	1333925 49	5000000 50	8181818 49*	5307520 47	9988186 49	7439325 49
5200	49	1267057 49	4980000 50	7412587 49*	5452846 47	9982461 49	7022045 49
5400	49	1206485 49	4960000 50	6700337 49*	5599246 47	9976699 49	6644254 49
5600	49	1151397 49	4940000 50	6038961 49*	5746737 47	9970901 49	6300834 49
5800	49	1101114 49	4920000 50	5423197 49*	5895337 47	9965065 49	5987471 49
6000	49	1055062 49	4900000 50	4848485 49*	6045061 47	9959193 49	5700577 49
6200	49	1012751 49	4880000 50	4310850 49*	6195928 47	9953283 49	5437067 49
6400	49	9737643 48	4860000 50	3806818 49*	6347956 47	9947335 49	5194308 49
6600	49	9377410 48	4840000 50	3333333 49*	6501161 47	9941348 49	4970026 49
6800	49	9043710 48	4820000 50	2887700 49*	6655559 47	9935323 49	4762294 49
7000	49	8733846 48	4800000 50	2467532 49*	6811170 47	9929258 49	4569391 49
7200	49	8445466 48	4780000 50	2070707 49*	6968010 47	9923154 49	4389872 49
7400	49	8176511 48	4760000 50	1695332 49*	7126095 47	9917011 49	4222417 49
7600	49	7925172 48	4740000 50	1339713 49*	7285443 47	9910826 49	4065905 49
7800	49	7689851 48	4720000 50	1002331 49*	7446072 47	9904602 49	3919335 49
8000	49	7469136 48	4700000 50	6818180 48*	7608000 47	9898336 49	3781821 49
8200	49	7261771 48	4680000 50	3769400 48*	7771241 47	9892028 49	3652580 49
8400	49	7066637 48	4660000 50	8658000 47*	7935814 47	9885679 49	3530909 49
8600	49	6882736 48	4640000 50	1902750 48	8101738 47	9879287 49	3416186 49
8800	49	6709172 48	4620000 50	4545460 48	8269027 47	9872852 49	3307851 49
9000	49	6545140 48	4600000 50	7070710 48	8437701 47	9866374 49	3205408 49
9200	49	6389916 48	4580000 50	9486170 48	8607775 47	9859853 49	3108395 49
9400	49	6242843 48	4560000 50	1179884 49	8779268 47	9853287 49	3016410 49
9600	49	6103332 48	4540000 50	1401515 49	8952197 47	9846677 49	2929077 49
9800	49	5970842 48	4520000 50	1614100 49	9126577 47	9840022 49	2846071 49
1000	50	5844887 48	4500000 50	1818182 49	9302427 47	9833321 49	2767082 49
1100	50	5298818 48	4400000 50	2727273 49	1020433 48	9799118 49	2423509 49
1200	50	4863169 48	4300000 50	3484849 49	1114556 48	9763704 49	2147503 49
1300	50	4509125 48	4200000 50	4125874 49	1212827 48	9727012 49	1921207 49
1400	50	4216987 48	4100000 50	4675325 49	1315462 48	9688971 49	1732440 49
1500	50	3972861 48	4000000 50	5151515 49	1422676 48	9649505 49	1572641 49
1600	50	3766680 48	3900000 50	5568182 49	1534683 48	9608530 49	1435616 49
1700	50	3590982 48	3800000 50	5935829 49	1651700 48	9565957 49	1316789 49
1800	50	3440123 48	3700000 50	6262626 49	1773941 48	9521691 49	1212709 49
1900	50	3309762 48	3600000 50	6555024 49	1901621 48	9475625 49	1120726 49
2000	50	3196503 48	3500000 50	6818182 49	2034957 48	9427647 49	1038777 49
2500	50	2808824 48	3000000 50	7818182 49	2793989 48	9154324 49	7325035 48
3000	50	2601712 48	2500000 50	8484849 49	3726678 48	8808752 49	5288314 48
3500	50	2492720 48	2000000 50	8961039 49	4859927 48	8356716 49	3797939 48
4000	50	2442840 48	1500000 50	9318182 49	6220641 48	7736815 49	2638226 48
4500	50	2431275 48	1000000 50	9595960 49	7835726 48	6823228 49	1701315 48
5000	50	2445939 48	5000000 49	9818182 49	9732084 48	5285249 49	9206823 47
5500	50	2479338 48	0000000 00	1000000 50	1193662 49	0000000 00	0000000 00

Compton Cross Sections vs Energy of Scattered Quantum

$60 \quad 50 = \gamma$		$\sigma_s(\gamma')/\phi_0$		E		w		$\sigma_1(w, \phi)/\phi_0$		w'		$\sigma_4(w', \phi)/\phi_0$	
$\gamma'$													
4615	49	1362179	49	5538461	50	1000000	50*	4618173	47	1000000	50	9051620	49
4800	49	1293779	49	5520000	50	9166666	49*	4744196	47	9995566	49	8551255	49
5000	49	1226851	49	5500000	50	8333333	49*	4881488	47	9990736	49	8061921	49
5200	49	1166383	49	5480000	50	7564102	49*	5019590	47	9985878	49	7620036	49
5400	49	1111519	49	5460000	50	6851852	49*	5158516	47	9980991	49	7219295	49
5600	49	1061545	49	5440000	50	6190476	49*	5298279	47	9976076	49	6854419	49
5800	49	1015861	49	5420000	50	5574712	49*	5438893	47	9971132	49	6520981	49
6000	49	9739583	48	5400000	50	5000000	49*	5580370	47	9966158	49	6215237	49
6200	49	9354041	48	5380000	50	4462365	49*	5722723	47	9961156	49	5934010	49
6400	49	8998282	48	5360000	50	3958333	49*	5865967	47	9956123	49	5674557	49
6600	49	8669115	48	5340000	50	3484848	49*	6010115	47	9951061	49	5434539	49
6800	49	8363782	48	5320000	50	3039215	49*	6155178	47	9945968	49	5211923	49
7000	49	8079885	48	5300000	50	2619047	49*	6301173	47	9940844	49	5004962	49
7200	49	7815329	48	5280000	50	2222222	49*	6448109	47	9935690	49	4812097	49
7400	49	7568281	48	5260000	50	1846847	49*	6596002	47	9930505	49	4631998	49
7600	49	7337126	48	5240000	50	1491228	49*	6744865	47	9925288	49	4463476	49
7800	49	7120439	48	5220000	50	1153846	49*	6894711	47	9920040	49	4305480	49
8000	49	6916956	48	5200000	50	8333330	48*	7045553	47	9914760	49	4157082	49
8200	49	6725555	48	5180000	50	5284550	48*	7197405	47	9909447	49	4017472	49
8400	49	6545233	48	5160000	50	2380950	48*	7350279	47	9904102	49	3885907	49
8600	49	6375096	48	5140000	50	3876000	47	7504188	47	9898724	49	3761742	49
8800	49	6214340	48	5120000	50	3030310	48	7659149	47	9893313	49	3644376	49
9000	49	6062243	48	5100000	50	5555560	48	7815170	47	9887868	49	3533288	49
9200	49	5918152	48	5080000	50	7971020	48	7972268	47	9882390	49	3428001	49
9400	49	5781480	48	5060000	50	1028369	49	8130455	47	9876878	49	3328084	49
9600	49	5651692	48	5040000	50	1250000	49	8289744	47	9871331	49	3233151	49
9800	49	5528306	48	5020000	50	1462585	49	8450148	47	9865749	49	3142841	49
1000	50	5410879	48	5000000	50	1666667	49	8611683	47	9860132	49	3056842	49
1100	50	4900233	48	4900000	50	2575758	49	9436745	47	9831511	49	2682017	49
1200	50	4490741	48	4800000	50	3333334	49	1029202	48	9801960	49	2379991	49
1300	50	4156257	48	4700000	50	3974359	49	1117916	48	9771434	49	2131751	49
1400	50	3878850	48	4600000	50	4523810	49	1209982	48	9739882	49	1924292	49
1500	50	3645833	48	4500000	50	5000000	49	1305567	48	9707253	49	1748422	49
1600	50	3447989	48	4400000	50	5416667	49	1404837	48	9673488	49	1597479	49
1700	50	3278466	48	4300000	50	5784314	49	1507956	48	9638528	49	1466524	49
1800	50	3132073	48	4200000	50	6111111	49	1615091	48	9602307	49	1351815	49
1900	50	3004802	48	4100000	50	6403509	49	1726407	48	9564753	49	1250477	49
2000	50	2893513	48	4000000	50	6666667	49	1842071	48	9525793	49	1160262	49
2500	50	2504629	48	3500000	50	7666667	49	2491401	48	9306780	49	8245077	48
3000	50	2285879	48	3000000	50	8333334	49	3274281	48	9036960	49	6038680	48
3500	50	2160100	48	2500000	50	8809524	49	4211434	48	8695819	49	4447703	48
4000	50	2090567	48	2000000	50	9166667	49	5323585	48	8249578	49	3226578	48
4500	50	2057613	48	1500000	50	9444445	49	6631456	48	7637624	49	2251045	48
5000	50	2049768	48	1000000	50	9666667	49	8155769	48	6735751	49	1452979	48
5500	50	2059898	48	5000000	49	9848485	49	9917250	48	5217490	49	7854413	47
6000	50	2083333	48	0000000	00	1000000	50	1193662	49	0000000	00	0000000	00

Compton Cross Sections vs Energy of Scattered Quantum

$65 \quad 50 = \gamma$		$\sigma_3(\gamma')/\phi_0$		E		w		$\sigma_1(w, \phi)/\phi_0$		w'		$\sigma_4(w', \phi)/\phi_0$	
$\gamma'$													
4642	49	1248943	49	6035714	50	1000000	50*	4284829	47	1000000	50	9640865	49
4800	49	1196401	49	6020000	50	9294871	49*	4387121	47	9996753	49	9196246	49
5000	49	1135464	49	6000000	50	8461538	49*	4517869	47	9992600	49	8680696	49
5200	49	1080329	49	5980000	50	7692307	49*	4649253	47	9988425	49	8214538	49
5400	49	1030236	49	5960000	50	6980057	49*	4781282	47	9984228	49	7791151	49
5600	49	9845461	48	5940000	50	6318681	49*	4913967	47	9980007	49	7405119	49
5800	49	9427243	48	5920000	50	5702917	49*	5047319	47	9975764	49	7051896	49
6000	49	9043158	48	5900000	50	5128205	49*	5181348	47	9971497	49	6727585	49
6200	49	8689339	48	5880000	50	4590570	49*	5316064	47	9967206	49	6428902	49
6400	49	8362463	48	5860000	50	4086538	49*	5451478	47	9962892	49	6153028	49
6600	49	8059672	48	5840000	50	3613053	49*	5587601	47	9958554	49	5897530	49
6800	49	7778488	48	5820000	50	3167420	49*	5724443	47	9954192	49	5660293	49
7000	49	7516757	48	5800000	50	2747252	49*	5862013	47	9949805	49	5439492	49
7200	49	7272596	48	5780000	50	2350427	49*	6000322	47	9945394	49	5233534	49
7400	49	7044353	48	5760000	50	1975052	49*	6139382	47	9940959	49	5041004	49
7600	49	6830574	48	5740000	50	1619433	49*	6279203	47	9936498	49	4860674	49
7800	49	6629973	48	5720000	50	1282051	49*	6419794	47	9932012	49	4691457	49
8000	49	6441410	48	5700000	50	9615380	48*	6561166	47	9927501	49	4532383	49
8200	49	6263871	48	5680000	50	6566600	48*	6703331	47	9922965	49	4382591	49
8400	49	6096450	48	5660000	50	3663000	48*	6846297	47	9918402	49	4241314	49
8600	49	5938337	48	5640000	50	8944500	47*	6990076	47	9913814	49	4107866	49
8800	49	5788804	48	5620000	50	1748260	48	7134678	47	9909199	49	3981636	49
9000	49	5647198	48	5600000	50	4273510	48	7280114	47	9904558	49	3862062	49
9200	49	5512925	48	5580000	50	6688970	48	7426393	47	9899890	49	3748656	49
9400	49	5385454	48	5560000	50	9001640	48	7573527	47	9895196	49	3640952	49
9600	49	5264298	48	5540000	50	1121795	49	7721525	47	9890474	49	3538544	49
9800	49	5149018	48	5520000	50	1334380	49	7870399	47	9885725	49	3441065	49
1000	50	5039214	48	5500000	50	1538462	49	8020158	47	9880948	49	3348174	49
1100	50	4560556	48	5400000	50	2447553	49	8782604	47	9856640	49	2942624	49
1200	50	4175157	48	5300000	50	3205129	49	9568755	47	9831604	49	2614971	49
1300	50	3859108	48	5200000	50	3846154	49	1037991	48	9805806	49	2345092	49
1400	50	3595965	48	5100000	50	4395605	49	1121739	48	9779211	49	2119143	49
1500	50	3374064	48	5000000	50	4871795	49	1208248	48	9751779	49	1927336	49
1600	50	3184910	48	4900000	50	5288462	49	1297649	48	9723472	49	1762547	49
1700	50	3022174	48	4800000	50	5656109	49	1390072	48	9694246	49	1619480	49
1800	50	2881052	48	4700000	50	5982906	49	1485649	48	9664055	49	1494115	49
1900	50	2757829	48	4600000	50	6275304	49	1584509	48	9632851	49	1383357	49
2000	50	2649592	48	4500000	50	6538462	49	1686782	48	9600580	49	1284776	49
2500	50	2265887	48	4000000	50	7538462	49	2253919	48	9421114	49	9186863	48
3000	50	2042704	48	3500000	50	8205129	49	2925957	48	9204507	49	6799161	48
3500	50	1907624	48	3000000	50	8681319	49	3719197	48	8937653	49	5095426	48
4000	50	1825025	48	2500000	50	9038462	49	4649937	48	8600260	49	3801611	48
4500	50	1779297	48	2000000	50	9316240	49	5734476	48	8158923	49	2776676	48
5000	50	1759556	48	1500000	50	9538462	49	6989115	48	7553694	49	1943032	48
5500	50	1751013	48	1000000	50	9720280	49	8430152	48	6661732	49	1254999	48
6000	50	1753225	48	5000000	49	9871795	49	1007388	49	5160155	49	6778620	47
6500	50	1775147	48	0000000	00	1000000	50	1193662	49	0000000	00	0000000	00

Compton Cross Sections vs Energy of Scattered Quantum

$\gamma_0$	$50 = \gamma'$	$\sigma_s(\gamma')/\phi_0$	E	w	$\sigma_1(w, \phi)/\phi_0$	w'	$\sigma_4(w', \phi)/\phi_0$
4666	49	1153061 49	6533333 50	1000000 50*	3996557 47	1000000 50	1023118 50
4800	49	1112479 49	6520000 50	9404762 49*	4079384 47	9997604 49	9837982 49
5000	49	1056591 49	6500000 50	8571429 49*	4204042 47	9993995 49	9296502 49
5200	49	1005961 49	6480000 50	7802198 49*	4329206 47	9990368 49	8806261 49
5400	49	9599065 48	6460000 50	7089948 49*	4454886 47	9986723 49	8360383 49
5600	49	9178518 48	6440000 50	6428572 49*	4581089 47	9983059 49	7953512 49
5800	49	8793144 48	6420000 50	5812808 49*	4707825 47	9979376 49	7580667 49
6000	49	8438844 48	6400000 50	5238096 49*	4835102 47	9975675 49	7238030 49
6200	49	8112119 48	6380000 50	4700461 49*	4962927 47	9971954 49	6922116 49
6400	49	7809970 48	6360000 50	4196429 49*	5091309 47	9968214 49	6630034 49
6600	49	7529808 48	6340000 50	3722944 49*	5220257 47	9964455 49	6359248 49
6800	49	7269388 48	6320000 50	3277311 49*	5349779 47	9960676 49	6107582 49
7000	49	7026759 48	6300000 50	2857143 49*	5479883 47	9956877 49	5873142 49
7200	49	6800212 48	6280000 50	2460318 49*	5610577 47	9953059 49	5654263 49
7400	49	6588247 48	6260000 50	2084943 49*	5741872 47	9949221 49	5449487 49
7600	49	6389543 48	6240000 50	1729324 49*	5873772 47	9945362 49	5257518 49
7800	49	6202930 48	6220000 50	1391942 49*	6006289 47	9941484 49	5077242 49
8000	49	6027371 48	6200000 50	1071429 49*	6139429 47	9937585 49	4907641 49
8200	49	5861941 48	6180000 50	7665510 48*	6273203 47	9933665 49	4747812 49
8400	49	5705816 48	6160000 50	4761910 48*	6407616 47	9929725 49	4596973 49
8600	49	5558256 48	6140000 50	1993360 48*	6542679 47	9925763 49	4454387 49
8800	49	5418598 48	6120000 50	6493500 47	6678400 47	9921781 49	4319410 49
9000	49	5286242 48	6100000 50	3174600 48	6814786 47	9917777 49	4191487 49
9200	49	5160649 48	6080000 50	5590060 48	6951846 47	9913752 49	4070064 49
9400	49	5041331 48	6060000 50	7902730 48	7089588 47	9909705 49	3954688 49
9600	49	4927843 48	6040000 50	1011904 49	7228023 47	9905636 49	3844926 49
9800	49	4819783 48	6020000 50	1224489 49	7367155 47	9901546 49	3740378 49
1000	50	4716784 48	6000000 50	1428571 49	7506995 47	9897433 49	3640700 49
1100	50	4266907 48	5900000 50	2337662 49	8217103 47	9876530 49	3204855 49
1200	50	3903494 48	5800000 50	3095238 49	8946151 47	9855045 49	2851922 49
1300	50	3604535 48	5700000 50	3736263 49	9695186 47	9832954 49	2560655 49
1400	50	3354852 48	5600000 50	4285714 49	1046524 48	9810229 49	2316414 49
1500	50	3143655 48	5500000 50	4761904 49	1125738 48	9786844 49	2108806 49
1600	50	2963071 48	5400000 50	5178571 49	1207264 48	9762768 49	1930256 49
1700	50	2807226 48	5300000 50	5546218 49	1291205 48	9737970 49	1775120 49
1800	50	2671649 48	5200000 50	5873015 49	1377668 48	9712418 49	1639109 49
1900	50	2552879 48	5100000 50	6165413 49	1466755 48	9686075 49	1518906 49
2000	50	2448198 48	5000000 50	6428571 49	1558571 48	9658905 49	1411909 49
2500	50	2073198 48	4500000 50	7428571 49	2062248 48	9509146 49	1014952 49
3000	50	1849923 48	4000000 50	8095238 49	2649820 48	9331389 49	7572491 48
3500	50	1710224 48	3500000 50	8571428 49	3334336 48	9116846 49	5747244 48
4000	50	1621394 48	3000000 50	8928571 49	4128847 48	8852533 49	4372531 48
4500	50	1565801 48	2500000 50	9206349 49	5046403 48	8518354 49	3291197 48
5000	50	1533111 48	2000000 50	9428571 49	6100055 48	8081221 49	2415501 48
5500	50	1516865 48	1500000 50	9610389 49	7302852 48	7481758 49	1694040 48
6000	50	1512824 48	1000000 50	9761904 49	8667845 48	6598294 49	1094712 48

## Compton Cross Sections vs Energy of Scattered Quantum

$70 \text{ } 50 = \gamma$		$\sigma_3(\gamma')/\phi_0$		E		w		$\sigma_1(w, \phi)/\phi_0$		w'		$\sigma_4(w', \phi)/\phi_0$	
$\gamma'$													
6500	50	1518089	48	5000000	49	9890109	49	1020808	49	5111027	49	5909132	47
7000	50	1530612	48	0000000	00	1000000	50	1193662	49	0000000	00	0000000	00

Compton Cross Sections vs Energy of Scattered Quantum

75 50= $\gamma$ $\gamma'$		$\sigma_3(\gamma')/\phi_0$		E		w		$\sigma_1(w, \phi)/\phi_0$		w'		$\sigma_4(w', \phi)/\phi_0$	
4687	49	1070833	49	7031250	50	1000000	50*	3744765	47	1000000	50	1082237	50
4800	49	1039433	49	7020000	50	9500000	49*	3811529	47	9998226	49	1047701	50
5000	49	9878518	48	7000000	50	8666667	49*	3930537	47	9995060	49	9909875	49
5200	49	9410736	48	6980000	50	7897436	49*	4049957	47	9991879	49	9395655	49
5400	49	8984771	48	6960000	50	7185186	49*	4169795	47	9988684	49	8927641	49
5600	49	8595416	48	6940000	50	6523810	49*	4290057	47	9985472	49	8499925	49
5800	49	8238278	48	6920000	50	5908046	49*	4410751	47	9982246	49	8107682	49
6000	49	7909629	48	6900000	50	5333334	49*	4531884	47	9979004	49	7746872	49
6200	49	7606285	48	6880000	50	4795699	49*	4653461	47	9975746	49	7413936	49
6400	49	7325511	48	6860000	50	4291667	49*	4775490	47	9972472	49	7105822	49
6600	49	7064947	48	6840000	50	3818182	49*	4897979	47	9969183	49	6819874	49
6800	49	6822546	48	6820000	50	3372549	49*	5020933	47	9965877	49	6553963	49
7000	49	6596522	48	6800000	50	2952381	49*	5144359	47	9962556	49	6306019	49
7200	49	6385316	48	6780000	50	2555556	49*	5268264	47	9959218	49	6074377	49
7400	49	6187555	48	6760000	50	2180181	49*	5392655	47	9955864	49	5857480	49
7600	49	6002029	48	6740000	50	1824562	49*	5517539	47	9952493	49	5654026	49
7800	49	5827667	48	6720000	50	1487180	49*	5642922	47	9949106	49	5462819	49
8000	49	5663518	48	6700000	50	1166667	49*	5768812	47	9945701	49	5282814	49
8200	49	5508734	48	6680000	50	8617890	48*	5895214	47	9942281	49	5113079	49
8400	49	5362557	48	6660000	50	5714290	48*	6022137	47	9938843	49	4952773	49
8600	49	5224309	48	6640000	50	2945740	48*	6149587	47	9935388	49	4801163	49
8800	49	5093379	48	6620000	50	3030300	47*	6277569	47	9931915	49	4657562	49
9000	49	4969217	48	6600000	50	2222220	48	6406092	47	9928426	49	4521375	49
9200	49	4851327	48	6580000	50	4637680	48	6535162	47	9924918	49	4392041	49
9400	49	4739258	48	6560000	50	6950350	48	6664785	47	9921394	49	4269095	49
9600	49	4632601	48	6540000	50	9166660	48	6794970	47	9917851	49	4152055	49
9800	49	4530986	48	6520000	50	1129251	49	6925722	47	9914291	49	4040531	49
1000	50	4434073	48	6500000	50	1333333	49	7057047	47	9910712	49	3934144	49
1100	50	4010088	48	6400000	50	2242424	49	7722528	47	9892544	49	3468372	49
1200	50	3666666	48	6300000	50	3000000	49	8403380	47	9873903	49	3090447	49
1300	50	3383423	48	6200000	50	3641025	49	9100455	47	9854772	49	2778019	49
1400	50	3146273	48	6100000	50	4190476	49	9814602	47	9835129	49	2515655	49
1500	50	2945185	48	6000000	50	4666666	49	1054666	48	9814954	49	2292376	49
1600	50	2772823	48	5900000	50	5083333	49	1129750	48	9794226	49	2100156	49
1700	50	2623708	48	5800000	50	5450980	49	1206795	48	9772920	49	1933009	49
1800	50	2493662	48	5700000	50	5770777	49	1285887	48	9751012	49	1786379	49
1900	50	2379447	48	5600000	50	6070175	49	1367110	48	9728477	49	1656734	49
2000	50	2278518	48	5500000	50	6333333	49	1450550	48	9705286	49	1541304	49
2500	50	1914073	48	5000000	50	7333333	49	1903964	48	9578415	49	1113149	49
3000	50	1693333	48	4500000	50	8000000	49	2425521	48	9429903	49	8359517	48
3500	50	1551987	48	4000000	50	8476190	49	3025830	48	9253628	49	6406310	48
4000	50	1459073	48	3500000	50	8833333	49	3715501	48	9040872	49	4944452	48
4500	50	1397860	48	3000000	50	9111111	49	4505145	48	8778762	49	3801385	48
5000	50	1358518	48	2500000	50	9333333	49	5405373	48	8447368	49	2879500	48
5500	50	1334900	48	2000000	50	9515151	49	6426794	48	8013878	49	2120884	48
6000	50	1322962	48	1500000	50	9666666	49	7580018	48	7419411	49	1489906	48

111

## Compton Cross Sections vs Energy of Scattered Quantum

$75 \ 50 = \gamma$		$\sigma_3(\gamma')/\phi_0$		E		w		$\sigma_1(w, \phi)/\phi_0$		w'		$\sigma_4(w', \phi)/\phi_0$	
$\gamma'$													
6500	50	1319938	48	1000000	50	9794871	49	8875658	48	6543310	49	9631634	47
7000	50	1323870	48	5000000	49	9904762	49	1032432	49	5068418	49	5196398	47
7500	50	1333333	48	0000000	00	1000000	50	1193662	49	0000000	00	0000000	00

Compton Cross Sections vs Energy of Scattered Quantum

$80 \gamma'$	$50 = \gamma$	$\sigma_3(\gamma')/\phi_0$	E	w	$\sigma_1(w, \phi)/\phi_0$	w'	$\sigma_4(w', \phi)/\phi_0$
4705	49	9995404 48	7529411 50	1000000 50*	3522918 47	1000000 50	1141425 50
4800	49	9752970 48	7520000 50	9583333 49*	3576345 47	9998686 49	1111392 50
5000	49	9274292 48	7500000 50	8750000 49*	3690123 47	9995887 49	1052116 50
5200	49	8839770 48	7480000 50	7980769 49*	3804239 47	9993075 49	9983276 49
5400	49	8443727 48	7460000 50	7268519 49*	3918698 47	9990250 49	9493075 49
5600	49	8081400 48	7440000 50	6607143 49*	4033507 47	9987412 49	9044752 49
5800	49	7748770 48	7420000 50	5991379 49*	4148670 47	9984562 49	8633355 49
6000	49	7442423 48	7400000 50	5416667 49*	4264194 47	9981698 49	8254506 49
6200	49	7159439 48	7380000 50	4879032 49*	4380084 47	9978822 49	7904574 49
6400	49	6897308 48	7360000 50	4375000 49*	4496345 47	9975932 49	7580540 49
6600	49	6653865 48	7340000 50	3901515 49*	4612984 47	9973029 49	7279632 49
6800	49	6427228 48	7320000 50	3455882 49*	4730006 47	9970113 49	6999577 49
7000	49	6215758 48	7300000 50	3035714 49*	4847416 47	9967184 49	6738253 49
7200	49	6018016 48	7280000 50	2638889 49*	4965219 47	9964241 49	6493959 49
7400	49	5832741 48	7260000 50	2263514 49*	5083423 47	9961284 49	6265070 49
7600	49	5658818 48	7240000 50	1907789 49*	5202032 47	9958314 49	6050215 49
7800	49	5495258 48	7220000 50	1570513 49*	5321051 47	9955330 49	5848177 49
8000	49	5341186 48	7200000 50	1250000 49*	5440487 47	9952332 49	5657871 49
8200	49	5195818 48	7180000 50	9451220 48*	5560345 47	9949320 49	5478328 49
8400	49	5058455 48	7160000 50	6547620 48*	5680631 47	9946294 49	5308663 49
8600	49	4928469 48	7140000 50	3779070 48*	5801349 47	9943253 49	5148107 49
8800	49	4805295 48	7120000 50	1136360 48*	5922507 47	9940199 49	4995973 49
9000	49	4688426 48	7100000 50	1388890 48	6044109 47	9937130 49	4851617 49
9200	49	4577402 48	7080000 50	3804350 48	6166160 47	9934047 49	4714461 49
9400	49	4471804 48	7060000 50	6117020 48	6288668 47	9930949 49	4584002 49
9600	49	4371256 48	7040000 50	8333330 48	6411636 47	9927837 49	4459776 49
9800	49	4275413 48	7020000 50	1045918 49	6535071 47	9924709 49	4341341 49
1000	50	4183960 48	7000000 50	1250000 49	6658979 47	9921567 49	4228320 49
1100	50	3783307 48	6900000 50	2159091 49	7285797 47	9905629 49	3732923 49
1200	50	3458048 48	6800000 50	2916667 49	7925263 47	9889302 49	3330249 49
1300	50	3189209 48	6700000 50	3557692 49	8578076 47	9872571 49	2996863 49
1400	50	2963655 48	6600000 50	4107143 49	9244935 47	9855422 49	2716533 49
1500	50	2772013 48	6500000 50	4583333 49	9926541 47	9837839 49	2477694 49
1600	50	2607421 48	6400000 50	5000000 49	1062359 48	9819805 49	2271891 49
1700	50	2464745 48	6300000 50	5367647 49	1133678 48	9801301 49	2092796 49
1800	50	2340065 48	6200000 50	5694444 49	1206682 48	9782310 49	1935585 49
1900	50	2230341 48	6100000 50	5986842 49	1281441 48	9762812 49	1796517 49
2000	50	2133178 48	6000000 50	6250000 49	1358023 48	9742785 49	1672651 49
2500	50	1780151 48	5500000 50	7250000 49	1770749 48	9633924 49	1213102 49
3000	50	1563517 48	5000000 50	7916667 49	2239573 48	9507985 49	9160139 48
3500	50	1422430 48	4500000 50	8392857 49	2773238 48	9360565 49	7074159 48
4000	50	1327514 48	4000000 50	8750000 49	3380488 48	9185586 49	5520313 48
4500	50	1262862 48	3500000 50	9027778 49	4070064 48	8974395 49	4311234 48
5000	50	1219116 48	3000000 50	9250000 49	4850709 48	8714212 49	3339860 48
5500	50	1190412 48	2500000 50	9431818 49	5731166 48	8385255 49	2541874 48
6000	50	1172892 48	2000000 50	9583333 49	6720177 48	7954952 49	1877289 48

113



Compton Cross Sections vs Energy of Scattered Quantum

$\frac{80}{\gamma'} \quad 50 = \gamma$		$\sigma_3(\gamma')/\phi_0$		E		w		$\sigma_1(w, \phi)/\phi_0$		w'		$\sigma_4(w', \phi)/\phi_0$	
6500	50	1163911	48	1500000	50	9711538	49	7826485	48	7364856	49	1320493	48
7000	50	1161598	48	1000000	50	9821429	49	9058834	48	6495186	49	8538949	47
7500	50	1164591	48	5000000	49	9916667	49	1042596	49	5031145	49	4605053	47
8000	50	1171875	48	0000000	00	1000000	50	1193662	49	0000000	00	0000000	00

Compton Cross Sections vs Energy of Scattered Quantum

$85 \ 50 = \gamma$ $\gamma'$		$\sigma_3(\gamma')/\phi_0$		E		w		$\sigma_1(w, \phi)/\phi_0$		w'		$\sigma_4(w', \phi)/\phi_0$	
4722	49	9371395	48	8027777	50	1000000	50*	3325961	47	1000000	50	1200672	50
4800	49	9185478	48	8020000	50	9656862	49*	3368250	47	9999033	49	1174922	50
5000	49	8739119	48	8000000	50	8823529	49*	3477185	47	9996539	49	1113081	50
5200	49	8333588	48	7980000	50	8054298	49*	3586401	47	9994034	49	1056926	50
5400	49	7963664	48	7960000	50	7342048	49*	3695903	47	9991519	49	1005709	50
5600	49	7624965	48	7940000	50	6680672	49*	3805695	47	9988993	49	9588360	49
5800	49	7313791	48	7920000	50	6064908	49*	3915783	47	9986456	49	9157716	49
6000	49	7026995	48	7900000	50	5490196	49*	4026171	47	9983909	49	8760975	49
6200	49	6761884	48	7880000	50	4952561	49*	4136864	47	9981350	49	8394286	49
6400	49	6516144	48	7860000	50	4448529	49*	4247865	47	9978781	49	8054378	49
6600	49	6287774	48	7840000	50	3975044	49*	4359181	47	9976200	49	7738584	49
6800	49	6075035	48	7820000	50	3529411	49*	4470815	47	9973608	49	7444492	49
7000	49	5876410	48	7800000	50	3109243	49*	4582772	47	9971005	49	7169883	49
7200	49	5690571	48	7780000	50	2712418	49*	4695058	47	9968390	49	6913032	49
7400	49	5516348	48	7760000	50	2337043	49*	4807676	47	9965764	49	6672214	49
7600	49	5352707	48	7740000	50	1981424	49*	4920631	47	9963127	49	6446091	49
7800	49	5198735	48	7720000	50	1644042	49*	5033928	47	9960478	49	6233321	49
8000	49	5053617	48	7700000	50	1323529	49*	5147571	47	9957817	49	6032800	49
8200	49	4916627	48	7680000	50	1018651	49*	5261567	47	9955145	49	5843548	49
8400	49	4787115	48	7660000	50	7282910	48*	5375917	47	9952461	49	5664603	49
8600	49	4664499	48	7640000	50	4514360	48*	5490628	47	9949765	49	5495189	49
8800	49	4548254	48	7620000	50	1871650	48*	5605705	47	9947057	49	5334579	49
9000	49	4437908	48	7600000	50	6536000	47	5721151	47	9944337	49	5182117	49
9200	49	4333031	48	7580000	50	3069060	48	5836972	47	9941605	49	5037208	49
9400	49	4233237	48	7560000	50	5381730	48	5953173	47	9938861	49	4899326	49
9600	49	4138173	48	7540000	50	7598040	48	6069757	47	9936104	49	4767966	49
9800	49	4047518	48	7520000	50	9723890	48	6186729	47	9933336	49	4642679	49
1000	50	3960980	48	7500000	50	1176471	49	6304095	47	9930554	49	4523079	49
1100	50	3581408	48	7400000	50	2085562	49	6896985	47	9916458	49	3998311	49
1200	50	3272670	48	7300000	50	2843138	49	7500407	47	9902039	49	3571109	49
1300	50	3017022	48	7200000	50	3484163	49	8114941	47	9887284	49	3216936	49
1400	50	2802163	48	7100000	50	4033614	49	8741171	47	9872182	49	2918770	49
1500	50	2619301	48	7000000	50	4509804	49	9379682	47	9856720	49	2664488	49
1600	50	2461991	48	6900000	50	4926471	49	1003105	48	9840886	49	2445182	49
1700	50	2325403	48	6800000	50	5294118	49	1069587	48	9824666	49	2254196	49
1800	50	2205848	48	6700000	50	5620915	49	1137472	48	9808045	49	2086446	49
1900	50	2100460	48	6600000	50	5913313	49	1206817	48	9791008	49	1937982	49
2000	50	2006980	48	6500000	50	6176471	49	1277683	48	9773540	49	1805691	49
2500	50	1665641	48	6000000	50	7176471	49	1656843	48	9679107	49	1314641	49
3000	50	1454025	48	5500000	50	7843138	49	2082738	48	9570957	49	9973794	48
3500	50	1314419	48	5000000	50	8319328	49	2562655	48	9445841	49	7751420	48
4000	50	1218892	48	4500000	50	8676471	49	3103884	48	9299385	49	6101787	48
4500	50	1152294	48	4000000	50	8954249	49	3713714	48	9125549	49	4823197	48
5000	50	1105698	48	3500000	50	9176471	49	4399432	48	8915738	49	3799528	48
5500	50	1073506	48	3000000	50	9358289	49	5168329	48	8657256	49	2960298	48
6000	50	1052030	48	2500000	50	9509804	49	6027692	48	8330449	49	2261166	48

## Compton Cross Sections vs Energy of Scattered Quantum

85 50= $\gamma$ $\gamma'$		$\sigma_3(\gamma')/\phi_0$		E		w		$\sigma_1(w,\phi)/\phi_0$		w'		$\sigma_4(w',\phi)/\phi_0$	
6500	50	1038742	48	2000000	50	9638009	49	6984811	48	7902958	49	1673510	48
7000	50	1031849	48	1500000	50	9747900	49	8046975	48	7316711	49	1178359	48
7500	50	1030048	48	1000000	50	9843138	49	9221472	48	6452729	49	7621714	47
8000	50	1032365	48	5000000	49	9926471	49	1051559	49	4998259	49	4109055	47
8500	50	1038062	48	0000000	00	1000000	50	1193662	49	0000000	00	0000000	00

## Compton Cross Sections vs Energy of Scattered Quantum

$90^\circ$ $\gamma'$		$50^\circ = \gamma$ $\sigma_8(\gamma')/\phi_0$		E		w		$\sigma_1(w, \phi)/\phi_0$		w'		$\sigma_4(w', \phi)/\phi_0$	
4736	49	8820663	48	8526315	50	1000000	50*	3149917	47	1000000	50	1259967	50
4800	49	8679883	48	8520000	50	9722222	49*	3182852	47	9999295	49	1238287	50
5000	49	8261888	48	8500000	50	8888889	49*	3287301	47	9997060	49	1173914	50
5200	49	7881832	48	8480000	50	8119658	49*	3391985	47	9994815	49	1115396	50
5400	49	7534890	48	8460000	50	7407408	49*	3496911	47	9992561	49	1061990	50
5600	49	7217009	48	8440000	50	6746032	49*	3602080	47	9990298	49	1013069	50
5800	49	6924762	48	8420000	50	6130268	49*	3707498	47	9988026	49	9681070	49
6000	49	6655235	48	8400000	50	5555556	49*	3813169	47	9985745	49	9266519	49
6200	49	6405931	48	8380000	50	5017921	49*	3919095	47	9983454	49	8883053	49
6400	49	6174705	48	8360000	50	4513889	49*	4025281	47	9981153	49	8527515	49
6600	49	5959697	48	8340000	50	4040404	49*	4131732	47	9978844	49	8196916	49
6800	49	5759293	48	8320000	50	3594771	49*	4238451	47	9976525	49	7888891	49
7000	49	5572084	48	8300000	50	3174603	49*	4345441	47	9974196	49	7601059	49
7200	49	5396833	48	8280000	50	2777778	49*	4452707	47	9971858	49	7331733	49
7400	49	5232453	48	8260000	50	2402403	49*	4560252	47	9969510	49	7079137	49
7600	49	5077982	48	8240000	50	2046784	49*	4668082	47	9967152	49	6841798	49
7800	49	4932569	48	8220000	50	1709402	49*	4776200	47	9964785	49	6618332	49
8000	49	4795453	48	8200000	50	1388889	49*	4884608	47	9962408	49	6407655	49
8200	49	4665959	48	8180000	50	1084011	49*	4993312	47	9960020	49	6208732	49
8400	49	4543480	48	8160000	50	7936510	48*	5102316	47	9957623	49	6020562	49
8600	49	4427473	48	8140000	50	5167960	48*	5211623	47	9955216	49	5842383	49
8800	49	4317448	48	8120000	50	2525250	48*	5321237	47	9952799	49	5673320	49
9000	49	4212962	48	8100000	50	0000000		5431162	47	9950371	49	5512822	49
9200	49	4113617	48	8080000	50	2415460	48	5541402	47	9947934	49	5360218	49
9400	49	4019050	48	8060000	50	4728130	48	5651961	47	9945486	49	5214955	49
9600	49	3928930	48	8040000	50	6944440	48	5762844	47	9943028	49	5076532	49
9800	49	3842958	48	8020000	50	9070290	48	5874053	47	9940559	49	4944443	49
1000	50	3760859	48	8000000	50	1111111	49	5985593	47	9938079	49	4818319	49
1100	50	3400394	48	7900000	50	2020202	49	6548394	47	9925523	49	4264423	49
1200	50	3106710	48	7800000	50	2777778	49	7120054	47	9912695	49	3812846	49
1300	50	2863149	48	7700000	50	3418803	49	7701066	47	9899584	49	3438020	49
1400	50	2658146	48	7600000	50	3968254	49	8291922	47	9886183	49	3122162	49
1500	50	2483424	48	7500000	50	4444444	49	8893110	47	9872481	49	2852529	49
1600	50	2332908	48	7400000	50	4861111	49	9505123	47	9858467	49	2619793	49
1700	50	2202039	48	7300000	50	5228758	49	1012845	48	9844132	49	2416979	49
1800	50	2087334	48	7200000	50	5555555	49	1076359	48	9829463	49	2238730	49
1900	50	1986082	48	7100000	50	5847953	49	1141102	48	9814450	49	2080904	49
2000	50	1896147	48	7000000	50	6111111	49	1207125	48	9799078	49	1940206	49
2500	50	1566415	48	6500000	50	7111111	49	1558142	48	9716384	49	1417601	49
3000	50	1360310	48	6000000	50	7777778	49	1948501	48	9622504	49	1079970	49
3500	50	1222961	48	5500000	50	8253968	49	2384345	48	9514987	49	8438180	48
4000	50	1127757	48	5000000	50	8611111	49	2871811	48	9390602	49	6689762	48
4500	50	1060242	48	4500000	50	8888889	49	3417042	48	9245003	49	5338802	48
5000	50	1011888	48	4000000	50	9111111	49	4026176	48	9072184	49	4260421	48
5500	50	9773425	47	3500000	50	9292929	49	4705354	48	8863600	49	3378220	48
6000	50	9530749	47	3000000	50	9444444	49	5460717	48	8606630	49	2643662	48

Compton Cross Sections vs Energy of Scattered Quantum

$\epsilon_0$ $\gamma'$	$50 = \gamma$	$\sigma_s(\gamma')/\phi_0$		E		w		$\sigma_1(w, \phi)/\phi_0$		w'		$\sigma_4(w', \phi)/\phi_0$	
6500	50	9366637	47	2500000	50	9572649	49	6298404	48	8281735	49	2025050	48
7000	50	9263925	47	2000000	50	9682540	49	7224557	48	7856740	49	1501281	48
7500	50	9210105	47	1500000	50	9777778	49	8245314	48	7273928	49	1057972	48
8000	50	9195851	47	1000000	50	9861111	49	9366817	48	6415004	49	6844423	47
8500	50	9214067	47	5000000	49	9934640	49	1059520	49	4969054	49	3689028	47
9000	50	9259259	47	0000000	00	1000000	50	1193662	49	0000000	00	0000000	00

Compton Cross Sections vs Energy of Scattered Quantum

95 50= $\gamma$ $\gamma'$		$\sigma_3(\gamma')/\phi_0$		E		w		$\sigma_1(w, \phi)/\phi_0$		w'		$\sigma_4(w', \phi)/\phi_0$	
47	50	49	8331024 48	9025000	50	1000000	50*	2991615	47	1000000	50	1319302	50
48	00	49	8226654 48	9020000	50	9780701	49*	3016656	47	9999497	49	1301514	50
50	00	49	7833734 48	9000000	50	8947368	49*	3116943	47	9997481	49	1234629	50
52	00	49	7476227 48	8980000	50	8178137	49*	3217431	47	9995457	49	1173765	50
54	00	49	7149652 48	8960000	50	7465887	49*	3318123	47	9993426	49	1118181	50
56	00	49	6850241 48	8940000	50	6804511	49*	3419023	47	9991387	49	1067217	50
58	00	49	6574807 48	8920000	50	6188747	49*	3520133	47	9989340	49	1020350	50
60	00	49	6320636 48	8900000	50	5614035	49*	3621458	47	9987285	49	9771150	49
62	00	49	6085405 48	8880000	50	5076400	49*	3722999	47	9985222	49	9371150	49
64	00	49	5867112 48	8860000	50	4572368	49*	3824762	47	9983151	49	8999950	49
66	00	49	5664025 48	8840000	50	4098883	49*	3926749	47	9981072	49	8654617	49
68	00	49	5474638 48	8820000	50	3653250	49*	4028963	47	9978984	49	8332597	49
70	00	49	5297635 48	8800000	50	3233082	49*	4131409	47	9976889	49	8031873	49
72	00	49	5131860 48	8780000	50	2836257	49*	4234088	47	9974785	49	7750144	49
74	00	49	4976298 48	8760000	50	2460882	49*	4337005	47	9972673	49	7485709	49
76	00	49	4830050 48	8740000	50	2105263	49*	4440163	47	9970553	49	7237144	49
78	00	49	4692318 48	8720000	50	1767881	49*	4543565	47	9968425	49	7003178	49
80	00	49	4562393 48	8700000	50	1447368	49*	4647215	47	9966288	49	6782435	49
82	00	49	4439640 48	8680000	50	1142490	49*	4751116	47	9964142	49	6573849	49
84	00	49	4323493 48	8660000	50	8521300	48*	4855270	47	9961988	49	6376537	49
86	00	49	4213440 48	8640000	50	5752750	48*	4959682	47	9959826	49	6189564	49
88	00	49	4109025 48	8620000	50	3110040	48*	5064356	47	9957654	49	6012220	49
90	00	49	4009831 48	8600000	50	5847900	47*	5169294	47	9955475	49	5843738	49
92	00	49	3915483 48	8580000	50	1830670	48	5274498	47	9953286	49	5683430	49
94	00	49	3825642 48	8560000	50	4143340	48	5379974	47	9951089	49	5530838	49
96	00	49	3739999 48	8540000	50	6359650	48	5485725	47	9948882	49	5385329	49
98	00	49	3658270 48	8520000	50	8485500	48	5591753	47	9946667	49	5246534	49
100	00	50	3580198 48	8500000	50	1052632	49	5698062	47	9944444	49	5113914	49
110	00	50	3237106 48	8400000	50	1961723	49	6233937	47	9933188	49	4531071	49
120	00	50	2957172 48	8300000	50	2719299	49	6777340	47	9921700	49	4055324	49
130	00	50	2724703 48	8200000	50	3360324	49	7328684	47	9909974	49	3660008	49
140	00	50	2528786 48	8100000	50	3909775	49	7888389	47	9898001	49	3326529	49
150	00	50	2361604 48	8000000	50	4385965	49	8456873	47	9885774	49	3041629	49
160	00	50	2217413 48	7900000	50	4802632	49	9034552	47	9873284	49	2795544	49
170	00	50	2091897 48	7800000	50	5170279	49	9621846	47	9860523	49	2580954	49
180	00	50	1981757 48	7700000	50	5497076	49	1021917	48	9847481	49	2392255	49
190	00	50	1884424 48	7600000	50	5789474	49	1082694	48	9834151	49	2225085	49
200	00	50	1797868 48	7500000	50	6052632	49	1144558	48	9820520	49	2076002	49
250	00	50	1479454 48	7000000	50	7052632	49	1471640	48	9747504	49	1521838	49
300	00	50	1279085 48	6500000	50	7719299	49	1832154	48	9665245	49	1163694	49
350	00	50	1144474 48	6000000	50	8195489	49	2231321	48	9571859	49	9134200	48
400	00	50	1050219 48	5500000	50	8552632	49	2674361	48	9464908	49	7284629	48
450	00	50	9825028 47	5000000	50	8830410	49	3166496	48	9341178	49	5858951	48
500	00	50	9331651 47	4500000	50	9052632	49	3712946	48	9196345	49	4723770	48
550	00	50	8970793 47	4000000	50	9234450	49	4318931	48	9024435	49	3797011	48
600	00	50	8708625 47	3500000	50	9385965	49	4989674	48	8816949	49	3026090	48

## Compton Cross Sections vs Energy of Scattered Quantum

95 50= $\gamma$ $\gamma'$		$\sigma_3(\gamma')/\phi_0$		E		w		$\sigma_1(w, \phi)/\phi_0$		w'		$\sigma_4(w', \phi)/\phi_0$	
6500	50	8521925	47	3000000	50	9514170	49	5730395	48	8561331	49	2376336	48
7000	50	8394227	47	2500000	50	9624061	49	6546315	48	8238142	49	1824409	48
7500	50	8313524	47	2000000	50	9719299	49	7442653	48	7815386	49	1354387	48
8000	50	8270864	47	1500000	50	9802632	49	8424632	48	7235642	49	9551065	47
8500	50	8259430	47	1000000	50	9876161	49	9497472	48	6381239	49	6179969	47
9000	50	8273944	47	5000000	49	9941521	49	1066639	49	4942870	49	3330110	47
9500	50	8310249	47	0000000	00	1000000	50	1193662	49	0000000	00	0000000	00

Compton Cross Sections vs Energy of Scattered Quantum

$10^{51} = \gamma$		$\sigma_3(\gamma')/\phi_0$		E		w		$\sigma_1(w, \phi)/\phi_0$		w'		$\sigma_4(w', \phi)/\phi_0$	
4761	49	7892857	48	9523818	50	1000000	50*	2848497	47	1000000	50	1378672	50
5000	49	7447500	48	9500000	50	9000000	49*	2963266	47	9997825	49	1295238	50
5500	49	6657226	48	9450000	50	7181818	49*	3205079	47	9993229	49	1147206	50
6000	49	6017916	48	9400000	50	5666667	49*	3448012	47	9988590	49	1027537	50
6500	49	5490699	48	9350000	50	4384615	49*	3692108	47	9983907	49	9288735	49
7000	49	5048877	48	9300000	50	3285714	49*	3937413	47	9979181	49	8462107	49
7500	49	4673541	48	9250000	50	2333333	49*	4183971	47	9974411	49	7760140	49
8000	49	4350937	48	9200000	50	1500000	49*	4431828	47	9969596	49	7157015	49
8500	49	4070832	48	9150000	50	7647060	48*	4681028	47	9964736	49	6633381	49
9000	49	3825463	48	9100000	50	1111110	48*	4931615	47	9959829	49	6174724	49
9500	49	3608834	48	9050000	50	4736840	48	5183634	47	9954875	49	5769835	49
1000	50	3416250	48	9000000	50	1000000	49	5437130	47	9949874	49	5409876	49
1050	50	3243975	48	8950000	50	1476190	49	5692149	47	9944824	49	5087880	49
1100	50	3089008	48	8900000	50	1909091	49	5948734	47	9939726	49	4798239	49
1150	50	2948907	48	8850000	50	2304348	49	6206930	47	9934578	49	4536320	49
1200	50	2821666	48	8800000	50	2666667	49	6466783	47	9929380	49	4298429	49
1250	50	2705625	48	8750000	50	3000000	49	6728337	47	9924130	49	4081434	49
1300	50	2599393	48	8700000	50	3307692	49	6991636	47	9918829	49	3882726	49
1350	50	2501803	48	8650000	50	3592593	49	7256727	47	9913475	49	3700109	49
1400	50	2411862	48	8600000	50	3857143	49	7523651	47	9908068	49	3531725	49
1450	50	2328725	48	8550000	50	4103448	49	7792456	47	9902606	49	3376031	49
1500	50	2251666	48	8500000	50	4333333	49	8063187	47	9897089	49	3231660	49
1550	50	2180059	48	8450000	50	4548387	49	8335887	47	9891516	49	3097415	49
1600	50	2113359	48	8400000	50	4750000	49	8610600	47	9885887	49	2972280	49
1650	50	2051093	48	8350000	50	4939394	49	8887373	47	9880200	49	2855399	49
1700	50	1992846	48	8300000	50	5117647	49	9166250	47	9874454	49	2745978	49
1750	50	1938252	48	8250000	50	5285714	49	9447275	47	9868649	49	2643321	49
1800	50	1886990	48	8200000	50	5444444	49	9730494	47	9862784	49	2546853	49
1850	50	1838775	48	8150000	50	5594595	49	1001595	48	9856857	49	2456028	49
1900	50	1793351	48	8100000	50	5736842	49	1030369	48	9850868	49	2370383	49
1950	50	1750494	48	8050000	50	5871795	49	1059375	48	9844815	49	2289473	49
2000	50	1710000	48	8000000	50	6000000	49	1088619	48	9838699	49	2212934	49
2500	50	1402500	48	7500000	50	7000000	49	1395092	48	9773756	49	1627220	49
3000	50	1207916	48	7000000	50	7666667	49	1730213	48	9701088	49	1248466	49
3500	50	1076326	48	6500000	50	8142857	49	2098457	48	9619220	49	9839118	48
4000	50	9834375	47	6000000	50	8500000	49	2504303	48	9526279	49	7886509	48
4500	50	9160185	47	5500000	50	8777778	49	2952224	48	9419837	49	6384177	48
5000	50	8662500	47	5000000	50	9000000	49	3446699	48	9296696	49	5190425	48
5500	50	8292148	47	4500000	50	9181818	49	3992202	48	9152553	49	4217654	48
6000	50	8016666	47	4000000	50	9333333	49	4593211	48	8981462	49	3409404	48
6500	50	7813756	47	3500000	50	9461538	49	5254201	48	8774965	49	2728136	48
7000	50	7667602	47	3000000	50	9571429	49	5979650	48	8520562	49	2148335	48
7500	50	7566666	47	2500000	50	9666667	49	6774032	48	8198914	49	1652419	48
8000	50	7502343	47	2000000	50	9750000	49	7641824	48	7778174	49	1228087	48
8500	50	7468079	47	1500000	50	9823529	49	8587502	48	7201194	49	8665334	47
9000	50	7458796	47	1000000	50	9888889	49	9615544	48	6350851	49	5607607	47



Compton Cross Sections vs Energy of Scattered Quantum

10 $\gamma'$	51= $\gamma$	$\sigma_3(\gamma')/\phi_0$	E	w	$\sigma_1(w, \phi)/\phi_0$	w'	$\sigma_4(w', \phi)/\phi_0$
9500	50	7470498 47	5000000 49	9947368 49	1073042 49	4919364 49	3021169 47
1000	51	7500000 47	0000000 00	1000000 50	1193662 49	0000000 00	0000000 00

Compton Cross Sections vs Energy of Scattered Quantum

$11 \ 51 = \gamma$ $\gamma'$		$\sigma_3(\gamma')/\phi_0$		E		w		$\sigma_1(w, \phi)/\phi_0$		w'		$\sigma_4(w', \phi)/\phi_0$	
4 782	49	7 141 573	48	1 052 173	51	1 000 000	50*	2 599 822	47	1 000 000	50	1 497 497	50
5 000	49	6 778 481	48	1 050 000	51	9 090 909	49*	2 697 707	47	9 998 347	49	1 416 204	50
5 500	49	6 067 849	48	1 045 000	51	7 272 727	49*	2 921 327	47	9 994 522	49	1 257 117	50
6 000	49	5 491 541	48	1 040 000	51	5 757 576	49*	3 146 421	47	9 990 664	49	1 128 175	50
6 500	49	5 015 228	48	1 035 000	51	4 475 524	49*	3 372 388	47	9 986 774	49	1 021 629	50
7 000	49	4 615 270	48	1 030 000	51	3 376 623	49*	3 599 260	47	9 982 851	49	932 193	49
7 500	49	4 274 882	48	1 025 000	51	2 424 242	49*	3 827 073	47	9 978 894	49	856 092	49
8 000	49	3 981 829	48	1 020 000	51	1 590 909	49*	4 055 858	47	9 974 904	49	790 595	49
8 500	49	3 726 994	48	1 015 000	51	855 615	48*	4 285 650	47	9 970 878	49	733 647	49
9 000	49	3 503 444	48	1 010 000	51	2 020 200	48*	4 516 483	47	9 966 818	49	683 698	49
9 500	49	3 305 819	48	1 005 000	51	3 827 775	48	4 748 390	47	9 962 723	49	639 547	49
1 000	50	3 129 909	48	1 000 000	51	9 090 910	48	4 981 405	47	9 958 591	49	600 253	49
1 050	50	2 972 366	48	995 000	50	1 385 281	49	5 215 561	47	9 954 424	49	565 060	49
1 100	50	2 830 493	48	990 000	50	1 818 182	49	5 450 892	47	9 950 219	49	533 372	49
1 150	50	2 702 093	48	985 000	50	2 213 439	49	5 687 432	47	9 945 978	49	504 694	49
1 200	50	2 585 362	48	980 000	50	2 575 758	49	5 925 214	47	9 941 698	49	478 617	49
1 250	50	2 478 801	48	975 000	50	2 909 091	49	6 164 271	47	9 937 380	49	454 812	49
1 300	50	2 381 156	48	970 000	50	3 216 783	49	6 404 640	47	9 933 024	49	432 996	49
1 350	50	2 291 371	48	965 000	50	3 501 684	49	6 646 350	47	9 928 628	49	412 934	49
1 400	50	2 208 551	48	960 000	50	3 766 234	49	6 889 438	47	9 924 192	49	394 423	49
1 450	50	2 131 930	48	955 000	50	4 012 539	49	7 133 936	47	9 919 716	49	377 294	49
1 500	50	2 068 050	48	950 000	50	4 242 242	49	7 379 878	47	9 915 199	49	361 398	49
1 550	50	1 994 744	48	945 000	50	4 457 478	49	7 627 298	47	9 910 640	49	346 610	49
1 600	50	1 933 117	48	940 000	50	4 659 091	49	7 876 230	47	9 906 039	49	332 821	49
1 650	50	1 875 540	48	935 000	50	4 848 485	49	8 126 705	47	9 901 396	49	319 931	49
1 700	50	1 821 636	48	930 000	50	5 026 738	49	8 378 760	47	9 896 709	49	307 859	49
1 750	50	1 771 074	48	925 000	50	5 194 805	49	8 632 427	47	9 891 978	49	296 529	49
1 800	50	1 723 559	48	920 000	50	5 353 535	49	8 887 739	47	9 887 203	49	285 876	49
1 850	50	1 678 832	48	915 000	50	5 503 686	49	9 144 732	47	9 882 382	49	275 842	49
1 900	50	1 636 663	48	910 000	50	5 645 933	49	9 403 437	47	9 877 516	49	266 376	49
1 950	50	1 596 844	48	905 000	50	5 780 886	49	9 663 890	47	9 872 603	49	257 431	49
2 000	50	1 559 191	48	900 000	50	5 909 091	49	9 926 122	47	9 867 644	49	248 966	49
2 500	50	1 272 095	48	850 000	50	6 909 091	49	1 265 376	48	9 815 295	49	1 840 959	49
3 000	50	1 088 837	48	800 000	50	7 575 758	49	1 559 644	48	9 757 367	49	1 420 819	49
3 500	50	963 650	47	750 000	50	8 051 948	49	1 878 778	48	9 692 981	49	1 127 372	49
4 000	50	874 203	47	700 000	50	8 409 091	49	2 226 141	48	9 620 913	49	911 081	48
4 500	50	808 311	47	650 000	50	8 686 869	49	2 605 097	48	9 539 723	49	745 066	48
5 000	50	758 759	47	600 000	50	8 909 091	49	3 019 008	48	9 447 549	49	613 544	48
5 500	50	721 006	47	550 000	50	9 090 909	49	3 471 238	48	9 341 987	49	506 691	48
6 000	50	692 049	47	500 000	50	9 242 424	49	3 965 149	48	9 219 865	49	418 119	48
6 500	50	669 825	47	450 000	50	9 370 629	49	4 504 105	48	9 076 912	49	343 534	48
7 000	50	652 870	47	400 000	50	9 480 520	49	5 091 469	48	8 907 234	49	279 971	48
7 500	50	640 114	47	350 000	50	9 575 758	49	5 730 603	48	8 702 442	49	225 354	48
8 000	50	630 760	47	300 000	50	9 659 091	49	6 424 871	48	8 450 145	49	178 201	48
8 500	50	624 199	47	250 000	50	9 732 620	49	7 177 635	48	8 131 158	49	137 449	48
9 000	50	619 961	47	200 000	50	9 797 980	49	7 992 260	48	7 713 890	49	102 329	48

Compton Cross Sections vs Energy of Scattered Quantum

11 51= $\gamma$ $\gamma'$		$\sigma_3(\gamma')/\phi_0$		E		w		$\sigma_1(w, \phi)/\phi_0$		w'		$\sigma_4(w', \phi)/\phi_0$	
9500	50	6176742	47	1500000	50	9856459	49	8872108	48	7141680	49	7226700	47
1000	51	6170428	47	1000000	50	9909091	49	9820542	48	6298364	49	4677656	47
1100	51	6198347	47	0000000	00	1000000	50	1193662	49	0000000	00	0000000	00

Compton Cross Sections vs Energy of Scattered Quantum

$12 \begin{matrix} 51 \\ \gamma' \end{matrix} = \gamma$	$\sigma_3(\gamma')/\phi_0$	E	w	$\sigma_1(w, \phi)/\phi_0$	w'	$\sigma_4(w', \phi)/\phi_0$
4800 49	6520833 48	1152000 51	1000000 50*	2391143 47	1000000 50	1616413 50
5000 49	6219256 48	1150000 51	9166667 49*	2474563 47	9998714 49	1536901 50
5500 49	5573962 48	1145000 51	7348485 49*	2683549 47	9995481 49	1366802 50
6000 49	5049551 48	1140000 51	5833334 49*	2893179 47	9992223 49	1228636 50
6500 49	4615324 48	1135000 51	4551282 49*	3103481 47	9988940 49	1114244 50
7000 49	4250098 48	1130000 51	3452381 49*	3314478 47	9985630 49	1018069 50
7500 49	3938802 48	1125000 51	2500000 49*	3526198 47	9982295 49	9360995 49
8000 49	3670428 48	1120000 51	1666667 49*	3738667 47	9978934 49	8654561 49
8500 49	3436759 48	1115000 51	9313730 48*	3951910 47	9975545 49	8039568 49
9000 49	3231537 48	1110000 51	2777780 48*	4165953 47	9972130 49	7499593 49
9500 49	3049919 48	1105000 51	3070170 48	4380822 47	9968687 49	7021763 49
1000 50	2888093 48	1100000 51	8333330 48	4596542 47	9965217 49	6596039 49
1050 50	2743026 48	1095000 51	1309523 49	4813141 47	9961719 49	6214427 49
1100 50	2612270 48	1090000 51	1742424 49	5030644 47	9958192 49	5870527 49
1150 50	2493831 48	1085000 51	2137681 49	5249076 47	9954636 49	5558984 49
1200 50	2386067 48	1080000 51	2500000 49	5468464 47	9951052 49	5275568 49
1250 50	2287615 48	1075000 51	2833333 49	5688833 47	9947438 49	5016642 49
1300 50	2197334 48	1070000 51	3141025 49	5910209 47	9943794 49	4779166 49
1350 50	2114260 48	1065000 51	3425926 49	6132620 47	9940120 49	4560679 49
1400 50	2037575 48	1060000 51	3690476 49	6356089 47	9936415 49	4358936 49
1450 50	1966582 48	1055000 51	3936781 49	6580643 47	9932680 49	4172160 49
1500 50	1900680 48	1050000 51	4166666 49	6806308 47	9928914 49	3998772 49
1550 50	1839348 48	1045000 51	4381720 49	7033111 47	9925115 49	3837381 49
1600 50	1782136 48	1040000 51	4583333 49	7261075 47	9921285 49	3686784 49
1650 50	1728650 48	1035000 51	4772727 49	7490229 47	9917422 49	3545971 49
1700 50	1678544 48	1030000 51	4950980 49	7720598 47	9913526 49	3414036 49
1750 50	1631516 48	1025000 51	5119047 49	7952205 47	9909597 49	3290147 49
1800 50	1587295 48	1020000 51	5277777 49	8185081 47	9905634 49	3173622 49
1850 50	1545645 48	1015000 51	5427928 49	8419249 47	9901636 49	3063836 49
1900 50	1506351 48	1010000 51	5570175 49	8654734 47	9897604 49	2960221 49
1950 50	1469226 48	1005000 51	5705128 49	8891564 47	9893537 49	2862270 49
2000 50	1434100 48	1000000 51	5833333 49	9129765 47	9889435 49	2769556 49
2500 50	1165436 48	9500000 50	6833333 49	1159281 48	9846343 49	2058046 49
3000 50	9928385 47	9000000 50	7500000 49	1422136 48	9799118 49	1596418 49
3500 50	8740714 47	8500000 50	7976190 49	1704131 48	9747133 49	1273791 49
4000 50	7884837 47	8000000 50	8333333 49	2007857 48	9689628 49	1036087 49
4500 50	7247862 47	7500000 50	8611111 49	2335904 48	9625669 49	8538554 48
5000 50	6762876 47	7000000 50	8833333 49	2690862 48	9554102 49	7097455 48
5500 50	6387711 47	6500000 50	9015151 49	3075323 48	9473475 49	5929100 48
6000 50	6094473 47	6000000 50	9166666 49	3491875 48	9381942 49	4962553 48
6500 50	5863976 47	5500000 50	9294871 49	3943111 48	9277113 49	4149772 48
7000 50	5682589 47	5000000 50	9404762 49	4431619 48	9155837 49	3457293 48
7500 50	5540364 47	4500000 50	9500000 49	4959992 48	9013878 49	2861361 48
8000 50	5429868 47	4000000 50	9583333 49	5530818 48	8845380 49	2344794 48
8500 50	5345437 47	3500000 50	9656862 49	6146688 48	8642012 49	1895050 48
9000 50	5282680 47	3000000 50	9722222 49	6810194 48	8391464 49	1502894 48

Compton Cross Sections vs Energy of Scattered Quantum

$^{125}_{51}\text{I} = \gamma$		$\sigma_3(\gamma')/\phi_0$		E		w		$\sigma_1(w, \phi)/\phi_0$		w'		$\sigma_4(w', \phi)/\phi_0$	
9500	50	5238139	47	2500000	50	9780701	49	7523924	48	8074694	49	1161518	48
1000	51	5209056	47	2000000	50	9833333	49	8290470	48	7660326	49	8658114	47
1200	51	5208333	47	0000000	00	1000000	50	1193662	49	0000000	00	0000000	00

Compton Cross Sections vs Energy of Scattered Quantum

$13 \ 51 = \gamma$		$\sigma_3(\gamma')/\phi_0$		E		w		$\sigma_1(w, \phi)/\phi_0$		w'		$\sigma_4(w', \phi)/\phi_0$	
$\gamma'$													
48 14	49	5999342	48	1251851	51	1000000	50*	2213517	47	1000000	50	1735397	50
50 00	49	5744940	48	1250000	51	9230769	49*	2285839	47	9998979	49	1657395	50
55 00	49	5154172	48	1245000	51	7412587	49*	2481443	47	9996211	49	1476332	50
60 00	49	4673214	48	1240000	51	5897436	49*	2677554	47	9993423	49	1328941	50
65 00	49	4274338	48	1235000	51	4615384	49*	2874191	47	9990614	49	1206752	50
70 00	49	3938372	48	1230000	51	3516483	49*	3071376	47	9987785	49	1103850	50
75 00	49	3651650	48	1225000	51	2564102	49*	3269127	47	9984936	49	1016042	50
80 00	49	3404177	48	1220000	51	1730769	49*	3467467	47	9982065	49	9402843	49
85 00	49	3188479	48	1215000	51	9954750	48*	3666414	47	9979174	49	8742642	49
90 00	49	2998855	48	1210000	51	3418800	48*	3865990	47	9976261	49	8162327	49
95 00	49	2830890	48	1205000	51	2429150	48	4066215	47	9973326	49	7648343	49
100 00	50	2681103	48	1200000	51	7692310	48	4267108	47	9970370	49	7190087	49
105 00	50	2546723	48	1195000	51	1245421	49	4468692	47	9967391	49	6778976	49
110 00	50	2425510	48	1190000	51	1678322	49	4670986	47	9964391	49	6408202	49
115 00	50	2315637	48	1185000	51	2073579	49	4874009	47	9961367	49	6072107	49
120 00	50	2215601	48	1180000	51	2435898	49	5077784	47	9958321	49	5766176	49
125 00	50	2124151	48	1175000	51	2769231	49	5282330	47	9955252	49	5486475	49
130 00	50	2040238	48	1170000	51	3076923	49	5487667	47	9952159	49	5229875	49
135 00	50	1962979	48	1165000	51	3361824	49	5693815	47	9949043	49	4993621	49
140 00	50	1891622	48	1160000	51	3626374	49	5900797	47	9945903	49	4775380	49
145 00	50	1825524	48	1155000	51	3872679	49	6108630	47	9942738	49	4573217	49
150 00	50	1764133	48	1150000	51	4102564	49	6317338	47	9939549	49	4385466	49
155 00	50	1706970	48	1145000	51	4317618	49	6526938	47	9936336	49	4210631	49
160 00	50	1653619	48	1140000	51	4519231	49	6737451	47	9933097	49	4047462	49
165 00	50	1603718	48	1135000	51	4708625	49	6948899	47	9929833	49	3894782	49
170 00	50	1556947	48	1130000	51	4886878	49	7161301	47	9926544	49	3751684	49
175 00	50	1513027	48	1125000	51	5054945	49	7374679	47	9923228	49	3617288	49
180 00	50	1471710	48	1120000	51	5213675	49	7589051	47	9919887	49	3490818	49
185 00	50	1432775	48	1115000	51	5363826	49	7804438	47	9916518	49	3371621	49
190 00	50	1396026	48	1110000	51	5506073	49	8020863	47	9913123	49	3259098	49
195 00	50	1361289	48	1105000	51	5641026	49	8238342	47	9909701	49	3152697	49
200 00	50	1328406	48	1100000	51	5769231	49	8456899	47	9906251	49	3051957	49
250 00	50	1076301	48	1050000	51	6769231	49	1070617	48	9870163	49	2277870	49
300 00	50	9135417	47	1000000	51	7435898	49	1308552	48	9830917	49	1774744	49
350 00	50	8009307	47	9500000	50	7912088	49	1561533	48	9788081	49	1422783	49
400 00	50	7192664	47	9000000	50	8269231	49	1831597	48	9741135	49	1163416	49
45 00	50	6580376	47	8500000	50	8547009	49	2120781	48	9689458	49	9646714	48
50 00	50	6110080	47	8000000	50	8769231	49	2431123	48	9632292	49	8076581	48
55 00	50	5742439	47	7500000	50	8951049	49	2764661	48	9568712	49	6805309	48
60 00	50	5451416	47	7000000	50	9102564	49	3123431	48	9497568	49	5755165	48
65 00	50	5219092	47	6500000	50	9230769	49	3509472	48	9417419	49	4873216	48
70 00	50	5032730	47	6000000	50	9340660	49	3924820	48	9326426	49	4122387	48
75 00	50	4883028	47	5500000	50	9435898	49	4371514	48	9222217	49	3476139	48
80 00	50	4763037	47	5000000	50	9519231	49	4851590	48	9101660	49	2915083	48
85 00	50	4667459	47	4500000	50	9592760	49	5367085	48	8960542	49	2424893	48
90 00	50	4592185	47	4000000	50	9658120	49	5920038	48	8793039	49	1994853	48

## Compton Cross Sections vs Energy of Scattered Quantum

$^{135}_{51}\text{I}=\gamma$		$\sigma_3(\gamma')/\phi_0$		E		w		$\sigma_1(w, \phi)/\phi_0$		w'		$\sigma_4(w', \phi)/\phi_0$	
$\gamma'$													
9500	50	4533979	47	3500000	50	9716599	49	6512487	48	8590875	49	1616938	48
1000	51	4490257	47	3000000	50	9769231	49	7146467	48	8341809	49	1285055	48
1200	51	4423737	47	1000000	50	9935898	49	1013845	49	6217601	49	3397054	47
1300	51	4437869	47	0000000	00	1000000	50	1193662	49	0000000	00	0000000	00

## Compton Cross Sections vs Energy of Scattered Quantum

$1.451 = \gamma$ $\gamma'$	$\sigma_3(\gamma')/\phi_0$	E	w	$\sigma_1(w, \phi)/\phi_0$	w'	$\sigma_4(w', \phi)/\phi_0$
48 27 49	5 555 066 48	1 351 724 51	1 000 000 50*	2 060 485 47	1 000 000 50	1 854 436 50
50 00 49	5 337 619 48	1 350 000 51	9 285 714 49*	2 123 771 47	9 999 177 49	1 777 773 50
55 00 49	4 793 011 48	1 345 000 51	7 467 532 49*	2 307 564 47	9 996 779 49	1 585 676 50
60 00 49	4 348 947 48	1 340 000 51	5 952 381 49*	2 491 763 47	9 994 366 49	1 429 137 50
65 00 49	3 980 167 48	1 335 000 51	4 670 329 49*	2 676 382 47	9 991 936 49	1 299 153 50
70 00 49	3 669 174 48	1 330 000 51	3 571 428 49*	2 861 439 47	9 989 490 49	1 189 562 50
75 00 49	3 403 475 48	1 325 000 51	2 619 047 49*	3 046 949 47	9 987 027 49	1 095 948 50
80 00 49	3 173 921 48	1 320 000 51	1 785 714 49*	3 232 930 47	9 984 547 49	1 015 091 50
85 00 49	2 973 661 48	1 315 000 51	1 050 420 49*	3 419 396 47	9 982 050 49	944 555 49
90 00 49	2 797 465 48	1 310 000 51	3 968 250 48*	3 606 366 47	9 979 537 49	882 515 49
95 00 49	2 641 272 48	1 305 000 51	1 879 700 48	3 793 853 47	9 977 005 49	827 524 49
1 00 00 50	2 501 887 48	1 300 000 51	7 142 860 48	3 981 877 47	9 974 457 49	778 452 49
1 05 00 50	2 376 754 48	1 295 000 51	1 190 476 49	4 170 451 47	9 971 890 49	734 405 49
1 10 00 50	2 263 813 48	1 290 000 51	1 623 377 49	4 359 594 47	9 969 306 49	694 654 49
1 15 00 50	2 161 378 48	1 285 000 51	2 018 634 49	4 549 321 47	9 966 704 49	658 614 49
1 20 00 50	2 068 061 48	1 280 000 51	2 380 953 49	4 739 648 47	9 964 083 49	625 773 49
1 25 00 50	1 982 709 48	1 275 000 51	2 714 286 49	4 930 593 47	9 961 444 49	595 743 49
1 30 00 50	1 904 351 48	1 270 000 51	3 021 978 49	5 122 170 47	9 958 786 49	568 172 49
1 35 00 50	1 832 172 48	1 265 000 51	3 306 879 49	5 314 396 47	9 956 109 49	542 775 49
1 40 00 50	1 765 475 48	1 260 000 51	3 571 429 49	5 507 288 47	9 953 414 49	519 318 49
1 45 00 50	1 703 666 48	1 255 000 51	3 817 734 49	5 700 863 47	9 950 699 49	497 577 49
1 50 00 50	1 646 232 48	1 250 000 51	4 047 619 49	5 895 135 47	9 947 964 49	477 370 49
1 55 00 50	1 592 731 48	1 245 000 51	4 262 673 49	6 090 123 47	9 945 210 49	458 549 49
1 60 00 50	1 542 777 48	1 240 000 51	4 464 286 49	6 285 841 47	9 942 436 49	440 975 49
1 65 00 50	1 496 034 48	1 235 000 51	4 653 680 49	6 482 306 47	9 939 642 49	424 531 49
1 70 00 50	1 452 206 48	1 230 000 51	4 831 933 49	6 679 536 47	9 936 827 49	409 113 49
1 75 00 50	1 411 033 48	1 225 000 51	5 000 000 49	6 877 545 47	9 933 992 49	394 624 49
1 80 00 50	1 372 284 48	1 220 000 51	5 158 730 49	7 076 350 47	9 931 137 49	380 991 49
1 85 00 50	1 335 756 48	1 215 000 51	5 308 881 49	7 275 968 47	9 928 259 49	368 133 49
1 90 00 50	1 301 266 48	1 210 000 51	5 451 128 49	7 476 415 47	9 925 362 49	355 996 49
1 95 00 50	1 268 651 48	1 205 000 51	5 586 081 49	7 677 706 47	9 922 442 49	344 512 49
2 00 00 50	1 237 765 48	1 200 000 51	5 714 286 49	7 879 859 47	9 919 501 49	333 639 49
2 50 00 50	1 000 520 48	1 150 000 51	6 714 286 49	9 952 362 47	9 888 837 49	2 499 957 49
3 00 00 50	846 760 9 47	1 100 000 51	7 380 953 49	12 128 995 48	9 855 709 49	1 955 372 49
3 50 00 50	739 926 0 47	1 050 000 51	7 857 143 49	14 442 595 48	9 819 805 49	1 574 000 49
4 00 00 50	662 077 6 47	1 000 000 51	8 214 286 49	16 859 667 48	9 780 759 49	1 292 818 49
4 50 00 50	603 384 7 47	950 000 00 50	8 492 064 49	19 446 641 48	9 738 142 49	1 077 357 49
5 00 00 50	558 009 7 47	900 000 00 50	8 714 286 49	22 202 250 48	9 691 436 49	907 212 48
5 50 00 50	522 267 5 47	850 000 00 50	8 896 104 49	25 144 24 48	9 640 022 49	769 561 9 48
6 00 00 50	493 717 8 47	800 000 00 50	9 047 619 49	28 287 95 48	9 583 148 49	655 965 4 48
6 50 00 50	470 680 3 47	750 000 00 50	9 175 824 49	31 649 99 48	9 519 892 49	560 659 8 48
7 00 00 50	451 960 1 47	700 000 00 50	9 285 715 49	35 246 52 48	9 449 111 49	479 588 8 48
7 50 00 50	436 684 4 47	650 000 00 50	9 380 953 49	39 094 02 48	9 369 370 49	409 835 1 48
8 00 00 50	424 200 7 47	600 000 00 50	9 464 286 49	43 208 72 48	9 278 843 49	349 251 4 48
8 50 00 50	414 011 6 47	550 000 00 50	9 537 815 49	47 606 97 48	9 175 166 49	296 239 3 48
9 00 00 50	405 731 3 47	500 000 00 50	9 603 175 49	52 305 05 48	9 055 223 49	249 589 3 48



## Compton Cross Sections vs Energy of Scattered Quantum

$1451 = \gamma$		$\sigma_s(\gamma')/\phi_0$		E		w		$\sigma_1(w, \phi)/\phi_0$		w'		$\sigma_4(w', \phi)/\phi_0$	
$\gamma'$													
9500	50	3990557	47	4500000	50	9661654	49	5731929	48	8914825	49	2083853	48
1000	51	3937421	47	4000000	50	9714286	49	6266601	48	8748176	49	1719194	48
1200	51	3826802	47	2000000	50	9880953	49	8770384	48	7576135	49	6431241	47
1400	51	3826530	47	0000000	00	1000000	50	1193662	49	0000000	00	0000000	00

Compton Cross Sections vs Energy of Scattered Quantum

$15 \gamma'$	$51 = \gamma$	$\sigma_3(\gamma')/\phi_0$	E	w	$\sigma_1(w, \phi)/\phi_0$	w'	$\sigma_4(w', \phi)/\phi_0$						
4838	49	5172043	48	1451612	51	1000000	50*	1927264	47	1000000	50	1973519	50
5000	49	4984074	48	1450000	51	9333333	49*	1983100	47	9999326	49	1897930	50
5500	49	4479028	48	1445000	51	7515151	49*	2156400	47	9997230	49	1694942	50
6000	49	4066666	48	1440000	51	6000000	49*	2330028	47	9995120	49	1529246	50
6500	49	3723807	48	1435000	51	4717948	49*	2503998	47	9992997	49	1391478	50
7000	49	3434368	48	1430000	51	3619047	49*	2678324	47	9990861	49	1275225	50
7500	49	3186851	48	1425000	51	2666666	49*	2853018	47	9988711	49	1175826	50
8000	49	2972824	48	1420000	51	1833333	49*	3028093	47	9986547	49	1089872	50
8500	49	2785963	48	1415000	51	1098039	49*	3203564	47	9984370	49	1014844	50
9000	49	2621440	48	1410000	51	4444440	48*	3379443	47	9982178	49	9488155	49
9500	49	2475500	48	1405000	51	1403510	48	3555743	47	9979972	49	8902299	49
1000	50	2345185	48	1400000	51	6666670	48	3732478	47	9977753	49	8379419	49
1050	50	2228129	48	1395000	51	1142857	49	3909660	47	9975518	49	7909641	49
1100	50	2122421	48	1390000	51	1575758	49	4087305	47	9973269	49	7485562	49
1150	50	2026499	48	1385000	51	1971015	49	4265424	47	9971006	49	7100794	49
1200	50	1939074	48	1380000	51	2333334	49	4444030	47	9968727	49	6750138	49
1250	50	1859074	48	1375000	51	2666667	49	4623137	47	9966433	49	6429223	49
1300	50	1785599	48	1370000	51	2974359	49	4802760	47	9964125	49	6134572	49
1350	50	1717889	48	1365000	51	3259260	49	4982909	47	9961801	49	5863018	49
1400	50	1655298	48	1360000	51	3523810	49	5163599	47	9959462	49	5612074	49
1450	50	1597272	48	1355000	51	3770115	49	5344844	47	9957107	49	5379425	49
1500	50	1543333	48	1350000	51	4000000	49	5526655	47	9954736	49	5163178	49
1550	50	1493070	48	1345000	51	4215054	49	5709047	47	9952349	49	4961640	49
1600	50	1446122	48	1340000	51	4416667	49	5892034	47	9949946	49	4773425	49
1650	50	1402177	48	1335000	51	4606061	49	6075627	47	9947527	49	4597234	49
1700	50	1360959	48	1330000	51	4784314	49	6259840	47	9945092	49	4432005	49
1750	50	1322226	48	1325000	51	4952381	49	6444688	47	9942640	49	4276710	49
1800	50	1285761	48	1320000	51	5111111	49	6630182	47	9940171	49	4130504	49
1850	50	1251375	48	1315000	51	5261262	49	6816336	47	9937686	49	3992619	49
1900	50	1213897	48	1310000	51	5403509	49	7003165	47	9935183	49	3862425	49
1950	50	1188175	48	1305000	51	5538462	49	7190679	47	9932663	49	3739213	49
2000	50	1159074	48	1300000	51	5666667	49	7378894	47	9930126	49	3622508	49
2500	50	9351852	47	1250000	51	6666667	49	9302459	47	9903751	49	2723937	49
3000	50	7896296	47	1200000	51	7333334	49	1131061	48	9875414	49	2137953	49
3500	50	6881557	47	1150000	51	7809524	49	1341661	48	9844887	49	1727141	49
4000	50	6139352	47	1100000	51	8166667	49	1563373	48	9811906	49	1424046	49
4500	50	5577366	47	1050000	51	8444445	49	1797522	48	9778161	49	1191736	49
5000	50	5140740	47	1000000	51	8666667	49	2045435	48	9737289	49	1008297	49
5500	50	4794827	47	9500000	50	8848485	49	2308439	48	9694861	49	8599492	48
6000	50	4516666	47	9000000	50	9000000	49	2587859	48	9648363	49	7375981	48
6500	50	4290444	47	8500000	50	9128205	49	2885022	48	9597177	49	6350195	48
7000	50	4104913	47	8000000	50	9238096	49	3201254	48	9540556	49	5478219	48
7500	50	3951852	47	7500000	50	9333334	49	3537881	48	9477581	49	4728329	48
8000	50	3825115	47	7000000	50	9416667	49	3896230	48	9407115	49	4077070	48
8500	50	3720018	47	6500000	50	9490196	49	4277628	48	9327729	49	3506885	48
9000	50	3632922	47	6000000	50	9555556	49	4683399	48	9237603	49	3004395	48

Compton Cross Sections vs Energy of Scattered Quantum

15 51= $\gamma$ $\gamma'$		$\sigma_3(\gamma')/\phi_0$		E		w		$\sigma_1(w, \phi)/\phi_0$		w'		$\sigma_4(w', \phi)/\phi_0$	
9500	50	3560962	47	5500000	50	9614035	49	5114871	48	9134387	49	2559363	48
1000	51	3501852	47	5000000	50	9666667	49	5573370	48	9014977	49	2163815	48
1200	51	3361574	47	3000000	50	9833334	49	7704160	48	8262359	49	9712860	47
1400	51	3325434	47	1000000	50	9952381	49	1037348	49	6158400	49	2578227	47
1500	51	3333333	47	0000000	00	1000000	50	1193662	49	0000000	00	0000000	00

## Compton Cross Sections vs Energy of Scattered Quantum

$16.51 = \gamma$ $\gamma'$	$\sigma_3(\gamma')/\phi_0$	E	w	$\sigma_1(w, \phi)/\phi_0$	w'	$\sigma_4(w', \phi)/\phi_0$
4848 49	4838423 48	1551515 51	1000000 50*	1810239 47	1000000 50	2092637 50
5000 49	4674339 48	1550000 51	9375000 49*	1859860 47	9999441 49	2018033 50
5500 49	4203565 48	1545000 51	7556818 49*	2023780 47	9997593 49	1804125 50
6000 49	3818728 48	1540000 51	6041667 49*	2187970 47	9995733 49	1629273 50
6500 49	3498420 48	1535000 51	4759615 49*	2352441 47	9993862 49	1483761 50
7000 49	3227768 48	1530000 51	3660714 49*	2517205 47	9991981 49	1360835 50
7500 49	2996126 48	1525000 51	2708333 49*	2682272 47	9990087 49	1255657 50
8000 49	2795677 48	1520000 51	1875000 49*	2847653 47	9988183 49	1164646 50
8500 49	2620553 48	1515000 51	1139706 49*	3013359 47	9986267 49	1085144 50
9000 49	2466268 48	1510000 51	4861110 48*	3179402 47	9984339 49	1015107 50
9500 49	2329332 48	1505000 51	9868400 47	3345791 47	9982400 49	9529661 49
1000 50	2206993 48	1500000 51	6250000 48	3512538 47	9980449 49	8974519 49
1050 50	2097047 48	1495000 51	1101190 49	3679654 47	9978486 49	8475696 49
1100 50	1997715 48	1490000 51	1534091 49	3847150 47	9976511 49	8025065 49
1150 50	1907540 48	1485000 51	1929348 49	4015037 47	9974524 49	7615984 49
1200 50	1825319 48	1480000 51	2291667 49	4183324 47	9972525 49	7243091 49
1250 50	1750053 48	1475000 51	2625000 49	4352025 47	9970513 49	6901750 49
1300 50	1680900 48	1470000 51	2932692 49	4521149 47	9968489 49	6588178 49
1350 50	1617151 48	1465000 51	3217593 49	4690708 47	9966453 49	6299127 49
1400 50	1558201 48	1460000 51	3482143 49	4860712 47	9964404 49	6031917 49
1450 50	1503533 48	1455000 51	3728448 49	5031172 47	9962341 49	5784024 49
1500 50	1452700 48	1450000 51	3958333 49	5202099 47	9960266 49	5553669 49
1550 50	1405316 48	1445000 51	4173387 49	5373505 47	9958178 49	5338840 49
1600 50	1361045 48	1440000 51	4375000 49	5545399 47	9956077 49	5138200 49
1650 50	1319594 48	1435000 51	4564394 49	5717794 47	9953962 49	4950310 49
1700 50	1280704 48	1430000 51	4742647 49	5890699 47	9951834 49	4774073 49
1750 50	1244148 48	1425000 51	4910714 49	6064126 47	9949693 49	4608416 49
1800 50	1209723 48	1420000 51	5069444 49	6238086 47	9947538 49	4452419 49
1850 50	1177253 48	1415000 51	5219595 49	6412590 47	9945368 49	4305242 49
1900 50	1146576 48	1410000 51	5361842 49	6587648 47	9943186 49	4166241 49
1950 50	1117551 48	1405000 51	5496795 49	6763272 47	9940988 49	4034680 49
2000 50	1090049 48	1400000 51	5625000 49	6939472 47	9938777 49	3910034 49
2500 50	8781967 47	1350000 51	6625000 49	8735584 47	9915850 49	2949496 49
3000 50	7401148 47	1300000 51	7291667 49	1060136 48	9891336 49	2322195 49
3500 50	6435900 47	1250000 51	7767857 49	1254774 48	9865064 49	1881946 49
4000 50	5727768 47	1200000 51	8125000 49	1458564 48	9836838 49	1556897 49
4500 50	5189754 47	1150000 51	8402778 49	1672599 48	9806430 49	1307637 49
5000 50	4770126 47	1100000 51	8625000 49	1897973 48	9773578 49	1110791 49
5500 50	4436193 47	1050000 51	8806818 49	2135777 48	9737973 49	9516150 48
6000 50	4166285 47	1000000 51	8958333 49	2387105 48	9699253 49	8203751 48
6500 50	3945469 47	9500000 50	9086538 49	2653050 48	9656991 49	7103931 48
7000 50	3763121 47	9000000 50	9196429 49	2934704 48	9610673 49	6169488 48
7500 50	3611475 47	8500000 50	9291667 49	3233161 48	9559688 49	5366226 48
8000 50	3484726 47	8000000 50	9375000 49	3549512 48	9503288 49	4668795 48
8500 50	3378442 47	7500000 50	9448529 49	3884852 48	9440560 49	4058114 48
9000 50	3289187 47	7000000 50	9513889 49	4240272 48	9370369 49	3519592 48

$16.51 = \gamma$		$\sigma_3(\gamma')/\phi_0$		E		w		$\sigma_1(w, \phi)/\phi_0$		w'		$\sigma_4(w', \phi)/\phi_0$	
$\gamma'$													
9500	50	3214252	47	6500000	50	9572368	49	4616866	48	9291293	49	3041985	48
1000	51	3151474	47	6000000	50	9625000	49	5015726	48	9201519	49	2616468	48
1200	51	2991358	47	4000000	50	9791667	49	6855688	48	8675274	49	1317090	48
1400	51	2929804	47	2000000	50	9910714	49	9139338	48	7513014	49	4965198	47
1600	51	2929687	47	0000000	00	1000000	50	1193662	49	0000000	00	0000000	00

Compton Cross Sections vs Energy of Scattered Quantum

$17.51 = \gamma$		$\sigma_3(\gamma')/\phi_0$		E		w		$\sigma_1(w, \phi)/\phi_0$		w'		$\sigma_4(w', \phi)/\phi_0$	
$\gamma'$													
48 57	49	4 54 52 29	4 8	1 65 14 28	5 1	1 00 00 00	50 *	1 70 66 23	4 7	1 00 00 00	5 0	2 21 17 84	5 0
5 00 00	49	4 40 07 64	4 8	1 65 00 00	5 1	9 41 17 65	49 *	1 75 10 08	4 7	9 99 95 32	4 9	2 13 80 67	5 0
5 50 00	49	3 95 99 57	4 8	1 64 50 00	5 1	7 59 35 83	49 *	1 90 64 96	4 7	9 99 78 89	4 9	1 91 32 13	5 0
6 00 00	49	3 59 92 34	4 8	1 64 00 00	5 1	6 07 84 32	49 *	2 06 22 09	4 7	9 99 62 38	4 9	1 72 92 31	5 0
6 50 00	49	3 29 87 19	4 8	1 63 50 00	5 1	4 79 63 80	49 *	2 21 81 56	4 7	9 99 45 77	4 9	1 57 59 87	5 0
7 00 00	49	3 04 45 85	4 8	1 63 00 00	5 1	3 69 74 79	49 *	2 37 43 48	4 7	9 99 29 06	4 9	1 44 64 26	5 0
7 50 00	49	2 82 69 21	4 8	1 62 50 00	5 1	2 74 50 98	49 *	2 53 07 91	4 7	9 99 12 27	4 9	1 33 54 58	5 0
8 00 00	49	2 63 84 44	4 8	1 62 00 00	5 1	1 91 17 65	49 *	2 68 74 97	4 7	9 98 95 37	4 9	1 23 93 94	5 0
8 50 00	49	2 47 36 81	4 8	1 61 50 00	5 1	1 17 64 71	49 *	2 84 44 73	4 7	9 98 78 39	4 9	1 15 54 29	5 0
9 00 00	49	2 32 84 47	4 8	1 61 00 00	5 1	5 22 87 60	48 *	3 00 17 29	4 7	9 98 61 30	4 9	1 08 14 21	5 0
9 50 00	49	2 19 94 79	4 8	1 60 50 00	5 1	6 19 19 00	4 7	3 15 92 74	4 7	9 98 44 12	4 9	1 01 57 12	5 0
1 00 00	50	2 08 42 06	4 8	1 60 00 00	5 1	5 88 23 50	4 8	3 31 71 17	4 7	9 98 26 84	4 9	9 56 99 33	4 9
1 05 00	50	1 98 05 67	4 8	1 59 50 00	5 1	1 06 44 25	4 9	3 47 52 68	4 7	9 98 09 45	4 9	9 04 19 96	4 9
1 10 00	50	1 88 68 95	4 8	1 59 00 00	5 1	1 49 73 26	4 9	3 63 37 35	4 7	9 97 91 97	4 9	8 56 49 40	4 9
1 15 00	50	1 80 18 26	4 8	1 58 50 00	5 1	1 89 25 83	4 9	3 79 25 27	4 7	9 97 74 39	4 9	8 13 16 93	4 9
1 20 00	50	1 72 42 34	4 8	1 58 00 00	5 1	2 25 49 02	4 9	3 95 16 54	4 7	9 97 56 71	4 9	7 73 66 17	4 9
1 25 00	50	1 65 31 81	4 8	1 57 50 00	5 1	2 58 82 35	4 9	4 11 11 25	4 7	9 97 38 92	4 9	7 37 49 41	4 9
1 30 00	50	1 58 78 79	4 8	1 57 00 00	5 1	2 89 59 27	4 9	4 27 09 48	4 7	9 97 21 03	4 9	7 04 24 56	4 9
1 35 00	50	1 52 76 62	4 8	1 56 50 00	5 1	3 18 08 28	4 9	4 43 11 34	4 7	9 97 03 04	4 9	6 73 59 56	4 9
1 40 00	50	1 47 19 61	4 8	1 56 00 00	5 1	3 44 53 78	4 9	4 59 16 90	4 7	9 96 84 93	4 9	6 45 24 25	4 9
1 45 00	50	1 42 02 92	4 8	1 55 50 00	5 1	3 69 16 83	4 9	4 75 26 27	4 7	9 96 66 73	4 9	6 18 94 97	4 9
1 50 00	50	1 37 22 34	4 8	1 55 00 00	5 1	3 92 15 68	4 9	4 91 39 53	4 7	9 96 48 41	4 9	5 94 49 33	4 9
1 55 00	50	1 32 74 26	4 8	1 54 50 00	5 1	4 13 66 22	4 9	5 07 56 77	4 7	9 96 29 99	4 9	5 71 69 78	4 9
1 60 00	50	1 28 55 52	4 8	1 54 00 00	5 1	4 33 82 35	4 9	5 23 78 10	4 7	9 96 11 46	4 9	5 50 39 33	4 9
1 65 00	50	1 24 63 34	4 8	1 53 50 00	5 1	4 52 76 29	4 9	5 40 03 58	4 7	9 95 92 82	4 9	5 30 44 11	4 9
1 70 00	50	1 20 95 31	4 8	1 53 00 00	5 1	4 70 58 82	4 9	5 56 33 32	4 7	9 95 74 06	4 9	5 11 71 13	4 9
1 75 00	50	1 17 49 28	4 8	1 52 50 00	5 1	4 87 39 49	4 9	5 72 67 42	4 7	9 95 55 20	4 9	4 94 11 01	4 9
1 80 00	50	1 14 23 36	4 8	1 52 00 00	5 1	5 03 26 79	4 9	5 89 05 94	4 7	9 95 36 22	4 9	4 77 53 37	4 9
1 85 00	50	1 11 15 87	4 8	1 51 50 00	5 1	5 18 28 30	4 9	6 05 49 00	4 7	9 95 17 13	4 9	4 61 89 55	4 9
1 90 00	50	1 08 25 30	4 8	1 51 00 00	5 1	5 32 50 77	4 9	6 21 96 69	4 7	9 94 97 92	4 9	4 47 11 57	4 9
1 95 00	50	1 05 50 31	4 8	1 50 50 00	5 1	5 46 00 30	4 9	6 38 49 08	4 7	9 94 78 59	4 9	4 33 12 96	4 9
2 00 00	50	1 02 89 70	4 8	1 50 00 00	5 1	5 58 82 35	4 9	6 55 06 28	4 7	9 94 59 15	4 9	4 19 87 51	4 9
2 50 00	50	8 27 99 83	4 7	1 45 00 00	5 1	6 58 82 35	4 9	8 23 62 51	4 7	9 92 58 02	4 9	3 17 64 17	4 9
3 00 00	50	6 96 73 09	4 7	1 40 00 00	5 1	7 25 49 02	4 9	9 97 99 36	4 7	9 90 43 87	4 9	2 50 78 72	4 9
3 50 00	50	6 04 76 51	4 7	1 35 00 00	5 1	7 73 10 92	4 9	1 17 90 79	4 8	9 88 15 39	4 9	2 03 82 04	4 9
4 00 00	50	5 37 13 10	4 7	1 30 00 00	5 1	8 08 82 35	4 9	1 36 77 92	4 8	9 85 71 10	4 9	1 69 11 61	4 9
4 50 00	50	4 85 60 36	4 7	1 25 00 00	5 1	8 36 60 13	4 9	1 56 50 45	4 8	9 83 09 29	4 9	1 42 49 04	4 9
5 00 00	50	4 45 28 92	4 7	1 20 00 00	5 1	8 58 82 35	4 9	1 77 17 49	4 8	9 80 28 01	4 9	1 21 45 66	4 9
5 50 00	50	4 13 09 38	4 7	1 15 00 00	5 1	8 77 00 53	4 9	1 98 88 14	4 8	9 77 24 98	4 9	1 04 44 68	4 9
6 00 00	50	3 86 96 60	4 7	1 10 00 00	5 1	8 92 15 68	4 9	2 21 71 52	4 8	9 73 97 60	4 9	9 04 23 49	4 8
6 50 00	50	3 65 49 15	4 7	1 05 00 00	5 1	9 04 97 73	4 9	2 45 76 73	4 8	9 70 42 78	4 9	7 86 74 55	4 8
7 00 00	50	3 47 66 40	4 7	1 00 00 00	5 1	9 15 96 64	4 9	2 71 12 89	4 8	9 66 56 92	4 9	6 86 95 50	4 8
7 50 00	50	3 32 74 76	4 7	9 50 00 00	5 0	9 25 49 02	4 9	2 97 89 12	4 8	9 62 35 75	4 9	6 01 20 18	4 8
8 00 00	50	3 20 19 22	4 7	9 00 00 00	5 0	9 33 82 35	4 9	3 26 14 51	4 8	9 57 74 19	4 9	5 26 76 59	4 8
8 50 00	50	3 09 57 78	4 7	8 50 00 00	5 0	9 41 17 64	4 9	3 55 98 18	4 8	9 52 66 10	4 9	4 61 59 46	4 8
9 00 00	50	3 00 57 86	4 7	8 00 00 00	5 0	9 47 71 24	4 9	3 87 49 24	4 8	9 47 04 05	4 9	4 04 11 03	4 8

## Compton Cross Sections vs Energy of Scattered Quantum

$^{17}_{51}\text{Lu} = \gamma$		$\sigma_3(\gamma')/\phi_0$		E		w		$\sigma_1(w, \phi)/\phi_0$		w'		$\sigma_4(w', \phi)/\phi_0$	
$\gamma'$													
9500	50	2929378	47	7500000	50	9535603	49	4207681	48	9407894	49	3530932	48
1000	51	2864504	47	7000000	50	9588235	49	4558999	48	9337946	49	3075808	48
1200	51	2691345	47	5000000	50	9754902	49	6168109	48	8948692	49	1675320	48
1400	51	2611717	47	3000000	50	9873949	49	8147088	48	8201618	49	7602237	47
1600	51	2590402	47	1000000	50	9963235	49	1055425	49	6113135	49	2023249	47
1700	51	2595155	47	0000000	00	1000000	50	1193662	49	0000000	00	0000000	00

Compton Cross Sections vs Energy of Scattered Quantum

$18 \quad 51 = \gamma$ $\gamma'$	$\sigma_3(\gamma')/\phi_0$	E	w	$\sigma_1(w, \phi)/\phi_0$	w'	$\sigma_4(w', \phi)/\phi_0$
4864 49	4285535 48	1751351 51	1000000 50*	1614235 47	1000000 50	2330955 50
5000 49	4157378 48	1750000 51	9444444 49*	1654168 47	9999604 49	2257985 50
5500 49	3742989 48	1745000 51	7626262 49*	1802038 47	9998135 49	2022275 50
6000 49	3403563 48	1740000 51	6111111 49*	1950098 47	9996658 49	1829123 50
6500 49	3120557 48	1735000 51	4829059 49*	2098355 47	9995173 49	1668182 50
7000 49	2881055 48	1730000 51	3730158 49*	2246817 47	9993681 49	1531982 50
7500 49	2675790 48	1725000 51	2777777 49*	2395492 47	9992180 49	1415246 50
8000 49	2497945 48	1720000 51	1944444 49*	2544386 47	9990672 49	1314123 50
8500 49	2342397 48	1715000 51	1209150 49*	2693509 47	9989155 49	1225700 50
9000 49	2205218 48	1710000 51	5555550 48*	2842868 47	9987630 49	1147718 50
9500 49	2083351 48	1705000 51	2924000 47	2992470 47	9986097 49	1078467 50
1000 50	1974379 48	1700000 51	5555560 48	3142323 47	9984555 49	1016541 50
1050 50	1876369 48	1695000 51	1031746 49	3292434 47	9983006 49	9608471 49
1100 50	1787754 48	1690000 51	1464647 49	3442812 47	9981447 49	9104978 49
1150 50	1707251 48	1685000 51	1859904 49	3593464 47	9979881 49	8647738 49
1200 50	1633802 48	1680000 51	2222223 49	3744398 47	9978305 49	8230593 49
1250 50	1566522 48	1675000 51	2555556 49	3895621 47	9976721 49	7848433 49
1300 50	1504671 48	1670000 51	2863248 49	4047141 47	9975129 49	7497199 49
1350 50	1447620 48	1665000 51	3148149 49	4198966 47	9973527 49	7173278 49
1400 50	1394836 48	1660000 51	3412699 49	4351104 47	9971917 49	6873650 49
1450 50	1345860 48	1655000 51	3659004 49	4503561 47	9970298 49	6595592 49
1500 50	1300297 48	1650000 51	3888889 49	4656346 47	9968669 49	6336972 49
1550 50	1257805 48	1645000 51	4103943 49	4809467 47	9967032 49	6095819 49
1600 50	1218086 48	1640000 51	4305556 49	4962930 47	9965385 49	5870350 49
1650 50	1180880 48	1635000 51	4494950 49	5116745 47	9963729 49	5659208 49
1700 50	1145956 48	1630000 51	4673203 49	5270917 47	9962064 49	5461066 49
1750 50	1113115 48	1625000 51	4841270 49	5425457 47	9960389 49	5274703 49
1800 50	1082175 48	1620000 51	5000000 49	5580370 47	9958705 49	5099175 49
1850 50	1052980 48	1615000 51	5150151 49	5735664 47	9957012 49	4933512 49
1900 50	1025385 48	1610000 51	5292398 49	5891348 47	9955309 49	4777018 49
1950 50	9992666 47	1605000 51	5427351 49	6047428 47	9953595 49	4628842 49
2000 50	9745084 47	1600000 51	5555556 49	6203913 47	9951873 49	4488399 49
2500 50	7834076 47	1550000 51	6555556 49	7792700 47	9934085 49	3404458 49
3000 50	6583647 47	1500000 51	7222223 49	9430381 47	9915218 49	2694789 49
3500 50	5705968 47	1450000 51	7698413 49	1112463 48	9895166 49	2195725 49
4000 50	5059192 47	1400000 51	8055556 49	1288312 48	9873818 49	1825686 49
4500 50	4565329 47	1350000 51	8333334 49	1471354 48	9851041 49	1543389 49
5000 50	4177955 47	1300000 51	8555556 49	1662355 48	9826687 49	1319504 49
5500 50	3867708 47	1250000 51	8737374 49	1862083 48	9800587 49	1138412 49
6000 50	3615112 47	1200000 51	8888889 49	2071306 48	9772545 49	9891081 48
6500 50	3406738 47	1150000 51	9017094 49	2290791 48	9742336 49	8640276 48
7000 50	3233027 47	1100000 51	9126985 49	2521306 48	9709698 49	7578077 48
7500 50	3086991 47	1050000 51	9222223 49	2763618 48	9674326 49	6665508 48
8000 50	2963400 47	1000000 51	9305556 49	3018495 48	9635859 49	5873549 48
8500 50	2858265 47	9500000 50	9379085 49	3286704 48	9593873 49	5180241 48
9000 50	2768490 47	9000000 50	9444445 49	3569012 48	9547858 49	4568685 48



## Compton Cross Sections vs Energy of Scattered Quantum

18 $\gamma'$	51= $\gamma$	$\sigma_3(\gamma')/\phi_0$		E		w	$\sigma_1(w,\phi)/\phi_0$		w'	$\sigma_4(w',\phi)/\phi_0$			
9500	50	2691632	47	8500000	50	9502924	49	3866189	48	9497207	49	4025764	48
1000	51	2625743	47	8000000	50	9555556	49	4179000	48	9441175	49	3541075	48
1200	51	2444308	47	6000000	50	9722223	49	5601943	48	9141377	49	2042696	48
1400	51	2351849	47	4000000	50	9841270	49	7336446	48	8618573	49	1042329	48
1600	51	2314870	47	2000000	50	9930556	49	9431631	48	7463894	49	3948817	47
1800	51	2314814	47	0000000	00	1000000	50	1193662	49	0000000	00	0000000	00

## Compton Cross Sections vs Energy of Scattered Quantum

$19 \ 51 = \gamma$		$\sigma_s(\gamma')/\phi_0$		E		w		$\sigma_1(w, \phi)/\phi_0$		w'		$\sigma_4(w', \phi)/\phi_0$	
$\gamma'$													
4871	49	4053910	48	1851282	51	1000000	50*	1531342	47	1000000	50	2450147	50
5000	49	3939455	48	1850000	51	9473684	49*	1567459	47	9999662	49	2377905	50
5500	49	3548525	48	1845000	51	7655502	49*	1708415	47	9998340	49	2131209	50
6000	49	3228042	48	1840000	51	6140351	49*	1849531	47	9997012	49	1929021	50
6500	49	2960631	48	1835000	51	4858299	49*	1990816	47	9995677	49	1760338	50
7000	49	2734179	48	1830000	51	3759398	49*	2132274	47	9994335	49	1617475	50
7500	49	2539986	48	1825000	51	2807017	49*	2273913	47	9992986	49	1494998	50
8000	49	2371647	48	1820000	51	1973684	49*	2415740	47	9991631	49	1388862	50
8500	49	2224343	48	1815000	51	1238390	49*	2557760	47	9990269	49	1295978	50
9000	49	2094380	48	1810000	51	5847950	48*	2699980	47	9988899	49	1214039	50
9500	49	1978878	48	1805000	51	0000000		2842407	47	9987523	49	1141232	50
1000	50	1875561	48	1800000	51	5263160	48	2985048	47	9986140	49	1076112	50
1050	50	1782605	48	1795000	51	1002506	49	3127908	47	9984749	49	1017532	50
1100	50	1698534	48	1790000	51	1435407	49	3270995	47	9983351	49	9645461	49
1150	50	1622137	48	1785000	51	1830664	49	3414314	47	9981946	49	9164114	49
1200	50	1552415	48	1780000	51	2192983	49	3557873	47	9980534	49	8724907	49
1250	50	1488533	48	1775000	51	2526316	49	3701678	47	9979114	49	8322467	49
1300	50	1429791	48	1770000	51	2834008	49	3845735	47	9977687	49	7952474	49
1350	50	1375595	48	1765000	51	3118909	49	3990051	47	9976253	49	7611148	49
1400	50	1325442	48	1760000	51	3383459	49	4134633	47	9974811	49	7295324	49
1450	50	1278897	48	1755000	51	3629764	49	4279487	47	9973361	49	7002242	49
1500	50	1235586	48	1750000	51	3859649	49	4424619	47	9971904	49	6729564	49
1550	50	1195188	48	1745000	51	4074703	49	4570037	47	9970439	49	6475265	49
1600	50	1157418	48	1740000	51	4276316	49	4715745	47	9968966	49	6237506	49
1650	50	1122031	48	1735000	51	4465710	49	4861753	47	9967486	49	6014785	49
1700	50	1088809	48	1730000	51	4643963	49	5008065	47	9965997	49	5805682	49
1750	50	1057562	48	1725000	51	4812030	49	5154687	47	9964501	49	5609098	49
1800	50	1028121	48	1720000	51	4970760	49	5301629	47	9962997	49	5423772	49
1850	50	1000333	48	1715000	51	5120911	49	5448893	47	9961484	49	5248965	49
1900	50	9740659	47	1710000	51	5263158	49	5596489	47	9959963	49	5083707	49
1950	50	9491985	47	1705000	51	5398111	49	5744422	47	9958435	49	4927276	49
2000	50	9256231	47	1700000	51	5526316	49	5892699	47	9956898	49	4778960	49
2500	50	7435083	47	1650000	51	6526316	49	7395814	47	9941055	49	3633534	49
3000	50	6241639	47	1600000	51	7192983	49	8940490	47	9924305	49	2882772	49
3500	50	5402643	47	1550000	51	7669173	49	1053325	48	9906567	49	2354361	49
4000	50	4783321	47	1500000	51	8026316	49	1218062	48	9887751	49	1963325	49
4500	50	4309533	47	1450000	51	8304094	49	1388914	48	9867756	49	1662969	49
5000	50	3937124	47	1400000	51	8526316	49	1566532	48	9846466	49	1425497	49
5500	50	3638160	47	1350000	51	8708134	49	1751569	48	9823752	49	1233359	49
6000	50	3394103	47	1300000	51	8859649	49	1944677	48	9799466	49	1074923	49
6500	50	3192171	47	1250000	51	8987854	49	2146510	48	9773439	49	9421880	48
7000	50	3023265	47	1200000	51	9097745	49	2357721	48	9745474	49	8294722	48
7500	50	2880726	47	1150000	51	9192983	49	2578960	48	9715349	49	7326475	48
8000	50	2759577	47	1100000	51	9276316	49	2810882	48	9682802	49	6486304	48
8500	50	2656016	47	1050000	51	9349845	49	3054138	48	9647527	49	5750877	48
9000	50	2567094	47	1000000	51	9415205	49	3309382	48	9609167	49	5102192	48

## Compton Cross Sections vs Energy of Scattered Quantum

$^{19}_{51}\text{Pb} = \gamma$		$\sigma_8(\gamma')/\phi_0$		E		w		$\sigma_1(w, \phi)/\phi_0$		w'		$\sigma_4(w', \phi)/\phi_0$	
9500	50	2490485	47	9500000	50	9473684	49	3577266	48	9567297	49	4526230	48
1000	51	2424331	47	9000000	50	9526316	49	3858443	48	9521410	49	4011858	48
1200	51	2238003	47	7000000	50	9692983	49	5129126	48	9283336	49	2417219	48
1400	51	2136507	47	5000000	50	9812030	49	6664699	48	8896360	49	1337766	48
1600	51	2087914	47	3000000	50	9901316	49	8506929	48	8153646	49	6113230	47
1800	51	2074533	47	1000000	50	9970760	49	1069758	49	6077386	49	1629858	47
1900	51	2077562	47	0000000	00	1000000	50	1193662	49	0000000	00	0000000	00

Compton Cross Sections vs Energy of Scattered Quantum

$20 \gamma'$	$51 = \gamma$	$\sigma_3(\gamma')/\phi_0$	E	w	$\sigma_1(w, \phi)/\phi_0$	w'	$\sigma_4(w', \phi)/\phi_0$
4878	49	3846036 48	1951219 51	1000000 50*	1456551 47	1000000 50	2569356 50
5000	49	3743203 48	1950000 51	9500000 49*	1489373 47	9999709 49	2497758 50
5500	49	3373241 48	1945000 51	7681818 49*	1624025 47	9998513 49	2240116 50
6000	49	3069713 48	1940000 51	6166667 49*	1758816 47	9997312 49	2028846 50
6500	49	2816280 48	1935000 51	4884615 49*	1893750 47	9996105 49	1852447 50
7000	49	2601538 48	1930000 51	3785714 49*	2028833 47	9994893 49	1702968 50
7500	49	2417291 48	1925000 51	2833333 49*	2164072 47	9993674 49	1574738 50
8000	49	2257500 48	1920000 51	2000000 49*	2299470 47	9992450 49	1463570 50
8500	49	2117616 48	1915000 51	1264706 49*	2435035 47	9991219 49	1366244 50
9000	49	1994152 48	1910000 51	6111110 48*	2570771 47	9989983 49	1280342 50
9500	49	1884388 48	1905000 51	2631600 47*	2706684 47	9988740 49	1204002 50
1000	50	1786171 48	1900000 51	5000000 48	2842780 47	9987492 49	1135690 50
1050	50	1697779 48	1895000 51	9761900 48	2979065 47	9986237 49	1074211 50
1100	50	1617813 48	1890000 51	1409091 49	3115543 47	9984976 49	1018616 50
1150	50	1545127 48	1885000 51	1804348 49	3252221 47	9983709 49	9680723 49
1200	50	1478776 48	1880000 51	2166667 49	3389105 47	9982436 49	9219429 49
1250	50	1417968 48	1875000 51	2500000 49	3526198 47	9981156 49	8796787 49
1300	50	1362041 48	1870000 51	2807692 49	3663509 47	9979871 49	8408065 49
1350	50	1310433 48	1865000 51	3092593 49	3801041 47	9978578 49	8049437 49
1400	50	1262664 48	1860000 51	3357143 49	3938801 47	9977280 49	7717527 49
1450	50	1218323 48	1855000 51	3603448 49	4076794 47	9975974 49	7409348 49
1500	50	1177057 48	1850000 51	3833333 49	4215025 47	9974663 49	7122747 49
1550	50	1138558 48	1845000 51	4048387 49	4353501 47	9973344 49	6855234 49
1600	50	1102558 48	1840000 51	4250000 49	4492227 47	9972019 49	6605224 49
1650	50	1068824 48	1835000 51	4439394 49	4631209 47	9970688 49	6370900 49
1700	50	1037150 48	1830000 51	4617647 49	4770452 47	9969349 49	6150924 49
1750	50	1007353 48	1825000 51	4785714 49	4909961 47	9968004 49	5944042 49
1800	50	9792736 47	1820000 51	4944444 49	5049742 47	9966652 49	5749079 49
1850	50	9527681 47	1815000 51	5094595 49	5189802 47	9965293 49	5565058 49
1900	50	9277088 47	1810000 51	5236842 49	5330145 47	9963927 49	5391099 49
1950	50	9039817 47	1805000 51	5371795 49	5470776 47	9962554 49	5226369 49
2000	50	8814843 47	1800000 51	5500000 49	5611703 47	9961174 49	5070218 49
2500	50	7075781 47	1750000 51	6500000 49	7038409 47	9946974 49	3863466 49
3000	50	5934635 47	1700000 51	7166667 49	8500739 47	9932005 49	3071696 49
3500	50	5131329 47	1650000 51	7642857 49	1000428 48	9916202 49	2513955 49
4000	50	4537500 47	1600000 51	8000000 49	1155464 48	9899494 49	2100952 49
4500	50	4082494 47	1550000 51	8277778 49	1315742 48	9881801 49	1783525 49
5000	50	3724218 47	1500000 51	8500000 49	1481819 48	9863032 49	1532445 49
5500	50	3436034 47	1450000 51	8681818 49	1654257 48	9843087 49	1329224 49
6000	50	3200260 47	1400000 51	8833333 49	1833614 48	9821850 49	1161609 49
6500	50	3004701 47	1350000 51	8961538 49	2020450 48	9799193 49	1021167 49
7000	50	2840672 47	1300000 51	9071429 49	2215324 48	9774967 49	9019037 48
7500	50	2701823 47	1250000 51	9166667 49	2418797 48	9749005 49	7994552 48
8000	50	2583394 47	1200000 51	9250000 49	2631428 48	9721111 49	7105667 48
8500	50	2481771 47	1150000 51	9323529 49	2853775 48	9691061 49	6327650 48
9000	50	2394126 47	1100000 51	9388889 49	3086399 48	9658595 49	5641426 48

Compton Cross Sections vs Energy of Scattered Quantum

$20 \text{ } 51 = \gamma$		$\sigma_s(\gamma')/\phi_0$		E		w		$\sigma_1(w, \phi)/\phi_0$		w'		$\sigma_4(w', \phi)/\phi_0$	
$\gamma'$													
9500	50	2318241	47	10500000	51	9447368	49	3329860	48	9623409	49	5032104	48
1000	51	2252343	47	10000000	51	9500000	49	3584716	48	9585144	49	4487840	48
1200	51	2063541	47	80000000	50	9666667	49	4729289	48	9391484	49	2797616	48
1400	51	1955787	47	60000000	50	9785714	49	6100955	48	9093267	49	1643100	48
1600	51	1898584	47	40000000	50	9875000	49	7735527	48	8573214	49	8458970	47
1800	51	1875028	47	20000000	50	9944444	49	9668811	48	7424634	49	3215498	47
2000	51	1875000	47	00000000	00	10000000	50	1193662	49	0000000	00	0000000	00

## Compton Cross Sections vs Energy of Scattered Quantum

$z = 51 = \gamma$		$\sigma_3(\gamma')/\phi_0$		E		w		$\sigma_1(w, \phi)/\phi_0$		w'		$\sigma_4(w', \phi)/\phi_0$	
$\gamma'$													
4888	49	3488291	48	2151111	51	1000000	50*	1326946	47	1000000	50	2807817	50
5000	49	3403968	48	2150000	51	9545454	49*	1354396	47	9999780	49	2737192	50
5500	49	3069894	48	2145000	51	7727272	49*	1477981	47	9998788	49	2457963	50
6000	49	2795442	48	2140000	51	6212121	49*	1601670	47	9997792	49	2228416	50
6500	49	2566019	48	2135000	51	4930069	49*	1725467	47	9996791	49	2036589	50
7000	49	2371423	48	2130000	51	3831168	49*	1849376	47	9995787	49	1873908	50
7500	49	2204310	48	2125000	51	2878787	49*	1973401	47	9994777	49	1734209	50
8000	49	2059261	48	2120000	51	2045454	49*	2097546	47	9993764	49	1612984	50
8500	49	1932191	48	2115000	51	1310160	49*	2221816	47	9992745	49	1506781	50
9000	49	1819963	48	2110000	51	6565650	48*	2346215	47	9991723	49	1412985	50
9500	49	1720128	48	2105000	51	7177000	47*	2470747	47	9990695	49	1329567	50
1000	50	1630748	48	2100000	51	4545460	48	2595416	47	9989654	49	1254869	50
1050	50	1550266	48	2095000	51	9307360	48	2720226	47	9988627	49	1187655	50
1100	50	1477422	48	2090000	51	1363637	49	2845182	47	9987586	49	1126801	50
1150	50	1411181	48	2085000	51	1758894	49	2970288	47	9986540	49	1071461	50
1200	50	1350687	48	2080000	51	2121213	49	3095547	47	9985490	49	1020948	50
1250	50	1295227	48	2075000	51	2454546	49	3220965	47	9984435	49	9746334	49
1300	50	1244199	48	2070000	51	2762238	49	3346546	47	9983375	49	9320313	49
1350	50	1197095	48	2065000	51	3047139	49	3472293	47	9982310	49	8927045	49
1400	50	1153481	48	2060000	51	3311689	49	3598211	47	9981241	49	8562932	49
1450	50	1112984	48	2055000	51	3557994	49	3724304	47	9980166	49	8224883	49
1500	50	1075283	48	2050000	51	3787879	49	3850576	47	9979087	49	7910226	49
1550	50	1040101	48	2045000	51	4002933	49	3977031	47	9978003	49	7616645	49
1600	50	1007193	48	2040000	51	4204546	49	4103674	47	9976913	49	7341944	49
1650	50	9763481	47	2035000	51	4393940	49	4230509	47	9975819	49	7084668	49
1700	50	9473786	47	2030000	51	4572193	49	4357541	47	9974720	49	6842932	49
1750	50	9201194	47	2025000	51	4740260	49	4484772	47	9973616	49	6615530	49
1800	50	8944246	47	2020000	51	4898990	49	4612208	47	9972507	49	6401245	49
1850	50	8701643	47	2015000	51	5049141	49	4739852	47	9971392	49	6198903	49
1900	50	8472223	47	2010000	51	5191388	49	4867710	47	9970272	49	6007576	49
1950	50	8254947	47	2005000	51	5326341	49	4995784	47	9969148	49	5826436	49
2000	50	8048886	47	2000000	51	5454546	49	5124080	47	9968017	49	5654549	49
2500	50	6454221	47	1950000	51	6454546	49	6420131	47	9956420	49	4325437	49
3000	50	5405589	47	1900000	51	7121213	49	7742936	47	9944256	49	3451944	49
3500	50	4665813	47	1850000	51	7597403	49	9096694	47	9931482	49	2835694	49
4000	50	4117690	47	1800000	51	7954546	49	1048561	48	9918052	49	2378742	49
4500	50	3696652	47	1750000	51	8232324	49	1191389	48	9903914	49	2027191	49
5000	50	3364204	47	1700000	51	8454546	49	1338574	48	9889009	49	1748846	49
5500	50	3095972	47	1650000	51	8636364	49	1490536	48	9873275	49	1523391	49
6000	50	2875771	47	1600000	51	8787879	49	1647695	48	9856639	49	1337327	49
6500	50	2692434	47	1550000	51	8916084	49	1810472	48	9839023	49	1181363	49
7000	50	2538007	47	1500000	51	9025975	49	1979288	48	9820335	49	1048879	49
7500	50	2406669	47	1450000	51	9121213	49	2154562	48	9800476	49	9350625	48
8000	50	2294064	47	1400000	51	9204546	49	2336715	48	9779331	49	8363038	48
8500	50	2196869	47	1350000	51	9278075	49	2526167	48	9756772	49	7498655	48
9000	50	2112499	47	1300000	51	9343435	49	2723339	48	9732651	49	6736264	48

Compton Cross Sections vs Energy of Scattered Quantum

$2s$ $\gamma'$	$51=\gamma$	$\sigma_3(\gamma')/\phi_0$		E		w	$\sigma_1(w, \phi)/\phi_0$		w'	$\sigma_4(w', \phi)/\phi_0$			
9500	50	2038921	47	1250000	51	9401914	49	2928652	48	9706801	49	6059298	48
1000	51	1974506	47	1200000	51	9454546	49	3142525	48	9679027	49	5454503	48
1200	51	1785484	47	1000000	51	9621213	49	4092029	48	9543649	49	3573067	48
1400	51	1670856	47	8000000	50	9740260	49	5212131	48	9350829	49	2275088	48
1600	51	1602638	47	6000000	50	9829546	49	6529737	48	9053899	49	1352256	48
1800	51	1565318	47	4000000	50	9898990	49	8071751	48	8536099	49	7004446	47
2000	51	1549602	47	2000000	50	9954546	49	9865078	48	7392459	49	2668907	47
2200	51	1549586	47	0000000	00	1000000	50	1193662	49	0000000	00	0000000	00

Compton Cross Sections vs Energy of Scattered Quantum

$24, 51 = \gamma$ $\gamma'$	$\sigma_3(\gamma')/\phi_0$	E	w	$\sigma_1(w, \phi)/\phi_0$	w'	$\sigma_4(w', \phi)/\phi_0$
4897 49	3191432 48	2351020 51	1000000 50*	1218529 47	1000000 50	3046324 50
5000 49	3121044 48	2350000 51	9583333 49*	1241823 47	9999829 49	2976538 50
5500 49	2816553 48	2345000 51	7765151 49*	1356011 47	9998993 49	2675512 50
6000 49	2566121 48	2340000 51	6250000 49*	1470279 47	9998154 49	2427898 50
6500 49	2356573 48	2335000 51	4967948 49*	1584629 47	9997311 49	2220630 50
7000 49	2178683 48	2330000 51	3869047 49*	1699066 47	9996465 49	2044771 50
7500 49	2025802 48	2325000 51	2916666 49*	1813592 47	9995615 49	1893615 50
8000 49	1893016 48	2320000 51	2083333 49*	1928210 47	9994762 49	1762320 50
8500 49	1776620 48	2315000 51	1348039 49*	2042925 47	9993906 49	1647286 50
9000 49	1673762 48	2310000 51	6944440 48*	2157739 47	9993046 49	1545616 50
9500 49	1582217 48	2305000 51	1096490 48*	2272655 47	9992182 49	1455133 50
1000 50	1500221 48	2300000 51	4166670 48	2387676 47	9991315 49	1374098 50
1050 50	1426358 48	2295000 51	8928570 48	2502807 47	9990445 49	1301100 50
1100 50	1359478 48	2290000 51	1325758 49	2618049 47	9989570 49	1235038 50
1150 50	1298639 48	2285000 51	1721015 49	2733407 47	9988693 49	1174936 50
1200 50	1243060 48	2280000 51	2083334 49	2848883 47	9987811 49	1120028 50
1250 50	1192088 48	2275000 51	2416667 49	2964482 47	9986926 49	1069680 50
1300 50	1145177 48	2270000 51	2724359 49	3080205 47	9986038 49	1023344 50
1350 50	1101861 48	2265000 51	3009260 49	3196056 47	9985145 49	9805637 49
1400 50	1061742 48	2260000 51	3273810 49	3312039 47	9984249 49	9409534 49
1450 50	1024482 48	2255000 51	3520115 49	3428157 47	9983349 49	9041654 49
1500 50	9897867 47	2250000 51	3750000 49	3544412 47	9982446 49	8699056 49
1550 50	9574004 47	2245000 51	3965054 49	3660809 47	9981539 49	8379404 49
1600 50	9271014 47	2240000 51	4166667 49	3777351 47	9980627 49	8080253 49
1650 50	8986951 47	2235000 51	4356061 49	3894040 47	9979712 49	7799938 49
1700 50	8720104 47	2230000 51	4534314 49	4010879 47	9978794 49	7536589 49
1750 50	8468962 47	2225000 51	4702381 49	4127874 47	9977871 49	7288773 49
1800 50	8232185 47	2220000 51	4861111 49	4245025 47	9976944 49	7055171 49
1850 50	8008583 47	2215000 51	5011262 49	4362337 47	9976014 49	6834513 49
1900 50	7797091 47	2210000 51	5153509 49	4479813 47	9975079 49	6625928 49
1950 50	7596757 47	2205000 51	5288462 49	4597456 47	9974141 49	6428285 49
2000 50	7406729 47	2200000 51	5416667 49	4715270 47	9973199 49	6240876 49
2500 50	5934832 47	2150000 51	6416667 49	5903487 47	9963549 49	4789821 49
3000 50	4965323 47	2100000 51	7083334 49	7112301 47	9953469 49	3834787 49
3500 50	4280234 47	2050000 51	7559524 49	8344950 47	9942931 49	3160173 49
4000 50	3771746 47	2000000 51	7916667 49	9604674 47	9931901 49	2659382 49
4500 50	3380418 47	1950000 51	8194445 49	1089470 48	9920346 49	2273707 49
5000 50	3070791 47	1900000 51	8416667 49	1221829 48	9908226 49	1968099 49
5500 50	2820405 47	1850000 51	8598485 49	1357866 48	9895499 49	1720360 49
6000 50	2614339 47	1800000 51	8750000 49	1497906 48	9882117 49	1515774 49
6500 50	2442295 47	1750000 51	8878205 49	1642272 48	9868030 49	1344191 49
7000 50	2296938 47	1700000 51	8988096 49	1791288 48	9853180 49	1198380 49
7500 50	2172896 47	1650000 51	9083334 49	1945278 48	9837502 49	1073073 49
8000 50	2066153 47	1600000 51	9166667 49	2104566 48	9820927 49	9643221 48
8500 50	1973638 47	1550000 51	9240196 49	2269475 48	9803374 49	8691241 48
9000 50	1892969 47	1500000 51	9305556 49	2440330 48	9784754 49	7851516 48



Compton Cross Sections vs Energy of Scattered Quantum

$\frac{24}{\gamma'} \quad 51 = \gamma$		$\sigma_3(\gamma')/\phi_0$		E		w		$\sigma_1(w, \phi)/\phi_0$		w'		$\sigma_4(w', \phi)/\phi_0$	
9500	50	1822266	47	1450000	51	9364035	49	2617454	48	9764967	49	7105798	48
1000	51	1760027	47	1400000	51	9416667	49	2801171	48	9743899	49	6439534	48
1200	51	1574481	47	1200000	51	9583334	49	3608444	48	9643958	49	4365261	48
1400	51	1457669	47	1000000	51	9702381	49	4547109	48	9509072	49	2927670	48
1600	51	1383746	47	8000000	50	9791667	49	5637889	48	9316948	49	1891000	48
1800	51	1338377	47	6000000	50	9861111	49	6901506	48	9021098	49	1133394	48
2000	51	1312979	47	4000000	50	9916667	49	8358685	48	8505168	49	5896622	47
2200	51	1302092	47	2000000	50	9962121	49	1003014	49	7365705	49	2250823	47
2400	51	1302083	47	0000000	00	1000000	50	1193662	49	0000000	00	0000000	00

## Compton Cross Sections vs Energy of Scattered Quantum

$26 \quad 51 = \gamma$ $\gamma'$		$\sigma_3(\gamma')/\phi_0$		E		w		$\sigma_1(w, \phi)/\phi_0$		w'		$\sigma_4(w', \phi)/\phi_0$	
4905	49	2941135	48	2550943	51	1000000	50*	1126497	47	1000000	50	3284865	50
5000	49	2881497	48	2550000	51	9615385	49*	1146511	47	9999865	49	3215883	50
5500	49	2601803	48	2545000	51	7797203	49*	1252621	47	9999151	49	2893043	50
6000	49	2371545	48	2540000	51	6282052	49*	1358795	47	9998434	49	2627272	50
6500	49	2178716	48	2535000	51	5000000	49*	1465033	47	9997714	49	2404648	50
7000	49	2014901	48	2530000	51	3901099	49*	1571339	47	9996992	49	2215550	50
7500	49	1874027	48	2525000	51	2948718	49*	1677716	47	9996267	49	2053016	50
8000	49	1751600	48	2520000	51	2115385	49*	1784165	47	9995539	49	1911697	50
8500	49	1644229	48	2515000	51	1380091	49*	1890690	47	9994808	49	1787789	50
9000	49	1549303	48	2510000	51	7264960	48*	1997292	47	9994075	49	1678239	50
9500	49	1464783	48	2505000	51	1417010	48*	2103975	47	9993339	49	1580730	50
1000	50	1389049	48	2500000	51	3846150	48	2210741	47	9992600	49	1493359	50
1050	50	1320804	48	2495000	51	8608050	48	2317593	47	9991859	49	1414619	50
1100	50	1258990	48	2490000	51	1293706	49	2424532	47	9991114	49	1343320	50
1150	50	1202743	48	2485000	51	1688963	49	2531563	47	9990367	49	1278450	50
1200	50	1151344	48	2480000	51	2051282	49	2638686	47	9989617	49	1219163	50
1250	50	1104194	48	2475000	51	2384615	49	2745905	47	9988864	49	1164798	50
1300	50	1060788	48	2470000	51	2692307	49	2853223	47	9988108	49	1114746	50
1350	50	1020700	48	2465000	51	2977208	49	2960641	47	9987350	49	1068518	50
1400	50	9835631	47	2460000	51	3241758	49	3068163	47	9986588	49	1025701	50
1450	50	9490645	47	2455000	51	3488063	49	3175790	47	9985823	49	9859288	49
1500	50	9169335	47	2450000	51	3717948	49	3283526	47	9985056	49	9488890	49
1550	50	8869356	47	2445000	51	3933002	49	3391373	47	9984286	49	9143295	49
1600	50	8588658	47	2440000	51	4134615	49	3499334	47	9983512	49	8819748	49
1650	50	8325448	47	2435000	51	4324009	49	3607411	47	9982736	49	8516473	49
1700	50	8078147	47	2430000	51	4502262	49	3715606	47	9981956	49	8231458	49
1750	50	7845360	47	2425000	51	4670329	49	3823923	47	9981174	49	7963295	49
1800	50	7625853	47	2420000	51	4829059	49	3932363	47	9980388	49	7710388	49
1850	50	7418527	47	2415000	51	4979210	49	4040929	47	9979600	49	7471603	49
1900	50	7222400	47	2410000	51	5121457	49	4149625	47	9978808	49	7245661	49
1950	50	7036593	47	2405000	51	5256410	49	4258452	47	9978013	49	7031704	49
2000	50	6860316	47	2400000	51	5384615	49	4367413	47	9977215	49	6828689	49
2500	50	5493964	47	2350000	51	6384615	49	5464947	47	9969061	49	5256048	49
3000	50	4592783	47	2300000	51	7051282	49	6578678	47	9960573	49	4219669	49
3500	50	3955148	47	2250000	51	7527472	49	7711149	47	9951731	49	3486846	49
4000	50	3481241	47	2200000	51	7884615	49	8864908	47	9942512	49	2942349	49
4500	50	3115995	47	2150000	51	8162393	49	1004250	48	9932892	49	2522592	49
5000	50	2826548	47	2100000	51	8384615	49	1124648	48	9922843	49	2189717	49
5500	50	2592075	47	2050000	51	8566433	49	1247938	48	9912337	49	1919688	49
6000	50	2398740	47	2000000	51	8717948	49	1374376	48	9901342	49	1696532	49
6500	50	2236988	47	1950000	51	8846153	49	1504217	48	9889822	49	1509278	49
7000	50	2100013	47	1900000	51	8956044	49	1637714	48	9877739	49	1350073	49
7500	50	1982832	47	1850000	51	9051282	49	1775123	48	9865051	49	1213199	49
8000	50	1881714	47	1800000	51	9134615	49	1916698	48	9851711	49	1094372	49
8500	50	1793812	47	1750000	51	9208144	49	2062695	48	9837667	49	9903279	48
9000	50	1716912	47	1700000	51	9273504	49	2213366	48	9822862	49	8985321	48

Compton Cross Sections vs Energy of Scattered Quantum

$^{26}_{51}\gamma$		$\sigma_3(\gamma')/\phi_0$		E		w		$\sigma_1(w, \phi)/\phi_0$		w'		$\sigma_4(w', \phi)/\phi_0$	
9500	50	1649270	47	1650000	51	9331983	49	2368968	48	9807234	49	8170013	48
1000	51	1589492	47	1600000	51	9384615	49	2529756	48	9790709	49	7441447	48
1200	51	1409287	47	1400000	51	9551282	49	3229848	48	9713918	49	5172178	48
1400	51	1292949	47	1200000	51	9670329	49	4033274	48	9614286	49	3595800	48
1600	51	1216467	47	1000000	51	9759615	49	4956334	48	9479814	49	2450774	48
1800	51	1166525	47	8000000	50	9829059	49	6015327	48	9288285	49	1599089	48
2000	51	1135144	47	6000000	50	9884615	49	7226553	48	8993343	49	9642594	47
2200	51	1117253	47	4000000	50	9930069	49	8606311	48	8479018	49	5033236	47
2400	51	1109473	47	2000000	50	9967948	49	1017090	49	7343069	49	1923818	47
2600	51	1109467	47	0000000	00	1000000	50	1193662	49	0000000	00	0000000	00

## Compton Cross Sections vs Energy of Scattered Quantum

$28 \quad 51 = \gamma$		$\sigma_3(\gamma')/\phi_0$		E		w		$\sigma_1(w, \phi)/\phi_0$		w'		$\sigma_4(w', \phi)/\phi_0$	
$\gamma'$													
4912	49	2727242	48	2750877	51	1000000	50*	1047394	47	1000000	50	3523434	50
5000	49	2676070	48	2750000	51	9642857	49*	1064774	47	9999891	49	3455228	50
5500	49	2417458	48	2745000	51	7824675	49*	1163869	47	9999274	49	3110653	50
6000	49	2204378	48	2740000	51	6309524	49*	1263015	47	9998654	49	2826438	50
6500	49	2025808	48	2735000	51	5027472	49*	1362213	47	9998033	49	2588479	50
7000	49	1874011	48	2730000	51	3928571	49*	1461465	47	9997409	49	2386500	50
7500	49	1743400	48	2725000	51	2976190	49*	1560773	47	9996783	49	2212307	50
8000	49	1629838	48	2720000	51	2142857	49*	1660139	47	9996155	49	2061057	50
8500	49	1530198	48	2715000	51	1407563	49*	1759566	47	9995524	49	1928291	50
9000	49	1442073	48	2710000	51	7539680	48*	1859055	47	9994892	49	1810905	50
9500	49	1363579	48	2705000	51	1691730	48*	1958609	47	9994257	49	1706314	50
1000	50	1293223	48	2700000	51	3571430	48	2058228	47	9993620	49	1612650	50
1050	50	1229804	48	2695000	51	8333330	48	2157917	47	9992981	49	1528153	50
1100	50	1172346	48	2690000	51	1266234	49	2257676	47	9992339	49	1451648	50
1150	50	1120049	48	2685000	51	1661491	49	2357507	47	9991695	49	1381999	50
1200	50	1072248	48	2680000	51	2023810	49	2457413	47	9991049	49	1318349	50
1250	50	1028389	48	2675000	51	2357143	49	2557395	47	9990401	49	1259970	50
1300	50	9880056	47	2670000	51	2664835	49	2657457	47	9989750	49	1206201	50
1350	50	9506998	47	2665000	51	2949736	49	2757598	47	9989097	49	1156536	50
1400	50	9161343	47	2660000	51	3214286	49	2857823	47	9988442	49	1110534	50
1450	50	8840188	47	2655000	51	3460591	49	2958132	47	9987784	49	1067778	50
1500	50	8541024	47	2650000	51	3690476	49	3058528	47	9987124	49	1027965	50
1550	50	8261673	47	2645000	51	3905530	49	3159014	47	9986462	49	9907990	49
1600	50	8000237	47	2640000	51	4107143	49	3259589	47	9985797	49	9560190	49
1650	50	7755051	47	2635000	51	4296537	49	3360258	47	9985130	49	9233895	49
1700	50	7524652	47	2630000	51	4474790	49	3461022	47	9984460	49	8927338	49
1750	50	7307746	47	2625000	51	4642857	49	3561883	47	9983789	49	8638844	49
1800	50	7103186	47	2620000	51	4801587	49	3662843	47	9983114	49	8366751	49
1850	50	6909950	47	2615000	51	4951738	49	3763903	47	9982437	49	8109794	49
1900	50	6727129	47	2610000	51	5093985	49	3865068	47	9981758	49	7866644	49
1950	50	6553907	47	2605000	51	5228938	49	3966337	47	9981076	49	7636305	49
2000	50	6389550	47	2600000	51	5357143	49	4067713	47	9980392	49	7417805	49
2500	50	5114836	47	2550000	51	6357143	49	5087822	47	9973410	49	5723774	49
3000	50	4273189	47	2500000	51	7023810	49	6120893	47	9966165	49	4606273	49
3500	50	3677056	47	2450000	51	7500000	49	7168966	47	9958640	49	3815334	49
4000	50	3233516	47	2400000	51	7857143	49	8234080	47	9950821	49	3227174	49
4500	50	2891281	47	2350000	51	8134921	49	9318275	47	9942688	49	2773425	49
5000	50	2619733	47	2300000	51	8357143	49	1042358	48	9934222	49	2413310	49
5500	50	2399462	47	2250000	51	8538961	49	1155206	48	9925403	49	2120961	49
6000	50	2217568	47	2200000	51	8690476	49	1270573	48	9916209	49	1879252	49
6500	50	2065143	47	2150000	51	8818681	49	1388663	48	9906614	49	1676295	49
7000	50	1935839	47	2100000	51	8928572	49	1509681	48	9896592	49	1503662	49
7500	50	1825007	47	2050000	51	9023810	49	1633831	48	9886114	49	1355173	49
8000	50	1729168	47	2000000	51	9107143	49	1761316	48	9875148	49	1226214	49
8500	50	1645664	47	1950000	51	9180672	49	1892340	48	9863658	49	1113260	49
9000	50	1572431	47	1900000	51	9246032	49	2027108	48	9851607	49	1013579	49

Compton Cross Sections vs Energy of Scattered Quantum

$^{28}_{51}\gamma$		$\sigma_3(\gamma')/\phi_0$		E		w		$\sigma_1(w, \phi)/\phi_0$		w'		$\sigma_4(w', \phi)/\phi_0$	
9500	50	1507841	47	1850000	51	9304511	49	2165822	48	9838953	49	9250233	48
1000	51	1450591	47	1800000	51	9357143	49	2308688	48	9825648	49	8458755	48
1200	51	1276594	47	1600000	51	9523810	49	2925740	48	9764807	49	5992404	48
1400	51	1162235	47	1400000	51	9642857	49	3625520	48	9688220	49	4276796	48
1600	51	1085096	47	1200000	51	9732143	49	4421080	48	9588850	49	3025734	48
1800	51	1032744	47	1000000	51	9801587	49	5325469	48	9454735	49	2086151	48
2000	51	9977288	46	8000000	50	9857143	49	6351739	48	9263709	49	1371314	48
2200	51	9753137	46	6000000	50	9902597	49	7512938	48	8969552	49	8306883	47
2400	51	9623438	46	4000000	50	9940476	49	8822118	48	8456575	49	4346798	47
2600	51	9566363	46	2000000	50	9972528	49	1029233	49	7323573	49	1663110	47
2800	51	9566326	46	0000000	00	1000000	50	1193662	49	0000000	00	0000000	00

Compton Cross Sections vs Energy of Scattered Quantum

$30 \ 51 = \gamma$		$\sigma_3(\gamma')/\phi_0$		E		w		$\sigma_1(w, \phi)/\phi_0$		w'		$\sigma_4(w', \phi)/\phi_0$	
4918	49	2542349	48	2950819	51	1000000	50*	9786744	46	1000000	50	3762024	50
5000	49	2497963	48	2950000	51	9666667	49*	9939079	46	9999911	49	3694542	50
5500	49	2257490	48	2945000	51	7848485	49*	1086854	47	9999372	49	3327747	50
6000	49	2059212	48	2940000	51	6333334	49*	1179842	47	9998832	49	3025732	50
6500	49	1892944	48	2935000	51	5051282	49*	1272872	47	9998289	49	2772482	50
7000	49	1751528	48	2930000	51	3952381	49*	1365945	47	9997745	49	2556993	50
7500	49	1629791	48	2925000	51	3000000	49*	1459065	47	9997199	49	2371645	50
8000	49	1523900	48	2920000	51	2166667	49*	1552232	47	9996652	49	2210410	50
8500	49	1430955	48	2915000	51	1431373	49*	1645448	47	9996102	49	2068669	50
9000	49	1348724	48	2910000	51	7777780	48*	1738714	47	9995551	49	1943564	50
9500	49	1275457	48	2905000	51	1929830	48*	1832033	47	9994997	49	1831924	50
1000	50	1209768	48	2900000	51	3333330	48	1925406	47	9994442	49	1731897	50
1050	50	1150540	48	2895000	51	8095230	48	2018834	47	9993886	49	1641705	50
1100	50	1096867	48	2890000	51	1242424	49	2112320	47	9993327	49	1559986	50
1150	50	1048004	48	2885000	51	1637681	49	2205865	47	9992767	49	1485566	50
1200	50	1003333	48	2880000	51	2000000	49	2299470	47	9992204	49	1417594	50
1250	50	9623379	47	2875000	51	2333333	49	2393138	47	9991640	49	1355176	50
1300	50	9245835	47	2870000	51	2641025	49	2486869	47	9991074	49	1297710	50
1350	50	8897013	47	2865000	51	2925926	49	2580666	47	9990506	49	1244597	50
1400	50	8573761	47	2860000	51	3190476	49	2674531	47	9989936	49	1195404	50
1450	50	8273376	47	2855000	51	3436781	49	2768464	47	9989365	49	1149684	50
1500	50	7993518	47	2850000	51	3666666	49	2862467	47	9988791	49	1107107	50
1550	50	7732159	47	2845000	51	3881720	49	2956544	47	9988216	49	1067341	50
1600	50	7487528	47	2840000	51	4083333	49	3050693	47	9987638	49	1030125	50
1650	50	7258074	47	2835000	51	4272727	49	3144919	47	9987059	49	9952187	49
1700	50	7042432	47	2830000	51	4450980	49	3239221	47	9986477	49	9624030	49
1750	50	6839394	47	2825000	51	4619047	49	3333602	47	9985894	49	9315182	49
1800	50	6647891	47	2820000	51	4777777	49	3428065	47	9985309	49	9024003	49
1850	50	6466969	47	2815000	51	4927928	49	3522608	47	9984722	49	8748854	49
1900	50	6295780	47	2810000	51	5070175	49	3617236	47	9984132	49	8488504	49
1950	50	6133562	47	2805000	51	5205128	49	3711950	47	9983541	49	8241923	49
2000	50	5979629	47	2800000	51	5333333	49	3806750	47	9982948	49	8007909	49
2500	50	4785184	47	2750000	51	6333333	49	4759911	47	9976903	49	6192687	49
3000	50	3995833	47	2700000	51	7000000	49	5723609	47	9970646	49	4994209	49
3500	50	3436262	47	2650000	51	7476190	49	6699502	47	9964165	49	4145298	49
4000	50	3019560	47	2600000	51	7833333	49	7689246	47	9957449	49	3513566	49
4500	50	2697736	47	2550000	51	8111111	49	8694501	47	9950483	49	3025860	49
5000	50	2442129	47	2500000	51	8333333	49	9716925	47	9943254	49	2638545	49
5500	50	2234565	47	2450000	51	8515151	49	1075817	48	9935747	49	2323926	49
6000	50	2062962	47	2400000	51	8666666	49	1181990	48	9927945	49	2063652	49
6500	50	1918978	47	2350000	51	8794871	49	1290378	48	9919831	49	1844987	49
7000	50	1796664	47	2300000	51	8904762	49	1401145	48	9911385	49	1658897	49
7500	50	1691666	47	2250000	51	9000000	49	1514458	48	9902586	49	1498767	49
8000	50	1600723	47	2200000	51	9083333	49	1630483	48	9893413	49	1359642	49
8500	50	1521344	47	2150000	51	9156862	49	1749385	48	9883840	49	1237740	49
9000	50	1451594	47	2100000	51	9222222	49	1871330	48	9873842	49	1130127	49

Compton Cross Sections vs Energy of Scattered Quantum

$\frac{30}{\gamma'} \frac{51}{\gamma} = \gamma$		$\sigma_3(\gamma')/\phi_0$		E		w		$\sigma_1(w, \phi)/\phi_0$		w'		$\sigma_4(w', \phi)/\phi_0$	
9500	50	1389948	47	2050000	51	9280701	49	1996484	48	9863388	49	1034498	49
1000	51	1335185	47	2000000	51	9333333	49	2125013	48	9852446	49	9490108	48
1200	51	1167708	47	1800000	51	9500000	49	2676190	48	9803060	49	6824880	48
1400	51	1056160	47	1600000	51	9619047	49	3294625	48	9742360	49	4969117	48
1600	51	9795210	46	1400000	51	9708333	49	3990927	48	9665948	49	3612755	48
1800	51	9261316	46	1200000	51	9777777	49	4775708	48	9566809	49	2588438	48
2000	51	8890046	46	1000000	51	9833333	49	5659579	48	9433000	49	1799936	48
2200	51	8636974	46	8000000	50	9878787	49	6653147	48	9242419	49	1189849	48
2400	51	8472511	46	6000000	50	9916666	49	7767026	48	8948936	49	7232833	47
2600	51	8376178	46	4000000	50	9948718	49	9011824	48	8437130	49	3792117	47
2800	51	8333356	46	2000000	50	9976190	49	1039815	49	7306804	49	1452164	47
3000	51	8333333	46	0000000	00	1000000	50	1193662	49	0000000	00	0000000	00

## Compton Cross Sections vs Energy of Scattered Quantum

$32 \begin{matrix} 51 \\ \gamma' \end{matrix} = \gamma$		$\sigma_3(\gamma')/\phi_0$		E		w		$\sigma_1(w, \phi)/\phi_0$		w'		$\sigma_4(w', \phi)/\phi_0$	
4923	49	2380934	48	3150769	51	1000000	50*	9184189	46	1000000	50	4000632	50
5000	49	2342069	48	3150000	51	9687500	49*	9318797	46	9999927	49	3933169	50
5500	49	2117368	48	3145000	51	7869318	49*	1019393	47	9999452	49	3545424	50
6000	49	1931976	48	3140000	51	6354167	49*	1106941	47	9998976	49	3224987	50
6500	49	1776428	48	3135000	51	5072115	49*	1194523	47	9998499	49	2956223	50
7000	49	1644068	48	3130000	51	3973214	49*	1282141	47	9998020	49	2727596	50
7500	49	1530079	48	3125000	51	3020833	49*	1369798	47	9997540	49	2531090	50
8000	49	1430890	48	3120000	51	2187500	49*	1457493	47	9997057	49	2359532	50
8500	49	1343800	48	3115000	51	1452206	49*	1545228	47	9996574	49	2209232	50
9000	49	1266725	48	3110000	51	7986110	48*	1633005	47	9996090	49	2076255	50
9500	49	1198035	48	3105000	51	2138160	48*	1720826	47	9995603	49	1957575	50
1000	50	1136434	48	3100000	51	3125000	48	1808691	47	9995115	49	1851194	50
1050	50	1080879	48	3095000	51	7886900	48	1896601	47	9994626	49	1755300	50
1100	50	1030525	48	3090000	51	1221591	49	1984559	47	9994135	49	1668273	50
1150	50	9846740	47	3085000	51	1616848	49	2072565	47	9993643	49	1589210	50
1200	50	9427492	47	3080000	51	1979167	49	2160622	47	9993149	49	1516825	50
1250	50	9042677	47	3075000	51	2312500	49	2248729	47	9992654	49	1450422	50
1300	50	8688231	47	3070000	51	2620192	49	2336889	47	9992157	49	1389293	50
1350	50	8360700	47	3065000	51	2905093	49	2425103	47	9991659	49	1332741	50
1400	50	8057138	47	3060000	51	3169643	49	2513373	47	9991159	49	1280362	50
1450	50	7775011	47	3055000	51	3415948	49	2601699	47	9990657	49	1231631	50
1500	50	7512132	47	3050000	51	3645833	49	2690084	47	9990154	49	1186334	50
1550	50	7266600	47	3045000	51	3860887	49	2778528	47	9989649	49	1143911	50
1600	50	7036757	47	3040000	51	4062500	49	2867032	47	9989143	49	1104297	50
1650	50	6821150	47	3035000	51	4251894	49	2955599	47	9988635	49	1067100	50
1700	50	6618499	47	3030000	51	4430147	49	3044230	47	9988126	49	1032166	50
1750	50	6427674	47	3025000	51	4598214	49	3132925	47	9987615	49	9992418	49
1800	50	6247673	47	3020000	51	4756944	49	3221687	47	9987102	49	9682109	49
1850	50	6077602	47	3015000	51	4907095	49	3310517	47	9986588	49	9388681	49
1900	50	5916664	47	3010000	51	5049342	49	3399415	47	9986072	49	9111262	49
1950	50	5764146	47	3005000	51	5184295	49	3488384	47	9985554	49	8848160	49
2000	50	5619406	47	3000000	51	5312500	49	3577425	47	9985035	49	8598714	49
2500	50	4495826	47	2950000	51	6312500	49	4472080	47	9979750	49	6662545	49
3000	50	3752748	47	2900000	51	6979167	49	5375416	47	9974292	49	5383271	49
3500	50	3225606	47	2850000	51	7455357	49	6288797	47	9968652	49	4476455	49
4000	50	2832770	47	2800000	51	7812500	49	7213590	47	9962821	49	3801267	49
4500	50	2529148	47	2750000	51	8090278	49	8151162	47	9956788	49	3279677	49
5000	50	2287802	47	2700000	51	8312500	49	9102877	47	9950544	49	2865197	49
5500	50	2091647	47	2650000	51	8494318	49	1007010	48	9944076	49	2528324	49
6000	50	1929322	47	2600000	51	8645833	49	1105420	48	9937373	49	2249500	49
6500	50	1792983	47	2550000	51	8774038	49	1205655	48	9930422	49	2015122	49
7000	50	1677033	47	2500000	51	8883929	49	1307850	48	9923207	49	1815579	49
7500	50	1577379	47	2450000	51	8979167	49	1412143	48	9915715	49	1643776	49
8000	50	1490950	47	2400000	51	9062500	49	1518669	48	9907929	49	1494463	49
8500	50	1415405	47	2350000	51	9136029	49	1627567	48	9899831	49	1363582	49
9000	50	1348923	47	2300000	51	9201389	49	1738971	48	9891402	49	1248008	49



Compton Cross Sections vs Energy of Scattered Quantum

$32 \ 51 = \gamma$		$\sigma_3(\gamma')/\phi_0$		E	w	$\sigma_1(w, \phi)/\phi_0$		w'	$\sigma_4(w', \phi)/\phi_0$				
$\gamma'$													
9500	50	1290068	47	2250000	51	9259868	49	1853020	48	9882621	49	1145272	49
1000	51	1237692	47	2200000	51	9312500	49	1969849	48	9873467	49	1053407	49
1200	51	1076738	47	2000000	51	9479167	49	2467701	48	9832582	49	7668585	48
1400	51	9684343	46	1800000	51	9598214	49	3020969	48	9783296	49	5671637	48
1600	51	8929968	46	1600000	51	9687500	49	3638396	48	9722718	49	4209929	48
1800	51	8394497	46	1400000	51	9756944	49	4328723	48	9646461	49	3102388	48
2000	51	8012151	46	1200000	51	9812500	49	5100694	48	9547519	49	2243822	48
2200	51	7741106	46	1000000	51	9857954	49	5963051	48	9413983	49	1570486	48
2400	51	7553497	46	8000000	50	9895833	49	6924536	48	9223782	49	1042682	48
2600	51	7430047	46	6000000	50	9927885	49	7993894	48	8930882	49	6355566	47
2800	51	7356988	46	4000000	50	9955357	49	9179864	48	8420124	49	3337453	47
3000	51	7324234	46	2000000	50	9979167	49	1049119	49	7292011	49	1278834	47
3200	51	7324218	46	0000000	00	1000000	50	1193662	49	0000000	00	0000000	00

Compton Cross Sections vs Energy of Scattered Quantum

$34 \quad 51 = \gamma$ $\gamma'$		$\sigma_3(\gamma')/\phi_0$		E		w		$\sigma_1(w, \phi)/\phi_0$		w'		$\sigma_4(w', \phi)/\phi_0$	
4927	49	2238791	48	3350724	51	1000000	50*	8651541	46	1000000	50	4239255	50
5000	49	2204479	48	3350000	51	9705882	49*	8771344	46	9999939	49	4172660	50
5500	49	1993615	48	3345000	51	7887700	49*	9598136	46	9999518	49	3762516	50
6000	49	1819541	48	3340000	51	6372549	49*	1042520	47	9999095	49	3423936	50
6500	49	1673419	48	3335000	51	5090497	49*	1125256	47	9998672	49	3140207	50
7000	49	1549027	48	3330000	51	3991596	49*	1208023	47	9998247	49	2898621	50
7500	49	1441860	48	3325000	51	3039215	49*	1290820	47	9997821	49	2690108	50
8000	49	1348578	48	3320000	51	2205882	49*	1373651	47	9997394	49	2508942	50
8500	49	1266651	48	3315000	51	1470588	49*	1456514	47	9996966	49	2349815	50
9000	49	1194126	48	3310000	51	8169930	48*	1539413	47	9996536	49	2208706	50
9500	49	1129475	48	3305000	51	2321980	48*	1622348	47	9996105	49	2083157	50
1000	50	1071483	48	3300000	51	2941180	48	1705319	47	9995673	49	1970541	50
1050	50	1019175	48	3295000	51	7703080	48	1788329	47	9995240	49	1868965	50
1100	50	9717535	47	3290000	51	1203209	49	1871378	47	9994805	49	1776729	50
1150	50	9285659	47	3285000	51	1598466	49	1954467	47	9994369	49	1692750	50
1200	50	8890703	47	3280000	51	1960785	49	2037599	47	9993932	49	1616100	50
1250	50	8528134	47	3275000	51	2294118	49	2120773	47	9993494	49	1545625	50
1300	50	8194131	47	3270000	51	2601810	49	2203990	47	9993054	49	1480830	50
1350	50	7885452	47	3265000	51	2886711	49	2287253	47	9992613	49	1420855	50
1400	50	7599328	47	3260000	51	3151261	49	2370562	47	9992171	49	1365279	50
1450	50	7333377	47	3255000	51	3397566	49	2453918	47	9991727	49	1313638	50
1500	50	7085543	47	3250000	51	3627451	49	2537323	47	9991282	49	1265529	50
1550	50	6854040	47	3245000	51	3842505	49	2620777	47	9990836	49	1220605	50
1600	50	6637308	47	3240000	51	4044118	49	2704282	47	9990389	49	1178490	50
1650	50	6433980	47	3235000	51	4233512	49	2787839	47	9989940	49	1139064	50
1700	50	6242853	47	3230000	51	4411765	49	2871449	47	9989490	49	1101954	50
1750	50	6062864	47	3225000	51	4579832	49	2955112	47	9989038	49	1067022	50
1800	50	5893070	47	3220000	51	4738562	49	3038832	47	9988585	49	1034029	50
1850	50	5732629	47	3215000	51	4888713	49	3122607	47	9988131	49	1002922	50
1900	50	5580793	47	3210000	51	5030960	49	3206441	47	9987676	49	9734478	49
1950	50	5436889	47	3205000	51	5165913	49	3290332	47	9987219	49	9455286	49
2000	50	5300313	47	3200000	51	5294118	49	3374284	47	9986761	49	9190022	49
2500	50	4239734	47	3150000	51	6294118	49	4217341	47	9982101	49	7133391	49
3000	50	3537876	47	3100000	51	6960785	49	5067634	47	9977299	49	5773320	49
3500	50	3039677	47	3050000	51	7436975	49	5926302	47	9972346	49	4808741	49
4000	50	2668186	47	3000000	51	7794118	49	6794481	47	9967236	49	4090137	49
4500	50	2380881	47	2950000	51	8071896	49	7673313	47	9961961	49	3534655	49
5000	50	2152351	47	2900000	51	8294118	49	8563934	47	9956513	49	3093036	49
5500	50	1966478	47	2850000	51	8475936	49	9467487	47	9950883	49	2733967	49
6000	50	1812543	47	2800000	51	8627451	49	1038510	48	9945062	49	2436565	49
6500	50	1683140	47	2750000	51	8755656	49	1131793	48	9939040	49	2186497	49
7000	50	1572990	47	2700000	51	8865547	49	1226710	48	9932807	49	1973473	49
7500	50	1478226	47	2650000	51	8960785	49	1323376	48	9926351	49	1790027	49
8000	50	1395952	47	2600000	51	9044118	49	1421905	48	9919660	49	1630522	49
8500	50	1323956	47	2550000	51	9117647	49	1522409	48	9912720	49	1490633	49
9000	50	1260519	47	2500000	51	9183007	49	1625004	48	9905519	49	1367087	49

Compton Cross Sections vs Energy of Scattered Quantum

${}^{34}_{51} = \gamma$		$\sigma_3(\gamma')/\phi_0$		E		w		$\sigma_1(w, \phi)/\phi_0$		w'		$\sigma_4(w', \phi)/\phi_0$	
$\gamma'$													
9500	50	1204285	47	2450000	51	9241486	49	1729803	48	9898040	49	1257223	49
1000	51	1154170	47	2400000	51	9294118	49	1836920	48	9890268	49	1158949	49
1200	51	9995693	46	2200000	51	9460785	49	2290844	48	9855867	49	8522558	48
1400	51	8947019	46	2000000	51	9579832	49	2790966	48	9815056	49	6383497	48
1600	51	8208823	46	1800000	51	9669118	49	3344575	48	9765857	49	4816067	48
1800	51	7677432	46	1600000	51	9738562	49	3958960	48	9705387	49	3625902	48
2000	51	7290709	46	1400000	51	9794118	49	4641410	48	9629264	49	2699250	48
2200	51	7009143	46	1200000	51	9839572	49	5399212	48	9530501	49	1966433	48
2400	51	6806410	46	1000000	51	9877451	49	6239657	48	9397200	49	1383313	48
2600	51	6664297	46	8000000	50	9909503	49	7170033	48	9207333	49	9215613	47
2800	51	6569798	46	6000000	50	9936975	49	8197628	48	8914964	49	5629779	47
3000	51	6513382	46	4000000	50	9960785	49	9329732	48	8405090	49	2959937	47
3200	51	6487900	46	2000000	50	9981618	49	1057363	49	7279007	49	1134826	47
3400	51	6487889	46	0000000	00	1000000	50	1193662	49	0000000	00	0000000	00

## Compton Cross Sections vs Energy of Scattered Quantum

$36 \begin{matrix} 51 \\ \gamma' \end{matrix} = \gamma$		$\sigma_3(\gamma')/\phi_0$		E		w		$\sigma_1(w, \phi)/\phi_0$		w'		$\sigma_4(w', \phi)/\phi_0$	
4931	49	2112664	48	3550684	51	1000000	50*	8177301	46	1000000	50	4477890	50
5000	49	2082150	48	3550000	51	9722222	49*	8284612	46	9999948	49	4411353	50
5500	49	1883523	48	3545000	51	7904040	49*	9068104	46	9999572	49	3979743	50
6000	49	1719469	48	3540000	51	6388889	49*	9851831	46	9999195	49	3623720	50
6500	49	1581697	48	3535000	51	5106837	49*	1063580	47	9998817	49	3324060	50
7000	49	1464370	48	3530000	51	4007936	49*	1142002	47	9998438	49	3069250	50
7500	49	1363258	48	3525000	51	3055555	49*	1220452	47	9998057	49	2849197	50
8000	49	1275220	48	3520000	51	2222222	49*	1298928	47	9997676	49	2658236	50
8500	49	1197878	48	3515000	51	1486928	49*	1377433	47	9997294	49	2490107	50
9000	49	1129396	48	3510000	51	8333330	48*	1455967	47	9996910	49	2341467	50
9500	49	1068337	48	3505000	51	2485380	48*	1534531	47	9996526	49	2208666	50
1000	50	1013557	48	3500000	51	2777780	48	1613127	47	9996141	49	2089715	50
1050	50	9641367	47	3495000	51	7539680	48	1691754	47	9995754	49	1982377	50
1100	50	9193263	47	3490000	51	1186869	49	1770415	47	9995367	49	1885034	50
1150	50	8785105	47	3485000	51	1582126	49	1849110	47	9994978	49	1796509	50
1200	50	8411789	47	3480000	51	1944445	49	1927839	47	9994588	49	1715382	50
1250	50	8069041	47	3475000	51	2277778	49	2006605	47	9994198	49	1641021	50
1300	50	7753260	47	3470000	51	2585470	49	2085408	47	9993806	49	1572382	50
1350	50	7461388	47	3465000	51	2870371	49	2164249	47	9993413	49	1509049	50
1400	50	7190813	47	3460000	51	3134921	49	2243128	47	9993019	49	1450331	50
1450	50	6939291	47	3455000	51	3381226	49	2322048	47	9992624	49	1395745	50
1500	50	6704881	47	3450000	51	3611111	49	2401008	47	9992228	49	1344784	50
1550	50	6485896	47	3445000	51	3826165	49	2480010	47	9991830	49	1297263	50
1600	50	6280866	47	3440000	51	4027778	49	2559055	47	9991432	49	1252772	50
1650	50	6088501	47	3435000	51	4217172	49	2638143	47	9991032	49	1211030	50
1700	50	5907665	47	3430000	51	4395425	49	2717276	47	9990632	49	1171793	50
1750	50	5737354	47	3425000	51	4563492	49	2796455	47	9990230	49	1134782	50
1800	50	5576676	47	3420000	51	4722222	49	2875680	47	9989827	49	1099987	50
1850	50	5424840	47	3415000	51	4872373	49	2954953	47	9989423	49	1066999	50
1900	50	5281137	47	3410000	51	5014620	49	3034273	47	9989018	49	1035837	50
1950	50	5144932	47	3405000	51	5149573	49	3113644	47	9988612	49	1006306	50
2000	50	5015655	47	3400000	51	5277778	49	3193065	47	9988204	49	9782358	49
2500	50	4011443	47	3350000	51	6277778	49	3990256	47	9984066	49	7604848	49
3000	50	3346523	47	3300000	51	6944445	49	4793542	47	9979807	49	6164059	49
3500	50	2874304	47	3250000	51	7420635	49	5603880	47	9975423	49	5141878	49
4000	50	2522005	47	3200000	51	7777778	49	6422233	47	9970909	49	4379872	49
4500	50	2249398	47	3150000	51	8055556	49	7249557	47	9966257	49	3790628	49
5000	50	2032437	47	3100000	51	8277778	49	8086813	47	9961462	49	3321908	49
5500	50	1855868	47	3050000	51	8459596	49	8934960	47	9956517	49	2940665	49
6000	50	1709542	47	3000000	51	8611111	49	9794957	47	9951415	49	2624747	49
6500	50	1586450	47	2950000	51	8739316	49	1066776	48	9946148	49	2358981	49
7000	50	1481593	47	2900000	51	8849207	49	1155434	48	9940709	49	2132520	49
7500	50	1391309	47	2850000	51	8944445	49	1245564	48	9935088	49	1937385	49
8000	50	1312855	47	2800000	51	9027778	49	1337264	48	9929276	49	1767657	49
8500	50	1244138	47	2750000	51	9101307	49	1430628	48	9923264	49	1618786	49
9000	50	1183529	47	2700000	51	9166667	49	1525752	48	9917040	49	1487225	49

Compton Cross Sections vs Energy of Scattered Quantum

$36 \text{ } 51 = \gamma$		$\sigma_8(\gamma')/\phi_0$		E		w		$\sigma_1(w, \phi)/\phi_0$		w'		$\sigma_4(w', \phi)/\phi_0$	
$\gamma'$													
9500	50	1129744	47	2650000	51	9225146	49	1622734	48	9910594	49	1370217	49
1000	51	1081756	47	2600000	51	9277778	49	1721668	48	9903914	49	1265534	49
1200	51	9332490	46	2400000	51	9444445	49	2138849	48	9874569	49	9386057	48
1400	51	8318638	46	2200000	51	9563492	49	2594946	48	9840223	49	7103986	48
1600	51	7598974	46	2000000	51	9652778	49	3096100	48	9799476	49	5430300	48
1800	51	7075278	46	1800000	51	9722222	49	3648452	48	9750356	49	4157640	48
2000	51	6688672	46	1600000	51	9777778	49	4258140	48	9689981	49	3163947	48
2200	51	6401717	46	1400000	51	9823232	49	4931306	48	9613981	49	2373903	48
2400	51	6189473	46	1200000	51	9861111	49	5674090	48	9515373	49	1739232	48
2600	51	6034677	46	1000000	51	9893163	49	6492632	48	9382281	49	1228407	48
2800	51	5925006	46	8000000	50	9920635	49	7393073	48	9192723	49	8206418	47
3000	51	5851427	46	6000000	50	9944445	49	8381551	48	8900807	49	5022106	47
3200	51	5807166	46	4000000	50	9965278	49	9464209	48	8391762	49	2643246	47
3400	51	5787044	46	2000000	50	9983660	49	1064718	49	7267500	49	1013881	47
3600	51	5787037	46	0000000	00	1000000	50	1193662	49	0000000	00	0000000	00

Compton Cross Sections vs Energy of Scattered Quantum

$38 \ 51 = \gamma$		$\sigma_3(\gamma')/\phi_0$		E		w		$\sigma_1(w, \phi)/\phi_0$		w'		$\sigma_4(w', \phi)/\phi_0$	
$\gamma'$													
4935	49	1999991	48	3750649	51	1000000	50*	7752359	46	1000000	50	4716535	50
5000	49	1972677	48	3750000	51	9736842	49*	7849033	46	9999956	49	4650797	50
5500	49	1784948	48	3745000	51	7918660	49*	8593524	46	9999618	49	4196987	50
6000	49	1629826	48	3740000	51	6403509	49*	9338216	46	9999279	49	3822461	50
6500	49	1499504	48	3735000	51	5121457	49*	1008311	47	9998939	49	3507617	50
7000	49	1388485	48	3730000	51	4022556	49*	1082823	47	9998599	49	3240176	50
7500	49	1292780	48	3725000	51	3070175	49*	1157357	47	9998257	49	3008627	50
8000	49	1209429	48	3720000	51	2236842	49*	1231914	47	9997915	49	2807596	50
8500	49	1136187	48	3715000	51	1501548	49*	1306495	47	9997571	49	2630523	50
9000	49	1071323	48	3710000	51	8479530	48*	1381102	47	9997227	49	2474186	50
9500	49	1013478	48	3705000	51	2631580	48*	1455734	47	9996882	49	2334430	50
1000	50	9615739	47	3700000	51	2631580	48	1530392	47	9996536	49	2209189	50
1050	50	9147395	47	3695000	51	7393480	48	1605078	47	9996190	49	2096124	50
1100	50	8722682	47	3690000	51	1172249	49	1679792	47	9995842	49	1993546	50
1150	50	8335780	47	3685000	51	1567506	49	1754535	47	9995493	49	1900066	50
1200	50	7981861	47	3680000	51	1929825	49	1829307	47	9995144	49	1814675	50
1250	50	7656885	47	3675000	51	2263158	49	1904111	47	9994793	49	1736368	50
1300	50	7357445	47	3670000	51	2570850	49	1978945	47	9994442	49	1664055	50
1350	50	7080650	47	3665000	51	2855751	49	2053812	47	9994089	49	1597191	50
1400	50	6824029	47	3660000	51	3120301	49	2128712	47	9993736	49	1535396	50
1450	50	6585455	47	3655000	51	3366606	49	2203646	47	9993382	49	1477724	50
1500	50	6363094	47	3650000	51	3596491	49	2278615	47	9993027	49	1424145	50
1550	50	6155348	47	3645000	51	3811545	49	2353619	47	9992671	49	1373985	50
1600	50	5960827	47	3640000	51	4013158	49	2428659	47	9992314	49	1327009	50
1650	50	5778307	47	3635000	51	4202552	49	2503736	47	9991956	49	1283074	50
1700	50	5606715	47	3630000	51	4380805	49	2578852	47	9991597	49	1241684	50
1750	50	5445098	47	3625000	51	4548872	49	2654006	47	9991237	49	1202694	50
1800	50	5292614	47	3620000	51	4707602	49	2729200	47	9990877	49	1165901	50
1850	50	5148511	47	3615000	51	4857753	49	2804434	47	9990515	49	1131126	50
1900	50	5012118	47	3610000	51	5000000	49	2879709	47	9990152	49	1098265	50
1950	50	4882835	47	3605000	51	5134953	49	2955027	47	9989788	49	1067059	50
2000	50	4760121	47	3600000	51	5263158	49	3030387	47	9989424	49	1037487	50
2500	50	3806629	47	3550000	51	6263158	49	3786524	47	9985723	49	8076954	49
3000	50	3174992	47	3500000	51	6929825	49	4547842	47	9981922	49	6555799	49
3500	50	2726213	47	3450000	51	7406015	49	5315156	47	9978014	49	5475774	49
4000	50	2391255	47	3400000	51	7763158	49	6089283	47	9973996	49	4670380	49
4500	50	2131950	47	3350000	51	8040936	49	6871037	47	9969864	49	4047460	49
5000	50	1925478	47	3300000	51	8263158	49	7661237	47	9965611	49	3551699	49
5500	50	1757359	47	3250000	51	8444976	49	8460694	47	9961234	49	3148262	49
6000	50	1617959	47	3200000	51	8596491	49	9270228	47	9956725	49	2813859	49
6500	50	1500625	47	3150000	51	8724696	49	1009065	48	9952080	49	2532410	49
7000	50	1400609	47	3100000	51	8834587	49	1092278	48	9947292	49	2292482	49
7500	50	1314435	47	3050000	51	8929825	49	1176743	48	9942354	49	2085703	49
8000	50	1239498	47	3000000	51	9013158	49	1262543	48	9937259	49	1905763	49
8500	50	1173810	47	2950000	51	9086687	49	1349757	48	9932000	49	1747889	49
9000	50	1115823	47	2900000	51	9152047	49	1438469	48	9926568	49	1608317	49

Compton Cross Sections vs Energy of Scattered Quantum

38 51 = $\gamma$		$\sigma_3(\gamma')/\phi_0$		E		w		$\sigma_1(w, \phi)/\phi_0$		w'		$\sigma_4(w', \phi)/\phi_0$	
$\gamma'$													
9500	50	1064319	47	2850000	51	9210526	49	1528759	48	9920956	49	1484171	49
1000	51	1018322	47	2800000	51	9263158	49	1620709	48	9915152	49	1373037	49
1200	51	8756073	46	2600000	51	9429825	49	2006744	48	9889826	49	1025820	49
1400	51	7776617	46	2400000	51	7548872	49	2425866	48	9860523	49	7832435	48
1600	51	7076679	46	2200000	51	7638158	49	2883298	48	9826225	49	6051976	48
1800	51	6562943	46	2000000	51	9707602	49	3384260	48	9785537	49	4696650	48
2000	51	6179470	46	1800000	51	9763158	49	3933973	48	9736486	49	3636393	48
2200	51	5890690	46	1600000	51	9808612	49	4537657	48	9676198	49	2790461	48
2400	51	5672903	46	1400000	51	9846491	49	5200535	48	9600305	49	2106636	48
2600	51	5509708	46	1200000	51	9878543	49	5927826	48	9501836	49	1550412	48
2800	51	5389394	46	1000000	51	9906015	49	6724750	48	9368938	49	1098629	48
3000	51	5303379	46	8000000	50	9929825	49	7596531	48	9179642	49	7355833	47
3200	51	5245224	46	6000000	50	9950658	49	8548387	48	8888153	49	4508296	47
3400	51	5210010	46	4000000	50	9969040	49	9585539	48	8379843	49	2374871	47
3600	51	5193911	46	2000000	50	9985380	49	1071321	49	7257162	49	9112618	46
3800	51	5193905	46	0000000	00	1000000	50	1193662	49	0000000	00	0000000	00

## Compton Cross Sections vs Energy of Scattered Quantum

$40 \gamma'$	$51 = \gamma$	$\sigma_3(\gamma')/\phi_0$	E	w	$\sigma_1(w, \phi)/\phi_0$	w'	$\sigma_4(w, \phi)/\phi_0$
4938	49	1898726 48	3950617 51	1000000 50*	7369407 46	1000000 50	4955189 50
5000	49	1874135 48	3950000 51	9750000 49*	7456949 46	9999962 49	4889062 50
5500	49	1696175 48	3945000 51	7931818 49*	8166130 46	9999657 49	4414928 50
6000	49	1549064 48	3940000 51	6416667 49*	8875483 46	9999350 49	4021848 50
6500	49	1425430 48	3935000 51	5134615 49*	9585014 46	9999044 49	3691831 50
7000	49	1320075 48	3930000 51	4035714 49*	1029473 47	9998736 49	3410852 50
7500	49	1229230 48	3925000 51	3083333 49*	1100464 47	9998427 49	3167924 50
8000	49	1150092 48	3920000 51	2250000 49*	1171474 47	9998118 49	2956913 50
8500	49	1080539 48	3915000 51	1514706 49*	1242506 47	9997808 49	2771288 50
9000	49	1018930 48	3910000 51	8611110 48*	1313559 47	9997498 49	2606735 50
9500	49	9639791 47	3905000 51	2763160 48*	1384633 47	9997186 49	2460121 50
1000	50	9146630 47	3900000 51	2500000 48	1455731 47	9996874 49	2328442 50
1050	50	8701584 47	3895000 51	7261900 48	1526852 47	9996561 49	2209737 50
1100	50	8297946 47	3890000 51	1159091 49	1597997 47	9996247 49	2101995 50
1150	50	7930199 47	3885000 51	1554348 49	1669167 47	9995933 49	2003940 50
1200	50	7593766 47	3880000 51	1916667 49	1740363 47	9995617 49	1914014 50
1250	50	7284814 47	3875000 51	2250000 49	1811584 47	9995301 49	1831677 50
1300	50	7000113 47	3870000 51	2557692 49	1882833 47	9994984 49	1755618 50
1350	50	6736917 47	3865000 51	2842593 49	1954109 47	9994667 49	1685391 50
1400	50	6492884 47	3860000 51	3107143 49	2025414 47	9994348 49	1620463 50
1450	50	6265995 47	3855000 51	3353448 49	2096747 47	9994029 49	1559843 50
1500	50	6054508 47	3850000 51	3583333 49	2168111 47	9993709 49	1503507 50
1550	50	5856909 47	3845000 51	3798387 49	2239504 47	9993388 49	1450838 50
1600	50	5671875 47	3840000 51	4000000 49	2310929 47	9993066 49	1401405 50
1650	50	5498246 47	3835000 51	4189394 49	2382386 47	9992744 49	1355082 50
1700	50	5335002 47	3830000 51	4367647 49	2453875 47	9992421 49	1311583 50
1750	50	5181239 47	3825000 51	4535714 49	2525398 47	9992097 49	1270591 50
1800	50	5036156 47	3820000 51	4694444 49	2596954 47	9991772 49	1231895 50
1850	50	4899040 47	3815000 51	4844595 49	2668545 47	9991446 49	1195310 50
1900	50	4769254 47	3810000 51	4986842 49	2740171 47	9991119 49	1160726 50
1950	50	4646226 47	3805000 51	5121795 49	2811834 47	9990792 49	1127930 50
2000	50	4529443 47	3800000 51	5250000 49	2883533 47	9990464 49	1096788 50
2500	50	3621826 47	3750000 51	6250000 49	3602697 47	9987135 49	8549455 49
3000	50	3020328 47	3700000 51	6916667 49	4326302 47	9983720 49	6947782 49
3500	50	2592800 47	3650000 51	7392857 49	5055047 47	9980215 49	5810370 49
4000	50	2273584 47	3600000 51	7750000 49	5789634 47	9976617 49	4961703 49
4500	50	2026369 47	3550000 51	8027778 49	6530759 47	9972921 49	4305026 49
5000	50	1829443 47	3500000 51	8250000 49	7279123 47	9969124 49	3782269 49
5500	50	1669027 47	3450000 51	8431818 49	8035426 47	9965222 49	3356705 49
6000	50	1535953 47	3400000 51	8583333 49	8800366 47	9961209 49	3003790 49
6500	50	1423887 47	3350000 51	8711538 49	9574644 47	9957082 49	2706693 49
7000	50	1328311 47	3300000 51	8821429 49	1035895 48	9952835 49	2453325 49
7500	50	1245914 47	3250000 51	8916667 49	1115400 48	9948463 49	2234868 49
8000	50	1174218 47	3200000 51	9000000 49	1196049 48	9943960 49	2044736 49
8500	50	1111329 47	3150000 51	9073529 49	1277911 48	9939321 49	1877856 49
9000	50	1055774 47	3100000 51	9138889 49	1361056 48	9934539 49	1730295 49



Compton Cross Sections vs Energy of Scattered Quantum

40 51= $\gamma$		$\sigma_s(\gamma')/\phi_0$		E		w		$\sigma_1(w, \phi)/\phi_0$		w'		$\sigma_4(w', \phi)/\phi_0$	
$\gamma'$													
9500	50	1006392	47	3050000	51	9197368	49	1445555	48	9929607	49	1598959	49
1000	51	9622558	46	3000000	51	9250000	49	1531477	48	9924519	49	1481403	49
1200	51	8250162	46	2800000	51	9416667	49	1890798	48	9902440	49	1113832	49
1400	51	7304159	46	2600000	51	9535714	49	2278486	48	9877147	49	8568253	48
1600	51	6624389	46	2400000	51	9625000	49	2699019	48	9847881	49	6680475	48
1800	51	6121979	46	2200000	51	9694444	49	3156872	48	9813628	49	5242250	48
2000	51	5743652	46	2000000	51	9750000	49	3656522	48	9772991	49	4115601	48
2200	51	5455525	46	1800000	51	9795454	49	4202445	48	9724004	49	3214526	48
2400	51	5235026	46	1600000	51	9833333	49	4799118	48	9663793	49	2483052	48
2600	51	5066530	46	1400000	51	9865385	49	5451016	48	9587995	49	1883860	48
2800	51	4938885	46	1200000	51	9892857	49	6162616	48	9489656	49	1391582	48
3000	51	4843912	46	1000000	51	9916667	49	6938393	48	9356924	49	9886919	47
3200	51	4775482	46	8000000	50	9937500	49	7782826	48	9167878	49	6632213	47
3400	51	4728905	46	6000000	50	9955882	49	8700388	48	8876767	49	4069801	47
3600	51	4700538	46	4000000	50	9972222	49	9695557	48	8369100	49	2145389	47
3800	51	4687504	46	2000000	50	9986842	49	1077280	49	7247858	49	8234692	46
4000	51	4687500	46	0000000	00	1000000	50	1193662	49	0000000	00	0000000	00

## Compton Cross Sections vs Energy of Scattered Quantum

$42 \quad 51 = \gamma$		$\sigma_3(\gamma')/\phi_0$		E		w		$\sigma_1(w, \phi)/\phi_0$		w'		$\sigma_4(w', \phi)/\phi_0$	
$\gamma'$													
4941	49	1807222	48	4150588	51	1000000	50*	7022513	46	1000000	50	5193850	50
5000	49	1784967	48	4150000	51	9761905	49*	7102158	46	9999967	49	5128907	50
5500	49	1615811	48	4145000	51	7943723	49*	7779220	46	9999690	49	4631902	50
6000	49	1475925	48	4140000	51	6428572	49*	8456431	46	9999412	49	4221187	50
6500	49	1358327	48	4135000	51	5146520	49*	9133797	46	9999133	49	3875531	50
7000	49	1258088	48	4130000	51	4047619	49*	9811322	46	9998854	49	3581135	50
7500	49	1171634	48	4125000	51	3095238	49*	1048901	47	9998574	49	3326966	50
8000	49	1096305	48	4120000	51	2261905	49*	1116687	47	9998294	49	3106081	50
8500	49	1030087	48	4115000	51	1526611	49*	1184491	47	9998012	49	2911682	50
9000	49	9714226	47	4110000	51	8730160	48*	1252314	47	9997730	49	2739284	50
9500	49	9190896	47	4105000	51	2882210	48*	1320155	47	9997448	49	2585625	50
1000	50	8721168	47	4100000	51	2380950	48	1388017	47	9997165	49	2447813	50
1050	50	8297215	47	4095000	51	7142850	48	1455898	47	9996881	49	2323520	50
1100	50	7912663	47	4090000	51	1147186	49	1523800	47	9996596	49	2210463	50
1150	50	7562268	47	4085000	51	1542443	49	1591724	47	9996311	49	2107724	50
1200	50	7241677	47	4080000	51	1904762	49	1659670	47	9996025	49	2013467	50
1250	50	6947247	47	4075000	51	2238095	49	1727638	47	9995739	49	1926987	50
1300	50	6675904	47	4070000	51	2545787	49	1795630	47	9995451	49	1847362	50
1350	50	6425038	47	4065000	51	2830688	49	1863646	47	9995163	49	1773684	50
1400	50	6192419	47	4060000	51	3095238	49	1931685	47	9994875	49	1705429	50
1450	50	5976126	47	4055000	51	3341543	49	1999751	47	9994585	49	1641914	50
1500	50	5774503	47	4050000	51	3571428	49	2067841	47	9994296	49	1582866	50
1550	50	5586108	47	4045000	51	3786482	49	2135958	47	9994005	49	1527451	50
1600	50	5409682	47	4040000	51	3988095	49	2204102	47	9993714	49	1475793	50
1650	50	5244121	47	4035000	51	4177489	49	2272274	47	9993421	49	1427108	50
1700	50	5088453	47	4030000	51	4355742	49	2340473	47	9993129	49	1381462	50
1750	50	4941819	47	4025000	51	4523809	49	2408701	47	9992835	49	1338434	50
1800	50	4803455	47	4020000	51	4682539	49	2476959	47	9992541	49	1297944	50
1850	50	4672683	47	4015000	51	4832690	49	2545246	47	9992246	49	1259514	50
1900	50	4548894	47	4010000	51	4974937	49	2613564	47	9991951	49	1223241	50
1950	50	4431548	47	4005000	51	5109890	49	2681913	47	9991654	49	1188773	50
2000	50	4320152	47	4000000	51	5238095	49	2750294	47	9991357	49	1156146	50
2500	50	3454222	47	3950000	51	6238095	49	3435978	47	9988348	49	9022307	49
3000	50	2880141	47	3900000	51	6904762	49	4125498	47	9985263	49	7340473	49
3500	50	2471963	47	3850000	51	7380952	49	4819459	47	9982102	49	6145407	49
4000	50	2167095	47	3800000	51	7738095	49	5518464	47	9978860	49	5253720	49
4500	50	1930913	47	3750000	51	8015873	49	6223118	47	9975536	49	4563296	49
5000	50	1742710	47	3700000	51	8238095	49	6934024	47	9972125	49	4013475	49
5500	50	1589342	47	3650000	51	8419913	49	7651787	47	9968624	49	3565808	49
6000	50	1462064	47	3600000	51	8571428	49	8377011	47	9965030	49	3194460	49
6500	50	1354833	47	3550000	51	8699633	49	9110302	47	9961338	49	2881727	49
7000	50	1263338	47	3500000	51	8809524	49	9852261	47	9957546	49	2614900	49
7500	50	1184421	47	3450000	51	8904762	49	1060349	48	9953648	49	2384816	49
8000	50	1115717	47	3400000	51	8988095	49	1136460	48	9949640	49	2184489	49
8500	50	1055418	47	3350000	51	9061624	49	1213619	48	9945517	49	2008591	49
9000	50	1002119	47	3300000	51	9126984	49	1291887	48	9941275	49	1853020	49

Compton Cross Sections vs Energy of Scattered Quantum

42 $\gamma'$	51 = $\gamma$	$\sigma_s(\gamma')/\phi_0$		E		w		$\sigma_1(w, \phi)/\phi_0$		w'		$\sigma_4(w', \phi)/\phi_0$	
9500	50	9547131	46	3250000	51	9185463	49	1371324	48	9936908	49	1714525	49
1000	51	9123127	46	3200000	51	9238095	49	1451990	48	9932411	49	1590511	49
1200	51	7802317	46	3000000	51	9404762	49	1788159	48	9912992	49	1202566	49
1400	51	6888526	46	2800000	51	9523809	49	2148832	48	9890939	49	9310865	48
1600	51	6228887	46	2600000	51	9613095	49	2537876	48	9865675	49	7315358	48
1800	51	5738563	46	2400000	51	9682539	49	2959159	48	9836444	49	5793912	48
2000	51	5366699	46	2200000	51	9738095	49	3416547	48	9802230	49	4600835	48
2200	51	5080949	46	2000000	51	9783549	49	3913905	48	9761641	49	3645004	48
2400	51	4859764	46	1800000	51	9821428	49	4455103	48	9712710	49	2866819	48
2600	51	4688229	46	1600000	51	9853480	49	5044006	48	9652568	49	2226269	48
2800	51	4555694	46	1400000	51	9880952	49	5684480	48	9576862	49	1695907	48
3000	51	4454355	46	1200000	51	9904762	49	6380394	48	9478633	49	1256515	48
3200	51	4378357	46	1000000	51	9925595	49	7135612	48	9346061	49	8947186	47
3400	51	4323224	46	8000000	50	9943977	49	7954002	48	9157238	49	6011206	47
3600	51	4285478	46	6000000	50	9960317	49	8839432	48	8866461	49	3692489	47
3800	51	4262370	46	4000000	50	9974937	49	9795767	48	8359387	49	1947682	47
4000	51	4251703	46	2000000	50	9988095	49	1082687	49	7239461	49	7477906	46
4200	51	4251700	46	0000000	00	1000000	50	1193662	49	0000000	00	0000000	00

## Compton Cross Sections vs Energy of Scattered Quantum

44 51= $\gamma$ $\gamma'$		$\sigma_3(\gamma')/\phi_0$		E		w		$\sigma_1(w, \phi)/\phi_0$		w'		$\sigma_4(w', \phi)/\phi_0$	
4943	49	1724132	48	4350561	51	1000000	50*	6706813	46	1000000	50	5432518	50
5000	49	1703895	48	4350000	51	9772727	49*	6779582	46	9999971	49	5367288	50
5500	49	1542715	48	4345000	51	7954545	49*	7427305	46	9999718	49	4848547	50
6000	49	1409380	48	4340000	51	6439394	49*	8075156	46	9999465	49	4419656	50
6500	49	1297257	48	4335000	51	5157342	49*	8723141	46	9999211	49	4059163	50
7000	49	1201661	48	4330000	51	4058441	49*	9371265	46	9998956	49	3751409	50
7500	49	1119192	48	4325000	51	3106060	49*	1001953	47	9998701	49	3486541	50
8000	49	1047323	48	4320000	51	2272727	49*	1066795	47	9998445	49	3255390	50
8500	49	9841360	47	4315000	51	1537433	49*	1131652	47	9998189	49	3051915	50
9000	49	9281474	47	4310000	51	8838380	48*	1196525	47	9997932	49	2872060	50
9500	49	8781948	47	4305000	51	2990430	48*	1261415	47	9997675	49	2711105	50
1000	50	8333531	47	4300000	51	2272730	48	1326322	47	9997417	49	2567234	50
1050	50	7928765	47	4295000	51	7034630	48	1391247	47	9997158	49	2436734	50
1100	50	7561579	47	4290000	51	1136364	49	1456189	47	9996899	49	2318863	50
1150	50	7226975	47	4285000	51	1531621	49	1521151	47	9996639	49	2211127	50
1200	50	6920805	47	4280000	51	1893940	49	1586131	47	9996379	49	2112793	50
1250	50	6639595	47	4275000	51	2227273	49	1651131	47	9996118	49	2022368	50
1300	50	6380415	47	4270000	51	2534965	49	1716152	47	9995856	49	1939083	50
1350	50	6140778	47	4265000	51	2819866	49	1781193	47	9995594	49	1861994	50
1400	50	5918554	47	4260000	51	3084416	49	1846255	47	9995331	49	1790683	50
1450	50	5711916	47	4255000	51	3330721	49	1911340	47	9995068	49	1724066	50
1500	50	5519280	47	4250000	51	3560606	49	1976446	47	9994804	49	1662129	50
1550	50	5339271	47	4245000	51	3775660	49	2041576	47	9994539	49	1604296	50
1600	50	5170690	47	4240000	51	3977273	49	2106728	47	9994274	49	1550172	50
1650	50	5012482	47	4235000	51	4166667	49	2171905	47	9994008	49	1499240	50
1700	50	4863721	47	4230000	51	4344920	49	2237106	47	9993742	49	1451474	50
1750	50	4723586	47	4225000	51	4512987	49	2302332	47	9993475	49	1406433	50
1800	50	4591348	47	4220000	51	4671717	49	2367584	47	9993207	49	1363893	50
1850	50	4466361	47	4215000	51	4821868	49	2432861	47	9992939	49	1323720	50
1900	50	4348043	47	4210000	51	4964115	49	2498165	47	9992671	49	1285790	50
1950	50	4235878	47	4205000	51	5099068	49	2563496	47	9992401	49	1249673	50
2000	50	4129396	47	4200000	51	5227273	49	2628855	47	9992131	49	1215478	50
2500	50	3301512	47	4150000	51	6227273	49	3284074	47	9989396	49	9495678	49
3000	50	2752475	47	4100000	51	6893940	49	3942630	47	9986597	49	7733481	49
3500	50	2361989	47	4050000	51	7370130	49	4605047	47	9983731	49	6481129	49
4000	50	2070251	47	4000000	51	7727273	49	5271851	47	9980796	49	5546137	49
4500	50	1844174	47	3950000	51	8005051	49	5943567	47	9977789	49	4821999	49
5000	50	1663968	47	3900000	51	8227273	49	6620721	47	9974708	49	4245392	49
5500	50	1517070	47	3850000	51	8409091	49	7303839	47	9971550	49	3775538	49
6000	50	1395119	47	3800000	51	8560606	49	7993445	47	9968312	49	3385747	49
6500	50	1292338	47	3750000	51	8688811	49	8690066	47	9964991	49	3057376	49
7000	50	1204605	47	3700000	51	8798702	49	9394227	47	9961583	49	2777165	49
7500	50	1128901	47	3650000	51	8893940	49	1010645	48	9958086	49	2535453	49
8000	50	1062964	47	3600000	51	8977273	49	1082726	48	9954496	49	2324905	49
8500	50	1005066	47	3550000	51	9050802	49	1155720	48	9950808	49	2140019	49
9000	50	9538633	46	3500000	51	9116162	49	1229677	48	9947020	49	1976426	49

Compton Cross Sections vs Energy of Scattered Quantum

$^{44}_{\gamma'} 51 = \gamma$		$\sigma_s(\gamma')/\phi_0$		E		w		$\sigma_1(w, \phi)/\phi_0$		w'		$\sigma_4(w', \phi)/\phi_0$	
9500	50	9082958	46	3450000	51	9174641	49	1304651	48	9943126	49	1830786	49
1000	51	8675164	46	3400000	51	9227273	49	1380695	48	9939122	49	1700319	49
1200	51	7402870	46	3200000	51	9393940	49	1696612	48	9921912	49	1291976	49
1400	51	6519902	46	3000000	51	9512987	49	2033842	48	9902514	49	1005978	49
1600	51	5880048	46	2800000	51	9602273	49	2395747	48	9880484	49	7956136	48
1800	51	5402162	46	2600000	51	9671717	49	2785689	48	9855246	49	6351156	48
2000	51	5037598	46	2400000	51	9727273	49	3207034	48	9826045	49	5091528	48
2200	51	4755414	46	2200000	51	9772727	49	3663142	48	9791868	49	4081106	48
2400	51	4534997	46	2000000	51	9810606	49	4157379	48	9751322	49	3256765	48
2600	51	4362079	46	1800000	51	9842658	49	4693105	48	9702441	49	2575913	48
2800	51	4226472	46	1600000	51	9870130	49	5273685	48	9642364	49	2009123	48
3000	51	4120710	46	1400000	51	9893940	49	5902482	48	9566735	49	1535578	48
3200	51	4039191	46	1200000	51	9914773	49	6582858	48	9468613	49	1140604	48
3400	51	3977635	46	1000000	51	9933155	49	7318177	48	9336180	49	8136876	47
3600	51	3932712	46	8000000	50	9949495	49	8111802	48	9147549	49	5473895	47
3800	51	3901795	46	6000000	50	9964115	49	8967096	48	8857073	49	3365363	47
4000	51	3882781	46	4000000	50	9977273	49	9887422	48	8350518	49	1776037	47
4200	51	3873969	46	2000000	50	9989178	49	1087614	49	7231692	49	6820169	46
4400	51	3873967	46	0000000	00	1000000	50	1193662	49	0000000	00	0000000	00

## Compton Cross Sections vs Energy of Scattered Quantum

$46$ $\gamma'$	$51=\gamma$	$\sigma_3(\gamma')/\phi_0$	E	w	$\sigma_1(w, \phi)/\phi_0$	w'	$\sigma_4(w', \phi)/\phi_0$
4946	49	1648347 48	4550537 51	1000000 50*	6418280 46	1000000 50	5671192 50
5000	49	1629865 48	4550000 51	9782609 49*	6485027 46	9999975 49	5606142 50
5500	49	1475944 48	4545000 51	7964427 49*	7105843 46	9999743 49	5065656 50
6000	49	1348575 48	4540000 51	6449276 49*	7726770 46	9999511 49	4618577 50
6500	49	1241440 48	4535000 51	5167224 49*	8347815 46	9999278 49	4242647 50
7000	49	1150077 48	4530000 51	4068323 49*	8968981 46	9999045 49	3922707 50
7500	49	1071243 48	4525000 51	3115942 49*	9590274 46	9998812 49	3645694 50
8000	49	1002531 48	4520000 51	2282609 49*	1021169 47	9998578 49	3404786 50
8500	49	9421088 47	4515000 51	1547315 49*	1083325 47	9998343 49	3192626 50
9000	49	8885632 47	4510000 51	8937200 48*	1145495 47	9998108 49	3004694 50
9500	49	8407843 47	4505000 51	3089250 48*	1207680 47	9997872 49	2837070 50
1000	50	7978888 47	4500000 51	2173910 48	1269879 47	9997636 49	2686636 50
1050	50	7591851 47	4495000 51	6935810 48	1332094 47	9997400 49	2550405 50
1100	50	7240332 47	4490000 51	1126482 49	1394325 47	9997162 49	2427111 50
1150	50	6920159 47	4485000 51	1521739 49	1456572 47	9996925 49	2314998 50
1200	50	6627170 47	4480000 51	1884058 49	1518835 47	9996687 49	2212253 50
1250	50	6358046 47	4475000 51	2217391 49	1581116 47	9996448 49	2117752 50
1300	50	6109989 47	4470000 51	2525083 49	1643415 47	9996209 49	2030698 50
1350	50	5880620 47	4465000 51	2809984 49	1705732 47	9995969 49	1950245 50
1400	50	5667905 47	4460000 51	3074534 49	1768067 47	9995729 49	1875542 50
1450	50	5470097 47	4455000 51	3320839 49	1830422 47	9995488 49	1806237 50
1500	50	5285683 47	4450000 51	3550724 49	1892796 47	9995247 49	1741543 50
1550	50	5113349 47	4445000 51	3765778 49	1955190 47	9995005 49	1681120 50
1600	50	4951946 47	4440000 51	3967391 49	2017604 47	9994763 49	1624561 50
1650	50	4800468 47	4435000 51	4156785 49	2080040 47	9994520 49	1571324 50
1700	50	4658028 47	4430000 51	4335038 49	2142496 47	9994277 49	1521472 50
1750	50	4523842 47	4425000 51	4503105 49	2204975 47	9994033 49	1474370 50
1800	50	4397213 47	4420000 51	4661835 49	2267476 47	9993788 49	1429950 50
1850	50	4277522 47	4415000 51	4811986 49	2329999 47	9993544 49	1388064 50
1900	50	4164214 47	4410000 51	4954233 49	2392546 47	9993298 49	1348365 50
1950	50	4056793 47	4405000 51	5089186 49	2455117 47	9993052 49	1310623 50
2000	50	3954812 47	4400000 51	5217391 49	2517711 47	9992806 49	1274942 50
2500	50	3161786 47	4350000 51	6217391 49	3145087 47	9990309 49	9969576 49
3000	50	2635713 47	4300000 51	6884058 49	3775381 47	9987757 49	8127016 49
3500	50	2261462 47	4250000 51	7360248 49	4409055 47	9985147 49	6817133 49
4000	50	1981782 47	4200000 51	7717391 49	5046567 47	9982477 49	5839050 49
4500	50	1764994 47	4150000 51	7995169 49	5688378 47	9979745 49	5081307 49
5000	50	1592146 47	4100000 51	8217391 49	6334948 47	9976948 49	4477684 49
5500	50	1451205 47	4050000 51	8399209 49	6986737 47	9974085 49	3985876 49
6000	50	1334165 47	4000000 51	8550724 49	7644204 47	9971153 49	3577614 49
6500	50	1235491 47	3950000 51	8678929 49	8307809 47	9968149 49	3233654 49
7000	50	1151235 47	3900000 51	8788820 49	8978013 47	9965071 49	2940021 49
7500	50	1078504 47	3850000 51	8884058 49	9655274 47	9961916 49	2686652 49
8000	50	1015132 47	3800000 51	8967391 49	1034005 48	9958681 49	2465950 49
8500	50	9594628 46	3750000 51	9040920 49	1103281 48	9955363 49	2272077 49
9000	50	9102090 46	3700000 51	9106280 49	1173400 48	9951959 49	2100476 49

Compton Cross Sections vs Energy of Scattered Quantum

$\frac{46}{\gamma'} \frac{51}{\gamma} = \gamma$		$\sigma_3(\gamma')/\phi_0$		E		w		$\sigma_1(w, \phi)/\phi_0$		w'		$\sigma_4(w', \phi)/\phi_0$	
9500	50	8663554	46	3650000	51	9164759	49	1244409	48	9948465	49	1947669	49
1000	51	8270901	46	3600000	51	9217391	49	1316354	48	9944878	49	1810754	49
1200	51	7044201	46	3400000	51	9384058	49	1614412	48	9929519	49	1381990	49
1400	51	6190604	46	3200000	51	9503105	49	1931120	48	9912325	49	1081456	49
1600	51	5570000	46	3000000	51	9592391	49	2269422	48	9892946	49	8602440	48
1800	51	5104626	46	2800000	51	9661835	49	2632261	48	9870938	49	6913632	48
2000	51	4747860	46	2600000	51	9717391	49	3022581	48	9845724	49	5587311	48
2200	51	4470051	46	2400000	51	9762845	49	3443325	48	9816552	49	4522318	48
2400	51	4251442	46	2200000	51	9800724	49	3897436	48	9782408	49	3652138	48
2600	51	4078360	46	2000000	51	9832776	49	4387857	48	9741900	49	2931664	48
2800	51	3941040	46	1800000	51	9860248	49	4917530	48	9693069	49	2329564	48
3000	51	3832324	46	1600000	51	9884058	49	5489401	48	9633048	49	1823521	48
3200	51	3746846	46	1400000	51	9904891	49	6106411	48	9557495	49	1397631	48
3400	51	3680502	46	1200000	51	9923273	49	6771503	48	9459470	49	1040344	48
3600	51	3630101	46	1000000	51	9939613	49	7487623	48	9327164	49	7433234	47
3800	51	3593125	46	8000000	50	9954233	49	8257711	48	9138719	49	5006154	47
4000	51	3567557	46	6000000	50	9967391	49	9084711	48	8848529	49	3080126	47
4200	51	3551769	46	4000000	50	9979296	49	9971568	48	8342469	49	1626237	47
4400	51	3544424	46	2000000	50	9990118	49	1092122	49	7224887	49	6246883	46
4600	51	3544423	46	0000000	00	10000000	50	1193662	49	0000000	00	0000000	00

## Compton Cross Sections vs Energy of Scattered Quantum

$48$ $\gamma'$	$51=\gamma$	$\sigma_3(\gamma')/\phi_0$	$E$	$w$	$\sigma_1(w, \phi)/\phi_0$	$w'$	$\sigma_4(w', \phi)/\phi_0$
4948	49	1578943 48	4750515 51	1000000 50*	6153550 46	1000000 50	5909870 50
5000	49	1561998 48	4750000 51	9791667 49*	6214994 46	9999978 49	5845468 50
5500	49	1414712 48	4745000 51	7973485 49*	6811045 46	9999765 49	5283230 50
6000	49	1292799 48	4740000 51	6458334 49*	7407195 46	9999551 49	4817951 50
6500	49	1190228 48	4735000 51	5176282 49*	8003449 46	9999338 49	4426571 50
7000	49	1102738 48	4730000 51	4077381 49*	8599808 46	9999123 49	4092798 50
7500	49	1027234 48	4725000 51	3125000 49*	9196280 46	9998909 49	3804802 50
8000	49	9614124 47	4720000 51	2291667 49*	9792868 46	9998694 49	3554215 50
8500	49	9035240 47	4715000 51	1556373 49*	1038957 47	9998478 49	3332661 50
9000	49	8522173 47	4710000 51	9027780 48*	1098640 47	9998262 49	3137441 50
9500	49	8064309 47	4705000 51	3179830 48*	1158336 47	9998046 49	2962603 50
1000	50	7653200 47	4700000 51	2083330 48	1218044 47	9997829 49	2805949 50
1050	50	7282038 47	4695000 51	6845230 48	1277767 47	9997612 49	2664040 50
1100	50	6945274 47	4690000 51	1117424 49	1337503 47	9997394 49	2535797 50
1150	50	6638341 47	4685000 51	1512681 49	1397254 47	9997176 49	2418517 50
1200	50	6357447 47	4680000 51	1875000 49	1457019 47	9996957 49	2311613 50
1250	50	6099415 47	4675000 51	2208333 49	1516800 47	9996738 49	2213249 50
1300	50	5861566 47	4670000 51	2516025 49	1576596 47	9996519 49	2122444 50
1350	50	5641623 47	4665000 51	2800926 49	1636408 47	9996299 49	2038510 50
1400	50	5437638 47	4660000 51	3065476 49	1696237 47	9996078 49	1960561 50
1450	50	5247938 47	4655000 51	3311781 49	1756082 47	9995857 49	1888360 50
1500	50	5071074 47	4650000 51	3541666 49	1815944 47	9995636 49	1820944 50
1550	50	4905788 47	4645000 51	3756720 49	1875825 47	9995414 49	1757852 50
1600	50	4750979 47	4640000 51	3958333 49	1935723 47	9995192 49	1698994 50
1650	50	4605683 47	4635000 51	4147727 49	1995639 47	9994969 49	1643475 50
1700	50	4469051 47	4630000 51	4325980 49	2055575 47	9994746 49	1591477 50
1750	50	4340330 47	4625000 51	4494047 49	2115529 47	9994522 49	1542336 50
1800	50	4218855 47	4620000 51	4652777 49	2175503 47	9994298 49	1496065 50
1850	50	4104031 47	4615000 51	4802928 49	2235497 47	9994073 49	1452270 50
1900	50	3995326 47	4610000 51	4945175 49	2295512 47	9993848 49	1410901 50
1950	50	3892266 47	4605000 51	5080128 49	2355547 47	9993623 49	1371628 50
2000	50	3794422 47	4600000 51	5208333 49	2415604 47	9993397 49	1334360 50
2500	50	3033449 47	4550000 51	6208333 49	3017428 47	9991109 49	1044375 50
3000	50	2528508 47	4500000 51	6875000 49	3621821 47	9988773 49	8520948 49
3500	50	2169206 47	4450000 51	7351190 49	4229188 47	9986386 49	7153649 49
4000	50	1900637 47	4400000 51	7708333 49	4839933 47	9983947 49	6132466 49
4500	50	1692414 47	4350000 51	7986111 49	5454462 47	9981453 49	5341063 49
5000	50	1526356 47	4300000 51	8208333 49	6073179 47	9978903 49	4710613 49
5500	50	1390918 47	4250000 51	8390151 49	6696488 47	9976295 49	4196637 49
6000	50	1278418 47	4200000 51	8541666 49	7324795 47	9973627 49	3770029 49
6500	50	1183544 47	4150000 51	8669871 49	7958506 47	9970897 49	3410400 49
7000	50	1102509 47	4100000 51	8779762 49	8598021 47	9968103 49	3103413 49
7500	50	1032536 47	4050000 51	8875000 49	9243750 47	9965242 49	2838457 49
8000	50	9715468 46	4000000 51	8958333 49	9896095 47	9962513 49	2607567 49
8500	50	9179503 46	3950000 51	9031862 49	1055546 48	9959312 49	2404659 49
9000	50	8705123 46	3900000 51	9097222 49	1122225 48	9956236 49	2225107 49



## Compton Cross Sections vs Energy of Scattered Quantum

$\begin{matrix} 48 & 51 \\ \gamma' & = \gamma \end{matrix}$		$\sigma_3(\gamma')/\phi_0$		E		w		$\sigma_1(w, \phi)/\phi_0$		w'		$\sigma_4(w', \phi)/\phi_0$	
9500	50	8282579	46	3850000	51	9155701	49	1189687	48	9953084	49	2065106	49
1000	51	7904080	46	3800000	51	9208333	49	1257973	48	9949852	49	1921774	49
1200	51	6720224	46	3600000	51	9375000	49	1540162	48	9936062	49	1472569	49
1400	51	5894543	46	3400000	51	9494047	49	1838765	48	9920716	49	1157466	49
1600	51	5292538	46	3200000	51	9583333	49	2156374	48	9903538	49	9253907	48
1800	51	4839563	46	3000000	51	9652777	49	2495579	48	9884176	49	7480992	48
2000	51	4490859	46	2800000	51	9708333	49	2858969	48	9862187	49	6087741	48
2200	51	4217960	46	2600000	51	9753787	49	3249136	48	9836996	49	4968147	48
2400	51	4001899	46	2400000	51	9791666	49	3668671	48	9807850	49	4052281	48
2600	51	3829549	46	2200000	51	9823718	49	4120163	48	9773735	49	3292614	48
2800	51	3691533	46	2000000	51	9851190	49	4606202	48	9733264	49	2655976	48
3000	51	3580983	46	1800000	51	9875000	49	5129381	48	9684475	49	2118599	48
3200	51	3492743	46	1600000	51	9895833	49	5692287	48	9624510	49	1663426	48
3400	51	3422875	46	1400000	51	9914215	49	6297512	48	9549024	49	1277929	48
3600	51	3368314	46	1200000	51	9930555	49	6947647	48	9451084	49	9529428	47
3800	51	3326643	46	1000000	51	9945175	49	7645283	48	9318895	49	6817881	47
4000	51	3295926	46	8000000	50	9958333	49	8393008	48	9130617	49	4596149	47
4200	51	3274598	46	6000000	50	9970238	49	9193414	48	8840679	49	2829673	47
4400	51	3261379	46	4000000	50	9981060	49	1004909	49	8335110	49	1494668	47
4600	51	3255209	46	2000000	50	9990942	49	1096263	49	7218387	49	5741839	46
4800	51	3255208	46	0000000	00	1000000	50	1193662	49	0000000	00	0000000	00

Compton Cross Sections vs Energy of Scattered Quantum

50 $\gamma'$	51= $\gamma$	$\sigma_3(\gamma')/\phi_0$	E	w	$\sigma_1(w, \phi)/\phi_0$	w'	$\sigma_4(w', \phi)/\phi_0$
4950	49	1515148 48	4950495 51	1000000 50*	5909797 46	1000000 50	6148553 50
5000	49	1499556 48	4950000 51	9800000 49*	5966543 46	9999980 49	6084061 50
5500	49	1358357 48	4945000 51	7981818 49*	6539727 46	9999784 49	5500281 50
6000	49	1241452 48	4940000 51	6466667 49*	7112999 46	9999587 49	5017780 50
6500	49	1143073 48	4935000 51	5184615 49*	7686362 46	9999390 49	4610936 50
7000	49	1059142 48	4930000 51	4085714 49*	8259820 46	9999193 49	4263869 50
7500	49	9866976 47	4925000 51	3133333 49*	8833376 46	9998995 49	3963800 50
8000	49	9235335 47	4920000 51	2300000 49*	9407034 46	9998796 49	3703168 50
8500	49	8679751 47	4915000 51	1564706 49*	9980798 46	9998598 49	3473481 50
9000	49	8187278 47	4910000 51	9111110 48*	1055467 47	9998399 49	3269903 50
9500	49	7747746 47	4905000 51	3263160 48*	1112865 47	9998199 49	3088227 50
1000	50	7353060 47	4900000 51	2000000 48	1170275 47	9997999 49	2925104 50
1050	50	6996693 47	4895000 51	6761900 48	1227698 47	9997799 49	2777833 50
1100	50	6673327 47	4890000 51	1109091 49	1285132 47	9997599 49	2644215 50
1150	50	6378583 47	4885000 51	1504348 49	1342579 47	9997398 49	2522437 50
1200	50	6108826 47	4880000 51	1866667 49	1400039 47	9997196 49	2410800 50
1250	50	5861010 47	4875000 51	2200000 49	1457513 47	9996994 49	2308451 50
1300	50	5632563 47	4870000 51	2507692 49	1515001 47	9996792 49	2214114 50
1350	50	5421303 47	4865000 51	2792593 49	1572502 47	9996589 49	2126730 50
1400	50	5225362 47	4860000 51	3057143 49	1630018 47	9996386 49	2045847 50
1450	50	5043133 47	4855000 51	3303448 49	1687549 47	9996183 49	1970502 50
1500	50	4873226 47	4850000 51	3533333 49	1745095 47	9995979 49	1900517 50
1550	50	4714435 47	4845000 51	3748387 49	1802657 47	9995775 49	1834880 50
1600	50	4565703 47	4840000 51	3950000 49	1860235 47	9995570 49	1773418 50
1650	50	4426106 47	4835000 51	4139394 49	1917828 47	9995365 49	1715745 50
1700	50	4294827 47	4830000 51	4317647 49	1975439 47	9995159 49	1661335 50
1750	50	4171146 47	4825000 51	4485714 49	2033067 47	9994953 49	1610364 50
1800	50	4054423 47	4820000 51	4644444 49	2090711 47	9994747 49	1562268 50
1850	50	3944086 47	4815000 51	4794595 49	2148374 47	9994540 49	1516493 50
1900	50	3839627 47	4810000 51	4936842 49	2206055 47	9994333 49	1473406 50
1950	50	3740588 47	4805000 51	5071795 49	2263754 47	9994126 49	1432564 50
2000	50	3646560 47	4800000 51	5200000 49	2321472 47	9993918 49	1393730 50
2500	50	2915160 47	4750000 51	6200000 49	2899763 47	9991814 49	1091761 50
3000	50	2429726 47	4700000 51	6866667 49	3480327 47	9989668 49	8914969 49
3500	50	2084233 47	4650000 51	7342857 49	4063521 47	9987476 49	7490489 49
4000	50	1825935 47	4600000 51	7700000 49	4649705 47	9985239 49	6426078 49
4500	50	1625634 47	4550000 51	7977778 49	5239235 47	9982953 49	5601323 49
5000	50	1465860 47	4500000 51	8200000 49	5832471 47	9980619 49	4943839 49
5500	50	1335518 47	4450000 51	8381818 49	6429770 47	9978234 49	4407880 49
6000	50	1227226 47	4400000 51	8533333 49	7031490 47	9975796 49	3962871 49
6500	50	1135879 47	4350000 51	8661538 49	7637990 47	9973305 49	3587709 49
7000	50	1057835 47	4300000 51	8771429 49	8249627 47	9970757 49	3267315 49
7500	50	9904266 46	4250000 51	8866667 49	8866760 47	9968151 49	2990703 49
8000	50	9316537 46	4200000 51	8950000 49	9489746 47	9965485 49	2749644 49
8500	50	8799890 46	4150000 51	9023529 49	1011894 48	9962758 49	2537801 49
9000	50	8342451 46	4100000 51	9088889 49	1075471 48	9959966 49	2350221 49

Compton Cross Sections vs Energy of Scattered Quantum

50 $\gamma'$	51 = $\gamma$	$\sigma_3(\gamma')/\phi_0$		E		w		$\sigma_1(w, \phi)/\phi_0$		w'		$\sigma_4(w', \phi)/\phi_0$	
9500	50	7934852	46	4050000	51	9147368	49	1139741	48	9957108	49	2183080	49
1000	51	7569600	46	4000000	51	9200000	49	1204739	48	9954180	49	2033266	49
1200	51	6426016	46	3800000	51	9366667	49	1472734	48	9941730	49	1563654	49
1400	51	5626824	46	3600000	51	9485714	49	1755252	48	9927951	49	1233987	49
1600	51	5042709	46	3400000	51	9575000	49	2054584	48	9912618	49	9910078	48
1800	51	4601896	46	3200000	51	9644444	49	2373023	48	9895453	49	8052888	48
2000	51	4261350	46	3000000	51	9700000	49	2712859	48	9876107	49	6592539	48
2200	51	3993699	46	2800000	51	9745454	49	3076386	48	9854136	49	5418243	48
2400	51	3780704	46	2600000	51	9783333	49	3465894	48	9828966	49	4456744	48
2600	51	3609742	46	2400000	51	9815385	49	3883676	48	9799842	49	3658130	48
2800	51	3471798	46	2200000	51	9842857	49	4332022	48	9765756	49	2987469	48
3000	51	3360266	46	2000000	51	9866667	49	4813227	48	9725317	49	2419582	48
3200	51	3270189	46	1800000	51	9887500	49	5329580	48	9676569	49	1936306	48
3400	51	3197779	46	1600000	51	9905882	49	5883374	48	9616653	49	1524194	48
3600	51	3140090	46	1400000	51	9922222	49	6476902	48	9541227	49	1173298	48
3800	51	3094796	46	1200000	51	9936842	49	7112453	48	9443365	49	8762666	47
4000	51	3060037	46	1000000	51	9950000	49	7792321	48	9311283	49	6276515	47
4200	51	3034307	46	8000000	50	9961905	49	8518797	48	9123152	49	4234671	47
4400	51	3016374	46	6000000	50	9972727	49	9294173	48	8833468	49	2608694	47
4600	51	3005222	46	4000000	50	9982609	49	1012074	49	8328242	49	1378293	47
4800	51	3000001	46	2000000	50	9991667	49	1100079	49	7212419	49	5295709	46
5000	51	3000000	46	0000000	00	1000000	50	1193662	49	0000000	00	0000000	00

w'			$\phi_0$	$\gamma'$	$\sigma_s(\gamma')$	E	w	$\sigma_1(w, \phi)$		
			$\phi_0$		$\phi_0$			$\phi_0$		
1000	50		4774648	49	0000000	00	1000000	50*	1193662	49
9900	49		4542514	49	0000000	00	9602000	49*	1147099	49
9800	49		4323241	49	0000000	00	9208000	49*	1102867	49
9700	49		4116329	49	0000000	00	8818000	49*	1060909	49
9600	49		3921291	49	0000000	00	8432000	49*	1021169	49
9500	49		3737651	49	0000000	00	8050000	49*	9835924	48
9400	49		3564943	49	0000000	00	7672000	49*	9481232	48
9300	49		3402713	49	0000000	00	7298000	49*	9147080	48
9200	49		3250518	49	0000000	00	6928000	49*	8832930	48
9100	49		3107924	49	0000000	00	6562000	49*	8538255	48
9000	49		2974510	49	0000000	00	6200000	49*	8262528	48
8800	49		2733580	49	0000000	00	5488000	49*	7765854	48
8600	49		2524557	49	0000000	00	4792000	49*	7338828	48
8400	49		2344428	49	0000000	00	4112000	49*	6977464	48
8200	49		2190339	49	0000000	00	3448000	49*	6677864	48
8000	49		2059592	49	0000000	00	2800000	49*	6436225	48
7500	49		1818469	49	0000000	00	1250000	49*	6061565	48
7000	49		1671795	49	0000000	00	2000000	48	5970697	48
6500	49		1589041	49	0000000	00	1550000	49	6111699	48
6000	49		1544694	49	0000000	00	2800000	49	6436225	48
5500	49		1517893	49	0000000	00	3950000	49	6899515	48
5000	49		1492077	49	0000000	00	5000000	49	7460387	48
4500	49		1454623	49	0000000	00	5950000	49	8081241	48
4000	49		1396489	49	0000000	00	6800000	49	8728057	48
3500	49		1311855	49	0000000	00	7550000	49	9370396	48
3000	49		1197768	49	0000000	00	8200000	49	9981402	48
2500	49		1053779	49	0000000	00	8750000	49	1053779	49
2000	49		8815910	48	0000000	00	9200000	49	1101988	49
1500	49		6846935	48	0000000	00	9550000	49	1141155	49
1000	49		4680110	48	0000000	00	9800000	49	1170027	49
5000	48		2375417	48	0000000	00	9950000	49	1187708	49
0000	00		0000000	00	0000000	00	1000000	50	1193662	49

Compton Cross Sections vs. Angle of Recoil Electron

10 49 = $\gamma$		$\sigma_s(w', \phi)$		$\gamma'$		$\sigma_s(\gamma')$		E		w		$\sigma_s(w, \phi)$	
w'		$\phi_0$				$\phi_0$						$\phi_0$	
1000	50	4078897	49	8333333	48	7624999	51	1666667	48	1000000	50*	8427475	48
9900	49	3848033	49	8366771	48	7268497	51	1633229	48	9520424	49*	8098052	48
9800	49	3633390	49	8399861	48	6935368	51	1600138	48	9049583	49*	7788143	48
9700	49	3434037	49	8432605	48	6624574	51	1567394	48	8587312	49*	7497244	48
9600	49	3249089	49	8465002	48	6335118	51	1534997	48	8133450	49*	7224854	48
9500	49	3077705	49	8497054	48	6066048	51	1502945	48	7687841	49*	6970482	48
9400	49	2919083	49	8528760	48	5816447	51	1471239	48	7250332	49*	6733638	48
9300	49	2772463	49	8560120	48	5585437	51	1439879	48	6820777	49*	6513840	48
9200	49	2637120	49	8591136	48	5372175	51	1408863	48	6399032	49*	6310613	48
9100	49	2512366	49	8621807	48	5175853	51	1378192	48	5984959	49*	6123487	48
9000	49	2397547	49	8652134	48	4995695	51	1347866	48	5578421	49*	5951995	48
8800	49	2195256	49	8711755	48	4680917	51	1288245	48	4787430	49*	5654086	48
8600	49	2025629	49	8770002	48	4422230	51	1229997	48	4025054	49*	5413285	48
8400	49	1884496	49	8826877	48	4214454	51	1173122	48	3290338	49*	5226076	48
8200	49	1768092	49	8882384	48	4052809	51	1117615	48	2582382	49*	5089035	48
8000	49	1673023	49	8936523	48	3932881	51	1063477	48	1900334	49*	4998827	48
7500	49	1509350	49	9065905	48	3789542	51	9340950	47	3033772	48*	4957118	48
7000	49	1420724	49	9186678	48	3826419	51	8132110	47	1148044	49	5139729	48
6500	49	1376674	49	9299206	48	3997466	51	7007940	47	2463936	49	5501697	48
6000	49	1354301	49	9403182	48	4264629	51	5968170	47	3653032	49	6001380	48
5500	49	1336749	49	9498746	48	4596405	51	5012540	47	4722955	49	6600412	48
5000	49	1311984	49	9585921	48	4966695	51	4140780	47	5680345	49	7263658	48
4500	49	1271833	49	9664727	48	5353873	51	3352720	47	6530975	49	7959163	48
4000	49	1211211	49	9735187	48	5740051	51	2648130	47	7279836	49	8658139	48
3500	49	1127504	49	9797315	48	6110484	51	2026850	47	7931223	49	9334904	48
3000	49	1020068	49	9851128	48	6453078	51	1488710	47	8488791	49	9966876	48
2500	49	8898214	48	9896640	48	6758018	51	1033590	47	8955613	49	1053452	49
2000	49	7389097	48	9933862	48	7017453	51	6613800	46	9334221	49	1102137	49
1500	49	5704282	48	9962802	48	7225260	51	3719700	46	9626641	49	1141397	49
1000	49	3881841	48	9983469	48	7376855	51	1653100	46	9834423	49	1170184	49
5000	48	1964936	48	9995867	48	7469059	51	4132000	45	9958659	49	1187755	49
0000	00	0000000	00	1000000	49	7500000	51	0000000	00	1000000	50	1193662	49

$\sigma_1(W, \phi)$		$\gamma'$		$\sigma_3(\gamma')$		E		W		$\sigma_1(W, \phi)$			
$\phi_0$				$\phi_0$						$\phi_0$			
1000	50	3708356	49	1428571	49	1982142	51	5714286	48	1000000	50*	6438119	48
9900	49	3466046	49	1440261	49	1873468	51	5597389	48	9431854	49*	6185132	48
9800	49	3244533	49	1451820	49	1773625	51	5481797	48	8879051	49*	5949872	48
9700	49	3042214	49	1463249	49	1682042	51	5367508	48	8341059	49*	5731854	48
9600	49	2857606	49	1474548	49	1598188	51	5254515	48	7817371	49*	5530524	48
9500	49	2689337	49	1485718	49	1521568	51	5142817	48	7307507	49*	5345452	48
9400	49	2536135	49	1496759	49	1451716	51	5032406	48	6811007	49*	5176140	48
9300	49	2396822	49	1507671	49	1388201	51	4923281	48	6327432	49*	5022112	48
9200	49	2270304	49	1518456	49	1330617	51	4815439	48	5856363	49*	4882900	48
9100	49	2155569	49	1529112	49	1278584	51	4708872	48	5397402	49*	4758047	48
9000	49	2051676	49	1539642	49	1231749	51	4603580	48	4950166	49*	4647098	48
8900	49	1872993	49	1550319	49	1152358	51	4396802	48	4089427	49*	4465139	48
8800	49	1728001	49	1580492	49	1090027	51	4195074	48	3271414	49*	4333537	48
8700	49	1611311	49	1600163	49	1042627	51	3998368	48	2493625	49*	4248912	48
8600	49	1518272	49	1619334	49	1008280	51	3806655	48	1753765	49*	4207990	48
8500	49	1444872	49	1638009	49	9853295	50	3619910	48	1049723	49*	4207597	48
8400	49	1325725	49	1682539	49	9685810	50	3174602	48	5660377	48	4364020	48
8300	49	1266623	49	1724021	49	9955616	50	2759786	48	1996079	49	4709486	48
8200	49	1238426	49	1762490	49	1052265	51	2375097	48	3262100	49	5202340	48
8100	49	1221319	49	1797979	49	1128160	51	2020201	48	4382022	49	5804442	48
8000	49	1202109	49	1830520	49	1215274	51	1694796	48	5370724	49	6481022	48
7900	49	1172344	49	1860139	49	1307539	51	1398602	48	6240601	49	7200558	48
7800	49	1126980	49	1886863	49	1400317	51	1131363	48	7001998	49	7934647	48
7700	49	1063426	49	1910714	49	1490049	51	8928580	47	7663551	49	8657895	48
7600	49	9808727	48	1931712	49	1574005	51	6828790	47	8232450	49	9347840	48
7500	49	8797935	48	1949874	49	1650090	51	5012520	47	8714653	49	9984842	48
7400	49	7615907	48	1965217	49	1716701	51	3478260	47	9115044	49	1055203	49
7300	49	6283342	48	1977753	49	1772627	51	2224690	47	9437570	49	1103523	49
7200	49	4825681	48	1987492	49	1816965	51	1250790	47	9685336	49	1142293	49
7100	49	3271686	48	1994442	49	1849067	51	5557100	46	9860685	49	1170620	49
7000	48	1652343	48	1998611	49	1868496	51	1389000	46	9965251	49	1187870	49
6000	00	0000000	00	2000000	49	1875000	51	0000000	00	1000000	50	1193662	49

## Compton Cross Sections vs. Angle of Recoil Electron

30 49 = $\gamma$		$\sigma_1(w', \phi)$		$\gamma'$		$\sigma_2(\gamma')$		E		w		$\sigma_1(w, \phi)$	
w'		$\phi_0$				$\phi_0$						$\phi_0$	
1000	50	3506615	49	1875000	49	9270833	50	1125000	49	1000000	50*	5187301	48
9900	49	3245328	49	1898620	49	8686120	50	1101379	49	9336490	49*	4983359	48
9800	49	3010621	49	1921951	49	8158179	50	1078048	49	8697119	49*	4796210	48
9700	49	2799908	49	1944994	49	7682197	50	1055005	49	8080687	49*	4625327	48
9600	49	2610864	49	1967752	49	7253802	50	1032247	49	7486073	49*	4470197	48
9500	49	2441389	49	1990225	49	6869019	50	1009774	49	6912229	49*	4330314	48
9400	49	2289590	49	2012416	49	6524228	50	9875838	48	6358176	49*	4205182	48
9300	49	2153756	49	2034326	49	6216130	50	9656740	48	5822996	49*	4094316	48
9200	49	2032341	49	2055956	49	5941715	50	9440434	48	5305827	49*	3997236	48
9100	49	1923943	49	2077309	49	5698230	50	9226907	48	4805861	49*	3913474	48
9000	49	1827296	49	2098386	49	5483160	50	9016139	48	4322341	49*	3842570	48
8800	49	1664761	49	2139717	49	5129238	50	8602830	48	3401819	49*	3737538	48
8600	49	1536758	49	2179961	49	4863716	50	8200385	48	2539036	49*	3678629	48
8400	49	1436711	49	2219131	49	4672905	50	7808688	48	1729347	49*	3662461	48
8200	49	1359182	49	2257237	49	4545220	50	7427627	48	9686112	48*	3685780	48
8000	49	1299672	49	2294290	49	4470825	50	7057093	48	2531240	48*	3745455	48
7500	49	1206780	49	2382386	49	4465953	50	6176135	48	1358617	49	4034211	48
7000	49	1161925	49	2464123	49	4643845	50	5358770	48	2750943	49	4487687	48
6500	49	1138207	49	2539641	49	4935210	50	4603581	48	3957703	49	5066064	48
6000	49	1118976	49	2609073	49	5291999	50	3909266	48	5005549	49	5733403	48
5500	49	1094193	49	2672535	49	5680531	50	3274647	48	5915680	49	6457374	48
5000	49	1058122	49	2730134	49	6076984	50	2698651	48	6705107	49	7209024	48
4500	49	1007846	49	2781968	49	6464402	50	2180317	48	7387560	49	7962562	48
4000	49	9423030	48	2828121	49	6830650	50	1718788	48	7974170	49	8695172	48
3500	49	8616440	48	2868670	49	7167025	50	1313300	48	8473971	49	9386858	48
3000	49	7668187	48	2903680	49	7467280	50	9631970	47	8894281	49	1002028	49
2500	49	6592941	48	2933209	49	7726938	50	6679040	47	9240986	49	1058068	49
2000	49	5408694	48	2957305	49	7942812	50	4269460	47	9518768	49	1105571	49
1500	49	4135536	48	2976006	49	8112660	50	2399320	47	9731259	49	1143539	49
1000	49	2794857	48	2989343	49	8234950	50	1065640	47	9881171	49	1171204	49
5000	48	1408816	48	2997336	49	8308693	50	2663100	46	9970384	49	1188020	49
0000	00	0000000	00	3000000	49	8333333	50	0000000	00	1000000	50	1193662	49

W'		$\sigma_1(W, \phi)$ $\phi_0$		$\gamma'$	$\sigma_2(\gamma')$ $\phi_0$		E	W		$\sigma_3(W, \phi)$ $\phi_c$			
1000	50	3401855	49	2222222	49	5520833	50	1777777	49	1000000	50*	4339100	48
9900	49	3116267	49	2260676	49	5126528	50	1739323	49	9234543	49*	4169849	48
9800	49	2864329	49	2298611	49	4776807	50	1701388	49	8504531	49*	4016880	48
9700	49	2642077	49	2336030	49	4466977	50	1663969	49	7807664	49*	3879634	48
9600	49	2446041	49	2372938	49	4192890	50	1627061	49	7141836	49*	3757566	48
9500	49	2273173	49	2409341	49	3950873	50	1590658	49	6505120	49*	3650143	48
9400	49	2120796	49	2445242	49	3737668	50	1554757	49	5895745	49*	3556842	48
9300	49	1986551	49	2480645	49	3550376	50	1519354	49	5312084	49*	3477154	48
9200	49	1868358	49	2515556	49	3386413	50	1484443	49	4752635	49*	3410580	48
9100	49	1764378	49	2549978	49	3243476	50	1450021	49	4216016	49*	3356633	48
9000	49	1672983	49	2583916	49	3119500	50	1416083	49	3700947	49*	3314836	48
8800	49	1522350	49	2650353	49	2921236	50	1349646	49	2730811	49*	3265837	48
8600	49	1406761	49	2714901	49	2778988	50	1285098	49	1833751	49*	3259980	48
8400	49	1318549	49	2777589	49	2682525	50	1222410	49	1002445	49*	3293820	48
8200	49	1251629	49	2838446	49	2623511	50	1161553	49	2305370	48*	3364065	48
8000	49	1201156	49	2897502	49	2595121	50	1102497	49	4875148	48	3467570	48
7500	49	1123409	49	3037433	49	2623636	50	9625668	48	2077464	49	3852452	48
7000	49	1084143	49	3166666	49	2746548	50	8333333	48	3421052	49	4383409	48
6500	49	1059166	49	3285563	49	2922943	50	7144366	48	4563818	49	5021809	48
6000	49	1034786	49	3394449	49	3126417	50	6055507	48	5540138	49	5733314	48
5500	49	1003529	49	3493617	49	3339682	50	5063821	48	6376377	49	6487481	48
5000	49	9616372	48	3583333	49	3551302	50	4166668	48	7093023	49	7257417	48
4500	49	9075896	48	3663830	49	3753657	50	3361693	48	7706162	49	8019468	48
4000	49	8412064	48	3735318	49	3941658	50	2646817	48	8228520	49	8752949	48
3500	49	7631056	48	3797979	49	4111904	50	2020202	48	8670212	49	9439921	48
3000	49	6743679	48	3851973	49	4262129	50	1480263	48	9039282	49	1006499	49
2500	49	5763341	48	3897435	49	4390837	50	1025641	48	9342105	49	1061513	49
2000	49	4704817	48	3934479	49	4497051	50	6552010	47	9583680	49	1107956	49
1500	49	3583531	48	3963197	49	4580143	50	3680220	47	9767849	49	1144961	49
1000	49	2415155	48	3983660	49	4639718	50	1633980	47	9897456	49	1171861	49
5000	48	1215412	48	3995917	49	4675545	50	4082200	46	9974458	49	1188188	49
0000	00	0000000	00	4000000	49	4687500	50	0000000	00	1000000	50	1193662	49



Compton Cross Sections vs. Angle of Recoil Electron

$\beta_0 \quad 49 = \gamma$		$\sigma_1(w, \phi)$		$\gamma'$		$\sigma_1(\gamma')$		E		w		$\sigma_1(w, \phi)$	
w'		$\phi_0$				$\phi_0$						$\phi_0$	
1000	50	3357174	49	2500000	49	3750000	50	2500000	49	1000000	50*	3730193	48
9900	49	3043034	49	2555829	49	3450539	50	2444170	49	9126234	49*	3587326	48
9800	49	2771009	49	2610826	49	3189761	50	2389173	49	8302048	49*	3460464	48
9700	49	2535261	49	2664999	49	2962794	50	2335000	49	7523454	49*	3349006	48
9600	49	2330822	49	2718360	49	2765451	50	2281640	49	6786885	49*	3252371	48
9500	49	2153451	49	2770916	49	2594124	50	2229083	49	6089136	49*	3169989	48
9400	49	1999517	49	2822680	49	2445691	50	2177320	49	5427324	49*	3101308	48
9300	49	1865903	49	2873658	49	2317444	50	2126341	49	4798845	49*	3045789	48
9200	49	1749925	49	2923861	49	2207028	50	2076138	49	4201342	49*	3002906	48
9100	49	1649267	49	2973298	49	2112385	50	2026701	49	3632678	49*	2972148	48
9000	49	1561926	49	3021977	49	2031717	50	1978022	49	3090909	49*	2953017	48
8800	49	1420476	49	3117097	49	1906179	50	1882902	49	2081123	49*	2947710	48
8600	49	1314231	49	3209287	49	1819922	50	1790712	49	1159562	49*	2983254	48
8400	49	1234577	49	3298611	49	1764763	50	1701388	49	3157894	48*	3056109	48
8200	49	1174935	49	3385129	49	1734272	50	1614871	49	4590280	48	3162917	48
8000	49	1130252	49	3468899	49	1723357	50	1531100	49	1172413	49	3300493	48
7500	49	1060557	49	3666666	49	1757024	50	1333333	49	2727272	49	3759593	48
7000	49	1021900	49	3848413	49	1845214	50	1151586	49	4015267	49	4349411	48
6500	49	9929089	48	4014864	49	1961529	50	9851357	48	5092559	49	5032187	48
6000	49	9624821	48	4166666	49	2090000	50	8333333	48	6000000	49	5774892	48
5500	49	9251365	48	4304397	49	2220799	50	6956023	48	6767946	49	6548688	48
5000	49	8784999	48	4428571	49	2347822	50	5714287	48	7419354	49	7328459	48
4500	49	8219224	48	4539641	49	2467256	50	4603583	48	7971831	49	8092404	48
4000	49	7556965	48	4638009	49	2576732	50	3619910	48	8439024	49	8821708	48
3500	49	6806117	48	4724021	49	2674792	50	2759787	48	8831594	49	9500226	48
3000	49	5977027	48	4797979	49	2760557	50	2020204	48	9157894	49	1011425	49
2500	49	5081078	48	4860139	49	2833514	50	1398602	48	9424460	49	1065229	49
2000	49	4129923	48	4910714	49	2893379	50	8928560	47	9636363	49	1110490	49
1500	49	3135101	48	4949874	49	2940008	50	5012540	47	9797468	49	1146455	49
1000	49	2107885	48	4977752	49	2973334	50	2224710	47	9910614	49	1172547	49
5000	48	1059263	48	4994442	49	2993333	50	5557300	46	9977746	49	1188363	49
0000	00	0000000	00	5000000	49	3000000	50	0000000	00	1000000	50	1193662	49

60 49 = $\gamma$		$\sigma_1(w', \phi)$		$\gamma'$		$\sigma_2(\gamma')$		E		w		$\sigma_1(w, \phi)$	
w'		$\phi_0$				$\phi_0$						$\phi_0$	
1000	50	3351939	49	2727272	49	2765151	50	3272727	49	1000000	50*	3273378	48
9900	49	3005571	49	2802811	49	2520800	50	3197188	49	9011797	49*	3151709	48
9800	49	2711293	49	2877109	49	2311977	50	3122891	49	8090444	49*	3045904	48
9700	49	2460790	49	2950185	49	2133464	50	3049814	49	7229508	49*	2955317	48
9600	49	2247195	49	3022058	49	1980909	50	2977941	49	6423357	49*	2879324	48
9500	49	2064805	49	3092747	49	1850660	50	2907252	49	5667042	49*	2817317	48
9400	49	1908868	49	3162269	49	1739640	50	2837730	49	4956194	49*	2768709	48
9300	49	1775406	49	3230641	49	1645245	50	2769358	49	4286941	49*	2732928	48
9200	49	1661076	49	3297880	49	1565259	50	2702119	49	3655841	49*	2709419	48
9100	49	1563058	49	3364002	49	1497793	50	2635997	49	3059825	49*	2697645	48
9000	49	1478968	49	3429024	49	1441229	50	2570975	49	2496143	49*	2697083	48
8800	49	1344774	49	3555829	49	1355429	50	2444170	49	1456163	49*	2727589	48
8600	49	1245636	49	3678415	49	1298853	50	2321584	49	5189500	48*	2797060	48
8400	49	1172158	49	3796897	49	1264727	50	2203102	49	3293715	48	2901849	48
8200	49	1117415	49	3911383	49	1247903	50	2088616	49	1100263	49	3038517	48
8000	49	1076266	49	4021978	49	1244428	50	1978022	49	1803278	49	3203829	48
7500	49	1010010	49	4282078	49	1275690	50	1717921	49	3313521	49	3728842	48
7000	49	9691576	48	4519885	49	1340727	50	1480114	49	4542214	49	4359288	48
6500	49	9350356	48	4736658	49	1421572	50	1263341	49	5554737	49	5076137	48
6000	49	8986951	48	4933509	49	1507974	50	1066491	49	6397117	49	5841521	48
5500	49	8561413	48	5111419	49	1593978	50	8885809	48	7102629	49	6628044	48
5000	49	8059309	48	5271255	49	1676096	50	7287447	48	7695852	49	7412203	48
4500	49	7479215	48	5413775	49	1752295	50	5862247	48	8195267	49	8173874	48
4000	49	6826156	48	5539641	49	1821407	50	4603581	48	8614958	49	8895915	48
3500	49	6108083	48	5649429	49	1882786	50	3505703	48	8965764	49	9563798	48
3000	49	5334024	48	5743630	49	1936100	50	2563698	48	9256075	49	1016531	49
2500	49	4513145	48	5822660	49	1981202	50	1773396	48	9492385	49	1069034	49
2000	49	3654298	48	5886863	49	2018048	50	1131361	48	9679692	49	1113063	49
1500	49	2765862	48	5936517	49	2046652	50	6348210	47	9821775	49	1147962	49
1000	49	1855730	48	5971835	49	2067044	50	2816440	47	9921396	49	1173236	49
5000	48	9313814	47	5992966	49	2079263	50	7033900	46	9980438	49	1188538	49
0000	00	0000000	00	6000000	49	2083333	50	0000000	00	1000000	50	1193662	49

Compton Cross Sections vs. Angle of Recoil Electron

70 49 = $\gamma$		$\sigma_1(w', \phi)$		$\gamma'$		$\sigma_2(\gamma')$		E		w		$\sigma_1(w, \phi)$	
w'		$\phi_0$				$\phi_0$						$\phi_0$	
1000	50	3373822	49	2916666	49	2155612	50	4083333	49	1000000	50*	2918531	48
9900	49	2991882	49	3014119	49	1946613	50	3985880	49	8891472	49*	2814625	48
9800	49	2673637	49	3109818	49	1771410	50	3890181	49	7870500	49*	2726524	48
9700	49	2407576	49	3203797	49	1624331	50	3796202	49	6927243	49*	2653535	48
9600	49	2184477	49	3296087	49	1500782	50	3703912	49	6053288	49*	2594988	48
9500	49	1996901	49	3386718	49	1397017	50	3613281	49	5241392	49*	2550235	48
9400	49	1838809	49	3475721	49	1309959	50	3524278	49	4485293	49*	2518650	48
9300	49	1705274	49	3563124	49	1237068	50	3436876	49	3779544	49*	2499629	48
9200	49	1592251	49	3648955	49	1176231	50	3351044	49	3119388	49*	2492585	48
9100	49	1496405	49	3733242	49	1125687	50	3266757	49	2500651	49*	2496953	48
9000	49	1414977	49	3816012	49	1083957	50	3183987	49	1919652	49*	2512186	48
8800	49	1286566	49	3977101	49	1022141	50	3022898	49	8582261	48*	2573146	48
8600	49	1192816	49	4132421	49	9829158	49	2867578	49	8682738	47	2671441	48
8400	49	1123714	49	4282160	49	9605597	49	2717839	49	9330153	48	2803304	48
8200	49	1072127	49	4426495	49	9508588	49	2573504	49	1694479	49	2965215	48
8000	49	1032922	49	4565595	49	9506709	49	2434404	49	2382766	49	3153879	48
7500	49	9671162	48	4891465	49	9776403	49	2108534	49	3841943	49	3722864	48
7000	49	9225999	48	5187856	49	1026597	50	1812144	49	5009929	49	4397403	48
6500	49	8831309	48	5456750	49	1084853	50	1543249	49	5959789	49	5141138	48
6000	49	8414816	48	5699882	49	1145542	50	1300118	49	6741491	49	5923288	48
5500	49	7947280	48	5918766	49	1204884	50	1081233	49	7390301	49	6717813	48
5000	49	7420147	48	6114724	49	1260792	50	8852752	48	7931747	49	7502701	48
4500	49	6834618	48	6288907	49	1312131	50	7110924	48	8384700	49	8259388	48
4000	49	6196200	48	6442310	49	1358308	50	5576896	48	8763332	49	8972261	48
3500	49	5511994	48	6575791	49	1399045	50	4242089	48	9078419	49	9628265	48
3000	49	4789362	48	6690080	49	1434239	50	3099193	48	9338211	49	1021655	49
2500	49	4035323	48	6785792	49	1463883	50	2142078	48	9549041	49	1072822	49
2000	49	3256326	48	6863434	49	1488019	50	1365659	48	9715747	49	1115608	49
1500	49	2458206	48	6923409	49	1506707	50	7659020	47	9841965	49	1149447	49
1000	49	1646256	48	6966032	49	1520005	50	3396780	47	9930340	49	1173913	49
5000	48	8253336	47	6991519	49	1527963	50	8480700	46	9982670	49	1188710	49
0000	00	0000000	00	7000000	49	1530612	50	0000000	00	1000000	50	1193662	49

80 49 = $\gamma$		$\sigma_1(w, \phi)$		$\gamma'$		$\sigma_2(\gamma')$		E		w		$\sigma_1(w, \phi)$	
w'		$\phi_0$				$\phi_0$						$\phi_0$	
1000	50	3415058	49	3076923	49	1748798	50	4923076	49	1000000	50*	2635075	48
9900	49	2994412	49	3198412	49	1564092	50	4801587	49	8765508	49*	2546545	48
9800	49	2650807	49	3317520	49	1412275	50	4682479	49	7642995	49*	2473812	48
9700	49	2368700	49	3434297	49	1287137	50	4565702	49	6618037	49*	2416132	48
9600	49	2136017	49	3548793	49	1183798	50	4451206	49	5678588	49*	2372791	48
9500	49	1943297	49	3661057	49	1098391	50	4338942	49	4814510	49*	2343097	48
9400	49	1783063	49	3771136	49	1027821	50	4228864	49	4017209	49*	2326386	48
9300	49	1649361	49	3879073	49	9695939	49	4120926	49	3279350	49*	2322020	48
9200	49	1537422	49	3984915	49	9216837	49	4015084	49	2594638	49*	2329379	48
9100	49	1443396	49	4088702	49	8824350	49	3911297	49	1957639	49*	2347868	48
9000	49	1364162	49	4190476	49	8504856	49	3809523	49	1363636	49*	2376916	48
8800	49	1240350	49	4388144	49	8041673	49	3611855	49	2886782	48*	2464497	48
8600	49	1150624	49	4578222	49	7757832	49	3421777	49	6574639	48	2587941	48
8400	49	1084517	49	4760999	49	7604442	49	3239000	49	1496008	49	2743366	48
8200	49	1034799	49	4936744	49	7546510	49	3063256	49	2243734	49	2927166	48
8000	49	9964199	48	5105709	49	7558628	49	2894290	49	2914083	49	3135994	48
7500	49	9291766	48	5500000	49	7784251	49	2499999	49	4318181	49	3747679	48
7000	49	8803539	48	5856752	49	8158711	49	2143247	49	5425690	49	4454053	48
6500	49	8358052	48	6178879	49	8589790	49	1821120	49	6315835	49	5219418	48
6000	49	7896325	48	6468899	49	9029969	49	1531100	49	7041420	49	6014052	48
5500	49	7396489	48	6728991	49	9454349	49	1271008	49	7638932	49	6813210	48
5000	49	6853418	48	6961038	49	9849940	49	1038961	49	8134328	49	7596295	48
4500	49	6269306	48	7166667	49	1021020	50	8333329	48	8546511	49	8346202	48
4000	49	5649184	48	7347272	49	1053211	50	6527280	48	8889505	49	9048740	48
3500	49	4998853	48	7504048	49	1081461	50	4959516	48	9173860	49	9692202	48
3000	49	4323936	48	7638008	49	1105764	50	3619912	48	9407582	49	1026698	49
2500	49	3629504	48	7749999	49	1126165	50	2500003	48	9596774	49	1076528	49
2000	49	2919977	48	7840716	49	1142731	50	1592834	48	9746064	49	1118087	49
1500	49	2199163	48	7910714	49	1155532	50	8928510	47	9858916	49	1150869	49
1000	49	1470346	48	7960416	49	1164627	50	3958400	47	9937841	49	1174569	49
5000	48	7364179	47	7990118	49	1170065	50	9881400	46	9984541	49	1188876	49
0000	00	0000000	00	8000000	49	1171875	50	0000000	00	1000000	50	1193662	49

## Compton Cross Sections vs. Angle of Recoil Electron

90 49 = $\gamma$		$\sigma_1(w', \phi)$		$\gamma'$		$\sigma_1(\gamma')$		E		w		$\sigma_1(w, \phi)$	
w'		$\phi_0$				$\phi_0$						$\phi_0$	
1000	50	3470537	49	3214285	49	1461640	50	5785714	49	1000000	50*	2403419	48
9900	49	3008188	49	3361878	49	1294492	50	5638121	49	8634160	49*	2328540	48
9800	49	2638083	49	3506333	49	1159845	50	5493666	49	7408705	49*	2269481	48
9700	49	2339676	49	3647728	49	1050878	50	5352272	49	6303213	49*	2225448	48
9600	49	2097509	49	3786136	49	9624007	49	5213863	49	5301040	49*	2195677	48
9500	49	1899813	49	3921630	49	8904116	49	5078369	49	4388489	49*	2179436	48
9400	49	1737534	49	4054279	49	8317937	49	4945720	49	3554184	49*	2176021	48
9300	49	1603641	49	4184151	49	7840937	49	4815848	49	2788599	49*	2184755	48
9200	49	1492622	49	4311309	49	7453633	49	4688690	49	2083695	49*	2204990	48
9100	49	1400128	49	4435818	49	7140421	49	4564181	49	1432642	49*	2236101	48
9000	49	1322699	49	4557737	49	6888711	49	4442262	49	8296009	48*	2277491	48
8800	49	1202505	49	4794036	49	6530729	49	4205963	49	2518605	48	2388825	48
8600	49	1115708	49	5020650	49	6317999	49	3979349	49	1193371	49	2534659	48
8400	49	1051531	49	5237994	49	6208387	49	3762005	49	2019832	49	2710996	48
8200	49	1002739	49	5446455	49	6172535	49	3553545	49	2750545	49	2914147	48
8000	49	9644085	48	5646396	49	6189639	49	3353603	49	3400701	49	3140712	48
7500	49	8945987	48	6111155	49	6375603	49	2888844	49	4747592	49	3789553	48
7000	49	8413342	48	6529488	49	6665714	49	2470511	49	5795976	49	4522984	48
6500	49	7922149	48	6905455	49	6991359	49	2094544	49	6629807	49	5305989	48
6000	49	7423340	48	7242526	49	7318689	49	1757473	49	7303774	49	6109892	48
5500	49	6899842	48	7543674	49	7630760	49	1456325	49	7854971	49	6911205	48
5000	49	6348238	48	7811445	49	7919223	49	1188554	49	8309382	49	7690694	48
4500	49	5770652	48	8048019	49	8180207	49	9519801	48	8685694	49	8432619	48
4000	49	5171111	48	8255257	49	8412207	49	7447423	48	8997619	49	9124127	48
3500	49	4553939	48	8434740	49	8614953	49	5652600	48	9255381	49	9754756	48
3000	49	3923089	48	8587798	49	8788792	49	4122014	48	9466682	49	1031604	49
2500	49	3281915	48	8715540	49	8934339	49	2844595	48	9637352	49	1080118	49
2000	49	2633157	48	8818873	49	9052281	49	1811264	48	9771793	49	1120480	49
1500	49	1979004	48	8898517	49	9143269	49	1014823	48	9873284	49	1152277	49
1000	49	1321195	48	8955023	49	9207848	49	4497660	47	9944194	49	1175199	49
5000	48	6611336	47	8988774	49	9246427	49	1122520	47	9986124	49	1189036	49
0000	00	0000000	00	9000000	49	9259259	49	0000000	00	1000000	50	1193662	49

10 50 = $\gamma$		$\sigma_1(w', \phi)$		$\gamma'$		$\sigma_3(\gamma')$		E		w		$\sigma_1(w, \phi)$	
w'		$\phi_0$				$\phi_0$						$\phi_0$	
1000	50	3536776	49	3333333	49	1250000	50	6666667	49	1000000	50*	2210485	48
9900	49	3029826	49	3509056	49	1096043	50	6490943	49	8497688	49*	2147971	48
9800	49	2632285	49	3680747	49	9745398	49	6319253	49	7168394	49*	2101317	48
9700	49	2317504	49	3848517	49	8780029	49	6151482	49	5984031	49*	2069679	48
9600	49	2066073	49	4012474	49	8009114	49	5987526	49	4922279	49*	2052244	48
9500	49	1863643	49	4172719	49	7391314	49	5827280	49	3965183	49*	2048237	48
9400	49	1699462	49	4329354	49	6895248	49	5670646	49	3098132	49*	2056914	48
9300	49	1565379	49	4482472	49	6496796	49	5517527	49	2309115	49*	2077565	48
9200	49	1455148	49	4632166	49	6177212	49	5367834	49	1588170	49*	2109507	48
9100	49	1363938	49	4778524	49	5921780	49	5221476	49	9269644	48*	2152087	48
9000	49	1287980	49	4921630	49	5718841	49	5078370	49	3184713	48*	2204682	48
8800	49	1170580	49	5198412	49	5434997	49	4801587	49	7633587	48	2337550	48
8600	49	1085831	49	5463133	49	5270667	49	4536867	49	1695486	49	2503625	48
8400	49	1022768	49	5716367	49	5189319	49	4283633	49	2506372	49	2698800	48
8200	49	9742180	48	5958648	49	5166119	49	4041351	49	3217672	49	2919309	48
8000	49	9354150	48	6190476	49	5183854	49	3809524	49	3846153	49	3161702	48
7500	49	8624315	48	6727272	49	5335912	49	3272727	49	5135135	49	3843322	48
7000	49	8048945	48	7207977	49	5563077	49	2792023	49	6126482	49	4600044	48
6500	49	7518143	48	7638015	49	5813215	49	2361984	49	6907593	49	5397561	48
6000	49	6989958	48	8021978	49	6061581	49	1978022	49	7534246	49	6208248	48
5500	49	6450183	48	8363759	49	6296303	49	1636241	49	8043654	49	7009851	48
5000	49	5895911	48	8666667	49	6511834	49	1333333	49	8461538	49	7784445	48
4500	49	5328558	48	8933508	49	6705831	49	1066491	49	8806190	49	8517593	48
4000	49	4750873	48	9166666	49	6877582	49	8333330	48	9090909	49	9197691	48
3500	49	4165682	48	9368149	49	7027189	49	6318510	48	9325533	49	9815431	48
3000	49	3575407	48	9539641	49	7155133	49	4603580	48	9517426	49	1036339	49
2500	49	2981928	48	9682539	49	7262032	49	3174600	48	9672131	49	1083569	49
2000	49	2386598	48	9797979	49	7348516	49	2020210	48	9793814	49	1122775	49
1500	49	1790322	48	9886863	49	7415153	49	1131360	48	9885569	49	1153605	49
1000	49	1193639	48	9949874	49	7462406	49	5012500	47	9949622	49	1175802	49
5000	48	5968304	47	9987492	49	7490619	49	1250700	47	9987476	49	1189188	49
0000	00	0000000	00	1000000	50	7500000	49	0000000	00	1000000	50	1193662	49

## Compton Cross Sections vs. Angle of Recoil Electron

11 50 = $\gamma$		$\sigma_s(w', \phi)$		$\gamma'$		$\sigma_s(\gamma')$		E		w		$\sigma_s(w, \phi)$	
w'		$\phi_s$				$\phi_s$						$\phi_s$	
1000	50	3611323	49	3437500	49	1088584	50	7562500	49	1000000	50*	2047235	48
9900	49	3056951	49	3643350	49	9448449	49	7356650	49	8356356	49*	1996101	48
9800	49	2631210	49	3844125	49	8337484	49	7155875	49	6922811	49*	1960876	48
9700	49	2300121	49	4039980	49	7470877	49	6960019	49	5661685	49*	1940663	48
9600	49	2039731	49	4231065	49	6790047	49	6768935	49	4543801	49*	1934605	48
9500	49	1832849	49	4417521	49	6252377	49	6582479	49	3546220	49*	1941881	48
9400	49	1666923	49	4599485	49	5826342	49	6400514	49	2650652	49*	1961709	48
9300	49	1532663	49	4777089	49	5488266	49	6222911	49	1842340	49*	1993342	48
9200	49	1423103	49	4950457	49	5220132	49	6049542	49	1109244	49*	2036068	48
9100	49	1332958	49	5119710	49	5008065	49	5880289	49	4414445	48*	2089204	48
9000	49	1258178	49	5284964	49	4841263	49	5715035	49	1693063	48	2152102	48
8800	49	1142879	49	5603913	49	4611234	49	5396087	49	1246235	49	2304730	48
8600	49	1059475	49	5908138	49	4480843	49	5091861	49	2165104	49	2489323	48
8400	49	9969092	48	6198413	49	4418251	49	4801587	49	2957746	49	2701665	48
8200	49	9481197	48	6475448	49	4402306	49	4524552	49	3647962	49	2937920	48
8000	49	9085106	48	6739905	49	4418634	49	4260094	49	4253905	49	3194595	48
7500	49	8321037	48	7349924	49	4542388	49	3650075	49	5485327	49	3905441	48
7000	49	7706360	48	7893453	49	4721872	49	3106547	49	6422182	49	4682399	48
6500	49	7142246	48	8377510	49	4916699	49	2622490	49	7154187	49	5491914	48
6000	49	6591618	48	8807971	49	5108340	49	2192028	49	7737556	49	6307420	48
5500	49	6041710	48	9189775	49	5288227	49	1810224	49	8209251	49	7107879	48
5000	49	5489330	48	9527085	49	5452558	49	1472915	49	8594518	49	7876632	48
4500	49	4934813	48	9823402	49	5599881	49	1176597	49	8911136	49	8600483	48
4000	49	4379528	48	1008168	50	5729898	49	9183190	48	9171928	49	9269000	48
3500	49	3824872	48	1030439	50	5842865	49	6956020	48	9386314	49	9873958	48
3000	49	3271900	48	1049361	50	5939279	49	5063820	48	9561307	49	1040889	49
2500	49	2721236	48	1065104	50	6019795	49	3489550	48	9702159	49	1086875	49
2000	49	2173105	48	1077806	50	6084690	49	2219380	48	9812804	49	1124967	49
1500	49	1627388	48	1087576	50	6134712	49	1242370	48	9896152	49	1154871	49
1000	49	1083701	48	1094497	50	6170160	49	5502700	47	9954295	49	1176375	49
5000	48	5414717	47	1098627	50	6191314	49	1372800	47	9988640	49	1189333	49
0000	00	0000000	00	1100000	50	6198347	49	0000000	00	1000000	50	1193662	49

12 50 = $\gamma$		$\sigma_1(w', \phi)$		$\gamma'$		$\sigma_2(\gamma')$		E		w		$\sigma_1(w, \phi)$	
w'		$\phi_0$				$\phi_0$						$\phi_0$	
1000	50	3692407	49	3529411	49	9620098	49	8470588	49	1000000	50*	1907235	48
9900	49	3087853	49	3767363	49	8263829	49	8232637	49	8210431	49*	1866708	48
9800	49	2633306	49	3999037	49	7237558	49	8000963	49	6672684	49*	1842142	48
9700	49	2286085	49	4224645	49	6451552	49	7775355	49	5337293	49*	1832588	48
9600	49	2017098	49	4444387	49	5843841	49	7555612	49	4166953	49*	1837140	48
9500	49	1806060	49	4658456	49	5370631	49	7341543	49	3133003	49*	1854938	48
9400	49	1638547	49	4867035	49	5000336	49	7132965	49	2213056	49*	1885160	48
9300	49	1504123	49	5070297	49	4709774	49	6929702	49	1389374	49*	1927024	48
9200	49	1395125	49	5268411	49	4481656	49	6731588	49	6477195	48*	1979785	48
9100	49	1305847	49	5461537	49	4302909	49	6538463	49	2346852	47	2042735	48
9000	49	1231992	49	5649826	49	4163524	49	6350174	49	6336725	48	2115199	48
8800	49	1118215	49	6012474	49	3973521	49	5987526	49	1701244	49	2286136	48
8600	49	1035599	49	6357452	49	3867531	49	5642547	49	2603763	49	2487827	48
8400	49	9730746	48	6685768	49	3817685	49	5314231	49	3376190	49	2715957	48
8200	49	9237191	48	6998347	49	3805847	49	5001653	49	4044244	49	2966623	48
8000	49	8831086	48	7296039	49	3819915	49	4703961	49	4627266	49	3236295	48
7500	49	8032687	48	7980149	49	3920321	49	4019851	49	5802238	49	3973414	48
7000	49	7383003	48	8586687	49	4063235	49	3413312	49	6687398	49	4768079	48
6500	49	6791634	48	9124492	49	4216792	49	2875508	49	7373819	49	5587527	48
6000	49	6224613	48	9600888	49	4366789	49	2399111	49	7917630	49	6406270	48
5500	49	5669594	48	1002197	50	4506868	49	1978022	49	8355263	49	7204467	48
5000	49	5122588	48	1039285	50	4634336	49	1607143	49	8711340	49	7966683	48
4500	49	4582661	48	1071779	50	4748261	49	1282210	49	9003052	49	8680910	48
4000	49	4049807	48	1100034	50	4848561	49	9996530	48	9242711	49	9337825	48
3500	49	3524098	48	1124350	50	4935538	49	7564970	48	9439307	49	9930199	48
3000	49	3005395	48	1144972	50	5009656	49	5502720	48	9599501	49	1045245	49
2500	49	2493270	48	1162105	50	5071407	49	3789470	48	9728260	49	1090032	49
2000	49	1987021	48	1175911	50	5121253	49	2408830	48	9829293	49	1127056	49
1500	49	1485724	48	1186521	50	5159594	49	1347860	48	9905334	49	1156077	49
1000	49	9882812	47	1194031	50	5186749	49	5968200	47	9958347	49	1176920	49
5000	48	4934727	47	1198511	50	5202949	49	1488700	47	9989648	49	1189471	49
0000	00	0000000	00	1200000	50	5208333	49	0000000	00	1000000	50	1193662	49



Compton Cross Sections vs. Angle of Recoil Electron

$1350 = \gamma$		$\sigma_1(w', \phi)$		$\gamma'$		$\sigma_1(\gamma')$		E		w		$\sigma_1(w, \phi)$	
w'		$\phi_0$				$\phi_0$						$\phi_0$	
1000	50	3778722	49	3611111	49	8604536	49	9388889	49	1000000	50*	1785785	48
9900	49	3121281	49	3883119	49	7314033	49	9116881	49	8060184	49*	1755248	48
9800	49	2637456	49	4147479	49	6358293	49	8852521	49	6418721	49*	1740720	48
9700	49	2274370	49	4404470	49	5639519	49	8595530	49	5011898	49*	1741203	48
9600	49	1997180	49	4654356	49	5092396	49	8345643	49	3792938	49*	1755746	48
9500	49	1782287	49	4897391	49	4672072	49	8102609	49	2726727	49*	1783443	48
9400	49	1613335	49	5133812	49	4347008	49	7866188	49	1786393	49*	1823436	48
9300	49	1478754	49	5363849	49	4094557	49	7636150	49	9510192	48*	1874909	48
9200	49	1370216	49	5587719	49	3898162	49	7412281	49	2040816	48*	1937087	48
9100	49	1281629	49	5805628	49	3745517	49	7194371	49	4676448	48	2009233	48
9000	49	1208477	49	6017775	49	3627350	49	6982224	49	1074871	49	2090651	48
8800	49	1095745	49	6425525	49	3467739	49	6574475	49	2129377	49	2278682	48
8600	49	1013486	49	6812373	49	3379683	49	6187626	49	3013136	49	2496279	48
8400	49	9506754	48	7179604	49	3338689	49	5820395	49	3763963	49	2739032	48
8200	49	9005461	48	7528389	49	3329110	49	5471610	49	4409255	49	3002980	48
8000	49	8588398	48	7859803	49	3340671	49	5140196	49	4969344	49	3284561	48
7500	49	7757145	48	8618608	49	3421941	49	4381391	49	6089506	49	4045451	48
7000	49	7077098	48	9288128	49	3536505	49	3711871	49	6925876	49	4855689	48
6500	49	6464062	48	9879244	49	3658785	49	3120755	49	7570076	49	5683351	48
6000	49	5885819	48	1040088	50	3777650	49	2599111	49	8077744	49	6504034	48
5500	49	5329738	48	1086043	50	3888247	49	2139565	49	8484573	49	7299085	48
5000	49	4790722	48	1126399	50	3988599	49	1736004	49	8814463	49	8054256	48
4500	49	4266498	48	1161665	50	4078086	49	1383349	49	9083974	49	8758676	48
4000	49	3755743	48	1192262	50	4156728	49	1077376	49	9304891	49	9404061	48
3500	49	3257343	48	1218541	50	4224826	49	8145820	48	9485777	49	9984122	48
3000	49	2770121	48	1240792	50	4282787	49	5920720	48	9632945	49	1049409	49
2500	49	2292773	48	1259252	50	4331031	49	4074740	48	9751089	49	1093043	49
2000	49	1823846	48	1274111	50	4369946	49	2588850	48	9843701	49	1129044	49
1500	49	1361781	48	1285519	50	4399861	49	1448020	48	9913352	49	1157228	49
1000	49	9049300	47	1293590	50	4421040	49	6409900	47	9961883	49	1177437	49
5000	48	4515842	47	1298401	50	4433671	49	1598600	47	9990529	49	1189601	49
0000	00	0000000	00	1300000	50	4437870	49	0000000	00	1000000	50	1193662	49

14 50 = $\gamma$		$\sigma_1(w', \phi)$		$\gamma'$		$\sigma_3(\gamma')$		E		w		$\sigma_1(w, \phi)$	
w'		$\phi_0$				$\phi_0$						$\phi_0$	
1000	50	3869281	49	3684210	49	7773898	49	1031578	50	1000000	50*	1679375	48
9900	49	3156301	49	3992216	49	6537650	49	1000778	50	7905883	49*	1658326	48
9800	49	2642850	49	4291024	49	5641797	49	9708976	49	6161602	49*	1653330	48
9700	49	2264238	49	4580994	49	4980130	49	9419005	49	4686463	49*	1663337	48
9600	49	1979257	49	4862470	49	4484064	49	9137529	49	3422818	49*	1687353	46
9500	49	1760801	49	5135777	49	4107838	49	8864223	49	2328392	49*	1724431	48
9400	49	1590547	49	5401221	49	3820059	49	8598779	49	1371475	49*	1773675	48
9300	49	1455811	49	5659094	49	3598662	49	8340906	49	5278149	48*	1834235	48
9200	49	1347637	49	5909674	49	3427819	49	8090326	49	2214499	48	1905307	48
9100	49	1259583	49	6153223	49	3295960	49	7846777	49	8912115	48	1986129	46
9000	49	1186947	49	6389991	49	3194495	49	7610008	49	1493383	49	2075979	46
8900	49	1074870	49	6844125	49	3058384	49	7155875	49	2531786	49	2280069	48
8800	49	9926408	48	7273842	49	2983781	49	6726157	49	3394966	49	2512551	48
8400	49	9293190	48	7680747	49	2949067	49	6319253	49	4123291	49	2768929	48
8200	49	8782985	48	8066296	49	2940664	49	5933703	49	4745594	49	3045187	48
8000	49	8354749	48	8431818	49	2949782	49	5568181	49	5283018	49	3337741	48
7500	49	7493092	48	9265700	49	3015413	49	4734299	49	6350365	49	4120249	48
7000	49	6787332	48	9998000	49	3107795	49	4002000	49	7140856	49	4944232	48
6500	49	6157643	48	1064186	50	3206055	49	3358138	49	7746005	49	5778650	48
6000	49	5572539	48	1120797	50	3301280	49	2792023	49	8220640	49	6600199	48
5500	49	5018620	48	1170509	50	3389664	49	2294904	49	8599569	49	7391401	48
5000	49	4489516	48	1214041	50	3469701	49	1859583	49	8905908	49	8139158	48
4500	49	3981627	48	1251988	50	3540960	49	1480113	49	9155563	49	8833687	48
4000	49	3492402	48	1284841	50	3603501	49	1151587	49	9359795	49	9467685	48
3500	49	3019677	48	1313005	50	3657600	49	8699420	48	9526743	49	1003574	49
3000	49	2561391	48	1336814	50	3703605	49	6318510	48	9662390	49	1053385	49
2500	49	2115507	48	1356541	50	3741871	49	4345900	48	9771167	49	1095910	49
2000	49	1679971	48	1372402	50	3772720	49	2759790	48	9856363	49	1130934	49
1500	49	1252724	48	1384569	50	3796425	49	1543060	48	9920394	49	1158309	49
1000	49	8316951	47	1393171	50	3813202	49	6828900	47	9964988	49	1177928	49
5000	48	4148114	47	1398297	50	3823206	49	1702700	47	9991301	49	1189725	49
0000	00	0000000	00	1400000	50	3826530	49	0000000	00	1000000	50	1193662	49

## Compton Cross Sections vs. Angle of Recoil Electron

15 50 = $\gamma$		$\sigma_1(w', \phi)$		$\gamma'$		$\sigma_2(\gamma')$		E		w		$\sigma_1(w, \phi)$	
w'		$\phi_0$				$\phi_0$						$\phi_0$	
1000	50	3963331	49	3750000	49	7083333	49	1125000	50	1000000	50*	1585332	48
9900	49	3192204	49	4095932	49	5892526	49	1090406	50	7747798	49*	1573356	48
9800	49	2648896	49	4430926	49	5048376	49	1056907	50	5901978	49*	1577468	48
9700	49	2255149	49	4755442	49	4435948	49	1024455	50	4361870	49*	1596572	48
9600	49	1962799	49	5069916	49	3983512	49	9930083	49	3057523	49*	1629626	48
9500	49	1741060	49	5374759	49	3644550	49	9625241	49	1938817	49*	1675645	48
9400	49	1569625	49	5670358	49	3387911	49	9329642	49	9689032	48*	1733697	48
9300	49	1434731	49	5957080	49	3192158	49	9042920	49	1200801	48*	1802899	48
9200	49	1326832	49	6235272	49	3042180	49	8764728	49	6288751	48	1882417	48
9100	49	1239174	49	6505263	49	2927111	49	8494737	49	1294498	49	1971465	48
9000	49	1166895	49	6767362	49	2838990	49	8232637	49	1889862	49	2069297	48
8800	49	1055161	49	7269057	49	2721350	49	7730943	49	2909723	49	2288551	48
8600	49	9727217	48	7742536	49	2657031	49	7257463	49	3751003	49	2535031	48
8400	49	9087455	48	8189773	49	2626875	49	6810227	49	4456316	49	2804163	48
8200	49	8567838	48	8612547	49	2619026	49	6387452	49	5055700	49	3091884	48
8000	49	8128715	48	9012473	49	2625907	49	5987526	49	5570934	49	3394592	48
7500	49	7239671	48	9921630	49	2678775	49	5078370	49	6587677	49	4196841	48
7000	49	6512659	48	1071636	50	2753660	49	4283633	49	7335146	49	5032985	48
6500	49	5870739	48	1141231	50	2833257	49	3587687	49	7904200	49	5872912	48
6000	49	5282408	48	1202205	50	2910287	49	2977941	49	8348623	49	6694431	48
5500	49	4733187	48	1255583	50	2981681	49	2444170	49	8702238	49	7481217	48
5000	49	4215375	48	1302197	50	3046256	49	1978022	49	8987341	49	8221299	48
4500	49	3724088	48	1342735	50	3103688	49	1572646	49	9219183	49	8905925	48
4000	49	3255671	48	1377758	50	3154049	49	1222411	49	9408502	49	9528731	48
3500	49	2807031	48	1407731	50	3197580	49	9226900	48	9563036	49	1008511	49
3000	49	2375361	48	1433030	50	3234577	49	6696980	48	9688446	49	1057178	49
2500	49	1958018	48	1453964	50	3265335	49	4603580	48	9788918	49	1098639	49
2000	49	1552469	48	1470779	50	3290120	49	2922070	48	9867549	49	1132731	49
1500	49	1156260	48	1483667	50	3309160	49	1633240	48	9926613	49	1159340	49
1000	49	7670036	47	1492773	50	3322632	49	7226100	47	9967728	49	1178393	49
5000	48	3823539	47	1498198	50	3330664	49	1801700	47	9991983	49	1189842	49
0000	00	0000000	00	1500000	50	3333333	49	0000000	00	1000000	50	1193662	49

16 50 = $\gamma$			$\sigma_1(w, \phi)$		$\gamma'$		$\sigma_2(\gamma')$		E		w		$\sigma_1(w, \phi)$	
w'			$\phi_0$				$\phi_0$						$\phi_0$	
10 00	50		4060281	49	3809523	49	6501115	49	1219047	50	1000000	50*	1501583	48
99 00	49		3228450	49	4195299	49	5348880	49	1180470	50	7586199	49*	1498335	48
98 00	49		2655155	49	4568197	49	4550005	49	1143180	50	5640471	49*	1511199	48
97 00	49		2246711	49	4928797	49	3980576	49	1107120	50	4038925	49*	1539033	48
96 00	49		1947412	49	5277642	49	3565859	49	1072235	50	2697852	49*	1580754	48
95 00	49		1722653	49	5615246	49	3258738	49	1038475	50	1558657	49*	1635337	48
94 00	49		1550145	49	5942089	49	3028402	49	1005791	50	5790965	48*	1701814	48
93 00	49		1415084	49	6258626	49	2854066	49	9741373	49	2720540	48	1779271	48
92 00	49		1307381	49	6565286	49	2721330	49	9434714	49	1018370	49	1866847	48
91 00	49		1220002	49	6862470	49	2619994	49	9137529	49	1677989	49	1963728	48
90 00	49		1147947	49	7150563	49	2542679	49	8849436	49	2265087	49	2069151	48
88 00	49		1036315	49	7700893	49	2439779	49	8299107	49	3264493	49	2302782	48
86 00	49		9534964	48	8218934	49	2383468	49	7781065	49	4082972	49	2562480	48
84 00	49		8887853	48	8707071	49	2356697	49	7292929	49	4765081	49	2843597	48
82 00	49		8358820	48	9167447	49	2349058	49	6832552	49	5341838	49	3142033	48
80 00	49		7909444	48	9601998	49	2353968	49	6398001	49	5835502	49	3454172	48
75 00	49		6996300	48	1058646	50	2396424	49	5413534	49	6803977	49	4274505	48
70 00	49		6252190	48	1144318	50	2457405	49	4556816	49	7511174	49	5121423	48
65 00	49		5601884	48	1219047	50	2522353	49	3809524	49	8046875	49	5965782	48
60 00	49		5013325	48	1284297	50	2585208	49	3157028	49	8463639	49	6786513	48
55 00	49		4470778	48	1341245	50	2643437	49	2587544	49	8794244	49	7568430	48
50 00	49		3965206	48	1390849	50	2696074	49	2091504	49	9060150	49	8300655	48
45 00	49		3490531	48	1433888	50	2742863	49	1661113	49	9275958	49	8975427	48
40 00	49		3042100	48	1471000	50	2783870	49	1289997	49	9451904	49	9587262	48
35 00	49		2616023	48	1502705	50	2819299	49	9729450	48	9595335	49	1013232	49
30 00	49		2208859	48	1529428	50	2849398	49	7057110	48	9711612	49	1060796	49
25 00	49		1817473	48	1551515	50	2874413	49	4848470	48	9804687	49	1101238	49
20 00	49		1438946	48	1569238	50	2894565	49	3076180	48	9877481	49	1134439	49
15 00	49		1070524	48	1582812	50	2910042	49	1718780	48	9932130	49	1160321	49
10 00	49		7095766	47	1592397	50	2920991	49	7602700	47	9970159	49	1178835	49
5 000	48		3535622	47	1598104	50	2927518	49	1895200	47	9992587	49	1189954	49
0 000	00		0000000	00	1600000	50	2929687	49	0000000	00	1000000	50	1193662	49

## Compton Cross Sections vs. Angle of Recoil Electron

17 50 = $\gamma$		$\sigma_i(w', \phi)$		$\gamma'$		$\sigma_i(\gamma')$		E		w		$\sigma_i(w, \phi)$	
w'		$\phi_0$				$\phi_0$						$\phi_0$	
1000	50	4159668	49	3863636	49	6004246	49	1313636	50	1000000	50*	1426498	48
9900	49	3264622	49	4291163	49	4885141	49	1270883	50	7421352	49*	1431684	48
9800	49	2661306	49	4703664	49	4126405	49	1229633	50	5377668	49*	1452996	48
9700	49	2238634	49	5101857	49	3594927	49	1189814	50	3718353	49*	1489247	48
9600	49	1932800	49	5486414	49	3213139	49	1151358	50	2344488	49*	1539312	48
9500	49	1705266	49	5857965	49	2933487	49	1114203	50	1188421	49*	1602130	48
9400	49	1531780	49	6217101	49	2725581	49	1078289	50	2023143	48*	1676699	48
9300	49	1396543	49	6564376	49	2569311	49	1043562	50	6486126	48	1762072	48
9200	49	1288965	49	6900311	49	2450976	49	1009968	50	1390254	49	1857362	48
9100	49	1201765	49	7225398	49	2361000	49	9774601	49	2042286	49	1961732	48
9000	49	1129830	49	7540098	49	2292544	49	9459902	49	2619926	49	2074397	48
8800	49	1018116	49	8140051	49	2201574	49	8859949	49	3597417	49	2321708	48
8600	49	9348074	48	8703364	49	2151610	49	8296636	49	4392543	49	2593929	48
8400	49	8693297	48	9232887	49	2127420	49	7767113	49	5051504	49	2886347	48
8200	49	8155200	48	9731169	49	2119812	49	7268830	49	5606096	49	3194828	48
8000	49	7696430	48	1020050	50	2123027	49	6799500	49	6078911	49	3515754	48
7500	49	6762548	48	1126017	50	2156987	49	5739822	49	7001499	49	4352695	48
7000	49	6005135	48	1217833	50	2206847	49	4821669	49	7671047	49	5209164	48
6500	49	5349750	48	1297617	50	2260192	49	4023826	49	8175921	49	6057017	48
6000	49	4763415	48	1367050	50	2311885	49	3329494	49	8567335	49	6876311	48
5500	49	4229058	48	1427476	50	2359792	49	2725236	49	8876983	49	7653000	48
5000	49	3736342	48	1479977	50	2403097	49	2200229	49	9125491	49	8377251	48
4500	49	3278094	48	1525430	50	2441585	49	1745696	49	9326826	49	9042256	48
4000	49	2848780	48	1564549	50	2475310	49	1354501	49	9490737	49	9643364	48
3500	49	2443820	48	1597916	50	2504440	49	1020837	49	9624202	49	1017745	49
3000	49	2059248	48	1626001	50	2529183	49	7399820	48	9732298	49	1064247	49
2500	49	1691527	48	1649186	50	2549741	49	5081310	48	9818758	49	1103712	49
2000	49	1337433	48	1667774	50	2566301	49	3222560	48	9886337	49	1136063	49
1500	49	9939817	47	1682000	50	2579017	49	1799990	48	9937049	49	1161251	49
1000	49	6583652	47	1692039	50	2588012	49	7960400	47	9972326	49	1179254	49
5000	48	3279042	47	1698016	50	2593374	49	1984000	47	9993126	49	1190060	49
0000	00	0000000	00	1700000	50	2595155	49	0000000	00	1000000	50	1193662	49

Compton Cross Sections vs. Angle of Recoil Electron

18 50 = $\gamma$		$\sigma_1(w', \phi)$		$\gamma'$		$\sigma_2(\gamma')$		E		w		$\sigma_1(w, \phi)$	
w'		$\phi_0$				$\phi_0$						$\phi_0$	
1000	50	4261119	49	3913043	49	5575684	49	1408695	50	1000000	50*	1358775	48
9900	49	3300398	49	4384219	49	4485343	49	1361578	50	7253519	49*	1372146	48
9800	49	2667113	49	4838003	49	3762574	49	1316199	50	5114127	49*	1401643	48
9700	49	2230705	49	5275274	49	3264896	49	1272472	50	3400805	49*	1446037	48
9600	49	1918739	49	5696851	49	2912097	49	1230314	50	1998000	49*	1504166	48
9500	49	1688658	49	6103500	49	2656336	49	1189649	50	8284840	48*	1574929	48
9400	49	1514277	49	6495938	49	2467717	49	1150406	50	1613204	48	1657293	48
9300	49	1378856	49	6874833	49	2326824	49	1112516	50	1009748	49	1750282	48
9200	49	1271343	49	7240813	49	2220630	49	1075918	50	1744951	49	1852981	48
9100	49	1184241	49	7594466	49	2140151	49	1040553	50	2388073	49	1964531	48
9000	49	1112342	49	7936345	49	2079042	49	1006365	50	2955296	49	2084128	48
8800	49	1000413	49	8586823	49	1997854	49	9413177	49	3909804	49	2344493	48
8600	49	9165511	48	9196040	49	1953011	49	8803960	49	4681310	49	2628613	48
8400	49	8503118	48	9767363	49	1930843	49	8232637	49	5317377	49	2931715	48
8200	49	7956556	48	1030378	50	1923186	49	7696212	49	5850386	49	3249641	48
8000	49	7489376	48	1080799	50	1924970	49	7192009	49	6303142	49	3578772	48
7500	49	6538066	48	1194266	50	1951996	49	6057332	49	7182216	49	4431001	48
7000	49	5770760	48	1292163	50	1992908	49	5078370	49	7816593	49	5295927	48
6500	49	5113118	48	1376918	50	2036983	49	4230811	49	8292963	49	6146450	48
6000	49	4531003	48	1450443	50	2079803	49	3495565	49	8661112	49	6963764	48
5500	49	4005974	48	1514252	50	2119530	49	2857475	49	8951636	49	7734931	48
5000	49	3526471	48	1569558	50	2155459	49	2304411	49	9184339	49	8451139	48
4500	49	3084329	48	1617341	50	2187397	49	1826584	49	9372569	49	9106495	48
4000	49	2673241	48	1658391	50	2215383	49	1416082	49	9525616	49	9697132	48
3500	49	2288039	48	1693350	50	2239556	49	1066491	49	9650105	49	1022059	49
3000	49	1924321	48	1722738	50	2260086	49	7726150	48	9750844	49	1067539	49
2500	49	1578225	48	1746972	50	2277143	49	5302780	48	9831365	49	1106069	49
2000	49	1246291	48	1766382	50	2290880	49	3361710	48	9894269	49	1137607	49
1500	49	9253632	47	1781228	50	2301429	49	1877150	48	9941452	49	1162136	49
1000	49	6125045	47	1791700	50	2308890	49	8299700	47	9974265	49	1179652	49
5000	48	3049411	47	1797931	50	2313337	49	2068300	47	9993608	49	1190160	49
0000	00	0000000	00	1800000	50	2314814	49	0000000	00	1000000	50	1193662	49

Compton Cross Sections vs. Angle of Recoil Electron

19 50 = $\gamma$		$\sigma_i(w', \phi)$		$\gamma'$		$\sigma_i(\gamma')$		E		w		$\sigma_i(w, \phi)$	
w'		$\phi_0$				$\phi_0$						$\phi_0$	
1000	50	4364335	49	3958333	49	5202562	49	1504166	50	1000000	50*	1297364	48
9900	49	3335526	49	4475049	49	4137439	49	1452495	50	7082963	49*	1318704	48
9800	49	2672404	49	4971778	49	3447198	49	1402822	50	4850367	49*	1356157	48
9700	49	2222769	49	5449586	49	2979858	49	1355041	50	3086858	49*	1408454	48
9600	49	1905059	49	5909461	49	2652761	49	1309053	50	1658857	49*	1474396	48
9500	49	1672641	49	6352326	49	2417928	49	1264767	50	4791071	48*	1552848	48
9400	49	1497441	49	6779036	49	2246020	49	1222096	50	5118001	48	1642743	48
9300	49	1361828	49	7190394	49	2118319	49	1180960	50	1355715	49	1743078	48
9200	49	1254330	49	7587146	49	2022451	49	1141285	50	2082971	49	1852913	48
9100	49	1167261	49	7969990	49	1949986	49	1103001	50	2716090	49	1971366	48
9000	49	1095335	49	8339579	49	1895034	49	1066042	50	3272145	49	2097614	48
8800	49	9831024	48	9041407	49	1821973	49	9958592	49	4202933	49	2370468	48
8600	49	8986605	48	9697089	49	1781329	49	9302911	49	4950784	49	2665920	48
8400	49	8316915	48	1031035	50	1760789	49	8689442	49	5564362	49	2979147	48
8200	49	7762649	48	1088530	50	1753064	49	8114697	49	6076458	49	3305971	48
8000	49	7288117	48	1142442	50	1753657	49	7575579	49	6509979	49	3642783	48
7500	49	6322539	48	1263378	50	1775019	49	6366219	49	7347870	49	4509101	48
7000	49	5548379	48	1367287	50	1808692	49	5327129	49	7949404	49	5381512	48
6500	49	4890871	48	1456928	50	1845309	49	4430719	49	8399401	49	6233980	48
6000	49	4314577	48	1534451	50	1881012	49	3655490	49	8746168	49	7048844	48
5500	49	3799711	48	1601550	50	1914196	49	2984500	49	9019206	49	7814254	48
5000	49	3333581	48	1659573	50	1944233	49	2404263	49	9237514	49	8522394	48
4500	49	2907129	48	1709603	50	1970947	49	1903966	49	9413848	49	9168239	48
4000	49	2513377	48	1752510	50	1994362	49	1474898	49	9557056	49	9748669	48
3500	49	2146662	48	1788996	50	2014589	49	1110035	49	9673432	49	1026184	49
3000	49	1802220	48	1819629	50	2031768	49	8037010	48	9767535	49	1070681	49
2500	49	1475933	48	1844864	50	2046041	49	5513540	48	9842705	49	1108315	49
2000	49	1164158	48	1865060	50	2057536	49	3494000	48	9901400	49	1139077	49
1500	49	8636123	47	1880495	50	2066362	49	1950470	48	9945410	49	1162977	49
1000	49	5712737	47	1891377	50	2072605	49	8622200	47	9976007	49	1180030	49
5000	48	2843083	47	1897851	50	2076326	49	2148400	47	9994041	49	1190255	49
0000	00	0000000	00	1900000	50	2077562	49	0000000	00	1000000	50	1193662	49

## Compton Cross Sections vs. Angle of Recoil Electron

$20 \ 50 = \gamma$		$\sigma_1(w, \phi)$		$\gamma'$		$\sigma_3(\gamma')$		E		w		$\sigma_1(w, \phi)$	
w'		$\phi_0$				$\phi_0$						$\phi_0$	
1000	50	4469070	49	4000000	49	4875000	49	1600000	50	1000000	50*	1241408	48
9980	49	4203171	49	4114718	49	4623557	49	1588528	50	9303001	49*	1245881	48
9960	49	3963276	49	4228479	49	4396252	49	1577152	50	8649160	49*	1251040	48
9940	49	3746176	49	4341296	49	4190184	49	1565870	50	8034593	49*	1256875	48
9920	49	3549136	49	4453179	49	4002873	49	1554682	50	7455866	49*	1263375	48
9900	49	3369811	49	4564138	49	3832188	49	1543586	50	6909937	49*	1270529	48
9800	49	2677056	49	5105459	49	3171602	49	1489454	50	4586877	49*	1315735	48
9700	49	2214713	49	5625238	49	2731673	49	1437476	50	2777023	49*	1375722	48
9600	49	1891631	49	6124661	49	2427506	49	1387533	50	1327433	49*	1449254	48
9500	49	1657071	49	6604823	49	2211120	49	1339517	50	1404494	48*	1535164	48
9400	49	1481120	49	7066744	49	2053787	49	1293325	50	8492129	48	1632354	48
9300	49	1345309	49	7511370	49	1937487	49	1248862	50	1686851	49	1739792	48
9200	49	1237788	49	7939584	49	1850472	49	1206041	50	2404881	49	1856514	48
9100	49	1150703	49	8352205	49	1784832	49	1164779	50	3027113	49	1981618	48
9000	49	1078705	49	8750000	49	1735092	49	1125000	50	3571428	49	2114262	48
8900	49	1018061	49	9133685	49	1697370	49	1086631	50	4051517	49	2253662	48
8800	49	9661130	48	9503930	49	1668859	49	1049606	50	4478037	49	2399090	48
8700	49	9209315	48	9861362	49	1647491	49	1013863	50	4859413	49	2549865	48
8600	49	8810940	48	1020656	50	1631718	49	9793432	49	5202387	49	2705357	48
8500	49	8455353	48	1054009	50	1620364	49	9459902	49	5512422	49	2864983	48
8400	49	8134470	48	1086247	50	1612527	49	9137530	49	5793991	49	3028198	48
8300	49	7842082	48	1117417	50	1607504	49	8825828	49	6050791	49	3194500	48
8200	49	7573363	48	1147566	50	1604745	49	8524340	49	6285903	49	3363423	48
8100	49	7324521	48	1176736	50	1603813	49	8232637	49	6501919	49	3534534	48
8000	49	7092551	48	1204969	50	1604359	49	7950310	49	6701030	49	3707434	48
7500	49	6115675	48	1333333	50	1621093	49	6666667	49	7500000	49	4586756	48
7000	49	5337337	48	1443181	50	1648881	49	5568182	49	8070866	49	5465772	48
6500	49	4681975	48	1537619	50	1679453	49	4623804	49	8496441	49	6319546	48
6000	49	4112775	48	1619047	50	1709404	49	3809525	49	8823529	49	7131553	48
5500	49	3608666	48	1689345	50	1737306	49	3106547	49	9080547	49	7891024	48
5000	49	3155915	48	1749999	50	1762595	49	2500001	49	9285714	49	8591102	48
4500	49	2744674	48	1802198	50	1785103	49	1978020	49	9451219	49	9227595	48
4000	49	2367384	48	1846889	50	1804840	49	1531101	49	9585492	49	9798079	48
3500	49	2017970	48	1884841	50	1821894	49	1151585	49	9694513	49	1030132	49
3000	49	1691371	48	1916666	50	1836380	49	8333320	48	9782608	49	1073682	49
2500	49	1383268	48	1942857	50	1848417	49	5714290	48	9852941	49	1110457	49
2000	49	1089882	48	1963800	50	1858111	49	3619910	48	9907834	49	1140477	49
1500	49	8078422	47	1979798	50	1865554	49	2020190	48	9948979	49	1163777	49
1000	49	5340704	47	1991071	50	1870819	49	8928400	47	9977578	49	1180390	49
5000	48	2657008	47	1997775	50	1873957	49	2224700	47	9994432	49	1190345	49
0000	00	0000000	00	2000000	50	1875000	49	0000000	00	1000000	50	1193662	49



## Compton Cross Sections vs. Angle of Recoil Electron

25 50 = $\gamma$		$\sigma_1(w, \phi)$		$\gamma'$		$\sigma_2(\gamma')$		E		w		$\sigma_1(w, \phi)$	
w'		$\phi_0$				$\phi_0$						$\phi_0$	
1000	50	5009512	49	4166666	49	3700000	49	2083333	50	1000000	50*	1022349	48
9980	49	4631652	49	4335930	49	3456365	49	2066406	50	9063098	49*	1034200	48
9960	49	4301096	49	4503462	49	3242798	49	2049653	50	8205134	49*	1046726	48
9940	49	4010263	49	4669288	49	3054574	49	2033071	50	7416540	49*	1059917	46
9920	49	3753027	49	4833431	49	2887862	49	2016656	50	6689234	49*	1073761	48
9900	49	3524391	49	4995917	49	2739531	49	2000408	50	6016341	49*	1088245	48
9800	49	3688590	49	5784313	49	2196914	49	1921568	50	3288135	49*	1169868	48
9700	49	2170508	49	6534687	49	1862461	49	1846531	50	1302950	49*	1265776	48
9600	49	1825578	49	7249615	49	1643321	49	1775038	50	2061636	48	1374587	48
9500	49	1582753	49	7931441	49	1493187	49	1706855	50	1391952	49	1494991	48
9400	49	1403920	49	8582311	49	1386838	49	1641768	50	2348127	49	1625753	48
9300	49	1267193	49	9204182	49	1309577	49	1579581	50	3135373	49	1765720	48
9200	49	1159300	49	9798850	49	1252363	49	1520115	50	3794721	49	1913818	48
9100	49	1071831	49	1036796	50	1209386	49	1463203	50	4354906	49	2069056	48
9000	49	9992547	48	1091304	50	1176774	49	1408695	50	4836653	49	2230514	48
8900	49	9378148	48	1143548	50	1151866	49	1356451	50	5255288	49	2397349	48
8800	49	8848932	48	1193657	50	1132787	49	1306342	50	5622385	49	2568785	48
8700	49	8386190	48	1241750	50	1118182	49	1258249	50	5946852	49	2744110	48
8600	49	7976279	48	1287938	50	1107057	49	1212061	50	6235653	49	2922674	48
8500	49	7609057	48	1332323	50	1098667	49	1167676	50	6494313	49	3103884	48
8400	49	7276850	48	1375000	50	1092446	49	1125000	50	6727272	49	3287196	48
8300	49	6973769	48	1416056	50	1087959	49	1083943	50	6938137	49	3472116	48
8200	49	6695223	48	1455576	50	1084868	49	1044423	50	7129868	49	3658196	48
8100	49	6437587	48	1493634	50	1082905	49	1006365	50	7304921	49	3845026	48
8000	49	6197964	48	1530303	50	1081859	49	9696969	49	7465346	49	4032234	48
7500	49	5201172	48	1694991	50	1085443	49	8050089	49	8100263	49	4963206	48
7000	49	4431401	48	1833333	50	1096330	49	6666666	49	8545454	49	5864683	48
6500	49	3806799	48	1950406	50	1109534	49	5495934	49	8872863	49	6717553	48
6000	49	3284085	48	2049999	50	1122967	49	4500002	49	9121951	49	7510949	48
5500	49	2837024	48	2134992	50	1135719	49	3650075	49	9316142	49	8239181	48
5000	49	2448104	48	2207602	50	1147402	49	2923976	49	9470198	49	8899748	48
4500	49	2104830	48	2269559	50	1157868	49	2304408	49	9593857	49	9492099	48
4000	49	1797847	48	2322222	50	1167082	49	1777777	49	9693779	49	1001680	49
3500	49	1519887	48	2366666	50	1175065	49	1333333	49	9774647	49	1047505	49
3000	49	1265142	48	2403743	50	1181857	49	9625670	48	9839822	49	1086829	49
2500	49	1028843	48	2434124	50	1187507	49	6587590	48	9891745	49	1119803	49
2000	49	8069790	47	2458333	50	1192061	49	4166700	48	9932203	49	1146569	49
1500	49	5960946	47	2476774	50	1195559	49	2322590	48	9962490	49	1167250	49
1000	49	3931300	47	2489743	50	1198034	49	1025650	48	9983522	49	1181948	49
5000	48	1953018	47	2497445	50	1199509	49	2554400	47	9995909	49	1190737	49
0000	00	0000000	00	2500000	50	1200000	49	0000000	00	1000000	50	1193662	49

## Compton Cross Sections vs. Angle of Recoil Electron

30 50 = $\gamma$			$\sigma_1(w, \phi)$		$\gamma'$		$\sigma_2(\gamma')$		E		w		$\sigma_1(w, \phi)$	
w'			$\phi_0$				$\phi_0$						$\phi_0$	
1000	50		5568102	49	4285714	49	2976190	49	2571428	50	1000000	50*	8700160	47
9980	49		5053015	49	4519380	49	2734165	49	2548061	50	8793592	49*	8887972	47
9960	49		4617243	49	4750209	49	2528992	49	2524979	50	7718368	49*	9082247	47
9940	49		4245043	49	4978251	49	2353468	49	2502174	50	6754040	49*	9282868	47
9920	49		3924410	49	5203554	49	2202079	49	2479644	50	5884297	49*	9489720	47
9900	49		3646054	49	5426167	49	2070548	49	2457383	50	5095879	49*	9702684	47
9800	49		2679543	49	6500462	49	1614071	49	2349953	50	2050188	49*	1085503	48
9700	49		2118073	49	7514040	49	1351250	49	2248596	50	2491386	47	1214235	48
9600	49		1758211	49	8471761	49	1186233	49	2152823	50	1529411	49	1354994	48
9500	49		1510364	49	9377975	49	1076198	49	2062202	50	2670050	49	1506366	48
9400	49		1329980	49	1023659	50	9995567	48	1976340	50	3564457	49	1667010	48
9300	49		1192827	49	1105113	50	9444138	48	1894886	50	4284487	49	1835676	48
9200	49		1084785	49	1182477	50	9037538	48	1817522	50	4876513	49	2011203	48
9100	49		9971596	48	1256040	50	8732089	48	1743959	50	5371803	49	2192529	48
9000	49		9243509	48	1326062	50	8499396	48	1673938	50	5792207	49	2378679	48
8900	49		8626153	48	1392781	50	8320309	48	1607218	50	6153453	49	2568770	48
8800	49		8093670	48	1456413	50	8181525	48	1543586	50	6467153	49	2762001	48
8700	49		7627715	48	1517158	50	8073560	48	1482841	50	6742063	49	2957652	48
8600	49		7214934	48	1575195	50	7989504	48	1424804	50	6984916	49	3155070	48
8500	49		6845411	48	1630692	50	7924220	48	1369307	50	7200968	49	3353673	48
8400	49		6511627	48	1683800	50	7873834	48	1316199	50	7394387	49	3552938	48
8300	49		6207791	48	1734660	50	7835373	48	1265339	50	7568516	49	3752397	48
8200	49		5929364	48	1783402	50	7806531	48	1216597	50	7726073	49	3951635	48
8100	49		5672737	48	1830145	50	7785497	48	1169854	50	7869286	49	4150281	48
8000	49		5435009	48	1875000	50	7770833	48	1125000	50	8000000	49	4348007	48
7500	49		4459750	48	2074285	50	7759660	48	9257141	49	8512396	49	5313737	48
7000	49		3727141	48	2238999	50	7801931	48	7610009	49	8867052	49	6224867	48
6500	49		3149466	48	2376511	50	7863624	48	6234885	49	9125485	49	7068426	48
6000	49		2679040	48	2492163	50	7930247	48	5078368	49	9320754	49	7838984	48
5500	49		2286687	48	2589907	50	7995288	48	4100922	49	9472191	49	8535380	48
5000	49		1953061	48	2672727	50	8055797	48	3272725	49	9591836	49	9158788	48
4500	49		1664576	48	2742902	50	8110504	48	2570977	49	9687560	49	9711552	48
4000	49		1411283	48	2802197	50	8158954	48	1978021	49	9764705	49	1019652	49
3500	49		1185646	48	2851988	50	8201088	48	1480114	49	9827007	49	1061664	49
3000	49		9817911	47	2893350	50	8237033	48	1066492	49	9877133	49	1097471	49
2500	49		7950156	47	2927125	50	8266984	48	7287490	48	9917012	49	1127326	49
2000	49		6214611	47	2953964	50	8291152	48	4603580	48	9948051	49	1151451	49
1500	49		4578721	47	2974363	50	8309732	48	2563690	48	9971269	49	1170025	49
1000	49		3014228	47	2988686	50	8322884	48	1131340	48	9987381	49	1183190	49
5000	48		1495815	47	2997183	50	8330727	48	2816100	47	9996867	49	1191049	49
0000	00		0000000	00	3000000	50	8333333	48	0000000	00	1000000	50	1193662	49

35 50 = $\gamma$		$\sigma_1(w', \phi)$		$\gamma'$		$\sigma_2(\gamma')$		E		w		$\sigma_1(w, \phi)$	
w'		$\phi_0$				$\phi_0$						$\phi_0$	
1000	50	6137334	49	4375000	49	2487244	49	3062500	50	1000000	50*	7576956	47
9980	49	5458628	49	4682884	49	2243831	49	3031711	50	8497218	49*	7831361	47
9960	49	4904623	49	4986440	49	2044747	49	3001355	50	7197241	49*	8091723	47
9940	49	4445741	49	5285758	49	1879597	49	2971424	50	6061617	49*	8357949	47
9920	49	4060760	49	5580924	49	1740905	49	2941907	50	5061036	49*	8629937	47
9900	49	3734123	49	5872021	49	1623171	49	2912797	50	4172767	49*	8907583	47
9800	49	2652253	49	7269271	49	1233848	49	2773072	50	8993928	48*	1037680	48
9700	49	2058166	49	8576208	49	1022577	49	2642379	50	1196978	49	1197035	48
9600	49	1688724	49	9801124	49	8943368	48	2519887	50	2654232	49	1367329	48
9500	49	1438400	49	1095132	50	8105119	48	2404867	50	3725831	49	1547081	48
9400	49	1257775	49	1203328	50	7528002	48	2296672	50	4546857	49	1734873	48
9300	49	1121030	49	1305271	50	7115336	48	2194728	50	5195900	49	1929377	48
9200	49	1013526	49	1401473	50	6811782	48	2098526	50	5721795	49	2129367	48
9100	49	9264212	48	1492390	50	6583624	48	2007609	50	6156483	49	2333727	48
9000	49	8540896	48	1578431	50	6409293	48	1921568	50	6521739	49	2541450	48
8900	49	7928027	48	1659963	50	6274416	48	1840036	50	6832914	49	2751633	48
8800	49	7399978	48	1737318	50	6169096	48	1762681	50	7101145	49	2963470	48
8700	49	6938597	48	1810795	50	6086332	48	1689204	50	7334706	49	3176248	48
8600	49	6530688	48	1880664	50	6021042	48	1619335	50	7539873	49	3389335	48
8500	49	6166431	48	1947173	50	5969470	48	1552826	50	7721494	49	3602179	48
8400	49	5838366	48	2010545	50	5928788	48	1489454	50	7883369	49	3814292	48
8300	49	5540725	48	2070985	50	5896832	48	1429014	50	8028524	49	4025253	48
8200	49	5268968	48	2128680	50	5871927	48	1371319	50	8159396	49	4234691	48
8100	49	5019474	48	2183800	50	5852759	48	1316199	50	8277969	49	4442287	48
8000	49	4789309	48	2236502	50	5838285	48	1263497	50	8385876	49	4647766	48
7500	49	3857132	48	2468421	50	5812116	48	1031579	50	8805970	49	5636284	48
7000	49	3173049	48	2657396	50	5826594	48	8426037	49	9094060	49	6548586	48
6500	49	2645750	48	2813321	50	5856966	48	6866781	49	9302625	49	7377882	48
6000	49	2225298	48	2943182	50	5892587	48	5568177	49	9459459	49	8123823	48
5500	49	1881285	48	3052038	50	5928590	48	4479617	49	9580643	49	8789244	48
5000	49	1593779	48	3143635	50	5962695	48	3563641	49	9676113	49	9378367	48
4500	49	1349011	48	3220797	50	5993856	48	2792023	49	9752322	49	9895855	48
4000	49	1137072	48	3285674	50	6021634	48	2143252	49	9813628	49	1034626	49
3500	49	9505966	47	3339927	50	6045895	48	1600724	49	9863066	49	1073383	49
3000	49	7839483	47	3384841	50	6066651	48	1151584	49	9902794	49	1106231	49
2500	49	6326972	47	3421410	50	6083979	48	7858910	48	9934372	49	1133491	49
2000	49	4932684	47	3450404	50	6097980	48	4959540	48	9958932	49	1155436	49
1500	49	3626926	47	3472402	50	6108754	48	2759800	48	9977292	49	1172283	49
1000	49	2384275	47	3487827	50	6116384	48	1217220	48	9990028	49	1184199	49
5000	48	1182207	47	3496970	50	6120936	48	3029400	47	9997525	49	1191302	49
0000	00	0000000	00	3500000	50	6122449	48	0000000	00	1000000	50	1193662	49

Compton Cross Sections vs. Angle of Recoil Electron

40 50 = $\gamma$		$\sigma_c(w', \phi)$		$\gamma'$		$\sigma_s(\gamma')$		E		w		$\sigma_1(w, \phi)$	
w'		$\phi_0$				$\phi_0$						$\phi_0$	
1000	50	6713325	49	4444444	49	2135416	49	3555555	50	1000000	50*	6713325	47
9980	49	5843823	49	4836327	49	1889122	49	3516367	50	8176847	49*	7032529	47
9960	49	5160435	49	5221951	49	1695172	49	3477804	50	6649927	49*	7356982	47
9940	49	4611829	49	5601464	49	1539261	49	3439853	50	5352472	49*	7686625	47
9920	49	4163454	49	5975008	49	1411733	49	3402499	50	4236378	49*	8021393	47
9900	49	3791320	49	6342719	49	1305863	49	3365728	50	3266107	49*	8361209	47
9800	49	2610409	49	8098322	49	9707772	48	3190167	50	1517637	48	1013280	48
9700	49	1992788	49	9726511	49	7980154	48	3027348	50	2218822	49	1201560	48
9600	49	1617996	49	1124044	50	6959637	48	2875955	50	3603553	49	1399502	48
9500	49	1367309	49	1265151	50	6302763	48	2734848	50	4595808	49	1605595	48
9400	49	1187698	49	1396965	50	5854500	48	2603034	50	5341628	49	1818366	48
9300	49	1052274	49	1520355	50	5535523	48	2479644	50	5922591	49	2036428	48
9200	49	9460864	48	1636084	50	5301394	48	2363915	50	6387845	49	2258508	48
9100	49	8602185	48	1744825	50	5125455	48	2255174	50	6768768	49	2483458	48
9000	49	7890468	48	1847176	50	4990834	48	2152823	50	7086330	49	2710253	48
8900	49	7288613	48	1943665	50	4886380	48	2056334	50	7355082	49	2937991	48
8800	49	6771198	48	2034767	50	4804468	48	1965232	50	7585432	49	3165883	48
8700	49	6320236	48	2120903	50	4739721	48	1879096	50	7785028	49	3393242	48
8600	49	5922648	48	2202454	50	4688257	48	1797545	50	7959611	49	3619475	48
8500	49	5568690	48	2279761	50	4647213	48	1720238	50	8113577	49	3844073	48
8400	49	5250950	48	2353133	50	4614438	48	1646866	50	8250347	49	4066605	48
8300	49	4963680	48	2422848	50	4588289	48	1577152	50	8372625	49	4286702	48
8200	49	4702349	48	2489158	50	4567499	48	1510841	50	8482578	49	4504055	48
8100	49	4463330	48	2552294	50	4551072	48	1447705	50	8581957	49	4718407	48
8000	49	4243682	48	2612466	50	4538220	48	1387534	50	8672199	49	4929546	48
7500	49	3364119	48	2874999	50	4509309	48	1125000	50	9021739	49	5932064	48
7000	49	2731259	48	3086247	50	4511898	48	9137527	49	9259818	49	6839760	48
6500	49	2252394	48	3258771	50	4527315	48	7412284	49	9431359	49	7651890	48
6000	49	1876956	48	3401247	50	4547503	48	5987528	49	9559902	49	8372778	48
5500	49	1574412	48	3519841	50	4568744	48	4801585	49	9658962	49	9008721	48
5000	49	1324996	48	3619047	50	4589264	48	3809525	49	9736842	49	9566470	48
4500	49	1115239	48	3702206	50	4608220	48	2977936	49	9798907	49	1005251	49
4000	49	9355954	47	3771835	50	4625234	48	2281644	49	9848771	49	1047271	49
3500	49	7790689	47	3829860	50	4640158	48	1701393	49	9888939	49	1083225	49
3000	49	6403838	47	3877759	50	4652961	48	1222409	49	9921190	49	1113554	49
2500	49	5154490	47	3916667	50	4663671	48	8333260	48	9946808	49	1138627	49
2000	49	4010048	47	3947454	50	4672336	48	5254540	48	9966722	49	1158746	49
1500	49	2943771	47	3970779	50	4679010	48	2922020	48	9981602	49	1174155	49
1000	49	1932991	47	3987118	50	4683739	48	1288160	48	9991922	49	1185034	49
5000	48	9578009	46	3996794	50	4686562	48	3205400	47	9997995	49	1191511	49
0000	00	0000000	00	4000000	50	4687500	48	0000000	00	1000000	50	1193662	49

45 50 = $\gamma$		$\sigma_s(w', \phi)$		$\gamma'$		$\sigma_s(\gamma')$		E		w		$\sigma_s(w, \phi)$	
w'		$\phi_0$				$\phi_0$						$\phi_0$	
1000	50	7293872	49	4500000	49	1870370	49	4050000	50	1000000	50*	6027993	47
9980	49	6205952	49	4985630	49	1620494	49	4001437	50	7835422	49*	6410735	47
9960	49	5384409	49	5462577	49	1431375	49	3953742	50	6084155	49*	6797809	47
9940	49	4744824	49	5931068	49	1284090	49	3906893	50	4638145	49*	7189220	47
9920	49	4235514	49	6391325	49	1166677	49	3860867	50	3423984	49*	7584252	47
9900	49	3821553	49	6843559	49	1071246	49	3815644	50	2390057	49*	7984973	47
9800	49	2557636	49	8991334	49	7808768	48	3600866	50	1100403	49	1004733	48
9700	49	1924022	49	1096658	50	6376666	48	3403341	50	3103612	49	1220553	48
9600	49	1547268	49	1278901	50	5549463	48	3221098	50	4403012	49	1444592	48
9500	49	1297980	49	1447544	50	5023652	48	3052455	50	5313970	49	1675342	48
9400	49	1120488	49	1604029	50	4667478	48	2895970	50	5987922	49	1911291	48
9300	49	9872054	48	1749602	50	4415142	48	2750397	50	6506636	49	2151015	48
9200	49	8830108	48	1885342	50	4230382	48	2614657	50	6918147	49	2393207	48
9100	49	7989720	48	2012194	50	4091685	48	2487805	50	7252522	49	2636708	48
9000	49	7294883	48	2130980	50	3985548	48	2369019	50	7529546	49	2880494	48
8900	49	6708789	48	2242427	50	3903105	48	2257572	50	7762769	49	3123684	48
8800	49	6206267	48	2347175	50	3838319	48	2152824	50	7961783	49	3365522	48
8700	49	5769525	48	2445794	50	3786949	48	2054205	50	8133570	49	3605367	48
8600	49	5385626	48	2538787	50	3745945	48	1961212	50	8283333	49	3842681	48
8500	49	5044923	48	2626605	50	3713064	48	1873394	50	8415027	49	4077015	48
8400	49	4740078	48	2709653	50	3686621	48	1790346	50	8531713	49	4308003	48
8300	49	4465388	48	2788292	50	3665336	48	1711707	50	8635797	49	4535348	48
8200	49	4216355	48	2862849	50	3648219	48	1637150	50	8729198	49	4758807	48
8100	49	3989372	48	2933618	50	3634496	48	1566381	50	8813463	49	4978193	48
8000	49	3781513	48	3000867	50	3623556	48	1499132	50	8889852	49	5193365	48
7500	49	2957380	48	3292046	50	3596417	48	1207953	50	9184598	49	6203289	48
7000	49	2374318	48	3523735	50	3594003	48	9762643	49	9384325	49	7102402	48
6500	49	1939907	48	3711259	50	3601898	48	7887409	49	9527718	49	7895762	48
6000	49	1604027	48	3864981	50	3613881	48	6350181	49	9634888	49	8591895	48
5500	49	1336709	48	3992163	50	3627070	48	5078363	49	9717314	49	9200104	48
5000	49	1118769	48	4098014	50	3640075	48	4019857	49	9782016	49	9729208	48
4500	49	9372992	47	4186370	50	3652226	48	3136299	49	9833517	49	1018715	49
4000	49	7832531	47	4260088	50	3663203	48	2399120	49	9874853	49	1058079	49
3500	49	6500882	47	4321341	50	3672872	48	1786585	49	9908125	49	1091599	49
3000	49	5329209	47	4371779	50	3681190	48	1282208	49	9934823	49	1119759	49
2500	49	4280088	47	4412668	50	3688161	48	8733110	48	9956019	49	1142964	49
2000	49	3323988	47	4444973	50	3693809	48	5502650	48	9972489	49	1161536	49
1500	49	2436907	47	4469414	50	3698161	48	3058510	48	9984793	49	1175729	49
1000	49	1598682	47	4486521	50	3701248	48	1347840	48	9993323	49	1185735	49
5000	48	7917152	46	4496646	50	3703091	48	3353100	47	9998343	49	1191686	49
0000	00	0000000	00	4500000	50	3703703	48	0000000	00	1000000	50	1193662	49

Compton Cross Sections vs. Angle of Recoil Electron

50 50 = $\gamma$		$\sigma_i(w, \phi)$		$\gamma'$		$\sigma_s(\gamma')$		E		w		$\sigma_i(w, \phi)$	
w'		$\phi_0$				$\phi_0$						$\phi_0$	
1000	50	7877631	49	4545454	49	1663636	49	4545454	50	1000000	50*	5470577	47
9980	49	6543536	49	5134550	49	1409929	49	4486544	50	7475900	49*	5915923	47
9960	49	5576287	49	5711989	49	1225654	49	4428801	50	5507034	49*	6364483	47
9940	49	4847242	49	6278110	49	1086609	49	4372188	50	3928359	49*	6816343	47
9920	49	4280562	49	6833239	49	9784854	48	4316676	50	2634346	49*	7271563	47
9900	49	3828944	49	7377690	49	8923354	48	4262230	50	1554376	49*	7730172	47
9800	49	2497073	49	9949958	49	6393238	48	4005004	50	1949706	49	1007357	48
9700	49	1853673	49	1229613	50	5192710	48	3770386	50	3867361	49	1249543	48
9600	49	1477674	49	1444444	50	4512268	48	3555555	50	5076923	49	1498361	48
9500	49	1231211	49	1641860	50	4084353	48	3358139	50	5909348	49	1752329	48
9400	49	1056739	49	1823867	50	3796398	48	3176132	50	6517146	49	2009919	48
9300	49	9262491	48	1992175	50	3593263	48	3007824	50	6980361	49	2269677	48
9200	49	8245630	48	2148248	50	3444936	48	2851752	50	7345043	49	2530289	48
9100	49	7427788	48	2293348	50	3333775	48	2706651	50	7639563	49	2790594	48
9000	49	6753427	48	2428571	50	3248779	48	2571428	50	7882352	49	3049594	48
8900	49	6186150	48	2554869	50	3182759	48	2445130	50	8085905	49	3306446	48
8800	49	5701117	48	2673077	50	3130842	48	2326922	50	8258992	49	3560445	48
8700	49	5280783	48	2783926	50	3089619	48	2216073	50	8407950	49	3811014	48
8600	49	4912394	48	2888064	50	3056641	48	2111935	50	8537472	49	4057684	48
8500	49	4586449	48	2986063	50	3030112	48	2013936	50	8651108	49	4300083	48
8400	49	4295700	48	3078431	50	3008690	48	1921569	50	8751592	49	4537916	48
8300	49	4034532	48	3165623	50	2991354	48	1834376	50	8841064	49	4770970	48
8200	49	3798497	48	3248046	50	2977318	48	1751953	50	8921225	49	4999076	48
8100	49	3584039	48	3326062	50	2965967	48	1673937	50	8993441	49	5222125	48
8000	49	3388263	48	3400000	50	2956816	48	1599999	50	9058823	49	5440044	48
7500	49	2618795	48	3717949	50	2932863	48	1282051	50	9310344	49	6452364	48
7000	49	2082301	48	3968420	50	2928533	48	1031579	50	9480106	49	7340162	48
6500	49	1687814	48	4169533	50	2932497	48	8304668	49	9601650	49	8113956	48
6000	49	1386360	48	4333333	50	2939881	48	6666661	49	9692307	49	8786062	48
5500	49	1148926	48	4468131	50	2948422	48	5318685	49	9761928	49	9368318	48
5000	49	9571357	47	4579832	50	2957023	48	4201676	49	9816513	49	9871293	48
4500	49	7987502	47	4672726	50	2965147	48	3272731	49	9859922	49	1030403	49
4000	49	6652880	47	4750000	50	2972534	48	2499996	49	9894736	49	1067417	49
3500	49	5506676	47	4814040	50	2979067	48	1859592	49	9922743	49	1098803	49
3000	49	4503991	47	4866667	50	2984702	48	1333321	49	9945205	49	1125083	49
2500	49	3610672	47	4909254	50	2989433	48	9074510	48	9963031	49	1146674	49
2000	49	2800029	47	4942858	50	2993269	48	5714190	48	9976878	49	1163917	49
1500	49	2050513	47	4968252	50	2996229	48	3174710	48	9987220	49	1177070	49
1000	49	1344156	47	4986014	50	2998329	48	1398580	48	9994389	49	1186332	49
5000	48	6653618	46	4996522	50	2999583	48	3477600	47	9998607	49	1191036	49
0000	00	0000000	00	5000000	50	3000000	48	0000000	00	1000000	50	1193662	49

Compton Cross Sections vs. Angle of Recoil Electron

55 50 = $\gamma$		$\sigma_1(w, \phi)$		$\gamma'$		$\sigma_2(\gamma')$		E		w		$\sigma_1(w, \phi)$	
w'		$\phi_0$				$\phi_0$						$\phi_0$	
1000	50	8463740	49	4583333	49	1497933	49	5041666	50	1000000	50*	5008130	47
9980	49	6855866	49	5285583	49	1240417	49	4971441	50	7101203	49*	5515361	47
9960	49	5738438	49	5972601	49	1061139	49	4902739	50	4924940	49*	6024483	47
9940	49	4922048	49	6644872	49	9300333	48	4835512	50	3231015	49*	6535697	47
9920	49	4302312	49	7302863	49	8304832	48	4769713	50	1875078	49*	7049158	47
9900	49	3817413	49	7947018	49	7526256	48	4705298	50	7651541	48*	7564975	47
9800	49	2431289	49	1097466	50	5311144	48	4402533	50	2706284	49	1018100	48
9700	49	1783180	49	1371382	50	4295163	48	4128617	50	4526269	49	1285633	48
9600	49	1410088	49	1620348	50	3728664	48	3879651	50	5646669	49	1558081	48
9500	49	1167564	49	1847589	50	3375756	48	3652410	50	6405725	49	1834012	48
9400	49	9967952	48	2055798	50	3139720	48	3444201	50	6953891	49	2111893	48
9300	49	8695702	48	2247238	50	2973907	48	3252762	50	7368274	49	2390263	48
9200	49	7707450	48	2423827	50	2853193	48	3076172	50	7692475	49	2667809	48
9100	49	6914894	48	2587202	50	2762914	48	2912797	50	7953002	49	2943394	48
9000	49	6263177	48	2738765	50	2693980	48	2761234	50	8166902	49	3216061	48
8900	49	5716442	48	2879730	50	2640476	48	2620270	50	8345634	49	3485026	48
8800	49	5250251	48	3011145	50	2598409	48	2488855	50	8497186	49	3749652	48
8700	49	4847370	48	3133926	50	2564992	48	2366073	50	8627296	49	4009442	48
8600	49	4495272	48	3248876	50	2538232	48	2251123	50	8740195	49	4264008	48
8500	49	4184625	48	3356700	50	2516670	48	2143299	50	8839066	49	4513065	48
8400	49	3908318	48	3458020	50	2499216	48	2041979	50	8926354	49	4756407	48
8300	49	3660832	48	3553388	50	2485045	48	1946611	50	9003967	49	4993900	48
8200	49	3437803	48	3643295	50	2473522	48	1856704	50	9073414	49	5225463	48
8100	49	3235739	48	3728180	50	2464152	48	1771819	50	9135907	49	5451066	48
8000	49	3051795	48	3808431	50	2456545	48	1691568	50	9192429	49	5670708	48
7500	49	2334425	48	4151393	50	2435968	48	1348606	50	9409351	49	6681584	48
7000	49	1840620	48	4419151	50	2431119	48	1080848	50	9555303	49	7556213	48
6500	49	1481637	48	4632617	50	2432977	48	8673826	49	9659574	49	8310191	48
6000	49	1210057	48	4805484	50	2437668	48	6945159	49	9737226	49	8959196	48
5500	49	9980430	47	4947081	50	2443396	48	5529185	49	9796788	49	9517266	48
5000	49	8281257	47	5063963	50	2449289	48	4360366	49	9843444	49	9996348	48
4500	49	6887803	47	5160859	50	2454916	48	3391407	49	9880520	49	1040640	49
4000	49	5720880	47	5241244	50	2460063	48	2587555	49	9910238	49	1075561	49
3500	49	4724221	47	5307720	50	2464632	48	1922791	49	9934134	49	1105066	49
3000	49	3856580	47	5362247	50	2468583	48	1377529	49	9953292	49	1129695	49
2500	49	3086848	47	5406311	50	2471905	48	9368810	48	9968491	49	1149884	49
2000	49	2390854	47	5441034	50	2474602	48	5896560	48	9980295	49	1165973	49
1500	49	1749231	47	5467253	50	2476684	48	3274610	48	9989109	49	1178228	49
1000	49	1145908	47	5485578	50	2478162	48	1442160	48	9995219	49	1186847	49
5000	48	5670084	46	5496414	50	2479045	48	3585300	47	9998813	49	1191965	49
0000	00	0000000	00	5500000	50	2479338	48	0000000	00	1000000	50	1193662	49

Compton Cross Sections vs. Angle of Recoil Electron

60 50 = $\gamma$		$\sigma_1(w', \phi)$		$\gamma'$		$\sigma_1(\gamma')$		E		w		$\sigma_1(w, \phi)$	
w'		$\phi_0$				$\phi_0$						$\phi_0$	
1 000	50	9 051 620	49	4 615 384	49	1 362 179	49	5 538 461	50	1 000 000	50*	4 618 173	47
9 980	49	7 142 766	49	5 440 449	49	1 101 039	49	5 455 955	50	6 714 168	49*	5 186 715	47
9 960	49	5 872 431	49	6 246 050	49	9 269 611	48	5 375 395	50	4 343 450	49*	5 755 626	47
9 940	49	4 972 340	49	7 032 864	49	8 035 136	48	5 296 713	50	2 552 290	49*	6 325 252	47
9 920	49	4 304 300	49	7 801 536	49	7 118 827	48	5 219 846	50	1 151 321	49*	6 895 866	47
9 900	49	3 790 483	49	8 552 681	49	6 414 474	48	5 144 731	50	2 557 283	47*	7 467 681	47
9 800	49	2 362 328	49	1 206 521	50	4 466 869	48	4 793 478	50	3 378 378	49	10 348 888	48
9 700	49	1 713 625	49	1 521 774	50	3 600 025	48	4 478 225	50	5 095 392	49	1 326 864	48
9 600	49	1 345 116	49	1 806 249	50	3 123 595	48	4 193 750	50	6 130 332	49	1 621 923	48
9 500	49	1 107 363	49	2 064 203	50	2 829 318	48	3 935 796	50	6 822 183	49	1 918 699	48
9 400	49	9 407 791	48	2 299 143	50	2 633 620	48	3 700 856	50	7 317 221	49	2 215 671	48
9 300	49	8 171 312	48	2 513 983	50	2 496 710	48	3 486 016	50	7 688 916	49	2 511 384	48
9 200	49	7 213 813	48	2 711 164	50	2 397 344	48	3 288 835	50	7 978 215	49	2 804 545	48
9 100	49	6 448 075	48	2 892 747	50	2 323 204	48	3 107 252	50	8 209 745	49	3 094 060	48
9 000	49	5 820 094	48	3 060 484	50	2 266 689	48	2 939 515	50	8 399 209	49	3 379 033	48
8 900	49	5 294 657	48	3 215 871	50	2 222 877	48	2 784 128	50	8 557 089	49	3 658 753	48
8 800	49	4 847 804	48	3 360 199	50	2 188 454	48	2 639 800	50	8 690 653	49	3 932 672	48
8 700	49	4 462 655	48	3 494 584	50	2 161 114	48	2 505 415	50	8 805 096	49	4 200 384	48
8 600	49	4 126 946	48	3 619 993	50	2 139 215	48	2 380 006	50	8 904 231	49	4 461 597	48
8 500	49	3 831 546	48	3 737 277	50	2 121 555	48	2 262 722	50	8 990 921	49	4 716 123	48
8 400	49	3 569 498	48	3 847 176	50	2 107 240	48	2 152 823	50	9 067 357	49	4 963 040	48
8 300	49	3 335 400	48	3 950 346	50	2 095 595	48	2 049 653	50	9 135 243	49	5 204 727	48
8 200	49	3 124 990	48	4 047 367	50	2 086 100	48	1 952 632	50	9 195 924	49	5 438 770	48
8 100	49	2 934 850	48	4 138 753	50	2 078 352	48	1 861 246	50	9 250 479	49	5 666 022	48
8 000	49	2 762 204	48	4 224 961	50	2 072 032	48	1 775 038	50	9 299 781	49	5 886 656	48
7 500	49	2 093 548	48	4 591 303	50	2 054 560	48	1 408 696	50	9 488 636	49	6 093 043	48
7 000	49	1 638 476	48	4 875 000	50	2 049 818	48	1 124 999	50	9 615 384	49	7 753 269	48
6 500	49	1 310 937	48	5 099 733	50	2 050 530	48	900 266	49	9 705 779	49	8 487 530	48
6 000	49	1 065 303	48	5 280 799	50	2 053 586	48	719 200	49	9 773 013	49	9 114 491	48
5 500	49	875 009	47	5 428 496	50	2 057 544	48	571 503	49	9 824 536	49	9 650 027	48
5 000	49	723 527	47	5 550 000	50	2 061 704	48	449 999	49	9 864 864	49	10 107 24	49
4 500	49	600 422	47	5 650 443	50	2 065 717	48	349 556	49	9 896 894	49	10 496 78	49
4 000	49	497 180	47	5 733 581	50	2 069 410	48	266 410	49	9 922 555	49	10 827 26	49
3 500	49	409 740	47	5 802 198	50	2 072 700	48	197 801	49	9 943 181	49	11 105 59	49
3 000	49	333 934	47	5 858 393	50	2 075 551	48	141 606	49	9 959 713	49	11 337 32	49
2 500	49	266 926	47	5 903 743	50	2 077 952	48	96 257	48	9 972 226	49	11 526 84	49
2 000	49	206 522	47	5 939 446	50	2 079 903	48	60 553	48	9 983 007	49	11 677 64	49
1 500	49	150 978	47	5 966 381	50	2 081 410	48	33 618	48	9 990 609	49	11 792 34	49
1 000	49	98 849	46	5 985 197	50	2 082 481	48	14 802	48	9 995 878	49	11 872 93	49
5 000	48	48 895	46	5 996 319	50	2 083 120	48	3 600	47	9 998 977	49	11 920 76	49
0 000	00	0 000 000	00	6 000 000	50	2 083 333	48	0 000 000	00	1 000 000	50	11 936 62	49



65 50 = $\gamma$		$\sigma_s(w', \phi)$		$\gamma'$		$\sigma_s(\gamma')$		E		w		$\sigma_s(w, \phi)$	
w'		$\phi_0$				$\phi_0$						$\phi_0$	
1000	50	9640865	49	4642857	49	1248943	49	6035714	50	1000000	50*	4284829	47
9980	49	7404449	49	5600365	49	9844664	48	5939963	50	6317515	49*	4914211	47
9960	49	5980391	49	6533474	49	8157876	48	5846652	50	3767330	49*	5542244	47
9940	49	5001153	49	7443098	49	6997109	48	5755690	50	1896802	49*	6169448	47
9920	49	4289762	49	8330109	49	6153859	48	5666989	50	4661828	48*	6796246	47
9900	49	3751233	49	9195333	49	5515979	48	5580466	50	6633801	48	7422970	47
9800	49	2291777	49	1322096	50	3796879	48	5177903	50	3974716	49	1056265	48
9700	49	1645785	49	1680567	50	3051973	48	4819432	50	5588092	49	1371870	48
9600	49	1283131	49	2001767	50	2647799	48	4498232	50	6542876	49	1688621	48
9500	49	1050739	49	2291176	50	2400094	48	4208823	50	7173891	49	2005236	48
9400	49	8886535	48	2553250	50	2236254	48	3946749	50	7621886	49	2320215	48
9300	49	7687634	48	2791651	50	2122092	48	3708348	50	7956351	49	2632126	48
9200	49	6761964	48	3009409	50	2039494	48	3490590	50	8215550	49	2939716	48
9100	49	6023661	48	3209062	50	1978016	48	3290937	50	8422287	49	3241950	48
9000	49	5419733	48	3392747	50	1931241	48	3107252	50	8590998	49	3538015	48
8900	49	4915689	48	3562275	50	1895031	48	2937724	50	8731267	49	3827292	48
8800	49	4488100	48	3719194	50	1866610	48	2780806	50	8849707	49	4109333	48
8700	49	4120472	48	3864833	50	1844050	48	2635166	50	8951028	49	4383839	48
8600	49	3800830	48	4000341	50	1825983	48	2499658	50	9038675	49	4650622	48
8500	49	3520265	48	4126715	50	1811410	48	2373284	50	9115227	49	4909598	48
8400	49	3271987	48	4244825	50	1799589	48	2255174	50	9182652	49	5160754	48
8300	49	3050732	48	4355433	50	1789961	48	2144566	50	9242479	49	5404139	48
8200	49	2852343	48	4459212	50	1782096	48	2040787	50	9295912	49	5639851	48
8100	49	2673489	48	4556752	50	1775663	48	1943247	50	9343915	49	5868020	48
8000	49	2511468	48	4648579	50	1770399	48	1851420	50	9387266	49	6088805	48
7500	49	1887878	48	5036797	50	1755627	48	1463202	50	9553072	49	7088614	48
7000	49	1467768	48	5335221	50	1751250	48	1164779	50	9664124	49	7933651	48
6500	49	1168059	48	5570265	50	1751340	48	9297347	49	9743214	49	8648532	48
6000	49	9450176	47	5758771	50	1753372	48	7412287	49	9801980	49	9254520	48
5500	49	7733815	47	5911970	50	1756178	48	5880300	49	9846978	49	9769071	48
5000	49	6375553	47	6037620	50	1759191	48	4623791	49	9882179	49	1020622	49
4500	49	5274059	47	6141232	50	1762127	48	3587671	49	9910123	49	1057714	49
4000	49	4360746	47	6226814	50	1764843	48	2731853	49	9932503	49	1089076	49
3500	49	3587520	47	6297329	50	1767271	48	2026701	49	9950486	49	1115414	49
3000	49	2919590	47	6354998	50	1769379	48	1450020	49	9964896	49	1137291	49
2500	49	2331013	47	6401485	50	1771157	48	9851500	48	9976324	49	1155150	49
2000	49	1801864	47	6438049	50	1772603	48	6195080	48	9985196	49	1169338	49
1500	49	1316331	47	6465617	50	1773721	48	3438220	48	9991819	49	1180110	49
1000	49	8614154	46	6484863	50	1774515	48	1513700	48	9996409	49	1187685	49
5000	48	4259737	46	6496237	50	1774990	48	3762600	47	9999108	49	1192174	49
0000	00	0000000	00	6500000	50	1775147	48	0000000	00	1000000	50	1193662	49

Compton Cross Sections vs. Angle of Recoil Electron

70 50 = $\gamma$		$\sigma_t(w', \phi)$		$\gamma'$		$\frac{\sigma_s(\gamma')}{\phi_0}$		E		w		$\sigma_t(w, \phi)$	
w'		$\phi_0$				$\phi_0$						$\phi_0$	
1000	50	1023118	50	4666666	49	1153061	49	6533333	50	1000000	50*	3996557	47
9980	49	7641427	49	5766220	49	8855949	48	6423377	50	5913810	49*	4686383	47
9960	49	6064550	49	6835681	49	7224851	48	6316431	50	3200549	49*	5372948	47
9940	49	5011366	49	7876259	49	6134739	48	6212374	50	1267810	49*	6056981	47
9920	49	4261580	49	8889105	49	5358762	48	6111089	50	1788451	48	6739080	47
9900	49	3702293	49	9875306	49	4780426	48	6012469	50	1302302	49	7419725	47
9880	49	2220847	49	1444098	50	3257495	48	5555901	50	4503834	49	1081178	48
9700	49	1580187	49	1847523	50	2613291	48	5152476	50	6015921	49	1419671	48
9600	49	1224323	49	2206521	50	2267797	48	4793478	50	6896551	49	1757279	48
9500	49	9976851	48	2527999	50	2057578	48	4472000	50	7472873	49	2092813	48
9400	49	8402761	48	2817500	50	1919242	48	4182499	50	7879326	49	2424810	48
9300	49	7242226	48	3079528	50	1823225	48	3920471	50	8181321	49	2751876	48
9200	49	6348664	48	3317778	50	1753969	48	3682222	50	8414506	49	3072817	48
9100	49	5637783	48	3535309	50	1702548	48	3464690	50	8599964	49	3386682	48
9000	49	5057693	48	3734677	50	1663503	48	3265322	50	8750963	49	3692750	48
8900	49	4574699	48	3918034	50	1633325	48	3081965	50	8876270	49	3990517	48
8800	49	4165933	48	4087202	50	1609665	48	2912797	50	8981910	49	4279647	48
8700	49	3815310	48	4243739	50	1590901	48	2756260	50	9072159	49	4559957	48
8600	49	3511167	48	4388982	50	1575880	48	2611017	50	9150139	49	4831379	48
8500	49	3244819	48	4524083	50	1563765	48	2475916	50	9218179	49	5093930	48
8400	49	3009663	48	4650045	50	1553936	48	2349954	50	9278055	49	5347710	48
8300	49	2800573	48	4767740	50	1545924	48	2232259	50	9331142	49	5592858	48
8200	49	2613508	48	4877935	50	1539373	48	2122064	50	9378523	49	5829568	48
8100	49	2445228	48	4981301	50	1534005	48	2018698	50	9421063	49	6058048	48
8000	49	2293110	48	5078432	50	1529603	48	1921567	50	9459459	49	6278537	48
7500	49	1710956	48	5487135	50	1517115	48	1512864	50	9606126	49	7269929	48
7000	49	1322345	48	5799201	50	1513189	48	1200798	50	9704195	49	8099342	48
6500	49	1047291	48	6043707	50	1512948	48	9562922	49	9773958	49	8795308	48
6000	49	8439927	47	6238998	50	1514322	48	7610018	49	9825750	49	9381409	48
5500	49	6884740	47	6397185	50	1516356	48	6028145	49	9865383	49	9876416	48
5000	49	5660376	47	6526569	50	1518587	48	4734302	49	9896373	49	1029508	49
4500	49	4671996	47	6633026	50	1520782	48	3669735	49	9920964	49	1064904	49
4000	49	3855774	47	6720798	50	1522823	48	2792015	49	9940652	49	1094741	49
3500	49	3167211	47	6793010	50	1524653	48	2069898	49	9956469	49	1119736	49
3000	49	2574276	47	6851988	50	1526245	48	1480118	49	9969141	49	1140454	49
2500	49	2053210	47	6899485	50	1527590	48	1005145	49	9979188	49	1157338	49
2000	49	1585845	47	6936816	50	1528684	48	6318330	48	9986987	49	1170734	49
1500	49	1157815	47	6964945	50	1529531	48	3505460	48	9992809	49	1180902	49
1000	49	7573579	46	6984569	50	1530133	48	1543030	48	9996843	49	1188033	49
5000	48	3744223	46	6996185	50	1530492	48	3834600	47	9999216	49	1192261	49
0000	00	0000000	00	7000000	50	1530612	48	0000000	00	1000000	50	1193662	49

## Compton Cross Sections vs. Angle of Recoil Electron

75 50 = $\gamma$		$\sigma_s(w', \phi)$		$\gamma'$		$\sigma_s(\gamma')$		E		w		$\sigma_s(w, \phi)$	
w'		$\phi_0$				$\phi_0$						$\phi_0$	
1000	50	1082237	50	4687500	49	1070833	49	7031250	50	1000000	50*	3744765	47
9980	49	7854432	49	5938672	49	8007577	48	6906132	50	5505446	49*	4494692	47
9960	49	6127150	49	7153248	49	6433436	48	6784675	50	2646329	49*	5239257	47
9940	49	5005626	49	8332803	49	5410754	48	6666719	50	6674296	48*	5979435	47
9920	49	4222281	49	9478823	49	4696598	48	6552117	50	7835012	48	6716027	47
9900	49	3645884	49	1059271	50	4171603	48	6440728	50	1892881	49	7449678	47
9800	49	2150445	49	1572417	50	2817838	48	5927582	50	4973701	49	1108848	48
9700	49	1517164	49	2022397	50	2257519	48	5477602	50	6388706	49	1469550	48
9600	49	1168752	49	2420137	50	1960183	48	5079862	50	7201336	49	1827245	48
9500	49	9481012	48	2774181	50	1780475	48	4725818	50	7728666	49	2180851	48
9400	49	7954419	48	3091307	50	1662788	48	4408692	50	8098455	49	2528956	48
9300	49	6832296	48	3376956	50	1581409	48	4123043	50	8372087	49	2870221	48
9200	49	5970554	48	3635551	50	1522887	48	3864448	50	8582719	49	3203528	48
9100	49	5286630	48	3870723	50	1479543	48	3629276	50	8749837	49	3528029	48
9000	49	4729824	48	4085480	50	1446697	48	3414519	50	8885640	49	3843122	48
8900	49	4267257	48	4282333	50	1421351	48	3217666	50	8998158	49	4148420	48
8800	49	3876655	48	4463402	50	1401506	48	3036597	50	9092889	49	4443725	48
8700	49	3542349	48	4630477	50	1385782	48	2869522	50	9173729	49	4728971	48
8600	49	3252995	48	4785095	50	1373203	48	2714904	50	9243511	49	5004217	48
8500	49	3000149	48	4928571	50	1363060	48	2571428	50	9304347	49	5269597	48
8400	49	2777386	48	5062039	50	1354831	48	2437960	50	9357844	49	5525307	48
8300	49	2579731	48	5186487	50	1348122	48	2313512	50	9405245	49	5771597	48
8200	49	2403258	48	5302774	50	1342632	48	2197225	50	9447527	49	6008740	48
8100	49	2244827	48	5411655	50	1338128	48	2088344	50	9485469	49	6237037	48
8000	49	2101891	48	5513793	50	1334429	48	1986206	50	9519699	49	6456792	48
7500	49	1557716	48	5941709	50	1323851	48	1558290	50	9650315	49	7438444	48
7000	49	1197472	48	6266432	50	1320381	48	1233567	50	9737529	49	8252020	48
6500	49	9443116	47	6519659	50	1319972	48	9803404	49	9799510	49	8929659	48
6000	49	7583328	47	6721155	50	1320914	48	7788442	49	9845493	49	9496916	48
5500	49	6168123	47	6883874	50	1322418	48	6161260	49	9880663	49	9973667	48
5000	49	5059097	47	7016651	50	1324102	48	4833490	49	9908151	49	1037532	49
4500	49	4167423	47	7125672	50	1325774	48	3743279	49	9929957	49	1071375	49
4000	49	3433690	47	7215416	50	1327337	48	2845832	49	9947411	49	1099827	49
3500	49	2816656	47	7289148	50	1328742	48	2108517	49	9961430	49	1123607	49
3000	49	2286787	47	7349302	50	1329967	48	1506974	49	9972660	49	1143282	49
2500	49	1822266	47	7397706	50	1331003	48	1022940	49	9981562	49	1159293	49
2000	49	1406464	47	7435716	50	1331846	48	6428400	48	9988472	49	1171979	49
1500	49	1026297	47	7464339	50	1332499	48	3566090	48	9993630	49	1181598	49
1000	49	6710760	46	7484305	50	1332963	48	1569460	48	9997204	49	1188341	49
5000	48	3316924	46	7496098	50	1333241	48	3901700	47	9999306	49	1192337	49
0000	00	0000000	00	7500000	50	1333333	48	0000000	00	1000000	50	1193662	49

Compton Cross Sections vs. Angle of Recoil Electron

80 50 = $\gamma$		$\sigma_1(w, \phi)$		$\gamma'$		$\sigma_2(\gamma')$		E		w		$\sigma_1(w, \phi)$	
w'		$\phi_0$				$\phi_0$						$\phi_0$	
1000	50	1141425	50	4705882	49	9995404	48	7529411	50	1000000	50*	3522918	47
9980	49	8044370	49	6118217	49	7272500	48	7388178	50	5094629	49*	4332651	47
9960	49	6170385	49	7486595	49	5756103	48	7251340	50	2107205	49*	5134728	47
9940	49	4986337	49	8813029	49	4797495	48	7118697	50	9683616	47*	5930416	47
9920	49	4174045	49	1009941	50	4140046	48	5990058	50	1348431	49	6720745	47
9900	49	3583858	49	1134751	50	3662846	48	6865248	50	2437500	49	7506554	47
9800	49	2081232	49	1706937	50	2455553	48	6293062	50	5391554	49	1138688	48
9700	49	1456905	49	2204942	50	1965648	48	5795057	50	6714734	49	1520969	48
9600	49	1116384	49	2642250	50	1708194	48	5357749	50	7465346	49	1898039	48
9500	49	9018303	48	3029260	50	1553560	48	4970739	50	7948863	49	2268932	48
9400	49	7539153	48	3374124	50	1452757	48	4625875	50	8286268	49	2632300	48
9300	49	6454951	48	3683324	50	1383304	48	4316676	50	8535061	49	2986879	48
9200	49	5624360	48	3962073	50	1333503	48	4037926	50	8726068	49	3331651	48
9100	49	4966645	48	4214616	50	1296708	48	3785383	50	8877304	49	3665882	48
9000	49	4432341	48	4444444	50	1268880	48	3555555	50	9000000	49	3989107	48
8900	49	3989419	48	4654453	50	1247441	48	3345546	50	9101520	49	4301082	48
8800	49	3616190	48	4847065	50	1230677	48	3152934	50	9186896	49	4601742	48
8700	49	3297423	48	5024325	50	1217409	48	2975674	50	9259683	49	4891163	48
8600	49	3022085	48	5187965	50	1206802	48	2812034	50	9322462	49	5169521	48
8500	49	2781975	48	5339470	50	1198254	48	2660529	50	9377155	49	5437075	48
8400	49	2570857	48	5480112	50	1191319	48	2519887	50	9425219	49	5694131	48
8300	49	2383898	48	5610992	50	1185665	48	2389007	50	9467784	49	5941029	48
8200	49	2217296	48	5733070	50	1181036	48	2266929	50	9505733	49	6178145	48
8100	49	2068003	48	5847177	50	1177237	48	2152823	50	9539772	49	6405847	48
8000	49	1933556	48	5954046	50	1174112	48	2045953	50	9570469	49	6624518	48
7500	49	1424141	48	6400000	50	1165123	48	1600000	50	9687500	49	7595420	48
7000	49	1089470	48	6736501	50	1162079	48	1263498	50	9765550	49	8393147	48
6500	49	8537956	47	6997778	50	1161596	48	1002221	50	9820974	49	9053066	48
6000	49	6850755	47	7204969	50	1162248	48	7950309	49	9862069	49	9602475	48
5500	49	5557814	47	7371836	50	1163379	48	6281631	49	9893485	49	1006220	49
5000	49	4548756	47	7507693	50	1164673	48	4923065	49	9918032	49	1044810	49
4500	49	3740381	47	7619047	50	1165968	48	3809524	49	9937500	49	1077230	49
4000	49	3077294	47	7710569	50	1167185	48	2894301	49	9953079	49	1104416	49
3500	49	2521235	47	7785675	50	1168281	48	2143241	49	9965589	49	1127094	49
3000	49	2044901	47	7846891	50	1169239	48	1531085	49	9975609	49	1145826	49
2500	49	1628201	47	7896106	50	1170049	48	1038938	49	9983552	49	1161048	49
2000	49	1255882	47	7934725	50	1170709	48	6527420	48	9989717	49	1173095	49
1500	49	9159795	46	7963799	50	1171221	48	3680020	48	9994318	49	1182224	49
1000	49	5987409	46	7984070	50	1171585	48	1592980	48	9997506	49	1188619	49
5000	48	2958808	46	7996040	50	1171802	48	3959600	47	9999381	49	1192407	49
0000	00	0000000	00	8000000	50	1171875	48	0000000	00	1000000	50	1193662	49

85 50 = $\gamma$		$\sigma_1(w', \phi)$		$\gamma$		$\sigma_2(\gamma')$		E		w		$\sigma_1(w, \phi)$	
w'		$\phi_0$				$\phi_0$						$\phi_0$	
1000	50	1200672	50	4722222	49	9371395	48	8027777	50	1000000	50*	3325961	47
9980	49	8212258	49	6305236	49	6630298	48	7869476	50	4683361	49*	4195232	47
9960	49	6196353	49	7836025	49	5171964	48	7716397	50	1585101	49*	5054372	47
9940	49	4955641	49	9317121	49	4273998	48	7568287	50	4435418	48	5904973	47
9920	49	4118734	49	1075089	50	3668486	48	7424910	50	1874921	49	6748333	47
9900	49	3517744	49	1213937	50	3234126	48	7286042	50	2938951	49	7585501	47
9800	49	2013680	49	1847532	50	2154138	48	6652467	50	5763844	49	1170247	48
9700	49	1399488	49	2394916	50	1723740	48	6105083	50	7000960	49	1573522	48
9600	49	1067123	49	2872508	50	1499578	48	5627491	50	7695193	49	1969300	48
9500	49	8586826	48	3292792	50	1365728	48	5207207	50	8139534	49	2356748	48
9400	49	7154507	48	3665442	50	1278851	48	4834557	50	8448286	49	2734594	48
9300	49	6107357	48	3998067	50	1219198	48	4501932	50	8675261	49	3101664	48
9200	49	5306983	48	4296738	50	1176546	48	4203261	50	8849124	49	3457062	48
9100	49	4674553	48	4566359	50	1145105	48	3933641	50	8986542	49	3800195	48
9000	49	4161852	48	4810929	50	1121374	48	3689070	50	9097870	49	4130747	48
8900	49	3737697	48	5033744	50	1103121	48	3466255	50	9189877	49	4448625	48
8800	49	3380997	48	5237547	50	1088867	48	3262452	50	9267180	49	4753913	48
8700	49	3076950	48	5424639	50	1077597	48	3075360	50	9333030	49	5046828	48
8600	49	2814839	48	5596961	50	1068595	48	2903038	50	9389786	49	5327682	48
8500	49	2586699	48	5756165	50	1061345	48	2743834	50	9439202	49	5596846	48
8400	49	2386481	48	5903662	50	1055465	48	2596337	50	9482606	49	5854737	48
8300	49	2209500	48	6040673	50	1050672	48	2459326	50	9521026	49	6101800	48
8200	49	2052070	48	6168253	50	1046746	48	2331747	50	9555266	49	6330493	48
8100	49	1911241	48	6287312	50	1043522	48	2212687	50	9585966	49	6565263	48
8000	49	1784631	48	6398658	50	1040869	48	2101341	50	9613643	49	6782568	48
7500	49	1307022	48	6861573	50	1033200	48	1638426	50	9719079	49	7741978	48
7000	49	9954383	47	7209058	50	1030539	48	1290941	50	9789326	49	8523968	48
6500	49	7791610	47	7477783	50	1030034	48	1022216	50	9839175	49	9166800	48
6000	49	6219399	47	7690221	50	1030489	48	8097781	49	9876118	49	9699318	48
5500	49	5033787	47	7860895	50	1031353	48	6391042	49	9904350	49	1014312	49
5000	49	4111906	47	7999567	50	1032362	48	5004329	49	9926402	49	1051441	49
4500	49	3375763	47	8113046	50	1033380	48	3869534	49	9943887	49	1082551	49
4000	49	2773638	47	8206188	50	1034341	48	2938119	49	9957878	49	1108579	49
3500	49	2269964	47	8282536	50	1035209	48	2174638	49	9969111	49	1130251	49
3000	49	1839456	47	8344712	50	1035968	48	1552876	49	9978106	49	1148125	49
2500	49	1463562	47	8394658	50	1036611	48	1083412	49	9985237	49	1162632	49
2000	49	1128251	47	8433839	50	1037136	48	6616090	48	9990770	49	1174104	49
1500	49	8225376	46	8463311	50	1037542	48	3668850	48	9994900	49	1182707	49
1000	49	5375011	46	8483861	50	1037831	48	1613880	48	9997761	49	1188869	49
5000	48	2655709	46	8495991	50	1038004	48	4008400	47	9999444	49	1192470	49
0000	00	0000000	00	8500000	50	1038062	48	0000000	00	1000000	50	1193662	49

Compton Cross Sections vs. Angle of Recoil Electron

90 50 = $\gamma$		$\sigma_1(w, \phi)$		$\gamma'$	$\sigma_3(\gamma')$		E	w	$\sigma_1(w, \phi)$				
w'		$\phi_0$			$\phi_0$				$\phi_0$				
1000	50	1259967	50	4736842	49	8820663	48	8526315	50	1000000	50*	3149917	47
9980	49	8359264	49	6500030	49	6065246	48	8349996	50	4273430	49*	4078490	47
9960	49	6206985	49	8201741	49	4664863	48	8179825	50	1081422	49*	4994260	47
9940	49	4915413	49	9845161	49	3824090	48	8015483	50	9538371	48	5899211	47
9920	49	4057954	49	1143326	50	3266074	48	7856673	50	2364702	49	6794958	47
9900	49	3448800	49	1296867	50	2870144	48	7703132	50	3400222	49	7682719	47
9800	49	1948114	49	1994074	50	1901194	48	7005926	50	6096252	49	1203176	48
9700	49	1344918	49	2592081	50	1521394	48	6407918	50	7253207	49	1626894	48
9600	49	1020836	49	3110578	50	1325224	48	5889421	50	7896274	49	2040759	48
9500	49	8184543	48	3564364	50	1208730	48	5435635	50	8305562	49	2444071	48
9400	49	6798030	48	3964781	50	1133430	48	5035218	50	8588904	49	2835656	48
9300	49	5786829	48	4320665	50	1081896	48	4679334	50	8796652	49	3214455	48
9200	49	5015589	48	4638999	50	1045149	48	4361000	50	8955474	49	3579705	48
9100	49	4407415	48	4925385	50	1018122	48	4074614	50	9080813	49	3930978	48
9000	49	3915344	48	5184355	50	9977617	47	3815644	50	9182231	49	4260118	48
8900	49	3509045	48	5419627	50	9821262	47	3580372	50	9265965	49	4591201	48
8800	49	3168011	48	5634272	50	9699326	47	3365727	50	9336258	49	4900466	48
8700	49	2877862	48	5830852	50	9603019	47	3169147	50	9396096	49	5196274	48
8600	49	2628193	48	6011522	50	9526160	47	2988477	50	9447639	49	5479071	48
8500	49	2411277	48	6178109	50	9464292	47	2821890	50	9492492	49	5749359	48
8400	49	2221245	48	6332163	50	9414142	47	2667836	50	9531872	49	6007656	48
8300	49	2053559	48	6475022	50	9373258	47	2524977	50	9566714	49	6254510	48
8200	49	1904643	48	6607834	50	9339780	47	2392168	50	9597758	49	6490453	48
8100	49	1771648	48	6731594	50	9312276	47	2268405	50	9625578	49	6716018	48
8000	49	1652267	48	6847176	50	9289626	47	2152824	50	9650655	49	6931725	48
7500	49	1203775	48	7326060	50	9223919	47	1673939	50	9746121	49	7879100	48
7000	49	9130713	47	7683801	50	9200682	47	1316198	50	9809671	49	8645546	48
6500	49	7123755	47	7959444	50	9195714	47	1040555	50	9854742	49	9271950	48
6000	49	5671457	47	8176734	50	9198893	47	8232653	49	9888129	49	9788486	48
5500	49	4580514	47	8350904	50	9205591	47	6490957	49	9913636	49	1021736	49
5000	49	3735093	47	8492164	50	9213562	47	5078357	49	9933554	49	1057510	49
4500	49	3061971	47	8607584	50	9221677	47	3924155	49	9949344	49	1087408	49
4000	49	2512805	47	8702204	50	9229362	47	2977955	49	9961977	49	1112372	49
3500	49	2054470	47	8779692	50	9236322	47	2203079	49	9972118	49	1133125	49
3000	49	1663484	47	8842732	50	9242419	47	1572671	49	9980239	49	1150214	49
2500	49	1322691	47	8893354	50	9247588	47	1066455	49	9986675	49	1164071	49
2000	49	1019130	47	8933029	50	9251808	47	6697090	48	9991670	49	1175017	49
1500	49	7426991	46	8962877	50	9255077	47	3712240	48	9995397	49	1183300	49
1000	49	4851975	46	8983667	50	9257404	47	1633230	48	9997980	49	1189099	49
5000	48	2396903	46	8995943	50	9258796	47	4056300	47	9999498	49	1192526	49
0000	00	0000000	00	9000000	50	9259259	47	0000000	00	1000000	50	1193662	49

## Compton Cross Sections vs. Angle of Recoil Electron

95 50 = $\gamma$		$\sigma_1(w, \phi)$		$\gamma'$		$\sigma_2(\gamma')$		E		w		$\sigma_1(w, \phi)$	
w'		$\phi_0$				$\phi_0$						$\phi_0$	
1000	50	1319302	50	4750000	49	8331024	48	9025000	50	1000000	50*	2991615	47
9980	49	8486395	49	6702790	49	5565065	48	8829721	50	3866528	49*	3979254	47
9960	49	6204236	49	8583936	49	4222066	48	8641606	50	5970356	48*	4951287	47
9940	49	4867371	49	1039722	50	3435076	48	8460277	50	1434676	49	5910049	47
9920	49	3992964	49	1214632	50	2920494	48	8285367	50	2819690	49	6857510	47
9900	49	3378053	49	1383451	50	2559043	48	8116548	50	3824332	49	7795171	47
9800	49	1884743	49	2146435	50	1687264	48	7353564	50	6393744	49	1237197	48
9700	49	1293144	49	2796202	50	1350731	48	6703797	50	7476353	49	1680840	48
9600	49	9773668	48	3356136	50	1178247	48	6143863	50	8073014	49	2112204	48
9500	49	7809388	48	3843582	50	1076350	48	5656417	50	8450892	49	2530731	48
9400	49	6467392	48	4271701	50	1010741	48	5228298	50	8711643	49	2935364	48
9300	49	5490870	48	4650635	50	9659822	47	4849364	50	8902388	49	3325170	48
9200	49	4747597	48	4988353	50	9341476	47	4511646	50	9047961	49	3699559	48
9100	49	4162604	48	5291177	50	9107854	47	4208822	50	9162692	49	4058268	48
9000	49	3690171	48	5564202	50	8932179	47	3935797	50	9255429	49	4401325	48
8900	49	3300810	48	5811583	50	8797484	47	3688417	50	9331929	49	4728980	48
8800	49	2974583	48	6036724	50	8692576	47	3463275	50	9396104	49	5041634	48
8700	49	2697531	48	6242459	50	8609809	47	3257540	50	9450699	49	5339802	48
8600	49	2459549	48	6431163	50	8543810	47	3068836	50	9497702	49	5624071	48
8500	49	2253140	48	6604825	50	8490721	47	2895174	50	9538587	49	5895048	48
8400	49	2072616	48	6765131	50	8447704	47	2734848	50	9574468	49	6153381	48
8300	49	1913577	48	6913585	50	8412646	47	2586415	50	9606204	49	6399696	48
8200	49	1772564	48	7051377	50	8383939	47	2448622	50	9634468	49	6634622	48
8100	49	1646818	48	7179603	50	8360349	47	2320396	50	9659796	49	6858757	48
8000	49	1534109	48	7299197	50	8340916	47	2200802	50	9682618	49	7072682	48
7500	49	1112297	48	7793141	50	8284376	47	1706858	50	9769452	49	8007650	48
7000	49	8405206	47	8160483	50	8264070	47	1339516	50	9827213	49	8758826	48
6500	49	6538235	47	8442569	50	8259335	47	1057430	50	9868158	49	9369458	48
6000	49	5192860	47	8664330	50	8261560	47	8356497	49	9898477	49	9870842	48
5500	49	4185820	47	8841731	50	8266814	47	6582481	49	9921634	49	1028572	49
5000	49	3407798	47	8985391	50	8273191	47	5146086	49	9939713	49	1063083	49
4500	49	2789983	47	9102597	50	8279734	47	3974030	49	9954043	49	1091860	49
4000	49	2287108	47	9198569	50	8285953	47	3014307	49	9965506	49	1115843	49
3500	49	1868265	47	9277095	50	8291599	47	2229045	49	9974707	49	1135749	49
3000	49	1511609	47	9340935	50	8296551	47	1590649	49	9982074	49	1152121	49
2500	49	1201220	47	9392162	50	8300752	47	1078380	49	9987913	49	1165383	49
2000	49	9251081	46	9432293	50	8304185	47	6770690	48	9992444	49	1175849	49
1500	49	6739428	46	9462469	50	8306845	47	3753100	48	9995825	49	1183764	49
1000	49	4401731	46	9483494	50	8308739	47	1650510	48	9998167	49	1189301	49
5000	48	2174163	46	9495894	50	8309872	47	4105100	47	9999545	49	1192576	49
0000	00	0000000	00	9500000	50	8310249	47	0000000	00	1000000	50	1193662	49

Compton Cross Sections vs. Angle of Recoil Electron

1.0 51 = $\gamma$		$\sigma_1(w', \phi)$		$\gamma'$		$\sigma_3(\gamma')$		E		w		$\sigma_1(w, \phi)$	
w'		$\phi_0$				$\phi_0$						$\phi_0$	
1000	50	1378672	50	4761904	49	7892857	48	9523809	50	1000000	50*	2848497	47
9980	49	8594959	49	6913767	49	5119881	48	9308623	50	3463893	49*	3895019	47
9960	49	6189649	49	8982685	49	3833449	48	9101731	50	1325277	48*	4922913	47
9940	49	4812959	49	1097332	50	3096882	48	8902668	50	1886988	49	5935002	47
9920	49	3924961	49	1289001	50	2621983	48	8710999	50	3242054	49	6933564	47
9900	49	3306312	49	1473684	50	2291506	48	8526316	50	4214285	49	7920455	47
9800	49	1823692	49	2304487	50	1505043	48	7695513	50	6660639	49	1272090	48
9700	49	1244078	49	3007060	50	1205696	48	6992940	50	7674493	49	1735171	48
9600	49	9365486	48	3608877	50	1053377	48	6391123	50	8229054	49	2183475	48
9500	49	7459327	48	4130021	50	9638309	47	5869919	50	8578740	49	2615604	48
9400	49	6160388	48	4585784	50	9063897	47	5414216	50	8819347	49	3033628	48
9300	49	5217202	48	4987541	50	8673191	47	5012459	50	8995003	49	3433776	48
9200	49	4500682	48	5344335	50	8396004	47	4655664	50	9128859	49	3816631	48
9100	49	3937776	48	5663261	50	8193014	47	4336739	50	9234233	49	4182125	48
9000	49	3484005	48	5950001	50	8040640	47	4049999	50	9319327	49	4530486	48
8900	49	3110675	48	6209140	50	7923992	47	3790860	50	9389471	49	4862136	48
8800	49	2798431	48	6444445	50	7833253	47	3555555	50	9448275	49	5177658	48
8700	49	2533704	48	6659017	50	7761740	47	3340982	50	9498276	49	5477716	48
8600	49	2306688	48	6855442	50	7704766	47	3144557	50	9541304	49	5763026	48
8500	49	2110110	48	7035896	50	7658965	47	2964104	50	9578717	49	6034330	48
8400	49	1938457	48	7202218	50	7621874	47	2797781	50	9611539	49	6292374	48
8300	49	1787464	48	7355975	50	7591653	47	2644024	50	9640561	49	6537881	48
8200	49	1653786	48	7498511	50	7566909	47	2501488	50	9666402	49	6771560	48
8100	49	1534749	48	7630978	50	7546575	47	2369022	50	9689552	49	6994077	48
8000	49	1428203	48	7754384	50	7529818	47	2245615	50	9710407	49	7206083	48
7500	49	1030871	48	8262550	50	7480954	47	1737449	50	9789719	49	8128406	48
7000	49	7762879	47	8638890	50	7463182	47	1361109	50	9842443	49	8864621	48
6500	49	6022050	47	8926985	50	7458758	47	1073015	50	9879800	49	9460112	48
6000	49	4772387	47	9152941	50	7460309	47	8470590	49	9907455	49	9947141	48
5500	49	3840024	47	9333329	50	7464477	47	6666700	49	9928571	49	1034886	49
5000	49	3121709	47	9479167	50	7469635	47	5208330	49	9945054	49	1068218	49
4500	49	2552685	47	9598015	50	7474967	47	4019840	49	9958117	49	1095954	49
4000	49	2090507	47	9695239	50	7480053	47	3047600	49	9968565	49	1119030	49
3500	49	1706272	47	9774712	50	7484680	47	2252880	49	9976952	49	1138155	49
3000	49	1379620	47	9839285	50	7488744	47	1607150	49	9983666	49	1153868	49
2500	49	1095744	47	9891069	50	7492194	47	1089300	49	9988986	49	1166583	49
2000	49	8435212	46	9931620	50	7495014	47	6837900	48	9993115	49	1176611	49
1500	49	6143114	46	9962104	50	7497201	47	3789600	48	9996196	49	1184190	49
1000	49	4011370	46	9983337	50	7498758	47	1666200	48	9998330	49	1189490	49
5000	48	1981092	46	9995861	50	7499689	47	4138000	47	9999585	49	1192625	49
0000	00	0000000	00	1000000	51	7500000	47	0000000	00	1000000	50	1193662	49



## Compton Cross Sections vs. Angle of Recoil Electron

$1251 = \gamma$		$\sigma_s(w, \phi)$		$\gamma'$		$\sigma_s(\gamma')$		E		w		$\sigma_s(w, \phi)$	
w'		$\phi_0$				$\phi_0$						$\phi_0$	
1000	50	1616413	50	4800000	49	6520833	48	1152000	51	1000000	50*	2391143	47
9990	49	1148860	50	6339001	49	4746741	48	1136610	51	4942021	49*	3035690	47
9980	49	8867144	49	7841879	49	3751202	48	1121581	51	1918711	49*	3671393	47
9970	49	7196764	49	9309875	49	3116459	48	1106901	51	9205129	47	4299019	47
9960	49	6042093	49	1074419	50	2677510	48	1092558	51	1525983	49	4919254	47
9950	49	5197562	49	1214598	50	2356415	48	1078540	51	2600157	49	5532701	47
9940	49	4553820	49	1351632	50	2111659	48	1064836	51	3434874	49	6139901	47
9930	49	4047325	49	1485626	50	1919135	48	1051437	51	4102166	49	6741321	47
9920	49	3638763	49	1616681	50	1763895	48	1038331	51	4647821	49	7337392	47
9910	49	3302460	49	1744892	50	1636187	48	1025510	51	5102321	49	7928491	47
9900	49	3020947	49	1870349	50	1529380	48	1012965	51	5486737	49	8514927	47
9850	49	2104494	49	2459279	50	1182904	48	9540720	50	6767102	49	1138638	48
9800	49	1603213	49	2991088	50	9953609	47	9008911	50	7490069	49	1417291	48
9750	49	1288318	49	3473684	50	8793662	47	8526315	50	7954545	49	1688771	48
9700	49	1072581	49	3913579	50	8014719	47	8086420	50	8278127	49	1953695	48
9650	49	9156779	48	4316185	50	7461504	47	7683814	50	8516472	49	2212314	48
9600	49	7964665	48	4686037	50	7052308	47	7313963	50	8699333	49	2464693	48
9550	49	7028254	48	5026961	50	6740144	47	6973039	50	8844060	49	2710818	48
9500	49	6273200	48	5342213	50	6496146	47	6657787	50	8961449	49	2950654	48
9450	49	5651426	48	5634573	50	6301653	47	6365427	50	9058576	49	3184172	48
9400	49	5130504	48	5906439	50	6144085	47	6093560	50	9140266	49	3411370	48
9350	49	4687764	48	6159883	50	6014686	47	5840116	50	9209925	49	3632270	48
9300	49	4306885	48	6396703	50	5907185	47	5603297	50	9270028	49	3846919	48
9250	49	3975822	48	6618473	50	5816978	47	5381526	50	9322411	49	4055396	48
9200	49	3685487	48	6826580	50	5740622	47	5173420	50	9368471	49	4257802	48
9150	49	3428886	48	7022238	50	5675494	47	4977761	50	9409285	49	4454254	48
9100	49	3200549	48	7206519	50	5619570	47	4793480	50	9445701	49	4644879	48
9050	49	2996142	48	7380387	50	5571255	47	4619612	50	9478391	49	4829827	48
9000	49	2812173	48	7544691	50	5529291	47	4455309	50	9507897	49	5009247	48
8500	49	1655800	48	8796797	50	5305810	47	3203202	50	9696556	49	6534631	48
8000	49	1098084	48	9601247	50	5231082	47	2398753	50	9791802	49	7674798	48
7500	49	7806410	47	1015908	51	5202671	47	1840912	50	9848993	49	8545863	48
7000	49	5810564	47	1056644	51	5191988	47	1433558	50	9886940	49	9225956	48
6500	49	4466662	47	1087499	51	5188883	47	1125001	50	9913793	49	9766804	48
6000	49	3514155	47	1111505	51	5189182	47	8849410	49	9933652	49	1020334	49
5500	49	2811064	47	1130548	51	5190997	47	6945140	49	9948806	49	1055964	49
5000	49	2274309	47	1145864	51	5193418	47	5413520	49	9960629	49	1085276	49
4500	49	1852454	47	1158295	51	5195988	47	4170420	49	9969995	49	1109499	49
4000	49	1512158	47	1168430	51	5198470	47	3157000	49	9977483	49	1129538	49
3500	49	1230951	47	1176691	51	5200744	47	2330840	49	9983492	49	1146069	49
3000	49	9931438	46	1183389	51	5202750	47	1661050	49	9988302	49	1159600	49
2500	49	7874180	46	1188750	51	5204458	47	1124940	49	9992113	49	1170513	49
2000	49	6053383	46	1192942	51	5205856	47	7057400	48	9995070	49	1179102	49
1500	49	4403961	46	1196090	51	5206942	47	3909800	48	9997276	49	1185579	49
1000	49	2873666	46	1198281	51	5207716	47	1718300	48	9998804	49	1190105	49
5000	48	1418612	46	1199572	51	5208179	47	4275000	47	9999703	49	1192776	49
0000	00	0000000	00	1200000	51	5208333	47	0000000	00	1000000	50	1193662	49

## Compton Cross Sections vs. Angle of Recoil Electron

14 51 = $\gamma$		$\sigma_1(w, \phi)$		$\gamma'$		$\sigma_3(\gamma')$		E		w		$\sigma_1(w, \phi)$	
w'		$\phi_0$				$\phi_0$						$\phi_0$	
1000	50	1854436	50	4827586	49	5555067	48	1351724	51	1000000	50*	2060485	47
9990	49	1210890	50	6896085	49	3729723	48	1331039	51	3766694	49*	2822942	47
9980	49	8933476	49	8908205	49	2828206	48	1310917	51	5113186	48*	3572002	47
9970	49	7049187	49	1086617	50	2292949	48	1291338	51	1511413	49	4308913	47
9960	49	5804500	49	1277209	50	1939255	48	1272279	51	2884716	49	5034767	47
9950	49	4922555	49	1462815	50	1688546	48	1253718	51	3878153	49	5750590	47
9940	49	4265693	49	1643613	50	1501836	48	1235638	51	4630129	49	6457169	47
9930	49	3758108	49	1819807	50	1357559	48	1218019	51	5219198	49	7155330	47
9920	49	3354397	49	1991550	50	1242869	48	1200845	51	5693071	49	7845634	47
9910	49	3025876	49	2159003	50	1149615	48	1184099	51	6082519	49	8528634	47
9900	49	2753565	49	2322354	50	1072368	48	1167764	51	6408311	49	9204944	47
9850	49	1883579	49	3082291	50	8265765	47	1091770	51	7469946	49	1249820	48
9800	49	1418477	49	3758966	50	6967330	47	1024103	51	8053979	49	1566835	48
9750	49	1130254	49	4365329	50	6176887	47	9634670	50	8423507	49	1873371	48
9700	49	9345773	48	4911777	50	5652307	47	9088222	50	8678362	49	2170318	48
9650	49	7931979	48	5406753	50	5283268	47	8593246	50	8864747	49	2458079	48
9600	49	6863310	48	5857188	50	5012473	47	8142811	50	9006982	49	2736848	48
9550	49	6027418	48	6268819	50	4807320	47	7731181	50	9119088	49	3006731	48
9500	49	5355904	48	6646436	50	4647946	47	7353564	50	9209719	49	3267826	48
9450	49	4804793	48	6994074	50	4521603	47	7005925	50	9284503	49	3520246	48
9400	49	4344541	48	7315156	50	4419755	47	6684843	50	9347260	49	3764138	48
9350	49	3954565	48	7612599	50	4336492	47	6387400	50	9400673	49	3999675	48
9300	49	3620090	48	7888913	50	4267604	47	6111087	50	9446683	49	4227062	48
9250	49	3330223	48	8146256	50	4210018	47	5853743	50	9486727	49	4446520	48
9200	49	3076757	48	8386505	50	4161446	47	5613494	50	9521894	49	4658290	48
9150	49	2853398	48	8611308	50	4120150	47	5388692	50	9553022	49	4862632	48
9100	49	2655218	48	8822094	50	4084794	47	5177906	50	9580768	49	5059803	48
9050	49	2478315	48	9020128	50	4054333	47	4979872	50	9605654	49	5250069	48
9000	49	2319551	48	9206520	50	4027945	47	4793480	50	9628099	49	5433688	48
8500	49	1334470	48	1060367	51	3888652	47	3396330	50	9771216	49	6958757	48
8000	49	8706899	47	1148011	51	3842596	47	2519889	50	9843214	49	8060037	48
7500	49	6116664	47	1207843	51	3825072	47	1921563	50	9886363	49	8881396	48
7000	49	4512152	47	1251054	51	3818362	47	1409455	50	9914960	49	9511513	48
6500	49	3444543	47	1283522	51	3816252	47	1164771	50	9935179	49	1000609	49
6000	49	2695151	47	1308625	51	3816212	47	9137480	49	9950124	49	1040119	49
5500	49	2146437	47	1328441	51	3817103	47	7155840	49	9961523	49	1072109	49
5000	49	1730382	47	1344317	51	3818378	47	5568220	49	9970414	49	1098254	49
4500	49	1405302	47	1357163	51	3819761	47	4283620	49	9977454	49	1119749	49
4000	49	1144400	47	1367609	51	3821111	47	3239020	49	9983083	49	1137455	49
3500	49	9297564	46	1376108	51	3822355	47	2389120	49	9987598	49	1152011	49
3000	49	7489390	46	1382986	51	3823455	47	1701320	49	9991212	49	1163890	49
2500	49	5930380	46	1388484	51	3824394	47	1151550	49	9994075	49	1173450	49
2000	49	4554485	46	1392779	51	3825165	47	7220400	48	9996297	49	1180959	49
1500	49	3310977	46	1396001	51	3825763	47	3998700	48	9997954	49	1186613	49
1000	49	2159332	46	1398242	51	3826190	47	1757900	48	9999102	49	1190560	49
5000	48	1065645	46	1399563	51	3826445	47	4369000	47	9999777	49	1192890	49
0000	00	0000000	00	1400000	51	3826530	47	0000000	00	1000000	50	1193662	49

## Compton Cross Sections vs. Angle of Recoil Electron

1.6 51 = $\gamma$		$\sigma_1(w', \phi)$		$\gamma'$		$\sigma_2(\gamma')$		E		w		$\sigma_1(w, \phi)$	
w'		$\phi_0$				$\phi_0$						$\phi_0$	
1000	50	2092637	50	4848484	49	4838423	48	1551515	51	1000000	50*	1810239	47
9990	49	1251153	50	7523149	49	2986209	48	1524768	51	2667305	49*	2689922	47
9980	49	8855308	49	1011480	50	2180723	48	1498852	51	7384987	48	3550876	47
9970	49	6819466	49	1262723	50	1731906	48	1473727	51	2705611	49	4395022	47
9960	49	5525293	49	1506404	50	1446445	48	1449359	51	3986676	49	5224027	47
9950	49	4631465	49	1742855	50	1249236	48	1425714	51	4887290	49	6039314	47
9940	49	3978036	49	1972397	50	1105050	48	1402760	51	5555028	49	6842128	47
9930	49	3480084	49	2195323	50	9951944	47	1380467	51	6069862	49	7633522	47
9920	49	3088428	49	2411919	50	9088229	47	1358808	51	6478924	49	8414433	47
9910	49	2772592	49	2622452	50	8392186	47	1337754	51	6811775	49	9185661	47
9900	49	2512684	49	2827166	50	7820005	47	1317283	51	7087889	49	9947863	47
9850	49	1694226	49	3771397	50	6026268	47	1222860	51	7973462	49	1364184	48
9800	49	1264215	49	4601016	50	5096698	47	1139898	51	8451567	49	1717183	48
9750	49	1000448	49	5335669	50	4537990	47	1066433	51	8750821	49	2056181	48
9700	49	8225900	48	5990757	50	4170790	47	1000924	51	8955762	49	2382330	48
9650	49	6947236	48	6578518	50	3914514	47	9421481	50	9104901	49	2696213	48
9600	49	5984519	48	7108806	50	3727733	47	8891194	50	9218294	49	2998184	48
9550	49	5234034	48	7589637	50	3587064	47	8410363	50	9307414	49	3288526	48
9500	49	4632970	48	8027608	50	3478358	47	7972391	50	9379298	49	3567523	48
9450	49	4141084	48	8428178	50	3392590	47	7571822	50	9438504	49	3835473	48
9400	49	3731436	48	8795941	50	3323745	47	7204059	50	9488112	49	4092724	48
9350	49	3385288	48	9134755	50	3267680	47	6865244	50	9530279	49	4339638	48
9300	49	3089197	48	9447884	50	3221462	47	6552115	50	9566561	49	4576592	48
9250	49	2833282	48	9738131	50	3182952	47	6261868	50	9598109	49	4803984	48
9200	49	2610106	48	1000791	51	3150568	47	5992084	50	9625791	49	5022226	48
9150	49	2413956	48	1025931	51	3123111	47	5740686	50	9650276	49	5231716	48
9100	49	2240371	48	1049412	51	3099665	47	5505874	50	9672086	49	5432846	48
9050	49	2085826	48	1071394	51	3079512	47	5286055	50	9691636	49	5626015	48
9000	49	1947480	48	1092014	51	3062092	47	5079858	50	9709260	49	5811591	48
8500	49	1098794	48	1244445	51	2970844	47	3555549	50	9821428	49	7322367	48
8000	49	7074064	47	1338191	51	2940977	47	2618081	50	9877722	49	8382017	48
7500	49	4922147	47	1401378	51	2929623	47	1986213	50	9911417	49	9156784	48
7000	49	3605133	47	1446612	51	2925226	47	1533872	50	9933730	49	9742811	48
6500	49	2737075	47	1480380	51	2923778	47	1196195	50	9949498	49	1019791	49
6000	49	2132399	47	1506359	51	2923656	47	9364010	49	9961148	49	1055854	49
5500	49	1692432	47	1526792	51	2924134	47	7320780	49	9970031	49	1084869	49
5000	49	1360596	47	1543112	51	2924864	47	5688780	49	9976958	49	1108462	49
4500	49	1102485	47	1556282	51	2925672	47	4371780	49	9982443	49	1127775	49
4000	49	8961451	46	1566973	51	2926468	47	3302680	49	9986826	49	1143634	49
3500	49	7269638	46	1575656	51	2927204	47	2434330	49	9990343	49	1156635	49
3000	49	5848662	46	1582674	51	2927857	47	1732580	49	9993158	49	1167221	49
2500	49	4626644	46	1588279	51	2928415	47	1172020	49	9995387	49	1175720	49
2000	49	3550486	46	1592653	51	2928874	47	7346600	48	9997116	49	1182397	49
1500	49	2579605	46	1595932	51	2929230	47	4067700	48	9998407	49	1187415	49
1000	49	1681674	46	1598212	51	2929484	47	1787400	48	9999301	49	1190914	49
5000	48	8297213	45	1599557	51	2929636	47	4428000	47	9999826	49	1192980	49
0000	00	0000000	00	1600000	51	2929687	47	0000000	00	1000000	50	1193662	49

Compton Cross Sections vs. Angle of Recoil Electron

18 51 = $\gamma$		$\sigma_i(w, \phi)$		$\gamma'$		$\sigma_s(\gamma')$		E		w		$\sigma_i(w, \phi)$	
w		$\phi_0$				$\phi_0$						$\phi_0$	
1000	50	2330955	50	4864864	49	4285535	48	1751351	51	1000000	50*	1614235	47
9990	49	1273467	50	8221901	49	2426417	48	1717781	51	1607080	49*	2610539	47
9980	49	8680870	49	1146217	50	1713083	48	1685378	51	1831203	49	3582056	47
9970	49	6546760	49	1459169	50	1337259	48	1654083	51	3702340	49	4531554	47
9960	49	5233064	49	1761606	50	1105770	48	1623839	51	4878918	49	5461382	47
9950	49	4344646	49	2054041	50	9491616	47	1594595	51	5687105	49	6373510	47
9940	49	3704786	49	2336970	50	8363491	47	1566302	51	6276512	49	7269663	47
9930	49	3222606	49	2610839	50	7513525	47	1538916	51	6725370	49	8151251	47
9920	49	2846658	49	2876085	50	6851105	47	1512391	51	7078608	49	9019542	47
9910	49	2545619	49	3133112	50	6321075	47	1486688	51	7363840	49	9875589	47
9900	49	2299328	49	3382281	50	5887963	47	1461771	51	7598971	49	1072024	48
9850	49	1532397	49	4522082	50	4546236	47	1347791	51	8344184	49	1479616	48
9800	49	1134866	49	5510851	50	3861671	47	1248914	51	8740954	49	1866521	48
9750	49	8929378	48	6376715	50	3454579	47	1162328	51	8987350	49	2235670	48
9700	49	7306597	48	7141216	50	3189231	47	1085878	51	9155234	49	2588514	48
9650	49	6144494	48	7821148	50	3005303	47	1017885	51	9276971	49	2925833	48
9600	49	5272333	48	8429787	50	2872039	47	9570213	50	9369285	49	3248207	48
9550	49	4594356	48	8977752	50	2772194	47	9022248	50	9441691	49	3556141	48
9500	49	4052805	48	9473684	50	2695388	47	8526316	50	9500000	49	3850164	48
9450	49	3610759	48	9924626	50	2635039	47	8075373	50	9547961	49	4130813	48
9400	49	3243548	48	1033643	51	2586778	47	7663565	50	9588103	49	4398665	48
9350	49	2934030	48	1071396	51	2547612	47	7286038	50	9622193	49	4684292	48
9300	49	2669934	48	1106130	51	2515424	47	6938696	50	9651502	49	4898204	48
9250	49	2442240	48	1138193	51	2488681	47	6618069	50	9676970	49	5131220	48
9200	49	2244163	48	1167881	51	2466250	47	6321189	50	9699303	49	5353706	48
9150	49	2070491	48	1195445	51	2447280	47	6045550	50	9719047	49	5566254	48
9100	49	1917171	48	1221106	51	2431116	47	5788937	50	9736626	49	5769420	48
9050	49	1780987	48	1245053	51	2417252	47	5549468	50	9752377	49	5963729	48
9000	49	1659363	48	1267451	51	2405290	47	5325481	50	9766570	49	6149653	48
8500	49	9207486	47	1431093	51	2343049	47	3689069	50	9856788	49	7637255	48
8000	49	5861877	47	1530070	51	2322858	47	2699293	50	9901990	49	8654976	48
7500	49	4046587	47	1596083	51	2315194	47	2039163	50	9929022	49	9386031	48
7000	49	2946608	47	1642997	51	2312205	47	1570022	50	9946912	49	9933917	48
6500	49	2227197	47	1677836	51	2311189	47	1221633	50	9959550	49	1035511	49
6000	49	1729158	47	1704534	51	2311061	47	9546500	49	9968885	49	1068668	49
5500	49	1368612	47	1725466	51	2311336	47	7453390	49	9976601	49	1095206	49
5000	49	1097826	47	1742143	51	2311783	47	5785660	49	9981549	49	1116696	49
4500	49	8879617	46	1755576	51	2312285	47	4442380	49	9985942	49	1134229	49
4000	49	7207108	46	1766464	51	2312784	47	3353560	49	9989452	49	1148589	49
3500	49	5839479	46	1775295	51	2313247	47	2470460	49	9992268	49	1160335	49
3000	49	4693481	46	1782424	51	2313658	47	1757540	49	9994522	49	1169801	49
2500	49	3709929	46	1788113	51	2314011	47	1188630	49	9996307	49	1177640	49
2000	49	2845273	46	1792553	51	2314300	47	7447000	48	9997691	49	1183542	49
1500	49	2066289	46	1795878	51	2314525	47	4121500	48	9998724	49	1188053	49
1000	49	1346605	46	1798187	51	2314686	47	1812600	48	9999440	49	1191193	49
5000	48	6642767	45	1799549	51	2314782	47	4502000	47	9999861	49	1193040	49
0000	00	0000000	00	1800000	51	2314814	47	0000000	00	1000000	50	1193662	49

Compton Cross Sections vs. Angle of Recoil Electron

20 51 = $\gamma$		$\sigma_s(w', \phi)$		$\gamma'$		$\sigma_s(\gamma')$		E		w		$\sigma_s(w, \phi)$	
w'		$\phi_s$				$\phi_s$						$\phi_s$	
1000	50	2569356	50	4878048	49	3846036	48	1951219	51	1000000	50*	1456551	47
9990	49	1281454	50	8993204	49	1995732	48	1910067	51	6195066	48*	2568925	47
9980	49	8445569	49	1294995	50	1367436	48	1870500	51	2777967	49	3649756	47
9970	49	6255992	49	1675731	50	1052278	48	1832426	51	4532458	49	4702835	47
9960	49	4944139	49	2042361	50	8633176	47	1795763	51	5603705	49	5731334	47
9950	49	4072195	49	2395643	50	7376645	47	1760435	51	6325756	49	6737881	47
9940	49	3451778	49	2736303	50	6482385	47	1726369	51	6845435	49	7724735	47
9930	49	2988461	49	3064995	50	5814692	47	1693500	51	7237351	49	8693736	47
9920	49	2629753	49	3382346	50	5298010	47	1661765	51	7543473	49	9646489	47
9910	49	2344139	49	3688939	50	4886976	47	1631106	51	7789193	49	1058433	48
9900	49	2111555	49	3985294	50	4552724	47	1601470	51	7990774	49	1150833	48
9850	49	1393735	49	5330183	50	3527287	47	1466981	51	8623891	49	1594943	48
9800	49	1025627	49	6482759	50	3010877	47	1351724	51	8957446	49	2013877	48
9750	49	8029912	48	7481479	50	2706576	47	1251852	51	9163366	49	2411101	48
9700	49	6542765	48	8355196	50	2509653	47	1164480	51	9303140	49	2788349	48
9650	49	5481187	48	9125969	50	2373976	47	1087403	51	9404225	49	3146693	48
9600	49	4686623	48	9810943	50	2276184	47	1018905	51	9480730	49	3486976	48
9550	49	4070519	48	1042368	51	2203248	47	9576319	50	9540645	49	3810006	48
9500	49	3579560	48	1097499	51	2147373	47	9025003	50	9588838	49	4116580	48
9450	49	3179766	48	1147367	51	2103630	47	8526321	50	9628440	49	4407527	48
9400	49	2848437	48	1192691	51	2068765	47	8073088	50	9661559	49	4683681	48
9350	49	2569819	48	1234060	51	2040555	47	7659394	50	9689666	49	4945856	48
9300	49	2332645	48	1271970	51	2017435	47	7280299	50	9713817	49	5194857	48
9250	49	2128638	48	1306835	51	1998275	47	6931641	50	9734792	49	5431472	48
9200	49	1951571	48	1339009	51	1982241	47	6609910	50	9753178	49	5656447	48
9150	49	1796672	48	1368786	51	1968710	47	6312133	50	9769426	49	5870480	48
9100	49	1660230	48	1396429	51	1957203	47	6035704	50	9783887	49	6074270	48
9050	49	1539296	48	1422153	51	1947352	47	5778465	50	9796841	49	6268413	48
9000	49	1431521	48	1446154	51	1938866	47	5538454	50	9808510	49	6453531	48
8500	49	7829109	47	1619737	51	1894966	47	3802625	50	9882615	49	7912449	48
8000	49	4937157	47	1723243	51	1880838	47	2767564	50	9919698	49	8889249	48
7500	49	3385689	47	1791668	51	1875485	47	2083316	50	9941860	49	9581845	48
7000	49	2453423	47	1840000	51	1873387	47	1599991	50	9956521	49	1009447	49
6500	49	1847622	47	1875736	51	1872658	47	1242638	50	9966875	49	1048629	49
6000	49	1430371	47	1903029	51	1872545	47	9697080	49	9974522	49	1079302	49
5500	49	1129569	47	1924375	51	1872712	47	7562410	49	9980350	49	1103750	49
5000	49	9044350	46	1941348	51	1873000	47	5865200	49	9984894	49	1123470	49
4500	49	7304661	46	1954999	51	1873328	47	4500020	49	9988491	49	1139534	49
4000	49	5921686	46	1966046	51	1873656	47	3395360	49	9991365	49	1152650	49
3500	49	4793310	46	1975000	51	1873962	47	2499960	49	9993670	49	1163363	49
3000	49	3849588	46	1982223	51	1874234	47	1777660	49	9995515	49	1172058	49
2500	49	3040954	46	1987980	51	1874467	47	1201930	49	9996977	49	1179023	49
2000	49	2331062	46	1992472	51	1874659	47	7527600	48	9998110	49	1184478	49
1500	49	1692228	46	1995832	51	1874808	47	4167300	48	9998956	49	1188571	49
1000	49	1102548	46	1998169	51	1874915	47	1830300	48	9999541	49	1191424	49
5000	48	5437998	45	1999544	51	1874978	47	4559000	47	9999886	49	1193104	49
0000	00	0000000	00	2000000	51	1875000	47	0000000	00	1000000	50	1193662	49

$22 \ 51 = \gamma$		$\sigma_1(w, \phi)$		$\gamma'$		$\sigma_3(\gamma')$		E		w		$\sigma_1(w, \phi)$	
w'		$\phi_2$				$\phi_0$						$\phi_0$	
1000	50	2807817	50	4888888	49	3488292	48	2151111	51	1000000	50*	1326946	47
9990	49	1278287	50	9837465	49	1658757	48	2101625	51	2893255	48	2554874	47
9980	49	8174711	49	1457736	50	1106975	48	2054226	51	3594596	49	3743831	47
9970	49	5962619	49	1912152	50	8418336	47	2008784	51	5224836	49	4898817	47
9960	49	4667213	49	2348182	50	6864343	47	1965181	51	6195933	49	6023971	47
9950	49	3818485	49	2766915	50	5845640	47	1923308	51	6840413	49	7122690	47
9940	49	3220590	49	3169365	50	5127828	47	1883063	51	7299340	49	8197819	47
9930	49	2777386	49	3556455	50	4595848	47	1844354	51	7642757	49	9251679	47
9920	49	2436219	49	3929056	50	4186588	47	1807094	51	7909405	49	1028624	48
9910	49	2165822	49	4287968	50	3862563	47	1771203	51	8122438	49	1130313	48
9900	49	1946462	49	4633919	50	3600124	47	1736608	51	8296544	49	1230366	48
9850	49	1274324	49	6191879	50	2801546	47	1580812	51	8839527	49	1709475	48
9800	49	9326100	48	7511621	50	2403853	47	1448837	51	9123274	49	2158716	48
9750	49	7269665	48	8643853	50	2171379	47	1335614	51	9297654	49	2582085	48
9700	49	5900719	48	9625857	50	2021900	47	1237414	51	9415677	49	2981664	48
9650	49	4926158	48	1048563	51	1919466	47	1151436	51	9500860	49	3358848	48
9600	49	4198483	48	1124465	51	1845978	47	1075534	51	9565233	49	3714830	48
9550	49	3635524	48	1191959	51	1791396	47	1008040	51	9615591	49	4050746	48
9500	49	3187936	48	1252371	51	1749733	47	9476290	50	9656059	49	4367752	48
9450	49	2824268	48	1306753	51	1717224	47	8932468	50	9689289	49	4666962	48
9400	49	2523547	48	1355964	51	1691391	47	8440355	50	9717063	49	4949494	48
9350	49	2271243	48	1400710	51	1670543	47	7992896	50	9740621	49	5216446	48
9300	49	2056938	48	1441565	51	1653501	47	7584348	50	9760855	49	5468815	48
9250	49	1873011	48	1479019	51	1639407	47	7209802	50	9778421	49	5707619	48
9200	49	1713709	48	1513474	51	1627639	47	6865258	50	9793814	49	5933738	48
9150	49	1574650	48	1545278	51	1617725	47	6547213	50	9807413	49	6148066	48
9100	49	1452409	48	1574725	51	1609309	47	6252748	50	9819513	49	6351396	48
9050	49	1344279	48	1602062	51	1602116	47	5979377	50	9830350	49	6544446	48
9000	49	1248102	48	1627512	51	1595928	47	5724871	50	9840110	49	6727946	48
8500	49	6739859	47	1809959	51	1564083	47	3900402	50	9902047	49	8154888	48
8000	49	4215568	47	1917422	51	1553907	47	2825775	50	9933012	49	9092450	48
7500	49	2874552	47	1987927	51	1550058	47	2120725	50	9951508	49	9749206	48
7000	49	2074496	47	2037471	51	1548544	47	1625287	50	9963741	49	1023120	49
6500	49	1557440	47	2073968	51	1548009	47	1260317	50	9972378	49	1059736	49
6000	49	1202846	47	2101770	51	1547915	47	9823000	49	9978756	49	1088272	49
5500	49	9480998	46	2123464	51	1548021	47	7653520	49	9983616	49	1110931	49
5000	49	7579892	46	2140688	51	1548215	47	5931160	49	9987405	49	1129167	49
4500	49	6114401	46	2154520	51	1548438	47	4547980	49	9990404	49	1143971	49
4000	49	4951841	46	2165700	51	1548663	47	3429990	49	9992801	49	1156042	49
3500	49	4005034	46	2174757	51	1548872	47	2524280	49	9994723	49	1165889	49
3000	49	3214402	46	2182055	51	1549059	47	1794430	49	9996261	49	1173869	49
2500	49	2537866	46	2187870	51	1549220	47	1212950	49	9997479	49	1180256	49
2000	49	1944619	46	2192403	51	1549352	47	7596700	48	9998424	49	1185253	49
1500	49	1411262	46	2195797	51	1549454	47	4202800	48	9999129	49	1189004	49
1000	49	9192902	45	2198152	51	1549528	47	1847300	48	9999618	49	1191613	49
5000	48	4533568	45	2199540	51	1549572	47	4597000	47	9999905	49	1193152	49
0000	00	0000000	00	2200000	51	1549586	47	0000000	00	1000000	50	1193662	49

Compton Cross Sections vs. Angle of Recoil Electron

24 51 = $\gamma$		$\sigma_1(w, \phi)$		$\gamma'$		$\sigma_2(\gamma')$		E		w		$\sigma_1(w, \phi)$	
w'		$\phi_0$				$\phi_0$						$\phi_0$	
1000	50	3046324	50	4897959	49	3191432	48	2351020	51	1000000	50*	1218529	47
9990	49	1266632	50	1075481	50	1391466	48	2292451	51	1118502	49	2561523	47
9980	49	7885912	49	1634338	50	9074002	47	2236566	51	4297982	49	3857472	47
9970	49	5675874	49	2168155	50	6833705	47	2183184	51	5804452	49	5112783	47
9960	49	4406462	49	2678567	50	5545760	47	2132143	51	6683327	49	6332664	47
9950	49	3584781	49	3167115	50	4711458	47	2083288	51	7259218	49	7521478	47
9940	49	3010699	49	3635134	50	4128470	47	2036486	51	7665736	49	8682610	47
9930	49	2587796	49	4083943	50	3699046	47	1991605	51	7968052	49	9819049	47
9920	49	2263777	49	4514648	50	3370318	47	1948535	51	8201654	49	1093299	48
9910	49	2007929	49	4928311	50	3111121	47	1907168	51	8387574	49	1202633	48
9900	49	1801048	49	5325994	50	2901872	47	1867400	51	8539083	49	1310086	48
9850	49	1170864	49	7103666	50	2269618	47	1689633	51	9008943	49	1822796	48
9800	49	8527407	48	8592854	50	1957823	47	1540714	51	9252909	49	2300745	48
9750	49	6620796	48	9858475	50	1776860	47	1414152	51	9402310	49	2748482	48
9700	49	5355237	48	1094730	51	1661175	47	1305269	51	9503199	49	3168475	48
9650	49	4456424	48	1189393	51	1582288	47	1210606	51	9575902	49	3562516	48
9600	49	3786787	48	1272449	51	1525932	47	1127550	51	9630781	49	3932210	48
9550	49	3269844	48	1345906	51	1484230	47	1054093	51	9673673	49	4279089	48
9500	49	2859718	48	1411335	51	1452505	47	9886643	50	9708117	49	4604671	48
9450	49	2527208	48	1469981	51	1427824	47	9300185	50	9736385	49	4910419	48
9400	49	2252844	48	1522845	51	1408263	47	8771550	50	9760000	49	5197750	48
9350	49	2023138	48	1570739	51	1392516	47	8292602	50	9780023	49	5468007	48
9300	49	1828448	48	1614333	51	1379671	47	7856664	50	9797215	49	5722453	48
9250	49	1661689	48	1654175	51	1369071	47	7458242	50	9812136	49	5962241	48
9200	49	1517560	48	1690735	51	1360235	47	7092648	50	9825207	49	6188498	48
9150	49	1391987	48	1724394	51	1352804	47	6756054	50	9836753	49	6402188	48
9100	49	1281811	48	1755486	51	1346506	47	6445135	50	9847024	49	6604251	48
9050	49	1184537	48	1784294	51	1341130	47	6157057	50	9856221	49	6795542	48
9000	49	1098167	48	1811057	51	1336513	47	5889428	50	9864503	49	6976822	48
8500	49	5863942	47	2001454	51	1312853	47	3985456	50	9917030	49	8370041	48
8000	49	3641635	47	2112406	51	1305339	47	2875932	50	9943272	49	9270403	48
7500	49	2471099	47	2184719	51	1302502	47	2152805	50	9958941	49	9894415	48
7000	49	1777074	47	2235312	51	1301383	47	1646871	50	9969302	49	1034909	49
6500	49	1330637	47	2272465	51	1300983	47	1275344	50	9976616	49	1069268	49
6000	49	1025593	47	2300698	51	1300906	47	9930180	49	9982016	49	1095936	49
5500	49	8070959	46	2322693	51	1300976	47	7730670	49	9986131	49	1117052	49
5000	49	6444317	46	2340124	51	1301111	47	5987540	49	9989339	49	1133998	49
4500	49	5193015	46	2354111	51	1301268	47	4588820	49	9991877	49	1147734	49
4000	49	4202131	46	2365410	51	1301427	47	3458990	49	9993906	49	1158910	49
3500	49	3396343	46	2374548	51	1301576	47	2545140	49	9995533	49	1168024	49
3000	49	2724373	46	2381912	51	1301708	47	1808730	49	9996835	49	1175399	49
2500	49	2150027	46	2387776	51	1301822	47	1222350	49	9997866	49	1181297	49
2000	49	1646876	46	2392346	51	1301916	47	7653600	48	9998666	49	1185909	49
1500	49	1194876	46	2395768	51	1301989	47	4231900	48	9999263	49	1189370	49
1000	49	7781978	45	2398141	51	1302041	47	1859000	48	9999676	49	1191775	49
5000	48	3837354	45	2399539	51	1302072	47	4607000	47	9999919	49	1193194	49
0000	00	0000000	00	2400000	51	1302083	47	0000000	00	1000000	50	1193662	49

Compton Cross Sections vs. Angle of Recoil Electron

26 51 = $\gamma$			$\sigma_s(w', \phi)$		$\gamma'$		$\sigma_s(\gamma')$		E		w		$\sigma_s(w, \phi)$	
w'			$\phi_0$				$\phi_0$						$\phi_0$	
10 00	50		3 284 865	50	4 905 660	49	2 941 135	48	2 550 943	51	1 000 000	50*	1 126 497	47
99 90	49		1 248 716	50	1 174 526	50	1 176 964	48	2 482 547	51	1 870 547	49	2 584 099	47
99 80	49		7 590 905	49	1 824 665	50	7 522 119	47	2 417 533	51	4 904 159	49	3 985 904	47
99 70	49		5 400 828	49	2 443 432	50	5 619 809	47	2 355 656	51	6 292 010	49	5 340 011	47
99 60	49		4 163 560	49	3 033 044	50	4 543 957	47	2 296 695	51	7 087 598	49	6 652 914	47
99 50	49		3 370 731	49	3 595 507	50	3 854 094	47	2 240 449	51	7 603 367	49	7 929 811	47
99 40	49		2 820 699	49	4 132 662	50	3 375 378	47	2 186 733	51	7 964 868	49	9 174 927	47
99 30	49		2 417 562	49	4 646 167	50	3 024 639	47	2 135 383	51	8 232 304	49	10 391 624	48
99 20	49		2 109 941	49	5 137 562	50	2 757 243	47	2 086 243	51	8 438 166	49	11 582 694	48
99 10	49		1 867 834	49	5 608 247	50	2 547 112	47	2 039 175	51	8 601 526	49	12 750 364	48
99 00	49		1 672 551	49	6 059 484	50	2 377 995	47	1 994 051	51	8 734 309	49	13 896 404	48
98 50	49		1 080 652	49	8 062 329	50	1 870 086	47	1 793 767	51	9 144 279	49	19 346 524	48
98 00	49		7 836 097	48	9 722 364	50	1 621 787	47	1 627 763	51	9 356 058	49	24 398 204	48
97 50	49		6 061 943	48	11 120 660	51	1 478 610	47	1 487 939	51	9 485 383	49	29 102 554	48
97 00	49		4 887 260	48	12 314 441	51	1 387 564	47	1 368 558	51	9 572 559	49	33 488 914	48
96 50	49		4 054 800	48	1 334 553	51	1 325 756	47	1 265 446	51	9 635 301	49	37 579 914	48
96 00	49		3 435 879	48	1 424 506	51	1 281 774	47	1 175 493	51	9 682 618	49	41 396 214	48
95 50	49		2 959 078	48	1 503 668	51	1 249 338	47	1 096 331	51	9 719 574	49	44 957 704	48
95 00	49		2 581 573	48	1 573 862	51	1 224 738	47	1 026 137	51	9 749 235	49	48 283 314	48
94 50	49		2 276 153	48	1 636 653	51	1 205 650	47	963 465	50	9 773 567	49	51 391 554	48
94 00	49		2 024 660	48	1 692 825	51	1 190 559	47	907 174	50	9 793 886	49	54 299 484	48
93 50	49		1 814 534	48	1 743 662	51	1 178 438	47	856 337	50	9 811 109	49	57 023 274	48
93 00	49		1 636 791	48	1 789 797	51	1 168 570	47	810 202	50	9 825 893	49	59 577 604	48
92 50	49		1 484 854	48	1 831 856	51	1 160 441	47	768 143	50	9 838 721	49	61 976 394	48
92 00	49		1 353 781	48	1 870 353	51	1 153 676	47	729 646	50	9 849 956	49	64 232 014	48
91 50	49		1 239 794	48	1 905 718	51	1 147 996	47	694 281	50	9 859 878	49	66 355 724	48
91 00	49		1 139 963	48	1 938 321	51	1 143 188	47	661 678	50	9 868 704	49	68 358 004	48
90 50	49		1 051 970	48	1 968 467	51	1 139 090	47	631 532	50	9 876 606	49	70 248 164	48
90 00	49		973 972	47	1 996 428	51	1 135 574	47	603 571	50	9 883 720	49	72 034 974	48
85 00	49		514 892	47	2 193 991	51	1 117 629	47	406 009	50	9 928 824	49	85 622 444	48
80 00	49		3 177 578	47	2 308 032	51	1 111 962	47	2 919 671	50	9 951 345	49	9 427 452	48
75 00	49		2 147 054	47	2 381 937	51	1 109 827	47	2 180 630	50	9 964 788	49	10 021 374	49
70 00	49		1 539 343	47	2 433 448	51	1 108 982	47	1 665 511	50	9 973 675	49	10 451 784	49
65 00	49		1 150 010	47	2 471 171	51	1 108 678	47	1 288 286	50	9 979 948	49	10 778 344	49
60 00	49		884 826	46	2 499 778	51	1 108 615	47	1 002 211	50	9 984 579	49	11 028 664	49
55 00	49		6 953 598	46	2 522 027	51	1 108 663	47	7 797 250	49	9 988 108	49	11 223 274	49
50 00	49		5 546 069	46	2 539 641	51	1 108 759	47	6 035 860	49	9 990 859	49	11 301 374	49
45 00	49		4 465 228	46	2 553 760	51	1 108 873	47	4 623 940	49	9 993 036	49	11 509 664	49
40 00	49		3 610 629	46	2 565 159	51	1 108 988	47	3 484 100	49	9 994 775	49	11 613 004	49
35 00	49		2 916 567	46	2 574 371	51	1 109 097	47	2 562 890	49	9 996 170	49	11 698 854	49
30 00	49		2 338 417	46	2 581 788	51	1 109 193	47	1 821 140	49	9 997 287	49	11 767 004	49
25 00	49		1 844 746	46	2 587 694	51	1 109 277	47	1 230 550	49	9 998 171	49	11 821 074	49
20 00	49		1 412 624	46	2 592 296	51	1 109 345	47	7 703 800	48	9 998 856	49	11 864 604	49
15 00	49		1 024 692	46	2 595 741	51	1 109 398	47	4 258 600	48	9 999 368	49	11 896 014	49
10 00	49		667 258	45	2 598 128	51	1 109 437	47	1 871 200	48	9 999 722	49	11 919 114	49
5 000	48		3 290 002	45	2 599 533	51	1 109 459	47	4 664 000	47	9 999 931	49	11 938 284	49
0 000	00		0 000 000	00	2 600 000	51	1 109 467	47	0 000 000	00	1 000 000	50	11 936 004	49



Compton Cross Sections vs. Angle of Recoil Electron

28 51 = $\gamma$		$\sigma_i(w', \phi)$		$\gamma'$		$\sigma_i(\gamma')$		E		w		$\sigma_i(w, \phi)$	
w'		$\phi_o$				$\phi_o$						$\phi_o$	
1000	50	3523434	50	4912280	49	2727242	48	2750877	51	1000000	50*	1047394	47
9990	49	1226265	50	1280862	50	1003078	48	2671913	51	2549903	49	2619149	47
9980	49	7297717	49	2028604	50	6299251	47	2597139	51	5427646	49	4125758	47
9970	49	5140231	49	2737707	50	4675450	47	2526229	51	6704451	49	5577216	47
9960	49	3938562	49	3411092	50	3769956	47	2458890	51	7425531	49	6981416	47
9950	49	3175193	49	4051378	50	3194320	47	2394862	51	7888847	49	8344574	47
9940	49	2648740	49	4660962	50	2797251	47	2333903	51	8211662	49	9671698	47
9930	49	2264572	49	5241977	50	2507642	47	2275802	51	8449465	49	1096670	48
9920	49	1972417	49	5796406	50	2287642	47	2220359	51	8631935	49	1223279	48
9910	49	1743103	49	6326035	50	2115272	47	2167396	51	8776373	49	1347254	48
9900	49	1558550	49	6832468	50	1976904	47	2116753	51	8893542	49	1468794	48
9850	49	1001494	49	9064918	50	1563587	47	1893508	51	9253988	49	2044891	48
9800	49	7233184	48	1089644	51	1363120	47	1710355	51	9439411	49	2575868	48
9750	49	5576613	48	1242608	51	1248211	47	1557391	51	9552383	49	3067444	48
9700	49	4482245	48	1372275	51	1175496	47	1427724	51	9628425	49	3523090	48
9650	49	3708273	48	1483587	51	1126336	47	1316412	51	9683100	49	3945613	48
9600	49	3133970	48	1580178	51	1091480	47	1219821	51	9724303	49	4337589	48
9550	49	2692420	48	1664785	51	1065856	47	1135214	51	9756465	49	4701491	48
9500	49	2343542	48	1739509	51	1046475	47	1060491	51	9782267	49	5039672	48
9450	49	2061841	48	1805977	51	1031475	47	9940228	50	9803426	49	5354309	48
9400	49	1830347	48	1865487	51	1019642	47	9345123	50	9821090	49	5647453	48
9350	49	1637310	48	1919076	51	1010156	47	8809231	50	9836058	49	5920977	48
9300	49	1474338	48	1967582	51	1002447	47	8324173	50	9848904	49	6176575	48
9250	49	1335279	48	2011692	51	9961081	46	7883075	50	9860049	49	6415785	48
9200	49	1215534	48	2051981	51	9908401	46	7480186	50	9869808	49	6640038	48
9150	49	1111577	48	2088917	51	9864232	46	7110825	50	9878426	49	6850559	48
9100	49	1020679	48	2122904	51	9826893	46	6770960	50	9886090	49	7048505	48
9050	49	9406925	47	2154281	51	9795097	46	6457183	50	9892951	49	7234921	48
9000	49	8698960	47	2183335	51	9767848	46	6166647	50	9899128	49	7410711	48
8500	49	4557535	47	2387382	51	9629283	46	4126179	50	9938274	49	8734900	48
8000	49	2797016	47	2504189	51	9585745	46	2958108	50	9957011	49	9567099	48
7500	49	1882855	47	2579501	51	9569364	46	2204988	50	9969470	49	1013385	49
7000	49	1346330	47	2631822	51	9562876	46	1601777	50	9977177	49	1054197	49
6500	49	1003820	47	2670042	51	9560517	46	1299574	50	9982616	49	1084770	49
6000	49	7711714	46	2698976	51	9560006	46	1010238	50	9986632	49	1108348	49
5500	49	6053207	46	2721452	51	9560343	46	7854760	49	9989691	49	1126925	49
5000	49	4823345	46	2739224	51	9561053	46	6077570	49	9992076	49	1141776	49
4500	49	3880374	46	2753456	51	9561897	46	4654330	49	9993963	49	1153773	49
4000	49	3135757	46	2764937	51	9562755	46	3506270	49	9995471	49	1163519	49
3500	49	2531714	46	2774218	51	9563561	46	2578140	49	9996680	49	1171442	49
3000	49	2029025	46	2781681	51	9564283	46	1831900	49	9997648	49	1177842	49
2500	49	1600159	46	2787628	51	9564904	46	1237150	49	9998414	49	1182961	49
2000	49	1225015	46	2792252	51	9565416	46	7747900	48	9999009	49	1186952	49
1500	49	8884372	45	2795718	51	9565814	46	4201900	48	9999452	49	1189950	49
1000	49	5784565	45	2798119	51	9566099	46	1800300	48	9999759	49	1192031	49
5000	48	2851927	45	2799529	51	9566269	46	4703000	47	9999940	49	1193254	49
0000	00	0000000	00	2800000	51	9566326	46	0000000	00	1000000	50	1193662	49

30 51 = $\gamma$		$\sigma_1(w, \phi)$		$\gamma'$		$\sigma_2(\gamma')$		E		w		$\sigma_1(w, \phi)$	
w'		$\phi_0$				$\phi_0$						$\phi_0$	
1000	50	3762024	50	4918032	49	2542349	48	2950819	51	1000000	50*	9786745	46
9990	49	1200676	50	1394467	50	8608360	47	2860553	51	3162135	49	2664141	47
9980	49	7011334	49	2246017	50	5324043	47	2775398	51	5881008	49	4274527	47
9970	49	4895132	49	3050683	50	3930556	47	2694931	51	7055378	49	5821949	47
9960	49	3730830	49	3812233	50	3162895	47	2618776	51	7710199	49	7315834	47
9950	49	2996692	49	4534028	50	2678490	47	2546597	51	8127789	49	8763521	47
9940	49	2492976	49	5219118	50	2346073	47	2478088	51	8417300	49	1017082	48
9930	49	2126778	49	5870207	50	2104567	47	2412979	51	8629816	49	1154223	48
9920	49	1849099	49	6489792	50	1921684	47	2351020	51	8792451	49	1288142	48
9910	49	1631651	49	7080100	50	1778775	47	2291989	51	8920924	49	1419122	48
9900	49	1456978	49	7643136	50	1664317	47	2235686	51	9024970	49	1547389	48
9850	49	9316119	48	1010871	51	1324088	47	1989128	51	9344088	49	2153422	48
9800	49	6703671	48	1211175	51	1160258	47	1788824	51	9507689	49	2708873	48
9750	49	5151938	48	1377119	51	1066866	47	1622880	51	9607179	49	3220130	48
9700	49	4128927	48	1516840	51	1008035	47	1483160	51	9674068	49	3691267	48
9650	49	3406816	48	1636095	51	9684148	46	1363904	51	9722121	49	4125710	48
9600	49	2872030	48	1739068	51	9404155	46	1260931	51	9758313	49	4526614	48
9550	49	2461667	48	1828881	51	9198916	46	1171118	51	9786551	49	4896974	48
9500	49	2138064	48	1907900	51	9044080	46	1092099	51	9809196	49	5239574	48
9450	49	1877282	48	1977956	51	8924519	46	1022043	51	9827761	49	5556974	48
9400	49	1663394	48	2040494	51	8830390	46	9595057	50	9843255	49	5851548	48
9350	49	1485366	48	2096654	51	8755077	46	9033456	50	9856383	49	6125391	48
9300	49	1335343	48	2147368	51	8693970	46	8526318	50	9867647	49	6380450	48
9250	49	1207564	48	2193389	51	8643790	46	8066103	50	9877417	49	6618444	48
9200	49	1097711	48	2235334	51	8602154	46	7646655	50	9885972	49	6840886	48
9150	49	1002499	48	2273722	51	8567284	46	7262771	50	9893526	49	7049176	48
9100	49	9193781	47	2308987	51	8537839	46	6910129	50	9900243	49	7244545	48
9050	49	8463426	47	2341496	51	8512791	46	6585037	50	9906255	49	7428122	48
9000	49	7817900	47	2371554	51	8491345	46	6284454	50	9911668	49	7600862	48
8500	49	4062786	47	2581495	51	8382654	46	4185043	50	9945961	49	8890874	48
8000	49	2481027	47	2700780	51	8348657	46	2992195	50	9963069	49	9692043	48
7500	49	1664614	47	2777350	51	8335884	46	2226491	50	9973277	49	1023371	49
7000	49	1187480	47	2830388	51	8330820	46	1696111	50	9980024	49	1062184	49
6500	49	8838380	46	2869050	51	8328966	46	1309492	50	9984785	49	1091158	49
6000	49	6780894	46	2898270	51	8328548	46	1017293	50	9988300	49	1113441	49
5500	49	5317002	46	2920941	51	8328790	46	7905820	49	9990978	49	1130961	49
5000	49	4233207	46	2938857	51	8329323	46	6114290	49	9993065	49	1144950	49
4500	49	3403342	46	2953194	51	8329962	46	4680520	49	9994716	49	1156238	49
4000	49	2748778	46	2964752	51	8330613	46	3524790	49	9996036	49	1165397	49
3500	49	2218292	46	2974080	51	8331226	46	2591910	49	9997095	49	1172828	49
3000	49	1777214	46	2981591	51	8331776	46	1840830	49	9997941	49	1178837	49
2500	49	1401173	46	2987568	51	8332249	46	1243130	49	9998612	49	1183636	49
2000	49	1072445	46	2992217	51	8332638	46	7782800	48	9999132	49	1187377	49
1500	49	7776555	45	2995695	51	8332942	46	4304800	48	9999521	49	1190183	49
1000	49	5062702	45	2998111	51	8333160	46	1888800	48	9999789	49	1192134	49
5000	48	2495871	45	2999532	51	8333290	46	4679000	47	9999947	49	1193283	49
0000	00	0000000	00	3000000	51	8333333	46	0000000	00	1000000	50	1193662	49

Compton Cross Sections vs. Angle of Recoil Electron

32 51 = $\gamma$		$\sigma_1(w', \phi)$		$\gamma'$	$\sigma_2(\gamma')$		E	w		$\sigma_1(w, \phi)$			
w'		$\phi_0$			$\phi_0$			$\phi_0$					
1000	50	4000632	50	4923076	49	2380934	48	3150769	51	1000000	50*	9184188	46
9990	49	1173027	50	1515309	50	7435191	47	3048469	51	3713187	49	2717158	47
9980	49	6734959	49	2476758	50	4537816	47	2952324	51	6274964	49	4430313	47
9970	49	4665710	49	3382091	50	3335581	47	2861790	51	7355750	49	6072429	47
9960	49	3539351	49	4236049	50	2680260	47	2776395	51	7951809	49	7654541	47
9950	49	2833600	49	5042671	50	2269489	47	2695732	51	8329424	49	9184798	47
9940	49	2351715	49	5806401	50	1988721	47	2619359	51	8590263	49	1067107	48
9930	49	2002345	49	6529767	50	1785555	47	2547023	51	8781051	49	1211683	48
9920	49	1738094	49	7216220	50	1632138	47	2478378	51	8926733	49	1352685	48
9910	49	1531648	49	7868823	50	1512487	47	2413117	51	9041662	49	1490498	48
9900	49	1366090	49	8489793	50	1416851	47	2351020	51	9134615	49	1625319	48
9850	49	8695483	48	1119105	51	1133902	47	2080894	51	9418928	49	2260152	48
9800	49	6235621	48	1336530	51	9985408	46	1863469	51	9564294	49	2838857	48
9750	49	4777680	48	1515243	51	9217898	46	1684756	51	9652540	49	3368347	48
9700	49	3818512	48	1664796	51	8736332	46	1535203	51	9711825	49	3853644	48
9650	49	3142601	48	1791716	51	8413281	46	1408283	51	9754375	49	4298571	48
9600	49	2643076	48	1900844	51	8185605	46	1299155	51	9786417	49	4707215	48
9550	49	2260416	48	1995601	51	8019240	46	1204398	51	9811397	49	5082777	48
9500	49	1959301	48	2078716	51	7893974	46	1121283	51	9831434	49	5428833	48
9450	49	1717060	48	2152148	51	7797486	46	1047851	51	9847847	49	5748031	48
9400	49	1518786	48	2217550	51	7721631	46	9824494	50	9861551	49	6043329	48
9350	49	1354014	48	2276105	51	7661077	46	9238948	50	9873153	49	6316763	48
9300	49	1215439	48	2328901	51	7611984	46	8710986	50	9883112	49	6570830	48
9250	49	1097574	48	2376680	51	7571757	46	8233200	50	9891744	49	6807039	48
9200	49	9964343	47	2420182	51	7538395	46	7798176	50	9899308	49	7027409	48
9150	49	9088841	47	2459897	51	7510508	46	7401025	50	9905979	49	7233083	48
9100	49	8325850	47	2496361	51	7486961	46	7036384	50	9911917	49	7425756	48
9050	49	7656135	47	2529890	51	7466973	46	6701093	50	9917226	49	7506208	48
9000	49	7065159	47	2560885	51	7449856	46	6391150	50	9922010	49	7775855	48
8500	49	3644658	47	2776220	51	7363394	46	4237800	50	9952297	49	9032457	48
8000	49	2215783	47	2897744	51	7336463	46	3022556	50	9967403	49	9804536	48
7500	49	1482253	47	2975437	51	7326360	46	2245622	50	9976415	49	1032310	49
7000	49	1055175	47	3029109	51	7322351	46	1708903	50	9982370	49	1069302	49
6500	49	7841524	46	3068171	51	7320873	46	1318283	50	9986572	49	1096837	49
6000	49	6009013	46	3097653	51	7320529	46	1023465	50	9989674	49	1117965	49
5500	49	4707395	46	3120494	51	7320708	46	7950520	49	9992038	49	1134540	49
5000	49	3745114	46	3138534	51	7321115	46	6146510	49	9993880	49	1147760	49
4500	49	3009158	46	3152962	51	7321608	46	4703720	49	9995337	49	1158415	49
4000	49	2429234	46	3164577	51	7322111	46	3542300	49	9996502	49	1167045	49
3500	49	1959676	46	3173968	51	7322586	46	2603160	49	9997436	49	1174058	49
3000	49	1569526	46	3181511	51	7323011	46	1848840	49	9998183	49	1179714	49
2500	49	1237121	46	3187515	51	7323378	46	1248490	49	9998775	49	1184230	49
2000	49	9466995	45	3192185	51	7323680	46	7814500	48	9999234	49	1187751	49
1500	49	6863727	45	3195674	51	7323915	46	4325700	48	9999577	49	1190387	49
1000	49	4467998	45	3198106	51	7324084	46	1893300	48	9999814	49	1192228	49
5000	48	2202550	45	3199329	51	7324185	46	4710000	47	9999954	49	1193305	49
0000	00	0000000	00	3200000	51	7324218	46	0000000	00	1000000	50	1193662	49

Compton Cross Sections vs. Angle of Recoil Electron

34 51 = $\gamma$		$\sigma_s(w', \phi)$		$\gamma'$		$\sigma_s(\gamma')$		E		w		$\sigma_s(w, \phi)$	
w'		$\phi_s$				$\phi_s$						$\phi_s$	
1000	50	4239255	50	4927536	49	2238792	48	3350724	51	1000000	50*	8651542	46
9990	49	1144120	50	1643386	50	6460149	47	3235661	51	4209121	49	2776784	47
9980	49	6470109	49	2720725	50	3897517	47	3127927	51	6618628	49	4591745	47
9970	49	4451434	49	3731604	50	2854960	47	3026839	51	7614304	49	6327198	47
9960	49	3362812	49	4681951	50	2291913	47	2931804	51	8158256	49	7995988	47
9950	49	2684524	49	5576854	50	1940956	47	2842314	51	8500991	49	9607589	47
9940	49	2223176	49	6421660	50	1702028	47	2757834	51	8736887	49	1117073	48
9930	49	1889651	49	7219577	50	1529669	47	2678042	51	8908995	49	1268940	48
9920	49	1637932	49	7974808	50	1399835	47	2602519	51	9040169	49	1416894	48
9910	49	1441620	49	8690991	50	1298794	47	2530900	51	9143501	49	1561346	48
9900	49	1284415	49	9370836	50	1218186	47	2462916	51	9226977	49	1702513	48
9850	49	8141641	48	1230997	51	9806723	46	2169003	51	9481767	49	2365146	48
9800	49	5819440	48	1465436	51	8677525	46	1934563	51	9611727	49	2965855	48
9750	49	4445967	48	1656727	51	8040353	46	1743272	51	9690518	49	3512346	48
9700	49	3544026	48	1815842	51	7642152	46	1584157	51	9743408	49	4010439	48
9650	49	2909594	48	1950189	51	7375928	46	1449810	51	9781346	49	4464681	48
9600	49	2441591	48	2065204	51	7188846	46	1334795	51	9809904	49	4879836	48
9550	49	2083764	48	2164705	51	7052479	46	1235294	51	9832160	49	5259682	48
9500	49	1802711	48	2251696	51	6950031	46	1148303	51	9850008	49	5608238	48
9450	49	1577023	48	2328328	51	6871277	46	1071671	51	9864625	49	5928518	48
9400	49	1392636	48	2396417	51	6809463	46	1003583	51	9876827	49	6223831	48
9350	49	1239666	48	2457234	51	6760199	46	9427660	50	9887156	49	6496398	48
9300	49	1111229	48	2511959	51	6720315	46	8880409	50	9896022	49	6748930	48
9250	49	1002160	48	2561392	51	6687675	46	8386076	50	9903705	49	6983089	48
9200	49	9087127	47	2606334	51	6660631	46	7936658	50	9910436	49	7201048	48
9150	49	8279358	47	2647298	51	6638052	46	7527020	50	9916373	49	7404000	48
9100	49	7576330	47	2684854	51	6619005	46	7151454	50	9921657	49	7593716	48
9050	49	6960052	47	2719344	51	6602851	46	6806552	50	9926382	49	7771059	48
9000	49	6416901	47	2751193	51	6589028	46	6488067	50	9930638	49	7937499	48
8500	49	3288047	47	2971453	51	6519396	46	4285466	50	9957582	49	9161474	48
8000	49	1990944	47	3095010	51	6497787	46	3049892	50	9971017	49	9906265	48
7500	49	1328318	47	3173730	51	6489690	46	2262698	50	9979030	49	1040361	49
7000	49	9438219	46	3227976	51	6486474	46	1720240	50	9984326	49	1075695	49
6500	49	7004318	46	3267390	51	6485284	46	1326096	50	9988062	49	1101922	49
6000	49	5361809	46	3297102	51	6485000	46	1028979	50	9990820	49	1122005	49
5500	49	4196932	46	3320101	51	6485132	46	7989890	49	9992921	49	1137735	49
5000	49	3336811	46	3338244	51	6485450	46	6175550	49	9994559	49	1150261	49
4500	49	2679682	46	3352749	51	6485836	46	4725030	49	9995855	49	1160348	49
4000	49	2162356	46	3364435	51	6486231	46	3556410	49	9996890	49	1168522	49
3500	49	1743772	46	3373857	51	6486604	46	2614270	49	9997721	49	1175143	49
3000	49	1396219	46	3381432	51	6486939	46	1856740	49	9998385	49	1180487	49
2500	49	1100281	46	3387469	51	6487227	46	1253090	49	9998911	49	1184758	49
2000	49	8418389	45	3392157	51	6487465	46	7842700	48	9999319	49	1188084	49
1500	49	6102686	45	3395659	51	6487650	46	4341000	48	9999624	49	1190572	49
1000	49	3972221	45	3398093	51	6487783	46	1906300	48	9999835	49	1192304	49
5000	48	1958054	45	3399526	51	6487862	46	4739000	47	9999959	49	1193324	49
0000	00	0000000	00	3400000	51	6487889	46	0000000	00	1000000	50	1193662	49

## Compton Cross Sections vs. Angle of Recoil Electron

36 51 = $\gamma$		$\sigma_c(w, \phi)$		$\gamma'$		$\sigma_c(\gamma')$		E		w		$\sigma_c(w, \phi)$	
w'		$\phi_0$				$\phi_0$						$\phi_0$	
1000	50	4477890	50	4931506	49	2112665	48	3550684	51	1000000	50*	8177301	46
9990	49	1114627	50	1778602	50	5644313	47	3422139	51	4655384	49	2841769	47
9980	49	6217909	49	2977723	50	3371320	47	3302227	51	6919508	49	4757611	47
9970	49	4251650	49	4098935	50	2462670	47	3190106	51	7838120	49	6585194	47
9960	49	3199986	49	5149559	50	1975925	47	3085044	51	8335863	49	8339324	47
9950	49	2547970	49	6135836	50	1674042	47	2986416	51	8648008	49	1003076	48
9940	49	2105995	49	7064203	50	1469250	47	2893579	51	8862190	49	1166923	48
9930	49	1787268	49	7938683	50	1321916	47	2806131	51	9018123	49	1325930	48
9920	49	1547265	49	8764512	50	1211153	47	2723548	51	9136813	49	1480726	48
9910	49	1360243	49	9545138	50	1125187	47	2645486	51	9230124	49	1631584	48
9900	49	1210718	49	1028475	51	1056692	47	2571524	51	9305465	49	1778922	48
9850	49	7644777	48	1346317	51	8556429	46	2253682	51	9535011	49	2468355	48
9800	49	5447363	48	1597646	51	7606159	46	2002353	51	9651857	49	3089917	48
9750	49	4150211	48	1801289	51	7072395	46	1798710	51	9722620	49	3652193	48
9700	49	3299883	48	1969706	51	6740076	46	1630293	51	9770088	49	4161866	48
9650	49	2702841	48	2111233	51	6518593	46	1488766	51	9804121	49	4624305	48
9600	49	2263218	48	2231899	51	6363378	46	1368100	51	9829729	49	5044955	48
9550	49	1927719	48	2335931	51	6250501	46	1264068	51	9849682	49	5428191	48
9500	49	1664678	48	2426602	51	6165880	46	1173397	51	9865679	49	5778466	48
9450	49	1453841	48	2506273	51	6100941	46	1093726	51	9878778	49	6099213	48
9400	49	1281872	48	2576882	51	6050062	46	1023117	51	9889712	49	6393951	48
9350	49	1139453	48	2639833	51	6009562	46	9601666	50	9898965	49	6665243	48
9300	49	1020055	48	2696364	51	5976821	46	9036358	50	9906908	49	6915881	48
9250	49	9188233	47	2747352	51	5950053	46	8526475	50	9913790	49	7147756	48
9200	49	8322051	47	2793625	51	5927903	46	8063744	50	9919819	49	7363048	48
9150	49	7574350	47	2835746	51	5909426	46	7642531	50	9925137	49	7563109	48
9100	49	6924426	47	2874316	51	5893854	46	7256833	50	9929869	49	7749768	48
9050	49	6355418	47	2909702	51	5880654	46	6902978	50	9934100	49	7923970	48
9000	49	5854474	47	2942338	51	5869369	46	6576620	50	9937912	49	8087171	48
8500	49	2981466	47	3167145	51	5812657	46	4328550	50	9962035	49	9279632	48
8000	49	1798714	47	3292552	51	5795120	46	3074480	50	9974061	49	9998800	48
7500	49	1197179	47	3372183	51	5788557	46	2278166	50	9981234	49	1047641	49
7000	49	8492150	46	3426960	51	5785948	46	1730396	50	9985973	49	1081465	49
6500	49	6294384	46	3466687	51	5784978	46	1333122	50	9989317	49	1106499	49
6000	49	4813800	46	3496604	51	5784742	46	1033960	50	9991785	49	1125633	49
5500	49	3765208	46	3519741	51	5784843	46	8025850	49	9993666	49	1140599	49
5000	49	2991837	46	3537997	51	5785093	46	6200270	49	9995131	49	1152512	49
4500	49	2401508	46	3552564	51	5785400	46	4743530	49	9996291	49	1162084	49
4000	49	1937150	46	3564302	51	5785714	46	3569720	49	9997217	49	1169839	49
3500	49	1561686	46	3573767	51	5786011	46	2623290	49	9997960	49	1176120	49
3000	49	1250115	46	3581369	51	5786278	46	1863030	49	9998555	49	1181184	49
2500	49	9849476	45	3587421	51	5786509	46	1257890	49	9999026	49	1185226	49
2000	49	7534795	45	3592124	51	5786698	46	7875400	48	9999391	49	1188375	49
1500	49	5461560	45	3595650	51	5786846	46	4349300	48	9999663	49	1190740	49
1000	49	3554611	45	3598082	51	5786952	46	1917100	48	9999852	49	1192373	49
5000	48	1752117	45	3599520	51	5787015	46	4795000	47	9999963	49	1193339	49
0000	00	0000000	00	3600000	51	5787037	46	0000000	00	1000000	50	1195662	49

Compton Cross Sections vs. Angle of Recoil Electron

38 51 = $\gamma$		$\sigma_1(w, \phi)$		$\gamma'$		$\sigma_2(\gamma')$		E		w		$\sigma_1(w, \phi)$	
w'		$\phi_0$				$\phi_0$						$\phi_0$	
1000	50	4716535	50	4935064	49	1999991	48	3750649	51	1000000	50*	7752360	46
9990	49	1084950	50	1921013	50	4956952	47	3607898	51	5057570	49	2911357	47
9980	49	5978518	49	3247637	50	2935156	47	3475234	51	7184014	49	4927103	47
9970	49	4065472	49	4483806	50	2139425	47	3351619	51	8032910	49	6845591	47
9960	49	3049514	49	5638180	50	1716289	47	3236182	51	8489536	49	8683376	47
9950	49	2422645	49	6719003	50	1454915	47	3128099	51	8774842	49	1045364	48
9940	49	1998794	49	7732965	50	1278254	47	3026703	51	8969992	49	1216549	48
9930	49	1693987	49	8686053	50	1151404	47	2931394	51	9111886	49	1382588	48
9920	49	1464773	49	9583621	50	1056266	47	2841637	51	9219710	49	1544019	48
9910	49	1286406	49	1042999	51	9825640	46	2757000	51	9304385	49	1701177	48
9900	49	1143957	49	1123012	51	9239332	46	2676987	51	9372695	49	1854513	48
9850	49	7196970	48	1464873	51	7524501	46	2335126	51	9580505	49	2569792	48
9800	49	5113059	48	1732937	51	6718449	46	2067062	51	9686102	49	3211107	48
9750	49	3885138	48	1948691	51	6267651	46	1851308	51	9749993	49	3788010	48
9700	49	3081589	48	2126158	51	5987978	46	1673841	51	9792826	49	4308137	48
9650	49	2518390	48	2274614	51	5802142	46	1525385	51	9823523	49	4777758	48
9600	49	2104444	48	2400713	51	5672232	46	1399286	51	9846614	49	5203010	48
9550	49	1789105	48	2509064	51	5577976	46	1290935	51	9864602	49	5588824	48
9500	49	1542316	48	2603238	51	5507445	46	1196761	51	9879021	49	5940161	48
9450	49	1344850	48	2685783	51	5453411	46	1114217	51	9890826	49	6260805	48
9400	49	1184055	48	2758781	51	5411139	46	1041218	51	9900678	49	6554357	48
9350	49	1051101	48	2823734	51	5377535	46	9762651	50	9909016	49	6824192	48
9300	49	9398051	47	2881961	51	5350403	46	9180385	50	9916172	49	7072663	48
9250	49	8455745	47	2934393	51	5328246	46	8656062	50	9922372	49	7301989	48
9200	49	7650622	47	2981924	51	5309923	46	8180755	50	9927803	49	7514828	48
9150	49	6956504	47	3025133	51	5294653	46	7748662	50	9932593	49	7711642	48
9100	49	6353842	47	3064646	51	5281797	46	7353534	50	9936855	49	7895191	48
9050	49	5826794	47	3100853	51	5270910	46	6991469	50	9940666	49	8066183	48
9000	49	5363294	47	3134217	51	5261605	46	6657824	50	9944099	49	8226151	48
8500	49	2715919	47	3363211	51	5214952	46	4367890	50	9965823	49	9388122	48
8000	49	1633059	47	3490317	51	5200570	46	3096826	50	9976650	49	1000326	49
7500	49	1084558	47	3570792	51	5195194	46	2292077	50	9983108	49	1054268	49
7000	49	7681489	46	3626027	51	5193057	46	1739724	50	9987374	49	1086689	49
6500	49	5687173	46	3666053	51	5192259	46	1339466	50	9990384	49	1110641	49
6000	49	4345699	46	3696148	51	5192061	46	1038514	50	9992606	49	1128908	49
5500	49	3396839	46	3719423	51	5192138	46	8057680	49	9994298	49	1143187	49
5000	49	2697702	46	3737760	51	5192338	46	6223970	49	9995617	49	1154532	49
4500	49	2164510	46	3752403	51	5192584	46	4759700	49	9996661	49	1163650	49
4000	49	1745379	46	3764183	51	5192838	46	3581690	49	9997495	49	1171088	49
3500	49	1406699	46	3773686	51	5193078	46	2631390	49	9998164	49	1177000	49
3000	49	1125803	46	3781320	51	5193293	46	1867970	49	9998699	49	1181816	49
2500	49	8868415	45	3787378	51	5193479	46	1262180	49	9999123	49	1185640	49
2000	49	6783380	45	3792103	51	5193632	46	7896700	48	9999452	49	1188643	49
1500	49	4916368	45	3795629	51	5193752	46	4370300	48	9999697	49	1190882	49
1000	49	3199568	45	3798080	51	5193837	46	1919500	48	9999867	49	1192440	49
5000	48	1577046	45	3799523	51	5193888	46	4765000	47	9999967	49	1193350	49
0000	00	0000000	00	3800000	51	5193906	46	0000000	00	1000000	50	1193662	48

Compton Cross Sections vs. Angle of Recoil Electron

40 51 = $\gamma$		$\sigma_s(w', \phi)$		$\gamma'$		$\sigma_s(\gamma')$		E		w		$\sigma_s(w, \phi)$	
w'		$\phi_0$				$\phi_0$						$\phi_0$	
1000	50	4955189	50	4938271	49	1898726	48	3950617	51	1000000	50*	7369407	45
9990	49	1055497	50	2070493	50	4374520	47	3792950	51	5420232	49	2984682	47
9980	49	5751839	49	3530385	50	2570778	47	3646961	51	7417447	49	5099515	47
9970	49	3891909	49	4885980	50	1870730	47	3511401	51	8203327	49	7107794	47
9960	49	2910689	49	6148076	50	1500807	47	3385192	51	8623474	49	9028666	47
9950	49	2307379	49	7325735	50	1273302	47	3267424	51	8884953	49	1087568	48
9940	49	1900652	49	8427709	50	1119937	47	3157229	51	9063437	49	1265998	48
9930	49	1608725	49	9460818	50	1010062	47	3053918	51	9193009	49	1438883	48
9920	49	1389477	49	1043093	51	9278452	46	2956906	51	9291313	49	1606726	48
9910	49	1219234	49	1134476	51	8641803	46	2865523	51	9368535	49	1770171	48
9900	49	1083256	49	1220560	51	8136810	46	2779439	51	9430704	49	1929268	48
9850	49	6791622	48	1586480	51	6663997	46	2413519	51	9619673	49	2669466	48
9800	49	4811296	48	1871099	51	5975332	46	2128900	51	9715555	49	3329477	48
9750	49	3646450	48	2098724	51	5591760	46	1901276	51	9773520	49	3919939	48
9700	49	2885458	48	2284983	51	5354601	46	1715016	51	9812360	49	4449521	48
9650	49	2353030	48	2440131	51	5197456	46	1559868	51	9840186	49	4925354	48
9600	49	1962400	48	2571441	51	5087868	46	1428558	51	9861112	49	5354379	48
9550	49	1665353	48	2683922	51	5008521	46	1316077	51	9877411	49	5742084	48
9500	49	1433288	48	2781432	51	4949251	46	1218567	51	9890473	49	6093918	48
9450	49	1247914	48	2866701	51	4903917	46	1133298	51	9901166	49	6413989	48
9400	49	1097206	48	2941955	51	4868502	46	1058044	51	9910090	49	6706371	48
9350	49	9727836	47	3008794	51	4840384	46	9912053	50	9917640	49	6974050	48
9300	49	8687811	47	3068623	51	4817704	46	9313764	50	9924120	49	7220171	48
9250	49	7808425	47	3122414	51	4799203	46	8775857	50	9929735	49	7446810	48
9200	49	7057998	47	3171109	51	4783919	46	8288901	50	9934653	49	7656433	48
9150	49	6411837	47	3215330	51	4771190	46	7846693	50	9938989	49	7850515	48
9100	49	5851447	47	3255727	51	4760480	46	7442724	50	9942848	49	8030951	48
9050	49	5361904	47	3292712	51	4751415	46	7072878	50	9946298	49	8198807	48
9000	49	4931794	47	3326757	51	4743675	46	6732426	50	9949406	49	8355595	48
8500	49	2484407	47	3559618	51	4704948	46	4403817	50	9969071	49	9488155	48
8000	49	1489298	47	3688281	51	4693042	46	3117188	50	9978870	49	1016067	49
7500	49	9871223	46	3769530	51	4688596	46	2304691	50	9984714	49	1060321	49
7000	49	6981659	46	3825188	51	4686828	46	1748111	50	9988575	49	1091452	49
6500	49	5163752	46	3865466	51	4686166	46	1345337	50	9991299	49	1114401	49
6000	49	3942734	46	3895749	51	4685999	46	1042503	50	9993309	49	1131890	49
5500	49	3079985	46	3919124	51	4686060	46	8087510	49	9994841	49	1145529	49
5000	49	2444909	46	3937550	51	4686222	46	6244950	49	9996034	49	1156365	49
4500	49	1960923	46	3952241	51	4686422	46	4775890	49	9996979	49	1165060	49
4000	49	1580733	46	3964069	51	4686628	46	3593030	49	9997734	49	1172096	49
3500	49	1273681	46	3973599	51	4686824	46	2640060	49	9998339	49	1177787	49
3000	49	1019142	46	3981236	51	4687000	46	1874370	49	9998823	49	1182375	49
2500	49	8027006	45	3987352	51	4687151	46	1264790	49	9999206	49	1186037	49
2000	49	6138997	45	3992079	51	4687276	46	7920300	48	9999504	49	1188883	49
1500	49	4448938	45	3995620	51	4687374	46	4379200	48	9999726	49	1191017	49
1000	49	2895183	45	3998080	51	4687444	46	1919100	48	9999879	49	1192502	49
5000	48	1426957	45	3999520	51	4687486	46	4799000	47	9999970	49	1193372	49
0000	00	0000000	00	4000000	51	4687500	46	0000000	00	1000000	50	1193662	49

## Compton Cross Sections vs. Angle of Recoil Electron

42 51 = $\gamma$		$\sigma_1(w', \phi)$		$\gamma'$		$\sigma_2(\gamma')$		E		w		$\sigma_1(w, \phi)$	
w'		$\phi_0$				$\phi_0$						$\phi_0$	
1000	50	5193851	50	4941176	49	1807222	48	4150588	51	1000000	50*	7022513	46
9990	49	1026487	50	2227051	50	3878064	47	3977294	51	5747853	49	3061229	47
9980	49	5537597	49	3825731	50	2264172	47	3817486	51	7624215	49	5274225	47
9970	49	3729888	49	5304909	50	1645670	47	3669509	51	8353049	49	7370875	47
9960	49	2782011	49	6678125	50	1320617	47	3532187	51	8740669	49	9373599	47
9950	49	2201137	49	7955511	50	1121466	47	3404448	51	8981105	49	1129646	48
9940	49	1810471	49	9147471	50	9875682	46	3285252	51	9144897	49	1315192	48
9930	49	1530582	49	1026204	51	8918437	46	3173795	51	9263630	49	1494779	48
9920	49	1320706	49	1130658	51	8203150	46	3069341	51	9353655	49	1669028	48
9910	49	1157765	49	1228704	51	7650815	46	2971295	51	9424229	49	1838327	48
9900	49	1027868	49	1320991	51	7212717	46	2879008	51	9481088	49	2003175	48
9850	49	6423234	48	1710971	51	5939723	46	2489028	51	9653631	49	2767400	48
9800	49	4537766	48	2011950	51	5347462	46	2188050	51	9741065	49	3445102	48
9750	49	3430577	48	2251191	51	5018875	46	1948808	51	9793885	49	4048101	48
9700	49	2708469	48	2445997	51	4816359	46	1754003	51	9829263	49	4586177	48
9650	49	2204129	48	2607607	51	4682530	46	1592392	51	9854601	49	5067401	48
9600	49	1834745	48	2743911	51	4589421	46	1456088	51	9873652	49	5499437	48
9550	49	1554359	48	2860344	51	4522131	46	1339655	51	9888487	49	5888436	48
9500	49	1335682	48	2961030	51	4471953	46	1238969	51	9900375	49	6240267	48
9450	49	1161283	48	3048880	51	4433632	46	1151119	51	9910106	49	6559347	48
9400	49	1019722	48	3126277	51	4403730	46	1073722	51	9918225	49	6850083	48
9350	49	9030186	47	3194896	51	4380020	46	1005104	51	9925096	49	7115570	48
9300	49	8056045	47	3256234	51	4360912	46	9437660	50	9930991	49	7359168	48
9250	49	7233398	47	3311299	51	4345343	46	8887005	50	9936099	49	7583001	48
9200	49	6532247	47	3361093	51	4332490	46	8389067	50	9940572	49	7789667	48
9150	49	5929191	47	3406258	51	4321795	46	7937414	50	9944517	49	7980674	48
9100	49	5406735	47	3447476	51	4312803	46	7525234	50	9948027	49	8157976	48
9050	49	4950791	47	3485179	51	4305196	46	7148201	50	9951165	49	8322686	48
9000	49	4550577	47	3519859	51	4298705	46	6801404	50	9953993	49	8476342	48
8500	49	2281331	47	3756316	51	4266286	46	4436833	50	9971877	49	9580640	48
8000	49	1363734	47	3886419	51	4256347	46	3135804	50	9980788	49	1023190	49
7500	49	9022539	46	3968376	51	4252638	46	2316238	50	9986102	49	1065870	49
7000	49	6373335	46	4024432	51	4251163	46	1755675	50	9989612	49	1095815	49
6500	49	4709464	46	4064954	51	4250609	46	1350459	50	9992089	49	1117847	49
6000	49	3593326	46	4095385	51	4250468	46	1046142	50	9993917	49	1134609	49
5500	49	2805503	46	4118866	51	4250515	46	8113340	49	9995310	49	1147670	49
5000	49	2226051	46	4137336	51	4250648	46	6264370	49	9996395	49	1158033	49
4500	49	1784782	46	4152112	51	4250812	46	4788710	49	9997253	49	1166354	49
4000	49	1438336	46	4163973	51	4250982	46	3602670	49	9997939	49	1173073	49
3500	49	1158682	46	4173531	51	4251143	46	2646850	49	9998490	49	1178510	49
3000	49	9269572	45	4181209	51	4251288	46	1879040	49	9998930	49	1182890	49
2500	49	7299867	45	4187320	51	4251413	46	1268000	49	9999278	49	1186385	49
2000	49	5582258	45	4192059	51	4251516	46	7940600	48	9999549	49	1189101	49
1500	49	4045134	45	4195612	51	4251597	46	4387800	48	9999751	49	1191140	49
1000	49	2632249	45	4198078	51	4251654	46	1921900	48	9999890	49	1192556	49
5000	48	1297322	45	4199523	51	4251689	46	4762000	47	9999972	49	1193388	49
0000	00	0000000	00	4200000	51	4251700	46	0000000	00	1000000	50	1193661	49



## Compton Cross Sections vs. Angle of Recoil Electron

44 51 = $\gamma$			$\sigma_c(w, \phi)$		$\gamma'$		$\sigma_c(\gamma')$		E		w		$\sigma_c(w, \phi)$	
w'			$\phi_0$		$\phi_0$		$\phi_0$						$\phi_0$	
1000	50		5432518	50	4943820	49	1724132	48	4350561	51	1000000	50*	6706812	46
9990	49		9980790	49	2390696	50	3452548	47	4160930	51	6044391	49	3140573	47
9980	49		5335207	49	4133600	50	2004405	47	3986639	51	7808074	49	5459832	47
9970	49		3579004	49	5741033	50	1455571	47	3825896	51	8485425	49	7635433	47
9960	49		2662662	49	7228166	50	1168718	47	3677183	51	8843795	49	9718206	47
9950	49		2102995	49	8607705	50	9935109	46	3539229	51	9065523	49	1171568	48
9940	49		1727488	49	9891884	50	8759651	46	3410811	51	9216342	49	1364159	48
9930	49		1458746	49	1108893	51	7921457	46	3291106	51	9325473	49	1550261	48
9920	49		1257484	49	1220803	51	7296171	46	3179196	51	9408140	49	1730639	48
9910	49		1101476	49	1325699	51	6813661	46	3074300	51	9472954	49	1905859	48
9900	49		9771632	48	1424187	51	6431634	46	2975812	51	9525117	49	2076231	48
9850	49		6087186	48	1838188	51	5324933	46	2561811	51	9683259	49	2863614	48
9800	49		4288864	48	2155317	51	4812490	46	2244682	51	9763303	49	3558054	48
9750	49		3234557	48	2405918	51	4529256	46	1994081	51	9811631	49	4172619	48
9700	49		2548091	48	2609019	51	4355224	46	1790980	51	9843987	49	4718298	48
9650	49		2069481	48	2776869	51	4240506	46	1623130	51	9867154	49	5204138	48
9600	49		1719552	48	2917980	51	4160866	46	1482019	51	9884570	49	5638568	48
9550	49		1454392	48	3038195	51	4103415	46	1361804	51	9898129	49	6028331	48
9500	49		1247930	48	3141910	51	4060642	46	1258089	51	9908994	49	6379731	48
9450	49		1083529	48	3232211	51	4028025	46	1167788	51	9917887	49	6697486	48
9400	49		9502856	47	3311634	51	4002602	46	1088365	51	9925306	49	6986301	48
9350	49		8405906	47	3381934	51	3982468	46	1018065	51	9931583	49	7249414	48
9300	49		7491427	47	3444680	51	3966259	46	9553200	50	9936970	49	7490296	48
9250	49		6720206	47	3500962	51	3953057	46	8990374	50	9941636	49	7711311	48
9200	49		6063571	47	3551783	51	3942172	46	8482169	50	9945723	49	7914957	48
9150	49		5499429	47	3597837	51	3933119	46	8021624	50	9949327	49	8102898	48
9100	49		5011153	47	3639821	51	3925513	46	7601782	50	9952534	49	8277075	48
9050	49		4585468	47	3678205	51	3919081	46	7217948	50	9955400	49	8438716	48
9000	49		4212116	47	3713472	51	3913597	46	6865275	50	9957983	49	8589279	48
8500	49		2102216	47	3953276	51	3886253	46	4467234	50	9974318	49	9666419	48
8000	49		1253414	47	4084704	51	3877890	46	3152951	50	9982457	49	1029762	49
7500	49		8278804	46	4167313	51	3874773	46	2326861	50	9987309	49	1070973	49
7000	49		5841167	46	4223727	51	3873531	46	1762730	50	9990515	49	1099813	49
6500	49		4312565	46	4264470	51	3873066	46	1355300	50	9992776	49	1120998	49
6000	49		3288371	46	4295039	51	3872944	46	1049605	50	9994446	49	1137092	49
5500	49		2566147	46	4318633	51	3872983	46	8136650	49	9995717	49	1149630	49
5000	49		2035209	46	4337064	51	3873091	46	6293600	49	9996701	49	1159496	49
4500	49		1631349	46	4351994	51	3873229	46	4800600	49	9997492	49	1167835	49
4000	49		1314346	46	4363882	51	3873370	46	3611720	49	9998118	49	1173965	49
3500	49		1058580	46	4373463	51	3873504	46	2653640	49	9998621	49	1179166	49
3000	49		8467361	45	4381166	51	3873624	46	1883380	49	9999023	49	1183360	49
2500	49		6667259	45	4387297	51	3873728	46	1270210	49	9999341	49	1186707	49
2000	49		5097996	45	4392057	51	3873814	46	7942600	48	9999588	49	1189309	49
1500	49		3693919	45	4395609	51	3873880	46	4390300	48	9999772	49	1191254	49
1000	49		2403561	45	4398064	51	3873928	46	1935100	48	9999900	49	1192600	49
5000	48		1184575	45	4399516	51	3873957	46	4839000	47	9999975	49	1193396	49
0000	00		0000000	00	4400000	51	3873967	46	0000000	00	1000000	50	1193661	49

## Compton Cross Sections vs. Angle of Recoil Electron

46 51 = $\gamma$		$\sigma_c(w', \phi)$		$\gamma'$		$\sigma_s(\gamma')$		E		w		$\sigma_c(w, \phi)$	
w'		$\phi_c$				$\phi_0$						$\phi_0$	
1 000	50	5671191	50	4946236	49	1648347	48	4550537	51	1000000	50*	6418279	46
9990	49	9704395	49	2561301	50	3086104	47	4343869	51	6313125	49	3222194	47
9980	49	5144088	49	4453860	50	1782932	47	4154614	51	7972147	49	5628960	47
9970	49	3437876	49	6193383	50	1294068	47	3980661	51	8602765	49	7900111	47
9960	49	2551659	49	7797463	50	1039790	47	3820253	51	8934923	49	1006173	48
9950	49	2012141	49	9281799	50	8848852	46	3671820	51	9140014	49	1213309	48
9940	49	1650708	49	1065914	51	7812447	46	3534085	51	9279229	49	1412707	48
9930	49	1392539	49	1194066	51	7074297	46	3405933	51	9379916	49	1605315	48
9920	49	1199405	49	1313602	51	6524520	46	3286397	51	9456126	49	1791829	48
9910	49	1049782	49	1425361	51	6101050	46	3174638	51	9515815	49	1972763	48
9900	49	9305980	48	1530033	51	5766335	46	3069966	51	9563810	49	2148433	48
9850	49	5779595	48	1967091	51	4799025	46	2632008	51	9709258	49	2958145	48
9800	49	4061539	48	2301038	51	4353182	46	2298961	51	9782805	49	3668385	48
9750	49	3055923	48	2562753	51	4107631	46	2037246	51	9827186	49	4293638	48
9700	49	2402246	48	2773915	51	3957195	46	1826084	51	9856889	49	4846118	48
9650	49	1947270	48	2947780	51	3858276	46	1652219	51	9878152	49	5335851	48
9600	49	1615200	48	3093510	51	3789741	46	1506489	51	9894134	49	5772089	48
9550	49	1363999	48	3217344	51	3740386	46	1382655	51	9906575	49	6162144	48
9500	49	1168712	48	3323934	51	3703700	46	1276065	51	9916543	49	6512697	48
9450	49	1013457	48	3416580	51	3675757	46	1183419	51	9924700	49	6828892	48
9400	49	8877998	47	3497918	51	3654005	46	1102081	51	9931506	49	7115552	48
9350	49	7844935	47	3569818	51	3636792	46	1030181	51	9937264	49	7376169	48
9300	49	6984764	47	3633901	51	3622950	46	9660982	50	9942205	49	7614280	48
9250	49	6260178	47	3691313	51	3611686	46	9086869	50	9946485	49	7832346	48
9200	49	5643958	47	3743113	51	3602400	46	8568869	50	9950233	49	8033007	48
9150	49	5115045	47	3789999	51	3594688	46	8100009	50	9953538	49	8217876	48
9100	49	4657692	47	3832705	51	3588211	46	7672946	50	9956479	49	8388978	48
9050	49	4259321	47	3871717	51	3582737	46	7282825	50	9959108	49	8547565	48
9000	49	3910222	47	3907542	51	3578071	46	6924572	50	9961476	49	8695140	48
8500	49	1943436	47	4150474	51	3554845	46	4495254	50	9976455	49	9746223	48
8000	49	1155970	47	4283126	51	3547759	46	3168734	50	9983917	49	1035848	49
7500	49	7623390	46	4366329	51	3545120	46	2336702	50	9988366	49	1075682	49
7000	49	5373015	46	4423089	51	3544069	46	1769103	50	9991305	49	1103503	49
6500	49	3963804	46	4464020	51	3543673	46	1359794	50	9993378	49	1123896	49
6000	49	3020678	46	4494739	51	3543567	46	1052605	50	9994908	49	1139383	49
5500	49	2356145	46	4518399	51	3543598	46	8160050	49	9996074	49	1151420	49
5000	49	1868102	46	4537034	51	3543690	46	6296590	49	9996982	49	1160967	49
4500	49	1496868	46	4551862	51	3543804	46	4813780	49	9997701	49	1168606	49
4000	49	1205729	46	4563807	51	3543923	46	3619280	49	9998275	49	1174786	49
3500	49	9709152	45	4573408	51	3544035	46	2659160	49	9998736	49	1179772	49
3000	49	7764998	45	4581139	51	3544136	46	1886050	49	9999104	49	1183797	49
2500	49	6113394	45	4587254	51	3544223	46	1274520	49	9999396	49	1186989	49
2000	49	4674079	45	4592036	51	3544295	46	7963500	48	9999622	49	1189489	49
1500	49	3386529	45	4595602	51	3544351	46	4397100	48	9999791	49	1191356	49
1000	49	2203453	45	4598075	51	3544391	46	1924700	48	9999908	49	1192652	49
5000	48	1085915	45	4599513	51	3544415	46	4866000	47	9999977	49	1193406	49
0000	00	0000000	00	4600000	51	3544423	46	0000000	00	1000000	50	1193661	49

## Compton Cross Sections vs. Angle of Recoil Electron

$48$	$51$	$= \gamma$	$\sigma_s(w', \phi)$		$\gamma'$	$\sigma_s(\gamma')$		E		w		$\sigma_s(w, \phi)$		
w'			$\phi_0$			$\phi_0$						$\phi_0$		
1000	50		5909869	50	4948453	49	1578943	48	4750515	51	1000000	50*	6153550	46
9990	49		9436295	49	2738872	50	2768959	47	4526112	51	6557196	49	3305829	47
9980	49		4963667	49	4786332	50	1593011	47	4321366	51	8119051	49	5808241	47
9970	49		3305846	49	6661979	50	1155928	47	4133802	51	8707277	49	8165026	47
9960	49		2448577	49	8386571	50	9295294	46	3961342	51	9015951	49	1040524	48
9950	49		1927854	49	9977268	50	7920426	46	3802273	51	9206054	49	1254850	48
9940	49		1579709	49	1144973	51	7002253	46	3655026	51	9334951	49	1460996	48
9930	49		1331359	49	1281643	51	6349428	46	3518356	51	9428085	49	1659927	48
9920	49		1145759	49	1408835	51	5863929	46	3391165	51	9498527	49	1852375	48
9910	49		1002040	49	1527451	51	5490609	46	3272548	51	9553647	49	2038804	48
9900	49		8877089	48	1638422	51	5195638	46	3161577	51	9597990	49	2219783	48
9850	49		5497122	48	2100238	51	4345965	46	2699761	51	9732197	49	3051010	48
9800	49		3853251	48	2448979	51	3956061	46	2351020	51	9800000	49	3776186	48
9750	49		2892567	48	2721545	51	3742065	46	2078454	51	9840895	49	4411258	48
9700	49		2269134	48	2940524	51	3611321	46	1859475	51	9868258	49	4969767	48
9650	49		1835961	48	3120209	51	3525545	46	1679790	51	9887841	49	5462784	48
9600	49		1520339	48	3270385	51	3466233	46	1529614	51	9902558	49	5900324	48
9550	49		1281933	48	3397623	51	3423610	46	1402376	51	9914009	49	6290063	48
9500	49		1096952	48	3507032	51	3391939	46	1292967	51	9923191	49	6639690	48
9450	49		9500747	47	3601898	51	3367861	46	1198101	51	9930701	49	6954044	48
9400	49		8313604	47	3685055	51	3349139	46	1114944	51	9936966	49	7238381	48
9350	49		7338883	47	3758461	51	3334339	46	1041538	51	9942267	49	7496353	48
9300	49		6528307	47	3823823	51	3322443	46	9761763	50	9946814	49	7731672	48
9250	49		5846206	47	3882299	51	3312770	46	9177009	50	9950754	49	7946756	48
9200	49		5266705	47	3935004	51	3304809	46	8649958	50	9954204	49	8144360	48
9150	49		4769816	47	3982678	51	3298195	46	8173220	50	9957246	49	8326201	48
9100	49		4340570	47	4026083	51	3292641	46	7739163	50	9959952	49	8494353	48
9050	49		3966942	47	4065679	51	3287954	46	7343203	50	9962371	49	8649924	48
9000	49		3639786	47	4102020	51	3283961	46	6979800	50	9964551	49	8794550	48
8500	49		1802014	47	4347876	51	3264106	46	4521235	50	9978335	49	9820617	48
8000	49		1069469	47	4481665	51	3258062	46	3183345	50	9985202	49	1041497	49
7500	49		7042894	46	4565431	51	3255812	46	2345682	50	9989295	49	1080048	49
7000	49		4958963	46	4622495	51	3254916	46	1775048	50	9992000	49	1106911	49
6500	49		3655739	46	4663628	51	3254578	46	1363719	50	9993907	49	1126581	49
6000	49		2784381	46	4694453	51	3254488	46	1055463	50	9995315	49	1141492	49
5500	49		2170919	46	4718197	51	3254513	46	8180220	49	9996388	49	1153077	49
5000	49		1720664	46	4736882	51	3254589	46	6311800	49	9997223	49	1162255	49
4500	49		1378368	46	4751760	51	3254686	46	4823990	49	9997885	49	1169602	49
4000	49		1109985	46	4763621	51	3254784	46	3637880	49	9998408	49	1175484	49
3500	49		8937034	45	4773353	51	3254880	46	2664680	49	9998837	49	1180326	49
3000	49		7146458	45	4781089	51	3254965	46	1891020	49	9999176	49	1184187	49
2500	49		5625862	45	4787246	51	3255039	46	1275320	49	9999444	49	1187265	49
2000	49		4300923	45	4792018	51	3255099	46	7981600	48	9999652	49	1189656	49
1500	49		3115949	45	4795580	51	3255147	46	4419600	48	9999808	49	1191442	49
1000	49		2027316	45	4798065	51	3255181	46	1934600	48	9999915	49	1192690	49
5000	48		9990886	44	4799516	51	3255201	46	4838000	47	9999979	49	1193418	49
0000	00		0000000	00	4800000	51	3255208	46	0000000	00	1000000	50	1193661	49

## Compton Cross Sections vs. Angle of Recoil Electron

50 51 = $\gamma$		$\sigma_1(w', \phi)$		$\gamma'$		$\sigma_2(\gamma')$		E		w		$\sigma_1(w, \phi)$	
w'		$\phi_0$				$\phi_0$						$\phi_0$	
1000	50	6148553	50	4950495	49	1515148	48	4950495	51	1000000	50*	5909797	46
9990	49	9176968	49	2923374	50	2493237	47	4707662	51	6779294	49	3391192	47
9980	49	4793250	49	5130931	50	1429235	47	4486906	51	8251036	49	5988474	47
9970	49	3182195	49	7146527	50	1037079	47	4285347	51	8800719	49	8429896	47
9960	49	2352357	49	8994164	50	8347486	46	4100583	51	9088168	49	1074725	48
9950	49	1849496	49	1069358	51	7121922	46	3930641	51	9264859	49	1296176	48
9940	49	1513841	49	1226264	51	6305053	46	3773735	51	9384515	49	1508957	48
9930	49	1274689	49	1371550	51	5725198	46	3628449	51	9470898	49	1714091	48
9920	49	1096124	49	1506462	51	5294575	46	3493538	51	9536193	49	1912351	48
9910	49	9579525	48	1632016	51	4963881	46	3367983	51	9587261	49	2104216	48
9900	49	8480980	48	1749254	51	4702887	46	3250745	51	9628327	49	2290291	48
9850	49	5236958	48	2234811	51	3953109	46	2765188	51	9752534	49	3142251	48
9800	49	3661807	48	2599002	51	3610506	46	2400997	51	9815236	49	3881518	48
9750	49	2742734	48	2882176	51	3423088	46	2117823	51	9853039	49	4525634	48
9700	49	2147284	48	3108747	51	3308891	46	1891252	51	9878326	49	5089480	48
9650	49	1734248	48	3294035	51	3234140	46	1705964	51	9896421	49	5585159	48
9600	49	1433817	48	3448489	51	3182538	46	1551510	51	9910017	49	6023539	48
9550	49	1207277	48	3579098	51	3145503	46	1420901	51	9920599	49	6412945	48
9500	49	1031714	48	3691085	51	3118046	46	1308914	51	9929076	49	6761001	48
9450	49	8925366	47	3788065	51	3097187	46	1211934	51	9936013	49	7073307	48
9400	49	7802016	47	3872966	51	3080980	46	1127033	51	9941799	49	7355236	48
9350	49	6880788	47	3947810	51	3068181	46	1052190	51	9946694	49	7610508	48
9300	49	6115507	47	4014355	51	3057906	46	9856447	50	9950894	49	7842886	48
9250	49	5472270	47	4073850	51	3049556	46	9261492	50	9954532	49	8055026	48
9200	49	4926307	47	4127421	51	3042683	46	8725782	50	9957718	49	8249633	48
9150	49	4458598	47	4175836	51	3036979	46	8241639	50	9960527	49	8428473	48
9100	49	4054879	47	4219872	51	3032195	46	7801278	50	9963026	49	8593614	48
9050	49	3703780	47	4260032	51	3028155	46	7399676	50	9965260	49	8746295	48
9000	49	3396592	47	4296880	51	3024714	46	7031200	50	9967272	49	8888141	48
8500	49	1675500	47	4545454	51	3007642	46	4545454	50	9980000	49	9890106	48
8000	49	9923328	46	4680311	51	3002455	46	3196887	50	9986339	49	1046757	49
7500	49	6526296	46	4764604	51	3000525	46	2353953	50	9990118	49	1084104	49
7000	49	4591009	46	4821949	51	2999757	46	1780505	50	9992614	49	1110073	49
6500	49	3382215	46	4863245	51	2999466	46	1367545	50	9994376	49	1129058	49
6000	49	2574763	46	4894187	51	2999389	46	1058123	50	9995675	49	1143442	49
5500	49	2006712	46	4918016	51	2999409	46	8198330	49	9996665	49	1154611	49
5000	49	1590013	46	4936735	51	2999474	46	6326430	49	9997437	49	1163442	49
4500	49	1273405	46	4951671	51	2999555	46	4832830	49	9998047	49	1170525	49
4000	49	1025302	46	4963666	51	2999640	46	3633400	49	9998535	49	1176235	49
3500	49	8253540	45	4973318	51	2999720	46	2668180	49	9998926	49	1180846	49
3000	49	6599061	45	4981071	51	2999793	46	1892810	49	9999239	49	1184560	49
2500	49	5194339	45	4987207	51	2999856	46	1279220	49	9999487	49	1187505	49
2000	49	3970751	45	4992012	51	2999907	46	7987200	48	9999679	49	1189814	49
1500	49	2876571	45	4995578	51	2999948	46	4421100	48	9999823	49	1191531	49
1000	49	1871480	45	4998050	51	2999977	46	1949200	48	9999922	49	1192722	49
5000	48	9222762	44	4999525	51	2999994	46	4749000	47	9999980	49	1193433	49
0000	00	0000000	00	5000000	51	3000000	46	0000000	00	1000000	50	1193661	49

Integrated Cross Sections and Integrals for Average Energies

$\gamma = 10$ $\gamma_1$		$\int_{\gamma_1}^{\gamma} \left[ \frac{\sigma_s(\gamma')}{\phi_0} \right] d\gamma'$	$\int_{\gamma_1}^{\gamma} \left[ \frac{\gamma' \sigma_s(\gamma')}{\phi_0} \right] d\gamma'$	$\int_0^{E=\gamma-\gamma_1} \left[ \frac{E' \sigma_s(E')}{\phi_0} \right] dE'$	$\gamma'$
1000	49	0000000 00	0000000 00	0000000 00	1000 49
9800	48	1358250 49	1345301 48	1294870 46	9800 48
9600	48	2469375 49	2423351 48	4602370 46	9600 48
9400	48	3392625 49	3300423 48	9220120 46	9400 48
9200	48	4195500 49	4047356 48	1481437 47	9200 48
9000	48	4956000 49	4739250 48	2167500 47	9000 48
8800	48	5762250 49	5456400 48	3058500 47	8800 48
8600	48	6714750 49	6285000 48	4297500 47	8600 48
8400	48	7928625 49	7316250 48	6123750 47	8400 48
8333	48	8413416 49	7721812 48	6916043 47	8333 48

Integrated Cross Sections and Integrals for Average Energies

$\gamma = 20$ $\gamma_i$	$\int_{\gamma_i}^{\gamma} \left[ \frac{\sigma_3(\gamma')}{\phi_0} \right] d\gamma'$	$\int_{\gamma_i}^{\gamma} \left[ \frac{\gamma' \sigma_3(\gamma')}{\phi_0} \right] d\gamma'$	$\int_0^{E=\gamma-\gamma_i} [E' \sigma_3(E') / \phi_0] dE'$	$\gamma_i$
2000 49	0000000 00	0000000 00	0000000 00	2000 49
1980 49	3657468 48	7278037 47	3690010 45	1980 49
1960 49	7132875 48	1412669 48	1390590 46	1960 49
1940 49	1043531 49	2056381 48	3068070 46	1940 49
1920 49	1356881 49	2661400 48	5236230 46	1920 49
1900 49	1654378 49	3229615 48	7914090 46	1900 49
1880 49	1936781 49	3763324 48	1102379 47	1880 49
1860 49	2205018 49	4264848 48	1451888 47	1860 49
1840 49	2459981 49	4736620 48	1833423 47	1840 49
1820 49	2702765 49	5180982 48	2245490 47	1820 49
1800 49	2934534 49	5600437 48	2686313 47	1800 49
1780 49	3156412 49	5997675 48	3151500 47	1780 49
1760 49	3369825 49	6375318 48	3643312 47	1760 49
1740 49	3576000 49	6736284 48	4157156 47	1740 49
1720 49	3776559 49	7083281 48	4698375 47	1720 49
1700 49	3973059 49	7419328 48	5267907 47	1700 49
1680 49	4167271 49	7747500 48	5870438 47	1680 49
1660 49	4360987 49	8071021 48	6509531 47	1660 49
1640 49	4556240 49	8393100 48	7193812 47	1640 49
1620 49	4755112 49	8717287 48	7929375 47	1620 49
1600 49	4959946 49	9047015 48	8728782 47	1600 49
1580 49	5173153 49	9386006 48	9603000 47	1580 49
1560 49	5397393 49	9738065 48	1056722 48	1560 49
1540 49	5635528 49	1010715 49	1163906 48	1540 49
1520 49	5890528 49	1049734 49	1283709 48	1520 49
1500 49	6165796 49	1091282 49	1418766 48	1500 49
1480 49	6464662 49	1135820 49	1571119 48	1480 49
1460 49	6791100 49	1183794 49	1744256 48	1460 49
1440 49	7149037 49	1235697 49	1941103 48	1440 49
1428 49	7369443 49	1267306 49	2065819 48	1428 49

Integrated Cross Sections and Integrals for Average Energies

$\gamma = 30$ $\gamma_i$	$49$	$\int_{\gamma_i}^{\gamma} \left[ \frac{\sigma_s(\gamma')}{\phi_0} \right] d\gamma'$	$\int_{\gamma_i}^{\gamma} \left[ \frac{\gamma' \sigma_s(\gamma')}{\phi_0} \right] d\gamma'$	$\int_0^{E-\gamma-\gamma_i} \left[ \frac{E' \sigma_s(E')}{\phi_0} \right] dE'$	$\gamma_i$
3000	49	00 000000 00	00000000 00	00000000 00	3000 49
2980	49	1 648220 48	4928266 47	1639580 45	2980 49
2960	49	3259845 48	9714587 47	6495010 45	2960 49
2940	49	4835083 48	1436227 48	1429710 46	2940 49
2920	49	6374762 48	1887418 48	2501000 46	2920 49
2900	49	7879304 48	2325160 48	3863040 46	2900 49
2880	49	9349083 48	2749969 48	5475550 46	2880 49
2860	49	1078509 49	3161963 48	7356510 46	2860 49
2840	49	1218709 49	3561631 48	9449760 46	2840 49
2820	49	1355620 49	3949130 48	1177320 47	2820 49
2800	49	1489317 49	4324830 48	1431229 47	2800 49
2780	49	1619855 49	4688988 48	1705775 47	2780 49
2760	49	1747320 49	5042081 48	1998812 47	2760 49
2740	49	1871763 49	5384313 48	2309774 47	2740 49
2720	49	1993280 49	5716054 48	2637871 47	2720 49
2700	49	2111975 49	6037708 48	2982168 47	2700 49
2680	49	2227909 49	6349583 48	3341453 47	2680 49
2660	49	2341209 49	6652049 48	3715786 47	2660 49
2640	49	2451937 49	6945474 48	4103376 47	2640 49
2620	49	2560205 49	7230329 48	4502871 47	2620 49
2600	49	2666142 49	7506824 48	4916038 47	2600 49
2580	49	2769891 49	7775499 48	5341749 47	2580 49
2560	49	2871530 49	8036720 48	5778705 47	2560 49
2540	49	2971192 49	8290895 48	6226830 47	2540 49
2520	49	3069045 49	8538458 48	6686792 47	2520 49
2500	49	3165217 49	8779812 48	7158413 47	2500 49
2480	49	3259855 49	9015420 48	7641455 47	2480 49
2460	49	3353099 49	9245808 48	8134920 47	2460 49
2440	49	3445151 49	9471316 48	8641380 47	2440 49
2420	49	3536176 49	9692470 48	9160580 47	2420 49
2400	49	3626345 49	9909812 48	9692250 47	2400 49
2380	49	3715859 49	1012379 49	1023783 48	2380 49
2360	49	3804951 49	1033485 49	1080004 48	2360 49
2340	49	3893779 49	1054365 49	1137683 48	2340 49
2320	49	3982263 49	1075065 49	1197266 48	2320 49
2300	49	40711705 49	1095639 49	1258725 48	2300 49
2280	49	4161237 49	1116148 49	1322225 48	2280 49
2260	49	4251555 49	1136643 49	1388229 48	2260 49
2240	49	4342863 49	1157192 49	1456670 48	2240 49
2220	49	4435483 49	1177850 49	1527942 48	2220 49
2200	49	4529726 49	1198681 49	1602363 48	2200 49
2180	49	4625930 49	1219738 49	1680408 48	2180 49
2160	49	4724395 49	1241111 49	1762075 48	2160 49
2140	49	4825488 49	1262845 49	1848012 48	2140 49
2120	49	4929617 49	1285020 49	1938653 48	2120 49

Integrated Cross Sections and Integrals for Average Energies

$\gamma = 30$ $\gamma_i$	$\int_{\gamma_i}^{\gamma} \left[ \frac{\sigma_s(\gamma')}{\phi_0} \right] d\gamma'$	$\int_{\gamma_i}^{\gamma} \left[ \frac{\gamma' \sigma_s(\gamma')}{\phi_0} \right] d\gamma'$	$\int_0^{E=\gamma-\gamma_i} [E' \sigma_s(E') / \phi_0] dE'$	$\gamma_i$
2100 49	5037129 49	1307705 49	2034333 48	2100 49
2080 49	5148463 49	1330974 49	2135645 48	2080 49
2060 49	5264042 49	1354900 49	2243120 48	2060 49
2040 49	5384366 49	1379560 49	2357492 48	2040 49
2020 49	5509867 49	1405044 49	2479157 48	2020 49
2000 49	5641097 49	1431412 49	2609162 48	2000 49
1980 49	5778583 49	1458772 49	2748029 48	1980 49
1960 49	5922876 49	1487195 49	2896671 48	1960 49
1940 49	6074580 49	1516785 49	3055891 48	1940 49
1920 49	6234349 49	1547617 49	3226879 48	1920 49
1900 49	6402830 49	1579797 49	3410520 48	1900 49
1880 49	6580730 49	1613413 49	3608058 48	1880 49
1875 49	6626768 49	1622059 49	3659710 48	1875 49



Integrated Cross Sections and Integrals for Average Energies

$\gamma = 40$ $\gamma'$	$\gamma'$	$\int_{\gamma'}^{\gamma} \left[ \frac{\sigma_s(\gamma')}{\phi_0} \right] d\gamma'$	$\int_{\gamma'}^{\gamma} \left[ \frac{\gamma' \sigma_s(\gamma')}{\phi_0} \right] d\gamma'$	$\int_0^{\gamma-\gamma'} \left[ E' \sigma_s(E') / \phi_0 \right] dE'$	$\gamma'$				
4000	49	00000000	00	00000000	00	4000	49		
3980	49	9316875	47	3717210	47	9539100	44	3980	49
3960	49	1851656	48	7369509	47	3711580	45	3960	49
3940	49	2760070	48	1095751	48	8276500	45	3940	49
3920	49	3656789	48	1448237	48	1447800	46	3920	49
3900	49	4542234	48	1794396	48	2249720	46	3900	49
3880	49	5416195	48	2134353	48	3212480	46	3880	49
3860	49	6278765	48	2468190	48	4331550	46	3860	49
3840	49	7129992	48	2795959	48	5603740	46	3840	49
3820	49	7970203	48	3117705	48	7037530	46	3820	49
3800	49	8799140	48	3433575	48	8608050	46	3800	49
3780	49	9617132	48	3743597	48	1032560	47	3780	49
3760	49	1042425	49	4047870	48	1218298	47	3760	49
3740	49	1122051	49	4346443	48	1417626	47	3740	49
3720	49	1200600	49	4639446	48	1629534	47	3720	49
3700	49	1278079	49	4926928	48	1853900	47	3700	49
3680	49	1354518	49	5208959	48	2091154	47	3680	49
3660	49	1429905	49	5485647	48	2339750	47	3660	49
3640	49	1504270	49	5757065	48	2600153	47	3640	49
3620	49	1577613	49	6023334	48	2871184	47	3620	49
3600	49	1649964	49	6284484	48	3153748	47	3600	49
3580	49	1721318	49	6540642	48	3446298	47	3580	49
3560	49	1791693	49	6791910	48	3748643	47	3560	49
3540	49	1861110	49	7038337	48	4061061	47	3540	49
3520	49	1929588	49	7280025	48	4383282	47	3520	49
3500	49	1997130	49	7517100	48	4714220	47	3500	49
3480	49	2063753	49	7749649	48	5053664	47	3480	49
3460	49	2129489	49	7977771	48	5401853	47	3460	49
3440	49	2194350	49	8201531	48	5758687	47	3440	49
3420	49	2258360	49	8421065	48	6123752	47	3420	49
3400	49	2321517	49	8636472	48	6495961	47	3400	49
3380	49	2383863	49	8847841	48	6876118	47	3380	49
3360	49	2445424	49	9055265	48	7264312	47	3360	49
3340	49	2506207	49	9258881	48	7659470	47	3340	49
3320	49	2566239	49	9458810	48	8061490	47	3320	49
3300	49	2625550	49	9655122	48	8470800	47	3300	49
3280	49	2684163	49	9847954	48	8886980	47	3280	49
3260	49	2742098	49	1003743	49	9309560	47	3260	49
3240	49	2799396	49	1022363	49	9739500	47	3240	49
3220	49	2856079	49	1040669	49	1017628	48	3220	49
3200	49	2912170	49	1058675	49	1061927	48	3200	49
3180	49	2967712	49	1076391	49	1106937	48	3180	49
3160	49	3022725	49	1093833	49	1152562	48	3160	49
3140	49	3077245	49	1111010	49	1198879	48	3140	49
3120	49	3131325	49	1127936	49	1245940	48	3120	49

Integrated Cross Sections and Integrals for Average Energies

$\gamma = 40$ $\gamma_i$	$\int_{\gamma_i}^{\gamma} \left[ \frac{\sigma_s(\gamma')}{\phi_0} \right] d\gamma'$	$\int_{\gamma_i}^{\gamma} \left[ \frac{\gamma' \sigma_s(\gamma')}{\phi_0} \right] d\gamma'$	$\int_0^{E=\gamma-\gamma_i} [E' \sigma_s(E') / \phi_0] dE'$	$\gamma_i$
3100 49	3184982 49	1144623 49	1293698 48	3100 49
3080 49	3238260 49	1161085 49	1342186 48	3080 49
3060 49	3291206 49	1177336 49	1391463 48	3060 49
3040 49	3343837 49	1193392 49	1441427 48	3040 49
3020 49	3396225 49	1209265 49	1492245 48	3020 49
3000 49	3448401 49	1224969 49	1543915 48	3000 49
2980 49	3500404 49	1240520 49	1596415 48	2980 49
2960 49	3552295 49	1255934 49	1649840 48	2960 49
2940 49	3604125 49	1271221 49	1704286 48	2940 49
2920 49	3655935 49	1286400 49	1759735 48	2920 49
2900 49	3707796 49	1301488 49	1816298 48	2900 49
2880 49	3759733 49	1316502 49	1873910 48	2880 49
2860 49	3811837 49	1331457 49	1932778 48	2860 49
2840 49	3864159 49	1346367 49	1992966 48	2840 49
2820 49	3916760 49	1361253 49	2054503 48	2820 49
2800 49	3969705 49	1376131 49	2117510 48	2800 49
2780 49	4023063 49	1391018 49	2182066 48	2780 49
2760 49	4076901 49	1405934 49	2248265 48	2760 49
2740 49	4131316 49	1420894 49	2316319 48	2740 49
2720 49	4186368 49	1435923 49	2386242 48	2720 49
2700 49	4242128 49	1451037 49	2458146 48	2700 49
2680 49	4298702 49	1466254 49	2532269 48	2680 49
2660 49	4356166 49	1481597 49	2608688 48	2660 49
2640 49	4414617 49	1497085 49	2687618 48	2640 49
2620 49	4474134 49	1512740 49	2769136 48	2620 49
2600 49	4534844 49	1528581 49	2853560 48	2600 49
2580 49	4596827 49	1544635 49	2940951 48	2580 49
2560 49	4660197 49	1560923 49	3031554 48	2560 49
2540 49	4725075 49	1577464 49	3125653 48	2540 49
2520 49	4791560 49	1594288 49	3223357 48	2520 49
2500 49	4859789 49	1611413 49	3325024 48	2500 49
2480 49	4929890 49	1628865 49	3430903 48	2480 49
2460 49	5001977 49	1646672 49	3541183 48	2460 49
2440 49	5076206 49	1664858 49	3656243 48	2440 49
2420 49	5152718 49	1683450 49	3776363 48	2420 49
2400 49	5231660 49	1702475 49	3901889 48	2400 49
2380 49	5313189 49	1721959 49	4033162 48	2380 49
2360 49	5397464 49	1741935 49	4170504 48	2360 49
2340 49	5484672 49	1762425 49	4314434 48	2340 49
2320 49	5574972 49	1783463 49	4465252 48	2320 49
2300 49	5668560 49	1805081 49	4623427 48	2300 49
2280 49	5765622 49	1827310 49	4789388 48	2280 49
2260 49	5866378 49	1850180 49	4963706 48	2260 49
2240 49	5971019 49	1873725 49	5146826 48	2240 49
2222 49	6067490 49	1895249 49	5317471 48	2222 49

Integrated Cross Sections and Integrals for Average Energies

$\gamma = 50$ $\gamma_i$	$\gamma_i$	$\int_{\gamma_i}^{\gamma} \left[ \frac{\sigma_s(\gamma')}{\phi_0} \right] d\gamma'$	$\int_{\gamma_i}^{\gamma} \left[ \frac{\gamma' \sigma_s(\gamma')}{\phi_0} \right] d\gamma'$	$\int_0^{E-\gamma-\gamma_i} \left[ \frac{E' \sigma_s(E')}{\phi_0} \right] dE'$	$\gamma_i$
5000	49	00 000000 00	000 00000 00	00000000 00	5000 49
4900	49	2940180 48	1455502 48	1458790 46	4900 49
4800	49	5761830 48	2824099 48	5681590 46	4800 49
4700	49	8466720 48	4109012 48	1243480 47	4700 49
4600	49	1105713 49	5313629 48	2149357 47	4600 49
4500	49	1353592 49	6441570 48	3263925 47	4500 49
4400	49	1590658 49	7496601 48	4566915 47	4400 49
4300	49	1817332 49	8482725 48	6039375 47	4300 49
4200	49	2034130 49	9404205 48	7664480 47	4200 49
4100	49	2241663 49	1026554 49	9427740 47	4100 49
4000	49	2440657 49	1107152 49	1131765 48	4000 49
3900	49	2631976 49	1182730 49	1332582 48	3900 49
3800	49	2816641 49	1253833 49	1544877 48	3800 49
3700	49	2995867 49	1321045 49	1768880 48	3700 49
3600	49	3171081 49	1385000 49	2005399 48	3600 49
3500	49	3343962 49	1446374 49	2256070 48	3500 49
3400	49	3516495 49	1505895 49	2523516 48	3400 49
3300	49	3691021 49	1564361 49	2811498 48	3300 49
3200	49	3870313 49	1622626 49	3125301 48	3200 49
3100	49	4057645 49	1681625 49	3471971 48	3100 49
3000	49	4256884 49	1742384 49	3860582 48	3000 49
2900	49	4472647 49	1806017 49	4303064 48	2900 49
2800	49	4710402 49	1873756 49	4814443 48	2800 49
2700	49	4976697 49	1946961 49	5413866 48	2700 49
2600	49	5279374 49	2027136 49	6125504 48	2600 49
2500	49	5627859 49	2115956 49	6979729 48	2500 49

Integrated Cross Sections and Integrals for Average Energies

$\gamma = 60$ $\gamma_i$	$\int_{\gamma_i}^{\gamma} \left[ \frac{\sigma_s(\gamma')}{\phi_0} \right] d\gamma'$	$\int_{\gamma_i}^{\gamma} \left[ \frac{\gamma' \sigma_s(\gamma')}{\phi_0} \right] d\gamma'$	$\int_0^{E-\gamma_i} \left[ \frac{E' \sigma_s(E')}{\phi_0} \right] dE'$	$\gamma_i$
6000 49	00 000000 00	00000000 00	00000000 00	6000 49
5900 49	20 54413 48	1222432 48	1021530 46	5900 49
5800 49	40 51299 48	2390665 48	4011420 46	5800 49
5700 49	59 91062 48	3506075 48	8856220 46	5700 49
5600 49	78 74195 48	4570082 48	1544341 47	5600 49
5500 49	9 701393 48	5584218 48	2366174 47	5500 49
5400 49	11 47348 49	6550052 48	3340357 47	5400 49
5300 49	13 19140 49	7469196 48	4456463 47	5300 49
5200 49	14 85640 49	8343362 48	5704796 47	5200 49
5100 49	16 46990 49	9174370 48	7075741 47	5100 49
5000 49	18 03357 49	9964057 48	8560840 47	5000 49
4900 49	19 54934 49	1071438 49	1015223 48	4900 49
4800 49	21 01949 49	1142745 49	1184241 48	4800 49
4700 49	22 44671 49	1210542 49	1362610 48	4700 49
4600 49	23 83406 49	1275054 49	1549890 48	4600 49
4500 49	25 18511 49	1336531 49	1745751 48	4500 49
4400 49	26 50397 49	1395225 49	1950129 48	4400 49
4300 49	27 79547 49	1451405 49	2163231 48	4300 49
4200 49	29 06504 49	1505363 49	2385387 48	4200 49
4100 49	30 31900 49	1557404 49	2617356 48	4100 49
4000 49	31 56465 49	1607853 49	2860259 48	4000 49
3900 49	32 81043 49	1657061 49	3115649 48	3900 49
3800 49	34 06597 49	1705401 49	3385572 48	3800 49
3700 49	35 34257 49	1753268 49	3672860 48	3700 49
3600 49	36 65309 49	1801100 49	3980852 48	3600 49
3500 49	38 01256 49	1849356 49	4313975 48	3500 49
3400 49	39 43829 49	1898537 49	4677604 48	3400 49
3300 49	40 95047 49	1949187 49	5078406 48	3300 49
3200 49	42 57257 49	2001896 49	5524577 48	3200 49
3100 49	44 33198 49	2057304 49	6026153 48	3100 49
3000 49	46 26076 49	2116116 49	6595293 48	3000 49
2900 49	48 39649 49	2179102 49	7246875 48	2900 49
2800 49	50 78347 49	2247105 49	7999032 48	2800 49
2727 49	52 70677 49	2300250 49	8621559 48	2727 49

Integrated Cross Sections and Integrals for Average Energies

$\gamma = 70$ $\gamma_i$	$\int_{\gamma_i}^{\gamma} \left[ \frac{\sigma_2(\gamma')}{\phi_0} \right] d\gamma'$	$\int_{\gamma_i}^{\gamma} \left[ \frac{\gamma' \sigma_2(\gamma')}{\phi_0} \right] d\gamma'$	$\int_0^{E-\gamma-\gamma_i} [E' \sigma_0(E') / \phi_0] dE'$	$\gamma_i$
7000 49	00000000 00	00000000 00	00000000 00	7000 49
6900 49	15150005 48	10529600 48	75429000 45	6900 49
6800 49	2998843 48	2069423 48	2976700 46	6800 49
6700 49	4451650 48	3050066 48	6608930 46	6700 49
6600 49	5873512 48	3995642 48	1158166 47	6600 49
6500 49	7264659 48	4906882 48	1783795 47	6500 49
6400 49	8625326 48	5784524 48	2532038 47	6400 49
6300 49	9955775 48	6629372 48	3396704 47	6300 49
6200 49	1125631 49	7442264 48	4371584 47	6200 49
6100 49	1252743 49	8224009 48	5451927 47	6100 49
6000 49	1376953 49	8975510 48	6631640 47	6000 49
5900 49	1498320 49	9697661 48	7905810 47	5900 49
5800 49	1616906 49	1039142 49	9269230 47	5800 49
5700 49	1732790 49	1105777 49	1071758 48	5700 49
5600 49	1846053 49	1169771 49	1224661 48	5600 49
5500 49	1956793 49	1231235 49	1385196 48	5500 49
5400 49	2065126 49	1290278 49	1553099 48	5400 49
5300 49	2171176 49	1347016 49	1728063 48	5300 49
5200 49	2275089 49	1401572 49	1909900 48	5200 49
5100 49	2377030 49	1454074 49	2098468 48	5100 49
5000 49	2477187 49	1504655 49	2293757 48	5000 49
4900 49	2575773 49	1553456 49	2495852 48	4900 49
4800 49	2673027 49	1600624 49	2704948 48	4800 49
4700 49	2769222 49	1646319 49	2921366 48	4700 49
4600 49	2864668 49	1690700 49	3145676 48	4600 49
4500 49	2959712 49	1733947 49	3378515 48	4500 49
4400 49	3054755 49	1776241 49	3620872 48	4400 49
4300 49	3150245 49	1817778 49	3873934 48	4300 49
4200 49	3246691 49	1858767 49	4139169 48	4200 49
4100 49	3344675 49	1899429 49	4418439 48	4100 49
4000 49	3444856 49	1940000 49	4713991 48	4000 49
3900 49	3547983 49	1980732 49	5028558 48	3900 49
3800 49	3654911 49	2021897 49	5365407 48	3800 49
3700 49	3766622 49	2063783 49	5728524 48	3700 49
3600 49	3884232 49	2106705 49	6122570 48	3600 49
3500 49	4009020 49	2150998 49	6553164 48	3500 49
3400 49	4142463 49	2197028 49	7026958 48	3400 49
3300 49	4286254 49	2245189 49	7551890 48	3300 49
3200 49	4442355 49	2295910 49	8137381 48	3200 49
3100 49	4613035 49	2349662 49	8794630 48	3100 49
3000 49	4800931 49	2406954 49	9536972 48	3000 49
2916 49	4972862 49	2457807 49	1023196 49	2916 49

Integrated Cross Sections and Integrals for Average Energies

$\gamma = 80$ $\gamma_i$	$\int_{\gamma_i}^{\gamma} \left[ \frac{\sigma_s(\gamma')}{\phi_0} \right] d\gamma'$	$\int_{\gamma_i}^{\gamma} \left[ \frac{\gamma' \sigma_s(\gamma')}{\phi_0} \right] d\gamma'$	$\int_0^{E=\gamma-\gamma_i} [E' \sigma_s(E') / \phi_0] dE'$	$\gamma_i$
8000 49	00000000 00	00000000 00	00000000 00	8000 49
7800 49	2307158 48	1822769 48	2295750 46	7800 49
7600 49	4541261 48	3543159 48	8984980 46	7600 49
7400 49	6702750 48	5164398 48	1978018 47	7400 49
7200 49	8792291 48	6689871 48	3439617 47	7200 49
7000 49	1081086 49	8123171 48	5255189 47	7000 49
6900 49	1179394 49	8806437 48	6287213 47	6900 49
6800 49	1275985 49	9468102 48	7397780 47	6800 49
6700 49	1370881 49	1010867 49	8583800 47	6700 49
6600 49	1464114 49	1072867 49	9842410 47	6600 49
6500 49	1555713 49	1132865 49	1117053 48	6500 49
6400 49	1645716 49	1190918 49	1256542 48	6400 49
6300 49	1734164 49	1247084 49	1402464 48	6300 49
6200 49	1821104 49	1301424 49	1554590 48	6200 49
6100 49	1906591 49	1353999 49	1712737 48	6100 49
6000 49	1990682 49	1404875 49	1876707 48	6000 49
5900 49	2073444 49	1454119 49	2046354 48	5900 49
5800 49	2154953 49	1501802 49	2221598 48	5800 49
5700 49	2235290 49	1547998 49	2402338 48	5700 49
5600 49	2314553 49	1592782 49	2588598 48	5600 49
5500 49	2392842 49	1636235 49	2780388 48	5500 49
5400 49	2470278 49	1678437 49	2977849 48	5400 49
5300 49	2546991 49	1719479 49	3181135 48	5300 49
5200 49	2623126 49	1759450 49	3390509 48	5200 49
5100 49	2698845 49	1798446 49	3606297 48	5100 49
5000 49	2774335 49	1836569 49	3828993 48	5000 49
4900 49	2849796 49	1873922 49	4059146 48	4900 49
4800 49	2925459 49	1910618 49	4297487 48	4800 49
4700 49	3001579 49	1946775 49	4544885 48	4700 49
4600 49	3078443 49	1982515 49	4802394 48	4600 49
4500 49	3156370 49	2017972 49	5071246 48	4500 49
4400 49	3235725 49	2053283 49	5352968 48	4400 49
4300 49	3316909 49	2088596 49	5649307 48	4300 49
4200 49	3400379 49	2124069 49	5962341 48	4200 49
4100 49	3486650 49	2159869 49	6294511 48	4100 49
4000 49	3576301 49	2196174 49	6648670 48	4000 49
3900 49	3669987 49	2233177 49	7028125 48	3900 49
3800 49	3768451 49	2271082 49	7436794 48	3800 49
3700 49	3872535 49	2310108 49	7879200 48	3700 49
3600 49	3983199 49	2350494 49	8360657 48	3600 49
3500 49	4101531 49	2392495 49	8887299 48	3500 49
3400 49	4228780 49	2436388 49	9466360 48	3400 49
3300 49	4366377 49	2482473 49	1010628 49	3300 49
3200 49	4515962 49	2531078 49	1081691 49	3200 49
3100 49	4679431 49	2582559 49	1160986 49	3100 49
3076 49	4719352 49	2594887 49	1180594 49	3076 49

Integrated Cross Sections and Integrals for Average Energies

$\gamma = 90$ $\gamma'$	$\gamma'$	$\int_{\gamma'}^{\gamma} \left[ \frac{\sigma_s(\gamma')}{\phi_0} \right] d\gamma'$	$\int_{\gamma'}^{\gamma} \left[ \frac{\gamma' \sigma_s(\gamma')}{\phi_0} \right] d\gamma'$	$\int_{E=\gamma-\gamma'}^{\gamma-\gamma'} \left[ \frac{E' \sigma_s(E')}{\phi_0} \right] dE'$	$\gamma'$				
9000	49	00000000	00	00000000	00	9000	49		
8800	49	18289899	48	1627883	48	1820720	46	8800	49
8600	49	3612329	48	3179451	48	7164490	46	8600	49
8400	49	5350129	48	4656666	48	1584504	47	8400	49
8200	49	7042668	48	6061548	48	2768531	47	8200	49
8000	49	8690321	48	7396224	48	4250651	47	8000	49
7800	49	1029361	49	8662901	48	6013526	47	7800	49
7600	49	1185328	49	9863912	48	8040460	47	7600	49
7400	49	1337025	49	1100170	49	1031522	48	7400	49
7200	49	1484571	49	1207886	49	1282277	48	7200	49
7000	49	1628118	49	1309811	49	1554952	48	7000	49
6900	49	1698450	49	1358692	49	1699132	48	6900	49
6800	49	1767854	49	1406235	49	1848338	48	6800	49
6700	49	1836363	49	1452480	49	2002471	48	6700	49
6600	49	1904010	49	1497466	49	2161430	48	6600	49
6500	49	1970833	49	1541235	49	2325146	48	6500	49
6400	49	2036874	49	1583832	49	2493544	48	6400	49
6300	49	2102177	49	1625300	49	2666594	48	6300	49
6200	49	2166794	49	1665687	49	2844281	48	6200	49
6100	49	2230782	49	1705039	49	3026648	48	6100	49
6000	49	2294200	49	1743408	49	3213724	48	6000	49
5900	49	2357120	49	1780845	49	3405630	48	5900	49
5800	49	2419616	49	1817406	49	3602485	48	5800	49
5700	49	2481771	49	1853146	49	3804482	48	5700	49
5600	49	2543679	49	1888123	49	4011876	48	5600	49
5500	49	2605441	49	1922401	49	4224959	48	5500	49
5400	49	2667170	49	1956044	49	4444091	48	5400	49
5300	49	2728992	49	1989119	49	4669743	48	5300	49
5200	49	2791045	49	2021696	49	4902446	48	5200	49
5100	49	2853481	49	2053850	49	5142830	48	5100	49
5000	49	2916472	49	2085660	49	5391649	48	5000	49
4900	49	2980206	49	2117207	49	5649777	48	4900	49
4800	49	3044890	49	2148579	49	5918221	48	4800	49
4700	49	3110761	49	2179865	49	6198194	48	4700	49
4600	49	3178073	49	2211165	49	6491014	48	4600	49
4500	49	3247119	49	2242579	49	6798280	48	4500	49
4400	49	3318219	49	2274217	49	7121804	48	4400	49
4300	49	3391733	49	2306193	49	7463660	48	4300	49
4200	49	3468065	49	2338631	49	7826272	48	4200	49
4100	49	3547664	49	2371663	49	8212350	48	4100	49
4000	49	3631040	49	2405426	49	8625098	48	4000	49
3900	49	3718762	49	2440073	49	9068130	48	3900	49
3800	49	3811473	49	2475762	49	9545640	48	3800	49
3700	49	3909902	49	2512667	49	1006244	49	3700	49
3600	49	4014870	49	2550975	49	1062407	49	3600	49

Integrated Cross Sections and Integrals for Average Energies

$\gamma = 90$ $\gamma_i$	$\int_{\gamma_i}^{\gamma} \left[ \frac{\sigma_s(\gamma')}{\phi_0} \right] d\gamma'$	$\int_{\gamma_i}^{\gamma} \left[ \frac{\gamma' \sigma_s(\gamma')}{\phi_0} \right] d\gamma'$	$\int_0^{E=\gamma-\gamma_i} [E' \sigma_s(E') / \phi_0] dE'$	$\gamma_i$
3500 49	41 27312 49	259 0886 49	112 3695 49	3500 49
3400 49	42 48293 49	263 2616 49	119 0847 49	3400 49
3300 49	43 79026 49	267 6403 49	126 4720 49	3300 49
3214 49	44 99896 49	271 5766 49	133 4140 49	3214 49



Integrated Cross Sections and Integrals for Average Energies

$\gamma = 10$ $\gamma_i$	50	$\int_{\gamma_i}^{\gamma} \left[ \frac{\sigma_2(\gamma')}{\phi_0} \right] d\gamma'$	$\int_{\gamma_i}^{\gamma} \left[ \frac{\gamma' \sigma_2(\gamma')}{\phi_0} \right] d\gamma'$	$\int_0^{\gamma-\gamma_i} [E' \sigma_2(E') / \phi_0] dE'$	$\gamma_i$
1000	50	00 000000 00	000 00000 00	00000000 00	1000 50
9500	49	3656310 48	3565684 48	9062540 46	9500 49
9000	49	7126110 48	6776017 48	3500925 47	9000 49
8500	49	1041239 49	9652273 48	7601200 47	8500 49
8000	49	1352135 49	1221788 49	1303472 48	8000 49
7500	49	1646389 49	1449901 49	1964882 48	7500 49
7000	49	1925799 49	1652531 49	2732688 48	7000 49
6900	49	1980128 49	1690290 49	2898382 48	6900 49
6800	49	2034003 49	1727194 49	3068090 48	6800 49
6700	49	2087454 49	1763274 49	3241802 48	6700 49
6600	49	2140519 49	1798562 49	3419568 48	6600 49
6500	49	2193235 49	1833091 49	3601437 48	6500 49
6400	49	2245645 49	1866896 49	3787484 48	6400 49
6300	49	2297794 49	1900011 49	3977829 48	6300 49
6200	49	2349734 49	1932473 49	4172607 48	6200 49
6100	49	2401519 49	1964322 49	4371969 48	6100 49
6000	49	2453211 49	1995596 49	4576158 48	6000 49
5900	49	2504876 49	2026336 49	4785399 48	5900 49
5800	49	2556586 49	2056586 49	4999996 48	5800 49
5700	49	2608422 49	2086392 49	5220298 48	5700 49
5600	49	2660470 49	2115799 49	5446713 48	5600 49
5500	49	2712828 49	2144857 49	5679705 48	5500 49
5400	49	2765600 49	2173618 49	5919823 48	5400 49
5300	49	2818903 49	2202134 49	6167689 48	5300 49
5200	49	2872865 49	2230464 49	6424014 48	5200 49
5100	49	2927627 49	2258665 49	6689616 48	5100 49
5000	49	2983344 49	2286801 49	6965428 48	5000 49
4900	49	3040187 49	2314938 49	7252493 48	4900 49
4800	49	3098346 49	2343144 49	7552026 48	4800 49
4700	49	3158031 49	2371493 49	7865386 48	4700 49
4600	49	3219475 49	2400062 49	8194122 48	4600 49
4500	49	3282934 49	2428934 49	8539996 48	4500 49
4400	49	3348696 49	2458196 49	8904992 48	4400 49
4300	49	3417079 49	2487941 49	9291380 48	4300 49
4200	49	3488440 49	2518267 49	9701730 48	4200 49
4100	49	3563175 49	2549279 49	1013896 49	4100 49
4000	49	3641729 49	2581090 49	1060639 49	4000 49
3950	49	3682591 49	2597332 49	1085259 49	3950 49
3900	49	3724600 49	2613820 49	1110780 49	3900 49
3850	49	3767828 49	2630570 49	1137257 49	3850 49
3800	49	3812350 49	2647599 49	1164750 49	3800 49
3750	49	3858249 49	2664926 49	1193322 49	3750 49
3700	49	3905609 49	2682567 49	1223042 49	3700 49
3650	49	3954524 49	2700542 49	1253981 49	3650 49
3600	49	4005089 49	2718872 49	1286217 49	3600 49

Integrated Cross Sections and Integrals for Average Energies

$\gamma = 10$ $\gamma_i$	50	$\int_{\gamma_i}^{\gamma} \left[ \frac{\sigma_s(\gamma')}{\phi_0} \right] d\gamma'$	$\int_{\gamma_i}^{\gamma} \left[ \frac{\gamma' \sigma_s(\gamma')}{\phi_0} \right] d\gamma'$	$\int_0^{E-\gamma-\gamma_i} \left[ \frac{E' \sigma_s(E')}{\phi_0} \right] dE'$	$\gamma_i$
3550	49	4057411 49	2737576 49	1319835 49	3550 49
3500	49	4111599 49	2756676 49	1354923 49	3500 49
3450	49	4167771 49	2776195 49	1391576 49	3450 49
3400	49	4226052 49	2796156 49	1429896 49	3400 49
3350	49	4286580 49	2816582 49	1469997 49	3350 49
3333	49	4307278 49	2823499 49	1483778 49	3333 49

Integrated Cross Sections and Integrals for Average Energies

$\gamma = 11$ $\gamma_i$	50	$\int_{\gamma_i}^{\gamma} \left[ \frac{\sigma_s(\gamma')}{\phi_0} \right] d\gamma'$	$\int_{\gamma_i}^{\gamma} \left[ \frac{\gamma' \sigma_s(\gamma')}{\phi_0} \right] d\gamma'$	$\int_0^{\Sigma = \gamma - \gamma_i} [E' \sigma_s(E') / \phi_0] dE'$	$\gamma_i$				
1100	50	00000000	00	00000000	00	1100	50		
1050	50	3035186	48	3263351	48	7535340	46	1050	50
1000	50	5942852	48	6244242	48	2928960	47	1000	50
9500	49	8724571	48	8956935	48	6400928	47	9500	49
9000	49	1138340	49	1141686	49	1104886	48	9000	49
8500	49	1392462	49	1364090	49	1676188	48	8500	49
8000	49	1635660	49	1564772	49	2344543	48	8000	49
7500	49	1869228	49	1745824	49	3103271	48	7500	49
7000	49	2095123	49	1909625	49	3950109	48	7000	49
6900	49	2139619	49	1940549	49	4130323	48	6900	49
6800	49	2183950	49	1970916	49	4314289	48	6800	49
6700	49	2228150	49	2000751	49	4502142	48	6700	49
6600	49	2272252	49	2030079	49	4693979	48	6600	49
6500	49	2316294	49	2058927	49	4889968	48	6500	49
6400	49	2360319	49	2087323	49	5090279	48	6400	49
6300	49	2404370	49	2115294	49	5295124	48	6300	49
6200	49	2448496	49	2142873	49	5504721	48	6200	49
6100	49	2492749	49	2170089	49	5719349	48	6100	49
6000	49	2537188	49	2196975	49	5939324	48	6000	49
5900	49	2581876	49	2223563	49	6164998	48	5900	49
5800	49	2626880	49	2249890	49	6396776	48	5800	49
5700	49	2672275	49	2275993	49	6635102	48	5700	49
5600	49	2718145	49	2301908	49	6880513	48	5600	49
5500	49	2764575	49	2327677	49	7133559	48	5500	49
5400	49	2811666	49	2353340	49	7394922	48	5400	49
5300	49	2859523	49	2378944	49	7665314	48	5300	49
5200	49	2908263	49	2404531	49	7945585	48	5200	49
5100	49	2958016	49	2430153	49	8236650	48	5100	49
5000	49	3008922	49	2455860	49	8539549	48	5000	49
4900	49	3061137	49	2481705	49	8855454	48	4900	49
4800	49	3114831	49	2507746	49	9185690	48	4800	49
4700	49	3170195	49	2534041	49	9531731	48	4700	49
4600	49	3227434	49	2560656	49	9895222	48	4600	49
4500	49	3286781	49	2587657	49	1027801	49	4500	49
4400	49	3348490	49	2615116	49	1068223	49	4400	49
4300	49	3412845	49	2643108	49	1111021	49	4300	49
4200	49	3480161	49	2671714	49	1156463	49	4200	49
4100	49	3550790	49	2701022	49	1204846	49	4100	49
4000	49	3625122	49	2731124	49	1256511	49	4000	49
3950	49	3663813	49	2746503	49	1283691	49	3950	49
3900	49	3703598	49	2762118	49	1311840	49	3900	49
3850	49	3744540	49	2777983	49	1341012	49	3850	49
3800	49	3786707	49	2794111	49	1371266	49	3800	49
3750	49	3830170	49	2810517	49	1402669	49	3750	49
3700	49	3875002	49	2827217	49	1435284	49	3700	49

Integrated Cross Sections and Integrals for Average Energies

$\gamma = 11$ $\gamma_i$	$50$	$\int_{\gamma_i}^{\gamma} \left[ \frac{\sigma_s(\gamma')}{\phi_0} \right] d\gamma'$	$\int_{\gamma_i}^{\gamma} \left[ \frac{\gamma' \sigma_s(\gamma')}{\phi_0} \right] d\gamma'$	$\int_0^{E=\gamma-\gamma_i} [E' \sigma_s(E') / \phi_0] dE'$	$\gamma_i$
3650	49	3921286 49	2844226 49	1469188 49	3650 49
3600	49	3969107 49	2861560 49	1504457 49	3600 49
3550	49	4018552 49	2879236 49	1541170 49	3550 49
3500	49	4069721 49	2897272 49	1579421 49	3500 49
3450	49	4122715 49	2915687 49	1619299 49	3450 49
3437	49	4136261 49	2920352 49	1629535 49	3437 49

Integrated Cross Sections and Integrals for Average Energies

$\gamma = 12$ $\gamma_i$	$50$	$\int_{\gamma_i}^{\gamma} \left[ \frac{\sigma_3(\gamma')}{\phi_0} \right] d\gamma'$	$\int_{\gamma_i}^{\gamma} \left[ \frac{\gamma' \sigma_3(\gamma')}{\phi_0} \right] d\gamma'$	$\int_0^{\gamma-\gamma_i} [E' \sigma_3(E') / \phi_0] dE'$	$\gamma_i$
1200	50	00 000000 00	000 00000 00	000 00000 00	1200 50
1150	50	25 58993 48	300 7196 48	63 59520 46	1150 50
1100	50	50 27967 48	578 5166 48	24 83937 47	1100 50
1050	50	74 07862 48	834 3915 48	54 55188 47	1050 50
1000	50	97 00409 48	106 9413 49	94 63550 47	1000 50
9500	49	11 90844 49	128 4732 49	14 42817 48	9500 49
9000	49	14 03633 49	148 1593 49	20 27668 48	9000 49
8500	49	16 09057 49	166 1368 49	26 95004 48	8500 49
8000	49	18 08065 49	182 5574 49	34 41038 48	8000 49
7500	49	20 02038 49	197 5920 49	42 65251 48	7500 49
7000	49	21 92974 49	211 4357 49	51 72121 48	7000 49
6900	49	22 31033 49	214 0807 49	53 64322 48	6900 49
6800	49	22 69111 49	216 6891 49	55 60418 48	6800 49
6700	49	23 07239 49	219 2628 49	57 60593 48	6700 49
6600	49	23 45452 49	221 8039 49	59 65034 48	6600 49
6500	49	23 83784 49	224 3147 49	61 73942 48	6500 49
6400	49	24 22276 49	226 7974 49	63 87574 48	6400 49
6300	49	24 60970 49	229 2544 49	66 06200 48	6300 49
6200	49	24 99911 49	231 6882 49	68 30110 48	6200 49
6100	49	25 39151 49	234 1014 49	70 59667 48	6100 49
6000	49	25 78742 49	236 4966 49	72 95240 48	6000 49
5900	49	26 18743 49	238 8767 49	75 37250 48	5900 49
5800	49	26 59218 49	241 2444 49	77 86176 48	5800 49
5700	49	27 00237 49	243 6030 49	80 42548 48	5700 49
5600	49	27 41875 49	245 9554 49	83 06952 48	5600 49
5500	49	27 84213 49	248 3052 49	85 80036 48	5500 49
5400	49	28 27342 49	250 6556 49	88 62547 48	5400 49
5300	49	28 71360 49	253 0105 49	91 55269 48	5300 49
5200	49	29 16373 49	255 3736 49	94 59113 48	5200 49
5100	49	29 62498 49	257 7490 49	97 75084 48	5100 49
5000	49	30 09864 49	260 1409 49	101 0428 49	5000 49
4900	49	30 58612 49	262 5537 49	104 4797 49	4900 49
4800	49	31 08896 49	264 9923 49	108 0751 49	4800 49
4700	49	31 60885 49	267 4617 49	111 8445 49	4700 49
4600	49	32 14768 49	269 9671 49	115 8050 49	4600 49
4500	49	32 70750 49	272 5141 49	119 9759 49	4500 49
4400	49	33 29062 49	275 1087 49	124 3786 49	4400 49
4300	49	33 89954 49	277 7573 49	129 0371 49	4300 49
4200	49	34 53709 49	280 4667 49	133 9784 49	4200 49
4100	49	35 20638 49	283 2439 49	139 2326 49	4100 49
4000	49	35 91089 49	286 0969 49	144 8338 49	4000 49
3950	49	36 27755 49	287 5544 49	147 7763 49	3950 49
3900	49	36 65451 49	289 0338 49	150 8202 49	3900 49
3850	49	37 04232 49	290 5365 49	153 9712 49	3850 49
3800	49	37 44156 49	292 0636 49	157 2351 49	3800 49

Integrated Cross Sections and Integrals for Average Energies

$\gamma = 12$ $\gamma_i$ 50	$\int_{\gamma_i}^{\gamma} \left[ \frac{\sigma_s(\gamma')}{\phi_0} \right] d\gamma'$	$\int_{\gamma_i}^{\gamma} \left[ \frac{\gamma' \sigma_s(\gamma')}{\phi_0} \right] d\gamma'$	$\int_0^{E=\gamma-\gamma_i} [E' \sigma_s(E') / \phi_0] dE'$	$\gamma_i$
3750 49	3785289 49	2936163 49	1606183 49	3750 49
3700 49	3827694 49	2951958 49	1641274 49	3700 49
3650 49	3871442 49	2968036 49	1677695 49	3650 49
3600 49	3916609 49	2984408 49	1715523 49	3600 49
3550 49	3963274 49	3001090 49	1754838 49	3550 49
3529 49	3982945 49	3008052 49	1771481 49	3529 49

Integrated Cross Sections and Integrals for Average Energies

$\gamma = 13$ $\gamma_i$	$\gamma_i$	$\int_{\gamma_i}^{\gamma} \left[ \frac{\sigma_s(\gamma')}{\phi_0} \right] d\gamma'$	$\int_{\gamma_i}^{\gamma} \left[ \frac{\gamma' \sigma_s(\gamma')}{\phi_0} \right] d\gamma'$	$\int_0^{E-\gamma-\gamma_i} [E' \sigma_s(E') / \phi_0] dE'$	$\gamma_i$
1300	50	0000000 00	0000000 00	0000000 00	1300 50
1250	50	2186151 48	2787612 48	5438440 46	1250 50
1200	50	4306991 48	5385911 48	2131777 47	1200 50
1150	50	6363165 48	7802186 48	4699284 47	1150 50
1100	50	8355771 48	1004413 49	8183700 47	1100 50
1050	50	1028651 49	1211992 49	1252535 48	1050 50
1000	50	1215787 49	1403831 49	1766922 48	1000 50
9500	49	1397345 49	1580873 49	2356764 48	9500 49
9000	49	1573835 49	1744146 49	3018399 48	9000 49
8500	49	1745969 49	1894780 49	3749806 48	8500 49
8000	49	1914749 49	2034034 49	4551396 48	8000 49
7500	49	2081575 49	2163328 49	5427190 48	7500 49
7000	49	2248424 49	2284290 49	6386621 48	7000 49
6900	49	2282026 49	2307643 49	6589915 48	6900 49
6800	49	2315765 49	2330754 49	6797416 48	6800 49
6700	49	2349671 49	2353640 49	7009330 48	6700 49
6600	49	2383775 49	2376319 49	7225885 48	6600 49
6500	49	2418112 49	2398810 49	7447363 48	6500 49
6400	49	2452719 49	2421131 49	7674043 48	6400 49
6300	49	2487636 49	2443303 49	7906242 48	6300 49
6200	49	2522906 49	2465346 49	8144319 48	6200 49
6100	49	2558576 49	2487283 49	8388660 48	6100 49
6000	49	2594695 49	2509135 49	8639695 48	6000 49
5900	49	2631320 49	2530925 49	8897902 48	5900 49
5800	49	2668507 49	2552680 49	9163792 48	5800 49
5700	49	2706322 49	2574423 49	9437958 48	5700 49
5600	49	2744835 49	2596182 49	9721034 48	5600 49
5500	49	2784121 49	2617985 49	1001372 49	5500 49
5400	49	2824262 49	2639861 49	1031679 49	5400 49
5300	49	2865348 49	2661841 49	1063111 49	5300 49
5200	49	2907477 49	2683958 49	1095761 49	5200 49
5100	49	2950755 49	2706245 49	1129736 49	5100 49
5000	49	2995300 49	2728739 49	1165150 49	5000 49
4900	49	3041238 49	2751477 49	1202131 49	4900 49
4800	49	3088710 49	2774500 49	1240822 49	4800 49
4700	49	3137870 49	2797849 49	1281381 49	4700 49
4600	49	3188885 49	2821571 49	1323980 49	4600 49
4500	49	3241945 49	2845711 49	1368817 49	4500 49
4400	49	3297253 49	2870320 49	1416108 49	4400 49
4300	49	3355036 49	2895454 49	1466092 49	4300 49
4200	49	3415546 49	2921168 49	1519041 49	4200 49
4100	49	3479062 49	2947525 49	1575255 49	4100 49
4000	49	3545895 49	2974589 49	1635073 49	4000 49
3950	49	3580661 49	2988409 49	1666451 49	3950 49
3900	49	3616390 49	3002432 49	1698875 49	3900 49

Integrated Cross Sections and Integrals for Average Energies

$\gamma = 13$ $\gamma_i$	50	$\int_{\gamma_i}^{\gamma} \left[ \frac{\sigma_s(\gamma')}{\phi_0} \right] d\gamma'$	$\int_{\gamma_i}^{\gamma} \left[ \frac{\gamma' \sigma_s(\gamma')}{\phi_0} \right] d\gamma'$	$\int_0^{E=\gamma-\gamma_i} [E' \sigma_s(E') / \phi_0] dE'$	$\gamma_i$
3850	49	3653130 49	3016668 49	1732401 49	3850 49
3800	49	3690934 49	3031128 49	1767086 49	3800 49
3750	49	3729858 49	3045821 49	1802994 49	3750 49
3700	49	3769960 49	3060759 49	1840188 49	3700 49
3650	49	3811303 49	3075951 49	1878742 49	3650 49
3611	49	3844359 49	3087952 49	1909714 49	3611 49



Integrated Cross Sections and Integrals for Average Energies

$\gamma = 14$ $\gamma_i$	$\gamma_i$	$\int_{\gamma_i}^{\gamma} \left[ \frac{\sigma_s(\gamma')}{\phi_0} \right] d\gamma'$	$\int_{\gamma_i}^{\gamma} \left[ \frac{\gamma' \sigma_s(\gamma')}{\phi_0} \right] d\gamma'$	$\int_0^{E-\gamma-\gamma_i} [E' \sigma_s(E') / \phi_0] dE'$	$\gamma_i$				
1400	50	00000000	00	00000000	00	1400	50		
1350	50	18889004	48	2597439	48	4702670	46	1350	50
1300	50	3729294	48	5036165	48	1848459	47	1300	50
1250	50	5521675	48	7321646	48	4086992	47	1250	50
1200	50	7266797	48	9459618	48	7138990	47	1200	50
1150	50	8965774	48	1145610	49	1095983	48	1150	50
1100	50	1062016	49	1331747	49	1550753	48	1100	50
1050	50	1223213	49	1505051	49	2074476	48	1050	50
1000	50	1380466	49	1666251	49	2664013	48	1000	50
9500	49	1534177	49	1816133	49	3317151	48	9500	49
9000	49	1684894	49	1955557	49	4032939	48	9000	49
8500	49	1833360	49	2085473	49	4812317	48	8500	49
8000	49	1980588	49	2206938	49	5658852	48	8000	49
7500	49	2127966	49	2321152	49	6580004	48	7500	49
7000	49	2277417	49	2429490	49	7588932	48	7000	49
6900	49	2307775	49	2450589	49	7802963	48	6900	49
6800	49	2338347	49	2471531	49	8021551	48	6800	49
6700	49	2369160	49	2492329	49	8244947	48	6700	49
6600	49	2400244	49	2513000	49	8473416	48	6600	49
6500	49	2431631	49	2533558	49	8707250	48	6500	49
6400	49	2463357	49	2554021	49	8946791	48	6400	49
6300	49	2495458	49	2574405	49	9192369	48	6300	49
6200	49	2527976	49	2594728	49	9444383	48	6200	49
6100	49	2560953	49	2615009	49	9703252	48	6100	49
6000	49	2594437	49	2635266	49	9969459	48	6000	49
5900	49	2628477	49	2655520	49	1024348	49	5900	49
5800	49	2663130	49	2675791	49	1052590	49	5800	49
5700	49	2698453	49	2696101	49	1081733	49	5700	49
5600	49	2734513	49	2716474	49	1111843	49	5600	49
5500	49	2771377	49	2736933	49	1142994	49	5500	49
5400	49	2809122	49	2757503	49	1175267	49	5400	49
5300	49	2847830	49	2778211	49	1208751	49	5300	49
5200	49	2887591	49	2799085	49	1243542	49	5200	49
5100	49	2928502	49	2820153	49	1279749	49	5100	49
5000	49	2970669	49	2841446	49	1317490	49	5000	49
4900	49	3014210	49	2862998	49	1356896	49	4900	49
4800	49	3059251	49	2884841	49	1398109	49	4800	49
4700	49	3105931	49	2907013	49	1441290	49	4700	49
4600	49	3154406	49	2929552	49	1486615	49	4600	49
4500	49	3204841	49	2952499	49	1534279	49	4500	49
4400	49	3257425	49	2975896	49	1584498	49	4400	49
4300	49	3312361	49	2999792	49	1637513	49	4300	49
4200	49	3369876	49	3024233	49	1693592	49	4200	49
4100	49	3430221	49	3049274	49	1753035	49	4100	49
4000	49	3493675	49	3074970	49	1816174	49	4000	49

Integrated Cross Sections and Integrals for Average Energies

$\gamma = 14$ $\gamma_i$ 50	$\int_{\gamma_i}^{\gamma} \left[ \frac{\sigma_2(\gamma')}{\phi_0} \right] d\gamma'$	$\int_{\gamma_i}^{\gamma} \left[ \frac{\gamma' \sigma_3(\gamma')}{\phi_0} \right] d\gamma'$	$\int_0^{E=\gamma-\gamma_i} [E' \sigma_6(E') / \phi_0] dE'$	$\gamma_i$
3950 49	3526664 49	3088083 49	1849247 49	3950 49
3900 49	3560549 49	3101383 49	1883386 49	3900 49
3850 49	3595375 49	3114877 49	1918648 49	3850 49
3800 49	3631189 49	3128576 49	1955088 49	3800 49
3750 49	3668040 49	3142486 49	1992770 49	3750 49
3700 49	3705981 49	3156619 49	2031755 49	3700 49
3684 49	3716198 49	3161130 49	2044347 49	3684 49

Integrated Cross Sections and Integrals for Average Energies

$\gamma = 15$ $\gamma'$	$\int_{\gamma'}^{\gamma} \left[ \frac{\sigma_s(\gamma')}{\phi_0} \right] d\gamma'$	$\int_{\gamma'}^{\gamma} \left[ \frac{\gamma' \sigma_s(\gamma')}{\phi_0} \right] d\gamma'$	$\int_0^{E=\gamma-\gamma'} \left[ \frac{E' \sigma_s(E')}{\phi_0} \right] dE'$	$\gamma'$
1500 50	0000000 00	0000000 00	0000000 00	1500 50
1450 50	1648186 48	2431228 48	4105110 46	1450 50
1400 50	3259607 48	4727656 48	1617553 47	1400 50
1350 50	4834663 48	6893506 48	3584883 47	1350 50
1300 50	6373913 48	8933161 48	6277080 47	1300 50
1250 50	7878136 48	1085118 49	9660150 47	1250 50
1200 50	9348390 48	1265239 49	1370194 48	1200 50
1150 50	1078608 49	1434180 49	1837317 48	1150 50
1100 50	1219307 49	1592480 49	2364815 48	1100 50
1050 50	1357183 49	1740708 49	2950676 48	1050 50
1000 50	1492560 49	1879478 49	3593619 48	1000 50
9500 49	1625865 49	2009458 49	4293393 48	9500 49
9000 49	1757662 49	2131375 49	5051177 48	9000 49
8500 49	1888703 49	2246038 49	5870173 48	8500 49
8000 49	2019992 49	2354347 49	6756408 48	8000 49
7500 49	2152883 49	2457328 49	7719968 48	7500 49
7000 49	2289228 49	2556159 49	8776832 48	7000 49
6900 49	2317121 49	2575544 49	9001369 48	6900 49
6800 49	2345275 49	2594830 49	9230834 48	6800 49
6700 49	2373718 49	2614029 49	9465492 48	6700 49
6600 49	2402478 49	2633154 49	9705639 48	6600 49
6500 49	2431585 49	2652218 49	9951594 48	6500 49
6400 49	2461072 49	2671237 49	1020370 49	6400 49
6300 49	2490973 49	2690224 49	1046235 49	6300 49
6200 49	2521326 49	2709194 49	1072795 49	6200 49
6100 49	2552173 49	2728164 49	1100095 49	6100 49
6000 49	2583556 49	2747151 49	1128183 49	6000 49
5900 49	2615522 49	2766170 49	1157113 49	5900 49
5800 49	2648124 49	2785241 49	1186944 49	5800 49
5700 49	2681414 49	2804383 49	1217738 49	5700 49
5600 49	2715453 49	2823614 49	1249565 49	5600 49
5500 49	2750306 49	2842957 49	1282502 49	5500 49
5400 49	2786041 49	2862432 49	1316629 49	5400 49
5300 49	2822734 49	2882062 49	1352039 49	5300 49
5200 49	2860468 49	2901871 49	1388831 49	5200 49
5100 49	2899333 49	2921886 49	1427113 49	5100 49
5000 49	2939425 49	2942131 49	1467007 49	5000 49
4900 49	2980851 49	2962636 49	1508641 49	4900 49
4800 49	3023728 49	2983430 49	1552162 49	4800 49
4700 49	3068183 49	3004544 49	1597730 49	4700 49
4600 49	3114355 49	3026013 49	1645519 49	4600 49
4500 49	3162398 49	3047871 49	1695726 49	4500 49
4400 49	3212480 49	3070156 49	1748564 49	4400 49
4300 49	3264787 49	3092907 49	1804273 49	4300 49
4200 49	3319525 49	3116169 49	1863119 49	4200 49

Integrated Cross Sections and Integrals for Average Energies

$\gamma = 15$ $\gamma_i$	50	$\int_{\gamma_i}^{\gamma} \left[ \frac{\sigma_s(\gamma')}{\phi_0} \right] d\gamma'$	$\int_{\gamma_i}^{\gamma} \left[ \frac{\gamma' \sigma_s(\gamma')}{\phi_0} \right] d\gamma'$	$\int_0^{E-\gamma-\gamma_i} \left[ \frac{E' \sigma_s(E')}{\phi_0} \right] dE'$	$\gamma_i$
4100	49	3376921 49	3139986 49	1925396 49	4100 49
4000	49	3437227 49	3164407 49	1991433 49	4000 49
3950	49	3468558 49	3176861 49	2025976 49	3950 49
3900	49	3500724 49	3189485 49	2061600 49	3900 49
3850	49	3533764 49	3202288 49	2098357 49	3850 49
3800	49	3567722 49	3215277 49	2136306 49	3800 49
3750	49	3602642 49	3228459 49	2175504 49	3750 49

Integrated Cross Sections and Integrals for Average Energies

$\gamma = 1.6$ $\gamma_i$		$\int_{\gamma_i}^{\gamma} \left[ \frac{\sigma_2(\gamma')}{\phi_0} \right] d\gamma'$	$\int_{\gamma_i}^{\gamma} \left[ \frac{\gamma' \sigma_2(\gamma')}{\phi_0} \right] d\gamma'$	$\int_0^{\gamma-\gamma_i} [E' \sigma_2(E') / \phi_0] dE'$	$\gamma_i$
1600	50	00000000 00	00000000 00	00000000 00	1600 50
1550	50	1450574 48	2284773 48	3614540 46	1550 50
1500	50	2872787 48	4453764 48	1426949 47	1500 50
1450	50	4266964 48	6510294 48	3168488 47	1450 50
1400	50	5633554 48	8457793 48	5558942 47	1400 50
1350	50	6973129 48	1029982 49	8571830 47	1350 50
1300	50	8286451 48	1204008 49	1218242 48	1300 50
1250	50	9574488 48	1368243 49	1636750 48	1250 50
1200	50	1083849 49	1523093 49	2110656 48	1200 50
1150	50	1208007 49	1668988 49	2638240 48	1150 50
1100	50	1330128 49	1806382 49	3218231 48	1100 50
1050	50	1450475 49	1935762 49	3849989 48	1050 50
1000	50	1569388 49	2057652 49	4533682 48	1000 50
9500	49	1687304 49	2172624 49	5270632 48	9500 49
9000	49	1804794 49	2281302 49	6063678 48	9000 49
8500	49	1922601 49	2384380 49	6917817 48	8500 49
8000	49	2041709 49	2482637 49	7840984 48	8000 49
7500	49	2163430 49	2576956 49	8845321 48	7500 49
7000	49	2289535 49	2668359 49	9948961 48	7000 49
6900	49	2315481 49	2686392 49	1018377 49	6900 49
6800	49	2341720 49	2704365 49	1042386 49	6800 49
6700	49	2368276 49	2722290 49	1066951 49	6700 49
6600	49	2395177 49	2740179 49	1092103 49	6600 49
6500	49	2422450 49	2758043 49	1117877 49	6500 49
6400	49	2450127 49	2775894 49	1144309 49	6400 49
6300	49	2478240 49	2793746 49	1171438 49	6300 49
6200	49	2506824 49	2811610 49	1199308 49	6200 49
6100	49	2535918 49	2829502 49	1227966 49	6100 49
6000	49	2565561 49	2847436 49	1257462 49	6000 49
5900	49	2595799 49	2865427 49	1287851 49	5900 49
5800	49	2626676 49	2883490 49	1319192 49	5800 49
5700	49	2658246 49	2901642 49	1351552 49	5700 49
5600	49	2690563 49	2919900 49	1385000 49	5600 49
5500	49	2723686 49	2938283 49	1419615 49	5500 49
5400	49	2757680 49	2956809 49	1455479 49	5400 49
5300	49	2792614 49	2975498 49	1492685 49	5300 49
5200	49	2828565 49	2994371 49	1531333 49	5200 49
5100	49	2865615 49	3013451 49	1571533 49	5100 49
5000	49	2903853 49	3032760 49	1613404 49	5000 49
4900	49	2943377 49	3052323 49	1657080 49	4900 49
4800	49	2984294 49	3072167 49	1702703 49	4800 49
4700	49	3026721 49	3092318 49	1750435 49	4700 49
4600	49	3070784 49	3112806 49	1800448 49	4600 49
4500	49	3116625 49	3133662 49	1852937 49	4500 49
4400	49	3164397 49	3154919 49	1908116 49	4400 49

Integrated Cross Sections and Integrals for Average Energies

$\gamma = 16$ $\gamma_i$ 50	$\int_{\gamma_i}^{\gamma} \left[ \frac{\sigma_s(\gamma')}{\phi_0} \right] d\gamma'$	$\int_{\gamma_i}^{\gamma} \left[ \frac{\gamma' \sigma_s(\gamma')}{\phi_0} \right] d\gamma'$	$\int_0^{E=\gamma-\gamma_i} [E' \sigma_s(E') / \phi_0] dE'$	$\gamma_i$
4300 49	3214270 49	3176612 49	1966219 49	4300 49
4200 49	3266430 49	3198778 49	2027510 49	4200 49
4100 49	3321085 49	3221458 49	2092278 49	4100 49
4000 49	3378463 49	3244693 49	2160847 49	4000 49
3950 49	3408252 49	3256534 49	2196668 49	3950 49
3900 49	3438820 49	3268531 49	2233580 49	3900 49
3850 49	3470201 49	3280692 49	2271630 49	3850 49
3809 49	3496229 49	3290659 49	2303307 49	3809 49

Integrated Cross Sections and Integrals for Average Energies

$\gamma = 17$ $\gamma_i$	50	$\int_{\gamma_i}^{\gamma} \left[ \frac{\sigma_s(\gamma')}{\phi_0} \right] d\gamma'$	$\int_{\gamma_i}^{\gamma} \left[ \frac{\gamma' \sigma_s(\gamma')}{\phi_0} \right] d\gamma'$	$\int_0^{E=\gamma-\gamma_i} [E' \sigma_s(E') / \phi_0] dE'$	$\gamma_i$
1700	50	0000000 00	0000000 00	0000000 00	1700 50
1650	50	1286386 48	2154789 48	3206740 46	1650 50
1600	50	2550546 48	4209141 48	1267874 47	1600 50
1550	50	3792761 48	6165720 48	2819732 47	1550 50
1500	50	5013389 48	8027267 48	4954946 47	1500 50
1450	50	6212880 48	9796604 48	7652930 47	1450 50
1400	50	7391801 48	1147665 49	1089412 48	1400 50
1350	50	8550863 48	1307044 49	1466025 48	1350 50
1300	50	9690951 48	1458113 49	1893482 48	1300 50
1250	50	1081316 49	1601203 49	2370351 48	1250 50
1200	50	1191889 49	1736661 49	2895507 48	1200 50
1150	50	1300986 49	1864856 49	3468208 48	1150 50
1100	50	1408824 49	1986178 49	4088230 48	1100 50
1050	50	1515675 49	2101046 49	4756014 48	1050 50
1000	50	1621886 49	2209915 49	5472921 48	1000 50
9500	49	1727898 49	2313276 49	6241506 48	9500 49
9000	49	1834275 49	2411672 49	7065958 48	9000 49
8500	49	1941749 49	2505705 49	7952684 48	8500 49
8000	49	2051275 49	2596053 49	8911146 48	8000 49
7500	49	2164116 49	2683488 49	9955092 48	7500 49
7000	49	2281962 49	2768902 49	1110434 49	7000 49
6900	49	2306321 49	2785831 49	1134915 49	6900 49
6800	49	2330991 49	2802730 49	1159956 49	6800 49
6700	49	2355997 49	2819608 49	1185586 49	6700 49
6600	49	2381361 49	2836475 49	1211839 49	6600 49
6500	49	2407113 49	2853342 49	1238750 49	6500 49
6400	49	2433280 49	2870220 49	1266356 49	6400 49
6300	49	2459893 49	2887118 49	1294700 49	6300 49
6200	49	2486985 49	2904050 49	1323825 49	6200 49
6100	49	2514592 49	2921028 49	1353778 49	6100 49
6000	49	2542751 49	2938064 49	1384612 49	6000 49
5900	49	2571503 49	2955171 49	1416384 49	5900 49
5800	49	2600892 49	2972363 49	1449153 49	5800 49
5700	49	2630966 49	2989655 49	1482987 49	5700 49
5600	49	2661775 49	3007061 49	1517957 49	5600 49
5500	49	2693376 49	3024599 49	1554140 49	5500 49
5400	49	2725827 49	3042284 49	1591621 49	5400 49
5300	49	2759193 49	3060134 49	1630494 49	5300 49
5200	49	2793544 49	3078168 49	1670857 49	5200 49
5100	49	2828957 49	3096405 49	1712823 49	5100 49
5000	49	2865514 49	3114865 49	1756509 49	5000 49
4900	49	2903305 49	3133570 49	1802048 49	4900 49
4800	49	2942428 49	3152544 49	1849584 49	4800 49
4700	49	2982991 49	3171810 49	1899275 49	4700 49
4600	49	3025111 49	3191395 49	1951294 49	4600 49

Integrated Cross Sections and Integrals for Average Energies

$\gamma = 17 \quad 50$ $\gamma_i$	$\int_{\gamma_i}^{\gamma} \left[ \frac{\sigma_s(\gamma')}{\phi_0} \right] d\gamma'$	$\int_{\gamma_i}^{\gamma} \left[ \frac{\gamma' \sigma_s(\gamma')}{\phi_0} \right] d\gamma'$	$\int_0^{E=\gamma-\gamma_i} [E' \sigma_s(E') / \phi_0] dE'$	$\gamma_i$
4500 49	3068917 49	3211324 49	2005834 49	4500 49
4400 49	3114549 49	3231629 49	2063103 49	4400 49
4300 49	3162163 49	3252339 49	2123337 49	4300 49
4200 49	3211930 49	3273489 49	2186792 49	4200 49
4100 49	3264039 49	3295112 49	2253754 49	4100 49
4000 49	3318699 49	3317247 49	2324542 49	4000 49
3950 49	3347058 49	3328519 49	2361479 49	3950 49
3900 49	3376143 49	3339935 49	2399508 49	3900 49
3863 49	3397772 49	3348331 49	2427881 49	3863 49



Integrated Cross Sections and Integrals for Average Energies

$\gamma = 18$ $\gamma_i$	50	$\int_{\gamma_i}^{\gamma} \left[ \frac{\sigma_s(\gamma')}{\phi_0} \right] d\gamma'$	$\int_{\gamma_i}^{\gamma} \left[ \frac{\gamma' \sigma_s(\gamma')}{\phi_0} \right] d\gamma'$	$\int_0^{\gamma - \gamma_i} [E' \sigma_s(E') / \phi_0] dE'$	$\gamma_i$
1800	50	0000000 00	0000000 00	0000000 00	1800 50
1750	50	1148508 48	2038674 48	2864170 46	1750 50
1700	50	2279354 48	3989458 48	1133798 47	1700 50
1650	50	3392782 48	5854522 48	2524863 47	1650 50
1600	50	4489089 48	7636090 48	4442697 47	1600 50
1550	50	5568636 48	9336445 48	6871000 47	1550 50
1500	50	6631865 48	1095793 49	9794190 47	1500 50
1450	50	7679315 48	1250299 49	1319777 48	1450 50
1400	50	8711642 48	1397411 49	1706838 48	1400 50
1350	50	9729640 48	1537392 49	2139428 48	1350 50
1300	50	1073428 49	1670513 49	2616584 48	1300 50
1250	50	1172677 49	1797060 49	3137589 48	1250 50
1200	50	1270856 49	1917333 49	3702078 48	1200 50
1150	50	1368145 49	2031651 49	4310103 48	1150 50
1100	50	1464768 49	2140354 49	4962288 48	1100 50
1050	50	1561002 49	2243806 49	5659971 48	1050 50
1000	50	1657193 49	2342402 49	6405462 48	1000 50
9500	49	1753781 49	2436572 49	7202338 48	9500 49
9000	49	1851319 49	2526790 49	8055852 48	9000 49
8500	49	1950523 49	2613584 49	8973572 48	8500 49
8000	49	2052314 49	2697550 49	9966168 48	8000 49
7500	49	2157907 49	2779365 49	1104867 49	7500 49
7000	49	2268910 49	2859816 49	1224223 49	7000 49
6900	49	2291940 49	2875821 49	1249671 49	6900 49
6800	49	2315291 49	2891816 49	1275707 49	6800 49
6700	49	2338986 49	2907810 49	1302364 49	6700 49
6600	49	2363048 49	2923811 49	1329676 49	6600 49
6500	49	2387503 49	2939829 49	1357677 49	6500 49
6400	49	2412378 49	2955872 49	1386407 49	6400 49
6300	49	2437701 49	2971952 49	1415909 49	6300 49
6200	49	2463503 49	2988078 49	1446227 49	6200 49
6100	49	2489818 49	3004261 49	1477410 49	6100 49
6000	49	2516680 49	3020513 49	1509511 49	6000 49
5900	49	2544129 49	3036844 49	1542588 49	5900 49
5800	49	2572205 49	3053268 49	1576701 49	5800 49
5700	49	2600952 49	3069797 49	1611916 49	5700 49
5600	49	2630418 49	3086445 49	1648307 49	5600 49
5500	49	2660654 49	3103225 49	1685952 49	5500 49
5400	49	2691716 49	3120153 49	1724936 49	5400 49
5300	49	2723664 49	3137244 49	1765351 49	5300 49
5200	49	2756562 49	3154516 49	1807296 49	5200 49
5100	49	2790482 49	3171983 49	1850885 49	5100 49
5000	49	2825500 49	3189666 49	1896234 49	5000 49
4900	49	2861699 49	3207584 49	1943474 49	4900 49
4800	49	2899170 49	3225756 49	1992749 49	4800 49

Integrated Cross Sections and Integrals for Average Energies

$\gamma = 18$ $\gamma_i$	50	$\int_{\gamma_i}^{\gamma} \left[ \frac{\sigma_s(\gamma')}{\phi_0} \right] d\gamma'$	$\int_{\gamma_i}^{\gamma} \left[ \frac{\gamma' \sigma_s(\gamma')}{\phi_0} \right] d\gamma'$	$\int_0^{E=\gamma-\gamma_i} [E' \sigma_s(E') / \phi_0] dE'$	$\gamma_i$
4700	49	2938011 49	3244205 49	2044216 49	4700 49
4600	49	2978332 49	3262953 49	2098046 49	4600 49
4500	49	3020251 49	3282024 49	2154428 49	4500 49
4400	49	3063897 49	3301445 49	2213570 49	4400 49
4300	49	3109414 49	3321244 49	2275702 49	4300 49
4200	49	3156959 49	3341448 49	2341078 49	4200 49
4100	49	3206705 49	3362091 49	2409978 49	4100 49
4000	49	3258844 49	3383205 49	2482715 49	4000 49
3950	49	3285877 49	3393950 49	2520628 49	3950 49
3913	49	3306293 49	3401977 49	2549350 49	3913 49

Integrated Cross Sections and Integrals for Average Energies

$\gamma = 19$ $\gamma_i$	50	$\int_{\gamma_i}^{\gamma} \left[ \frac{\sigma_s(\gamma')}{\phi_0} \right] d\gamma'$	$\int_{\gamma_i}^{\gamma} \left[ \frac{\gamma' \sigma_s(\gamma')}{\phi_0} \right] d\gamma'$	$\int_0^{\gamma-\gamma_i} \left[ \frac{E' \sigma_s(E')}{\phi_0} \right] dE'$	$\gamma_i$
1900	50	00 00000 00	0000000 00	0000000 00	1900 50
1850	50	10 31615 48	1934337 48	2573250 46	1850 50
1800	50	20 49021 48	3791165 48	1019759 47	1800 50
1750	50	30 52432 48	5572275 48	2273469 47	1750 50
1700	50	40 42095 48	7279498 48	4004817 47	1700 50
1650	50	50 18307 48	8914711 48	6200722 47	1650 50
1600	50	59 81426 48	1047983 49	8848790 47	1600 50
1550	50	69 31871 48	1197683 49	1193720 48	1550 50
1500	50	78 70141 48	1340774 49	1545522 48	1500 50
1450	50	87 96841 48	1477467 49	1939322 48	1450 50
1400	50	97 12684 48	1607979 49	2374302 48	1400 50
1350	50	10 61853 49	1732537 49	2849831 48	1350 50
1300	50	11 51541 49	1851377 49	3365505 48	1300 50
1250	50	12 40457 49	1964749 49	3921204 48	1250 50
1200	50	13 28753 49	2072913 49	4517179 48	1200 50
1150	50	14 16612 49	2176149 49	5154146 48	1150 50
1100	50	15 04261 49	2274755 49	5833421 48	1100 50
1050	50	15 91977 49	2369048 49	6557085 48	1050 50
1000	50	16 80105 49	2459377 49	7328227 48	1000 50
9500	49	17 69076 49	2546118 49	8151255 48	9500 49
9000	49	18 59433 49	2629692 49	9032309 48	9000 49
8500	49	19 51869 49	2710563 49	9979883 48	8500 49
8000	49	20 47275 49	2789258 49	1100564 49	8000 49
7500	49	21 46812 49	2866380 49	1212563 49	7500 49
7000	49	22 52015 49	2942625 49	1336204 49	7000 49
6900	49	22 73906 49	29 57838 49	1362583 49	6900 49
6800	49	22 96123 49	29 73057 49	1389576 49	6800 49
6700	49	23 18687 49	29 88287 49	1417218 49	6700 49
6600	49	23 41620 49	30 03538 49	1445541 49	6600 49
6500	49	23 64947 49	30 18816 49	1474583 49	6500 49
6400	49	23 88693 49	30 34132 49	1504384 49	6400 49
6300	49	24 12884 49	30 49493 49	1534987 49	6300 49
6200	49	24 37550 49	30 64909 49	1566436 49	6200 49
6100	49	24 62722 49	30 80389 49	1598782 49	6100 49
6000	49	24 88432 49	30 95943 49	1632078 49	6000 49
5900	49	25 14718 49	31 11583 49	1666381 49	5900 49
5800	49	25 41616 49	31 27318 49	1701753 49	5800 49
5700	49	25 69170 49	31 43160 49	1738262 49	5700 49
5600	49	25 97422 49	31 59122 49	1775979 49	5600 49
5500	49	26 26420 49	31 75216 49	1814982 49	5500 49
5400	49	26 56218 49	31 91455 49	1855359 49	5400 49
5300	49	26 86870 49	32 07853 49	1897200 49	5300 49
5200	49	27 18437 49	32 24425 49	1940605 49	5200 49
5100	49	27 50984 49	32 41186 49	1985684 49	5100 49
5000	49	27 84584 49	32 58153 49	2032556 49	5000 49

Integrated Cross Sections and Integrals for Average Energies

$\gamma = 19$ $\gamma'$	50	$\int_{\gamma'}^{\gamma} \left[ \frac{\sigma_s(\gamma')}{\phi_0} \right] d\gamma'$	$\int_{\gamma'}^{\gamma} \left[ \frac{\gamma' \sigma_s(\gamma')}{\phi_0} \right] d\gamma'$	$\int_0^{E-\gamma-\gamma'} \left[ E' \sigma_s(E') / \phi_0 \right] dE'$	$\gamma'$
4900	49	2819312 49	3275342 49	2081350 49	4900 49
4800	49	2855253 49	3292773 49	2132208 49	4800 49
4700	49	2892500 49	3310464 49	2185286 49	4700 49
4600	49	2931151 49	3328435 49	2240752 49	4600 49
4500	49	2971317 49	3346710 49	2298793 49	4500 49
4400	49	3013119 49	3365310 49	2359615 49	4400 49
4300	49	3056687 49	3384260 49	2423444 49	4300 49
4200	49	3102167 49	3403588 49	2490529 49	4200 49
4100	49	3149719 49	3423320 49	2561146 49	4100 49
4000	49	3199520 49	3443488 49	2635601 49	4000 49
3958	49	3220981 49	3452027 49	2667836 49	3958 49

Integrated Cross Sections and Integrals for Average Energies

$\gamma = 20$ $\gamma'$	50	$\int_{\gamma'}^{\gamma} \left[ \frac{\sigma_3(\gamma')}{\phi_0} \right] d\gamma'$	$\int_{\gamma'}^{\gamma} \left[ \frac{\gamma' \sigma_3(\gamma')}{\phi_0} \right] d\gamma'$	$\int_0^{\gamma-\gamma'} \left[ \frac{E' \sigma_0(E')}{\phi_0} \right] dE'$	$\gamma'$
2000	50	00 00 00 00	00	00 00 00 00	00
1900	50	18517773	48	9220470	46
1800	50	3658079	48	3627798	47
1700	50	5420777	48	8030980	47
1600	50	7142404	48	1405339	48
1500	50	8826418	48	2162849	48
1400	50	1047760	49	3070751	48
1300	50	1210263	49	4126842	48
1200	50	1371101	49	5333031	48
1100	50	1531644	49	6697696	48
1000	50	1693924	49	8239612	48
9750	49	1735096	49	8656487	48
9500	49	1776624	49	9087346	48
9250	49	1818577	49	9533109	48
9000	49	1861034	49	9994836	48
8750	49	1904083	49	1047376	49
8500	49	1947824	49	1097134	49
8250	49	1992371	49	1148921	49
8000	49	2037852	49	1202932	49
7750	49	2084415	49	1259393	49
7500	49	2132230	49	1318566	49
7250	49	2181490	49	1380760	49
7000	49	2232421	49	1446337	49
6750	49	2285283	49	1515723	49
6500	49	2340381	49	1589421	49
6250	49	2398071	49	1668030	49
6000	49	2458775	49	1752264	49
5900	49	2484009	49	1787718	49
5800	49	2509840	49	1824270	49
5700	49	2536307	49	1861986	49
5600	49	2563451	49	1900938	49
5500	49	2591318	49	1941205	49
5400	49	2619954	49	1982873	49
5300	49	2649414	49	2026031	49
5200	49	2679753	49	2070782	49
5100	49	2711103	49	2117232	49
5000	49	2743317	49	2165500	49
4900	49	2776682	49	2215714	49
4800	49	2811203	49	2268015	49
4700	49	2846967	49	2322556	49
4600	49	2884065	49	2379503	49
4500	49	2922602	49	2439044	49
4400	49	2962687	49	2501376	49
4300	49	3004443	49	2566726	49
4200	49	3048004	49	2635337	49

Integrated Cross Sections and Integrals for Average Energies

$\gamma = 20 \quad 50$ $\gamma_i$	$\int_{\gamma_i}^{\gamma} \left[ \frac{\sigma_s(\gamma')}{\phi_0} \right] d\gamma'$	$\int_{\gamma_i}^{\gamma} \left[ \frac{\gamma' \sigma_s(\gamma')}{\phi_0} \right] d\gamma'$	$\int_0^{E-\gamma-\gamma_i} [E' \sigma_s(E') / \phi_0] dE'$	$\gamma_i$
4100 49 4000 49	3093519 49 3141152 49	3479558 49 3498847 49	2707480 49 2783456 49	4100 49 4000 49

Integrated Cross Sections and Integrals for Average Energies

$\gamma = 21$ $\gamma_i$	$\int_{\gamma_i}^{\gamma} \left[ \frac{\sigma_2(\gamma')}{\phi_0} \right] d\gamma'$	$\int_{\gamma_i}^{\gamma} \left[ \frac{\gamma' \sigma_2(\gamma')}{\phi_0} \right] d\gamma'$	$\int_0^{E-\gamma-\gamma_i} [E' \sigma_2(E') / \phi_0] dE'$	$\gamma_i$
2100 50	0000000 00	0000000 00	0000000 00	2100 50
2000 50	1681587 48	3447568 48	8376540 46	2000 50
1900 50	3325849 48	6654187 48	3300969 47	1900 50
1800 50	4934378 48	9630255 48	7319400 47	1800 50
1700 50	6509261 48	1238656 49	1282881 48	1700 50
1600 50	8053263 48	1493441 49	1977437 48	1600 50
1500 50	9570087 48	1728570 49	2811482 48	1500 50
1400 50	1106475 49	1945312 49	3782854 48	1400 50
1300 50	1254414 49	2145039 49	4892306 48	1300 50
1200 50	1401789 49	2329258 49	6144999 48	1200 50
1100 50	1549975 49	2499657 49	7552902 48	1100 50
1000 50	1700980 49	2658179 49	9138799 48	1000 50
9750 49	1739496 49	2696213 49	9567300 48	9750 49
9500 49	1778430 49	2733686 49	1001018 49	9500 49
9250 49	1817850 49	2770640 49	1046844 49	9250 49
9000 49	1857830 49	2807121 49	1094322 49	9000 49
8750 49	1898457 49	2843177 49	1143584 49	8750 49
8500 49	1939828 49	2878857 49	1194782 49	8500 49
8250 49	1982050 49	2914216 49	1248089 49	8250 49
8000 49	2025248 49	2949312 49	1303708 49	8000 49
7750 49	2069562 49	2984207 49	1361874 49	7750 49
7500 49	2115155 49	3018969 49	1422857 49	7500 49
7250 49	2162211 49	3053670 49	1486974 49	7250 49
7000 49	2210945 49	3088389 49	1554596 49	7000 49
6750 49	2261603 49	3123212 49	1626155 49	6750 49
6500 49	2314474 49	3158234 49	1702162 49	6500 49
6250 49	2369895 49	3193559 49	1783221 49	6250 49
6000 49	2428263 49	3229303 49	1870050 49	6000 49
5900 49	2452538 49	3243746 49	1906584 49	5900 49
5800 49	2477393 49	3258285 49	1944239 49	5800 49
5700 49	2502863 49	3272930 49	1983082 49	5700 49
5600 49	2528988 49	3287691 49	2023185 49	5600 49
5500 49	2555811 49	3302576 49	2064626 49	5500 49
5400 49	2583375 49	3317599 49	2107490 49	5400 49
5300 49	2611731 49	3332768 49	2151868 49	5300 49
5200 49	2640932 49	3348098 49	2197859 49	5200 49
5100 49	2671033 49	3363599 49	2245571 49	5100 49
5000 49	2702099 49	3379286 49	2295121 49	5000 49
4900 49	2734194 49	3395173 49	2346635 49	4900 49
4800 49	2767393 49	3411274 49	2400253 49	4800 49
4700 49	2801776 49	3427604 49	2456126 49	4700 49
4600 49	2837429 49	3444182 49	2514419 49	4600 49
4500 49	2874447 49	3461024 49	2575314 49	4500 49
4400 49	2912933 49	3478149 49	2639011 49	4400 49
4300 49	2953002 49	3495577 49	2705727 49	4300 49

Integrated Cross Sections and Integrals for Average Energies

$\gamma = 21 \quad 50$ $\gamma_i$	$\int_{\gamma_i}^{\gamma} \left[ \frac{\sigma_s(\gamma')}{\phi_0} \right] d\gamma'$	$\int_{\gamma_i}^{\gamma} \left[ \frac{\gamma' \sigma_s(\gamma')}{\phi_0} \right] d\gamma'$	$\int_0^{E-\gamma-\gamma_i} \left[ \frac{E' \sigma_s(E')}{\phi_0} \right] dE'$	$\gamma_i$
4200 49	2994779 49	3513331 49	2775704 49	4200 49
4100 49	3038400 49	3531433 49	2849208 49	4100 49
4038 49	3066227 49	3542755 49	2896321 49	4038 49



Integrated Cross Sections and Integrals for Average Energies

$\gamma = 25$ $\gamma_i$	50	$\int_{\gamma_i}^{\gamma} \left[ \frac{\sigma_s(\gamma')}{\phi_0} \right] d\gamma'$	$\int_{\gamma_i}^{\gamma} \left[ \frac{\gamma' \sigma_s(\gamma')}{\phi_0} \right] d\gamma'$	$\int_0^{\gamma-\gamma_i} \left[ \frac{E' \sigma_s(E')}{\phi_0} \right] dE'$	$\gamma_i$
2500	50	00 00000 00	000 000 00	000 000 00	2500
2400	50	1190520 48	2916930 48	5937070 46	2400
2300	50	2362608 48	5671488 48	2350335 47	2300
2200	50	3517173 48	8269398 48	5235339 47	2200
2100	50	4655307 48	1071651 49	9217490 47	2100
2000	50	5778341 48	1301886 49	1426994 48	2000
1900	50	6887908 48	1518262 49	2037151 48	1900
1800	50	7986025 48	1721422 49	2750842 48	1800
1700	50	9075219 48	1912037 49	3567676 48	1700
1600	50	1015868 49	2090812 49	4488587 48	1600
1500	50	1124051 49	2258495 49	5516333 48	1500
1400	50	1232604 49	2415890 49	6656194 48	1400
1300	50	1342231 49	2563875 49	7917035 48	1300
1200	50	1453885 49	2703421 49	9312926 48	1200
1100	50	1568878 49	2835628 49	1086566 49	1100
1000	50	1689067 49	2961774 49	1260895 49	1000
9750	49	1720220 49	2992536 49	1308013 49	9750
9500	49	1751913 49	3023040 49	1356744 49	9500
9250	49	1784208 49	3053315 49	1407205 49	9250
9000	49	1817169 49	3083390 49	1459532 49	9000
8750	49	1850871 49	3113299 49	1513878 49	8750
8500	49	1885396 49	3143075 49	1570415 49	8500
8250	49	1920838 49	3172756 49	1629339 49	8250
8000	49	1957301 49	3202380 49	1690874 49	8000
7750	49	1994905 49	3231990 49	1755273 49	7750
7500	49	2033784 49	3261633 49	1822828 49	7500
7250	49	2074093 49	3291358 49	1893876 49	7250
7000	49	2116009 49	3321219 49	1968803 49	7000
6750	49	2159733 49	3351276 49	2048058 49	6750
6500	49	2205503 49	3381594 49	2132165 49	6500
6250	49	2253592 49	3412245 49	2221734 49	6250
6000	49	2304319 49	3443309 49	2317488 49	6000
5900	49	2325431 49	3455870 49	2357706 49	5900
5800	49	2347051 49	3468518 49	2399110 49	5800
5700	49	2369209 49	3481259 49	2441765 49	5700
5600	49	2391936 49	3494099 49	2485743 49	5600
5500	49	2415266 49	3507046 49	2531118 49	5500
5400	49	2439233 49	3520108 49	2577975 49	5400
5300	49	2463877 49	3533291 49	2626400 49	5300
5200	49	2489239 49	3546606 49	2676491 49	5200
5100	49	2515364 49	3560060 49	2728350 49	5100
5000	49	2542301 49	3573662 49	2782090 49	5000
4900	49	2570102 49	3587423 49	2837832 49	4900
4800	49	2598825 49	3601353 49	2895709 49	4800
4700	49	2628531 49	3615462 49	2955865 49	4700

Integrated Cross Sections and Integrals for Average Energies

$\gamma = 25 \quad 50$ $\gamma_i$	$\int_{\gamma_i}^{\gamma} \left[ \frac{\sigma_s(\gamma')}{\phi_0} \right] d\gamma'$	$\int_{\gamma_i}^{\gamma} \left[ \frac{\gamma' \sigma_s(\gamma')}{\phi_0} \right] d\gamma'$	$\int_0^{E-\gamma-\gamma_i} [E' \sigma_s(E') / \phi_0] dE'$	$\gamma_i$
4600 49	2659288 49	3629763 49	3018456 49	4600 49
4500 49	2691169 49	3644268 49	3083655 49	4500 49
4400 49	2724255 49	3658991 49	3151647 49	4400 49
4300 49	2758633 49	3673944 49	3222640 49	4300 49
4200 49	2794401 49	3689144 49	3296858 49	4200 49
4166 49	2806650 49	3694268 49	3322356 49	4166 49

Integrated Cross Sections and Integrals for Average Energies

$\gamma = 30$	$50$	$\int_{\gamma_1}^{\gamma} \left[ \frac{\sigma_s(\gamma')}{\phi_0} \right] d\gamma'$	$\int_{\gamma_1}^{\gamma} \left[ \frac{\gamma' \sigma_s(\gamma')}{\phi_0} \right] d\gamma'$	$\int_0^{E=\gamma-\gamma_1} [E' \sigma_s(E') / \phi_0] dE'$	$\gamma_1$
3000	50	0000000 00	0000000 00	0000000 00	3000 50
2900	50	8287745 47	2444960 48	4136290 46	2900 50
2800	50	1648733 48	4781915 48	1642846 47	2800 50
2700	50	2460377 48	7014002 48	3671286 47	2700 50
2600	50	3264278 48	9144401 48	6484330 47	2600 50
2500	50	4061094 48	1117634 49	1006943 48	2500 50
2400	50	4851588 48	1311309 49	1441667 48	2400 50
2300	50	5636644 48	1495802 49	1951912 48	2300 50
2200	50	6417302 48	1671453 49	2537372 48	2200 50
2100	50	7194786 48	1838614 49	3198214 48	2100 50
2000	50	7970553 48	1997647 49	3935185 48	2000 50
1900	50	8746350 48	2148927 49	4749780 48	1900 50
1800	50	9524294 48	2292844 49	5644444 48	1800 50
1700	50	1030697 49	2429808 49	6622849 48	1700 50
1600	50	1109760 49	2560253 49	7690276 48	1600 50
1500	50	1190020 49	2684644 49	8854165 48	1500 50
1400	50	1271990 49	2803484 49	1012486 49	1400 50
1300	50	1356334 49	2917325 49	1151677 49	1300 50
1200	50	1443929 49	3026787 49	1305000 49	1200 50
1100	50	1535959 49	3132579 49	1475298 49	1100 50
1000	50	1634066 49	3235532 49	1666666 49	1000 50
9750	49	1659797 49	3260940 49	1718451 49	9750 49
9500	49	1686094 49	3286251 49	1772033 49	9500 49
9250	49	1713009 49	3311482 49	1827546 49	9250 49
9000	49	1740598 49	3336655 49	1885138 49	9000 49
8750	49	1768921 49	3361790 49	1944973 49	8750 49
8500	49	1798049 49	3386912 49	2007237 49	8500 49
8250	49	1828060 49	3412044 49	2072137 49	8250 49
8000	49	1859040 49	3437213 49	2139907 49	8000 49
7750	49	1891086 49	3462447 49	2210813 49	7750 49
7500	49	1924311 49	3487778 49	2285156 49	7500 49
7250	49	1958839 49	3513240 49	2363279 49	7250 49
7000	49	1994815 49	3538869 49	2445575 49	7000 49
6750	49	2032400 49	3564706 49	2532496 49	6750 49
6500	49	2071786 49	3590795 49	2624564 49	6500 49
6250	49	2113190 49	3617185 49	2722384 49	6250 49
6000	49	2156866 49	3643932 49	2826666 49	6000 49
5900	49	2175038 49	3654744 49	2870369 49	5900 49
5800	49	2193641 49	3665626 49	2915297 49	5800 49
5700	49	2212699 49	3676585 49	2961514 49	5700 49
5600	49	2232237 49	3687623 49	3009087 49	5600 49
5500	49	2252279 49	3698746 49	3058091 49	5500 49
5400	49	2272854 49	3709959 49	3108604 49	5400 49
5300	49	2293993 49	3721267 49	3160711 49	5300 49
5200	49	2315727 49	3732677 49	3214503 49	5200 49

Integrated Cross Sections and Integrals for Average Energies

$\gamma = 30$ $\gamma_i$	50	$\int_{\gamma_i}^{\gamma} \left[ \frac{\sigma_s(\gamma')}{\phi_0} \right] d\gamma'$	$\int_{\gamma_i}^{\gamma} \left[ \frac{\gamma' \sigma_s(\gamma')}{\phi_0} \right] d\gamma'$	$\int_0^{E=\gamma-\gamma_i} [E' \sigma_s(E') / \phi_0] dE'$	$\gamma_i$
5100	49	2338091 49	3744194 49	3270079 49	5100 49
5000	49	2361123 49	3755825 49	3327546 49	5000 49
4900	49	2384864 49	3767576 49	3387017 49	4900 49
4800	49	2409358 49	3779455 49	3448619 49	4800 49
4700	49	2434652 49	3791469 49	3512487 49	4700 49
4600	49	2460798 49	3803626 49	3578767 49	4600 49
4500	49	2487852 49	3815935 49	3647621 49	4500 49
4400	49	2515876 49	3828405 49	3719222 49	4400 49
4300	49	2544936 49	3841045 49	3793764 49	4300 49
4285	49	2549176 49	3842865 49	3804664 49	4285 49

Integrated Cross Sections and Integrals for Average Energies

$\gamma = 35$ $\gamma_i$	50	$\int_{\gamma_i}^{\gamma} \left[ \frac{\sigma_s(\gamma')}{\phi_0} \right] d\gamma'$	$\int_{\gamma_i}^{\gamma} \left[ \frac{\gamma' \sigma_s(\gamma')}{\phi_0} \right] d\gamma'$	$\int_0^{\gamma-\gamma_i} [E' \sigma_s(E') / \phi_0] dE'$	$\gamma_i$				
3500	50	00000000	00	00000000	00	3500	50		
3400	50	6097895	47	2103813	48	3044960	46	3400	50
3300	50	1214851	48	4130808	48	1211721	47	3300	50
3200	50	1815484	48	6082901	48	2712935	47	3200	50
3100	50	2412018	48	7962016	48	4800483	47	3100	50
3000	50	3004822	48	9770097	48	7467820	47	3000	50
2900	50	3594310	48	1150911	49	1070973	48	2900	50
2800	50	4180947	48	1318105	49	1452266	48	2800	50
2700	50	4765258	48	1478792	49	1890480	48	2700	50
2600	50	5347840	48	1633177	49	2385664	48	2600	50
2500	50	5929372	48	1781469	49	2938114	48	2500	50
2400	50	6510634	48	1923878	49	3548438	48	2400	50
2300	50	7092525	48	2060621	49	4217625	48	2300	50
2200	50	7676091	48	2191922	49	4947099	48	2200	50
2100	50	8262551	48	2318007	49	5738852	48	2100	50
2000	50	8853343	48	2439116	49	6595541	48	2000	50
1900	50	9450177	48	2555493	49	7520691	48	1900	50
1800	50	1005510	49	2667395	49	8518895	48	1800	50
1700	50	1067059	49	2775097	49	9596108	48	1700	50
1600	50	1129970	49	2878887	49	1076008	49	1600	50
1500	50	1194619	49	2979076	49	1202090	49	1500	50
1400	50	1261482	49	3076007	49	1339179	49	1400	50
1300	50	1331166	49	3170055	49	1489028	49	1300	50
1200	50	1404467	49	3261647	49	1653988	49	1200	50
1100	50	1482442	49	3351273	49	1837273	49	1100	50
1000	50	1566539	49	3439517	49	2043370	49	1000	50
9750	49	1588742	49	3461442	49	2099156	49	9750	49
9500	49	1611491	49	3483335	49	2156883	49	9500	49
9250	49	1634828	49	3505213	49	2216686	49	9250	49
9000	49	1658803	49	3527089	49	2278721	49	9000	49
8750	49	1683467	49	3548977	49	2343158	49	8750	49
8500	49	1708881	49	3570894	49	2410189	49	8500	49
8250	49	1735109	49	3592859	49	2480024	49	8250	49
8000	49	1762226	49	3614890	49	2552903	49	8000	49
7750	49	1790315	49	3637007	49	2629094	49	7750	49
7500	49	1819467	49	3659233	49	2708902	49	7500	49
7250	49	1849789	49	3681594	49	2792668	49	7250	49
7000	49	1881400	49	3704113	49	2880786	49	7000	49
6750	49	1914436	49	3726822	49	2973703	49	6750	49
6500	49	1949053	49	3749753	49	3071933	49	6500	49
6250	49	1985432	49	3772941	49	3176071	49	6250	49
6000	49	2023781	49	3796425	49	3286809	49	6000	49
5900	49	2039726	49	3805912	49	3333128	49	5900	49
5800	49	2056041	49	3815456	49	3380689	49	5800	49
5700	49	2072747	49	3825062	49	3429553	49	5700	49

Integrated Cross Sections and Integrals for Average Energies

$\gamma = 35$ $\gamma_i$	$50$	$\int_{\gamma_i}^{\gamma} \left[ \frac{\sigma_s(\gamma')}{\phi_0} \right] d\gamma'$	$\int_{\gamma_i}^{\gamma} \left[ \frac{\gamma' \sigma_s(\gamma')}{\phi_0} \right] d\gamma'$	$\int_0^{E=\gamma-\gamma_i} [E' \sigma_s(E') / \phi_0] dE'$	$\gamma_i$
5600	49	2089862 49	3834731 49	3479785 49	5600 49
5500	49	2107407 49	3844468 49	3531457 49	5500 49
5400	49	2125406 49	3854277 49	3584645 49	5400 49
5300	49	2143883 49	3864162 49	3639428 49	5300 49
5200	49	2162863 49	3874127 49	3695895 49	5200 49
5100	49	2182375 49	3884175 49	3754140 49	5100 49
5000	49	2202450 49	3894312 49	3814265 49	5000 49
4900	49	2223120 49	3904543 49	3876377 49	4900 49
4800	49	2244420 49	3914873 49	3940597 49	4800 49
4700	49	2266388 49	3925307 49	4007052 49	4700 49
4600	49	2289067 49	3935852 49	4075881 49	4600 49
4500	49	2312500 49	3946514 49	4147236 49	4500 49
4400	49	2336737 49	3957299 49	4221282 49	4400 49
4375	49	2342928 49	3960015 49	4240234 49	4375 49

Integrated Cross Sections and Integrals for Average Energies

$\gamma = 40$	$50$	$\int_{\gamma_i}^{\gamma} \left[ \frac{\sigma_2(\gamma')}{\phi_0} \right] d\gamma'$	$\int_{\gamma_i}^{\gamma} \left[ \frac{\gamma' \sigma_2(\gamma')}{\phi_0} \right] d\gamma'$	$\int_0^{\gamma-\gamma_i} [E' \sigma_0(E') / \phi_0] dE'$	$\gamma_i$
4000	50	0000000 00	0000000 00	0000000 00	4000 50
3500	50	2310964 48	8668676 48	5751793 47	3500 50
3000	50	4575835 48	1603069 49	2272642 48	3000 50
2500	50	6837903 48	2225025 49	5101360 48	2500 50
2000	50	9175126 48	2750346 49	9197040 48	2000 50
1900	50	9663226 48	2845518 49	1019772 49	1900 50
1800	50	1016207 49	2937794 49	1127033 49	1800 50
1700	50	1067398 49	3027368 49	1242226 49	1700 50
1600	50	1120180 49	3114443 49	1366278 49	1600 50
1500	50	1174900 49	3199242 49	1500361 49	1500 50
1400	50	1231996 49	3282008 49	1645977 49	1400 50
1300	50	1292021 49	3363015 49	1805070 49	1300 50
1200	50	1355693 49	3442571 49	1980202 49	1200 50
1100	50	1423961 49	3521036 49	2174808 49	1100 50
1000	50	1498111 49	3598838 49	2393606 49	1000 50
9800	49	1513793 49	3614363 49	2440811 49	9800 49
9600	49	1529798 49	3629887 49	2489307 49	9600 49
9400	49	1546144 49	3645416 49	2539162 49	9400 49
9200	49	1562852 49	3660953 49	2590456 49	9200 49
9000	49	1579943 49	3676506 49	2643268 49	9000 49
8800	49	1597442 49	3692079 49	2697691 49	8800 49
8600	49	1615375 49	3707679 49	2753820 49	8600 49
8400	49	1633769 49	3723313 49	2811762 49	8400 49
8200	49	1652655 49	3738988 49	2871633 49	8200 49
8000	49	1672068 49	3754711 49	2933560 49	8000 49
7800	49	1692043 49	3770491 49	2997681 49	7800 49
7600	49	1712621 49	3786335 49	3064151 49	7600 49
7400	49	1733847 49	3802254 49	3133137 49	7400 49
7200	49	1755770 49	3818256 49	3204824 49	7200 49
7000	49	1778443 49	3834353 49	3279420 49	7000 49
6800	49	1801927 49	3850555 49	3357154 49	6800 49
6600	49	1826289 49	3866876 49	3438279 49	6600 49
6400	49	1851602 49	3883328 49	3523082 49	6400 49
6200	49	1877952 49	3899927 49	3611883 49	6200 49
6000	49	1905432 49	3916688 49	3705043 49	6000 49
5800	49	1934149 49	3933629 49	3802968 49	5800 49
5600	49	1964222 49	3950768 49	3906122 49	5600 49
5400	49	1995790 49	3968128 49	4015033 49	5400 49
5200	49	2029009 49	3985731 49	4130307 49	5200 49
5000	49	2064061 49	4003604 49	4252641 49	5000 49
4800	49	2101155 49	4021776 49	4382843 49	4800 49
4600	49	2140534 49	4040281 49	4521857 49	4600 49
4444	49	2172924 49	4054926 49	4636772 49	4444 49

Integrated Cross Sections and Integrals for Average Energies

$\gamma = 45$ $\gamma_1$	50	$\int_{\gamma_1}^{\gamma} \left[ \frac{\sigma_s(\gamma')}{\phi_0} \right] d\gamma'$	$\int_{\gamma_1}^{\gamma} \left[ \frac{\gamma' \sigma_s(\gamma')}{\phi_0} \right] d\gamma'$	$\int_0^{\gamma-\gamma_1} [E' \sigma_s(E') / \phi_0] dE'$	$\gamma_1$
4500	50	00000000	00	00000000	00
4000	50	1831524	48	4563008	47
3500	50	3634812	48	1808044	48
3000	50	5435755	48	4059834	48
2500	50	7276325	48	7283688	48
2000	50	9231135	48	1168905	49
1900	50	9646817	48	1274913	49
1800	50	1007435	49	1388222	49
1700	50	1051592	49	1509664	49
1600	50	1097412	49	1640268	49
1500	50	1145219	49	1781316	49
1400	50	1195412	49	1934427	49
1300	50	1248497	49	2101672	49
1200	50	1305126	49	2285748	49
1100	50	1366154	49	2490234	49
1000	50	1432736	49	2719992	49
9800	49	1446849	49	2769531	49
9600	49	1461262	49	2820409	49
9400	49	1475992	49	2872699	49
9200	49	1491055	49	2926477	49
9000	49	1506473	49	2981826	49
8800	49	1522265	49	3038837	49
8600	49	1538455	49	3097608	49
8400	49	1555068	49	3158245	49
8200	49	1572130	49	3220863	49
8000	49	1589671	49	3285590	49
7800	49	1607723	49	3352564	49
7600	49	1626321	49	3421937	49
7400	49	1645505	49	3493876	49
7200	49	1665316	49	3568564	49
7000	49	1685801	49	3646205	49
6800	49	1707013	49	3727024	49
6600	49	1729010	49	3811273	49
6400	49	1751855	49	3899230	49
6200	49	1775622	49	3991210	49
6000	49	1800391	49	4087563	49
5800	49	1826254	49	4188686	49
5600	49	1853313	49	4295030	49
5400	49	1881685	49	4407105	49
5200	49	1911507	49	4525499	49
5000	49	1942930	49	4650880	49
4800	49	1976134	49	4784031	49
4600	49	2011324	49	4925852	49
4500	49	2029739	49	5000338	49



Integrated Cross Sections and Integrals for Average Energies

$\gamma = 50$	$50$	$\int_{\gamma_1}^{\gamma} \left[ \frac{\sigma_3(\gamma')}{\phi_0} \right] d\gamma'$	$\int_{\gamma_1}^{\gamma} \left[ \frac{\gamma' \sigma_3(\gamma')}{\phi_0} \right] d\gamma'$	$\int_0^{\gamma-\gamma_1} [E' \sigma_3(E') / \phi_0] dE'$	$\gamma_1$
5000	50	00000000	00	00000000	00
4500	50	1486739	48	7063040	48
4000	50	2955259	48	1330471	49
3500	50	4422103	48	1880501	49
3000	50	5912220	48	2364623	49
2500	50	7465773	48	2791472	49
2000	50	9153533	48	3170443	49
1900	50	9517551	48	3241417	49
1800	50	9893773	48	3311007	49
1700	50	1028421	49	3379321	49
1600	50	1069129	49	3446475	49
1500	50	1111799	49	3512595	49
1400	50	1156799	49	3577824	49
1300	50	1204593	49	3642321	49
1200	50	1255775	49	3706267	49
1100	50	1311123	49	3769879	49
1000	50	1371680	49	3833415	49
9800	49	1384535	49	3846141	49
9600	49	1397667	49	3858878	49
9400	49	1411092	49	3871632	49
9200	49	1424827	49	3884404	49
9000	49	1438888	49	3897199	49
8800	49	1453294	49	3910020	49
8600	49	1468066	49	3922871	49
8400	49	1483226	49	3935756	49
8200	49	1498797	49	3948680	49
8000	49	1514806	49	3961647	49
7800	49	1531282	49	3974662	49
7600	49	1548255	49	3987730	49
7400	49	1565760	49	4000858	49
7200	49	1583834	49	4014051	49
7000	49	1602519	49	4027316	49
6800	49	1621861	49	4040661	49
6600	49	1641910	49	4054093	49
6400	49	1662723	49	4067620	49
6200	49	1684364	49	4081252	49
6000	49	1706902	49	4094999	49
5800	49	1730419	49	4108872	49
5600	49	1755003	49	4122883	49
5400	49	1780757	49	4137046	49
5200	49	1807797	49	4151375	49
5000	49	1836258	49	4165887	49
4800	49	1866292	49	4180601	49
4600	49	1898079	49	4195538	49
4555	49	1907080	49	4199654	49
3000	50	5912220	48	2364623	49
3500	50	4422103	48	1880501	49
4000	50	2955259	48	1330471	49
4500	50	1486739	48	7063040	48
5000	50	00000000	00	00000000	00
5200	49	1807797	49	4151375	49
5400	49	1780757	49	4137046	49
5600	49	1755003	49	4122883	49
5800	49	1730419	49	4108872	49
6000	49	1706902	49	4094999	49
6200	49	1684364	49	4081252	49
6400	49	1662723	49	4067620	49
6600	49	1641910	49	4054093	49
6800	49	1621861	49	4040661	49
7000	49	1602519	49	4027316	49
7200	49	1583834	49	4014051	49
7400	49	1565760	49	4000858	49
7600	49	1548255	49	3987730	49
7800	49	1531282	49	3974662	49
8000	49	1514806	49	3961647	49
8200	49	1498797	49	3948680	49
8400	49	1483226	49	3935756	49
8600	49	1468066	49	3922871	49
8800	49	1453294	49	3910020	49
9000	49	1438888	49	3897199	49
9200	49	1424827	49	3884404	49
9400	49	1411092	49	3871632	49
9600	49	1397667	49	3858878	49
9800	49	1384535	49	3846141	49
1000	50	1371680	49	3833415	49
1100	50	1311123	49	3769879	49
1200	50	1255775	49	3706267	49
1300	50	1204593	49	3642321	49
1400	50	1156799	49	3577824	49
1500	50	1111799	49	3512595	49
1600	50	1069129	49	3446475	49
1700	50	1028421	49	3379321	49
1800	50	9893773	48	3311007	49
1900	50	9517551	48	3241417	49
2000	50	9153533	48	3170443	49
2500	50	7465773	48	2791472	49
3000	50	5912220	48	2364623	49
3500	50	4422103	48	1880501	49
4000	50	2955259	48	1330471	49
4500	50	1486739	48	7063040	48
5000	50	00000000	00	00000000	00
5200	49	1807797	49	4151375	49
5400	49	1780757	49	4137046	49
5600	49	1755003	49	4122883	49
5800	49	1730419	49	4108872	49
6000	49	1706902	49	4094999	49
6200	49	1684364	49	4081252	49
6400	49	1662723	49	4067620	49
6600	49	1641910	49	4054093	49
6800	49	1621861	49	4040661	49
7000	49	1602519	49	4027316	49
7200	49	1583834	49	4014051	49
7400	49	1565760	49	4000858	49
7600	49	1548255	49	3987730	49
7800	49	1531282	49	3974662	49
8000	49	1514806	49	3961647	49
8200	49	1498797	49	3948680	49
8400	49	1483226	49	3935756	49
8600	49	1468066	49	3922871	49
8800	49	1453294	49	3910020	49
9000	49	1438888	49	3897199	49
9200	49	1424827	49	3884404	49
9400	49	1411092	49	3871632	49
9600	49	1397667	49	3858878	49
9800	49	1384535	49	3846141	49
1000	50	1371680	49	3833415	49
1100	50	1311123	49	3769879	49
1200	50	1255775	49	3706267	49
1300	50	1204593	49	3642321	49
1400	50	1156799	49	3577824	49
1500	50	1111799	49	3512595	49
1600	50	1069129	49	3446475	49
1700	50	1028421	49	3379321	49
1800	50	9893773	48	3311007	49
1900	50	9517551	48	3241417	49
2000	50	9153533	48	3170443	49
2500	50	7465773	48	2791472	49
3000	50	5912220	48	2364623	49
3500	50	4422103	48	1880501	49
4000	50	2955259	48	1330471	49
4500	50	1486739	48	7063040	48
5000	50	00000000	00	00000000	00
5200	49	1807797	49	4151375	49
5400	49	1780757	49	4137046	49
5600	49	1755003	49	4122883	49
5800	49	1730419	49	4108872	49
6000	49	1706902	49	4094999	49
6200	49	1684364	49	4081252	49
6400	49	1662723	49	4067620	49
6600	49	1641910	49	4054093	49
6800	49	1621861	49	4040661	49
7000	49	1602519	49	4027316	49
7200	49	1583834	49	4014051	49
7400	49	1565760	49	4000858	49
7600	49	1548255	49	3987730	49
7800	49	1531282	49	3974662	49
8000	49	1514806	49	3961647	49
8200	49	1498797	49	3948680	49
8400	49	1483226	49	3935756	49
8600	49	1468066	49	3922871	49
8800	49	1453294	49	3910020	49
9000	49	1438888	49	3897199	49
9200	49	1424827	49	3884404	49
9400	49	1411092	49	3871632	49
9600	49	1397667	49	3858878	49
9800	49	1384535	49	3846141	49
1000	50	1371680	49	3833415	49
1100	50	1311123	49	3769879	49
1200	50	1255775	49	3706267	49
1300	50	1204593	49	3642321	49
1400	50	1156799	49	3577824	49
1500	50	1111799	49	3512595	49
1600	50	1069129	49	3446475	49
1700	50	1028421	49	3379321	49
1800	50	9893773	48	3311007	49
1900	50	9517551	48	3241417	49
2000	50	9153533	48	3170443	49
2500	50	7465773	48	2791472	49
3000	50	5912220	48	2364623	49
3500	50	4422103	48	1880501	49
4000	50	2955259	48	1330471	49
4500	50	1486739	48	7063040	48
5000	50	00000000	00	00000000	00
5200	49	1807797	49	4151375	49
5400	49	1780757	49	4137046	49
5600	49	1755003	49	4122883	49
5800	49	1730419	49	4108872	49
6000	49	1706902	49	4094999	49
6200	49	1684364	49	4081252	49
6400	49	1662723	49	4067620	49
6600	49	1641910	49	4054093	49
6800	49	1621861	49	4040661	49
7000	49	1602519	49	4027316	49
7200	49	1583834	49	4014051	49
7400	49	1565760	49	4000858	49
7600	49	1548255	49	3987730	49
7800	49	1531282	49	3974662	49
8000	49	1514806	49	3961647	49
8200	49	1498797	49	3948680	49
8400	49	1483226	49	3935756	49
8600	49	1468066	49	3922871	49
8800	49	1453294	49	3910020	49
9000	49	1438888	49	3897199	49
9200	49	1424827	49	3884404	49
9400	49	1411092	49	3871632	49
9600	49	1397667	49	3858878	49
9800	49	1384535	49	3846141	49
1000	50	1371680	49	3833415	49
1100	50	1311123	49	3769879	49
1200	50	1255775	49	3706267	49
1300	50	1204593	49	3642321	49
1400	50	1156799	49	3577824	49
1500	50	1111799	49	3512595	49
1600	50	1069129	49	3446475	49
1700	50	1028421	49	3379321	49
1800					

Integrated Cross Sections and Integrals for Average Energies

$\gamma = 55$	$50$	$\int_{\gamma_1}^{\gamma} \left[ \frac{\sigma_s(\gamma')}{\phi_0} \right] d\gamma'$	$\int_{\gamma_1}^{\gamma} \left[ \frac{\gamma' \sigma_s(\gamma')}{\phi_0} \right] d\gamma'$	$\int_0^{E=\gamma-\gamma_1} [E' \sigma_t(E') / \phi_0] dE'$	$\gamma_1$
5500	50	00 000000	00	00000000	00
5000	50	12306555	48	3069675	47
4500	50	2449048	48	1220453	48
4000	50	3666278	48	2742229	48
3500	50	4898228	48	4899175	48
3000	50	6168757	48	7760122	48
2500	50	7516080	48	1146955	49
2000	50	9007095	48	1632355	49
1900	50	9332278	48	1747785	49
1800	50	9669616	48	1870924	49
1700	50	1002098	49	2002700	49
1600	50	1038864	49	2144262	49
1500	50	1077533	49	2297023	49
1400	50	1118447	49	2462745	49
1300	50	1162032	49	2643650	49
1200	50	1208835	49	2842590	49
1100	50	1259567	49	3063309	49
1000	50	1315178	49	3310825	49
9800	49	1326993	49	3364109	49
9600	49	1339066	49	3418801	49
9400	49	1351411	49	3474970	49
9200	49	1364042	49	3532697	49
9000	49	1376976	49	3592063	49
8800	49	1390229	49	3653159	49
8600	49	1403819	49	3716083	49
8400	49	1417767	49	3780940	49
8200	49	1432093	49	3847845	49
8000	49	1446822	49	3916923	49
7800	49	1461978	49	3988312	49
7600	49	1477591	49	4062159	49
7400	49	1493690	49	4138630	49
7200	49	1510309	49	4217903	49
7000	49	1527485	49	4300177	49
6800	49	1545258	49	4385670	49
6600	49	1563675	49	4474624	49
6400	49	1582786	49	4567312	49
6200	49	1602646	49	4664031	49
6000	49	1623318	49	4765118	49
5800	49	1644873	49	4870956	49
5600	49	1667391	49	4981970	49
5400	49	1690961	49	5098644	49
5200	49	1715687	49	5221533	49
5000	49	1741685	49	5351269	49
4800	49	1769092	49	5488579	49
4600	49	1798064	49	5634310	49
4583	49	1800554	49	5646864	49

Integrated Cross Sections and Integrals for Average Energies

$\gamma = 60$ $\gamma_i$	$\int_{\gamma_i}^{\gamma} \left[ \frac{\sigma_s(\gamma')}{\phi_0} \right] d\gamma'$	$\int_{\gamma_i}^{\gamma} \left[ \frac{\gamma' \sigma_s(\gamma')}{\phi_0} \right] d\gamma'$	$\int_0^{\gamma-\gamma_i} [E' \sigma_s(E') / \phi_0] dE'$	$\gamma_i$
6000 50	00 000000 00	00000000 00	00000000 00	6000 50
5500 50	10 35328 48	5953626 48	2583456 47	5500 50
5000 50	20 62107 48	1134443 49	1023215 48	5000 50
4500 50	30 88079 48	1621763 49	2310841 48	4500 50
4000 50	41 23883 48	2061911 49	4124181 48	4000 50
3500 50	51 84700 48	2459574 49	6512463 48	3500 50
3000 50	62 93270 48	2819598 49	9563637 48	3000 50
2500 50	74 85876 48	3147111 49	1344413 49	2500 50
2000 50	88 25718 48	3447772 49	1847659 49	2000 50
1900 50	91 20512 48	3505247 49	1967060 49	1900 50
1800 50	94 27211 48	3561976 49	2094350 49	1800 50
1700 50	97 47563 48	3618025 49	2230512 49	1700 50
1600 50	100 8367 49	3673469 49	2376734 49	1600 50
1500 50	104 3810 49	3728390 49	2534471 49	1500 50
1400 50	108 1401 49	3782877 49	2705529 49	1400 50
1300 50	112 1535 49	3837034 49	2892175 49	1300 50
1200 50	116 4716 49	3890983 49	3097312 49	1200 50
1100 50	121 1599 49	3944864 49	3324729 49	1100 50
1000 50	126 3056 49	3998852 49	3579486 49	1000 50
9800 49	127 3994 49	4009680 49	3634286 49	9800 49
9600 49	128 5173 49	4020524 49	3690517 49	9600 49
9400 49	129 6605 49	4031383 49	3748250 49	9400 49
9200 49	130 8304 49	4042263 49	3807561 49	9200 49
9000 49	132 0283 49	4053163 49	3868535 49	9000 49
8800 49	133 2558 49	4064087 49	3931262 49	8800 49
8600 49	134 5146 49	4075039 49	3995838 49	8600 49
8400 49	135 8065 49	4086019 49	4062370 49	8400 49
8200 49	137 1334 49	4097031 49	4130972 49	8200 49
8000 49	138 4974 49	4108080 49	4201767 49	8000 49
7800 49	139 9009 49	4119167 49	4274891 49	7800 49
7600 49	141 13465 49	4130297 49	4350494 49	7600 49
7400 49	142 28368 49	4141473 49	4428734 49	7400 49
7200 49	144 3748 49	4152700 49	4509792 49	7200 49
7000 49	145 9641 49	4163983 49	4593862 49	7000 49
6800 49	147 6081 49	4175326 49	4681161 49	6800 49
6600 49	149 3110 49	4186734 49	4771928 49	6600 49
6400 49	151 0773 49	4198214 49	4866427 49	6400 49
6200 49	152 9121 49	4209772 49	4964955 49	6200 49
6000 49	154 8209 49	4221415 49	5067842 49	6000 49
5800 49	156 8102 49	4233150 49	5175461 49	5800 49
5600 49	158 8869 49	4244986 49	5288229 49	5600 49
5400 49	161 0592 49	4256932 49	5406621 49	5400 49
5200 49	163 3362 49	4268998 49	5531177 49	5200 49
5000 49	165 7285 49	4281197 49	5662513 49	5000 49
4800 49	168 2479 49	4293540 49	5801338 49	4800 49
4615 49	170 6985 49	4305074 49	5936840 49	4615 49

Integrated Cross Sections and Integrals for Average Energies

$\gamma = 65$ $\gamma_i$	$\int_{\gamma_i}^{\gamma} \left[ \frac{\sigma_s(\gamma')}{\phi_0} \right] d\gamma'$	$\int_{\gamma_i}^{\gamma} \left[ \frac{\gamma' \sigma_s(\gamma')}{\phi_0} \right] d\gamma'$	$\int_0^{E-\gamma-\gamma_i} \left[ \frac{E' \sigma_s(E')}{\phi_0} \right] dE'$	$\gamma_i$
6500 50	0000000 00	0000000 00	0000000 00	6500 50
6000 50	8829885 47	5519031 48	2203944 47	6000 50
5500 50	1759839 48	1056107 49	8778820 47	5500 50
5000 50	2636121 48	1516143 49	1973349 48	5000 50
4500 50	3519249 48	1935582 49	3519293 48	4500 50
4000 50	4419395 48	2318047 49	5545592 48	4000 50
3500 50	5351046 48	2667247 49	8109329 48	3500 50
3000 50	6335851 48	2987028 49	1131274 49	3000 50
2500 50	7408248 48	3281475 49	1533886 49	2500 50
2000 50	8627990 48	3555123 49	2053070 49	2000 50
1900 50	8898248 48	3607814 49	2176046 49	1900 50
1800 50	9180055 48	3659938 49	2307097 49	1800 50
1700 50	9475053 48	3711551 49	2447232 49	1700 50
1600 50	9785210 48	3762714 49	2597672 49	1600 50
1500 50	1011291 49	3813492 49	2759902 49	1500 50
1400 50	1046111 49	3863962 49	2935760 49	1400 50
1300 50	1083348 49	3914210 49	3127551 49	1300 50
1200 50	1123469 49	3964335 49	3338214 49	1200 50
1100 50	1167081 49	4014457 49	3571571 49	1100 50
1000 50	1214989 49	4064721 49	3832712 49	1000 50
9800 49	1225177 49	4074806 49	3888845 49	9800 49
9600 49	1235589 49	4084906 49	3946426 49	9600 49
9400 49	1246238 49	4095022 49	4005527 49	9400 49
9200 49	1257135 49	4105156 49	4066225 49	9200 49
9000 49	1268294 49	4115310 49	4128604 49	9000 49
8800 49	1279729 49	4125486 49	4192753 49	8800 49
8600 49	1291455 49	4135687 49	4258771 49	8600 49
8400 49	1303488 49	4145915 49	4326759 49	8400 49
8200 49	1315847 49	4156172 49	4396833 49	8200 49
8000 49	1328550 49	4166462 49	4469116 49	8000 49
7800 49	1341620 49	4176786 49	4543743 49	7800 49
7600 49	1355078 49	4187148 49	4620862 49	7600 49
7400 49	1368951 49	4197552 49	4700630 49	7400 49
7200 49	1383265 49	4208001 49	4783225 49	7200 49
7000 49	1398052 49	4218498 49	4868840 49	7000 49
6800 49	1413344 49	4229049 49	4957689 49	6800 49
6600 49	1429179 49	4239657 49	5050006 49	6600 49
6400 49	1445597 49	4250328 49	5146054 49	6400 49
6200 49	1462645 49	4261067 49	5246125 49	6200 49
6000 49	1480372 49	4271880 49	5350542 49	6000 49
5800 49	1498837 49	4282773 49	5459672 49	5800 49
5600 49	1518104 49	4293754 49	5573924 49	5600 49
5400 49	1538245 49	4304830 49	5693765 49	5400 49
5200 49	1559343 49	4316010 49	5819720 49	5200 49
5000 49	1581492 49	4327304 49	5952395 49	5000 49

Integrated Cross Sections and Integrals for Average Energies

$\gamma = 65$ $\gamma_i$	50	$\int_{\gamma_i}^{\gamma} \left[ \frac{\sigma_s(\gamma')}{\phi_0} \right] d\gamma'$	$\int_{\gamma_i}^{\gamma} \left[ \frac{\gamma' \sigma_s(\gamma')}{\phi_0} \right] d\gamma'$	$\int_0^{E-\gamma-\gamma_i} \left[ \frac{E' \sigma_s(E')}{\phi_0} \right] dE'$	$\gamma_i$
4800	49	1604800 49	4338723 49	6092480 49	4800 49
4642	49	1624008 49	4347791 49	6208261 49	4642 49

Integrated Cross Sections and Integrals for Average Energies

$\gamma = 70$ $\gamma_i$	$50$	$\int_{\gamma_i}^{\gamma} \left[ \frac{\sigma_s(\gamma')}{\phi_0} \right] d\gamma'$	$\int_{\gamma_i}^{\gamma} \left[ \frac{\gamma' \sigma_s(\gamma')}{\phi_0} \right] d\gamma'$	$\int_0^{\gamma-\gamma_i} [E' \sigma_s(E') / \phi_0] dE'$	$\gamma_i$
7000	50	00 000000 00	00000000 00	00000000 00	7000 50
6500	50	7619076 47	5143137 48	1902166 47	6500 50
6000	50	1519296 48	9876926 48	7581480 47	6000 50
5500	50	2276278 48	1422949 49	1704459 48	5500 50
5000	50	3038188 48	1822918 49	3038139 48	5000 50
4500	50	3812118 48	2190466 49	4780161 48	4500 50
4000	50	4607786 48	2528510 49	6969402 48	4000 50
3500	50	5439014 48	2840036 49	9672738 48	3500 50
3000	50	6326412 48	3128150 49	1300338 49	3000 50
2500	50	7302692 48	3396164 49	1715720 49	2500 50
2000	50	8424431 48	3647779 49	2249321 49	2000 50
1900	50	8674377 48	3696510 49	2375553 49	1900 50
1800	50	8935475 48	3744804 49	2510029 49	1800 50
1700	50	9209266 48	3792706 49	2653780 49	1700 50
1600	50	9497595 48	3840267 49	2808049 49	1600 50
1500	50	9802703 48	3887544 49	2974348 49	1500 50
1400	50	1012734 49	3934599 49	3154542 49	1400 50
1300	50	1047495 49	3981506 49	3350961 49	1300 50
1200	50	1084989 49	4028348 49	3566575 49	1200 50
1100	50	1125743 49	4075219 49	3804984 49	1100 50
1000	50	1170614 49	4122265 49	4072033 49	1000 50
9800	49	1180149 49	4131705 49	4129343 49	9800 49
9600	49	1189896 49	4141159 49	4188115 49	9600 49
9400	49	1199864 49	4150629 49	4248425 49	9400 49
9200	49	1210065 49	4160115 49	4310345 49	9200 49
9000	49	1220511 49	4169621 49	4373960 49	9000 49
8800	49	1231215 49	4179146 49	4439360 49	8800 49
8600	49	1242191 49	4188695 49	4506641 49	8600 49
8400	49	1253453 49	4198268 49	4575907 49	8400 49
8200	49	1265019 49	4207867 49	4647271 49	8200 49
8000	49	1276907 49	4217496 49	4720857 49	8000 49
7800	49	1289136 49	4227156 49	4796796 49	7800 49
7600	49	1301726 49	4236850 49	4875236 49	7600 49
7400	49	1314702 49	4246581 49	4956334 49	7400 49
7200	49	1328088 49	4256352 49	5040266 49	7200 49
7000	49	1341912 49	4266166 49	5127223 49	7000 49
6800	49	1356206 49	4276028 49	5217415 49	6800 49
6600	49	1371002 49	4285941 49	5311075 49	6600 49
6400	49	1386338 49	4295908 49	5408462 49	6400 49
6200	49	1402256 49	4305936 49	5509862 49	6200 49
6000	49	1418803 49	4316028 49	5615596 49	6000 49
5800	49	1436030 49	4326191 49	5726023 49	5800 49
5600	49	1453996 49	4336430 49	5841546 49	5600 49
5400	49	1472768 49	4346753 49	5962623 49	5400 49
5200	49	1492419 49	4357167 49	6089771 49	5200 49

Integrated Cross Sections and Integrals for Average Energies

$\gamma = 70$ $\gamma_i$	50	$\int_{\gamma_i}^{\gamma} \left[ \frac{\sigma_3(\gamma')}{\phi_0} \right] d\gamma'$	$\int_{\gamma_i}^{\gamma} \left[ \frac{\gamma' \sigma_3(\gamma')}{\phi_0} \right] d\gamma'$	$\int_0^{E-\gamma-\gamma_i} [E' \sigma_e(E') / \phi_0] dE'$	$\gamma_i$
5000	49	1513037 49	4367680 49	6223580 49	5000 49
4800	49	1534718 49	4378302 49	6364726 49	4800 49
4666	49	1549818 49	4385449 49	6463282 49	4666 49

Integrated Cross Sections and Integrals for Average Energies

$\gamma = 75$ $\gamma_i$	50	$\int_{\gamma_i}^{\gamma} \left[ \frac{\sigma_s(\gamma')}{\phi_0} \right] d\gamma'$	$\int_{\gamma_i}^{\gamma} \left[ \frac{\gamma' \sigma_s(\gamma')}{\phi_0} \right] d\gamma'$	$\int_0^{\gamma-\gamma_i} \left[ \frac{E' \sigma_s(E')}{\phi_0} \right] dE'$	$\gamma_i$
7500	50	00000000 00	00000000 00	00000000 00	7500 50
7000	50	6640947 47	4814882 48	1658284 47	7000 50
6500	50	1324790 48	9274658 48	6612675 47	6500 50
6000	50	1985189 48	1340209 49	1486829 48	6000 50
5500	50	2649234 48	1722010 49	2649155 48	5500 50
5000	50	3322030 48	2075179 49	4163435 48	5000 50
4500	50	4010361 48	2402054 49	6057166 48	4500 50
4000	50	4723515 48	2705018 49	8376187 48	4000 50
3500	50	5474682 48	2986512 49	1119499 49	3500 50
3000	50	6283503 48	3249085 49	1463541 49	3000 50
2500	50	7181083 48	3495462 49	1890350 49	2500 50
2000	50	8221088 48	3728709 49	2437106 49	2000 50
1900	50	8453885 48	3774096 49	2566317 49	1900 50
1800	50	8697420 48	3819140 49	2703924 49	1800 50
1700	50	8953144 48	3863881 49	2850976 49	1700 50
1600	50	9222797 48	3908361 49	3008735 49	1600 50
1500	50	9508483 48	3952628 49	3178733 49	1500 50
1400	50	9812789 48	3996736 49	3362855 49	1400 50
1300	50	1013893 49	4040746 49	3563455 49	1300 50
1200	50	1049100 49	4084731 49	3783522 49	1200 50
1100	50	1087426 49	4128778 49	4026923 49	1100 50
1000	50	1129569 49	4172993 49	4298780 49	1000 50
9800	49	1138534 49	4181867 49	4357137 49	9800 49
9600	49	1147696 49	4190755 49	4416971 49	9600 49
9400	49	1157067 49	4199657 49	4478352 49	9400 49
9200	49	1166657 49	4208575 49	4541356 49	9200 49
9000	49	1176477 49	4217510 49	4606067 49	9000 49
8800	49	1186538 49	4226464 49	4672574 49	8800 49
8600	49	1196855 49	4235439 49	4740973 49	8600 49
8400	49	1207440 49	4244437 49	4811368 49	8400 49
8200	49	1218310 49	4253458 49	4883870 49	8200 49
8000	49	1229481 49	4262506 49	4958604 49	8000 49
7800	49	1240970 49	4271582 49	5035699 49	7800 49
7600	49	1252798 49	4280689 49	5115302 49	7600 49
7400	49	1264986 49	4289829 49	5197568 49	7400 49
7200	49	1277557 49	4299005 49	5282673 49	7200 49
7000	49	1290536 49	4308220 49	5370804 49	7000 49
6800	49	1303953 49	4317477 49	5462171 49	6800 49
6600	49	1317837 49	4326778 49	5557005 49	6600 49
6400	49	1332225 49	4336129 49	5655558 49	6400 49
6200	49	1347153 49	4345533 49	5758116 49	6200 49
6000	49	1362665 49	4354995 49	5864995 49	6000 49
5800	49	1378808 49	4364518 49	5976547 49	5800 49
5600	49	1395637 49	4374109 49	6093170 49	5600 49
5400	49	1413211 49	4383774 49	6215315 49	5400 49



Integrated Cross Sections and Integrals for Average Energies

$\gamma = 75 \quad 50$ $\gamma_i$	$\int_{\gamma_i}^{\gamma} \left[ \frac{\sigma_s(\gamma')}{\phi_0} \right] d\gamma'$	$\int_{\gamma_i}^{\gamma} \left[ \frac{\gamma' \sigma_s(\gamma')}{\phi_0} \right] d\gamma'$	$\int_0^{E=\gamma-\gamma_i} [E' \sigma_s(E') / \phi_0] dE'$	$\gamma_i$
5 200 49	14 316 00 49	4 393 519 49	6 343 487 49	5 200 49
5 000 49	14 508 82 49	4 403 351 49	6 478 269 49	5 000 49
4 800 49	14 711 46 49	4 413 279 49	6 620 323 49	4 800 49
4 687 49	14 830 15 49	4 418 908 49	6 703 707 49	4 687 49

Integrated Cross Sections and Integrals for Average Energies

$\gamma = 80$ $\gamma_i$	$\int_{\gamma_i}^{\gamma} \left[ \frac{\sigma_3(\gamma')}{\phi_0} \right] d\gamma'$	$\int_{\gamma_i}^{\gamma} \left[ \frac{\gamma' \sigma_3(\gamma')}{\phi_0} \right] d\gamma'$	$\int_0^{E=\gamma-\gamma_i} \left[ \frac{E' \sigma_3(E')}{\phi_0} \right] dE'$	$\gamma_i$
8000 50	0000000 00	0000000 00	0000000 00	8000 50
7500 50	5839555 47	4525805 48	1458390 47	7500 50
7000 50	1165305 48	8740654 48	5817875 47	7000 50
6500 50	1746436 48	1266324 49	1308249 48	6500 50
6000 50	2330325 48	1631236 49	2330241 48	6000 50
5500 50	2920748 48	1970692 49	3659058 48	5500 50
5000 50	3522595 48	2286602 49	5314733 48	5000 50
4500 50	4142360 48	2580900 49	7329881 48	4500 50
4000 50	4788923 48	2855555 49	9755834 48	4000 50
3500 50	5474885 48	3112593 49	1267314 49	3500 50
3000 50	6218980 48	3354131 49	1621052 49	3000 50
2500 50	7050837 48	3582443 49	2058227 49	2500 50
2000 50	8021451 48	3800100 49	2617060 49	2000 50
1900 50	8239531 48	3842617 49	2749007 49	1900 50
1800 50	8467937 48	3884863 49	2889486 49	1800 50
1700 50	8708042 48	3926871 49	3039562 49	1700 50
1600 50	8961485 48	3968677 49	3200510 49	1600 50
1500 50	9230255 48	4010323 49	3373880 49	1500 50
1400 50	9516787 48	4051854 49	3561575 49	1400 50
1300 50	9824114 48	4093325 49	3765966 49	1300 50
1200 50	1015606 49	4134796 49	3990057 49	1200 50
1100 50	1051759 49	4176345 49	4237733 49	1100 50
1000 50	1091523 49	4218064 49	4514122 49	1000 50
9800 49	1099982 49	4226437 49	4573418 49	9800 49
9600 49	1108627 49	4234824 49	4634199 49	9600 49
9400 49	1117470 49	4243223 49	4696537 49	9400 49
9200 49	1126518 49	4251638 49	4760509 49	9200 49
9000 49	1135783 49	4260069 49	4826198 49	9000 49
8800 49	1145276 49	4268517 49	4893691 49	8800 49
8600 49	1155008 49	4276984 49	4963086 49	8600 49
8400 49	1164994 49	4285471 49	5034484 49	8400 49
8200 49	1175247 49	4293981 49	5107998 49	8200 49
8000 49	1185783 49	4302514 49	5183749 49	8000 49
7800 49	1196618 49	4311073 49	5261870 49	7800 49
7600 49	1207770 49	4319660 49	5342503 49	7600 49
7400 49	1219260 49	4328277 49	5425804 49	7400 49
7200 49	1231108 49	4336926 49	5511944 49	7200 49
7000 49	1243340 49	4345610 49	5601114 49	7000 49
6800 49	1255981 49	4354331 49	5693518 49	6800 49
6600 49	1269059 49	4363093 49	5789384 49	6600 49
6400 49	1282607 49	4371898 49	5888963 49	6400 49
6200 49	1296661 49	4380751 49	5992539 49	6200 49
6000 49	1311259 49	4389655 49	6100421 49	6000 49
5800 49	1326446 49	4398614 49	6212957 49	5800 49
5600 49	1342272 49	4407634 49	6330542 49	5600 49

Integrated Cross Sections and Integrals for Average Energies

$\gamma = 80$ $\gamma_i$	50	$\int_{\gamma_i}^{\gamma} \left[ \frac{\sigma_3(\gamma')}{\phi_0} \right] d\gamma'$	$\int_{\gamma_i}^{\gamma} \left[ \frac{\gamma' \sigma_3(\gamma')}{\phi_0} \right] d\gamma'$	$\int_0^{\gamma-\gamma_i} \left[ \frac{E' \sigma_3(E')}{\phi_0} \right] dE'$	$\gamma_i$
5400	49	1358791 49	4416718 49	6453616 49	5400 49
5200	49	1376069 49	4425874 49	6582680 49	5200 49
5000	49	1394176 49	4435107 49	6718305 49	5000 49
4800	49	1413196 49	4444425 49	6861142 49	4800 49
4705	49	1422488 49	4448842 49	6931065 49	4705 49

Integrated Cross Sections and Integrals for Average Energies

$\gamma = 85$ $\gamma_i$	$50$	$\int_{\gamma_i}^{\gamma} \left[ \frac{\sigma_3(\gamma')}{\phi_0} \right] d\gamma'$	$\int_{\gamma_i}^{\gamma} \left[ \frac{\gamma' \sigma_3(\gamma')}{\phi_0} \right] d\gamma'$	$\int_0^{E=\gamma-\gamma_i} [E' \sigma_6(E') / \phi_0] dE'$	$\gamma_i$				
8500	50	00000000	00	00000000	00	8500	50		
8000	50	5174792	47	4269321	48	1292515	47	8000	50
7500	50	1032928	48	8264098	48	5157898	47	7500	50
7000	50	1548212	48	1199987	49	1159933	48	7000	50
6500	50	2065624	48	1549226	49	2065546	48	6500	50
6000	50	2588018	48	1875694	49	3241210	48	6000	50
5500	50	3119015	48	2180973	49	4701898	48	5500	50
5000	50	3663304	48	2466658	49	6471507	48	5000	50
4500	50	4227104	48	2734366	49	8586727	48	4500	50
4000	50	4818915	48	2985747	49	1110330	49	4000	50
3500	50	5450786	48	3222500	49	1410668	49	3500	50
3000	50	6140615	48	3446405	49	1773118	49	3000	50
2500	50	6916665	48	3659379	49	2219786	49	2500	50
2000	50	7827487	48	3863607	49	2789756	49	2000	50
1900	50	8032768	48	3903629	49	2924223	49	1900	50
1800	50	8247975	48	3943434	49	3067344	49	1800	50
1700	50	8474409	48	3983050	49	3220197	49	1700	50
1600	50	8713522	48	4022509	49	3384070	49	1600	50
1500	50	8967497	48	4061846	49	3560526	49	1500	50
1400	50	9238333	48	4101102	49	3751480	49	1400	50
1300	50	9528993	48	4140324	49	3959320	49	1300	50
1200	50	9843093	48	4179565	49	4187064	49	1200	50
1100	50	1018529	49	4218892	49	4438605	49	1100	50
1000	50	1056172	49	4258386	49	4719081	49	1000	50
9800	49	1064180	49	4266313	49	4779220	49	9800	49
9600	49	1072365	49	4274253	49	4840853	49	9600	49
9400	49	1080736	49	4282204	49	4904052	49	9400	49
9200	49	1089301	49	4290170	49	4968894	49	9200	49
9000	49	1098071	49	4298150	49	5035458	49	9000	49
8800	49	1107056	49	4306147	49	5103836	49	8800	49
8600	49	1116268	49	4314161	49	5174122	49	8600	49
8400	49	1125719	49	4322193	49	5246419	49	8400	49
8200	49	1135421	49	4330246	49	5320838	49	8200	49
8000	49	1145390	49	4338320	49	5397499	49	8000	49
7800	49	1155641	49	4346418	49	5476535	49	7800	49
7600	49	1166191	49	4354541	49	5558086	49	7600	49
7400	49	1177058	49	4362691	49	5642309	49	7400	49
7200	49	1188264	49	4370870	49	5729374	49	7200	49
7000	49	1199828	49	4379080	49	5819465	49	7000	49
6800	49	1211778	49	4387325	49	5912789	49	6800	49
6600	49	1224138	49	4395605	49	6009570	49	6600	49
6400	49	1236939	49	4403925	49	6110061	49	6400	49
6200	49	1250214	49	4412288	49	6214535	49	6200	49
6000	49	1264000	49	4420696	49	6323304	49	6000	49
5800	49	1278337	49	4429154	49	6436711	49	5800	49

Integrated Cross Sections and Integrals for Average Energies

$\gamma = 85$ $\gamma_i$	$50$	$\int_{\gamma_i}^{\gamma} \left[ \frac{\sigma_s(\gamma')}{\phi_0} \right] d\gamma'$	$\int_{\gamma_i}^{\gamma} \left[ \frac{\gamma' \sigma_s(\gamma')}{\phi_0} \right] d\gamma'$	$\int_0^{E=\gamma-\gamma_i} [E' \sigma_s(E') / \phi_0] dE'$	$\gamma_i$
5600	49	1293271 49	4437666 49	6555141 49	5600 49
5400	49	1308855 49	4446236 49	6679033 49	5400 49
5200	49	1325147 49	4454869 49	6808881 49	5200 49
5000	49	1342213 49	4463571 49	6945241 49	5000 49
4800	49	1360130 49	4472349 49	7088759 49	4800 49
4722	49	1367346 49	4475785 49	7146662 49	4722 49

Integrated Cross Sections and Integrals for Average Energies

$\gamma = 90$	$\gamma_i$	$\int_{\gamma_i}^{\gamma} \left[ \frac{\sigma_s(\gamma')}{\phi_0} \right] d\gamma'$	$\int_{\gamma_i}^{\gamma} \left[ \frac{\gamma' \sigma_s(\gamma')}{\phi_0} \right] d\gamma'$	$\int_0^{E=\gamma-\gamma_i} [E' \sigma_s(E') / \phi_0] dE'$	$\gamma_i$
9000	50	00 000000 00	000 00000 00	00000000 00	9000 50
8500	50	4617304 47	4040237 48	1153365 47	8500 50
8000	50	9218557 47	7836307 48	4603942 47	8000 50
7500	50	1381856 48	1140128 49	1035424 48	7500 50
7000	50	1843524 48	1474826 49	1843457 48	7000 50
6500	50	2309061 48	1789042 49	2891129 48	6500 50
6000	50	2781209 48	2084100 49	4189875 48	6000 50
5500	50	3263442 48	2361334 49	5757638 48	5500 50
5000	50	3760258 48	2622091 49	7621418 48	5000 50
4500	50	4277622 48	2867738 49	9821217 48	4500 50
4000	50	4823677 48	3099671 49	1241638 49	4000 50
3500	50	5409963 48	3319331 49	1549636 49	3500 50
3000	50	6053601 48	3528227 49	1920013 49	3000 50
2500	50	6781593 48	3727998 49	2375436 49	2500 50
2000	50	7640251 48	3920513 49	2955713 49	2000 50
1900	50	7834276 48	3958340 49	3092508 49	1900 50
1800	50	8037845 48	3995992 49	3238068 49	1800 50
1700	50	8252191 48	4033493 49	3393478 49	1700 50
1600	50	8478791 48	4070871 49	3560040 49	1600 50
1500	50	8719427 48	4108157 49	3739327 49	1500 50
1400	50	8976281 48	4145386 49	3933266 49	1400 50
1300	50	9252063 48	4182600 49	4144256 49	1300 50
1200	50	9550193 48	4219846 49	4375327 49	1200 50
1100	50	9875070 48	4257182 49	4630380 49	1100 50
1000	50	1023248 49	4294681 49	4914558 49	1000 50
9800	49	1030852 49	4302208 49	4975460 49	9800 49
9600	49	1038623 49	4309746 49	5037864 49	9600 49
9400	49	1046539 49	4317291 49	5101561 49	9400 49
9200	49	1054702 49	4324858 49	5167464 49	9200 49
9000	49	1063028 49	4332434 49	5234819 49	9000 49
8800	49	1071557 49	4340025 49	5303994 49	8800 49
8600	49	1080301 49	4347632 49	5375084 49	8600 49
8400	49	1089271 49	4355256 49	5448189 49	8400 49
8200	49	1098479 49	4362898 49	5523420 49	8200 49
8000	49	1107940 49	4370561 49	5600899 49	8000 49
7800	49	1117666 49	4378244 49	5680756 49	7800 49
7600	49	1127676 49	4385951 49	5763133 49	7600 49
7400	49	1137984 49	4393682 49	5848182 49	7400 49
7200	49	1148612 49	4401440 49	5936072 49	7200 49
7000	49	1159579 49	4409226 49	6026988 49	7000 49
6800	49	1170908 49	4417042 49	6121135 49	6800 49
6600	49	1182625 49	4424892 49	6218737 49	6600 49
6400	49	1194757 49	4432777 49	6320038 49	6400 49
6200	49	1207335 49	4440700 49	6425315 49	6200 49
6000	49	1220393 49	4448664 49	6534872 49	6000 49

Integrated Cross Sections and Integrals for Average Energies

$\gamma = 90$ $\gamma_i$	50	$\int_{\gamma_i}^{\gamma} \left[ \frac{\sigma_3(\gamma')}{\phi_0} \right] d\gamma'$	$\int_{\gamma_i}^{\gamma} \left[ \frac{\gamma' \sigma_3(\gamma')}{\phi_0} \right] d\gamma'$	$\int_0^{E-\gamma-\gamma_i} [E' \sigma_3(E') / \phi_0] dE'$	$\gamma_i$
5800	49	1233969 49	4456674 49	6649051 49	5800 49
5600	49	1248107 49	4464731 49	6768233 49	5600 49
5400	49	1262854 49	4472841 49	6892849 49	5400 49
5200	49	1278266 49	4481008 49	7023387 49	5200 49
5000	49	1294403 49	4489237 49	7160397 49	5000 49
4800	49	1311338 49	4497534 49	7304516 49	4800 49
4736	49	1316865 49	4500169 49	7351618 49	4736 49

Integrated Cross Sections and Integrals for Average Energies

$\gamma = 95$ $\gamma_i$	$50$	$\int_{\gamma_i}^{\gamma} \left[ \frac{\sigma_s(\gamma')}{\phi_0} \right] d\gamma'$	$\int_{\gamma_i}^{\gamma} \left[ \frac{\gamma' \sigma_s(\gamma')}{\phi_0} \right] d\gamma'$	$\int_0^{E=\gamma-\gamma_i} [E' \sigma_s(E') / \phi_0] dE'$	$\gamma_i$
9500	50	00000000	00	00000000	00
9000	50	4145215	47	3834397	48
8500	50	8277571	47	7450242	48
8000	50	1240896	48	1085861	49
7500	50	1655363	48	1407064	49
7000	50	2072881	48	1709748	49
6500	50	2495567	48	1995035	49
6000	50	2926054	48	2264050	49
5500	50	3367683	48	2517933	49
5000	50	3824773	48	2757830	49
4500	50	4303048	48	2984907	49
4000	50	4810323	48	3200359	49
3500	50	5357661	48	3405414	49
3000	50	5961464	48	3601371	49
2500	50	6647572	48	3789635	49
2000	50	7460242	48	3971826	49
1900	50	7644273	48	4007705	49
1800	50	7837485	48	4043441	49
1700	50	8041052	48	4079056	49
1600	50	8256376	48	4114574	49
1500	50	8485156	48	4150023	49
1400	50	8729462	48	4185434	49
1300	50	8991869	48	4220841	49
1200	50	9275618	48	4256291	49
1100	50	9584880	48	4291833	49
1000	50	9925136	48	4327531	49
9800	49	9997515	48	4334696	49
9600	49	1007149	49	4341872	49
9400	49	1014714	49	4349058	49
9200	49	1022454	49	4356257	49
9000	49	1030379	49	4363467	49
8800	49	1038497	49	4370692	49
8600	49	1046818	49	4377931	49
8400	49	1055354	49	4385187	49
8200	49	1064116	49	4392459	49
8000	49	1073117	49	4399750	49
7800	49	1082371	49	4407059	49
7600	49	1091892	49	4414390	49
7400	49	1101696	49	4421743	49
7200	49	1111803	49	4429120	49
7000	49	1122231	49	4436524	49
6800	49	1133001	49	4443954	49
6600	49	1144138	49	4451415	49
6400	49	1155666	49	4458909	49
6200	49	1167616	49	4466436	49
6000	49				
5800	49				
5600	49				
5400	49				
5200	49				
5000	49				
4800	49				
4600	49				
4400	49				
4200	49				
4000	49				
3800	49				
3600	49				
3400	49				
3200	49				
3000	49				
2800	49				
2600	49				
2400	49				
2200	49				
2000	49				
1800	49				
1600	49				
1400	49				
1200	49				
1000	49				
9800	49				
9600	49				
9400	49				
9200	49				
9000	49				
8800	49				
8600	49				
8400	49				
8200	49				
8000	49				
7800	49				
7600	49				
7400	49				
7200	49				
7000	49				
6800	49				
6600	49				
6400	49				
6200	49				



Integrated Cross Sections and Integrals for Average Energies

$\gamma = 95$ $\gamma_i$	$50$	$\int_{\gamma_i}^{\gamma} \left[ \frac{\sigma_s(\gamma')}{\phi_0} \right] d\gamma'$	$\int_{\gamma_i}^{\gamma} \left[ \frac{\gamma' \sigma_s(\gamma')}{\phi_0} \right] d\gamma'$	$\int_0^{E-\gamma-\gamma_i} \left[ \frac{E' \sigma_s(E')}{\phi_0} \right] dE'$	$\gamma_i$
6000	49	1180019 49	4474001 49	6736185 49	6000 49
5800	49	1192911 49	4481607 49	6851055 49	5800 49
5600	49	1206333 49	4489255 49	6970908 49	5600 49
5400	49	1220328 49	4496952 49	7096170 49	5400 49
5200	49	1234949 49	4504701 49	7227321 49	5200 49
5000	49	1250254 49	4512504 49	7364910 49	5000 49
4800	49	1266308 49	4520369 49	7509559 49	4800 49
4750	49	1270447 49	4522346 49	7546906 49	4750 49

Integrated Cross Sections and Integrals for Average Energies

$\gamma = 10$	$51$	$\int_{\gamma'_1}^{\gamma} \left[ \frac{\sigma_s(\gamma')}{\phi_0} \right] d\gamma'$	$\int_{\gamma'_1}^{\gamma} \left[ \frac{\gamma' \sigma_s(\gamma')}{\phi_0} \right] d\gamma'$	$\int_0^{E=\gamma-\gamma'_1} [E' \sigma_s(E') / \phi_0] dE'$	$\gamma'_1$
1000	51	0000000 00	0000000 00	0000000 00	1000 51
9500	50	3741941 47	3648451 48	9349040 46	9500 50
9000	50	7473461 47	7100134 48	3733272 47	9000 50
8500	50	1120423 48	1036453 49	8396930 47	8500 50
8000	50	1494569 48	1345117 49	1494522 48	8000 50
7500	50	1871157 48	1636959 49	2341977 48	7500 50
7000	50	2251845 48	1912937 49	3389078 48	7000 50
6500	50	2638669 48	2174013 49	4646564 48	6500 50
6000	50	3034165 48	2421155 49	6130092 48	6000 50
5500	50	3441542 48	2655340 49	7862018 48	5500 50
5000	50	3864955 48	2877555 49	9874002 48	5000 50
4500	50	4309905 48	3088803 49	1221102 49	4500 50
4000	50	4783900 48	3290110 49	1493789 49	4000 50
3500	50	5297560 48	3482540 49	1815020 49	3500 50
3000	50	5866620 48	3667211 49	2199409 49	3000 50
2500	50	6515848 48	3845345 49	2670503 49	2500 50
2000	50	7287606 48	4018353 49	3269252 49	2000 50
1950	50	7374108 48	4035437 49	3338671 49	1950 50
1900	50	7462694 48	4052489 49	3410205 49	1900 50
1850	50	7553486 48	4069512 49	3483974 49	1850 50
1800	50	7646619 48	4086507 49	3560111 49	1800 50
1750	50	7742236 48	4103478 49	3638758 49	1750 50
1700	50	7840499 48	4120427 49	3720072 49	1700 50
1650	50	7941582 48	4137357 49	3804224 49	1650 50
1600	50	8045676 48	4154271 49	3891404 49	1600 50
1550	50	8152992 48	4171172 49	3981819 49	1550 50
1500	50	8263763 48	4188063 49	4075699 49	1500 50
1450	50	8378249 48	4204948 49	4173300 49	1450 50
1400	50	8496737 48	4221831 49	4274905 49	1400 50
1350	50	8619549 48	4238716 49	4380832 49	1350 50
1300	50	8747044 48	4255607 49	4491437 49	1300 50
1250	50	8879632 48	4272510 49	4607121 49	1250 50
1200	50	9017770 48	4289429 49	4728340 49	1200 50
1150	50	9161985 48	4306372 49	4855613 49	1150 50
1100	50	9312875 48	4323344 49	4989531 49	1100 50
1050	50	9471133 48	4340353 49	5130779 49	1050 50
1000	50	9637561 48	4357409 49	5280151 49	1000 50
9500	49	9813097 48	4374520 49	5438577 49	9500 49
9000	49	9998845 48	4391697 49	5607147 49	9000 49
8500	49	1019612 49	4408953 49	5787167 49	8500 49
8000	49	1040650 49	4426304 49	5980201 49	8000 49
7500	49	1063192 49	4443768 49	6188154 49	7500 49
7000	49	1087473 49	4461364 49	6413373 49	7000 49
6500	49	1113791 49	4479119 49	6658795 49	6500 49
6000	49	1142522 49	4497065 49	6928161 49	6000 49

Integrated Cross Sections and Integrals for Average Energies

$\gamma = 10$ $\gamma_i$	$51$	$\int_{\gamma_i}^{\gamma} \left[ \frac{\sigma_s(\gamma')}{\phi_0} \right] d\gamma'$	$\int_{\gamma_i}^{\gamma} \left[ \frac{\gamma' \sigma_s(\gamma')}{\phi_0} \right] d\gamma'$	$\int_0^{E-\gamma_i} [E' \sigma_s(E') / \phi_0] dE'$	$\gamma_i$
5500	49	1174156 49	4515241 49	7226327 49	5500 49
5000	49	1209345 49	4533699 49	7559756 49	5000 49
4761	49	1227597 49	4542605 49	7733370 49	4761 49

Integrated Cross Sections and Integrals for Average Energies

$\gamma = 11$ $\gamma'$	$\gamma'$	$\int_{\gamma_1}^{\gamma} \left[ \frac{\sigma_s(\gamma')}{\phi_0} \right] d\gamma'$	$\int_{\gamma_1}^{\gamma} \left[ \frac{\gamma' \sigma_s(\gamma')}{\phi_0} \right] d\gamma'$	$\int_0^{E-\gamma-\gamma_1} [E' \sigma_s(E') / \phi_0] dE'$	$\gamma'$		
1100	51	0000000	00	0000000	00	1100	51
1000	51	6180315	47	6489564	48	1000	51
9500	50	9266471	47	9498552	48	9500	50
9000	50	1235981	48	1235984	49	9000	50
8500	50	1546933	48	1508058	49	8500	50
8000	50	1860567	48	1766793	49	8000	50
7500	50	2178158	48	2012907	49	7500	50
7000	50	2501247	48	2247120	49	7000	50
6500	50	2831727	48	2470158	49	6500	50
6000	50	3171949	48	2682751	49	6000	50
5500	50	3524895	48	2885634	49	5500	50
5000	50	3894416	48	3079554	49	5000	50
4500	50	4285612	48	3265270	49	4500	50
4000	50	4705437	48	3443558	49	4000	50
3500	50	5163716	48	3615226	49	3500	50
3000	50	5674992	48	3781131	49	3000	50
2500	50	6262115	48	3942210	49	2500	50
2000	50	6964089	48	4099559	49	2000	50
1950	50	7042982	48	4115140	49	1950	50
1900	50	7123810	48	4130698	49	1900	50
1850	50	7206687	48	4146237	49	1850	50
1800	50	7291736	48	4161757	49	1800	50
1750	50	7379089	48	4177262	49	1750	50
1700	50	7468894	48	4192752	49	1700	50
1650	50	7561309	48	4208230	49	1650	50
1600	50	7656509	48	4223699	49	1600	50
1550	50	7754688	48	4239161	49	1550	50
1500	50	7856058	48	4254619	49	1500	50
1450	50	7960855	48	4270075	49	1450	50
1400	50	8069344	48	4285533	49	1400	50
1350	50	8181814	48	4300996	49	1350	50
1300	50	8298597	48	4316467	49	1300	50
1250	50	8420061	48	4331952	49	1250	50
1200	50	8546625	48	4347454	49	1200	50
1150	50	8678766	48	4362978	49	1150	50
1100	50	8817029	48	4378530	49	1100	50
1050	50	8962040	48	4394116	49	1050	50
1000	50	9114526	48	4409743	49	1000	50
9500	49	9275336	48	4425418	49	9500	49
9000	49	9445470	48	4441151	49	9000	49
8500	49	9626113	48	4456952	49	8500	49
8000	49	9818690	48	4472834	49	8000	49
7500	49	1002493	49	4488813	49	7500	49
7000	49	1024696	49	4504903	49	7000	49
6500	49	1048744	49	4521127	49	6500	49

Integrated Cross Sections and Integrals for Average Energies

$\gamma = 11$ $\gamma_i$	51	$\int_{\gamma_i}^{\gamma} \left[ \frac{\sigma_s(\gamma')}{\phi_0} \right] d\gamma'$	$\int_{\gamma_i}^{\gamma} \left[ \frac{\gamma' \sigma_s(\gamma')}{\phi_0} \right] d\gamma'$	$\int_0^{E-\gamma-\gamma_i} \left[ \frac{E' \sigma_s(E')}{\phi_0} \right] dE'$	$\gamma_i$
6000	49	1074975 49	4537511 49	7287221 49	6000 49
5500	49	1103826 49	4554089 49	7588001 49	5500 49
5000	49	1135877 49	4570900 49	7923748 49	5000 49
4782	49	1151000 49	4578297 49	8082713 49	4782 49

Integrated Cross Sections and Integrals for Average Energies

$\gamma = 12$ $\gamma_i$	51	$\int_{\gamma_i}^{\gamma} \left[ \frac{\sigma_s(\gamma')}{\phi_0} \right] d\gamma'$	$\int_{\gamma_i}^{\gamma} \left[ \frac{\gamma' \sigma_s(\gamma')}{\phi_0} \right] d\gamma'$	$\int_0^{E-\gamma-\gamma_i} [E' \sigma_s(E') / \phi_0] dE'$	$\gamma_i$				
1200	51	0000000	00	0000000	00	1200	51		
1100	51	5195656	47	5975172	48	2596160	47	1100	51
1000	51	1039075	48	1142985	49	1039051	48	1000	51
9500	50	1300196	48	1397572	49	1626632	48	9500	50
9000	50	1563147	48	1640792	49	2349841	48	9000	50
8500	50	1828767	48	1873197	49	3213238	48	8500	50
8000	50	2098051	48	2095339	49	4223224	48	8000	50
7500	50	2372188	48	2307772	49	5388540	48	7500	50
7000	50	2652615	48	2511052	49	6720863	48	7000	50
6500	50	2941098	48	2705740	49	8235775	48	6500	50
6000	50	3239830	48	2892399	49	9953962	48	6000	50
5500	50	3551588	48	3071599	49	1190306	49	5500	50
5000	50	3879961	48	3243918	49	1412036	49	5000	50
4500	50	4229698	48	3409942	49	1665696	49	4500	50
4000	50	4607268	48	3570276	49	1958445	49	4000	50
3500	50	5021806	48	3725550	49	2300617	49	3500	50
3000	50	5486821	48	3876433	49	2707752	49	3000	50
2500	50	6023509	48	4023664	49	3204546	49	2500	50
2000	50	6667989	48	4168115	49	3833471	49	2000	50
1950	50	6740564	48	4182448	49	3906228	49	1950	50
1900	50	6814945	48	4196766	49	3981168	49	1900	50
1850	50	6891235	48	4211069	49	4058413	49	1850	50
1800	50	6969549	48	4225361	49	4138097	49	1800	50
1750	50	7050008	48	4239642	49	4220368	49	1750	50
1700	50	7132747	48	4253913	49	4305383	49	1700	50
1650	50	7217914	48	4268177	49	4393319	49	1650	50
1600	50	7305668	48	4282436	49	4484365	49	1600	50
1550	50	7396189	48	4296692	49	4578735	49	1550	50
1500	50	7489672	48	4310947	49	4676659	49	1500	50
1450	50	7586333	48	4325203	49	4778396	49	1450	50
1400	50	7686415	48	4339463	49	4884234	49	1400	50
1350	50	7790186	48	4353730	49	4994493	49	1350	50
1300	50	7897948	48	4368007	49	5109530	49	1300	50
1250	50	8010039	48	4382297	49	5229750	49	1250	50
1200	50	8126845	48	4396604	49	5355610	49	1200	50
1150	50	8248801	48	4410931	49	5487630	49	1150	50
1100	50	8376406	48	4425284	49	5626403	49	1100	50
1050	50	8510233	48	4439668	49	5772612	49	1050	50
1000	50	8650947	48	4454088	49	5927049	49	1000	50
9500	49	8799066	48	4468548	49	6090330	49	9500	49
9000	49	8956268	48	4483065	49	6264457	49	9000	49
8500	49	9122868	48	4497638	49	6449804	49	8500	49
8000	49	9300417	48	4512281	49	6648220	49	8000	49
7500	49	9490488	48	4527006	49	6861580	49	7500	49
7000	49	9695011	48	4541827	49	7092186	49	7000	49

Integrated Cross Sections and Integrals for Average Energies

$\gamma = 12$ $\gamma_i$ 51	$\int_{\gamma_i}^{\gamma} \left[ \frac{\sigma_3(\gamma')}{\phi_0} \right] d\gamma'$	$\int_{\gamma_i}^{\gamma} \left[ \frac{\gamma' \sigma_3(\gamma')}{\phi_0} \right] d\gamma'$	$\int_0^{E-\gamma-\gamma_i} [E' \sigma_3(E') / \phi_0] dE'$	$\gamma_i$
6500 49	9916395 48	4556763 49	7342911 49	6500 49
6000 49	1015769 49	4571835 49	7617394 49	6000 49
5500 49	1042284 49	4587071 49	7920347 49	5500 49
5000 49	1071709 49	4602505 49	8258007 49	5000 49
4800 49	1084444 49	4608745 49	8404593 49	4800 49

Integrated Cross Sections and Integrals for Average Energies

$\gamma = 13$ $\gamma_i$	$\int_{\gamma_i}^{\gamma} \left[ \frac{\sigma_s(\gamma')}{\phi_0} \right] d\gamma'$	$\int_{\gamma_i}^{\gamma} \left[ \frac{\gamma' \sigma_s(\gamma')}{\phi_0} \right] d\gamma'$	$\int_0^{E=\gamma-\gamma_i} [E' \sigma_s(E') / \phi_0] dE$	$\gamma_i$
1300 51	0000000 00	0000000 00	0000000 00	1300 51
1200 51	4428699 47	5535992 48	2213167 47	1200 51
1100 51	8857015 47	1062843 49	8856860 47	1100 51
1000 51	1331772 48	1531175 49	2001296 48	1000 51
9500 50	1557323 48	1751077 49	2734425 48	9500 50
9000 50	1785411 48	1962047 49	3589877 48	9000 50
8500 50	2016825 48	2164519 49	4573546 48	8500 50
8000 50	2252496 48	2358927 49	5693178 48	8000 50
7500 50	2493535 48	2545708 49	6958882 48	7500 50
7000 50	2741293 48	2725300 49	8383802 48	7000 50
6500 50	2997418 48	2898146 49	9984974 48	6500 50
6000 50	3263966 48	3064690 49	1178465 49	6000 50
5500 50	3543535 48	3225382 49	1381214 49	5500 50
5000 50	3839482 48	3380678 49	1610649 49	5000 50
4500 50	4156247 48	3531043 49	1872078 49	4500 50
4000 50	4499874 48	3676957 49	2172879 49	4000 50
3500 50	4878897 48	3818921 49	2523644 49	3500 50
3000 50	5305918 48	3957469 49	2940224 49	3000 50
2500 50	5800697 48	4093196 49	3447711 49	2500 50
2000 50	6396852 48	4226808 49	4089100 49	2000 50
1950 50	6464087 48	4240086 49	4163227 49	1950 50
1900 50	6533012 48	4253354 49	4239562 49	1900 50
1850 50	6603723 48	4266611 49	4318229 49	1850 50
1800 50	6676326 48	4279860 49	4399363 49	1800 50
1750 50	6750934 48	4293102 49	4483112 49	1750 50
1700 50	6827672 48	4306339 49	4569634 49	1700 50
1650 50	6906676 48	4319571 49	4659108 49	1650 50
1600 50	6988096 48	4332801 49	4751724 49	1600 50
1550 50	7072095 48	4346029 49	4847694 49	1550 50
1500 50	7158857 48	4359259 49	4947254 49	1500 50
1450 50	7248579 48	4372492 49	5050660 49	1450 50
1400 50	7341487 48	4385730 49	5158203 49	1400 50
1350 50	7437829 48	4398976 49	5270202 49	1350 50
1300 50	7537884 48	4412232 49	5387017 49	1300 50
1250 50	7641964 48	4425500 49	5509053 49	1250 50
1200 50	7750424 48	4438784 49	5636767 49	1200 50
1150 50	7863667 48	4452088 49	5770679 49	1150 50
1100 50	7982152 48	4465415 49	5911382 49	1100 50
1050 50	8106407 48	4478771 49	6059559 49	1050 50
1000 50	8237043 48	4492158 49	6215999 49	1000 50
9500 49	8374774 48	4505583 49	6381622 49	9500 49
9000 49	8520435 48	4519054 49	6557512 49	9000 49
8500 49	8675020 48	4532576 49	6744950 49	8500 49
8000 49	8839717 48	4546159 49	6945473 49	8000 49
7500 49	9015966 48	4559813 49	7160943 49	7500 49



Integrated Cross Sections and Integrals for Average Energies

$\gamma = 13$ $\gamma_i$	$51$	$\int_{\gamma_i}^{\gamma} \left[ \frac{\sigma_s(\gamma')}{\phi_0} \right] d\gamma'$	$\int_{\gamma_i}^{\gamma} \left[ \frac{\gamma' \sigma_s(\gamma')}{\phi_0} \right] d\gamma'$	$\int_0^{E=\gamma-\gamma_i} [E' \sigma_s(E') / \phi_0] dE'$	$\gamma_i$
7000	49	9205535 48	4573551 49	7393645 49	7000 49
6500	49	9410622 48	4587387 49	7646422 49	6500 49
6000	49	9634014 48	4601341 49	7922878 49	6000 49
5500	49	9879307 48	4615435 49	8227663 49	5500 49
5000	49	1015125 49	4629700 49	8566930 49	5000 49
4814	49	1025996 49	4635034 49	8702918 49	4814 49

Integrated Cross Sections and Integrals for Average Energies

$\gamma = 14$ $\gamma_i$	$\gamma_f$	$\int_{\gamma_i}^{\gamma_f} \left[ \frac{\sigma_s(\gamma')}{\phi_0} \right] d\gamma'$	$\int_{\gamma_i}^{\gamma_f} \left[ \frac{\gamma' \sigma_s(\gamma')}{\phi_0} \right] d\gamma'$	$\int_0^{\gamma_f} [E' \sigma_s(E') / \phi_0] dE'$	$\gamma_i$	$\gamma_f$	
1400	51	00000000	00	00000000	00	1400	51
1300	51	3819735	47	5156729	48	1300	51
1200	51	7639195	47	9930964	48	1200	51
1100	51	1148231	48	1435023	49	1100	51
1000	51	1537993	48	1844213	49	1000	51
9500	50	1736140	48	2037395	49	9500	50
9000	50	1937276	48	2223432	49	9000	50
8500	50	2142139	48	2402670	49	8500	50
8000	50	2351605	48	2575458	49	8000	50
7500	50	2566721	48	2742147	49	7500	50
7000	50	2788754	48	2903089	49	7000	50
6500	50	3019254	48	3058638	49	6500	50
6000	50	3260152	48	3209151	49	6000	50
5500	50	3513888	48	3354990	49	5500	50
5000	50	3783614	48	3496522	49	5000	50
4500	50	4073497	48	3634121	49	4500	50
4000	50	4389207	48	3768176	49	4000	50
3500	50	4738746	48	3899092	49	3500	50
3000	50	5133922	48	4027302	49	3000	50
2500	50	5593235	48	4153294	49	2500	50
2000	50	6148117	48	4277650	49	2000	50
1950	50	6210770	48	4290024	49	1950	50
1900	50	6275011	48	4302389	49	1900	50
1850	50	6340928	48	4314748	49	1850	50
1800	50	6408620	48	4327101	49	1800	50
1750	50	6478194	48	4339450	49	1750	50
1700	50	6549764	48	4351795	49	1700	50
1650	50	6623459	48	4364138	49	1650	50
1600	50	6699416	48	4376480	49	1600	50
1550	50	6777790	48	4388823	49	1550	50
1500	50	6858748	48	4401168	49	1500	50
1450	50	6942478	48	4413517	49	1450	50
1400	50	7029188	48	4425872	49	1400	50
1350	50	7119107	48	4438234	49	1350	50
1300	50	7212496	48	4450606	49	1300	50
1250	50	7309645	48	4462992	49	1250	50
1200	50	7410884	48	4475392	49	1200	50
1150	50	7516584	48	4487810	49	1150	50
1100	50	7627174	48	4500248	49	1100	50
1050	50	7743140	48	4512713	49	1050	50
1000	50	7865052	48	4525206	49	1000	50
9500	49	7993567	48	4537733	49	9500	49
9000	49	8129459	48	4550300	49	9000	49
8500	49	8273646	48	4562913	49	8500	49
8000	49	8427225	48	4575579	49	8000	49

Integrated Cross Sections and Integrals for Average Energies

$\gamma = 14$ $\gamma_i$	51	$\int_{\gamma_i}^{\gamma} \left[ \frac{\sigma_2(\gamma')}{\phi_0} \right] d\gamma'$	$\int_{\gamma_i}^{\gamma} \left[ \frac{\gamma' \sigma_2(\gamma')}{\phi_0} \right] d\gamma'$	$\int_0^{E-\gamma-\gamma_i} [E' \sigma_0(E') / \phi_0] dE'$	$\gamma_i$
7500	49	8591526 48	4588307 49	7439829 49	7500 49
7000	49	8768174 48	4601109 49	7674335 49	7000 49
6500	49	8959196 48	4613996 49	7928878 49	6500 49
6000	49	9167151 48	4626986 49	8207027 49	6000 49
5500	49	9395341 48	4640097 49	8513380 49	5500 49
5000	49	9648121 48	4653357 49	8854012 49	5000 49
4827	49	9741999 48	4657970 49	8980829 49	4827 49

Integrated Cross Sections and Integrals for Average Energies

$\gamma = 15$ $\gamma'$	$\int_{\gamma_1}^{\gamma} \left[ \frac{\sigma_s(\gamma')}{\phi_0} \right] d\gamma'$	$\int_{\gamma_1}^{\gamma} \left[ \frac{\gamma' \sigma_s(\gamma')}{\phi_0} \right] d\gamma'$	$\int_0^{E=\gamma-1} [E' \sigma_c(E') / \phi_0] dE'$	$\gamma'$
1500 51	0000000 00	0000000 00	0000000 00	1500 51
1400 51	3328191 47	4825940 48	1663462 47	1400 51
1300 51	6656184 47	9318663 48	6656132 47	1300 51
1200 51	1000185 48	1350052 49	1502263 48	1200 51
1100 51	1338780 48	1739391 49	2687796 48	1100 51
1000 51	1684312 48	2102128 49	4243406 48	1000 51
9500 50	1860833 48	2274223 49	5170266 48	9500 50
9000 50	2040622 48	2440513 49	6204201 48	9000 50
8500 50	2224377 48	2601281 49	7352852 48	8500 50
8000 50	2412923 48	2756809 49	8625760 48	8000 50
7500 50	2607249 48	2907385 49	1003488 49	7500 50
7000 50	2808547 48	3053294 49	1159526 49	7000 50
6500 50	3018280 48	3194826 49	1332594 49	6500 50
6000 50	3238268 48	3332271 49	1525130 49	6000 50
5500 50	3470810 48	3465925 49	1740290 49	5500 50
5000 50	3718876 48	3596087 49	1982226 49	5000 50
4500 50	3986389 48	3723066 49	2256518 49	4500 50
4000 50	4278691 48	3847177 49	2570860 49	4000 50
3500 50	4603309 48	3968754 49	2936209 49	3500 50
3000 50	4971350 48	4088157 49	3368868 49	3000 50
2500 50	5400199 48	4205788 49	3894510 49	2500 50
2000 50	5919366 48	4322137 49	4556912 49	2000 50
1950 50	5978041 48	4333724 49	4633336 49	1950 50
1900 50	6038211 48	4345306 49	4712009 49	1900 50
1850 50	6099960 48	4356884 49	4793056 49	1850 50
1800 50	6163380 48	4368457 49	4876612 49	1800 50
1750 50	6228571 48	4380028 49	4962828 49	1750 50
1700 50	6295640 48	4391596 49	5051864 49	1700 50
1650 50	6364708 48	4403164 49	5143897 49	1650 50
1600 50	6435904 48	4414733 49	5239122 49	1600 50
1550 50	6509370 48	4426303 49	5337752 49	1550 50
1500 50	6585266 48	4437876 49	5440022 49	1500 50
1450 50	6663765 48	4449453 49	5546193 49	1450 50
1400 50	6745061 48	4461037 49	5656555 49	1400 50
1350 50	6829371 48	4472628 49	5771428 49	1350 50
1300 50	6916935 48	4484229 49	5891174 49	1300 50
1250 50	7008027 48	4495842 49	6016199 49	1250 50
1200 50	7102951 48	4507468 49	6146958 49	1200 50
1150 50	7202058 48	4519111 49	6283975 49	1150 50
1100 50	7305743 48	4530774 49	6427841 49	1100 50
1050 50	7414463 48	4542459 49	6579235 49	1050 50
1000 50	7528745 48	4554171 49	6738947 49	1000 50
9500 49	7649202 48	4565913 49	6907891 49	9500 49
9000 49	7776555 48	4577690 49	7087143 49	9000 49
8500 49	7911655 48	4589507 49	7277976 49	8500 49

Integrated Cross Sections and Integrals for Average Energies

$\gamma = 1.5$ $\gamma_i$	51	$\int_{\gamma_i}^{\gamma} \left[ \frac{\sigma_s(\gamma')}{\phi_0} \right] d\gamma'$	$\int_{\gamma_i}^{\gamma} \left[ \frac{\gamma' \sigma_s(\gamma')}{\phi_0} \right] d\gamma'$	$\int_0^{E-\gamma-\gamma_i} \left[ \frac{E' \sigma_s(E')}{\phi_0} \right] dE'$	$\gamma_i$
8000	49	8055523 48	4601373 49	7481912 49	8000 49
7500	49	8209390 48	4613293 49	7700792 49	7500 49
7000	49	8374765 48	4625277 49	7936870 49	7000 49
6500	49	8553524 48	4637338 49	8192948 49	6500 49
6000	49	8748034 48	4649487 49	8472563 49	6000 49
5500	49	8961345 48	4661744 49	8780273 49	5500 49
5000	49	9197475 48	4674131 49	9122082 49	5000 49
4838	49	9279361 48	4678158 49	9240883 49	4838 49

Integrated Cross Sections and Integrals for Average Energies

$\gamma$	$\gamma'$	$\int_{\gamma'}^{\gamma} \left[ \frac{\sigma_s(\gamma')}{\phi_0} \right] d\gamma'$	$\int_{\gamma'}^{\gamma} \left[ \frac{\gamma' \sigma_s(\gamma')}{\phi_0} \right] d\gamma'$	$\int_0^{E=\gamma-\gamma'} [E' \sigma_s(E') / \phi_0] dE'$	$\gamma'$
1600	51	00000000	00	00000000	00
1500	51	2925725	47	1462370	47
1400	51	5851302	47	5851249	47
1300	51	8790363	47	1320068	48
1200	51	1175983	48	2359717	48
1100	51	1478109	48	3719821	48
1000	51	1788169	48	5425947	48
9500	50	1947266	48	6420431	48
9000	50	2109797	48	7517673	48
8500	50	2276423	48	8725896	48
8000	50	2447924	48	1005525	49
7500	50	2625236	48	1151833	49
7000	50	2809486	48	1313084	49
6500	50	3002059	48	1491251	49
6000	50	3204673	48	1688846	49
5500	50	3419503	48	1909103	49
5000	50	3649356	48	2156264	49
4500	50	3897938	48	2436008	49
4000	50	4170294	48	2756137	49
3500	50	4473532	48	3127751	49
3000	50	4818133	48	3567317	49
2500	50	5220491	48	4100729	49
2000	50	5708414	48	4772062	49
1950	50	5763598	48	4849458	49
1900	50	5820194	48	4929118	49
1850	50	5878283	48	5011169	49
1800	50	5937950	48	5095747	49
1750	50	5999288	48	5183001	49
1700	50	6062400	48	5273094	49
1650	50	6127397	48	5366204	49
1600	50	6194402	48	5462524	49
1550	50	6263548	48	5562269	49
1500	50	6334986	48	5665676	49
1450	50	6408876	48	5773003	49
1400	50	6485403	48	5884541	49
1350	50	6564768	48	6000614	49
1300	50	6647198	48	6121581	49
1250	50	6732948	48	6247849	49
1200	50	6822305	48	6379876	49
1150	50	6915596	48	6518182	49
1100	50	7013192	48	6663357	49
1050	50	7115519	48	6816084	49
1000	50	7223073	48	6977147	49
9500	49	7336425	48	7147462	49
9000	49	7456249	48	7328100	49

Integrated Cross Sections and Integrals for Average Energies

$\gamma = 1.6$ $\gamma_i$	51	$\int_{\gamma_i}^{\gamma} \left[ \frac{\sigma_s(\gamma')}{\phi_0} \right] d\gamma'$	$\int_{\gamma_i}^{\gamma} \left[ \frac{\gamma' \sigma_s(\gamma')}{\phi_0} \right] d\gamma'$	$\int_0^{E=\gamma-\gamma_i} [E' \sigma_s(E') / \phi_0] dE'$	$\gamma_i$
8500	49	7583341 48	4613017 49	7520329 49	8500 49
8000	49	7718651 48	4624176 49	7725666 49	8000 49
7500	49	7863330 48	4635385 49	7945943 49	7500 49
7000	49	8018783 48	4646650 49	8183402 49	7000 49
6500	49	8186755 48	4657983 49	8440826 49	6500 49
6000	49	8369450 48	4669395 49	8721726 49	6000 49
5500	49	8569700 48	4680901 49	9030620 49	5500 49
5000	49	8791233 48	4692522 49	9373452 49	5000 49
4848	49	8863286 48	4696070 49	9485188 49	4848 49

Integrated Cross Sections and Integrals for Average Energies

$\gamma = 17$ $\gamma_1$	$\int_{\gamma_1}^{\gamma} \left[ \frac{\sigma_3(\gamma')}{\phi_0} \right] d\gamma'$	$\int_{\gamma_1}^{\gamma} \left[ \frac{\gamma' \sigma_3(\gamma')}{\phi_0} \right] d\gamma'$	$\int_0^{E=\gamma-\gamma_1} [E' \sigma_3(E') / \phi_0] dE'$	$\gamma_1$
1700 51	0000000 00	0000000 00	0000000 00	1700 51
1600 51	2592053 47	4276926 48	1295647 47	1600 51
1500 51	5183995 47	8294396 48	5183955 47	1500 51
1400 51	7786400 47	1206774 49	1169133 48	1400 51
1300 51	1041220 48	1561232 49	2088422 48	1300 51
1200 51	1307747 48	1894351 49	3288202 48	1200 51
1100 51	1580250 48	2207669 49	4787561 48	1100 51
1000 51	1861342 48	2502732 49	6615506 48	1000 51
9500 50	2006145 48	2643901 49	7665461 48	9500 50
9000 50	2154472 48	2781087 49	8815159 48	9000 50
8500 50	2306950 48	2914487 49	1007328 49	8500 50
8000 50	2464319 48	3044294 49	1145048 49	8000 50
7500 50	2627465 48	3170706 49	1295984 49	7500 50
7000 50	2797459 48	3293921 49	1461760 49	7000 50
6500 50	2975613 48	3414138 49	1644405 49	6500 50
6000 50	3163557 48	3531558 49	1846489 49	6000 50
5500 50	3363352 48	3646386 49	2071313 49	5500 50
5000 50	3577659 48	3758830 49	2323190 49	5000 50
4500 50	3809989 48	3869103 49	2607879 49	4500 50
4000 50	4065122 48	3977427 49	2933280 49	4000 50
3500 50	4349788 48	4084036 49	3310603 49	3500 50
3000 50	4673908 48	4189184 49	3756459 49	3000 50
2500 50	5052992 48	4293160 49	4296927 49	2500 50
2000 50	5513325 48	4396318 49	4976334 49	2000 50
1950 50	5565419 48	4406606 49	5054607 49	1950 50
1900 50	5618852 48	4416891 49	5135157 49	1900 50
1850 50	5673698 48	4427175 49	5218112 49	1850 50
1800 50	5730039 48	4437456 49	5303610 49	1800 50
1750 50	5787962 48	4447737 49	5391799 49	1750 50
1700 50	5847565 48	4458018 49	5482843 49	1700 50
1650 50	5908952 48	4468299 49	5576919 49	1650 50
1600 50	5972239 48	4478582 49	5674224 49	1600 50
1550 50	6037552 48	4488868 49	5774969 49	1550 50
1500 50	6105030 48	4499158 49	5879394 49	1500 50
1450 50	6174829 48	4509452 49	5987757 49	1450 50
1400 50	6247120 48	4519752 49	6100351 49	1400 50
1350 50	6322093 48	4530060 49	6217498 49	1350 50
1300 50	6399961 48	4540376 49	6339558 49	1300 50
1250 50	6480965 48	4550703 49	6466939 49	1250 50
1200 50	6565375 48	4561042 49	6600096 49	1200 50
1150 50	6653498 48	4571395 49	6739552 49	1150 50
1100 50	6745682 48	4581763 49	6885896 49	1100 50
1050 50	6842330 48	4592151 49	7039810 49	1050 50
1000 50	6943905 48	4602561 49	7202078 49	1000 50
9500 49	7050945 48	4612995 49	7373612 49	9500 49



Integrated Cross Sections and Integrals for Average Energies

$\gamma = 1.7$ $\gamma_i$	$51$	$\int_{\gamma_i}^{\gamma} \left[ \frac{\sigma_s(\gamma')}{\phi_0} \right] d\gamma'$	$\int_{\gamma_i}^{\gamma} \left[ \frac{\gamma' \sigma_s(\gamma')}{\phi_0} \right] d\gamma'$	$\int_0^{E-\gamma-\gamma_i} [E' \sigma_s(E') / \phi_0] dE'$	$\gamma_i$
9000	49	7164081 48	4623457 49	7555481 49	9000 49
8500	49	7284060 48	4633952 49	7748951 49	8500 49
8000	49	7411774 48	4644465 49	7955530 49	8000 49
7500	49	7548299 48	4655062 49	8177047 49	7500 49
7000	49	7694952 48	4665690 49	8415728 49	7000 49
6500	49	7853364 48	4676377 49	8674342 49	6500 49
6000	49	8025595 48	4687135 49	8956376 49	6000 49
5500	49	8214288 48	4697978 49	9266312 49	5500 49
5000	49	8422920 48	4708922 49	9610042 49	5000 49
4857	49	8486809 48	4712070 49	9715504 49	4857 49

Integrated Cross Sections and Integrals for Average Energies

$\gamma = 18$ $\gamma_i$	51	$\int_{\gamma_i}^{\gamma} \left[ \frac{\sigma_s(\gamma')}{\phi_0} \right] d\gamma'$	$\int_{\gamma_i}^{\gamma} \left[ \frac{\gamma' \sigma_s(\gamma')}{\phi_0} \right] d\gamma'$	$\int_0^{E=\gamma-\gamma_i} [E' \sigma_s(E') / \phi_0] dE'$	$\gamma_i$				
1800	51	0000000	00	0000000	00	1800	51		
1700	51	2312350	47	4046645	48	1155857	47	1700	51
1600	51	4624619	47	7861854	48	4624601	47	1600	51
1500	51	6945128	47	1145853	49	1042695	48	1500	51
1400	51	9283943	47	1484961	49	1861482	48	1400	51
1300	51	1165337	48	1804803	49	2928036	48	1300	51
1200	51	1406869	48	2106673	49	4256920	48	1200	51
1100	51	1654922	48	2391870	49	5869899	48	1100	51
1000	51	1911981	48	2661695	49	7798719	48	1000	51
9500	50	2044874	48	2791251	49	8895219	48	9500	50
9000	50	2181327	48	2917455	49	1008934	49	9000	50
8500	50	2321938	48	3040470	49	1139018	49	8500	50
8000	50	2467409	48	3160463	49	1280874	49	8000	50
7500	50	2618585	48	3277598	49	1435855	49	7500	50
7000	50	2776482	48	3392043	49	1605625	49	7000	50
6500	50	2942348	48	3503966	49	1792260	49	6500	50
6000	50	3117732	48	3613538	49	1998380	49	6000	50
5500	50	3304594	48	3720931	49	2227338	49	5500	50
5000	50	3505461	48	3826321	49	2483508	49	5000	50
4500	50	3723670	48	3929890	49	2772716	49	4500	50
4000	50	3963759	48	4031825	49	3102941	49	4000	50
3500	50	4232121	48	4132326	49	3485491	49	3500	50
3000	50	4538172	48	4231611	49	3937099	49	3000	50
2500	50	4896626	48	4329926	49	4484000	49	2500	50
2000	50	5332401	48	4427579	49	5170743	49	2000	50
1950	50	5381740	48	4437323	49	5249809	49	1950	50
1900	50	5432351	48	4447065	49	5331166	49	1900	50
1850	50	5484303	48	4456806	49	5414940	49	1850	50
1800	50	5537675	48	4466546	49	5501270	49	1800	50
1750	50	5592550	48	4476285	49	5590305	49	1750	50
1700	50	5649018	48	4486025	49	5682208	49	1700	50
1650	50	5707181	48	4495767	49	5777159	49	1650	50
1600	50	5767145	48	4505510	49	5875350	49	1600	50
1550	50	5829031	48	4515256	49	5976999	49	1550	50
1500	50	5892972	48	4525006	49	6082343	49	1500	50
1450	50	5959112	48	4534761	49	6191641	49	1450	50
1400	50	6027614	48	4544522	49	6305184	49	1400	50
1350	50	6098659	48	4554289	49	6423296	49	1350	50
1300	50	6172447	48	4564065	49	6546341	49	1300	50
1250	50	6249206	48	4573850	49	6674720	49	1250	50
1200	50	6329190	48	4583647	49	6808896	49	1200	50
1150	50	6412689	48	4593457	49	6949384	49	1150	50
1100	50	6500033	48	4603281	49	7096778	49	1100	50
1050	50	6591600	48	4613123	49	7251757	49	1050	50
1000	50	6687826	48	4622984	49	7415104	49	1000	50

Integrated Cross Sections and Integrals for Average Energies

$\gamma = 18$ $\gamma_i$	51	$\int_{\gamma_i}^{\gamma} \left[ \frac{\sigma_3(\gamma')}{\phi_0} \right] d\gamma'$	$\int_{\gamma_i}^{\gamma} \left[ \frac{\gamma' \sigma_3(\gamma')}{\phi_0} \right] d\gamma'$	$\int_0^{\gamma-\gamma_i} [E' \sigma_3(E') / \phi_0] dE'$	$\gamma_i$
9500	49	5789220 48	4632868 49	7587729 49	9500 49
9000	49	6896376 48	4642777 49	7770700 49	9000 49
8500	49	7009997 48	4652716 49	7965279 49	8500 49
8000	49	7130921 48	4662689 49	8172969 49	8000 49
7500	49	7260162 48	4672701 49	8395591 49	7500 49
7000	49	7398956 48	4682760 49	8635362 49	7000 49
6500	49	7548837 48	4692872 49	8895036 49	6500 49
6000	49	7711735 48	4703047 49	9178077 49	6000 49
5500	49	7890131 48	4713298 49	9488938 49	5500 49
5000	49	8087279 48	4723639 49	9833462 49	5000 49
4864	49	8144317 48	4726453 49	9933318 49	4864 49

Integrated Cross Sections and Integrals for Average Energies

$\gamma = 19$ $\gamma_i$	$\int_{\gamma_i}^{\gamma} \left[ \frac{\sigma_s(\gamma')}{\phi_0} \right] d\gamma'$	$\int_{\gamma_i}^{\gamma} \left[ \frac{\gamma' \sigma_s(\gamma')}{\phi_0} \right] d\gamma'$	$\int_0^{\gamma} [E' \sigma_s(E') / \phi_0] dE'$	$\gamma_i$
1900 51	00 000000 00	000 00000 00	00000 000 00	1900 51
1800 51	20 75582 47	383 9849 48	103 7576 47	1800 51
1700 51	41 51098 47	747 1977 48	415 1095 47	1700 51
1600 51	62 33197 47	109 0735 49	935 7190 47	1600 51
1500 51	83 29821 47	141 5696 49	166 9695 48	1500 51
1400 51	10 45056 48	172 3179 49	262 4279 48	1400 51
1300 51	12 60716 48	201 4285 49	381 0764 48	1300 51
1200 51	14 81420 48	229 0116 49	524 5824 48	1200 51
1100 51	17 09007 48	255 1775 49	695 3393 48	1100 51
1000 51	19 45849 48	280 0370 49	896 7437 48	1000 51
9500 50	20 68679 48	29 20115 49	101 0375 49	9500 50
9000 50	21 95071 48	30 37012 49	113 3623 49	9000 50
8500 50	23 25593 48	31 51201 49	126 7427 49	8500 50
8000 50	24 60917 48	32 62821 49	141 2921 49	8000 50
7500 50	26 01844 48	33 72014 49	157 1489 49	7500 50
7000 50	27 49345 48	34 78923 49	174 4833 49	7000 50
6500 50	29 04609 48	35 83691 49	193 5066 49	6500 50
6000 50	30 69112 48	36 86463 49	214 4849 49	6000 50
5500 50	32 44719 48	37 87386 49	237 7580 49	5500 50
5000 50	34 33839 48	38 86612 49	263 7683 49	5000 50
4500 50	36 39651 48	39 84295 49	293 1041 49	4500 50
4000 50	38 66474 48	40 80596 49	326 5704 49	4000 50
3500 50	41 20393 48	41 75687 49	365 3059 49	3500 50
3000 50	44 10368 48	42 69755 49	410 9945 49	3000 50
2500 50	47 50395 48	43 63015 49	466 2736 49	2500 50
2000 50	51 64160 48	44 55734 49	535 6170 49	2000 50
1950 50	52 11026 48	44 64990 49	543 5959 49	1950 50
1900 50	52 59102 48	44 74244 49	551 8050 49	1900 50
1850 50	53 08456 48	44 83497 49	560 2569 49	1850 50
1800 50	53 59161 48	44 92750 49	568 9655 49	1800 50
1750 50	54 11295 48	45 02004 49	577 9458 49	1750 50
1700 50	54 64947 48	45 11258 49	587 2142 49	1700 50
1650 50	55 20209 48	45 20513 49	596 7884 49	1650 50
1600 50	55 77186 48	45 29772 49	606 6883 49	1600 50
1550 50	56 35991 48	45 39033 49	616 9350 49	1550 50
1500 50	56 96749 48	45 48297 49	627 5525 49	1500 50
1450 50	57 59598 48	45 57567 49	638 5670 49	1450 50
1400 50	58 24692 48	45 66842 49	650 0074 49	1400 50
1350 50	58 92202 48	45 76123 49	661 9061 49	1350 50
1300 50	59 62319 48	45 85412 49	674 2994 49	1300 50
1250 50	60 35257 48	45 94711 49	687 2278 49	1250 50
1200 50	61 11258 48	46 04020 49	700 7371 49	1200 50
1150 50	61 90596 48	46 13340 49	714 8792 49	1150 50
1100 50	62 73583 48	46 22675 49	729 7133 49	1100 50
1050 50	63 60577 48	46 32025 49	745 3072 49	1050 50

Integrated Cross Sections and Integrals for Average Energies

$\gamma = 19$ $\gamma_i$	51	$\int_{\gamma_i}^{\gamma} \left[ \frac{\sigma_s(\gamma')}{\phi_0} \right] d\gamma'$	$\int_{\gamma_i}^{\gamma} \left[ \frac{\gamma' \sigma_s(\gamma')}{\phi_0} \right] d\gamma'$	$\int_0^{E-\gamma-\gamma_i} \left[ \frac{E' \sigma_s(E')}{\phi_0} \right] dE'$	$\gamma_i$
1000	50	6451992 48	4641393 49	7617392 49	1000 50
9500	49	6548306 48	4650782 49	7791000 49	9500 49
9000	49	6650082 48	4660193 49	7974963 49	9000 49
8500	49	6757985 48	4669632 49	8170539 49	8500 49
8000	49	6872805 48	4679102 49	8379228 49	8000 49
7500	49	6995499 48	4688607 49	8602841 49	7500 49
7000	49	7127234 48	4698154 49	8843591 49	7000 49
6500	49	7269454 48	4707749 49	9104214 49	6500 49
6000	49	7423978 48	4717401 49	9388157 49	6000 49
5500	49	7593140 48	4727121 49	9699844 49	5500 49
5000	49	7780000 48	4736923 49	1004507 50	5000 49
4871	49	7831232 48	4739452 49	1013989 50	4871 49

Integrated Cross Sections and Integrals for Average Energies

$\gamma = 20$ $\gamma'$	$\int_{\gamma_1}^{\gamma} \left[ \frac{\sigma_s(\gamma')}{\phi_0} \right] d\gamma'$	$\int_{\gamma_1}^{\gamma} \left[ \frac{\gamma' \sigma_s(\gamma')}{\phi_0} \right] d\gamma'$	$\int_0^{\gamma} [E' \sigma_s(E') / \phi_0] dE'$	$\gamma'$
2000 51	00 000000 00	00000000 00	00000000 00	2000 51
1800 51	3746727 47	7118782 48	3746718 47	1800 51
1600 51	7515721 47	1352529 49	1506151 48	1600 51
1400 51	1136335 48	1929484 49	3431863 48	1400 51
1200 51	1537229 48	2450288 49	6241697 48	1200 51
1000 51	1967093 48	2922513 49	1011673 49	1000 51
9500 50	2081320 48	3033870 49	1128769 49	9500 50
9000 50	2199084 48	3142786 49	1255381 49	9000 50
8500 50	2320928 48	3249382 49	1392474 49	8500 50
8000 50	2447494 48	3353777 49	1541210 49	8000 50
7500 50	2579547 48	3456094 49	1703001 49	7500 50
7000 50	2718016 48	3556455 49	1879577 49	7000 50
6500 50	2864033 48	3654983 49	2073084 49	6500 50
6000 50	3019010 48	3751802 49	2286218 49	6000 50
5500 50	3184728 48	3847041 49	2522415 49	5500 50
5000 50	3363484 48	3940828 49	2786141 49	5000 50
4500 50	3558313 48	4033297 49	3083329 49	4500 50
4000 50	3773337 48	4124588 49	3422087 49	4000 50
3500 50	4014362 48	4214849 49	3813875 49	3500 50
3000 50	4289932 48	4304242 49	4275622 49	3000 50
2500 50	4613391 48	4392956 49	4833825 49	2500 50
2000 50	5007306 48	4481227 49	5533387 49	2000 50
1950 50	5051938 48	4468217 49	5635660 49	1950 50
1900 50	5097725 48	4498855 49	5696596 49	1900 50
1850 50	5144731 48	4507668 49	5781796 49	1850 50
1800 50	5193026 48	4516481 49	5869572 49	1800 50
1750 50	5242685 48	4525295 49	5960076 49	1750 50
1700 50	5293790 48	4534110 49	6053471 49	1700 50
1650 50	5346431 48	4542927 49	6149936 49	1650 50
1600 50	5400707 48	4551746 49	6249668 49	1600 50
1550 50	5456725 48	4560568 49	6352882 49	1550 50
1500 50	5514604 48	4569394 49	6459815 49	1500 50
1450 50	5574477 48	4578224 49	6570730 49	1450 50
1400 50	5636488 48	4587060 49	6685916 49	1400 50
1350 50	5700800 48	4595901 49	6805699 49	1350 50
1300 50	5767595 48	4604751 49	6930440 49	1300 50
1250 50	5837076 48	4613608 49	7060544 49	1250 50
1200 50	5909473 48	4622476 49	7196471 49	1200 50
1150 50	5985046 48	4631354 49	7338738 49	1150 50
1100 50	6064091 48	4640245 49	7487938 49	1100 50
1050 50	6146949 48	4649151 49	7644747 49	1050 50
1000 50	6234010 48	4658073 49	7809947 49	1000 50
9500 49	6325730 48	4667013 49	7984446 49	9500 49
9000 49	6422641 48	4675975 49	8169306 49	9000 49
8500 49	6525373 48	4684962 49	8365784 49	8500 49

Integrated Cross Sections and Integrals for Average Energies

$\gamma = 20$ $\gamma_i$	51	$\int_{\gamma_i}^{\gamma} \left[ \frac{\sigma_3(\gamma')}{\phi_0} \right] d\gamma'$	$\int_{\gamma_i}^{\gamma} \left[ \frac{\gamma' \sigma_3(\gamma')}{\phi_0} \right] d\gamma'$	$\int_0^{E-\gamma-\gamma_i} [E' \sigma_3(E') / \phi_0] dE'$	$\gamma_i$
8000	49	6634676 48	4693976 49	8575375 49	8000 49
7500	49	6751454 48	4703023 49	8799885 49	7500 49
7000	49	6876811 48	4712108 49	9041516 49	7000 49
6500	49	7012115 48	4721237 49	9302994 49	6500 49
6000	49	7159083 48	4730417 49	9587749 49	6000 49
5500	49	7319918 48	4739658 49	9900179 49	5500 49
5000	49	7497510 48	4748974 49	1024604 50	5000 49
4878	49	7543780 48	4751259 49	1033630 50	4878 49

Integrated Cross Sections and Integrals for Average Energies

$\gamma = 22$ $\gamma_1$	51	$\int_{\gamma_1}^{\gamma} \left[ \frac{\sigma_2(\gamma')}{\phi_0} \right] d\gamma'$	$\int_{\gamma_1}^{\gamma} \left[ \frac{\gamma' \sigma_3(\gamma')}{\phi_0} \right] d\gamma'$	$\int_0^{\gamma-\gamma_1} [E' \sigma_4(E') / \phi_0] dE'$	$\gamma$
2200	51	00 00000 00	000 0000 00	000 0000 00	2200 51
2000	51	30 96946 47	649 6204 48	317 0790 47	2000 51
1800	51	62 08834 47	124 1565 49	124 3780 48	1800 51
1600	51	93 72551 47	177 9273 49	282 6881 48	1600 51
1400	51	12 63985 48	226 9142 49	511 6259 48	1400 51
1200	51	16 08666 48	271 6846 49	822 2188 48	1200 51
1000	51	19 83082 48	312 8078 49	123 4704 49	1000 51
9500	50	20 83383 48	322 5857 49	135 7566 49	9500 50
9000	50	21 87127 48	332 1805 49	148 9874 49	9000 50
8500	50	22 94813 48	341 6012 49	163 2575 49	8500 50
8000	50	24 07027 48	350 8569 49	178 6891 49	8000 50
7500	50	25 24475 48	359 9568 49	195 4278 49	7500 50
7000	50	26 48006 48	368 9100 49	213 6513 49	7000 50
6500	50	27 78660 48	377 7260 49	233 5793 49	6500 50
6000	50	29 17730 48	386 4140 49	255 4866 49	6000 50
5500	50	30 66850 48	39 49838 49	279 7231 49	5500 50
5000	50	32 28125 48	40 34452 49	306 7423 49	5000 50
4500	50	34 04336 48	41 18083 49	337 1457 49	4500 50
4000	50	35 99259 48	42 00838 49	371 7533 49	4000 50
3500	50	38 18210 48	42 82830 49	411 7231 49	3500 50
3000	50	40 69008 48	43 64186 49	458 7632 49	3000 50
2500	50	43 63856 48	44 45052 49	515 5433 49	2500 50
2000	50	47 23377 48	45 25613 49	586 5816 49	2000 50
1950	50	47 64132 48	45 33662 49	594 7429 49	1950 50
1900	50	48 05945 48	45 41711 49	603 1369 49	1900 50
1850	50	48 48874 48	45 49759 49	611 7765 49	1850 50
1800	50	48 92984 48	45 57809 49	620 6756 49	1800 50
1750	50	49 38341 48	45 65859 49	629 8492 49	1750 50
1700	50	49 85021 48	45 73911 49	639 3137 49	1700 50
1650	50	50 33107 48	45 81965 49	649 0871 49	1650 50
1600	50	50 82687 48	45 90021 49	659 1892 49	1600 50
1550	50	51 33861 48	45 98080 49	669 6415 49	1550 50
1500	50	51 86736 48	46 06143 49	680 4676 49	1500 50
1450	50	52 41431 48	46 14209 49	691 6940 49	1450 50
1400	50	52 98081 48	46 22281 49	703 3497 49	1400 50
1350	50	53 56831 48	46 30358 49	715 4670 49	1350 50
1300	50	54 17848 48	46 16526 49	730 2741 49	1300 50
1250	50	54 81316 48	46 46533 49	741 2363 49	1250 50
1200	50	55 47445 48	46 54633 49	754 9746 49	1200 50
1150	50	56 16469 48	46 62742 49	769 3491 49	1150 50
1100	50	56 88659 48	46 70862 49	784 4188 49	1100 50
1050	50	57 64321 48	46 78994 49	800 2513 49	1050 50
1000	50	58 43812 48	46 87140 49	816 9247 49	1000 50
9500	49	59 27544 48	46 95302 49	834 5295 49	9500 49
9000	49	60 15999 48	47 03482 49	853 1716 49	9000 49



Integrated Cross Sections and Integrals for Average Energies

$\gamma = 22$ $\gamma_i$	51	$\int_{\gamma_i}^{\gamma} \left[ \frac{\sigma_2(\gamma')}{\phi_0} \right] d\gamma'$	$\int_{\gamma_i}^{\gamma} \left[ \frac{\gamma' \sigma_2(\gamma')}{\phi_0} \right] d\gamma'$	$\int_0^{E-\gamma-\gamma_i} \left[ \frac{E' \sigma_0(E')}{\phi_0} \right] dE'$	$\gamma_i$
8500	49	6109747 48	4711683 49	8729761 49	8500 49
8000	49	6209465 48	4719907 49	8940918 49	8000 49
7500	49	6315972 48	4728158 49	9166981 49	7500 49
7000	49	6430263 48	4736441 49	9410139 49	7000 49
6500	49	6553571 48	4744760 49	9673097 49	6500 49
6000	49	6687444 48	4725215 49	9987162 49	6000 49
5500	49	6833864 48	4732955 49	1030154 50	5500 49
5000	49	6995424 48	4740691 49	1064924 50	5000 49
4888	49	7033710 48	4771904 49	1070225 50	4888 49

Integrated Cross Sections and Integrals for Average Energies

$\gamma = 24$ $\gamma'$	$\int_{\gamma_1}^{\gamma_2} \left[ \frac{\sigma_s(\gamma')}{\phi_0} \right] d\gamma'$	$\int_{\gamma_1}^{\gamma_2} \left[ \frac{\gamma' \sigma_s(\gamma')}{\phi_0} \right] d\gamma'$	$\int_0^{\gamma_2} [E' \sigma_s(E') / \phi_0] dE'$	$\gamma'$
2400 51	0000000 00	0000000 00	0000000 00	2400 51
2200 51	2602599 47	5985977 48	2602611 47	2200 51
2000 51	5215598 47	1147291 49	1044522 48	2000 51
1800 51	7864151 47	1650432 49	2369641 48	1800 51
1600 51	1058235 48	2112376 49	4273894 48	1600 51
1400 51	1341805 48	2537485 49	6828479 48	1400 51
1200 51	1644139 48	2930131 49	1015802 49	1200 51
1000 51	1976128 48	3294703 49	1448004 49	1000 51
9500 50	2065653 48	3381976 49	1575590 49	9500 50
9000 50	2158495 48	3467841 49	1712547 49	9000 50
8500 50	2255115 48	3552367 49	1859910 49	8500 50
8000 50	2356056 48	3635624 49	2018911 49	8000 50
7500 50	2461967 48	3717683 49	2191039 49	7500 50
7000 50	2573634 48	3798615 49	2378106 49	7000 50
6500 50	2692016 48	3878493 49	2582345 49	6500 50
6000 50	2818307 48	3957389 49	2806548 49	6000 50
5500 50	2954015 48	4035378 49	3054258 49	5500 50
5000 50	3101084 48	4112537 49	3330064 49	5000 50
4500 50	3262078 48	4188945 49	3640041 49	4500 50
4000 50	3440480 48	4264685 49	3992468 49	4000 50
3500 50	3641192 48	4339846 49	4399016 49	3500 50
3000 50	3871422 48	4414528 49	4876885 49	3000 50
2500 50	4142410 48	4488849 49	5452936 49	2500 50
2000 50	4473138 48	4562957 49	6172573 49	2000 50
1950 50	4510642 48	4570364 49	6255178 49	1950 50
1900 50	4548980 48	4577770 49	6339781 49	1900 50
1850 50	4588632 48	4585179 49	6427538 49	1850 50
1800 50	4629228 48	4592587 49	6517562 49	1800 50
1750 50	4670975 48	4599997 49	6610345 49	1750 50
1700 50	4713942 48	4607408 49	6706054 49	1700 50
1650 50	4758203 48	4614821 49	6804866 49	1650 50
1600 50	4803840 48	4622236 49	6906980 49	1600 50
1550 50	4850944 48	4629655 49	7012612 49	1550 50
1500 50	4899615 48	4637076 49	7121999 49	1500 50
1450 50	4949961 48	4644502 49	7235407 49	1450 50
1400 50	5002106 48	4651931 49	7353123 49	1400 50
1350 50	5056183 48	4659366 49	7475474 49	1350 50
1300 50	5112345 48	4666807 49	7602823 49	1300 50
1250 50	5170761 48	4674254 49	7735573 49	1250 50
1200 50	5231622 48	4681708 49	7874184 49	1200 50
1150 50	5295144 48	4689171 49	8019175 49	1150 50
1100 50	5361573 48	4696643 49	8171134 49	1100 50
1050 50	5431192 48	4704126 49	8330736 49	1050 50
1000 50	5504325 48	4711620 49	8498761 49	1000 50
9500 49	5581350 48	4719128 49	8676111 49	9500 49

Integrated Cross Sections and Integrals for Average Energies

$\gamma = 24$ $\gamma_i$ 51	$\int_{\gamma_i}^{\gamma} \left[ \frac{\sigma_s(\gamma')}{\phi_0} \right] d\gamma'$	$\int_{\gamma_i}^{\gamma} \left[ \frac{\gamma' \sigma_s(\gamma')}{\phi_0} \right] d\gamma'$	$\int_0^{\gamma-\gamma_i} \left[ \frac{E' \sigma_s(E')}{\phi_0} \right] dE'$	$\gamma_i$
9000 49	5662706 48	4726652 49	8863844 49	9000 49
8500 49	5748914 48	4734193 49	9063203 49	8500 49
8000 49	5840593 48	4741754 49	9275670 49	8000 49
7500 49	5938489 48	4749338 49	9503035 49	7500 49
7000 49	6043508 48	4756949 49	9747471 49	7000 49
6500 49	6156773 48	4764591 49	1001166 50	6500 49
6000 49	6279691 48	4772269 49	1029899 50	6000 49
5500 49	6414064 48	4779990 49	1061376 50	5500 49
5000 49	6562244 48	4787763 49	1096162 50	5000 49
4897 49	6594448 48	4789357 49	1103731 50	4897 49

Integrated Cross Sections and Integrals for Average Energies

$\gamma = 2.6$ $\gamma_i$	$\int_{\gamma_i}^{\gamma} \left[ \frac{\sigma_s(\gamma')}{\phi_0} \right] d\gamma'$	$\int_{\gamma_i}^{\gamma} \left[ \frac{\gamma' \sigma_s(\gamma')}{\phi_0} \right] d\gamma'$	$\int_0^{E-\gamma-\gamma_i} [E' \sigma_s(E') / \phi_0] dE'$	$\gamma_i$
2600 51	00 000000 00	00000000 00	00000000 00	2600 51
2400 51	22177999 47	55444999 48	22177999 47	2400 51
2200 51	44430661 47	10666234 49	8896190 47	2200 51
2000 51	66935330 47	15387773 49	2015446 48	2000 51
1800 51	8992594 47	1975491 49	3625834 48	1800 51
1600 51	1137194 48	2379814 49	5768910 48	1600 51
1400 51	1387604 48	2755175 49	8525965 48	1400 51
1200 51	1657009 48	3105015 49	1203209 49	1200 51
1000 51	1955529 48	3432788 49	1651586 49	1000 51
9500 50	2036467 48	3511691 49	1783124 49	9500 50
9000 50	2120587 48	3589487 49	1924039 49	9000 50
8500 50	2208313 48	3666232 49	2075382 49	8500 50
8000 50	2300151 48	3741980 49	2238413 49	8000 50
7500 50	2396704 48	3816788 49	2414644 49	7500 50
7000 50	2498701 48	3890711 49	2605913 49	7000 50
6500 50	2607035 48	3963808 49	2814483 49	6500 50
6000 50	2722812 48	4036135 49	3043177 49	6000 50
5500 50	2847434 48	4107752 49	3295576 49	5500 50
5000 50	2982703 48	4178720 49	3576309 49	5000 50
4500 50	3131001 48	4249101 49	3891502 49	4500 50
4000 50	3295560 48	4318962 49	4249493 49	4000 50
3500 50	3480925 48	4388376 49	4662029 49	3500 50
3000 50	3693780 48	4457421 49	5146408 49	3000 50
2500 50	3944545 48	4526194 49	5729622 49	2500 50
2000 50	4250799 48	4594819 49	6457260 49	2000 50
1950 50	4285538 48	4601679 49	6540720 49	1950 50
1900 50	4321181 48	4608540 49	6626532 49	1900 50
1850 50	4357779 48	4615402 49	6714825 49	1850 50
1800 50	4395385 48	4622264 49	6805738 49	1800 50
1750 50	4434058 48	4629128 49	6899423 49	1750 50
1700 50	4473861 48	4635994 49	6996045 49	1700 50
1650 50	4514864 48	4642861 49	7095784 49	1650 50
1600 50	4557142 48	4649731 49	7198839 49	1600 50
1550 50	4600779 48	4656603 49	7305423 49	1550 50
1500 50	4645867 48	4663479 49	7415778 49	1500 50
1450 50	4692508 48	4670357 49	7530164 49	1450 50
1400 50	4740813 48	4677240 49	7648875 49	1400 50
1350 50	4790908 48	4684128 49	7772235 49	1350 50
1300 50	4842933 48	4691020 49	7900606 49	1300 50
1250 50	4897042 48	4697918 49	8034394 49	1250 50
1200 50	4953414 48	4704823 49	8174055 49	1200 50
1150 50	5012248 48	4711734 49	8320110 49	1150 50
1100 50	1150382 49	4745533 49	2516442 50	1100 50
1050 50	5138239 48	4725584 49	8633840 49	1050 50
1000 50	5205957 48	4732523 49	8802965 49	1000 50

Integrated Cross Sections and Integrals for Average Energies

$\gamma = 26 \quad 51$ $\gamma_i$	$\int_{\gamma_i}^{\gamma} \left[ \frac{\sigma_2(\gamma')}{\phi_0} \right] d\gamma'$	$\int_{\gamma_i}^{\gamma} \left[ \frac{\gamma' \sigma_2(\gamma')}{\phi_0} \right] d\gamma'$	$\int_0^{E-\gamma-\gamma_i} [E' \sigma_2(E') / \phi_0] dE'$	$\gamma_i$
9500 49	5277269 48	4739475 49	8981426 49	9500 49
9000 49	5352582 48	4746439 49	9170273 49	9000 49
8500 49	5432373 48	4753419 49	9370750 49	8500 49
8000 49	5517212 48	4760416 49	9584335 49	8000 49
7500 49	5607783 48	4767433 49	9812805 49	7500 49
7000 49	5704922 48	4774472 49	1005832 50	7000 49
6500 49	5809655 48	4781538 49	1032356 50	6500 49
6000 49	5923275 48	4788636 49	1061188 50	6000 49
5500 49	6047431 48	4795770 49	1092755 50	5500 49
5000 49	6184276 48	4802948 49	1127617 50	5000 49
4905 49	6211740 48	4804309 49	1134621 50	4905 49

Integrated Cross Sections and Integrals for Average Energies

$\gamma = 2.8, \gamma'$	$51$	$\int_{\gamma_1}^{\gamma} \left[ \frac{\sigma_s(\gamma')}{\phi_0} \right] d\gamma'$	$\int_{\gamma_1}^{\gamma} \left[ \frac{\gamma' \sigma_s(\gamma')}{\phi_0} \right] d\gamma'$	$\int_0^{E-\gamma-\gamma'} [E' \sigma_s(E') / \phi_0] dE'$	$\gamma'$				
2800	51	0000000	00	0000000	00	2800	51		
2600	51	1912424	47	5163543	48	1912438	47	2600	51
2400	51	3830339	47	9958142	48	7668060	47	2400	51
2200	51	5766627	47	1441117	49	1735383	48	2200	51
2000	51	7737869	47	1855003	49	3115997	48	2000	51
1800	51	9765909	47	2240214	49	4942401	48	1800	51
1600	51	1188034	48	2599495	49	7270019	48	1600	51
1400	51	1412271	48	2935593	49	1018766	49	1400	51
1200	51	1655389	48	3251267	49	1383823	49	1200	51
1000	51	1926840	48	3549285	49	1845867	49	1000	51
9500	50	2000772	48	3621357	49	1980805	49	9500	50
9000	50	2077746	48	3692545	49	2125144	49	9000	50
8500	50	2158159	48	3762891	49	2279955	49	8500	50
8000	50	2242483	48	3832441	49	2446513	49	8000	50
7500	50	2331281	48	3901239	49	2626349	49	7500	50
7000	50	2425234	48	3969332	49	2821323	49	7000	50
6500	50	2525173	48	4036764	49	3033720	49	6500	50
6000	50	2632133	48	4103582	49	3266390	49	6000	50
5500	50	2747419	48	4169834	49	3522940	49	5500	50
5000	50	2872716	48	4235568	49	3808037	49	5000	50
4500	50	3010244	48	4300838	49	4127845	49	4500	50
4000	50	3163017	48	4365695	49	4490752	49	4000	50
3500	50	3335273	48	4430199	49	4908566	49	3500	50
3000	50	3533244	48	4494416	49	5398667	49	3000	50
2500	50	3766637	48	4558424	49	5988160	49	2500	50
2000	50	4051824	48	4622327	49	6722781	49	2000	50
1950	50	4084179	48	4628717	49	6806986	49	1950	50
1900	50	4117378	48	4635107	49	6893553	49	1900	50
1850	50	4151467	48	4641498	49	6982610	49	1850	50
1800	50	4186495	48	4647891	49	7074296	49	1800	50
1750	50	4222517	48	4654284	49	7168765	49	1750	50
1700	50	4259593	48	4660679	49	7266183	49	1700	50
1650	50	4297786	48	4667076	49	7366727	49	1650	50
1600	50	4337168	48	4673475	49	7470597	49	1600	50
1550	50	4377816	48	4679877	49	7578009	49	1550	50
1500	50	4419815	48	4686281	49	7689202	49	1500	50
1450	50	4463259	48	4692689	49	7804438	49	1450	50
1400	50	4508253	48	4699099	49	7924011	49	1400	50
1350	50	4554913	48	4705514	49	8048245	49	1350	50
1300	50	4603369	48	4711934	49	8177500	49	1300	50
1250	50	4653765	48	4718358	49	8312185	49	1250	50
1200	50	4706266	48	4724789	49	8452756	49	1200	50
1150	50	4761056	48	4731226	49	8599731	49	1150	50
1100	50	4818346	48	4737670	49	8753699	49	1100	50
1050	50	4878376	48	4744122	49	8915332	49	1050	50

Integrated Cross Sections and Integrals for Average Energies

$\gamma = 28$ $\gamma_i$	51	$\int_{\gamma_i}^{\gamma} \left[ \frac{\sigma_s(\gamma')}{\phi_0} \right] d\gamma'$	$\int_{\gamma_i}^{\gamma} \left[ \frac{\gamma' \sigma_s(\gamma')}{\phi_0} \right] d\gamma'$	$\int_0^{\gamma - \gamma_i} [E' \sigma_s(E') / \phi_0] dE'$	$\gamma_i$
1000	50	4941425 48	4750583 49	9085409 49	1000 50
9500	49	5007814 48	4757055 49	9264826 49	9500 49
9000	49	5077919 48	4763538 49	9454637 49	9000 49
8500	49	5152182 48	4770034 49	9656077 49	8500 49
8000	49	5231130 48	4776545 49	9870622 49	8000 49
7500	49	5315397 48	4783074 49	1010004 50	7500 49
7000	49	5405754 48	4789622 49	1034649 50	7000 49
6500	49	5503151 48	4796192 49	1061263 50	6500 49
6000	49	5608780 48	4802791 49	1090179 50	6000 49
5500	49	5724162 48	4809421 49	1121823 50	5500 49
5000	49	5851282 48	4816089 49	1156750 50	5000 49
4912	49	5874979 48	4817264 49	1163267 50	4912 49

Integrated Cross Sections and Integrals for Average Energies

$\gamma = 30$ $\gamma_i$	$\gamma_i$	$\int_{\gamma_i}^{\gamma} \left[ \frac{\sigma_s(\gamma')}{\phi_0} \right] d\gamma'$	$\int_{\gamma_i}^{\gamma} \left[ \frac{\gamma' \sigma_s(\gamma')}{\phi_0} \right] d\gamma'$	$\int_0^{E=\gamma-\gamma_i} [E' \sigma_s(E') / \phi_0] dE'$	$\gamma_i$
3000	51	0000000 00	0000000 00	0000000 00	3000 51
2800	51	1666029 47	4831486 48	1666022 47	2800 51
2600	51	3336190 47	9340776 48	6677940 47	2600 51
2400	51	5020059 47	1355013 49	1510048 48	2400 51
2200	51	6729724 47	1748181 49	2707358 48	2200 51
2000	51	8480737 47	2115809 49	4284118 48	2000 51
1800	51	1029359 48	2460128 49	6279489 48	1800 51
1600	51	1219605 46	2783369 49	8754461 48	1600 51
1400	51	1422707 48	3087768 49	1180354 49	1400 51
1200	51	1644377 48	3375567 49	1557563 49	1200 51
1000	51	1893477 48	3649022 49	2031410 49	1000 51
9500	50	1961579 48	3715409 49	2169328 49	9500 50
9000	50	2032586 48	3781079 49	2316681 49	9000 50
8500	50	2106873 48	3846065 49	2474555 49	8500 50
8000	50	2184881 48	3910405 49	2644239 49	8000 50
7500	50	2267138 48	3974135 49	2827279 49	7500 50
7000	50	2354282 48	4037292 49	3025553 49	7000 50
6500	50	2447092 48	4099914 49	3241363 49	6500 50
6000	50	2546540 48	4162039 49	3477581 49	6000 50
5500	50	2653848 48	4223705 49	3737838 49	5500 50
5000	50	2770594 48	4284954 49	4026828 49	5000 50
4500	50	2898858 48	4345826 49	4350749 49	4500 50
4000	50	3041465 48	4406367 49	4718029 49	4000 50
3500	50	3202385 48	4466625 49	5140531 49	3500 50
3000	50	3387453 48	4526656 49	5635702 49	3000 50
2500	50	3605754 48	4586525 49	6230738 49	2500 50
2000	50	3872610 48	4646320 49	6971510 49	2000 50
1950	50	3902889 48	4652300 49	7056370 49	1950 50
1900	50	3933959 48	4658281 49	7143598 49	1900 50
1850	50	3965862 48	4664262 49	7233326 49	1850 50
1800	50	3998645 48	4670244 49	7325692 49	1800 50
1750	50	4032359 48	4676229 49	7420848 49	1750 50
1700	50	4067058 48	4682214 49	7518962 49	1700 50
1650	50	4102804 48	4688200 49	7620213 49	1650 50
1600	50	4139662 48	4694189 49	7724798 49	1600 50
1550	50	4177704 48	4700180 49	7832934 49	1550 50
1500	50	4217012 48	4706174 49	7944861 49	1500 50
1450	50	4257671 48	4712171 49	8060843 49	1450 50
1400	50	4299779 48	4718171 49	8181168 49	1400 50
1350	50	4343447 48	4724174 49	8306166 49	1350 50
1300	50	4388792 48	4730182 49	8436195 49	1300 50
1250	50	4435953 48	4736194 49	8571666 49	1250 50
1200	50	4485080 48	4742212 49	8713029 49	1200 50
1150	50	4536347 48	4748234 49	8860808 49	1150 50
1100	50	4589950 48	4754264 49	9015587 49	1100 50



Integrated Cross Sections and Integrals for Average Energies

$\gamma = 30$ $\gamma_i$	51	$\int_{\gamma_i}^{\gamma} \left[ \frac{\sigma_s(\gamma')}{\phi_0} \right] d\gamma'$	$\int_{\gamma_i}^{\gamma} \left[ \frac{\gamma' \sigma_s(\gamma')}{\phi_0} \right] d\gamma'$	$\int_0^{E-\gamma-\gamma_i} [E' \sigma_s(E') / \phi_0] dE'$	$\gamma_i$
1050	50	4646114 48	4760300 49	9178044 49	1050 50
1000	50	4705097 48	4766345 49	9348946 49	1000 50
9500	49	4767198 48	4772398 49	9529197 49	9500 49
9000	49	4832769 48	4778462 49	9719844 49	9000 49
8500	49	4902220 48	4784537 49	9922123 49	8500 49
8000	49	4976042 48	4790625 49	1013750 50	8000 49
7500	49	5054826 48	4796729 49	1036775 50	7500 49
7000	49	5139285 48	4802850 49	1061500 50	7000 49
6500	49	5230305 48	4808991 49	1088192 50	6500 49
6000	49	5328993 48	4815155 49	1117182 50	6000 49
5500	49	5436759 48	4821348 49	1148892 50	5500 49
5000	49	5555442 48	4827573 49	1183875 50	5000 49
4918	49	5576099 48	4828598 49	1189969 50	4918 49

Integrated Cross Sections and Integrals for Average Energies

$\gamma = 32$ $\gamma_i$	$\gamma_j$	$\int_{\gamma_i}^{\gamma_j} \left[ \frac{\sigma_3(\gamma')}{\phi_0} \right] d\gamma'$	$\int_{\gamma_i}^{\gamma_j} \left[ \frac{\gamma' \sigma_3(\gamma')}{\phi_0} \right] d\gamma'$	$\int_0^{\gamma_j - \gamma_i} [E' \sigma_3(E') / \phi_0] dE'$	$\gamma_i$
3200	51	0000000 00	0000000 00	0000000 00	3200 51
3000	51	1464352 47	4539490 48	1464386 47	3000 51
2800	51	2931872 47	8795190 48	5868000 47	2800 51
2600	51	4409829 47	1278543 49	1326021 48	2600 51
2400	51	5907242 47	1652855 49	2374620 48	2400 51
2200	51	7435494 47	2004290 49	3750676 48	2200 51
2000	51	9009229 47	2334685 49	5482683 48	2000 51
1800	51	1064774 48	2645875 49	7614027 48	1800 51
1600	51	1237718 48	2939702 49	1020997 49	1600 51
1400	51	1423423 48	3218009 49	1336945 49	1400 51
1200	51	1627265 48	3482643 49	1724605 49	1200 51
1000	51	1857588 48	3735465 49	2208819 49	1000 51
9500	50	1920758 48	3797043 49	2349382 49	9500 50
9000	50	1986703 48	3858031 49	2499420 49	9000 50
8500	50	2055777 48	3918457 49	2660030 49	8500 50
8000	50	2128395 48	3978351 49	2832513 49	8000 50
7500	50	2205053 48	4037743 49	3018428 49	7500 50
7000	50	2286353 48	4096664 49	3219665 49	7000 50
6500	50	2373027 48	4155146 49	3438543 49	6500 50
6000	50	2465990 48	4213219 49	3677949 49	6000 50
5500	50	2566392 48	4270916 49	3941538 49	5500 50
5000	50	2675717 48	4328270 49	4234023 49	5000 50
4500	50	2795922 48	4385318 49	4561633 49	4500 50
4000	50	2929664 48	4442095 49	4932831 49	4000 50
3500	50	3080676 48	4498644 49	5359522 49	3500 50
3000	50	3254445 48	4555008 49	5859215 49	3000 50
2500	50	3459509 48	4611246 49	6459183 49	2500 50
2000	50	3710263 48	4667433 49	7205408 49	2000 50
1950	50	3738719 48	4673053 49	7290848 49	1950 50
1900	50	3767917 48	4678674 49	7378661 49	1900 50
1850	50	3797899 48	4684295 49	7468984 49	1850 50
1800	50	3828709 48	4689917 49	7561951 49	1800 50
1750	50	3860393 48	4695541 49	7657717 49	1750 50
1700	50	3893003 48	4701166 49	7756446 49	1700 50
1650	50	3926597 48	4706792 49	7858319 49	1650 50
1600	50	3961237 48	4712421 49	7963538 49	1600 50
1550	50	3996988 48	4718051 49	8072313 49	1550 50
1500	50	4033928 48	4723684 49	8184887 49	1500 50
1450	50	4072139 48	4729319 49	8301526 49	1450 50
1400	50	4111711 48	4734958 49	8422518 49	1400 50
1350	50	4152746 48	4740600 49	8548188 49	1350 50
1300	50	4195357 48	4746245 49	8678899 49	1300 50
1250	50	4239673 48	4751894 49	8815060 49	1250 50
1200	50	4285835 48	4757548 49	8957125 49	1200 50
1150	50	4334005 48	4763208 49	9105611 49	1150 50

Integrated Cross Sections and Integrals for Average Energies

$\gamma = 32$ $\gamma_i$	51	$\int_{\gamma_i}^{\gamma} \left[ \frac{\sigma_3(\gamma')}{\phi_0} \right] d\gamma'$	$\int_{\gamma_i}^{\gamma} \left[ \frac{\gamma' \sigma_3(\gamma')}{\phi_0} \right] d\gamma'$	$\int_0^{\gamma-\gamma_i} [E' \sigma_3(E') / \phi_0] dE'$	$\gamma_i$
1100	50	4384368 48	4768872 49	9261105 49	1100 50
1050	50	4437133 48	4774543 49	9424282 49	1050 50
1000	50	4492542 48	4780222 49	9595915 49	1000 50
9500	49	4550877 48	4785909 49	9776899 49	9500 49
9000	49	4612464 48	4791604 49	9968281 49	9000 49
8500	49	4677689 48	4797309 49	1017129 50	8500 49
8000	49	4747011 48	4803027 49	1038740 50	8000 49
7500	49	4820979 48	4808757 49	1061837 50	7500 49
7000	49	4900265 48	4814503 49	1086634 50	7000 49
6500	49	4985692 48	4820266 49	1113394 50	6500 49
6000	49	5078293 48	4826051 49	1142448 50	6000 49
5500	49	5179385 48	4831860 49	1174217 50	5500 49
5000	49	5290682 48	4837698 49	1209248 50	5000 49
4923	49	5308847 48	4838599 49	1214971 50	4923 49

Integrated Cross Sections and Integrals for Average Energies

$\gamma = 3.4$ $\gamma_i$	$5.1$	$\int_{\gamma_i}^{\gamma} \left[ \frac{\sigma_s(\gamma')}{\phi_0} \right] d\gamma'$	$\int_{\gamma_i}^{\gamma} \left[ \frac{\gamma' \sigma_s(\gamma')}{\phi_0} \right] d\gamma'$	$\int_0^{\gamma} [E' \sigma_t(E') / \phi_0] dE'$	$\gamma_i$
3400	51	0000000 00	0000000 00	0000000 00	3400 51
3200	51	1297192 47	4280736 48	1297195 47	3200 51
3000	51	2596855 47	8309603 48	5197059 47	3000 51
2800	51	3904604 47	1210189 49	1173764 48	2800 51
2600	51	5227308 47	1567287 49	2099973 48	2600 51
2400	51	6573490 47	1903785 49	3312008 48	2400 51
2200	51	7953902 47	2221213 49	4831138 48	2200 51
2000	51	9382385 47	2521100 49	6689101 48	2000 51
1800	51	1087716 48	2804980 49	8932566 48	1800 51
1600	51	1246295 48	3074387 49	1163016 49	1600 51
1400	51	1417439 48	3330858 49	1488436 49	1400 51
1200	51	1606229 48	3575936 49	1885242 49	1200 51
1000	51	1820545 48	3811171 49	2378683 49	1000 51
9500	50	1879483 48	3868625 49	2521618 49	9500 50
9000	50	1941076 48	3925586 49	2674072 49	9000 50
8500	50	2005655 48	3982080 49	2837147 49	8500 50
8000	50	2073614 48	4038131 49	3012156 49	8000 50
7500	50	2145421 48	4093765 49	3200668 49	7500 50
7000	50	2221644 48	4149006 49	3404584 49	7000 50
6500	50	2302976 48	4203883 49	3626237 49	6500 50
6000	50	2390278 48	4258419 49	3868528 49	6000 50
5500	50	2484638 48	4312644 49	4135126 49	5500 50
5000	50	2587457 48	4366585 49	4430768 49	5000 50
4500	50	2700581 48	4420272 49	4761705 49	4500 50
4000	50	2826519 48	4473736 49	5136431 49	4000 50
3500	50	2968794 48	4527012 49	5566889 49	3500 50
3000	50	3132581 48	4580139 49	6070638 49	3000 50
2500	50	3325937 48	4633166 49	6675021 49	2500 50
2000	50	3562434 48	4686158 49	7426118 49	2000 50
1950	50	3589274 48	4691458 49	7512074 49	1950 50
1900	50	3616815 48	4696760 49	7600410 49	1900 50
1850	50	3645095 48	4702062 49	7691262 49	1850 50
1800	50	3674155 48	4707365 49	7784763 49	1800 50
1750	50	3704041 48	4712669 49	7881071 49	1750 50
1700	50	3734801 48	4717975 49	7980349 49	1700 50
1650	50	3766488 48	4723283 49	8082778 49	1650 50
1600	50	3799161 48	4728591 49	8188557 49	1600 50
1550	50	3832884 48	4733902 49	8297903 49	1550 50
1500	50	3867726 48	4739215 49	8411055 49	1500 50
1450	50	3903766 48	4744531 49	8528276 49	1450 50
1400	50	3941090 48	4749849 49	8649860 49	1400 50
1350	50	3979793 48	4755170 49	8776129 49	1350 50
1300	50	4019982 48	4760495 49	8907446 49	1300 50
1250	50	4061777 48	4765822 49	9044219 49	1250 50
1200	50	4105311 48	4771154 49	9186903 49	1200 50

Integrated Cross Sections and Integrals for Average Energies

$\gamma = 34$ $\gamma_i$	51	$\int_{\gamma_i}^{\gamma} \left[ \frac{\sigma_s(\gamma')}{\phi_0} \right] d\gamma'$	$\int_{\gamma_i}^{\gamma} \left[ \frac{\gamma' \sigma_s(\gamma')}{\phi_0} \right] d\gamma'$	$\int_0^{E-\gamma-\gamma_i} [E' \sigma_s(E') / \phi_0] dE'$	$\gamma_i$
1150	50	4150738 48	4776491 49	9336018 49	1150 50.
1100	50	4198229 48	4781834 49	9492146 49	1100 50
1050	50	4247984 48	4787181 49	9655964 49	1050 50
1000	50	4300228 48	4792535 49	9828241 49	1000 50
9500	49	4355227 48	4786290 49	1002148 50	9500 49
9000	49	4413286 48	4803265 49	1020191 50	9000 49
8500	49	4474770 48	4808643 49	1040557 50	8500 49
8000	49	4540104 48	4814033 49	1062232 50	8000 49
7500	49	4609817 48	4819432 49	1085394 50	7500 49
7000	49	4684525 48	4824847 49	1110253 50	7000 49
6500	49	4765006 48	4830276 49	1137074 50	6500 49
6000	49	4852228 48	4835725 49	1166185 50	6000 49
5500	49	4947425 48	4841195 49	1198004 50	5500 49
5000	49	5052201 48	4846691 49	1233079 50	5000 49
4927	49	5068299 48	4847491 49	1238472 50	4927 49



Integrated Cross Sections and Integrals for Average Energies

$\gamma = 36 \quad 51$ $\gamma_i$	$\int_{\gamma_i}^{\gamma} \left[ \frac{\sigma_2(\gamma')}{\phi_0} \right] d\gamma'$	$\int_{\gamma_i}^{\gamma} \left[ \frac{\gamma' \sigma_2(\gamma')}{\phi_0} \right] d\gamma'$	$\int_0^{E-\gamma-\gamma_i} [E' \sigma_2(E') / \phi_0] dE'$	$\gamma_i$
1200 50	3940899 48	4783308 49	9403931 49	1200 50
1150 50	3983878 48	4788357 49	9553605 49	1150 50
1100 50	4028808 48	4793411 49	9710301 49	1100 50
1050 50	4075877 48	4798470 49	9874690 49	1050 50
1000 50	4125299 48	4803534 49	1004754 50	1000 50
9500 49	4177322 48	4808606 49	1022975 50	9500 49
9000 49	4232237 48	4813684 49	1042237 50	9000 49
8500 49	4290385 48	4818771 49	1062661 50	8500 49
8000 49	4352172 48	4823867 49	1084395 50	8000 49
7500 49	4418085 48	4828973 49	1107613 50	7500 49
7000 49	4488716 48	4834091 49	1132528 50	7000 49
6500 49	4564792 48	4839224 49	1159402 50	6500 49
6000 49	4647225 48	4844373 49	1188563 50	6000 49
5500 49	4737176 48	4849543 49	1220429 50	5500 49
5000 49	4836152 48	4854734 49	1255541 50	5000 49
4931 49	4850517 48	4855448 49	1260641 50	4931 49

Integrated Cross Sections and Integrals for Average Energies

$\gamma = 38$ $\gamma_i$	$\gamma_j$	$\int_{\gamma_i}^{\gamma_j} \left[ \frac{\sigma_s(\gamma')}{\phi_0} \right] d\gamma'$	$\int_{\gamma_i}^{\gamma_j} \left[ \frac{\gamma' \sigma_s(\gamma')}{\phi_0} \right] d\gamma'$	$\int_0^{\gamma_j} \left[ \frac{E' \sigma_s(E')}{\phi_0} \right] dE'$	$\gamma_j$		
3800	51	00000000	00	00000000	00	3800	51
3600	51	1038535	47	3842580	48	1038541	47
3400	51	2078636	47	7482881	48	4159377	47
3200	51	3123812	47	1093184	49	9386430	47
3000	51	4178253	47	1420041	49	1676944	48
2800	51	5247018	47	1729954	49	2639119	48
2600	51	6336292	47	2024019	49	3837722	48
2400	51	7453752	47	2303329	49	5290964	48
2200	51	8609083	47	2568983	49	7024684	48
2000	51	9814746	47	2822076	49	9075272	48
1800	51	1108715	48	3063707	49	1149413	49
1600	51	1244856	48	3294975	49	1435479	49
1400	51	1393016	48	3516982	49	1776480	49
1200	51	1557769	48	3730835	49	2188687	49
1000	51	1746210	48	3937646	49	2697952	49
9500	50	1798255	48	3988380	49	2844989	49
9000	50	1852734	48	4038763	49	3001626	49
8500	50	1909945	48	4088810	49	3168982	49
8000	50	1970243	48	4138542	49	3348381	49
7500	50	2034049	48	4187976	49	3541410	49
7000	50	2101873	48	4237131	49	3749988	49
6500	50	2174340	48	4286025	49	3976467	49
6000	50	2252224	48	4334678	49	4223773	49
5500	50	2336503	48	4383110	49	4495601	49
5000	50	2428437	48	4431340	49	4796720	49
4500	50	2529687	48	4479391	49	5133421	49
4000	50	2642508	48	4527286	49	5514246	49
3500	50	2770066	48	4575050	49	5951201	49
3000	50	2917010	48	4622714	49	6461926	49
2500	50	3090578	48	4670314	49	7073882	49
2000	50	3302948	48	4717900	49	7833305	49
1950	50	3327053	48	4722660	49	7920143	49
1900	50	3351788	48	4727421	49	8009372	49
1850	50	3377186	48	4732184	49	8101125	49
1800	50	3403286	48	4736946	49	8195541	49
1750	50	3430126	48	4741710	49	8292770	49
1700	50	3457752	48	4746475	49	8392983	49
1650	50	3486210	48	4751241	49	8496359	49
1600	50	3515553	48	4756009	49	8603093	49
1550	50	3545838	48	4760779	49	8713408	49
1500	50	3577128	48	4765550	49	8827539	49
1450	50	3609494	48	4770323	49	8945754	49
1400	50	3643010	48	4775099	49	9068342	49
1350	50	3677764	48	4779877	49	9195626	49
1300	50	3713850	48	4784658	49	9327974	49



Integrated Cross Sections and Integrals for Average Energies

$\gamma = 38$ $\gamma_i$	51	$\int_{\gamma_i}^{\gamma} \left[ \frac{\sigma_s(\gamma')}{\phi_0} \right] d\gamma'$	$\int_{\gamma_i}^{\gamma} \left[ \frac{\gamma' \sigma_s(\gamma')}{\phi_0} \right] d\gamma'$	$\int_0^{E=\gamma-\gamma_i} [E' \sigma_s(E') / \phi_0] dE'$	$\gamma_i$
1250	50	3751376 48	4789442 49	9465788 49	1250 50
1200	50	3790461 48	4794229 49	9609525 49	1200 50
1150	50	3831243 48	4799020 49	9759704 49	1150 50
1100	50	3873874 48	4803816 49	9916908 49	1100 50
1050	50	3918533 48	4808616 49	1008180 50	1050 50
1000	50	3965421 48	4813420 49	1025518 50	1000 50
9500	49	4014775 48	4818232 49	1043791 50	9500 49
9000	49	4066868 48	4823049 49	1063105 50	9000 49
8500	49	4122024 48	4827873 49	1083581 50	8500 49
8000	49	4180626 48	4832707 49	1105367 50	8000 49
7500	49	4243135 48	4837550 49	1128636 50	7500 49
7000	49	4310109 48	4842403 49	1153601 50	7000 49
6500	49	4382238 48	4847270 49	1180523 50	6500 49
6000	49	4460381 48	4852151 49	1209729 50	6000 49
5500	49	4545633 48	4857049 49	1241635 50	5500 49
5000	49	4639417 48	4861969 49	1276781 50	5000 49
4935	49	4652315 48	4862610 49	1281618 50	4935 49

Integrated Cross Sections and Integrals for Average Energies

$\gamma = 40$ $\gamma_i$	$\gamma_f$	$\int_{\gamma_i}^{\gamma_f} \left[ \frac{\sigma_s(\gamma')}{\phi_0} \right] d\gamma'$	$\int_{\gamma_i}^{\gamma_f} \left[ \frac{\gamma' \sigma_s(\gamma')}{\phi_0} \right] d\gamma'$	$\int_0^{E=\gamma-\gamma_i} [E' \sigma_s(E') / \phi_0] dE'$	$\gamma_f$
4000	51	0000000 00	0000000 00	0000000 00	4000 51
3800	51	9373000 46	3655471 48	9372870 46	3800 51
3600	51	1875869 47	7128132 48	3753445 47	3600 51
3400	51	2818536 47	1042737 49	8467710 47	3400 51
3200	51	3768644 47	1356257 49	1512004 48	3200 51
3000	51	4730183 47	1654312 49	2377615 48	3000 51
2800	51	5707975 47	1937839 49	3453502 48	2800 51
2600	51	6707911 47	2207780 49	4753845 48	2600 51
2400	51	7737304 47	2465072 49	6298498 48	2400 51
2200	51	8805379 47	2710656 49	8114957 48	2200 51
2000	51	9924008 47	2945472 49	1024131 49	2000 51
1800	51	1110882 48	3170462 49	1273069 49	1800 51
1600	51	1238103 48	3386569 49	1565842 49	1600 51
1400	51	1377033 48	3594738 49	1913395 49	1400 51
1200	51	1532029 48	3795919 49	2332199 49	1200 51
1000	51	1709850 48	3991066 49	2848335 49	1000 51
9500	50	1759046 48	4039023 49	2997163 49	9500 50
9000	50	1810577 48	4086679 49	3155629 49	9000 50
8500	50	1864726 48	4134048 49	3324858 49	8500 50
8000	50	1921832 48	4181146 49	3506181 49	8000 50
7500	50	1982295 48	4227991 49	3701189 49	7500 50
7000	50	2046601 48	4274596 49	3911810 49	7000 50
6500	50	2115345 48	4320978 49	4140403 49	6500 50
6000	50	2189264 48	4367154 49	4389904 49	6000 50
5500	50	2269290 48	4413141 49	4664019 49	5500 50
5000	50	2356621 48	4458956 49	4967529 49	5000 50
4500	50	2452840 48	4504619 49	5306742 49	4500 50
4000	50	2560092 48	4550150 49	5690219 49	4000 50
3500	50	2681391 48	4595571 49	6129994 49	3500 50
3000	50	2821162 48	4640908 49	6643742 49	3000 50
2500	50	2986290 48	4686193 49	7258969 49	2500 50
2000	50	3188362 48	4731471 49	8021978 49	2000 50
1950	50	3211298 48	4736001 49	8109195 49	1950 50
1900	50	3234835 48	4740531 49	8198809 49	1900 50
1850	50	3259002 48	4745062 49	8290948 49	1850 50
1800	50	3283837 48	4749594 49	8385756 49	1800 50
1750	50	3309377 48	4754127 49	8483383 49	1750 50
1700	50	3335664 48	4758662 49	8583996 49	1700 50
1650	50	3362743 48	4763197 49	8687777 49	1650 50
1600	50	3390664 48	4767734 49	8794923 49	1600 50
1550	50	3419481 48	4772272 49	8905652 49	1550 50
1500	50	3449254 48	4776812 49	9020206 49	1500 50
1450	50	3480049 48	4781354 49	9138844 49	1450 50
1400	50	3511939 48	4785898 49	9261862 49	1400 50
1350	50	3545007 48	4790444 49	9389584 49	1350 50

Integrated Cross Sections and Integrals for Average Energies

$\gamma = 40$ $\gamma_i$	$51$	$\int_{\gamma_i}^{\gamma} \left[ \frac{\sigma_2(\gamma')}{\phi_0} \right] d\gamma'$	$\int_{\gamma_i}^{\gamma} \left[ \frac{\gamma' \sigma_2(\gamma')}{\phi_0} \right] d\gamma'$	$\int_0^{E-\gamma_i} \left[ \frac{E' \sigma_0(E')}{\phi_0} \right] dE'$	$\gamma_i$
1300	50	3579341 48	4794993 49	9522371 49	1300 50
1250	50	3615043 48	4799544 49	9660630 49	1250 50
1200	50	3652229 48	4804099 49	9804818 49	1200 50
1150	50	3691027 48	4808657 49	9955452 49	1150 50
1100	50	3731583 48	4813219 49	1011311 50	1100 50
1050	50	3774066 48	4817785 49	1027848 50	1050 50
1000	50	3818668 48	4822356 49	1045231 50	1000 50
9500	49	3865613 48	4826932 49	1063552 50	9500 49
9000	49	3915160 48	4831513 49	1082912 50	9000 49
8500	49	3967616 48	4836102 49	1103436 50	8500 49
8000	49	4023346 48	4840698 49	1125268 50	8000 49
7500	49	4082785 48	4845304 49	1148583 50	7500 49
7000	49	4146464 48	4849918 49	1173593 50	7000 49
6500	49	4215034 48	4854544 49	1200559 50	6500 49
6000	49	4289311 48	4859184 49	1229806 50	6000 49
5500	49	4370330 48	4863840 49	1261748 50	5500 49
5000	49	4459440 48	4868514 49	1296924 50	5000 49
4938	49	4471085 48	4869093 49	1301524 50	4938 49

Integrated Cross Sections and Integrals for Average Energies

$\gamma = 42$ $\gamma_i$	$\gamma_i$	$\int_{\gamma_i}^{\gamma} \left[ \frac{\sigma_s(\gamma')}{\phi_0} \right] d\gamma'$	$\int_{\gamma_i}^{\gamma} \left[ \frac{\gamma' \sigma_s(\gamma')}{\phi_0} \right] d\gamma'$	$\int_0^{\gamma-\gamma_i} [E' \sigma_s(E') / \phi_0] dE'$	$\gamma_i$
4200	51	0000000 00	0000000 00	0000000 00	4200 51
4000	51	8501756 46	3485718 48	8501920 46	4000 51
3800	51	1701392 47	6805427 48	3404197 47	3800 51
3600	51	2555952 47	9967222 48	7677780 47	3600 51
3400	51	3416557 47	1297921 49	1370328 48	3400 51
3200	51	4286399 47	1584951 49	2153369 48	3200 51
3000	51	5169289 47	1858621 49	3124799 48	3000 51
2800	51	6069828 47	2119744 49	4295839 46	2800 51
2600	51	6993642 47	2369130 49	5682000 48	2600 51
2400	51	7947713 47	2607590 49	7304494 48	2400 51
2200	51	8940849 47	2835938 49	9192187 48	2200 51
2000	51	9984383 47	3054985 49	1138456 49	2000 51
1800	51	1109324 48	3265545 49	1393618 49	1800 51
1600	51	1228766 48	3468433 49	1692386 49	1600 51
1400	51	1359601 48	3664466 49	2045861 49	1400 51
1200	51	1505988 48	3854465 49	2470685 49	1200 51
1000	51	1674377 48	4039254 49	2993129 49	1000 51
9500	50	1721033 48	4084735 49	3143605 49	9500 50
9000	50	1769932 48	4129957 49	3303757 49	9000 50
8500	50	1821343 48	4174931 49	3474712 49	8500 50
8000	50	1875590 48	4219672 49	3657807 49	8000 50
7500	50	1933055 48	4264193 49	3854639 49	7500 50
7000	50	1994202 48	4308508 49	4067141 49	7000 50
6500	50	2059598 48	4352631 49	4297682 49	6500 50
6000	50	2129947 48	4396577 49	4549201 49	6000 50
5500	50	2206138 48	4440360 49	4825419 49	5500 50
5000	50	2289314 48	4483996 49	5131126 49	5000 50
4500	50	2380987 48	4527501 49	5472645 49	4500 50
4000	50	2483202 48	4570893 49	5858554 49	4000 50
3500	50	2598834 48	4614192 49	6300913 49	3500 50
3000	50	2732105 48	4657421 49	6817423 49	3000 50
2500	50	2889582 48	4700607 49	7435638 49	2500 50
2000	50	3082311 48	4743792 49	8201916 49	2000 50
1950	50	3104188 48	4748112 49	8289478 49	1950 50
1900	50	3126637 48	4752433 49	8379441 49	1900 50
1850	50	3149688 48	4756755 49	8471934 49	1850 50
1800	50	3173375 48	4761078 49	8567099 49	1800 50
1750	50	3197735 48	4765401 49	8665086 49	1750 50
1700	50	3222807 48	4769726 49	8766066 49	1700 50
1650	50	3248634 48	4774052 49	8870214 49	1650 50
1600	50	3275265 48	4778379 49	8977734 49	1600 50
1550	50	3302749 48	4782707 49	9088841 49	1550 50
1500	50	3331145 48	4787037 49	9203775 49	1500 50
1450	50	3360516 48	4791369 49	9322802 49	1450 50
1400	50	3390931 48	4795703 49	9446211 49	1400 50

Integrated Cross Sections and Integrals for Average Energies

$\gamma = 42$ $\gamma_i$	$51$	$\int_{\gamma_i}^{\gamma} \left[ \frac{\sigma_s(\gamma')}{\phi_0} \right] d\gamma'$	$\int_{\gamma_i}^{\gamma} \left[ \frac{\gamma' \sigma_s(\gamma')}{\phi_0} \right] d\gamma'$	$\int_0^{\gamma-\gamma_i} [E' \sigma_s(E') / \phi_0] dE'$	$\gamma_i$
1350	50	3422468 48	4800039 49	9574327 49	1350 50
1300	50	3455212 48	4804377 49	9707516 49	1300 50
1250	50	3489261 48	4808717 49	9846181 49	1250 50
1200	50	3524723 48	4813061 49	9990778 49	1200 50
1150	50	3561722 48	4817407 49	1014182 50	1150 50
1100	50	3600395 48	4821758 49	1029990 50	1100 50
1050	50	3640905 48	4826112 49	1046569 50	1050 50
1000	50	3683433 48	4830470 49	1063995 50	1000 50
9500	49	3728193 48	4834833 49	1082357 50	9500 49
9000	49	3775431 48	4839201 49	1101761 50	9000 49
8500	49	3825440 48	4843576 49	1122327 50	8500 49
8000	49	3878566 48	4847957 49	1144202 50	8000 49
7500	49	3935222 48	4852347 49	1167558 50	7500 49
7000	49	3995914 48	4856745 49	1192609 50	7000 49
6500	49	4061261 48	4861154 49	1219614 50	6500 49
6000	49	4132036 48	4865575 49	1248897 50	6000 49
5500	49	4209224 48	4870010 49	1280873 50	5500 49
5000	49	4294103 48	4874463 49	1316077 50	5000 49
4941	49	4304668 48	4874988 49	1320461 50	4941 49

Integrated Cross Sections and Integrals for Average Energies

$\gamma = 44$ $\gamma_i$	51	$\int_{\gamma_i}^{\gamma} \left[ \frac{\sigma_s(\gamma')}{\phi_0} \right] d\gamma'$	$\int_{\gamma_i}^{\gamma} \left[ \frac{\gamma' \sigma_s(\gamma')}{\phi_0} \right] d\gamma'$	$\int_0^{\gamma-\gamma_i} \left[ \frac{E' \sigma_s(E')}{\phi_0} \right] dE'$	$\gamma_i$
4400	51	0000000 00	0000000 00	0000000 00	4400 51
4200	51	7746566 46	3331025 48	7746420 46	4200 51
4000	51	1550174 47	6510616 48	3101515 47	4000 51
3800	51	2328448 47	9545824 48	6993500 47	3800 51
3600	51	3111685 47	1244369 49	1247718 48	3600 51
3400	51	3902466 47	1521128 49	1959570 48	3400 51
3200	51	4703847 47	1785563 49	2841295 48	3200 51
3000	51	5519472 47	2036379 49	3901660 48	3000 51
2800	51	6353744 47	2280283 49	5153641 48	2800 51
2600	51	7212046 47	2511980 49	6613206 48	2600 51
2400	51	8101057 47	2734174 49	8302904 48	2400 51
2200	51	9029203 47	2947575 49	1025274 49	2200 51
2000	51	1000732 48	3152887 49	1250336 49	2000 51
1800	51	1104971 48	3350819 49	1511054 49	1800 51
1600	51	1217570 48	3542079 49	1815232 49	1600 51
1400	51	1341246 48	3727379 49	2174103 49	1400 51
1200	51	1479974 48	3907432 49	2604454 49	1200 51
1000	51	1639927 48	4082958 49	3132721 49	1000 51
9500	50	1684304 48	4126217 49	3284720 49	9500 50
9000	50	1730836 48	4169250 49	3446429 49	9000 50
8500	50	1779784 48	4212068 49	3618981 49	8500 50
8000	50	1831454 48	4254684 49	3803715 49	8000 50
7500	50	1886214 48	4297110 49	4002233 49	7500 50
7000	50	1944507 48	4339356 49	4216474 49	7000 50
6500	50	2006875 48	4381436 49	4448813 49	6500 50
6000	50	2073991 48	4423362 49	4702199 49	6000 50
5500	50	2146705 48	4465147 49	4980356 49	5500 50
5000	50	2226112 48	4506806 49	5288089 49	5000 50
4500	50	2313655 48	4548351 49	5631732 49	4500 50
4000	50	2411290 48	4589799 49	6019881 49	4000 50
3500	50	2521767 48	4631167 49	6464611 49	3500 50
3000	50	2649121 48	4672476 49	6983659 49	3000 50
2500	50	2799627 48	4713751 49	7604610 49	2500 50
2000	50	2983843 48	4755028 49	8373883 49	2000 50
1950	50	3004754 48	4759158 49	8461761 49	1950 50
1900	50	3026211 48	4763288 49	8552044 49	1900 50
1850	50	3048244 48	4767419 49	8644859 49	1850 50
1800	50	3070886 48	4771551 49	8740349 49	1800 50
1750	50	3094170 48	4775684 49	8838667 49	1750 50
1700	50	3118135 48	4779817 49	8939978 49	1700 50
1650	50	3142822 48	4783952 49	9044466 49	1650 50
1600	50	3168276 48	4788088 49	9152327 49	1600 50
1550	50	3194546 48	4792225 49	9263777 49	1550 50
1500	50	3221687 48	4796364 49	9379061 49	1500 50
1450	50	3249760 48	4800504 49	9498441 49	1450 50

Integrated Cross Sections and Integrals for Average Energies

$\gamma = 44$ $\gamma_i$	51	$\int_{\gamma_i}^{\gamma} \left[ \frac{\sigma_3(\gamma')}{\phi_0} \right] d\gamma'$	$\int_{\gamma_i}^{\gamma} \left[ \frac{\gamma' \sigma_3(\gamma')}{\phi_0} \right] d\gamma'$	$\int_0^{\gamma-\gamma_i} [E' \sigma_3(E') / \phi_0] dE'$	$\gamma_i$
1400	50	3278830 48	4804646 49	9622207 49	1400 50
1350	50	3308971 48	4808790 49	9750685 49	1350 50
1300	50	3340267 48	4812936 49	9884238 49	1300 50
1250	50	3372808 48	4817085 49	1002327 50	1250 50
1200	50	3406699 48	4821236 49	1016824 50	1200 50
1150	50	3442058 48	4825390 49	1031966 50	1150 50
1100	50	3479016 48	4829547 49	1047812 50	1100 50
1050	50	3517728 48	4833708 49	1064429 50	1050 50
1000	50	3558366 48	4837872 49	1081894 50	1000 50
9500	49	3601135 48	4842041 49	1100295 50	9500 49
9000	49	3646271 48	4846215 49	1119737 50	9000 49
8500	49	3694051 48	4850395 49	1140343 50	8500 49
8000	49	3744804 48	4854581 49	1162256 50	8000 49
7500	49	3798927 48	4858774 49	1185650 50	7500 49
7000	49	3856900 48	4862975 49	1210738 50	7000 49
6500	49	3919312 48	4867186 49	1237778 50	6500 49
6000	49	3986901 48	4871408 49	1267095 50	6000 49
5500	49	4060603 48	4875643 49	1299101 50	5500 49
5000	49	4141634 48	4879894 49	1334330 50	5000 49
4943	49	4151264 48	4880372 49	1338518 50	4943 49

Integrated Cross Sections and Integrals for Average Energies

$\gamma = 46$ $\gamma_i$	SI	$\int_{\gamma_i}^{\gamma} \left[ \frac{\sigma_s(\gamma')}{\phi_0} \right] d\gamma'$	$\int_{\gamma_i}^{\gamma} \left[ \frac{\gamma' \sigma_s(\gamma')}{\phi_0} \right] d\gamma'$	$\int_0^{\gamma-\gamma_i} [E' \sigma_s(E') / \phi_0] dE'$	$\gamma_i$		
4600	51	0000000	00	0000000	00	4600	51
4400	51	7087703	46	3189466	48	7087740	46
4200	51	1418259	47	6240243	48	2837483	47
4000	51	2130040	47	9158494	48	6396930	47
3800	51	2845933	47	1195039	49	1140901	48
3600	51	3568050	47	1462210	49	1790931	48
3400	51	4298868	47	1717979	49	2594999	48
3200	51	5041313	47	1962964	49	3560397	48
3000	51	5798880	47	2197781	49	4697034	48
2800	51	6575789	47	2423049	49	6018140	48
2600	51	7377199	47	2639384	49	7541280	48
2400	51	8209512	47	2847404	49	9289708	48
2200	51	9080803	47	3047728	49	1129440	49
2000	51	1000146	48	3240975	49	1359698	49
1800	51	1098519	48	3427764	49	1625423	49
1600	51	1205052	48	3608715	49	1934524	49
1400	51	1322347	48	3784452	49	2298345	49
1200	51	1454216	48	3955598	49	2733798	49
1000	51	1606574	48	4122785	49	3267458	49
9500	50	1648893	48	4164036	49	3420871	49
9000	50	1693286	48	4205092	49	3584026	49
8500	50	1740004	48	4245959	49	3758058	49
8000	50	1789339	48	4286649	49	3944312	49
7500	50	1841645	48	4327173	49	4144396	49
7000	50	1897345	48	4367541	49	4360249	49
6500	50	1956960	48	4407763	49	4594255	49
6000	50	2021134	48	4447852	49	4849367	49
5500	50	2090682	48	4487817	49	5129322	49
5000	50	2166652	48	4527672	49	5438928	49
4500	50	2250426	48	4567429	49	5784533	49
4000	50	2343880	48	4607101	49	6174748	49
3500	50	2449646	48	4646706	49	6621667	49
3000	50	2571589	48	4686259	49	7143052	49
2500	50	2715719	48	4725786	49	7766523	49
2000	50	2892143	48	4765317	49	8538544	49
1950	50	2912170	48	4769272	49	8626713	49
1900	50	2932720	48	4773228	49	8717287	49
1850	50	2953822	48	4777184	49	8810400	49
1800	50	2975506	48	4781141	49	8906189	49
1750	50	2997806	48	4785099	49	9004810	49
1700	50	3020757	48	4789058	49	9106427	49
1650	50	3044400	48	4793018	49	9211223	49
1600	50	3068777	48	4796978	49	9319397	49
1550	50	3093936	48	4800941	49	9431166	49
1500	50	3119928	48	4804904	49	9546768	49



Integrated Cross Sections and Integrals for Average Energies

$\gamma = 46$ $\gamma_i$	$\gamma_i$	$\int_{\gamma_i}^{\gamma} \left[ \frac{\sigma_s(\gamma')}{\phi_0} \right] d\gamma'$	$\int_{\gamma_i}^{\gamma} \left[ \frac{\gamma' \sigma_s(\gamma')}{\phi_0} \right] d\gamma'$	$\int_0^{E-\gamma-\gamma_i} \left[ \frac{E' \sigma_s(E')}{\phi_0} \right] dE'$	$\gamma_i$
1450	50	3146813 48	4808869 49	9666471 49	1450 50
1400	50	3174652 48	4812836 49	9790566 49	1400 50
1350	50	3203517 48	4816805 49	9919374 49	1350 50
1300	50	3233486 48	4820775 49	1005326 50	1300 50
1250	50	3264648 48	4824747 49	1019263 50	1250 50
1200	50	3297101 48	4828723 49	1033794 50	1200 50
1150	50	3330959 48	4832700 49	1048971 50	1150 50
1100	50	3366348 48	4836681 49	1064852 50	1100 50
1050	50	3403414 48	4840665 49	1081504 50	1050 50
1000	50	3442325 48	4844652 49	1099004 50	1000 50
9500	49	3483273 48	4848644 49	1117441 50	9500 49
9000	49	3526484 48	4852640 49	1136919 50	9000 49
8500	49	3572225 48	4856641 49	1157559 50	8500 49
8000	49	3620810 48	4860648 49	1179507 50	8000 49
7500	49	3672616 48	4864661 49	1202937 50	7500 49
7000	49	3728102 48	4868683 49	1228058 50	7000 49
6500	49	3787832 48	4872713 49	1255131 50	6500 49
6000	49	3852509 48	4876753 49	1284478 50	6000 49
5500	49	3923026 48	4880805 49	1316511 50	5500 49
5000	49	4000544 48	4884871 49	1351763 50	5000 49
4946	49	4009356 48	4885309 49	1355773 50	4946 49

Integrated Cross Sections and Integrals for Average Energies

$\gamma = 48$ $\gamma'$	51	$\int_{\gamma'}^{\infty} \left[ \frac{\sigma_s(\gamma')}{\phi_0} \right] d\gamma'$	$\int_{\gamma'}^{\infty} \left[ \frac{\gamma' \sigma_s(\gamma')}{\phi_0} \right] d\gamma'$	$\int_0^{\infty} [E' \sigma_s(E') / \phi_0] dE'$	$\gamma'$
4800	51	00 00000 00	000 0000 00	0000 000 00	4800 51
4600	51	65 09456 46	305 9444 48	650 9470 46	4600 51
4400	51	13 02494 47	59 91393 48	260 5824 47	4400 51
4200	51	19 55966 47	88 01279 48	58 73603 47	4200 51
4000	51	26 12874 47	11 49452 49	10 47267 48	4000 51
3800	51	32 74962 47	14 07657 49	16 43251 48	3800 51
3600	51	39 44260 47	16 55283 49	23 79614 48	3600 51
3400	51	46 23146 47	18 92875 49	32 62349 48	3400 51
3200	51	53 14430 47	21 20975 49	42 99509 48	3200 51
3000	51	60 21467 47	23 40127 49	55 01764 48	3000 51
2800	51	67 48308 47	25 50875 49	68 83129 48	2800 51
2600	51	74 99907 47	27 53761 49	84 61948 48	2600 51
2400	51	82 82411 47	29 49329 49	10 26228 49	2400 51
2200	51	91 03574 47	31 38124 49	12 31590 49	2200 51
2000	51	99 73372 47	33 20691 49	14 66527 49	2000 51
1800	51	10 90495 48	34 97575 49	17 36801 49	1800 51
1600	51	11 91611 48	36 69322 49	20 50412 49	1600 51
1400	51	13 03183 48	38 36480 49	24 18802 49	1400 51
1200	51	14 28872 48	39 99601 49	28 58985 49	1200 51
1000	51	15 74353 48	41 59237 49	33 97660 49	1000 51
9500	50	16 14803 48	41 98668 49	35 52388 49	9500 50
9000	50	16 57252 48	42 37925 49	37 16888 49	9000 50
8500	50	17 01941 48	42 77017 49	38 92299 49	8500 50
8000	50	17 49150 48	43 15953 49	40 79967 49	8000 50
7500	50	17 99218 48	43 54744 49	42 81505 49	7500 50
7000	50	18 52553 48	43 93397 49	44 98859 49	7000 50
6500	50	19 09653 48	44 31923 49	47 34414 49	6500 50
6000	50	19 71138 48	44 70331 49	49 91132 49	6000 50
5500	50	20 37788 48	45 08631 49	52 72753 49	5500 50
5000	50	21 10610 48	45 46835 49	55 84097 49	5000 50
4500	50	21 90932 48	45 84953 49	59 31523 49	4500 50
4000	50	22 80551 48	46 22998 49	63 23650 49	4000 50
3500	50	23 81995 48	46 60983 49	67 72594 49	3500 50
3000	50	24 98971 48	46 98926 49	72 96138 49	3000 50
2500	50	26 37246 48	47 36847 49	79 21934 49	2500 50
2000	50	28 06513 48	47 74774 49	86 96489 49	2000 50
1950	50	28 25727 48	47 78569 49	87 84925 49	1950 50
1900	50	28 45444 48	47 82364 49	88 75772 49	1900 50
1850	50	28 65690 48	47 86160 49	89 69155 49	1850 50
1800	50	28 86495 48	47 89956 49	90 65220 49	1800 50
1750	50	29 07890 48	47 93754 49	91 64119 49	1750 50
1700	50	29 29910 48	47 97552 49	92 66020 49	1700 50
1650	50	29 52594 48	48 01351 49	93 71099 49	1650 50
1600	50	29 75981 48	48 05152 49	94 79561 49	1600 50
1550	50	30 00119 48	48 08953 49	95 91621 49	1550 50

Integrated Cross Sections and Integrals for Average Energies

$\gamma = 48 \quad 51$ $\gamma_i$	$\int_{\gamma_i}^{\gamma} \left[ \frac{\sigma_s(\gamma')}{\phi_0} \right] d\gamma'$	$\int_{\gamma_i}^{\gamma} \left[ \frac{\gamma' \sigma_s(\gamma')}{\phi_0} \right] d\gamma'$	$\int_0^{E = \gamma - \gamma_i} [E' \sigma_s(E') / \phi_0] dE'$	$\gamma_i$
1500 50	3025057 48	4812755 49	9707519 49	1500 50
1450 50	3050849 48	4816559 49	9827519 49	1450 50
1400 50	3077558 48	4820365 49	9951913 49	1400 50
1350 50	3105249 48	4824172 49	1008102 50	1350 50
1300 50	3134000 48	4827981 49	1021522 50	1300 50
1250 50	3163895 48	4831792 49	1035490 50	1250 50
1200 50	3195028 48	4835606 49	1050053 50	1200 50
1150 50	3227507 48	4839421 49	1065261 50	1150 50
1100 50	3261455 48	4843240 49	1081174 50	1100 50
1050 50	3297010 48	4847061 49	1097858 50	1050 50
1000 50	3334332 48	4850886 49	1115391 50	1000 50
9500 49	3373608 48	4854715 49	1133860 50	9500 49
9000 49	3415053 48	4858547 49	1153371 50	9000 49
8500 49	3458922 48	4862385 49	1174044 50	8500 49
8000 49	3505515 48	4866227 49	1196024 50	8000 49
7500 49	3555195 48	4870076 49	1219486 50	7500 49
7000 49	3608400 48	4873932 49	1244638 50	7000 49
6500 49	3665668 48	4877796 49	1271741 50	6500 49
6000 49	3727674 48	4881669 49	1301116 50	6000 49
5500 49	3795270 48	4885553 49	1333174 50	5500 49
5000 49	3869566 48	4889451 49	1368446 50	5000 49
4948 49	3877661 48	4889853 49	1372292 50	4948 49

Integrated Cross Sections and Integrals for Average Energies

$\gamma = 50$ $\gamma'$	$\int_{\gamma'}^{\gamma} \left[ \frac{\sigma_s(\gamma')}{\phi_0} \right] d\gamma'$	$\int_{\gamma'}^{\gamma} \left[ \frac{\gamma' \sigma_s(\gamma')}{\phi_0} \right] d\gamma'$	$\int_0^{E=\gamma-\gamma'} [E' \sigma_s(E') / \phi_0] dE'$	$\gamma'$
5000 51	0000000 00	0000000 00	0000000 00	5000 51
4800 51	5999187 46	2939599 48	5999370 46	4800 51
4600 51	1200348 47	5761601 48	2401383 47	4600 51
4400 51	1802402 47	8470809 48	5412010 47	4400 51
4200 51	2407349 47	1107202 49	9647270 47	4200 51
4000 51	3016644 47	1357004 49	1513178 48	4000 51
3800 51	3631966 47	1596968 49	2190147 48	3800 51
3600 51	4255265 47	1827573 49	3000586 48	3600 51
3400 51	4888827 47	2049301 49	3951121 48	3400 51
3200 51	5535357 47	2262632 49	5050462 48	3200 51
3000 51	6198079 47	2468046 49	6309937 48	3000 51
2800 51	6880891 47	2666024 49	7744214 48	2800 51
2600 51	7588556 47	2857048 49	9372301 48	2600 51
2400 51	8326984 47	3041598 49	1121893 49	2400 51
2200 51	9103632 47	3220156 49	1331660 49	2200 51
2000 51	9928095 47	3393204 49	1570843 49	2000 51
1800 51	1081301 48	3561225 49	1845281 49	1800 51
1600 51	1177550 48	3724702 49	2163050 49	1600 51
1400 51	1283959 48	3884120 49	2535674 49	1400 51
1200 51	1404045 48	4039967 49	2980260 49	1200 51
1000 51	1543269 48	4192734 49	3523614 49	1000 51
9500 50	1582014 48	4230502 49	3679569 49	9500 50
9000 50	1622688 48	4268117 49	3845325 49	9000 50
8500 50	1665522 48	4305587 49	4022022 49	8500 50
8000 50	1710786 48	4342919 49	4211011 49	8000 50
7500 50	1758805 48	4380122 49	4413905 49	7500 50
7000 50	1809972 48	4417204 49	4632658 49	7000 50
6500 50	1864766 48	4454174 49	4869656 49	6500 50
6000 50	1923781 48	4491039 49	5127868 49	6000 50
5500 50	1987770 48	4527810 49	5411040 49	5500 50
5000 50	2057699 48	4564496 49	5724003 49	5000 50
4500 50	2134844 48	4601107 49	6073118 49	4500 50
4000 50	2220935 48	4637653 49	6467022 49	4000 50
3500 50	2318398 48	4674149 49	6917845 49	3500 50
3000 50	2430799 48	4710607 49	7443392 49	3000 50
2500 50	2563677 48	4747047 49	8071339 49	2500 50
2000 50	2726347 48	4783497 49	8848239 49	2000 50
1950 50	2744813 48	4787144 49	8936923 49	1950 50
1900 50	2763761 48	4790791 49	9028017 49	1900 50
1850 50	2783218 48	4794439 49	9121654 49	1850 50
1800 50	2803212 48	4798087 49	9217974 49	1800 50
1750 50	2823773 48	4801737 49	9317130 49	1750 50
1700 50	2844935 48	4805387 49	9419290 49	1700 50
1650 50	2866734 48	4809038 49	9524634 49	1650 50
1600 50	2889210 48	4812690 49	9633361 49	1600 50

Integrated Cross Sections and Integrals for Average Energies

$\gamma = 50$ $\gamma_i$	51	$\int_{\gamma_i}^{\gamma} \left[ \frac{\sigma_s(\gamma')}{\phi_0} \right] d\gamma'$	$\int_{\gamma_i}^{\gamma} \left[ \frac{\gamma' \sigma_s(\gamma')}{\phi_0} \right] d\gamma'$	$\int_0^{E-\gamma-\gamma_i} [E' \sigma_s(E') / \phi_0] dE'$	$\gamma_i$
1550	50	2912406 48	4816343 49	9745689 49	1550 50
1500	50	2936371 48	4819998 49	9861859 49	1500 50
1450	50	2961157 48	4823653 49	9982135 49	1450 50
1400	50	2986823 48	4827310 49	1010680 50	1400 50
1350	50	3013433 48	4830969 49	1023626 50	1350 50
1300	50	3041061 48	4834629 49	1037067 50	1300 50
1250	50	3069788 48	4838291 49	1051065 50	1250 50
1200	50	3099704 48	4841955 49	1065656 50	1200 50
1150	50	3130913 48	4845622 49	1080894 50	1150 50
1100	50	3163531 48	4849291 49	1096836 50	1100 50
1050	50	3197693 48	4852962 49	1113550 50	1050 50
1000	50	3233553 48	4856637 49	1131112 50	1000 50
9500	49	3271288 48	4860316 49	1149612 50	9500 49
9000	49	3311105 48	4863998 49	1169152 50	9000 49
8500	49	3353249 48	4867684 49	1189856 50	8500 49
8000	49	3398008 48	4871376 49	1211866 50	8000 49
7500	49	3445729 48	4875073 49	1235357 50	7500 49
7000	49	3496832 48	4878776 49	1260538 50	7000 49
6500	49	3551834 48	4882487 49	1287668 50	6500 49
6000	49	3611379 48	4886207 49	1317069 50	6000 49
5500	49	3676287 48	4889937 49	1349150 50	5500 49
5000	49	3747618 48	4893679 49	1384441 50	5000 49
4950	49	3755081 48	4894050 49	1388135 50	4950 49

Compton Cross Section vs. Angle of Scattered Quantum

$w \backslash \gamma$	0.0		0.1		0.2		0.3		0.4		0.5		0.6		0.7		0.8		0.9	
1.00N	1193	49	8427	48	6438	48	5187	48	4339	48	3730	48	3273	48	2918	48	2635	48	2403	48
.90N	1080	49	7756	48	6000	48	4883	48	4119	48	3567	48	3150	48	2824	48	2562	48	2347	48
.80N	9788	48	7147	48	5599	48	4603	48	3916	48	3416	48	3035	48	2737	48	2495	48	2296	48
.70N	8892	48	6603	48	5239	48	4351	48	3732	48	3279	48	2932	48	2658	48	2436	48	2252	48
.60N	8116	48	6130	48	4924	48	4129	48	3572	48	3160	48	2843	48	2591	48	2386	48	2215	48
.50N	7460	48	5729	48	4658	48	3944	48	3438	48	3062	48	2771	48	2539	48	2348	48	2189	48
.40N	6923	48	5406	48	4448	48	3801	48	3337	48	2990	48	2720	48	2504	48	2326	48	2176	48
.30N	6505	48	5164	48	4299	48	3705	48	3275	48	2950	48	2697	48	2492	48	2323	48	2181	48
.20N	6207	48	5009	48	4217	48	3663	48	3257	48	2949	48	2706	48	2509	48	2346	48	2208	48
.10N	6027	48	4945	48	4209	48	3684	48	3293	48	2993	48	2755	48	2562	48	2401	48	2264	48
.00	5968	48	4977	48	4282	48	3776	48	3393	48	3094	48	2855	48	2660	48	2497	48	2358	48
.10	6027	48	5110	48	4446	48	3949	48	3566	48	3263	48	3018	48	2815	48	2645	48	2500	48
.20	6207	48	5351	48	4710	48	4217	48	3828	48	3514	48	3257	48	3043	48	2862	48	2706	48
.30	6505	48	5705	48	5084	48	4591	48	4193	48	3866	48	3593	48	3363	48	3166	48	2995	48
.35	6699	48	5927	48	5316	48	4824	48	4421	48	4086	48	3805	48	3565	48	3359	48	3179	48
.40	6923	48	6179	48	5580	48	5089	48	4682	48	4341	48	4050	48	3801	48	3584	48	3395	48
.45	7176	48	6463	48	5877	48	5390	48	4980	48	4632	48	4333	48	4074	48	3848	48	3648	48
.50	7460	48	6779	48	6210	48	5729	48	5318	48	4965	48	4658	48	4390	48	4154	48	3944	48
.55	7773	48	7129	48	6580	48	6108	48	5700	48	5344	48	5032	48	4755	48	4510	48	4290	48
.60	8116	48	7513	48	6989	48	6531	48	6130	48	5774	48	5459	48	5177	48	4924	48	4695	48
.62	8262	48	7676	48	7164	48	6714	48	6316	48	5962	48	5646	48	5363	48	5107	48	4876	48
.64	8412	48	7845	48	7345	48	6903	48	6510	48	6159	48	5844	48	5560	48	5302	48	5069	48
.66	8568	48	8020	48	7534	48	7101	48	6714	48	6366	48	6052	48	5768	48	5510	48	5274	48
.68	8728	48	8200	48	7729	48	7307	48	6927	48	6584	48	6272	48	5989	48	5730	48	5492	48
.70	8892	48	8387	48	7932	48	7522	48	7150	48	6812	48	6504	48	6222	48	5963	48	5725	48
.72	9062	48	8579	48	8142	48	7745	48	7383	48	7052	48	6748	48	6469	48	6212	48	5974	48
.74	9236	48	8778	48	8359	48	7977	48	7626	48	7303	48	7005	48	6730	48	6476	48	6239	48
.76	9415	48	8982	48	8584	48	8218	48	7880	48	7567	48	7277	48	7007	48	6756	48	6522	48
.78	9599	48	9193	48	8817	48	8469	48	8145	48	7843	48	7562	48	7300	48	7054	48	6824	48
.80	9786	48	9410	48	9058	48	8729	48	8421	48	8134	48	7864	48	7610	48	7371	48	7147	48
.82	9981	48	9633	48	9306	48	8999	48	8710	48	8438	48	8181	48	7938	48	7709	48	7492	48
.84	1017	49	9862	48	9563	48	9200	48	9012	48	8757	48	8516	48	8286	48	8068	48	7860	48
.86	1038	49	1009	49	9828	48	9571	48	9326	48	9092	48	8868	48	8655	48	8450	48	8255	48
.88	1059	49	1034	49	1010	49	9873	48	9654	48	9443	48	9240	48	9045	48	8857	48	8677	48
.90	1080	49	1059	49	1038	49	1018	49	9996	48	9811	48	9632	48	9459	48	9291	48	9129	48
.92	1101	49	1084	49	1067	49	1051	49	1035	49	1019	49	1004	49	9897	48	9754	48	9614	48
.94	1124	49	1110	49	1097	49	1084	49	1072	49	1060	49	1048	49	1036	49	1024	49	1013	49
.96	1146	49	1137	49	1123	49	1119	49	1111	49	1102	49	1094	49	1085	49	1077	49	1069	49
.98	1170	49	1165	49	1160	49	1156	49	1151	49	1147	49	1142	49	1138	49	1133	49	1129	49
1.00	1193	49	1193	49	1193	49	1193	49	1193	49	1193	49	1193	49	1193	49	1193	49	1193	49

Compton Cross Section vs. Angle of Scattered Quantum

$\gamma$ w	1.0	1.1	1.2	1.3	1.4	1.5	1.6	1.7	1.8	1.9
1.00N	2210 48	2047 48	1907 48	1785 48	1679 48	1585 48	1501 48	1426 48	1358 48	1297 48
.90N	2167 48	2015 48	1883 48	1768 48	1667 48	1578 48	1498 48	1426 48	1361 48	1302 48
.80N	2129 48	1986 48	1862 48	1754 48	1658 48	1573 48	1497 48	1428 48	1366 48	1309 48
.70N	2096 48	1962 48	1846 48	1744 48	1653 48	1573 48	1500 48	1434 48	1374 48	1319 48
.60N	2070 48	1944 48	1835 48	1739 48	1653 48	1576 48	1507 48	1444 48	1386 48	1333 48
.50N	2053 48	1935 48	1832 48	1741 48	1659 48	1586 48	1520 48	1459 48	1403 48	1352 48
.40N	2048 48	1936 48	1839 48	1752 48	1674 48	1603 48	1539 48	1481 48	1427 48	1378 48
.30N	2058 48	1952 48	1858 48	1774 48	1699 48	1631 48	1569 48	1512 48	1460 48	1411 48
.20N	2089 48	1986 48	1894 48	1812 48	1739 48	1672 48	1611 48	1555 48	1504 48	1456 48
.10N	2146 48	2043 48	1952 48	1871 48	1798 48	1731 48	1670 48	1614 48	1562 48	1514 48
.00	2238 48	2133 48	2040 48	1957 48	1882 48	1814 48	1752 48	1695 48	1642 48	1593 48
.10	2374 48	2264 48	2166 48	2079 48	2001 48	1929 48	1864 48	1804 48	1749 48	1697 48
.20	2570 48	2451 48	2346 48	2251 48	2166 48	2089 48	2019 48	1954 48	1894 48	1839 48
.30	2846 48	2714 48	2597 48	2492 48	2397 48	2311 48	2233 48	2161 48	2094 48	2032 48
.35	3022 48	2882 48	2758 48	2646 48	2545 48	2454 48	2370 48	2293 48	2222 48	2156 48
.40	3228 48	3080 48	2948 48	2828 48	2720 48	2622 48	2532 48	2450 48	2373 48	2303 48
.45	3472 48	3314 48	3172 48	3044 48	2928 48	2823 48	2726 48	2636 48	2554 48	2478 48
.50	3757 48	3590 48	3438 48	3301 48	3176 48	3062 48	2957 48	2860 48	2771 48	2688 48
.55	4093 48	3915 48	3754 48	3607 48	3472 48	3349 48	3235 48	3130 48	3033 48	2942 48
.60	4489 48	4301 48	4129 48	3972 48	3828 48	3695 48	3572 48	3457 48	3351 48	3252 48
.62	4666 48	4474 48	4299 48	4138 48	3990 48	3853 48	3726 48	3608 48	3498 48	3395 48
.64	4856 48	4660 48	4481 48	4317 48	4164 48	4023 48	3893 48	3771 48	3657 48	3551 48
.66	5058 48	4860 48	4677 48	4509 48	4353 48	4208 48	4073 48	3948 48	3830 48	3720 48
.68	5274 48	5074 48	4888 48	4716 48	4557 48	4408 48	4270 48	4141 48	4019 48	3906 48
.70	5506 48	5303 48	5115 48	4940 48	4777 48	4626 48	4484 48	4351 48	4226 48	4108 48
.72	5754 48	5549 48	5359 48	5182 48	5016 48	4861 48	4716 48	4580 48	4451 48	4330 48
.74	6019 48	5814 48	5623 48	5444 48	5276 48	5118 48	4970 48	4830 48	4699 48	4574 48
.76	6303 48	6099 48	5907 48	5727 48	5557 48	5398 48	5247 48	5105 48	4970 48	4843 48
.78	6608 48	6405 48	6214 48	6034 48	5863 48	5703 48	5550 48	5406 48	5269 48	5139 48
.80	6935 48	6735 48	6546 48	6366 48	6197 48	6036 48	5883 48	5737 48	5599 48	5467 48
.82	7286 48	7090 48	6905 48	6728 48	6560 48	6400 48	6248 48	6102 48	5963 48	5831 48
.84	7662 48	7474 48	7294 48	7122 48	6957 48	6800 48	6650 48	6506 48	6367 48	6235 48
.86	8067 48	7888 48	7716 48	7551 48	7392 48	7239 48	7093 48	6952 48	6816 48	6686 48
.88	8503 48	8336 48	8174 48	8018 48	7868 48	7723 48	7583 48	7447 48	7316 48	7190 48
.90	8972 48	8820 48	8672 48	8529 48	8391 48	8256 48	8126 48	7999 48	7875 48	7756 48
.92	9478 48	9345 48	9215 48	9089 48	8966 48	8846 48	8728 48	8614 48	8502 48	8393 48
.94	10002 49	9914 48	9807 48	9702 48	9600 48	9499 48	9400 48	9303 48	9208 48	9114 48
.96	1061 49	1053 49	1045 49	1037 49	1030 49	1022 49	1015 49	1007 49	1000 49	9933 48
.98	1124 49	1120 49	1116 49	1111 49	1107 49	1103 49	1099 49	1094 49	1090 49	1086 49
1.00	1193 49	1193 49	1193 49	1193 49	1193 49	1193 49	1193 49	1193 49	1193 49	1193 49

Compton Cross Section vs. Angle of Scattered Quantum

$w \gamma$	2.0		2.5		$w \gamma$	3.0		3.5		4.0		4.5		5.0	
1.00N	1241	48	1022	48	1.00N	8700	47	7576	47	6713	47	6027	47	5470	47
.90N	1248	48	1035	48	.90N	8853	47	7741	47	6880	47	6193	47	5632	47
.80N	1257	48	1049	48	.80N	9028	47	7925	47	7067	47	6378	47	5813	47
.70N	1269	48	1067	48	.70N	9229	47	8135	47	7277	47	6585	47	6014	47
.60N	1285	48	1088	48	.60N	9460	47	8373	47	7515	47	6818	47	6241	47
.50N	1305	48	1113	48	.50N	9730	47	8647	47	7786	47	7084	47	6499	47
.40N	1332	48	1144	48	.40N	1004	48	8966	47	8099	47	7388	47	6793	47
.30N	1366	48	1181	48	.30N	1042	48	9339	47	8463	47	7741	47	7133	47
.20N	1411	48	1227	48	.20N	1088	48	9783	47	8892	47	8154	47	7530	47
.10N	1470	48	1284	48	.10N	1143	48	1031	48	9405	47	8645	47	8000	47
.00	1547	48	1357	48	.00	1212	48	1097	48	1002	48	9237	47	8565	47
.10	1649	48	1450	48	.10	1299	48	1178	48	1079	48	9964	47	9256	47
.20	1787	48	1573	48	.20	1411	48	1282	48	1176	48	1088	48	1012	48
.30	1975	48	1739	48	.30	1560	48	1418	48	1303	48	1206	48	1123	48
.35	2095	48	1843	48	.40	1763	48	1603	48	1473	48	1364	48	1271	48
.40	2237	48	1967	48	.50	2053	48	1865	48	1713	48	1586	48	1479	48
.45	2407	48	2114	48	.60	2484	48	2255	48	207	48	1916	48	1786	48
.50	2611	48	2292	48	.62	2595	48	2356	48	2162	48	2001	48	1865	48
.55	2858	48	2508	48	.64	2718	48	2467	48	2265	48	2096	48	1953	48
.60	3160	48	2775	48	.66	2853	48	2591	48	2378	48	2201	48	2051	48
.62	3299	48	2899	48	.68	3002	48	2727	48	2504	48	2317	48	2160	48
.64	3451	48	3035	48	.70	3168	48	2879	48	2644	48	2448	48	2282	48
.66	3617	48	3184	48	.72	3352	48	3049	48	2802	48	2595	48	2419	48
.68	3799	48	3348	48	.74	3559	48	3241	48	2979	48	2761	48	2575	48
.70	3998	48	3530	48	.76	3790	48	3457	48	3181	48	2949	48	2752	48
.72	4216	48	3730	48	.78	4051	48	3702	48	3411	48	3166	48	2956	48
.74	4457	48	3954	48	.80	4348	48	3982	48	3675	48	3416	48	3193	48
.76	4722	48	4202	48	.82	4685	48	4303	48	3981	48	3707	48	3469	48
.78	5016	48	4480	48	.84	5071	48	4675	48	4338	48	4048	48	3796	48
.80	5341	48	4792	48	.86	5516	48	5109	48	4759	48	4454	48	4187	48
.82	5704	48	5143	48	.88	6033	48	5619	48	5258	48	4941	48	4661	48
.84	6107	48	5541	48	.90	6636	48	6224	48	5859	48	5534	48	5243	48
.86	6560	48	5993	48	.91	6977	48	6570	48	6206	48	5880	48	5585	48
.88	7067	48	6511	48	.92	7347	48	6949	48	659	48	6265	48	5970	48
.90	7639	48	7104	48	.93	7750	48	7366	48	7016	48	6697	48	6404	48
.92	8287	48	7790	48	.94	8191	48	7826	48	7491	48	7182	48	6896	48
.94	9023	48	8588	48	.95	8674	48	8336	48	8023	48	7731	48	7458	48
.96	9862	48	9523	48	.96	9203	48	8903	48	8621	48	8354	48	8102	48
.98	1082	49	1062	49	.97	9787	48	9535	48	9295	48	9066	48	8847	48
1.00	1193	49	1193	49	.98	1043	49	1024	49	1006	49	9885	48	9714	48
					.99	1114	49	1103	49	1093	49	1083	49	1073	49
					1.00	1193	49	1193	49	1193	49	1193	49	1193	49



Compton Cross Section vs. Angle of Scattered Quantum

$\gamma$ w	5.5	6.0	6.5	7.0	7.5	8.0	8.5	9.0	9.5	10.0
1.00N	5008 47	4618 47	4284 47	7576 47	3744 47	3522 47	3325 47	3149 47	2991 47	2848 47
.90N	5165 47	4770 47	4432 47	4138 47	3881 47	3654 47	3453 47	3272 47	3110 47	2963 47
.80N	5340 47	4939 47	4595 47	4296 47	4033 47	3801 47	3594 47	3409 47	3241 47	3090 47
.70N	5536 47	5128 47	4777 47	4471 47	4202 47	3964 47	3751 47	3560 47	3388 47	3232 47
.60N	5755 47	5340 47	4981 47	4668 47	4392 47	4146 47	3927 47	3730 47	3552 47	3390 47
.50N	6004 47	5580 47	5212 47	4890 47	4606 47	4353 47	4126 47	3922 47	3738 47	3569 47
.40N	6288 47	5853 47	5475 47	5143 47	4849 47	4588 47	4353 47	4141 47	3948 47	3773 47
.30N	6615 47	6168 47	5778 47	5434 47	5129 47	4857 47	4613 47	4391 47	4190 47	4007 47
.20N	6997 47	6534 47	6129 47	5772 47	5455 47	5170 47	4914 47	4682 47	4471 47	4279 47
.10N	7447 47	6966 47	6543 47	6170 47	5837 47	5538 47	5268 47	5024 47	4801 47	4597 47
.00	7986 47	7482 47	7038 47	6644 47	6292 47	5976 47	5690 47	5431 47	5194 47	4977 47
.10	8645 47	8110 47	7639 47	7220 47	6845 47	6507 47	6202 47	5924 47	5670 47	5437 47
.20	9466 47	8892 47	8386 47	7935 47	7530 47	7166 47	6835 47	6534 47	6259 47	6005 47
.30	1052 48	9893 47	9339 47	8846 47	8403 47	8003 47	7640 47	7310 47	7006 47	6728 47
.40	1191 48	1121 48	1059 48	1004 48	9552 47	9105 47	8699 47	8329 47	7989 47	7677 47
.50	1386 48	1305 48	1234 48	1170 48	1113 48	1062 48	1015 48	9730 47	9339 47	8980 47
.60	1674 48	1576 48	1491 48	1414 48	1346 48	1285 48	1229 48	1178 48	1131 48	1088 48
.62	1748 48	1647 48	1557 48	1478 48	1406 48	1342 48	1284 48	1231 48	1182 48	1137 48
.64	1831 48	1724 48	1631 48	1547 48	1473 48	1406 48	1345 48	1289 48	1239 48	1192 48
.66	1923 48	1811 48	1712 48	1625 48	1547 48	1476 48	1413 48	1354 48	1301 48	1252 48
.68	2025 48	1907 48	1803 48	1711 48	1629 48	1555 48	1488 48	1427 48	1371 48	1319 48
.70	2139 48	2015 48	1905 48	1808 48	1722 48	1643 48	1573 48	1508 48	1449 48	1395 48
.72	2268 48	2136 48	2021 48	1918 48	1826 48	1743 48	1668 48	1600 48	1537 48	1480 48
.74	2414 48	2275 48	2152 48	2043 48	1945 48	1857 48	1777 48	1705 48	1638 48	1577 48
.76	2582 48	2433 48	2302 48	2186 48	2081 48	1987 48	1902 48	1825 48	1754 48	1689 48
.78	2774 48	2616 48	2476 48	2351 48	2240 48	2139 48	2048 48	1965 48	1889 48	1818 48
.80	2999 48	2829 48	2679 48	2545 48	2425 48	2317 48	2218 48	2129 48	2047 48	1971 48
.82	3262 48	3080 48	2919 48	2775 48	2645 48	2528 48	2422 48	2325 48	2235 48	2154 48
.84	3575 48	3380 48	3206 48	3050 48	2910 48	2783 48	2667 48	2561 48	2464 48	2375 48
.86	3952 48	3742 48	3555 48	3386 48	3234 48	3095 48	2969 48	2853 48	2747 48	2648 48
.88	4411 48	4187 48	3986 48	3804 48	3638 48	3487 48	3348 48	3221 48	3103 48	2995 48
.90	4981 48	4744 48	4529 48	4333 48	4153 48	3989 48	3837 48	3697 48	3567 48	3446 48
.91	5319 48	5077 48	4855 48	4653 48	4467 48	4296 48	4137 48	3990 48	3854 48	3727 48
.92	5701 48	5455 48	5229 48	5021 48	4829 48	4651 48	4486 48	4332 48	4189 48	4056 48
.93	6135 48	5887 48	5658 48	5446 48	5249 48	5066 48	4895 48	4736 48	4586 48	4446 48
.94	6631 48	6385 48	6156 48	5942 48	5743 48	5556 48	5381 48	5216 48	5061 48	4915 48
.95	7202 48	6963 48	6738 48	6527 48	6328 48	6141 48	5964 48	5797 48	5638 48	5488 48
.96	7864 48	7639 48	7425 48	7223 48	7030 48	6847 48	6673 48	6508 48	6350 48	6199 48
.97	8637 48	8437 48	8244 48	8060 48	7883 48	7714 48	7551 48	7394 48	7243 48	7098 48
.98	9549 48	9388 48	9232 48	9081 48	8935 48	8793 48	8654 48	8520 48	8390 48	8263 48
.99	1063 49	1053 49	1044 49	1034 49	1025 49	1016 49	1007 49	9984 48	9897 48	9811 48
1.00	1193 49	1193 49	1193 49	1193 49	1193 49	1193 49	1193 49	1193 49	1193 49	1193 49

Compton Cross Section vs. Angle of Scattered Quantum

$w$ \ $\gamma$	11.0		12.0		13.0		14.0		15.0		16.0		17.0		18.0		19.0		20.0	
1.0 ON	2599	47	2391	47	2213	47	2060	47	1927	47	1810	47	1706	47	1614	47	1531	47	1456	47
.9 ON	2707	47	2492	47	2308	47	2150	47	2012	47	1891	47	1783	47	1687	47	1601	47	1523	47
.8 ON	2826	47	2603	47	2414	47	2249	47	2106	47	1980	47	1869	47	1769	47	1679	47	1598	47
.7 ON	2958	47	2728	47	2531	47	2360	47	2212	47	2080	47	1964	47	1860	47	1766	47	1681	47
.6 ON	3107	47	2868	47	2663	47	2485	47	2330	47	2192	47	2071	47	1962	47	1863	47	1775	47
.5 ON	3275	47	3025	47	2811	47	2625	47	2463	47	2319	47	2191	47	2077	47	1974	47	1880	47
.4 ON	3466	47	3205	47	2980	47	2785	47	2614	47	2463	47	2328	47	2208	47	2099	47	2000	47
.3 ON	3685	47	3411	47	3175	47	2969	47	2789	47	2629	47	2486	47	2358	47	2243	47	2139	47
.2 ON	3939	47	3650	47	3400	47	3182	47	2991	47	2821	47	2669	47	2533	47	2410	47	2299	47
.1 ON	4238	47	3930	47	3665	47	3433	47	3228	47	3047	47	2885	47	2739	47	2607	47	2488	47
.00	4593	47	4265	47	3980	47	3731	47	3511	47	3316	47	3141	47	2984	47	2842	47	2713	47
.10	5024	47	4669	47	4362	47	4092	47	3854	47	3642	47	3452	47	3281	47	3127	47	2986	47
.20	5556	47	5170	47	4834	47	4539	47	4279	47	4046	47	3838	47	3650	47	3479	47	3324	47
.30	6233	47	5806	47	5434	47	5107	47	4818	47	4560	47	4328	47	4118	47	3928	47	3755	47
.40	7121	47	6641	47	6222	47	5853	47	5526	47	5234	47	4971	47	4734	47	4518	47	4321	47
.50	8339	47	7786	47	7303	47	6877	47	6499	47	6160	47	5856	47	5580	47	5329	47	5100	47
.60	1012	48	9460	47	8883	47	8373	47	7920	47	7515	47	7149	47	6818	47	6517	47	6241	47
.62	1058	48	9893	47	9291	47	8760	47	8287	47	7865	47	7483	47	7138	47	6824	47	6536	47
.64	1108	48	1036	48	9741	47	9186	47	8692	47	8250	47	7852	47	7491	47	7163	47	6862	47
.66	1165	48	1089	48	1023	48	9658	47	9141	47	8678	47	8261	47	7883	47	7538	47	7223	47
.68	1228	48	1148	48	1079	48	1018	48	9642	47	9155	47	8717	47	8319	47	7957	47	7626	47
.70	1298	48	1214	48	1141	48	1077	48	1020	48	9691	47	9229	47	8810	47	8428	47	8078	47
.72	1378	48	1289	48	1212	48	1144	48	1083	48	1029	48	9807	47	9364	47	8960	47	8590	47
.74	1468	48	1374	48	1292	48	1220	48	1156	48	1098	48	1046	48	9996	47	9567	47	9174	47
.76	1573	48	1472	48	1385	48	1308	48	1239	48	1178	48	1122	48	1072	48	1026	48	9846	47
.78	1694	48	1586	48	1493	48	1410	48	1336	48	1270	48	1211	48	1157	48	1108	48	1062	48
.80	1837	48	1721	48	1619	48	1530	48	1451	48	1379	48	1315	48	1257	48	1204	48	1155	48
.82	2008	48	1882	48	1771	48	1674	48	1588	48	1510	48	1440	48	1377	48	1319	48	1266	48
.84	2215	48	2077	48	1956	48	1850	48	1755	48	1670	48	1593	48	1523	48	1460	48	1401	48
.86	2473	48	2320	48	2187	48	2069	48	1963	48	1869	48	1784	48	1706	48	1636	48	1571	48
.88	2800	48	2630	48	2481	48	2349	48	2231	48	2125	48	2030	48	1943	48	1863	48	1790	48
.90	3229	48	3039	48	2871	48	2721	48	2587	48	2467	48	2358	48	2258	48	2167	48	2084	48
.91	3497	48	3295	48	3116	48	2957	48	2813	48	2684	48	2567	48	2460	48	2362	48	2272	48
.92	3813	48	3599	48	3408	48	3237	48	3083	48	2944	48	2818	48	2702	48	2596	48	2499	48
.93	4190	48	3963	48	3760	48	3577	48	3412	48	3262	48	3125	48	3000	48	2884	48	2778	48
.94	4648	48	4408	48	4191	48	3996	48	3818	48	3656	48	3508	48	3372	48	3246	48	3129	48
.95	5211	48	4959	48	4732	48	4524	48	4334	48	4159	48	3998	48	3850	48	3712	48	3584	48
.96	5917	48	5660	48	5423	48	5205	48	5004	48	4818	48	4645	48	4484	48	4334	48	4194	48
.97	6824	48	6570	48	6333	48	6112	48	5906	48	5712	48	5531	48	5360	48	5200	48	5049	48
.98	8020	48	7789	48	7571	48	7364	48	7167	48	6980	48	6802	48	6633	48	6471	48	6317	48
.99	9644	48	9482	48	9325	48	9172	48	9024	48	8880	48	8740	48	8605	48	8473	48	8344	48
1.00	1193	49	1193	49	1193	49	1193	49	1193	49	1193	49	1193	49	1193	49	1193	49	1193	49

Compton Cross Section vs. Angle of Scattered Quantum

$\gamma$ w	2 2.0	2 4.0	2 6.0	2 8.0	3 0.0	3 2.0	3 4.0	3 6.0	3 8.0	4 0.0
1.00 N	1326 47	1218 47	1126 47	1047 47	9786 46	9184 46	8651 46	8177 46	7752 46	7369 46
.90 N	1389 47	1276 47	1180 47	1097 47	1025 47	9630 46	9073 46	8578 46	8133 46	7733 46
.80 N	1457 47	1339 47	1239 47	1153 47	1078 47	1012 47	9542 46	9022 46	8557 46	8136 46
.70 N	1534 47	1411 47	1306 47	1215 47	1136 47	1067 47	1006 47	9519 46	9029 46	8587 46
.60 N	1620 47	1491 47	1380 47	1285 47	1202 47	1129 47	1065 47	1007 47	9559 46	9093 46
.50 N	1718 47	1581 47	1465 47	1364 47	1276 47	1199 47	1131 47	1070 47	1016 47	9666 46
.40 N	1829 47	1684 47	1561 47	1454 47	1361 47	1279 47	1207 47	1142 47	1084 47	1031 47
.30 N	1956 47	1802 47	1671 47	1558 47	1459 47	1371 47	1294 47	1225 47	1163 47	1107 47
.20 N	2104 47	1940 47	1800 47	1678 47	1572 47	1478 47	1395 47	1321 47	1254 47	1194 47
.10 N	2279 47	2102 47	1951 47	1820 47	1705 47	1604 47	1515 47	1435 47	1362 47	1297 47
.00	2487 47	2295 47	2131 47	1989 47	1865 47	1755 47	1657 47	1570 47	1492 47	1421 47
.10	2739 47	2530 47	2350 47	2195 47	2058 47	1938 47	1831 47	1735 47	1649 47	1571 47
.20	3052 47	2821 47	2622 47	2450 47	2299 47	2165 47	2047 47	1940 47	1844 47	1757 47
.30	3450 47	3192 47	2969 47	2776 47	2606 47	2456 47	2322 47	2202 47	2093 47	1995 47
.40	3975 47	3680 47	3426 47	3205 47	3011 47	2838 47	2685 47	2547 47	2423 47	2310 47
.50	4697 47	4353 47	4056 47	3797 47	3569 47	3368 47	3187 47	3025 47	2879 47	2746 47
.60	5755 47	5340 47	4981 47	4668 47	4392 47	4146 47	3927 47	3730 47	3552 47	3390 47
.62	6029 47	5596 47	5221 47	4894 47	4605 47	4349 47	4120 47	3913 47	3727 47	3558 47
.64	6332 47	5878 47	5486 47	5143 47	4841 47	4572 47	4332 47	4116 47	3920 47	3743 47
.66	6667 47	6191 47	5780 47	5420 47	5102 47	4820 47	4568 47	4341 47	4135 47	3949 47
.68	7041 47	6541 47	6108 47	5729 47	5395 47	5097 47	4832 47	4592 47	4376 47	4179 47
.70	7462 47	6933 47	6476 47	6076 47	5723 47	5409 47	5128 47	4875 47	4646 47	4438 47
.72	7937 47	7378 47	6893 47	6470 47	6095 47	5762 47	5464 47	5196 47	4953 47	4731 47
.74	8480 47	7885 47	7370 47	6919 47	6521 47	6166 47	5849 47	5563 47	5303 47	5067 47
.76	9105 47	8470 47	7919 47	7437 47	7011 47	6632 47	6292 47	5986 47	5708 47	5456 47
.78	9834 47	9152 47	8560 47	8042 47	7584 47	7176 47	6810 47	6481 47	6182 47	5910 47
.80	1069 48	9957 47	9317 47	8757 47	8261 47	7820 47	7424 47	7067 47	6743 47	6448 47
.82	1172 48	1092 48	1022 48	9616 47	9075 47	8594 47	8162 47	7772 47	7418 47	7095 47
.84	1299 48	1210 48	1134 48	1066 48	1007 48	9543 47	9067 47	8637 47	8247 47	7891 47
.86	1457 48	1359 48	1273 48	1198 48	1132 48	1073 48	1020 48	9726 47	9290 47	8893 47
.88	1661 48	1550 48	1454 48	1370 48	1295 48	1228 48	1168 48	1113 48	1064 48	1017 48
.90	1936 48	1809 48	1698 48	1600 48	1514 48	1437 48	1367 48	1305 48	1248 48	1195 48
.91	2112 48	1975 48	1855 48	1749 48	1655 48	1572 48	1496 48	1428 48	1366 48	1310 48
.92	2325 48	2176 48	2045 48	1930 48	1827 48	1736 48	1654 48	1579 48	1511 48	1449 48
.93	2588 48	2424 48	2281 48	2154 48	2041 48	1940 48	1849 48	1767 48	1692 48	1623 48
.94	2921 48	2740 48	2581 48	2440 48	2314 48	2202 48	2100 48	2008 48	1924 48	1847 48
.95	3354 48	3153 48	2975 48	2817 48	2676 48	2548 48	2433 48	2329 48	2233 48	2145 48
.96	3940 48	3715 48	3516 48	3337 48	3176 48	3031 48	2898 48	2778 48	2667 48	2565 48
.97	4772 48	4523 48	4299 48	4097 48	3913 48	3745 48	3592 48	3451 48	3320 48	3200 48
.98	6029 48	5765 48	5523 48	5300 48	5094 48	4904 48	4727 48	4562 48	4409 48	4266 48
.99	8099 48	7866 48	7645 48	7436 48	7237 48	7048 48	6868 48	6696 48	6533 48	6377 48
1.00	1193 49	1193 49	1193 49	1193 49	1193 49	1193 49	1193 49	1193 49	1193 49	1193 49

Compton Cross Section vs. Angle of Scattered Quantum

$\gamma$ w	42.0		44.0		46.0		48.0		50.0	
1.00 N	7022	46	6706	46	6418	46	6153	46	5909	46
.90 N	7370	46	7039	46	6737	46	6460	46	6205	46
.80 N	7756	46	7409	46	7092	46	6801	46	6533	46
.70 N	8187	46	7822	46	7488	46	7182	46	6899	46
.60 N	8670	46	8285	46	7933	46	7609	46	7311	46
.50 N	9218	46	8810	46	8436	46	8093	46	7776	46
.40 N	9843	46	9408	46	9010	46	8645	46	8308	46
.30 N	1056	47	1009	47	9672	46	9280	46	8920	46
.20 N	1139	47	1089	47	1044	47	1002	47	9632	46
.10 N	1238	47	1184	47	1134	47	1089	47	1047	47
.00	1356	47	1297	47	1243	47	1193	47	1147	47
.10	1499	47	1435	47	1375	47	1320	47	1270	47
.20	1678	47	1606	47	1539	47	1478	47	1422	47
.30	1906	47	1824	47	1750	47	1681	47	1617	47
.40	2208	47	2114	47	2028	47	1948	47	1875	47
.50	2625	47	2515	47	2413	47	2319	47	2232	47
.60	3243	47	3107	47	2983	47	2868	47	2761	47
.62	3403	47	3261	47	3131	47	3011	47	2899	47
.64	3581	47	3432	47	3295	47	3169	47	3052	47
.66	3778	47	3621	47	3478	47	3345	47	3221	47
.68	3999	47	3834	47	3682	47	3541	47	3411	47
.70	4247	47	4072	47	3912	47	3763	47	3625	47
.72	4529	47	4343	47	4173	47	4015	47	3868	47
.74	4852	47	4654	47	4471	47	4303	47	4147	47
.76	5225	47	5012	47	4817	47	4636	47	4469	47
.78	5661	47	5432	47	5221	47	5026	47	4845	47
.80	6177	47	5929	47	5701	47	5489	47	5293	47
.82	6800	47	6529	47	6279	47	6047	47	5832	47
.84	7565	47	7266	47	6989	47	6733	47	6496	47
.86	8529	47	8195	47	7886	47	7599	47	7334	47
.88	9783	47	9403	47	9052	47	8727	47	8425	47
.90	1148	48	1104	48	1063	48	1025	48	9908	47
.91	1258	48	1210	48	1166	48	1125	48	1087	48
.92	1392	48	1340	48	1291	48	1246	48	1204	48
.93	1560	48	1502	48	1448	48	1398	48	1351	48
.94	1776	48	1710	48	1650	48	1594	48	1541	48
.95	2065	48	1990	48	1921	48	1856	48	1796	48
.96	2471	48	2384	48	2304	48	2228	48	2158	48
.97	3088	48	2984	48	2888	48	2797	48	2712	48
.98	4131	48	4005	48	3887	48	3776	48	3671	48
.99	6228	48	6086	48	5949	48	5819	48	5694	48
1.00	1193	49	1193	49	1193	49	1193	49	1193	49

Compton Cross Section vs. Energy of Scattered Quantum

$\gamma'$ \ $\gamma$	0.1	0.2	0.3	0.4	0.5	0.6	0.7	0.8	0.9
900 48	3837 51								
100 49	7500 51								
150 49		1432 51							
160 49		1042 51							
170 49		9752 50							
180 49		1133 51							
190 49		1448 51	8653 50						
200 49		1875 51	6712 50						
210 49			5467 50						
220 49			4758 50						
230 49			4463 50	4764 50					
240 49			4490 50	4010 50					
250 49			4768 50	3457 50	3750 50				
260 49			5241 50	3066 50	3238 50				
270 49			5864 50	2807 50	2830 50				
280 49			6605 50	2657 50	2508 50	2529 50			
290 49			7435 50	2594 50	2257 50	2253 50			
300 49			8333 50	2604 50	2066 50	2025 50	1974 50		
310 49				2673 50	1925 50	1838 50	1788 50	1711 50	
320 49				2790 50	1827 50	1685 50	1629 50	1561 50	
330 49				2947 50	1764 50	1562 50	1495 50	1432 50	1360 50
340 49				3137 50	1731 50	1465 50	1383 50	1321 50	1256 50
350 49				3354 50	1723 50	1389 50	1288 50	1225 50	1165 50
360 49				3592 50	1737 50	1332 50	1209 50	1143 50	1085 50
370 49				3847 50	1769 50	1291 50	1144 50	1072 50	1015 50
380 49				4117 50	1817 50	1264 50	1091 50	1011 50	9544 49
390 49				4398 50	1878 50	1248 50	1048 50	9594 49	9010 49
400 49				4687 50	1950 50	1244 50	1015 50	9155 49	8544 49
410 49					2031 50	1248 50	9896 49	8785 49	8139 49
420 49					2120 50	1260 50	9711 49	8477 49	7788 49
430 49					2216 50	1279 50	9587 49	8224 49	7485 49
440 49					2317 50	1304 50	9518 49	8019 49	7224 49
450 49					2424 50	1334 50	9497 49	7857 49	7001 49
460 49					2534 50	1368 50	9518 49	7733 49	6812 49
470 49					2647 50	1406 50	9576 49	7644 49	6654 49
480 49					2762 50	1448 50	9667 49	7584 49	6523 49
490 49					2880 50	1492 50	9787 49	7552 49	6417 49
500 49					3000 50	1539 50	9933 49	7543 49	6332 49
510 49						1588 50	1010 50	7557 49	6268 49
520 49						1638 50	1028 50	7589 49	6221 49
530 49						1691 50	1049 50	7639 49	6191 49
540 49						1744 50	1071 50	7705 49	6175 49
550 49						1799 50	1095 50	7784 49	6172 49

Compton Cross Section vs. Energy of Scattered Quantum

$\gamma' \backslash \gamma$	0.1	0.2	0.3	0.4	0.5	0.6	0.7	0.8	0.9
560 49						1855 50	1119 50	7875 49	6181 49
570 49						1911 50	1145 50	7978 49	6201 49
580 49						1968 50	1172 50	8090 49	6231 49
590 49						2025 50	1199 50	8212 49	6269 49
600 49						2083 50	1227 50	8341 49	6315 49
610 49							1256 50	8477 49	6369 49
620 49							1285 50	8620 49	6429 49
630 49							1315 50	8768 49	6495 49
640 49							1345 50	8921 49	6566 49
650 49							1375 50	9079 49	6642 49
660 49							1406 50	9240 49	6722 49
670 49							1437 50	9405 49	6807 49
680 49							1468 50	9573 49	6895 49
690 49							1499 50	9744 49	6986 49
700 49							1530 50	9917 49	7080 49
720 49								1026 50	7275 49
740 49								1062 50	7479 49
760 49								1098 50	7690 49
780 49								1135 50	7906 49
800 49								1171 50	8126 49
820 49									8350 49
840 49									8575 49
860 49									8802 49
880 49									9030 49
900 49									9259 49

Compton Cross Section vs. Energy of Scattered Quantum

$\gamma'$ \ $\gamma$	1.0	1.1	1.2	1.3	1.4	1.5	1.6	1.7	1.8	1.9
335 49	1233 50									
340 49	1187 50									
345 49	1144 50	1078 50								
350 49	1103 50	1041 50								
355 49	1064 50	1005 50	9488 49							
360 49	1028 50	9723 49	9180 49							
365 49	9944 49	9407 49	8889 49	8397 49						
370 49	9624 49	9108 49	8612 49	8142 49	7700 49					
375 49	9322 49	8826 49	8351 49	7900 49	7477 49	7083 49				
380 49	9039 49	8560 49	8103 49	7670 49	7264 49	6886 49				
385 49	8772 49	8308 49	7868 49	7452 49	7062 49	6698 49	6360 49			
390 49	8521 49	8070 49	7645 49	7245 49	6869 49	6519 49	6193 49	5891 49		
395 49	8284 49	7845 49	7434 49	7047 49	6685 49	6348 49	6034 49	5743 49	5473 49	
400 49	8062 49	7632 49	7233 49	6860 49	6510 49	6185 49	5882 49	5601 49	5340 49	5098 49
410 49	7656 49	7241 49	6862 49	6511 49	6185 49	5880 49	5597 49	5334 49	5090 49	4864 49
420 49	7297 49	6891 49	6528 49	6196 49	5888 49	5602 49	5337 49	5090 49	4861 49	4648 49
430 49	6980 49	6578 49	6227 49	5910 49	5618 49	5348 49	5098 49	4866 49	4650 49	4449 49
440 49	6701 49	6298 49	5955 49	5650 49	5372 49	5116 49	4879 49	4659 49	4455 49	4266 49
450 49	6456 49	6048 49	5710 49	5414 49	5147 49	4903 49	4677 49	4469 49	4275 49	4096 49
460 49	6240 49	5825 49	5489 49	5200 49	4942 49	4708 49	4492 49	4294 49	4109 49	3938 49
470 49	6052 49	5626 49	5290 49	5005 49	4755 49	4528 49	4322 49	4132 49	3956 49	3793 49
480 49	5888 49	5449 49	5110 49	4828 49	4583 49	4364 49	4165 49	3982 49	3813 49	3657 49
490 49	5746 49	5292 49	4948 49	4668 49	4426 49	4213 49	4020 49	3844 49	3681 49	3532 49
500 49	5625 49	5153 49	4803 49	4521 49	4283 49	4074 49	3886 49	3715 49	3559 49	3415 49
510 49	5521 49	5030 49	4672 49	4389 49	4152 49	3946 49	3762 49	3597 49	3445 49	3306 49
520 49	5433 49	4922 49	4554 49	4268 49	4031 49	3828 49	3648 49	3486 49	3339 49	3204 49
530 49	5361 49	4827 49	4449 49	4159 49	3921 49	3719 49	3542 49	3384 49	3241 49	3109 49
540 49	5301 49	4745 49	4355 49	4059 49	3821 49	3620 49	3445 49	3289 49	3149 49	3021 49
550 49	5254 49	4674 49	4271 49	3969 49	3729 49	3528 49	3354 49	3201 49	3063 49	2938 49
560 49	5218 49	4613 49	4197 49	3888 49	3644 49	3443 49	3270 49	3119 49	2984 49	2861 49
570 49	5192 49	4561 49	4131 49	3815 49	3568 49	3365 49	3193 49	3043 49	2909 49	2789 49
580 49	5175 49	4518 49	4073 49	3749 49	3497 49	3293 49	3121 49	2972 49	2840 49	2721 49
590 49	5167 49	4483 49	4022 49	3689 49	3433 49	3227 49	3054 49	2906 49	2775 49	2658 49
600 49	5166 49	4455 49	3978 49	3636 49	3375 49	3166 49	2993 49	2844 49	2714 49	2599 49
610 49	5172 49	4433 49	3940 49	3588 49	3322 49	3110 49	2936 49	2787 49	2658 49	2543 49
620 49	5185 49	4418 49	3908 49	3546 49	3273 49	3059 49	2883 49	2734 49	2605 49	2491 49
630 49	5203 49	4407 49	3880 49	3508 49	3230 49	3012 49	2834 49	2684 49	2555 49	2442 49
640 49	5227 49	4402 49	3858 49	3475 49	3190 49	2968 49	2788 49	2638 49	2509 49	2396 49
650 49	5255 49	4402 49	3840 49	3446 49	3155 49	2929 49	2746 49	2595 49	2466 49	2353 49
660 49	5288 49	4406 49	3826 49	3421 49	3123 49	2892 49	2708 49	2555 49	2425 49	2312 49
670 49	5325 49	4414 49	3816 49	3399 49	3094 49	2859 49	2672 49	2518 49	2387 49	2274 49
680 49	5365 49	4425 49	3809 49	3381 49	3068 49	2829 49	2639 49	2483 49	2351 49	2238 49
690 49	5409 49	4440 49	3806 49	3366 49	3046 49	2801 49	2608 49	2451 49	2318 49	2205 49
700 49	5456 49	4458 49	3805 49	3354 49	3026 49	2777 49	2580 49	2421 49	2287 49	2173 49

Compton Cross Section vs. Energy of Scattered Quantum

$\gamma'$ \ $\gamma$	1.0	1.1	1.2	1.3	1.4	1.5	1.6	1.7	1.8	1.9
750 49	5729 49	4586 49	3841 49	3328 49	2960 49	2685 49	2471 49	2300 49	2159 49	2041 49
800 49	6046 49	4762 49	3924 49	3350 49	2940 49	2636 49	2403 49	2218 49	2069 49	1945 49
850 49	6392 49	4969 49	4040 49	3405 49	2953 49	2619 49	2365 49	2166 49	2006 49	1875 49
900 49	6754 49	5197 49	4179 49	3483 49	2988 49	2625 49	2350 49	2135 49	1964 49	1825 49
950 49	7125 49	5439 49	4334 49	3578 49	3042 49	2648 49	2351 49	2121 49	1939 49	1791 49
100 50	7500 49	5688 49	4499 49	3685 49	3108 49	2685 49	2366 49	2120 49	1926 49	1769 49
105 50		5942 49	4671 49	3801 49	3183 49	2731 49	2391 49	2129 49	1922 49	1757 49
110 50		6198 49	4848 49	3922 49	3265 49	2784 49	2423 49	2145 49	1927 49	1752 49
115 50			5027 49	4048 49	3352 49	2843 49	2462 49	2168 49	1938 49	1754 49
120 50			5208 49	4176 49	3443 49	2907 49	2504 49	2196 49	1954 49	1760 49
125 50				4306 49	3537 49	2974 49	2551 49	2227 49	1973 49	1771 49
130 50				4437 49	3632 49	3043 49	2600 49	2261 49	1996 49	1785 49
135 50					3729 49	3114 49	2652 49	2298 49	2022 49	1802 49
140 50					3826 49	3186 49	2705 49	2337 49	2050 49	1821 49
145 50						3259 49	2760 49	2378 49	2079 49	1842 49
150 50						3333 49	2816 49	2419 49	2110 49	1864 49
155 50							2872 49	2462 49	2142 49	1888 49
160 50							2929 49	2506 49	2175 49	1913 49
165 50								2550 49	2209 49	1939 49
170 50								2595 49	2244 49	1965 49
175 50									2279 49	1992 49
180 50									2314 49	2020 49
185 50										2048 49
190 50										2077 49



Compton Cross Section vs. Energy of Scattered Quantum

$\gamma' \backslash \gamma$		2.0	2.5	3.0	3.5	$\gamma' \backslash \gamma$		4.0	4.5	5.0	5.5
400	49	4875	49								
410	49	4654	49								
420	49	4451	49	3649	49						
430	49	4263	49	3505	49	2960	49				
440	49	4089	49	3371	49	2853	49	2465	49		
450	49	3929	49	3246	49	2752	49	2382	49		
460	49	3779	49	3130	49	2659	49	2304	49	460	49
470	49	3641	49	3021	49	2571	49	2231	49	1813	49
480	49	3512	49	2920	49	2488	49	2162	49	1636	49
490	49	3392	49	2825	49	2410	49	2097	49	1543	49
500	49	3281	49	2736	49	2337	49	2036	49	1490	49
510	49	3177	49	2652	49	2269	49	1978	49	1461	49
520	49	3079	49	2573	49	2204	49	1924	49	1386	49
530	49	2988	49	2499	49	2143	49	1872	49	1333	49
540	49	2903	49	2429	49	2085	49	1823	49	1267	49
550	49	2824	49	2364	49	2030	49	1776	49	1206	49
560	49	2749	49	2302	49	1978	49	1732	49	1151	49
570	49	2679	49	2243	49	1929	49	1690	49	1101	49
580	49	2614	49	2188	49	1882	49	1650	49		
590	49	2552	49	2136	49	1838	49	1612	49		
600	49	2494	49	2086	49	1796	49	1576	49		
625	49	2364	49	1974	49	1699	49	1493	49	600	49
650	49	2253	49	1875	49	1614	49	1418	49	620	49
675	49	2157	49	1788	49	1538	49	1351	49	640	49
700	49	2073	49	1711	49	1470	49	1291	49	660	49
725	49	2002	49	1643	49	1409	49	1237	49	680	49
750	49	1940	49	1582	49	1354	49	1188	49	700	49
775	49	1886	49	1528	49	1304	49	1144	49	720	49
800	49	1839	49	1480	49	1259	49	1103	49	740	49
825	49	1799	49	1437	49	1219	49	1066	49	760	49
850	49	1764	49	1398	49	1182	49	1032	49	780	49
875	49	1735	49	1363	49	1148	49	1001	49	800	49
900	49	1709	49	1332	49	1117	49	9724	48	820	49
925	49	1687	49	1304	49	1089	49	9459	48	840	49
950	49	1669	49	1279	49	1063	49	9214	48	860	49
975	49	1653	49	1256	49	1040	49	8987	48	880	49
100	50	1640	49	1236	49	1018	49	8777	48	900	49
110	50	1610	49	1172	49	9474	48	8075	48	920	49
120	50	1604	49	1130	49	8958	48	7543	48	940	49
130	50	1614	49	1104	49	8580	48	7134	48	960	49
140	50	1636	49	1089	49	8303	48	6815	48	980	49
150	50	1666	49	1082	49	8101	48	6566	48	100	50
										110	50
										120	50
										130	50
										140	50
										150	50

Compton Cross Section vs. Energy of Scattered Quantum

$\gamma'$	$\gamma$	2.0	2.5	3.0	3.5	$\gamma'$	$\gamma$	4.0	4.5	5.0	5.5
160	50	1702 49	1081 49	7958 48	6370 48	160	50	5368 48	4675 48	4163 48	3766 48
170	50	1741 49	1085 49	7860 48	6217 48	170	50	5193 48	4494 48	3983 48	3590 48
180	50	1784 49	1093 49	7798 48	6097 48	180	50	5049 48	4341 48	3829 48	3440 48
190	50	1828 49	1103 49	7764 48	6005 48	190	50	4931 48	4212 48	3698 48	3309 48
200	50	1875 49	1116 49	7754 48	5935 48	200	50	4833 48	4103 48	3585 48	3196 48
210	50		1130 49	7763 48	5883 48						
220	50		1146 49	7788 48	5847 48						
230	50		1163 49	7826 48	5825 48						
240	50		1181 49	7876 48	5814 48						
250	50		1200 49	7935 48	5812 48	250	50	4564 48	3762 48	3210 48	2808 48
260	50			8002 48	5819 48						
270	50			8076 48	5833 48						
280	50			8157 48	5853 48						
290	50			8242 48	5879 48						
300	50			8333 48	5910 48	300	50	4508 48	3623 48	3026 48	2601 48
310	50				5946 48						
320	50				5985 48						
330	50				6027 48						
340	50				6073 48						
350	50				6122 48	350	50	4564 48	3593 48	2946 48	2492 48
						400	50	4687 48	3627 48	2928 48	2442 48
						450	50		3703 48	2950 48	2431 48
						500	50			3000 48	2445 48
						550	50				2479 48

Compton Cross Section vs. Energy of Scattered Quantum

$\gamma'$	$\gamma$	6.0	6.5	7.0	7.5	8.0	8.5	9.0	9.5
480	49	1293 49	1196 49	1112 49	1039 49	9752 48	9185 48	8679 48	8226 48
500	49	1226 49	1135 49	1056 49	9878 48	9274 48	8739 48	8261 48	7833 48
520	49	1166 49	1080 49	1005 49	9410 48	8839 48	8333 48	7881 48	7476 48
540	49	1111 49	1030 49	9599 48	8984 48	8443 48	7963 48	7534 48	7149 48
560	49	1061 49	9845 48	9178 48	8595 48	8081 48	7624 48	7217 48	6850 48
580	49	1015 49	9427 48	8793 48	8238 48	7748 48	7313 48	6924 48	6574 48
600	49	9739 48	9043 48	8438 48	7909 48	7442 48	7026 48	6655 48	6320 48
620	49	9354 48	8689 48	8112 48	7606 48	7159 48	6761 48	6405 48	6085 48
640	49	8998 48	8362 48	7809 48	7325 48	6897 48	6516 48	6174 48	5867 48
660	49	8669 48	8059 48	7529 48	7064 48	6653 48	6287 48	5959 48	5664 48
680	49	8363 48	7778 48	7269 48	6822 48	6427 48	6075 48	5759 48	5474 48
700	49	8079 48	7516 48	7026 48	6596 48	6215 48	5876 48	5572 48	5297 48
720	49	7815 48	7272 48	6800 48	6385 48	6018 48	5690 48	5396 48	5131 48
740	49	7568 48	7044 48	6588 48	6187 48	5832 48	5516 48	5232 48	4976 48
760	49	7337 48	6830 48	6389 48	6002 48	5658 48	5352 48	5077 48	4830 48
780	49	7120 48	6629 48	6202 48	5827 48	5495 48	5198 48	4932 48	4692 48
800	49	6916 48	6441 48	6027 48	5663 48	5341 48	5053 48	4795 48	4562 48
820	49	6725 48	6263 48	5861 48	5508 48	5195 48	4916 48	4665 48	4439 48
840	49	6545 48	6096 48	5705 48	5362 48	5058 48	4787 48	4543 48	4323 48
860	49	6375 48	5938 48	5558 48	5224 48	4928 48	4664 48	4427 48	4213 48
880	49	6214 48	5788 48	5418 48	5093 48	4805 48	4548 48	4317 48	4109 48
900	49	6062 48	5647 48	5286 48	4969 48	4688 48	4437 48	4212 48	4009 48
920	49	5918 48	5512 48	5160 48	4851 48	4577 48	4333 48	4113 48	3915 48
940	49	5781 48	5385 48	5041 48	4739 48	4471 48	4233 48	4019 48	3825 48
960	49	5651 48	5264 48	4927 48	4632 48	4371 48	4138 48	3928 48	3739 48
980	49	5528 48	5149 48	4819 48	4530 48	4275 48	4047 48	3842 48	3658 48
100	50	5410 48	5039 48	4716 48	4434 48	4183 48	3960 48	3760 48	3580 48
110	50	4900 48	4560 48	4266 48	4010 48	3783 48	3581 48	3400 48	3237 48
120	50	4490 48	4175 48	3903 48	3666 48	3458 48	3272 48	3106 48	2957 48
130	50	4156 48	3859 48	3604 48	3383 48	3189 48	3017 48	2863 48	2724 48
140	50	3878 48	3595 48	3354 48	3146 48	2963 48	2802 48	2658 48	2528 48
150	50	3645 48	3374 48	3143 48	2945 48	2772 48	2619 48	2483 48	2361 48
160	50	3447 48	3184 48	2963 48	2772 48	2607 48	2461 48	2332 48	2217 48
170	50	3278 48	3022 48	2807 48	2623 48	2464 48	2325 48	2202 48	2091 48
180	50	3132 48	2881 48	2671 48	2493 48	2340 48	2205 48	2087 48	1981 48
190	50	3004 48	2757 48	2552 48	2379 48	2230 48	2100 48	1986 48	1884 48
200	50	2893 48	2649 48	2448 48	2278 48	2133 48	2006 48	1896 48	1797 48
250	50	2504 48	2265 48	2073 48	1914 48	1780 48	1665 48	1566 48	1479 48
300	50	2285 48	2042 48	1849 48	1693 48	1563 48	1454 48	1360 48	1279 48
350	50	2160 48	1907 48	1710 48	1551 48	1422 48	1314 48	1222 48	1144 48
400	50	2090 48	1826 48	1621 48	1459 48	1327 48	1218 48	1127 48	1050 48
450	50	2057 48	1779 48	1565 48	1397 48	1262 48	1152 48	1060 48	9825 47

Compton Cross Section vs. Energy of Scattered Quantum

$\gamma'$ \ $\gamma$	6.0	6.5	7.0	7.5	8.0	8.5	9.0	9.5
500 50	2049 48	1756 48	1533 48	1358 48	1219 48	1105 48	1011 48	9331 47
550 50	2059 48	1751 48	1516 48	1334 48	1190 48	1073 48	9773 47	8970 47
600 50	2083 48	1758 48	1512 48	1322 48	1172 48	1052 48	9530 47	8708 47
650 50		1775 48	1518 48	1319 48	1163 48	1038 48	9366 47	8521 47
700 50			1530 48	1323 48	1161 48	1031 48	9263 47	8394 47
750 50				1333 48	1164 48	1030 48	9210 47	8313 47
800 50					1171 48	1032 48	9195 47	8270 47
850 50						1038 48	9214 47	8259 47
900 50							9259 47	8273 47
950 50								8310 47

## Compton Cross Section vs. Energy of Scattered Quantum

$\gamma'$ \ $\gamma$	1 0.0	1 1.0	1 2.0	1 3.0	1 4.0	1 5.0	1 6.0	1 7.0	1 8.0	1 9.0
500 49	7447 48	6778 48	6219 48	5744 48	5337 48	4984 48	4674 48	4400 48	4157 48	3939 48
550 49	6657 48	6067 48	5573 48	5154 48	4793 48	4479 48	4203 48	3959 48	3742 48	3548 48
600 49	6017 48	5491 48	5049 48	4673 48	4348 48	4066 48	3818 48	3599 48	3403 48	3228 48
650 49	5490 48	5015 48	4615 48	4274 48	3980 48	3723 48	3498 48	3298 48	3120 48	2960 48
700 49	5048 48	4615 48	4250 48	3938 48	3669 48	3434 48	3227 48	3044 48	2881 48	2734 48
750 49	4673 48	4274 48	3938 48	3651 48	3403 48	3186 48	2996 48	2826 48	2675 48	2539 48
800 49	4350 48	3981 48	3670 48	3404 48	3173 48	2972 48	2795 48	2638 48	2497 48	2371 48
850 49	4070 48	3726 48	3436 48	3188 48	2973 48	2785 48	2620 48	2473 48	2342 48	2224 48
900 49	3825 48	3503 48	3231 48	2998 48	2797 48	2621 48	2466 48	2328 48	2205 48	2094 48
950 49	3608 48	3305 48	3049 48	2830 48	2641 48	2475 48	2329 48	2199 48	2083 48	1978 48
100 50	3416 48	3129 48	2888 48	2681 48	2501 48	2345 48	2206 48	2084 48	1974 48	1875 48
105 50	3243 48	2972 48	2743 48	2546 48	2376 48	2228 48	2097 48	1980 48	1876 48	1782 48
110 50	3089 48	2830 48	2612 48	2425 48	2263 48	2122 48	1997 48	1886 48	1787 48	1698 48
115 50	2948 48	2702 48	2493 48	2315 48	2161 48	2026 48	1907 48	1801 48	1707 48	1622 48
120 50	2821 48	2585 48	2386 48	2215 48	2068 48	1939 48	1825 48	1724 48	1633 48	1552 48
125 50	2705 48	2478 48	2287 48	2124 48	1982 48	1859 48	1750 48	1653 48	1566 48	1488 48
130 50	2599 48	2381 48	2197 48	2040 48	1904 48	1785 48	1680 48	1587 48	1504 48	1429 48
135 50	2501 48	2291 48	2114 48	1962 48	1832 48	1717 48	1617 48	1527 48	1447 48	1375 48
140 50	2411 48	2208 48	2037 48	1891 48	1765 48	1655 48	1558 48	1471 48	1394 48	1325 48
145 50	2328 48	2131 48	1966 48	1825 48	1703 48	1597 48	1503 48	1420 48	1345 48	1278 48
150 50	2251 48	2060 48	1900 48	1764 48	1646 48	1543 48	1452 48	1372 48	1300 48	1235 48
155 50	2180 48	1994 48	1839 48	1706 48	1592 48	1493 48	1405 48	1327 48	1257 48	1195 48
160 50	2113 48	1933 48	1782 48	1653 48	1542 48	1446 48	1361 48	1285 48	1218 48	1157 48
165 50	2051 48	1875 48	1728 48	1603 48	1496 48	1402 48	1319 48	1246 48	1180 48	1122 48
170 50	1992 48	1821 48	1678 48	1556 48	1452 48	1360 48	1280 48	1209 48	1145 48	1088 48
175 50	1938 48	1771 48	1631 48	1513 48	1411 48	1322 48	1244 48	1174 48	1113 48	1057 48
180 50	1886 48	1723 48	1587 48	1471 48	1372 48	1285 48	1209 48	1142 48	1082 48	1028 48
185 50	1835 48	1678 48	1545 48	1432 48	1335 48	1251 48	1177 48	1111 48	1052 48	1000 48
190 50	1793 48	1636 48	1506 48	1396 48	1301 48	1218 48	1146 48	1082 48	1025 48	9740 47
195 50	1750 48	1596 48	1469 48	1361 48	1268 48	1188 48	1117 48	1055 48	9992 47	9491 47
200 50	1710 48	1559 48	1434 48	1328 48	1237 48	1159 48	1090 48	1028 48	9745 47	9256 47
250 50	1403 48	1272 48	1165 48	1076 48	1000 48	9351 47	8781 47	8279 47	7834 47	7435 47
300 50	1207 48	1088 48	9923 47	9135 47	8467 47	7896 47	7401 47	6967 47	6583 47	6241 47
350 50	1076 48	9636 47	8740 47	8009 47	7399 47	6881 47	6435 47	6047 47	5705 47	5402 47
400 50	9534 47	8742 47	7884 47	7192 47	6620 47	6139 47	5727 47	5371 47	5059 47	4783 47
450 50	9150 47	8085 47	7247 47	6580 47	6033 47	5577 47	5189 47	4856 47	4565 47	4309 47
500 50	8662 47	7587 47	6762 47	6110 47	5580 47	5140 47	4770 47	4452 47	4177 47	3937 47
550 50	8292 47	7210 47	6387 47	5742 47	5222 47	4794 47	4436 47	4130 47	3867 47	3638 47
600 50	8016 47	6920 47	6094 47	5451 47	4937 47	4516 47	4166 47	3869 47	3615 47	3394 47
650 50	7715 47	6694 47	5863 47	5219 47	4706 47	4290 47	3945 47	3654 47	3406 47	3192 47
700 50	7667 47	6528 47	5682 47	5032 47	4519 47	4104 47	3763 47	3476 47	3233 47	3023 47
750 50	7566 47	6401 47	5540 47	4883 47	4366 47	3951 47	3611 47	3327 47	3086 47	2860 47
800 50	7502 47	6307 47	5429 47	4763 47	4242 47	3825 47	3484 47	3201 47	2963 47	2759 47
850 50	7468 47	6241 47	5348 47	4687 47	4140 47	3720 47	3378 47	3095 47	2858 47	2656 47
900 50	7458 47	6199 47	5282 47	4592 47	4057 47	3632 47	3289 47	3005 47	2768 47	2567 47
950 50	7470 47	6176 47	5232 47	4533 47	3990 47	3560 47	3214 47	2929 47	2691 47	2490 47

Compton Cross Section vs. Energy of Scattered Quantum

$\gamma'$ \ $\gamma$	10.0	11.0	12.0	13.0	14.0	15.0	16.0	17.0	18.0	19.0
100 51	7500 47	6170 47	5209 47	4490 47	3937 47	3501 47	3151 47	2864 47	2625 47	2424 47
110 51		6198 47								
120 51			5203 47	4423 47	3826 47	3361 47	2991 47	2691 47	2444 47	2238 47
130 51				4437 47						
140 51					3826 47	3325 47	2929 47	2611 47	2351 47	2136 47
150 51						3333 47				
160 51							2929 47	2590 47	2314 47	2087 47
170 51								2595 47		
180 51									2314 47	2074 47
190 51										2077 47
1 0 51										

Compton Cross Section vs. Energy of Scattered Quantum

$\gamma'$	$\gamma$	20.0	22.0	24.0	26.0	28.0	30.0	32.0	34.0	36.0	38.0
500	49	3743 48	3403 48	3121 48	2881 48	2676 48	2497 48	2342 48	2204 48	2082 48	1972 48
550	49	3373 48	3069 48	2816 48	2601 48	2417 48	2257 48	2117 48	1993 48	1883 48	1784 48
600	49	3069 48	2795 48	2566 48	2371 48	2204 48	2059 48	1931 48	1819 48	1719 48	1629 48
650	49	2816 48	2566 48	2356 48	2178 48	2025 48	1892 48	1776 48	1673 48	1581 48	1499 48
700	49	2601 48	2371 48	2178 48	2014 48	1874 48	1751 48	1644 48	1549 48	1464 48	1388 48
750	49	2417 48	2204 48	2025 48	1874 48	1743 48	1629 48	1530 48	1441 48	1363 48	1292 48
800	49	2257 48	2059 48	1893 48	1751 48	1629 48	1523 48	1430 48	1348 48	1275 48	1209 48
850	49	2117 48	1932 48	1776 48	1644 48	1530 48	1430 48	1343 48	1266 48	1197 48	1136 48
900	49	1994 48	1819 48	1673 48	1549 48	1442 48	1348 48	1266 48	1194 48	1129 48	1071 48
950	49	1884 48	1720 48	1582 48	1464 48	1363 48	1275 48	1198 48	1129 48	1068 48	1013 48
100	50	1786 48	1630 48	1500 48	1389 48	1293 48	1209 48	1136 48	1071 48	1013 48	9615 47
105	50	1697 48	1550 48	1426 48	1320 48	1229 48	1150 48	1080 48	1019 48	9641 47	9147 47
110	50	1617 48	1477 48	1359 48	1258 48	1172 48	1096 48	1030 48	9717 47	9193 47	8722 47
115	50	1545 48	1411 48	1298 48	1202 48	1120 48	1048 48	9846 47	9285 47	8785 47	8335 47
120	50	1478 48	1350 48	1243 48	1151 48	1072 48	1003 48	9427 47	8890 47	8411 47	7981 47
125	50	1417 48	1295 48	1192 48	1104 48	1028 48	9623 47	9042 47	8528 47	8069 47	7656 47
130	50	1362 48	1244 48	1145 48	1060 48	9880 47	9245 47	8688 47	8194 47	7753 47	7357 47
135	50	1310 48	1197 48	1101 48	1020 48	9506 47	8897 47	8360 47	7885 47	7461 47	7080 47
140	50	1262 48	1153 48	1061 48	9835 47	9161 47	8573 47	8057 47	7599 47	7190 47	6824 47
145	50	1218 48	1112 48	1024 48	9490 47	8840 47	8273 47	7775 47	7333 47	6939 47	6585 47
150	50	1177 48	1075 48	9897 47	9169 47	8541 47	7993 47	7512 47	7085 47	6704 47	6363 47
155	50	1138 48	1040 48	9574 47	8869 47	8261 47	7732 47	7266 47	6854 47	6485 47	6155 47
160	50	1102 48	1007 48	9271 47	8588 47	8000 47	7487 47	7036 47	6637 47	6280 47	5960 47
165	50	1068 48	9763 47	8986 47	8325 47	7755 47	7258 47	6821 47	6433 47	6088 47	5778 47
170	50	1037 48	9473 47	8720 47	8078 47	7524 47	7042 47	6618 47	6242 47	5907 47	5606 47
175	50	1007 48	9201 47	8468 47	7845 47	7307 47	6839 47	6427 47	6062 47	5737 47	5445 47
180	50	9792 47	8944 47	8232 47	7625 47	7103 47	6647 47	6247 47	5893 47	5576 47	5292 47
185	50	9527 47	8701 47	8008 47	7418 47	6909 47	6466 47	6077 47	5732 47	5424 47	5148 47
190	50	9277 47	8472 47	7797 47	7222 47	6727 47	6295 47	5916 47	5580 47	5281 47	5012 47
195	50	9039 47	8254 47	7596 47	7036 47	6553 47	6133 47	5764 47	5436 47	5144 47	4882 47
200	50	8814 47	8048 47	7406 47	6860 47	6389 47	5979 47	5619 47	5300 47	5015 47	4760 47
250	50	7075 47	6454 47	5934 47	5493 47	5114 47	4785 47	4495 47	4239 47	4011 47	3806 47
300	50	5934 47	5405 47	4965 47	4592 47	4273 47	3995 47	3752 47	3537 47	3346 47	3174 47
350	50	5131 47	4665 47	4280 47	3955 47	3677 47	3436 47	3225 47	3039 47	2874 47	2726 47
400	50	4537 47	4117 47	3771 47	3481 47	3233 47	3019 47	2832 47	2668 47	2522 47	2391 47
450	50	4082 47	3696 47	3380 47	3115 47	2891 47	2697 47	2529 47	2380 47	2249 47	2131 47
500	50	3724 47	3364 47	3070 47	2826 47	2619 47	2442 47	2287 47	2152 47	2032 47	1925 47
550	50	3436 47	3095 47	2820 47	2592 47	2399 47	2234 47	2091 47	1966 47	1855 47	1757 47
600	50	3200 47	2875 47	2614 47	2398 47	2217 47	2062 47	1929 47	1812 47	1709 47	1617 47
650	50	3004 47	2692 47	2442 47	2236 47	2065 47	1918 47	1792 47	1683 47	1586 47	1500 47
700	50	2840 47	2538 47	2296 47	2100 47	1935 47	1796 47	1677 47	1572 47	1481 47	1400 47
750	50	2701 47	2406 47	2172 47	1982 47	1825 47	1691 47	1577 47	1478 47	1391 47	1314 47
800	50	2583 47	2294 47	2066 47	1881 47	1729 47	1600 47	1490 47	1395 47	1312 47	1239 47
850	50	2481 47	2196 47	1973 47	1793 47	1645 47	1521 47	1415 47	1323 47	1244 47	1173 47
900	50	2394 47	2112 47	1892 47	1716 47	1572 47	1451 47	1348 47	1260 47	1183 47	1115 47
950	50	2318 47	2038 47	1822 47	1649 47	1507 47	1389 47	1290 47	1204 47	1129 47	1064 47

## Compton Cross Section vs. Energy of Scattered Quantum

$\gamma'$	$\gamma$	20.0	22.0	24.0	26.0	28.0	30.0	32.0	34.0	36.0	38.0
100	51	2252 47	1974 47	1760 47	1589 47	1450 47	1335 47	1237 47	1154 47	1081 47	1018 47
120	51	2063 47	1785 47	1574 47	1409 47	1276 47	1167 47	1076 47	9995 46	9332 46	8756 46
140	51	1955 47	1670 47	1457 47	1292 47	1162 47	1056 47	9684 46	8947 46	8318 46	7776 46
160	51	1898 47	1602 47	1383 47	1216 47	1085 47	9795 46	8929 46	8208 46	7598 46	7076 46
180	51	1875 47	1565 47	1338 47	1166 47	1032 47	9261 46	8394 46	7677 46	7075 46	6562 46
200	51	1875 47	1549 47	1312 47	1135 47	9977 46	8890 46	8012 46	7290 46	6688 46	6179 46
220	51		1549 47	1302 47	1117 47	9753 46	8636 46	7741 46	7009 46	6401 46	5890 46
240	51			1302 47	1109 47	9623 46	8472 46	7553 46	6806 46	6189 46	5672 46
260	51				1109 47	9566 46	8376 46	7430 46	6664 46	6034 46	5509 46
280	51					9566 46	8333 46	7356 46	6569 46	5925 46	5389 46
300	51						8333 46	7324 46	6513 46	5851 46	5303 46
320	51							7324 46	6487 46	5807 46	5245 46
340	51								6487 46	5787 46	5210 46
360	51									5787 46	5193 46
380	51										5193 46



Compton Cross Section vs. Energy of Scattered Quantum

$\gamma'$	$\gamma$	4 0.0	4 2.0	4 4.0	4 6.0	4 8.0	5 0.0
500	49	1874 48	1784 48	1703 48	1629 48	1561 48	1499 48
550	49	1696 48	1615 48	1542 48	1475 48	1414 48	1358 48
600	49	1549 48	1475 48	1409 48	1348 48	1292 48	1241 48
650	49	1425 48	1353 48	1297 48	1241 48	1190 48	1143 48
700	49	1320 48	1258 48	1201 48	1150 48	1102 48	1059 48
750	49	1229 48	1171 48	1119 48	1071 48	1027 48	9866 47
800	49	1150 48	1096 48	1047 48	1002 48	9614 47	9235 47
850	49	1080 48	1030 48	9841 47	9421 47	9035 47	8679 47
900	49	1018 48	9714 47	9281 47	8885 47	8522 47	8187 47
950	49	9639 47	9190 47	8781 47	8407 47	8064 47	7747 47
100	50	9146 47	8731 47	8333 47	7978 47	7653 47	7353 47
105	50	8701 47	8297 47	7928 47	7591 47	7282 47	6996 47
110	50	8297 47	7912 47	7561 47	7240 47	6945 47	6673 47
115	50	7930 47	7562 47	7226 47	6920 47	6638 47	6378 47
120	50	7593 47	7241 47	6920 47	6627 47	6357 47	6108 47
125	50	7284 47	6947 47	6639 47	6358 47	6099 47	5861 47
130	50	7000 47	6675 47	6380 47	6109 47	5861 47	5632 47
135	50	6736 47	6425 47	6140 47	5880 47	5641 47	5421 47
140	50	6492 47	6192 47	5918 47	5667 47	5437 47	5225 47
145	50	6265 47	5976 47	5711 47	5470 47	5247 47	5043 47
150	50	6054 47	5774 47	5519 47	5285 47	5071 47	4873 47
155	50	5856 47	5586 47	5339 47	5113 47	4905 47	4714 47
160	50	5671 47	5409 47	5170 47	4951 47	4750 47	4565 47
165	50	5498 47	5244 47	5012 47	4800 47	4605 47	4426 47
170	50	5335 47	5088 47	4863 47	4658 47	4469 47	4294 47
175	50	5181 47	4941 47	4723 47	4523 47	4340 47	4171 47
180	50	5036 47	4803 47	4591 47	4397 47	4218 47	4054 47
185	50	4899 47	4672 47	4466 47	4277 47	4104 47	3944 47
190	50	4769 47	4548 47	4348 47	4164 47	3995 47	3839 47
195	50	4646 47	4431 47	4235 47	4056 47	3892 47	3740 47
200	50	4529 47	4320 47	4129 47	3954 47	3794 47	3646 47
250	50	3621 47	3454 47	3301 47	3161 47	3033 47	2915 47
300	50	3020 47	2880 47	2752 47	2635 47	2528 47	2429 47
350	50	2592 47	2471 47	2361 47	2261 47	2169 47	2084 47
400	50	2273 47	2167 47	2070 47	1981 47	1900 47	1825 47
450	50	2026 47	1930 47	1844 47	1764 47	1692 47	1625 47
500	50	1829 47	1742 47	1663 47	1592 47	1526 47	1465 47
550	50	1669 47	1589 47	1517 47	1451 47	1390 47	1335 47
600	50	1535 47	1462 47	1395 47	1334 47	1278 47	1227 47
650	50	1423 47	1354 47	1292 47	1235 47	1183 47	1135 47
700	50	1328 47	1263 47	1204 47	1151 47	1102 47	1057 47
750	50	1245 47	1184 47	1128 47	1078 47	1032 47	9904 46
800	50	1174 47	1115 47	1062 47	1015 47	9715 46	9316 46
850	50	1111 47	1055 47	1005 47	9594 46	9179 46	8799 46
900	50	1055 47	1002 47	9538 46	9102 46	8705 46	8342 46
950	50	1006 47	9547 46	9082 46	8663 46	8282 46	7934 46

## Compton Cross Section vs. Energy of Scattered Quantum

$\gamma'$ \ $\gamma$	40.0	42.0	44.0	46.0	48.0	50.0
100 51	9622 46	9123 46	8675 46	8270 46	7904 46	7569 46
120 51	8250 46	7802 46	7402 46	7044 46	6720 46	6426 46
140 51	7304 46	6888 46	6519 46	6190 46	5894 46	5626 46
160 51	6624 46	6228 46	5880 46	5570 46	5292 46	5042 46
180 51	6121 46	5738 46	5402 46	5104 46	4839 46	4601 46
200 51	5743 46	5366 46	5037 46	4747 46	4490 46	4261 46
220 51	5455 46	5080 46	4755 46	4470 46	4217 46	3993 46
240 51	5235 46	4859 46	4534 46	4251 46	4001 46	3780 46
260 51	5066 46	4688 46	4362 46	4078 46	3829 46	3609 46
280 51	4938 46	4555 46	4226 46	3941 46	3691 46	3471 46
300 51	4843 46	4454 46	4120 46	3832 46	3580 46	3360 46
320 51	4775 46	4378 46	4039 46	3746 46	3492 46	3270 46
340 51	4728 46	4323 46	3977 46	3680 46	3422 46	3197 46
360 51	4700 46	4285 46	3932 46	3630 46	3368 46	3140 46
380 51	4687 46	4262 46	3901 46	3593 46	3326 46	3094 46
400 51	4687 46	4251 46	3882 46	3567 46	3295 46	3060 46
420 51		4251 46	3873 46	3551 46	3274 46	3034 46
440 51			3873 46	3544 46	3261 46	3016 46
460 51				3544 46	3255 46	3005 46
480 51					3255 46	3000 46
500 51						3000 46

Compton Cross Section vs. Angle of Scattered Electron

$w' \gamma$	0.0		0.1		0.2		0.3		0.4		0.5		0.6		0.7		0.8		0.9	
1.000	4 774	49	4 078	49	3 708	49	3 506	49	3 401	49	3 357	49	3 351	49	3 373	49	3 415	49	3 470	49
.990	4 542	49	3 848	49	3 466	49	3 245	49	3 116	49	3 043	49	3 005	49	2 991	49	2 994	49	3 008	49
.980	4 323	49	3 633	49	3 244	49	3 010	49	2 864	49	2 771	49	2 711	49	2 673	49	2 650	49	2 638	49
.970	4 116	49	3 434	49	3 042	49	2 799	49	2 642	49	2 535	49	2 460	49	2 407	49	2 368	49	2 339	49
.960	3 921	49	3 249	49	2 857	49	2 610	49	2 446	49	2 330	49	2 247	49	2 184	49	2 136	49	2 097	49
.950	3 737	49	3 077	49	2 689	49	2 441	49	2 273	49	2 153	49	2 064	49	1 996	49	1 943	49	1 899	49
.940	3 564	49	2 919	49	2 536	49	2 289	49	2 120	49	1 999	49	1 908	49	1 838	49	1 783	49	1 737	49
.930	3 402	49	2 772	49	2 396	49	2 153	49	1 986	49	1 865	49	1 775	49	1 705	49	1 649	49	1 603	49
.920	3 250	49	2 637	49	2 270	49	2 032	49	1 868	49	1 749	49	1 661	49	1 592	49	1 537	49	1 492	49
.910	3 107	49	2 512	49	2 155	49	1 923	49	1 764	49	1 649	49	1 563	49	1 496	49	1 443	49	1 400	49
.900	2 974	49	2 397	49	2 051	49	1 827	49	1 672	49	1 561	49	1 478	49	1 414	49	1 364	49	1 322	49
.880	2 733	49	2 195	49	1 872	49	1 664	49	1 522	49	1 420	49	1 344	49	1 286	49	1 240	49	1 202	49
.860	2 524	49	2 025	49	1 728	49	1 536	49	1 406	49	1 314	49	1 245	49	1 192	49	1 150	49	1 115	49
.840	2 344	49	1 884	49	1 611	49	1 436	49	1 318	49	1 234	49	1 172	49	1 123	49	1 084	49	1 051	49
.820	2 190	49	1 768	49	1 518	49	1 359	49	1 251	49	1 174	49	1 117	49	1 072	49	1 034	49	1 002	49
.800	2 059	49	1 673	49	1 444	49	1 299	49	1 201	49	1 130	49	1 076	49	1 032	49	996	48	964	48
.750	1 818	49	1 509	49	1 325	49	1 206	49	1 123	49	1 060	49	1 010	49	967	48	929	48	894	48
.700	1 671	49	1 420	49	1 266	49	1 161	49	1 084	49	1 021	49	969	48	922	48	880	48	841	48
.650	1 589	49	1 376	49	1 238	49	1 138	49	1 059	49	992	48	935	48	883	48	835	48	792	48
.600	1 544	49	1 354	49	1 221	49	1 118	49	1 034	49	962	48	898	48	841	48	789	48	742	48
.550	1 517	49	1 336	49	1 202	49	1 094	49	1 003	49	925	48	856	48	794	48	739	48	689	48
.500	1 492	49	1 311	49	1 172	49	1 058	49	961	48	878	48	805	48	742	48	685	48	634	48
.450	1 454	49	1 271	49	1 126	49	1 007	49	907	48	821	48	747	48	683	48	626	48	577	48
.400	1 396	49	1 211	49	1 063	49	942	48	841	48	755	48	682	48	619	48	564	48	517	48
.350	1 311	49	1 127	49	980	48	861	48	763	48	680	48	610	48	551	48	499	48	455	48
.300	1 197	49	1 020	49	879	48	766	48	674	48	597	48	533	48	478	48	432	48	392	48
.250	1 053	49	889	48	761	48	659	48	576	48	508	48	451	48	403	48	362	48	328	48
.200	881	48	738	48	628	48	540	48	470	48	412	48	365	48	325	48	291	48	263	48
.150	684	48	570	48	482	48	413	48	358	48	313	48	276	48	245	48	219	48	197	48
.100	468	48	388	48	327	48	279	48	241	48	210	48	185	48	164	48	147	48	132	48
.050	237	48	196	48	165	48	140	48	121	48	105	48	93	47	82	47	73	47	66	47
.000	0000	00	0000	00	0000	00	0000	00	0000	00	0000	00	0000	00	0000	00	0000	00	0000	00

Compton Cross Section vs. Angle of Scattered Electron

$w' \gamma$	1.0	1.1	1.2	1.3	1.4	1.5	1.6	1.7	1.8	1.9
1.000	3536 49	3611 49	3692 49	3778 49	3869 49	3963 49	4060 49	4159 49	4261 49	4364 49
.990	3029 49	3056 49	3087 49	3121 49	3156 49	3192 49	3228 49	3264 49	3300 49	3335 49
.980	2632 49	2631 49	2633 49	2637 49	2642 49	2648 49	2655 49	2661 49	2667 49	2672 49
.970	2317 49	2300 49	2286 49	2274 49	2264 49	2255 49	2246 49	2238 49	2230 49	2222 49
.960	2066 49	2039 49	2017 49	1997 49	1979 49	1962 49	1947 49	1932 49	1918 49	1905 49
.950	1863 49	1832 49	1806 49	1782 49	1760 49	1741 49	1722 49	1705 49	1688 49	1672 49
.940	1699 49	1666 49	1638 49	1613 49	1590 49	1569 49	1550 49	1531 49	1514 49	1497 49
.930	1565 49	1532 49	1504 49	1478 49	1455 49	1434 49	1415 49	1396 49	1378 49	1361 49
.920	1455 49	1423 49	1395 49	1370 49	1347 49	1326 49	1307 49	1288 49	1271 49	1254 49
.910	1363 49	1332 49	1305 49	1281 49	1259 49	1239 49	1220 49	1201 49	1184 49	1167 49
.900	1287 49	1258 49	1231 49	1208 49	1186 49	1166 49	1147 49	1129 49	1112 49	1095 49
.880	1170 49	1142 49	1118 49	1095 49	1074 49	1055 49	1036 49	1018 49	1000 49	9831 48
.860	1085 49	1059 49	1035 49	1013 49	9926 48	9727 48	9534 48	9348 48	9165 48	8986 48
.840	1022 49	9969 48	9730 48	9506 48	9293 48	9087 48	8887 48	8693 48	8503 48	8316 48
.820	9742 48	9481 48	9237 48	9005 48	8782 48	8567 48	8358 48	8155 48	7956 48	7762 48
.800	9354 48	9085 48	8831 48	8588 48	8354 48	8128 48	7909 48	7696 48	7489 48	7288 48
.750	8624 48	8321 48	8032 48	7757 48	7493 48	7239 48	6996 48	6762 48	6538 48	6322 48
.700	8048 48	7706 48	7383 48	7077 48	6787 48	6512 48	6252 48	6005 48	5770 48	5548 48
.650	7518 48	7142 48	6791 48	6464 48	6157 48	5870 48	5601 48	5349 48	5113 48	4890 48
.600	6989 48	6591 48	6224 48	5885 48	5572 48	5282 48	5013 48	4763 48	4531 48	4314 48
.550	6450 48	6041 48	5669 48	5329 48	5018 48	4733 48	4470 48	4229 48	4005 48	3799 48
.500	5895 48	5489 48	5122 48	4790 48	4489 48	4215 48	3965 48	3736 48	3526 48	3333 48
.450	5328 48	4934 48	4582 48	4266 48	3981 48	3724 48	3490 48	3278 48	3084 48	2907 48
.400	4750 48	4379 48	4049 48	3755 48	3492 48	3255 48	3042 48	2848 48	2673 48	2513 48
.350	4165 48	3824 48	3524 48	3257 48	3019 48	2807 48	2616 48	2443 48	2288 48	2146 48
.300	3575 48	3271 48	3005 48	2770 48	2561 48	2375 48	2208 48	2059 48	1924 48	1802 48
.250	2981 48	2721 48	2493 48	2292 48	2115 48	1958 48	1817 48	1691 48	1578 48	1475 48
.200	2386 48	2173 48	1987 48	1823 48	1679 48	1552 48	1438 48	1337 48	1246 48	1164 48
.150	1790 48	1627 48	1485 48	1361 48	1252 48	1156 48	1070 48	9939 47	9253 47	8636 47
.100	1193 48	1083 48	9882 47	9049 47	8316 47	7670 47	7095 47	6583 47	6125 47	5712 47
.050	5968 47	5414 47	4934 47	4515 47	4148 47	3823 47	3535 47	3279 47	3049 47	2843 47
.000	0000 00	0000 00	0000 00	0000 00	0000 00	0000 00	0000 00	0000 00	0000 00	0000 00

Compton Cross Section vs. Angle of Scattered Electron

$w' \gamma$	0.5	1.0	1.5	2.0	2.5	3.0	3.5	4.0	4.5	5.0
1.000	3357 49	3536 49	3963 49	4469 49	5009 49	5568 49	6137 49	6713 49	7293 49	7877 49
.998				4203 49	4631 49	5053 49	5458 49	5843 49	6205 49	6543 49
.996				3963 49	4301 49	4617 49	4904 49	5160 49	5384 49	5576 49
.994				3746 49	4010 49	4245 49	4445 49	4611 49	4744 49	4847 49
.992				3549 49	3753 49	3924 49	4060 49	4163 49	4235 49	4280 49
.990	3043 49	3029 49	3192 49	3369 49	3524 49	3646 49	3734 49	3791 49	3821 49	3828 49
.980	2771 49	2632 49	2648 49	2677 49	2688 49	2679 49	2652 49	2610 49	2557 49	2497 49
.970	2535 49	2317 49	2255 49	2214 49	2170 49	2118 49	2058 49	1992 49	1924 49	1853 49
.960	2330 49	2066 49	1962 49	1891 49	1825 49	1758 49	1688 49	1617 49	1547 49	1477 49
.950	2153 49	1863 49	1741 49	1657 49	1582 49	1510 49	1438 49	1367 49	1297 49	1231 49
.940	1999 49	1699 49	1569 49	1481 49	1403 49	1329 49	1257 49	1187 49	1120 49	1056 49
.930	1865 49	1565 49	1434 49	1345 49	1267 49	1192 49	1121 49	1052 49	9872 48	9262 48
.920	1749 49	1455 49	1326 49	1237 49	1159 49	1084 49	1013 49	9460 48	8830 48	8245 48
.910	1649 49	1363 49	1239 49	1150 49	1071 49	9971 48	9264 48	8602 48	7989 48	7427 48
.900	1561 49	1287 49	1166 49	1078 49	9992 48	9243 48	8540 48	7890 48	7294 48	6753 48
.890				1018 49	9378 48	8626 48	7928 48	7288 48	6708 48	6186 48
.880	1420 49	1170 49	1055 49	9661 48	8848 48	8093 48	7399 48	6771 48	6206 48	5701 48
.870				9209 48	8386 48	7627 48	6938 48	6320 48	5769 48	5280 48
.860	1314 49	1085 49	9727 48	8810 48	7976 48	7214 48	6530 48	5922 48	5385 48	4912 48
.850				8455 48	7609 48	6845 48	6166 48	5568 48	5044 48	4586 48
.840	1234 49	1022 49	9087 48	8134 48	7276 48	6511 48	5838 48	5250 48	4740 48	4295 48
.830				7842 48	6973 48	6207 48	5540 48	4963 48	4465 48	4034 48
.820	1174 49	9742 48	8567 48	7573 48	6695 48	5929 48	5268 48	4702 48	4216 48	3798 48
.810				7324 48	6437 48	5672 48	5019 48	4463 48	3989 48	3584 48
.800	1130 49	9354 48	8128 48	7092 48	6197 48	5435 48	4789 48	4243 48	3781 48	3388 48
.750	1060 49	8624 48	7239 48	6115 48	5201 48	4459 48	3857 48	3364 48	2957 48	2618 48
.700	1021 49	8048 48	6512 48	5337 48	4431 48	3727 48	3173 48	2731 48	2374 48	2082 48
.650	9929 48	7518 48	5870 48	4681 48	3806 48	3149 48	2645 48	2252 48	1939 48	1687 48
.600	9624 48	6989 48	5282 48	4112 48	3284 48	2679 48	2225 48	1876 48	1604 48	1386 48
.550	9251 48	6450 48	4733 48	3608 48	2837 48	2286 48	1881 48	1574 48	1336 48	1148 48
.500	8784 48	5895 48	4215 48	3155 48	2448 48	1953 48	1593 48	1324 48	1118 48	9571 47
.450	8219 48	5328 48	3724 48	2744 48	2104 48	1664 48	1349 48	1115 48	9372 47	7987 47
.400	7556 48	4750 48	3255 48	2367 48	1797 48	1411 48	1137 48	9355 47	7832 47	6652 47
.350	6806 48	4165 48	2807 48	2017 48	1519 48	1185 48	9505 47	7790 47	6500 47	5506 47
.300	5977 48	3575 48	2375 48	1691 48	1265 48	9817 47	7839 47	6403 47	5329 47	4503 47
.250	5081 48	2981 48	1958 48	1383 48	1028 48	7950 47	6326 47	5154 47	4280 47	3610 47
.200	4129 48	2386 48	1552 48	1089 48	8069 47	6214 47	4932 47	4010 47	3323 47	2800 47
.150	3135 48	1790 48	1156 48	8078 47	5960 47	4578 47	3626 47	2943 47	2436 47	2050 47
.100	2107 48	1193 48	7670 47	5340 47	3931 47	3014 47	2384 47	1932 47	1598 47	1344 47
.050	1059 48	5968 47	3823 47	2657 47	1953 47	1495 47	1182 47	9578 46	7917 46	6653 46
.000	0000 00	0000 00	0000 00	0000 00	0000 00	0000 00	0000 00	0000 00	0000 00	0000 00

Compton Cross Section vs. Angle of Scattered Electron.

$w' \gamma$	5.5	6.0	6.5	7.0	7.5	8.0	8.5	9.0	9.5	10.0
1.000	8463 49	9051 49	9640 49	1023 50	1082 50	1141 50	1200 50	1259 50	1319 50	1378 50
.998	6855 49	7142 49	7404 49	7641 49	7854 49	8044 49	8212 49	8359 49	8486 49	8594 49
.996	5738 49	5872 49	5980 49	6064 49	6127 49	6170 49	6196 49	6206 49	6204 49	6189 49
.994	4922 49	4972 49	5001 49	5011 49	5005 49	4986 49	4955 49	4915 49	4867 49	4812 49
.992	4302 49	4304 49	4289 49	4261 49	4222 49	4174 49	4118 49	4057 49	3992 49	3924 49
.990	3817 49	3790 49	3751 49	3702 49	3645 49	3583 49	3517 49	3448 49	3378 49	3306 49
.980	2431 49	2362 49	2291 49	2220 49	2150 49	2081 49	2013 49	1948 49	1884 49	1823 49
.970	1783 49	1713 49	1645 49	1580 49	1517 49	1456 49	1399 49	1344 49	1293 49	1244 49
.960	1410 49	1345 49	1283 49	1224 49	1168 49	1116 49	1067 49	1020 49	977 48	936 48
.950	1167 49	1107 49	1050 49	9976 48	9481 48	9018 48	8586 48	8184 48	7809 48	7459 48
.940	9967 48	9407 48	8886 48	8402 48	7954 48	7539 48	7154 48	6798 48	6467 48	6160 48
.930	8695 48	8171 48	7687 48	7242 48	6832 48	6454 48	6107 48	5786 48	5490 48	5217 48
.920	7707 48	7213 48	6761 48	6348 48	5970 48	5624 48	5306 48	5015 48	4747 48	4500 48
.910	6914 48	6448 48	6023 48	5637 48	5286 48	4966 48	4674 48	4407 48	4162 48	3937 48
.900	6263 48	5820 48	5419 48	5057 48	4729 48	4432 48	4161 48	3915 48	3690 48	3484 48
.890	5716 48	5294 48	4915 48	4574 48	4267 48	3989 48	3737 48	3509 48	3300 48	3110 48
.880	5250 48	4847 48	4488 48	4165 48	3876 48	3616 48	3380 48	3168 48	2974 48	2798 48
.870	4847 48	4462 48	4120 48	3815 48	3542 48	3297 48	3076 48	2877 48	2697 48	2533 48
.860	4495 48	4126 48	3800 48	3511 48	3252 48	3022 48	2814 48	2628 48	2459 48	2306 48
.850	4184 48	3831 48	3520 48	3244 48	3000 48	2781 48	2586 48	2411 48	2253 48	2110 48
.840	3908 48	3569 48	3271 48	3009 48	2777 48	2570 48	2386 48	2221 48	2072 48	1938 48
.830	3660 48	3335 48	3050 48	2800 48	2579 48	2383 48	2209 48	2053 48	1913 48	1787 48
.820	3437 48	3124 48	2852 48	2613 48	2403 48	2217 48	2052 48	1904 48	1772 48	1653 48
.810	3235 48	2934 48	2673 48	2445 48	2244 48	2068 48	1911 48	1771 48	1646 48	1534 48
.800	3051 48	2762 48	2511 48	2293 48	2101 48	1933 48	1784 48	1652 48	1534 48	1428 48
.750	2334 48	2093 48	1887 48	1710 48	1557 48	1424 48	1307 48	1203 48	1112 48	1030 48
.700	1840 48	1638 48	1467 48	1322 48	1197 48	1089 48	9954 47	9130 47	8405 47	7762 47
.650	1481 48	1310 48	1168 48	1047 48	9443 47	8557 47	7791 47	7123 47	6538 47	6022 47
.600	1210 48	1065 48	9450 47	8439 47	7583 47	6850 47	6219 47	5671 47	5192 47	4772 47
.550	9980 47	8750 47	7733 47	6884 47	6168 47	5557 47	5033 47	4580 47	4185 47	3840 47
.500	8281 47	7235 47	6375 47	5660 47	5059 47	4548 47	4111 47	3735 47	3407 47	3121 47
.450	6887 47	6000 47	5274 47	4671 47	4167 47	3740 47	3375 47	3061 47	2789 47	2552 47
.400	5720 47	4971 47	4360 47	3855 47	3433 47	3077 47	2773 47	2512 47	2287 47	2090 47
.350	4724 47	4097 47	3587 47	3167 47	2816 47	2521 47	2269 47	2054 47	1868 47	1706 47
.300	3856 47	3339 47	2919 47	2574 47	2286 47	2044 47	1839 47	1663 47	1511 47	1379 47
.250	3086 47	2669 47	2331 47	2053 47	1822 47	1628 47	1463 47	1322 47	1201 47	1095 47
.200	2390 47	2065 47	1801 47	1585 47	1406 47	1255 47	1128 47	1019 47	9251 46	8435 46
.150	1749 47	1509 47	1316 47	1157 47	1026 47	9159 46	8225 46	7426 46	6739 46	6143 46
.100	1145 47	9884 46	8614 46	7573 46	6710 46	5987 46	5375 46	4851 46	4401 46	4011 46
.050	5670 46	4889 46	4259 46	3744 46	3316 46	2958 46	2655 46	2396 46	2174 46	1981 46
.000	0000 00	0000 00	0000 00	0000 00	0000 00	0000 00	0000 00	0000 00	0000 00	0000 00

Compton Cross Section vs. Angle of Scattered Electron

$\gamma$ W'	1.20	1.40	1.60	1.80	2.00	2.20	2.40	2.60	2.80	3.00
1.000	1616 50	1854 50	2092 50	2330 50	2569 50	2807 50	3046 50	3284 50	3523 50	3762 50
.999	1148 50	1210 50	1251 50	1273 50	1281 50	1278 50	1266 50	1248 50	1226 50	1200 50
.998	8867 49	8933 49	8855 49	8680 49	8445 49	8174 49	7885 49	7590 49	7297 49	7011 49
.997	7196 49	7049 49	6819 49	6546 49	6255 49	5962 49	5675 49	5400 49	5140 49	4895 49
.996	6042 49	5804 49	5525 49	5233 49	4944 49	4667 49	4406 49	4163 49	3938 49	3730 49
.995	5197 49	4922 49	4631 49	4344 49	4072 49	3818 49	3584 49	3370 49	3175 49	2996 49
.994	4553 49	4265 49	3978 49	3704 49	3451 49	3220 49	3010 49	2820 49	2648 49	2492 49
.993	4047 49	3758 49	3480 49	3222 49	2988 49	2777 49	2587 49	2417 49	2264 49	2126 49
.992	3638 49	3354 49	3088 49	2846 49	2629 49	2436 49	2263 49	2109 49	1972 49	1849 49
.991	3302 49	3025 49	2772 49	2545 49	2344 49	2165 49	2007 49	1867 49	1743 49	1631 49
.990	3020 49	2753 49	2512 49	2299 49	2111 49	1946 49	1801 49	1672 49	1558 49	1456 49
.985	2104 49	1883 49	1694 49	1532 49	1393 49	1274 49	1170 49	1080 49	1001 49	9316 48
.980	1603 49	1418 49	1264 49	1134 49	1025 49	9326 48	8527 48	7836 48	7233 48	6703 48
.975	1288 49	1130 49	1000 49	8929 48	8029 48	7269 48	6620 48	6061 48	5576 48	5151 48
.970	1072 49	9345 48	8225 48	7306 48	6542 48	5900 48	5355 48	4887 48	4482 48	4128 48
.965	9156 48	7931 48	6947 48	6144 48	5481 48	4926 48	4456 48	4054 48	3708 48	3406 48
.960	7964 48	6863 48	5984 48	5272 48	4686 48	4198 48	3786 48	3435 48	3133 48	2872 48
.955	7028 48	6027 48	5234 48	4594 48	4070 48	3635 48	3269 48	2959 48	2692 48	2461 48
.950	6273 48	5355 48	4632 48	4052 48	3579 48	3187 48	2859 48	2581 48	2343 48	2138 48
.945	5651 48	4804 48	4141 48	3610 48	3179 48	2824 48	2527 48	2276 48	2061 48	1877 48
.940	5130 48	4344 48	3731 48	3243 48	2848 48	2523 48	2252 48	2024 48	1830 48	1663 48
.935	4687 48	3954 48	3385 48	2934 48	2569 48	2271 48	2023 48	1814 48	1637 48	1485 48
.930	4306 48	3620 48	3089 48	2669 48	2332 48	2056 48	1828 48	1636 48	1474 48	1335 48
.925	3975 48	3330 48	2833 48	2442 48	2128 48	1873 48	1661 48	1484 48	1335 48	1207 48
.920	3685 48	3076 48	2610 48	2244 48	1951 48	1713 48	1517 48	1353 48	1215 48	1097 48
.915	3428 48	2853 48	2413 48	2070 48	1796 48	1574 48	1391 48	1239 48	1111 48	1002 48
.910	3200 48	2655 48	2240 48	1917 48	1660 48	1452 48	1281 48	1139 48	1020 48	9193 47
.905	2996 48	2478 48	2085 48	1780 48	1539 48	1344 48	1184 48	1051 48	9406 47	8463 47
.900	2812 48	2319 48	1947 48	1659 48	1431 48	1248 48	1098 48	9739 47	8698 47	7817 47
.850	1655 48	1334 48	1098 48	9207 47	7829 47	6739 47	5863 47	5148 47	4557 47	4062 47
.800	1098 48	8706 47	7074 47	5861 47	4937 47	4215 47	3641 47	3177 47	2797 47	2481 47
.750	7806 47	6116 47	4922 47	4046 47	3385 47	2874 47	2471 47	2147 47	1882 47	1664 47
.700	5810 47	4512 47	3605 47	2946 47	2453 47	2074 47	1777 47	1539 47	1346 47	1187 47
.650	4466 47	3444 47	2737 47	2227 47	1847 47	1557 47	1330 47	1150 47	1003 47	8838 46
.600	3514 47	2695 47	2132 47	1729 47	1430 47	1202 47	1025 47	8848 46	7711 46	6780 46
.550	2811 47	2146 47	1692 47	1368 47	1129 47	9480 46	8070 46	6953 46	6053 46	5317 46
.500	2274 47	1730 47	1360 47	1097 47	9044 46	7579 46	6444 46	5546 46	4823 46	4233 46
.450	1852 47	1405 47	1102 47	8879 46	7304 46	6114 46	5193 46	4465 46	3880 46	3403 46
.400	1512 47	1144 47	8961 46	7207 46	5921 46	4951 46	4202 46	3610 46	3135 46	2748 46
.350	1230 47	9297 46	7269 46	5839 46	4793 46	4005 46	3396 46	2916 46	2531 46	2218 46
.300	9931 46	7489 46	5848 46	4693 46	3849 46	3214 46	2724 46	2338 46	2029 46	1777 46
.250	7874 46	5930 46	4626 46	3709 46	3040 46	2537 46	2150 46	1844 46	1600 46	1401 46
.200	6053 46	4554 46	3550 46	2845 46	2331 46	1944 46	1646 46	1412 46	1225 46	1072 46
.150	4403 46	3310 46	2579 46	2066 46	1692 46	1411 46	1194 46	1024 46	8884 45	7776 45
.100	2873 46	2159 46	1681 46	1346 46	1102 46	9192 45	7781 45	6672 45	5784 45	5062 45
.050	1418 46	1065 46	8297 45	6642 45	5437 45	4533 45	3837 45	3290 45	2851 45	2495 45
.000	0000 00	0000 00	0000 00	0000 00	0000 00	0000 00	0000 00	0000 00	0000 00	0000 00

## Compton Cross Section vs. Angle of Scattered Electron

$w' \gamma$	32.0		34.0		36.0		38.0		40.0		42.0		44.0		46.0		48.0		50.0	
1.000	4000	50	4239	50	4477	50	4716	50	4955	50	5193	50	5432	50	5671	50	5909	50	6148	50
.999	1173	50	1144	50	1114	50	1084	50	1055	50	1026	50	9980	49	9704	49	9436	49	9176	49
.998	6734	49	6470	49	6217	49	5978	49	5751	49	5537	49	5335	49	5144	49	4963	49	4793	49
.997	4665	49	4451	49	4251	49	4065	49	3891	49	3729	49	3579	49	3437	49	3305	49	3182	49
.996	3539	49	3362	49	3199	49	3049	49	2910	49	2782	49	2662	49	2551	49	2448	49	2352	49
.995	2833	49	2684	49	2547	49	2422	49	2307	49	2201	49	2102	49	2012	49	1927	49	1849	49
.994	2351	49	2223	49	2105	49	1998	49	1900	49	1810	49	1727	49	1650	49	1579	49	1513	49
.993	2002	49	1889	49	1787	49	1693	49	1608	49	1530	49	1458	49	1392	49	1331	49	1274	49
.992	1738	49	1637	49	1547	49	1464	49	1389	49	1320	49	1257	49	1199	49	1145	49	1096	49
.991	1531	49	1441	49	1360	49	1286	49	1219	49	1157	49	1101	49	1049	49	1002	49	9579	48
.990	1366	49	1284	49	1210	49	1143	49	1083	49	1027	49	9771	48	9305	48	8877	48	8480	48
.985	8695	48	8141	48	7644	48	7196	48	6791	48	6423	48	6087	48	5779	48	5497	48	5236	48
.980	6235	48	5819	48	5447	48	5113	48	4811	48	4537	48	4288	48	4061	48	3853	48	3661	48
.975	4777	48	4445	48	4150	48	3885	48	3646	48	3430	48	3234	48	3055	48	2892	48	2742	48
.970	3818	48	3544	48	3299	48	3081	48	2885	48	2708	48	2548	48	2402	48	2269	48	2147	48
.965	3142	48	2909	48	2702	48	2518	48	2353	48	2204	48	2069	48	1947	48	1835	48	1734	48
.960	2643	48	2441	48	2263	48	2104	48	1962	48	1834	48	1719	48	1615	48	1520	48	1433	48
.955	2260	48	2083	48	1927	48	1789	48	1665	48	1554	48	1454	48	1363	48	1281	48	1207	48
.950	1959	48	1802	48	1664	48	1542	48	1433	48	1335	48	1247	48	1168	48	1096	48	1031	48
.945	1717	48	1577	48	1453	48	1344	48	1247	48	1161	48	1083	48	1013	48	9500	47	8925	47
.940	1518	48	1392	48	1281	48	1184	48	1097	48	1019	48	9502	47	8877	47	8313	47	7802	47
.935	1354	48	1239	48	1139	48	1051	48	9727	47	9030	47	8405	47	7844	47	7338	47	6880	47
.930	1215	48	1111	48	1020	48	9398	47	8687	47	8056	47	7491	47	6984	47	6528	47	6115	47
.925	1097	48	1002	48	9188	47	8455	47	7808	47	7233	47	6720	47	6260	47	5846	47	5472	47
.920	9964	47	9087	47	8322	47	7650	47	7057	47	6532	47	6063	47	5643	47	5266	47	4926	47
.915	9088	47	8279	47	7574	47	6956	47	6411	47	5929	47	5499	47	5115	47	4769	47	4458	47
.910	8325	47	7576	47	6924	47	6353	47	5851	47	5406	47	5011	47	4657	47	4340	47	4054	47
.905	7656	47	6960	47	6355	47	5826	47	5361	47	4950	47	4585	47	4259	47	3966	47	3703	47
.900	7065	47	6416	47	5854	47	5363	47	4931	47	4550	47	4212	47	3910	47	3639	47	3396	47
.850	3644	47	3288	47	2981	47	2715	47	2484	47	2281	47	2102	47	1943	47	1802	47	1675	47
.800	2215	47	1990	47	1798	47	1633	47	1489	47	1363	47	1253	47	1155	47	1069	47	9923	46
.750	1482	47	1328	47	1197	47	1084	47	9871	46	9022	46	8278	46	7623	46	7042	46	6526	46
.700	1055	47	9438	46	8492	46	7681	46	6981	46	6373	46	5841	46	5373	46	4958	46	4591	46
.650	7841	46	7004	46	6294	46	5687	46	5163	46	4709	46	4312	46	3963	46	3655	46	3382	46
.600	6009	46	5361	46	4813	46	4345	46	3942	46	3593	46	3288	46	3020	46	2784	46	2574	46
.550	4707	46	4196	46	3765	46	3396	46	3079	46	2805	46	2566	46	2356	46	2170	46	2006	46
.500	3745	46	3336	46	2991	46	2697	46	2444	46	2226	46	2035	46	1868	46	1720	46	1590	46
.450	3009	46	2679	46	2401	46	2164	46	1960	46	1784	46	1631	46	1496	46	1378	46	1273	46
.400	2429	46	2162	46	1937	46	1745	46	1580	46	1438	46	1314	46	1205	46	1109	46	1025	46
.350	1959	46	1743	46	1561	46	1406	46	1273	46	1158	46	1058	46	9709	45	8937	45	8253	45
.300	1569	46	1396	46	1250	46	1125	46	1019	46	9269	45	8467	45	7764	45	7146	45	6599	45
.250	1237	46	1100	46	9849	45	8868	45	8027	45	7299	45	6667	45	6113	45	5625	45	5194	45
.200	9466	45	8418	45	7534	45	6783	45	6138	45	5582	45	5097	45	4674	45	4300	45	3970	45
.150	6863	45	6102	45	5461	45	4916	45	4448	45	4045	45	3693	45	3386	45	3115	45	2876	45
.100	4467	45	3972	45	3554	45	3199	45	2895	45	2632	45	2403	45	2203	45	2027	45	1871	45
.050	2202	45	1958	45	1752	45	1577	45	1426	45	1297	45	1184	45	1085	45	9990	44	9222	44
.000	0000	00	0000	00	0000	00	0000	00	0000	00	0000	00	0000	00	0000	00	0000	00	0000	00



Total Cross Section and Energies

$\gamma$	$\phi/\phi_0$	$E_q/\phi_0$	$E_e/\phi_0$	$E_q$	$E_e$	$F_q$	$F_e$
0 0 0 00	1 0 0 0 50	0 0 0 0 00	0 0 0 0 00	0 0 0 0 00	0 0 0 0 00	1 0 0 0 50	0 0 0 0 00
1 0 0 49	8 4 1 3 49	7 7 2 2 48	6 9 1 3 47	9 1 7 8 48	8 2 1 7 47	9 1 7 8 49	8 2 1 7 48
2 0 0 49	7 3 6 9 49	1 2 6 7 49	2 0 6 5 48	1 7 1 9 49	2 8 0 3 48	8 5 9 8 49	1 4 0 1 49
3 0 0 49	6 6 2 6 49	1 6 2 2 49	3 6 5 9 48	2 4 4 7 49	5 5 2 2 48	8 1 5 9 49	1 8 4 0 49
4 0 0 49	6 0 6 7 49	1 8 9 5 49	5 3 1 7 48	3 1 2 3 49	8 7 6 3 48	7 8 0 9 49	2 1 9 0 49
5 0 0 49	5 6 2 7 49	2 1 1 5 49	6 9 7 9 48	3 7 5 9 49	1 2 4 0 49	7 5 1 9 49	2 4 8 0 49
6 0 0 49	5 2 7 0 49	2 3 0 0 49	8 6 2 1 48	4 3 6 4 49	1 6 3 5 49	7 2 7 3 49	2 7 2 6 49
7 0 0 49	4 9 7 2 49	2 4 5 7 49	1 0 2 3 49	4 9 4 2 49	2 0 5 7 49	7 0 6 0 49	2 9 3 9 49
8 0 0 49	4 7 1 9 49	2 5 9 4 49	1 1 8 0 49	5 4 9 8 49	2 5 0 1 49	6 8 7 2 49	3 1 2 7 49
9 0 0 49	4 4 9 9 49	2 7 1 5 49	1 3 3 4 49	6 0 3 5 49	2 9 6 4 49	6 7 0 5 49	3 2 9 4 49
1 0 0 50	4 3 0 7 49	2 8 2 3 49	1 4 8 3 49	6 5 5 5 49	3 4 4 4 49	6 5 5 5 49	3 4 4 4 49
1 1 0 50	4 1 3 6 49	2 9 2 0 49	1 6 2 9 49	7 0 6 0 49	3 9 3 9 49	6 4 1 8 49	3 5 8 1 49
1 2 0 50	3 9 8 2 49	3 0 0 8 49	1 7 7 1 49	7 5 5 2 49	4 4 4 7 49	6 2 9 3 49	3 7 0 6 49
1 3 0 50	3 8 4 4 49	3 0 8 7 49	1 9 0 9 49	8 0 3 2 49	4 9 6 7 49	6 1 7 8 49	3 8 2 1 49
1 4 0 50	3 7 1 8 49	3 1 6 1 49	2 0 4 4 49	8 5 0 1 49	5 4 9 8 49	6 0 7 2 49	3 9 2 7 49
1 5 0 50	3 6 0 2 49	3 2 2 8 49	2 1 7 5 49	8 9 6 1 49	6 0 3 8 49	5 9 7 4 49	4 0 2 5 49
1 6 0 50	3 4 9 6 49	3 2 9 0 49	2 3 0 3 49	9 4 1 2 49	6 5 8 7 49	5 8 8 2 49	4 1 1 7 49
1 7 0 50	3 3 9 7 49	3 3 4 8 49	2 4 2 7 49	9 8 5 4 49	7 1 4 5 49	5 7 9 6 49	4 2 0 3 49
1 8 0 50	3 3 0 6 49	3 4 0 1 49	2 5 4 9 49	1 0 2 8 50	7 7 1 0 49	5 7 1 6 49	4 2 8 3 49
1 9 0 50	3 2 2 0 49	3 4 5 2 49	2 6 6 7 49	1 0 7 1 50	8 2 8 2 49	5 6 4 0 49	4 3 5 9 49
2 0 0 50	3 1 4 1 49	3 4 9 8 49	2 7 8 3 49	1 1 1 3 50	8 8 6 1 49	5 5 6 9 49	4 4 3 0 49
2 5 0 50	2 8 0 6 49	3 6 9 4 49	3 3 2 2 49	1 3 1 6 50	1 1 8 3 50	5 2 6 5 49	4 7 3 4 49
3 0 0 50	2 5 4 9 49	3 8 4 2 49	3 8 0 4 49	1 5 0 7 50	1 4 9 2 50	5 0 2 4 49	4 9 7 5 49
3 5 0 50	2 3 4 2 49	3 9 6 0 49	4 2 4 0 49	1 6 9 0 50	1 8 0 9 50	4 8 2 9 49	5 1 7 0 49
4 0 0 50	2 1 7 2 49	4 0 5 4 49	4 6 3 6 49	1 8 6 6 50	2 1 3 3 50	4 6 6 5 49	5 3 3 4 49
4 5 0 50	2 0 2 9 49	4 1 3 3 49	5 0 0 0 49	2 0 3 6 50	2 4 6 3 50	4 5 2 5 49	5 4 7 4 49
5 0 0 50	1 9 0 7 49	4 1 9 9 49	5 3 3 5 49	2 2 0 2 50	2 7 9 7 50	4 4 0 4 49	5 5 9 5 49
5 5 0 50	1 8 0 0 49	4 2 5 6 49	5 6 4 6 49	2 3 6 3 50	3 1 3 6 50	4 2 9 7 49	5 7 0 2 49
6 0 0 50	1 7 0 6 49	4 3 0 5 49	5 9 3 6 49	2 5 2 2 50	3 4 7 7 50	4 2 0 3 49	5 7 9 6 49
6 5 0 50	1 6 2 4 49	4 3 4 7 49	6 2 0 8 49	2 6 7 7 50	3 8 2 2 50	4 1 1 8 49	5 8 8 1 49
7 0 0 50	1 5 4 9 49	4 3 8 5 49	6 4 6 3 49	2 8 2 9 50	4 1 7 0 50	4 0 4 2 49	5 9 5 7 49
7 5 0 50	1 4 8 3 49	4 4 1 8 49	6 7 0 3 49	2 9 7 9 50	4 5 2 0 50	3 9 7 2 49	6 0 2 7 49
8 0 0 50	1 4 2 2 49	4 4 4 8 49	6 9 3 1 49	3 1 2 7 50	4 8 7 2 50	3 9 0 9 49	6 0 9 0 49
8 5 0 50	1 3 6 7 49	4 4 7 5 49	7 1 4 6 49	3 2 7 3 50	5 2 2 6 50	3 8 5 0 49	6 1 4 9 49
9 0 0 50	1 3 1 6 49	4 5 0 0 49	7 3 5 1 49	3 4 1 7 50	5 5 8 2 50	3 7 9 7 49	6 2 0 2 49
9 5 0 50	1 2 7 0 49	4 5 2 2 49	7 5 4 6 49	3 5 5 9 50	5 9 4 0 50	3 7 4 6 49	6 2 5 3 49
1 0 0 51	1 2 2 7 49	4 5 4 2 49	7 7 3 3 49	3 7 0 0 50	6 2 9 9 50	3 7 0 0 49	6 2 9 9 49
1 1 0 51	1 1 5 1 49	4 5 7 8 49	8 0 8 2 49	3 9 7 7 50	7 0 2 2 50	3 6 1 6 49	6 3 8 3 49
1 2 0 51	1 0 8 4 49	4 6 0 8 49	8 4 0 4 49	4 2 4 9 50	7 7 5 0 50	3 5 4 1 49	6 4 5 8 49
1 3 0 51	1 0 2 5 49	4 6 3 5 49	8 7 0 2 49	4 5 1 7 50	8 4 8 2 50	3 4 7 5 49	6 5 2 4 49
1 4 0 51	9 7 4 1 48	4 6 5 7 49	8 9 8 0 49	4 7 8 1 50	9 2 1 8 50	3 4 1 5 49	6 5 8 4 49
1 5 0 51	9 2 7 9 48	4 6 7 8 49	9 2 4 0 49	5 0 4 1 50	9 9 5 8 50	3 3 6 0 49	6 6 3 9 49
1 6 0 51	8 8 6 3 48	4 6 9 6 49	9 4 8 5 49	5 2 9 8 50	1 0 7 0 51	3 3 1 1 49	6 6 8 8 49
1 7 0 51	8 4 8 6 48	4 7 1 2 49	9 7 1 5 49	5 5 5 2 50	1 1 4 4 51	3 2 6 6 49	6 7 3 3 49
1 8 0 51	8 1 4 4 48	4 7 2 6 49	9 9 3 3 49	5 8 0 3 50	1 2 1 9 51	3 2 2 4 49	6 7 7 5 49
1 9 0 51	7 8 3 1 48	4 7 3 9 49	1 0 1 3 50	6 0 5 1 50	1 2 9 4 51	3 1 8 5 49	6 8 1 4 49

Total Cross Section and Energies

$\gamma$	$\phi/\phi_0$	$E_q/\phi_0$	$E_e/\phi_0$	$\bar{E}_q$	$\bar{E}_e$	$\bar{F}_q$	$\bar{F}_e$
200 51	7543 48	4751 49	1033 50	6298 50	1370 51	3149 49	6850 49
210 51	7278 48	4762 49	1052 50	6542 50	1445 51	3115 49	6884 49
220 51	7033 48	4771 49	1070 50	6784 50	1521 51	3083 49	6916 49
230 51	6806 48	4780 49	1087 50	7024 50	1597 51	3054 49	6945 49
240 51	6594 48	4789 49	1103 50	7262 50	1673 51	3026 49	6973 49
250 51	6396 48	4797 49	1119 50	7499 50	1750 51	2999 49	7000 49
260 51	6211 48	4804 49	1134 50	7734 50	1826 51	2974 49	7025 49
270 51	6038 48	4811 49	1149 50	7967 50	1903 51	2950 49	7049 49
280 51	5874 48	4817 49	1163 50	8199 50	1980 51	2928 49	7071 49
290 51	5721 48	4823 49	1176 50	8430 50	2056 51	2906 49	7093 49
300 51	5576 48	4828 49	1189 50	8659 50	2134 51	2886 49	7113 49
320 51	5308 48	4838 49	1214 50	9114 50	2288 51	2848 49	7151 49
340 51	5068 48	4847 49	1238 50	9564 50	2443 51	2813 49	7186 49
360 51	4850 48	4855 49	1260 50	1001 51	2598 51	2780 49	7219 49
380 51	4652 48	4862 49	1281 50	1045 51	2754 51	2750 49	7249 49
400 51	4471 48	4869 49	1301 50	1089 51	2910 51	2722 49	7277 49
420 51	4304 48	4874 49	1320 50	1132 51	3067 51	2696 49	7303 49
440 51	4151 48	4880 49	1338 50	1175 51	3224 51	2671 49	7328 49
460 51	4009 48	4885 49	1355 50	1218 51	3381 51	2648 49	7351 49
480 51	3877 48	4889 49	1372 50	1261 51	3538 51	2627 49	7372 49
500 51	3755 48	4894 49	1388 50	1303 51	3696 51	2606 49	7393 49
550 51	3482 48	4903 49	1425 50	1407 51	4092 51	2559 49	7440 49
600 51	3249 48	4910 49	1458 50	1511 51	4488 51	2518 49	7481 49
650 51	3048 48	4917 49	1489 50	1613 51	4886 51	2481 49	7518 49
700 51	2872 48	4923 49	1518 50	1713 51	5286 51	2448 49	7551 49
750 51	2717 48	4928 49	1545 50	1813 51	5686 51	2417 49	7582 49
800 51	2579 48	4932 49	1570 50	1912 51	6087 51	2390 49	7609 49
850 51	2455 48	4936 49	1593 50	2010 51	6489 51	2364 49	7635 49
900 51	2344 48	4939 49	1615 50	2107 51	6892 51	2341 49	7658 49
950 51	2243 48	4942 49	1636 50	2203 51	7296 51	2319 49	7680 49
100 52	2151 48	4945 49	1656 50	2299 51	7700 51	2299 49	7700 49

REPORT LIBRARY

REC. FROM DA

DATE 4-1-53

RECEIPT ✓